



COMUNE DI GAGGI

CITTA' METROPOLITANA DI MESSINA

PROGETTO: Lavori di adeguamento sismico, messa in sicurezza e riqualificazione della scuola materna di Gaggi.
CIG:87056322CB

PROGETTO ESECUTIVO

ST_3.0

Fascicolo di Calcolo





COMUNE DI GAGGI CITTA' METROPOLITANA DI MESSINA

PROGETTO: Lavori di adeguamento sismico, messa in sicurezza e riqualificazione della scuola materna di Gaggi.
CIG:87056322CB

PROGETTO ESECUTIVO

Fascicolo di Calcolo



IL PROGETTISTA
Dott. Ing. Antonio Piero Munafò
RUP

Geom. Sebastiano Leonardi

FASCICOLO DEI CALCOLI

DIMOSTRAZIONE NUMERICA DELLA SICUREZZA DELL'OPERA E DEL RAGGIUNGIMENTO DELLE PRESTAZIONI ATTESE

INDICE:

PRESENTAZIONE DEI RISULTATI	4
TABULATI DI INPUT	7
Dati generali	7
Impalcati	7
Percentuali Spostamento masse impalcati	7
Combinazioni del Sisma in X e Y e Verticale	7
Spettri di risposta	8
Caratteristiche del terreno	10
Materiali	10
Nodi - Geometria e vincoli	10
Nodi - Carichi	14
Input - Aste - Tabella sezioni tipo	15
Aste - Geometria e vincoli	15
Aste - Carichi	29
Pareti - geometria e vincoli	52
Muri - Carichi	53
Tabella solai tipo	55
Dati solai	55
Plinti - Geometria e vincoli	57
TABULATI DI VERIFICA	58
Risultati Analisi Dinamica - Baricentri masse e masse	57
Verifica Degli Spostamenti Relativi	58
Periodi di vibrazione e Masse modali	59
Risultati Analisi Dinamica - Spostamenti massimi - Nodi	62
VERIFICHE STATO LIMITE ULTIMO	67
Verifica dei Muri in calcestruzzo	67
Verifica dei Muri in legno	83
Verifica Plinti	117
Verifica SLU delle aste in Legno secondo NTC	118
VERIFICHE STATO LIMITE DI ESERCIZIO	224
Verifica dei Muri (Stati limite esercizio)	224

Il Progettista

MODELLAZIONE

I livelli di sicurezza scelti dal Committente e dal Progettista in funzione del tipo e dell'uso della struttura, nonché in funzione delle conseguenze del danno, con riguardo a persone, beni, e possibile turbativa sociale, compreso il costo delle opere necessarie per la riduzione del rischio di danno o di collasso, hanno indirizzato al progetto di una struttura con i seguenti requisiti:

- sicurezza nei confronti degli Stati Limite Ultimi (SLU)
- sicurezza nei confronti degli Stati Limite di Esercizio (SLE)
- sicurezza nei confronti di deformazioni permanenti inaccettabili: Stato Limite di Danno (SLD).

La struttura è stata schematizzata con un modello spaziale agli elementi finiti che tengono conto dell'effettivo stato deformativo e di sollecitazione, secondo l'effettiva realizzazione. I vincoli esterni della struttura sono stati caratterizzati, a seconda degli elementi in fondazione se presenti, con: travi Winkler, plinti diretti, plinti su pali, platee; ovvero con vincoli perfetti di incastro, appoggio, carrello, ecc. I vincoli interni sono stati schematizzati secondo le sollecitazioni mutuamente scambiate tra gli elementi strutturali, inserendo, ove opportuno, il rilascio di alcune caratteristiche della sollecitazione per schematizzare il comportamento di vincoli interni non iperstatici (cerniere, carrelli, ecc.). Il modello agli elementi finiti è stato calcolato tenendo conto dell'interazione tra strutture in fondazione e strutture in elevazione, consentendo un'accurata distribuzione delle azioni statiche e sismiche; il calcolo viene eseguito considerando il comportamento elastico lineare della struttura. I solai sono schematizzati come aree di carico, sulle quali vengono definiti i carichi permanenti (QP Solai), carichi fissi (QFissi Solai) e variabili (QV solai); tali carichi vengono assegnati alle aste in modo automatico in relazione all'influenza delle diverse aree di carico. Le masse corrispondenti ai carichi variabili sui solai nelle combinazioni sismiche vengono trattate in maniera automatica mediante un coefficiente moltiplicativo definito insieme alla tipologia del solaio.

Il modello utilizzato è stato valutato alla luce dei diversi scenari di carico a cui viene sottoposta la struttura durante la sua costruzione e la sua vita, atto a garantire la sicurezza e la durabilità della stessa. Per la tipologia strutturale affrontata non è stato necessario definire scenari di contingenza, quindi non è stata schematizzata la struttura durante le fasi costruttive, e si ritiene che non ci siano variazioni del modello di calcolo e degli schemi di vincolo, durante la vita dell'opera. Per il dettaglio degli scenari di calcolo si faccia riferimento alla "Relazione di Calcolo"

Il progetto e la verifica degli elementi strutturali è stato effettuato seguendo la teoria degli Stati limite. I parametri relativi alle verifiche effettuate sono riportati nella Relazione di Calcolo.

Il solutore agli elementi finiti impiegato nell'analisi è SpaceSolver, per il calcolo di strutture piane e spaziali schematizzabili da un insieme di elementi finiti tipo

- BEAM,
- PLATE-SHELL,
- WINK,
- BOUNDARY,

interagenti tra loro attraverso i nodi, con la possibilità di tenere in conto tutti i possibili disassamenti, mediante l'introduzione di conci rigidi e traslazioni degli elementi bidimensionali. Il solutore lavora in campo elastico lineare, si basa sulle routines di Matlab ed è stato sviluppato in collaborazione con l'Università di Roma – Tor Vergata. Il solutore offre la possibilità di risolvere anche travi su suolo alla Winkler con molle spalmate sull'intera suola, anziché sul solo asse, plinti diretti e su pali, pali singoli, platee, piastre sottili e spesse con controllo delle rotazioni attorno all'asse normale alla piastra (drilling). Inoltre, per gli elementi BEAM considera il centro di taglio e non il baricentro.

L'affidabilità del solutore è stata testata su una serie di esempi campioni calcolati con altri procedimenti o con formule note, di cui si rende disponibile la documentazione.

AFFIDABILITÀ DEI CODICI UTILIZZATI

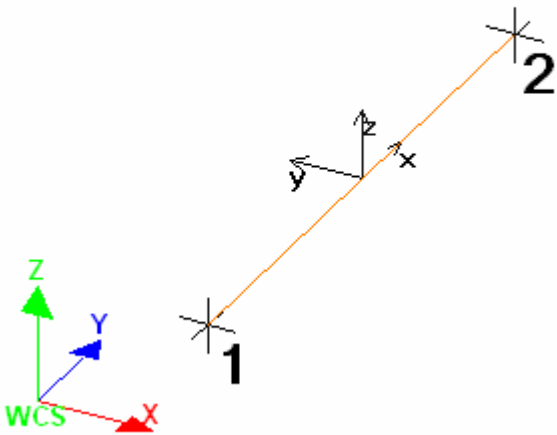
Il programma è dotato di una serie di filtri di auto diagnostica che segnalano i seguenti eventi:

- labilità della struttura
- assenza di masse
- nodi collegati ad aste nulle
- mancanza di terreno sugli elementi in fondazione
- controllo sull'assegnazione dei nodi all'impalcato
- correttezza degli spettri di progetto
- fattori di partecipazione modali
- assegnazione dei criteri di verifica agli elementi
- numerazione degli elementi strutturali
- congruenza delle connessioni tra elementi shell
- congruenza delle aree di carico
- definizione delle caratteristiche d'inerzia delle sezioni
- presenza del magrone sotto la travi tipo wink
- elementi non verificati per semi progetto allo SLU, con inserimento automatico delle armature secondo i criteri di verifica.
- elementi non verificati allo SLU per armature già inserite nell'elemento strutturale
- elementi non verificati allo SLE per armature già inserite nell'elemento strutturale

PRESENTAZIONE DEI RISULTATI

I disegni dello schema statico adottato sono riportati nel fascicolo allegato alla presente relazione

E' stato impiegato il Sistema Internazionale per le unità di misura, con riferimento al daN per le forze.



Il sistema di riferimento globale rispetto al quale è stata riferita l'intera struttura è una terna di assi cartesiani sinistrorsa OXYZ (X,Y, e Z sono disposti e orientati rispettivamente secondo il pollice, l'indice ed il medio della mano destra, una volta posizionati questi ultimi a 90° tra loro).

La terna di riferimento locale per un'asta è pure una terna sinistrorsa O'xyz che ha l'asse x orientato dal nodo iniziale I dell'asta verso il nodo finale J e gli assi y e z diretti secondo gli assi geometrici della sezione con l'asse y orizzontale e orientato in modo da portarsi a coincidere con l'asse x a mezzo di una rotazione oraria di 90° e l'asse z di conseguenza.

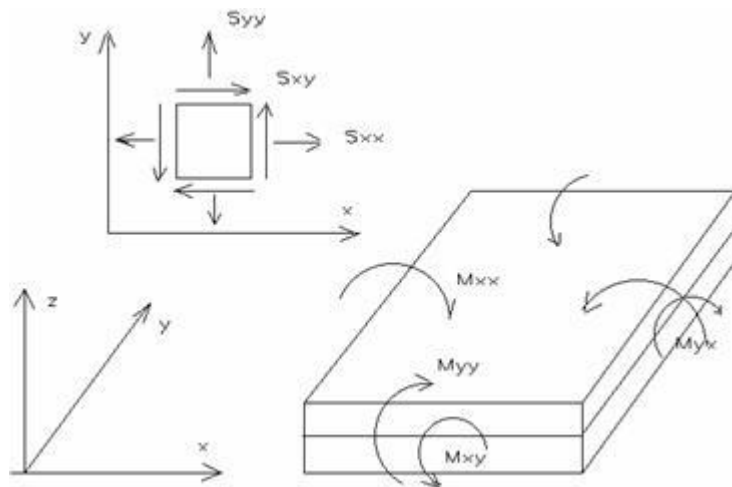
Per un'asta comunque disposta nello spazio la sua terna locale è orientata in modo tale da portarsi a coincidere con la terna globale a mezzo di rotazioni orarie degli assi locali inferiori a 180°.

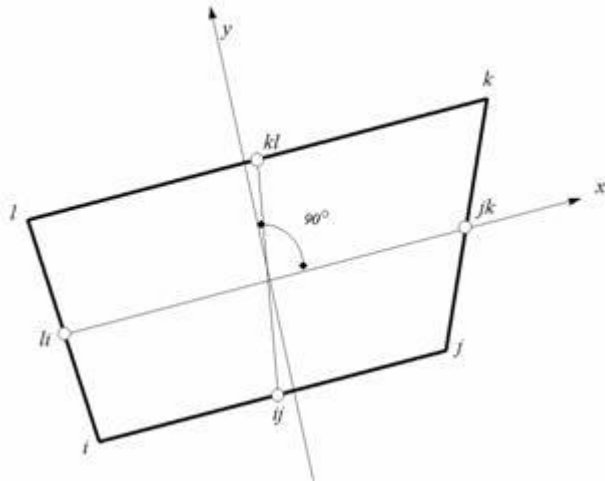
- Le forze, sia sulle aste che sulle pareti o lastre, sono positive se opposte agli assi locali;
- Le forze nodali sono positive se opposte agli assi globali;
- Le coppie sono positive se sinistrorse.

Le caratteristiche di sollecitazione sono positive se sulla faccia di normale positiva sono rappresentate da vettori equiversi agli assi di riferimento locali; in particolare il vettore momento positivo rappresenta una coppia che ruota come le dita della mano destra che si chiudono quando il pollice è equi verso all'asse locale.

- Le traslazioni sono positive se concorde con gli assi globali;
- Le rotazioni sono positive se sinistrorse.

Il sistema di riferimento locale per gli elementi bidimensionali è quello riportato in figura





La terna locale per l'elemento shell è costituita dall'asse x locale che va dal nodo li al nodo jk, l'asse y è diretto secondo il piano dell'elemento e orientato verso il nodo l e l'asse z di conseguenza in modo da formare la solita terna sinistrorsa. L'asse z locale rappresenta la normale positiva all'elemento.

Le sollecitazioni dell'elemento sono:

a) sforzi membranali.

$$S_{xx} = s_x$$

$$S_{yy} = s_y$$

$$S_{xy} = t_{xy}$$

b) sforzi flessionali:

M_{xx} momento flettente che genera s_x , cioè intorno ad y.

M_{yy} momento flettente che genera s_y , cioè intorno ad x

M_{xy} momento torcente che genera t_{xy} .

Le sollecitazioni principali dell'elemento sono:

$$M_{1,2} = \frac{M_{xx} + M_{yy}}{2} \pm \sqrt{\left(\frac{M_{xx} - M_{yy}}{2}\right)^2 + M_{xy}^2}$$

$$S_{1,2} = \frac{S_{xx} + S_{yy}}{2} \pm \sqrt{\left(\frac{S_{xx} - S_{yy}}{2}\right)^2 + S_{xy}^2}$$

$$\tan 2\theta = \frac{M_{xy}}{M_{xx} - M_{yy}}$$

dove q è l'angolo formato dagli assi principali di M_1 e M_2 con quelli di riferimento e

$$\tan 2\psi = \frac{S_{xy}}{S_{xx} - S_{yy}}$$

dove ψ è l'angolo formato dagli assi principali di S_1 e S_2 con quelli di riferimento

L'elemento shell usato come piastra dà i momenti flettenti e non i tagli in direzione ortogonale all'elemento che possono ottersi come derivazione dei momenti flettenti;

$$T_{zx} = M_{xx,x} + M_{xy,y}$$

$$T_{zy} = M_{xy,y} + M_{yy,y}$$

quando invece viene usato come lastra ci restituisce una 's' costante ed una 't' costante non adatti a rappresentare momenti flettenti, ma solo sforzi normali e tagli nel piano della lastra.

I tabulati di calcolo contengono due sezioni principali: la descrizione del modello di calcolo e la presentazione dei risultati.

La descrizione del modello di calcolo contiene:

- i dati generali (dimensioni);
- le coordinate nodali;
- i vincoli dei nodi e i vincoli interni delle aste, con le eventuali sconnessioni;
- le caratteristiche sezionali;
- le caratteristiche dei solai;
- le caratteristiche delle aste;
- i carichi sulle aste, sui nodi e sui muri (inclusa la distribuzione delle distorsioni impresse, e delle variazioni e dei gradienti di temperatura);
- configurazione di sistemi che introducono stati coattivi;
- le caratteristiche dei materiali;
- legami costitutivi e criteri di verifica;
- le condizioni di carico;

La stampa dei risultati contiene:

- le combinazioni dei carichi;
- le forze sismiche agenti sulla struttura;
- gli spostamenti d'impalcato, se l'impalcato è rigido;
- gli spostamenti nodali;
- le sollecitazioni sulle membrature per ogni combinazione di carico;
- la sollecitazione sul terreno sotto travi di fondazione o platee;
- deformate;
- diagrammi sollecitazioni;

TABULATI DI INPUT

Dati generali

Nome struttura	
Fattore rigidezza assiale pilastri	10
Numero di frequenze	150
% Filtro masse libere	0.5
% Coefficiente di smorzamento viscoso	5
Spostamenti modali con segno	Si
Deformabilità a taglio delle aste	Si
Spostamento ammmissibile impalcati	0.0050*h

Impalcati

N°	Quota mm	Rigido	Incr.Soll.Pil	Inc.Soll.Par.
0	0	No	1.000	1.000

Percentuali Spostamento masse impalcati

Posizione	% Spostamento direzione X	% Spostamento direzione Y
1	0	-5
2	5	0
3	0	5
4	-5	0

Combinazioni del Sisma in X e Y e Verticale

Comb	Pos. SismaX	Pos. SismaY	Fx	Fy	Fz
1	1	2	1	0.3	0
2	1	2	0.3	1	0
3	1	4	1	0.3	0
4	1	4	0.3	1	0
5	3	2	1	0.3	0
6	3	2	0.3	1	0
7	3	4	1	0.3	0
8	3	4	0.3	1	0

Comb. = Numero di combinazione dei sismi

Pos. SismaX = Posizione in cui viene scelto il sisma in direzione X

Pos. SismaY = Posizione in cui viene scelto il sisma in direzione Y

Fx = Fattore con cui il sisma X partecipa

Fy = Fattore con cui il sisma Y partecipa

Fz = Fattore con cui il sisma Verticale partecipa (quando richiesto)

Ogni combinazione genera al massimo 8 sotto-combinazioni in base a tutte le combinazioni possibili dei segni di Fx ed

Fy ed Fz

Spettri di risposta

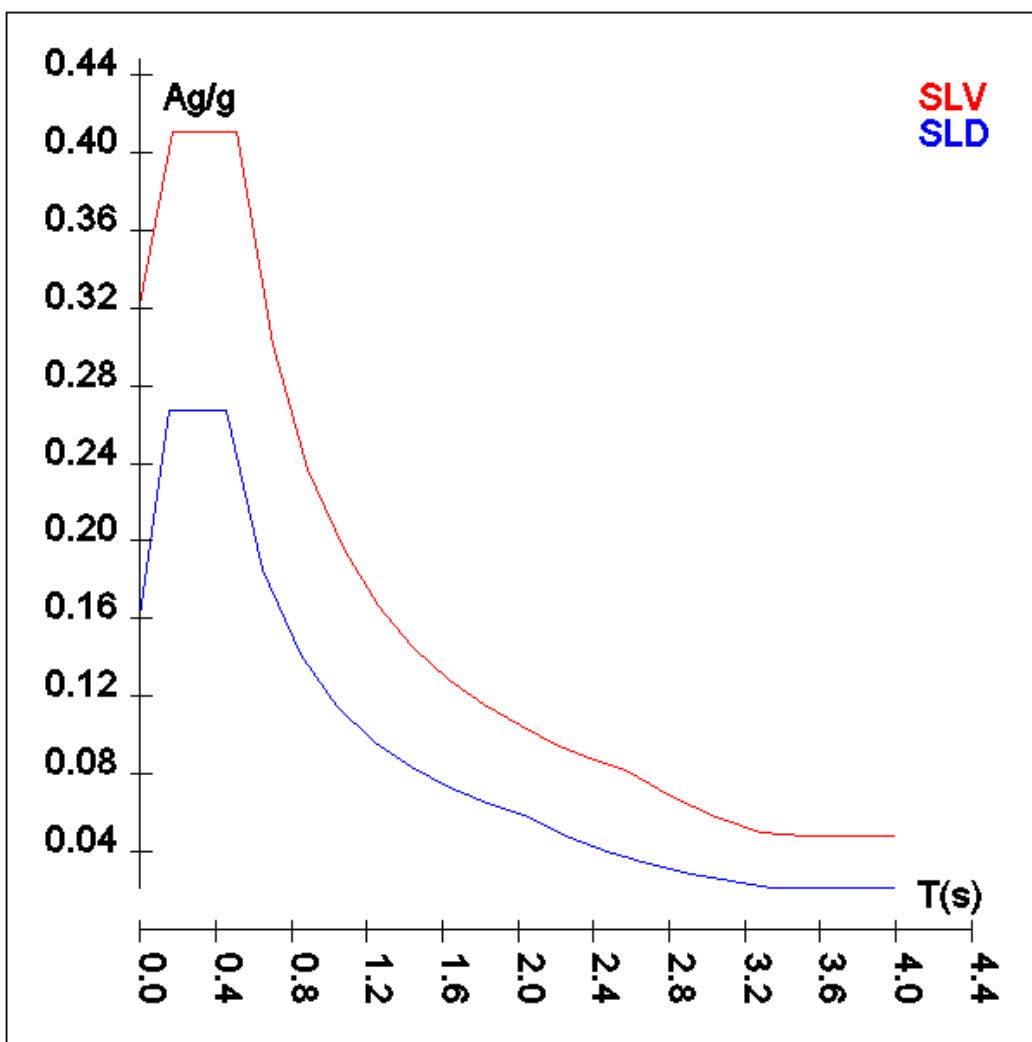
Spettro :SpettroNT_2018(q=1)

Il calcolo degli spettri e del fattore di comportamento sono stati calcolati per la seguente tipologia di terreno e struttura

Vita della struttura	
Tipo	Opere ordinarie (50-100)
Vita nominale(anni)	50.0
Classe d'uso	III
Coefficiente d'uso	1.500
Periodo di riferimento(anni)	75.000
Stato limite di esercizio - SLD	PVR=63.0%
Stato limite ultimo - SLV	PVR=10.0%
Periodo di ritorno SLD(anni)	TR=75.4
Periodo di ritorno SLV(anni)	TR=711.8
Parametri del sito	
Comune	
Longitudine	15.2222
Latitudine	37.8589
Id reticolo del sito	46537-46315-46314-46536
Valori di riferimento del sito	
Ag/g(TR=75.4) SLD	0.1078
F0(TR=75.4) SLD	2.4780
T°C(TR=75.4) SLD	0.282
Ag/g(TR=711.8) SLV	0.2417
F0(TR=711.8) SLV	2.5503
T°C(TR=711.8) SLV	0.344
Coefficiente Amplificazione Topografica	St=1.000
Categoria terreno C	
stato limite SLV	
	Ss=1.33
	TB=0.17
	TC=0.51
	TD=2.57
stato limite SLD	
	Ss=1.50
	TB=0.15
	TC=0.45
	TD=2.03
Fattore di comportamento (SLV)	
Classe duttilità	B
Tipo struttura	Legno
Struttura non regolare in altezza	Kr=0.800000
	Kw=1.000
Regolare in pianta	SI
Tipologia : Portali iperstatici, unione a gambo cilindrico con spinotti e bulloni	Ce=2.500
Fattore di comportamento q=Kw*Kr*Ce	2.000
Fattore di comportamento q SLD	1.500

TSLV [s]	SLV[a/g]	TSLD [s]	SLD[a/g]
0.00000	0.32149	0.00000	0.16166
0.17110	0.40995	0.14991	0.26706
0.51331	0.40995	0.44973	0.26706
0.69998	0.30062	0.64740	0.18552
0.88666	0.23733	0.84507	0.14212
1.07334	0.19605	1.04274	0.11518
1.26001	0.16700	1.24040	0.09683

1.44669	0.14545	1.43807	0.08352
1.63337	0.12883	1.63574	0.07342
1.82004	0.11562	1.83341	0.06551
2.00672	0.10486	2.03108	0.05913
2.19340	0.09594	2.24985	0.04819
2.38007	0.08841	2.46862	0.04003
2.56675	0.08198	2.68739	0.03378
2.80562	0.06862	2.90616	0.02888
3.04450	0.05827	3.12492	0.02498
3.28337	0.05010	3.34369	0.02182
3.52225	0.04834	3.56246	0.02155
3.76112	0.04834	3.78123	0.02155
4.00000	0.04834	4.00000	0.02155



Caratteristiche del terreno

Terreno1- Cost.Winkler=20.00 kg/cmc Falda assente										
Strato n°	Spessore	γ	γSat	ϕ	Addensato	OCR	Coesione	Cu	E	v
	cm	kg/mc	kg/mc	°			kg/cmq	kg/cmq	kg/cmq	
1	100	1850	2000	24	No	--	0.00	0.00	2E02	0.30
2	1000	1900	2000	31	No	--	0.00	0.00	2E02	0.30

Materiali

Materiale: C25/30		
Peso specifico	kg/mc	2500
Modulo di Young E	kg/cmq	3E05
Modulo di Poisson v		0.13
Coefficiente di dilatazione termica λ	1/ $^{\circ}$ C	1e-05

Materiale: Legno isotropo		
Peso specifico	kg/mc	700
Modulo di Young E	kg/cmq	1E05
Modulo di Poisson v		0.30
Coefficiente di dilatazione termica λ	1/ $^{\circ}$ C	5e-06

Input - Aste - Tabella sezioni tipo

Tipo	Nome	Base	Altezza	Larg.mag.
R		cm	cm	cm
	20x40	20	40	0
	12x16	12	16	0
	10x12	10	12	0
	14x14	14	14	0

Aste - Geometria e vincoli

	Ni	Nf	Vinc.	Sez.	Mat.	Crit.pr.	Rot. °	f.f.	xi	yi	zi	xf	yf	zf	Tipo	L2	L3
															cm	cm	cm
1	230	146	I-I	14x14	Legno_isotropo	Legno_Tenso-Presso flessione	0	5050	0	0	0	0	0	0	Pila.	381	381
2	130	246	I-I	14x14	Legno_isotropo	Legno_Tenso-Presso flessione	0	5050	0	0	0	0	0	0	Pila.	387	387
1	0	0	I-I	12x16	Legno_isotropo	Legno_Tirante-Punto ne	0	8080	0	0	0	0	0	0	Trave	630	630
2	0	0	I-I	12x16	Legno_isotropo	Legno_Tirante-Punto ne	0	8080	0	0	0	0	0	0	Trave	630	630
3	46	146	I-I	14x14	Legno_isotropo	Legno_Tirante-Punto ne	0	8085	0	0	0	0	0	0	Trave	200	200
3	0	0	I-I	12x16	Legno_isotropo	Legno_Tirante-Punto ne	0	8080	0	0	0	0	0	0	Trave	630	630
4	0	246	I-I	14x14	Legno_isotropo	Legno_Tirante-Punto ne	0	8085	0	0	0	0	-0	0	Trave	60	60
4	0	0	I-I	14x14	Legno_isotropo	Legno_Tirante-Punto ne	0	8080	0	0	0	0	0	0	Trave	60	60
4	0	0	I-I	14x14	Legno_isotropo	Legno_Tirante-Punto ne	0	8080	0	0	0	0	0	0	Trave	60	60
4	0	0	I-I	14x14	Legno_isotropo	Legno_Tirante-Punto ne	0	8080	0	0	0	0	0	0	Trave	60	60

	Ni	Nf	Vinc.	Sez.	Mat.	Crit.pr.	Rot.	f.f.	xi	yi	zi	xf	yf	zf	Tipo	L2	L3
4	0	0	I-I	14x14	Legno_isotropo	Legno_Tirante-Punto ne	0	8080	0	0	0	0	0	0	Trave	60	60
4	0	0	I-I	14x14	Legno_isotropo	Legno_Tirante-Punto ne	0	8080	0	0	0	0	0	0	Trave	60	60
4	0	0	I-I	14x14	Legno_isotropo	Legno_Tirante-Punto ne	0	8080	0	0	0	0	0	0	Trave	60	60
4	0	0	I-I	14x14	Legno_isotropo	Legno_Tirante-Punto ne	0	8080	0	0	0	0	0	0	Trave	60	60
4	0	0	I-I	14x14	Legno_isotropo	Legno_Tirante-Punto ne	0	8080	0	0	0	0	0	0	Trave	60	60
4	146	0	I-I	14x14	Legno_isotropo	Legno_Tirante-Punto ne	0	8580	0	-0	0	0	0	0	Trave	60	60
4	0	0	I-I	12x16	Legno_isotropo	Legno_Tirante-Punto ne	0	8080	0	0	0	0	0	0	Trave	630	630
5	246	48	I-I	14x14	Legno_isotropo	Legno_Tirante-Punto ne	0	8580	0	0	0	-0	-6	0	Trave	150	150
5	0	0	I-I	12x16	Legno_isotropo	Legno_Tirante-Punto ne	0	8080	0	-0	0	0	-0	0	Trave	630	630
6	0	0	I-I	12x16	Legno_isotropo	Legno_Tirante-Punto ne	0	8080	0	-0	0	0	-0	0	Trave	630	630
7	0	0	I-I	12x16	Legno_isotropo	Legno_Tirante-Punto ne	0	8080	0	-0	0	0	-0	0	Trave	630	630
8	64	68	I-I	12x16	Legno_isotropo	Legno_Tirante-Punto ne	0	8080	0	0	0	0	0	0	Trave	630	630
9	0	0	I-I	12x16	Legno_isotropo	Legno_Tirante-Punto ne	0	8080	0	0	0	0	0	0	Trave	630	630
10	0	0	I-I	12x16	Legno_isotropo	Legno_Tirante-Punto ne	0	8080	0	0	0	0	0	0	Trave	630	630
11	0	0	I-I	12x16	Legno_isotropo	Legno_Tirante-Punto ne	0	8080	0	0	0	-0	-0	0	Trave	630	630
11	29	32	I-I	20x20	C25/30	CLS_TraviFondazione	0	8080	0	0	0	0	0	0	Trave	260	260
12	0	0	I-I	12x16	Legno_isotropo	Legno_Tirante-Punto ne	0	8080	0	-0	0	-0	-0	0	Trave	630	630
13	0	0	I-I	12x16	Legno_isotropo	Legno_Tirante-Punto ne	0	8080	0	0	0	0	0	0	Trave	630	630
14	0	56	I-I	20x40	Legno_isotropo	Legno_Tirante-Punto ne	0	9090	0	0	0	0	-0	0	Trave	55	55
14	0	0	I-I	20x40	Legno_isotropo	Legno_Tirante-Punto ne	0	9090	0	0	0	0	0	0	Trave	55	55
14	0	0	I-I	20x40	Legno_isotropo	Legno_Tirante-Punto ne	0	9090	0	0	0	0	0	0	Trave	55	55
14	0	0	I-I	20x40	Legno_isotropo	Legno_Tirante-Punto ne	0	9090	0	0	0	0	0	0	Trave	55	55
14	0	0	I-I	20x40	Legno_isotropo	Legno_Tirante-Punto ne	0	9090	0	0	0	0	0	0	Trave	55	55
14	0	0	I-I	20x40	Legno_isotropo	Legno_Tirante-Punto ne	0	9090	0	0	0	0	0	0	Trave	55	55
14	0	0	I-I	20x40	Legno_isotropo	Legno_Tirante-Punto ne	0	9090	0	0	0	0	0	0	Trave	55	55
14	0	0	I-I	20x40	Legno_isotropo	Legno_Tirante-Punto ne	0	9090	0	0	0	0	0	0	Trave	54	54
14	0	0	I-I	20x40	Legno_isotropo	Legno_Tirante-Punto ne	0	9090	0	0	0	0	0	0	Trave	54	54
14	0	0	I-I	20x40	Legno_isotropo	Legno_Tirante-Punto ne	0	9090	0	0	0	0	0	0	Trave	54	54
14	0	0	I-I	20x40	Legno_isotropo	Legno_Tirante-Punto ne	0	9090	0	0	0	0	0	0	Trave	54	54

	Ni	Nf	Vinc.	Sez.	Mat.	Crit.pr.	Rot.	f.f.	xi	yi	zi	xf	yf	zf	Tipo	L2	L3
						ne											
14	0	0	I-I	20x40	Legno_isotropo	Legno_Tirante-Punto ne	0	9090	0	0	0	0	0	0	Trave	54	54
14	0	0	I-I	20x40	Legno_isotropo	Legno_Tirante-Punto ne	0	9090	0	0	0	0	0	0	Trave	54	54
14	0	0	I-I	20x40	Legno_isotropo	Legno_Tirante-Punto ne	0	9090	0	0	0	0	0	0	Trave	54	54
14	0	0	I-I	20x40	Legno_isotropo	Legno_Tirante-Punto ne	0	9090	0	0	0	0	0	0	Trave	54	54
14	0	0	I-I	12x16	Legno_isotropo	Legno_Tirante-Punto ne	0	8080	0	0	0	0	0	0	Trave	630	630
14	56	0	I-I	20x40	Legno_isotropo	Legno_Tirante-Punto ne	0	9090	0	0	0	0	0	0	Trave	54	54
14	57	0	I-I	20x40	Legno_isotropo	Legno_Tirante-Punto ne	0	9090	0	-0	0	0	0	0	Trave	55	55
15	0	54	I-I	12x16	Legno_isotropo	Legno_Tirante-Punto ne	0	7070	0	0	0	0	0	0	Trave	57	57
15	0	0	I-I	12x16	Legno_isotropo	Legno_Tirante-Punto ne	0	7070	0	0	0	0	0	0	Trave	57	57
15	0	0	I-I	12x16	Legno_isotropo	Legno_Tirante-Punto ne	0	7070	0	0	0	0	0	0	Trave	57	57
15	0	53	I-I	20x40	Legno_isotropo	Legno_Tirante-Punto ne	0	9090	0	0	0	0	0	0	Trave	62	62
15	0	0	I-I	20x40	Legno_isotropo	Legno_Tirante-Punto ne	0	9090	0	0	0	0	0	0	Trave	62	62
15	0	0	I-I	20x40	Legno_isotropo	Legno_Tirante-Punto ne	0	9090	0	0	0	0	0	0	Trave	62	62
15	0	0	I-I	20x40	Legno_isotropo	Legno_Tirante-Punto ne	0	9090	0	0	0	0	0	0	Trave	62	62
15	0	61	I-I	12x16	Legno_isotropo	Legno_Tirante-Punto ne	0	8080	0	0	0	0	0	0	Trave	63	63
15	0	0	I-I	12x16	Legno_isotropo	Legno_Tirante-Punto ne	0	8080	0	0	0	0	0	0	Trave	63	63
15	0	0	I-I	12x16	Legno_isotropo	Legno_Tirante-Punto ne	0	8080	0	0	0	0	0	0	Trave	63	63
15	0	0	I-I	12x16	Legno_isotropo	Legno_Tirante-Punto ne	0	8080	0	0	0	0	0	0	Trave	63	63
15	0	0	I-I	12x16	Legno_isotropo	Legno_Tirante-Punto ne	0	8080	0	0	0	0	0	0	Trave	63	63
15	0	0	I-I	12x16	Legno_isotropo	Legno_Tirante-Punto ne	0	8080	0	0	0	0	0	0	Trave	63	63
15	0	0	I-I	12x16	Legno_isotropo	Legno_Tirante-Punto ne	0	8080	0	0	0	0	0	0	Trave	63	63
15	0	0	I-I	12x16	Legno_isotropo	Legno_Tirante-Punto ne	0	8080	0	0	0	0	0	0	Trave	63	63
15	0	0	I-I	12x16	Legno_isotropo	Legno_Tirante-Punto ne	0	8080	0	0	0	0	0	0	Trave	63	63
15	0	57	I-I	12x16	Legno_isotropo	Legno_Tirante-Punto ne	0	8080	0	0	0	-0	0	0	Trave	58	58
15	0	0	I-I	12x16	Legno_isotropo	Legno_Tirante-Punto ne	0	8080	0	0	0	0	0	0	Trave	58	58
15	0	0	I-I	12x16	Legno_isotropo	Legno_Tirante-Punto ne	0	8080	0	0	0	0	0	0	Trave	58	58
15	0	0	I-I	12x16	Legno_isotropo	Legno_Tirante-Punto ne	0	8080	0	0	0	0	0	0	Trave	58	58
15	0	0	I-I	12x16	Legno_isotropo	Legno_Tirante-Punto ne	0	8080	0	0	0	0	0	0	Trave	58	58

	Ni	Nf	Vinc.	Sez.	Mat.	Crit.pr.	Rot.	f.f.	xi	yi	zi	xf	yf	zf	Tipo	L2	L3
					ropo	ante-Punto ne											
15	61	0	I-I	12x16	Legno_isotropo	Legno_Tir ante-Punto ne	0	8080	0	0	0	0	0	0	Trave	58	58
15	48	0	I-I	12x16	Legno_isotropo	Legno_Tir ante-Punto ne	0	8080	-0	0	0	0	0	0	Trave	63	63
15	54	55	I-I	12x16	Legno_isotropo	Legno_Tir ante-Punto ne	0	7070	0	0	0	0	0	0	Trave	530	530
15	53	0	I-I	12x16	Legno_isotropo	Legno_Tir ante-Punto ne	0	7070	0	0	0	0	0	0	Trave	57	57
15	57	0	I-I	20x40	Legno_isotropo	Legno_Tir ante-Punto ne	0	9090	0	0	0	0	0	0	Trave	62	62
16	0	44	I-I	12x16	Legno_isotropo	Legno_Tir ante-Punto ne	0	7070	0	0	0	0	0	0	Trave	53	53
16	0	0	I-I	12x16	Legno_isotropo	Legno_Tir ante-Punto ne	0	7070	0	0	0	0	0	0	Trave	53	53
16	0	0	I-I	12x16	Legno_isotropo	Legno_Tir ante-Punto ne	0	7070	0	0	0	0	0	0	Trave	53	53
16	0	0	I-I	12x16	Legno_isotropo	Legno_Tir ante-Punto ne	0	7070	0	0	0	0	0	0	Trave	53	53
16	0	0	I-I	12x16	Legno_isotropo	Legno_Tir ante-Punto ne	0	7070	0	0	0	0	0	0	Trave	53	53
16	0	0	I-I	12x16	Legno_isotropo	Legno_Tir ante-Punto ne	0	7070	0	0	0	0	0	0	Trave	53	53
16	0	0	I-I	12x16	Legno_isotropo	Legno_Tir ante-Punto ne	0	7070	0	0	0	0	0	0	Trave	53	53
16	0	59	I-I	20x40	Legno_isotropo	Legno_Tir ante-Punto ne	0	9090	0	0	0	0	0	0	Trave	52	52
16	0	0	I-I	20x40	Legno_isotropo	Legno_Tir ante-Punto ne	0	9090	0	0	0	0	0	0	Trave	52	52
16	0	0	I-I	20x40	Legno_isotropo	Legno_Tir ante-Punto ne	0	9090	0	0	0	0	0	0	Trave	52	52
16	0	0	I-I	20x40	Legno_isotropo	Legno_Tir ante-Punto ne	0	9090	0	0	0	0	0	0	Trave	52	52
16	0	0	I-I	12x16	Legno_isotropo	Legno_Tir ante-Punto ne	0	8080	0	0	0	-0	0	0	Trave	630	630
16	43	0	I-I	12x16	Legno_isotropo	Legno_Tir ante-Punto ne	0	7070	0	0	0	0	0	0	Trave	53	53
16	44	0	I-I	20x40	Legno_isotropo	Legno_Tir ante-Punto ne	0	9090	0	0	0	0	0	0	Trave	52	52
17	0	0	I-I	12x16	Legno_isotropo	Legno_Tir ante-Punto ne	0	8080	0	0	0	-0	0	0	Trave	630	630
17	41	43	I-I	12x16	Legno_isotropo	Legno_Tir ante-Punto ne	0	7070	0	0	0	0	0	0	Trave	540	540
17	42	41	I-I	12x16	Legno_isotropo	Legno_Tir ante-Punto ne	0	7070	0	0	0	0	0	0	Trave	530	530
18	0	45	I-I	12x16	Legno_isotropo	Legno_Tir ante-Punto ne	0	7070	0	0	0	0	0	0	Trave	58	58
18	0	0	I-I	12x16	Legno_isotropo	Legno_Tir ante-Punto ne	0	7070	0	0	0	0	0	0	Trave	58	58
18	0	0	I-I	12x16	Legno_isotropo	Legno_Tir ante-Punto ne	0	7070	0	0	0	0	0	0	Trave	58	58
18	0	0	I-I	12x16	Legno_isotropo	Legno_Tir ante-Punto ne	0	7070	0	0	0	0	0	0	Trave	58	58
18	45	46	I-I	12x16	Legno_isotropo	Legno_Tir ante-Punto ne	0	7070	0	0	0	0	0	0	Trave	630	630
18	0	0	I-I	12x16	Legno_isotropo	Legno_Tir ante-Punto ne	0	8080	0	0	0	0	-0	0	Trave	490	490

	Ni	Nf	Vinc.	Sez.	Mat.	Crit.pr.	Rot.	f.f.	xi	yi	zi	xf	yf	zf	Tipo	L2	L3
						ne											
20	0	0	I-I	12x16	Legno_isotropo	Legno_Tirante-Punto ne	0	7070	0	0	0	0	0	0	Trave	61	61
20	51	52	I-I	12x16	Legno_isotropo	Legno_Tirante-Punto ne	0	7070	0	0	0	0	0	0	Trave	310	310
20	50	0	I-I	12x16	Legno_isotropo	Legno_Tirante-Punto ne	0	7070	0	0	0	0	0	0	Trave	61	61
21	0	53	I-I	12x16	Legno_isotropo	Legno_Tirante-Punto ne	0	7070	0	7	0	0	8	0	Trave	55	55
21	0	0	I-I	12x16	Legno_isotropo	Legno_Tirante-Punto ne	0	7070	0	7	0	0	7	0	Trave	55	55
21	0	0	I-I	12x16	Legno_isotropo	Legno_Tirante-Punto ne	0	7070	0	6	0	0	7	0	Trave	55	55
21	0	0	I-I	12x16	Legno_isotropo	Legno_Tirante-Punto ne	0	7070	0	6	0	0	6	0	Trave	55	55
21	0	0	I-I	12x16	Legno_isotropo	Legno_Tirante-Punto ne	0	7070	0	5	0	0	6	0	Trave	55	55
21	0	0	I-I	12x16	Legno_isotropo	Legno_Tirante-Punto ne	0	7070	0	5	0	0	5	0	Trave	55	55
21	0	0	I-I	12x16	Legno_isotropo	Legno_Tirante-Punto ne	0	7070	0	4	0	0	5	0	Trave	55	55
21	0	0	I-I	12x16	Legno_isotropo	Legno_Tirante-Punto ne	0	7070	0	4	0	0	4	0	Trave	55	55
21	0	0	I-I	12x16	Legno_isotropo	Legno_Tirante-Punto ne	0	7070	0	4	0	0	4	0	Trave	55	55
21	0	0	I-I	12x16	Legno_isotropo	Legno_Tirante-Punto ne	0	7070	0	3	0	0	4	0	Trave	55	55
21	0	0	I-I	12x16	Legno_isotropo	Legno_Tirante-Punto ne	0	7070	0	3	0	0	3	0	Trave	55	55
21	0	0	I-I	12x16	Legno_isotropo	Legno_Tirante-Punto ne	0	7070	0	2	0	0	3	0	Trave	55	55
21	0	0	I-I	12x16	Legno_isotropo	Legno_Tirante-Punto ne	0	7070	0	2	0	0	2	0	Trave	55	55
21	0	0	I-I	12x16	Legno_isotropo	Legno_Tirante-Punto ne	0	7070	0	1	0	0	2	0	Trave	55	55
21	0	0	I-I	12x16	Legno_isotropo	Legno_Tirante-Punto ne	0	7070	0	1	0	0	1	0	Trave	55	55
21	0	0	I-I	12x16	Legno_isotropo	Legno_Tirante-Punto ne	0	7070	0	0	0	0	1	0	Trave	55	55
21	0	0	I-I	12x16	Legno_isotropo	Legno_Tirante-Punto ne	0	8080	0	0	0	0	-0	0	Trave	490	490
21	52	0	I-I	12x16	Legno_isotropo	Legno_Tirante-Punto ne	0	7070	0	0	0	0	0	0	Trave	55	55
22	0	42	I-I	12x16	Legno_isotropo	Legno_Tirante-Punto ne	0	7070	0	7	0	0	8	0	Trave	51	51
22	0	0	I-I	12x16	Legno_isotropo	Legno_Tirante-Punto ne	0	7070	0	7	0	0	7	0	Trave	51	51
22	0	0	I-I	12x16	Legno_isotropo	Legno_Tirante-Punto ne	0	7070	0	6	0	0	7	0	Trave	51	51
22	0	0	I-I	12x16	Legno_isotropo	Legno_Tirante-Punto ne	0	7070	0	6	0	0	6	0	Trave	51	51
22	0	0	I-I	12x16	Legno_isotropo	Legno_Tirante-Punto ne	0	7070	0	5	0	0	6	0	Trave	51	51
22	0	0	I-I	12x16	Legno_isotropo	Legno_Tirante-Punto ne	0	7070	0	5	0	0	5	0	Trave	51	51
22	0	0	I-I	12x16	Legno_isotropo	Legno_Tirante-Punto ne	0	7070	0	4	0	0	5	0	Trave	51	51

	Ni	Nf	Vinc.	Sez.	Mat.	Crit.pr.	Rot.	f.f.	xi	yi	zi	xf	yf	zf	Tipo	L2	L3
					ropo	ante-Punto ne											
22	0	0	I-I	12x16	Legno_isotropo	Legno_Tir ante-Punto ne	0	7070	0	4	0	0	4	0	Trave	51	51
22	0	0	I-I	12x16	Legno_isotropo	Legno_Tir ante-Punto ne	0	7070	0	4	0	0	4	0	Trave	51	51
22	0	0	I-I	12x16	Legno_isotropo	Legno_Tir ante-Punto ne	0	7070	0	3	0	0	4	0	Trave	51	51
22	0	0	I-I	12x16	Legno_isotropo	Legno_Tir ante-Punto ne	0	7070	0	3	0	0	3	0	Trave	51	51
22	0	0	I-I	12x16	Legno_isotropo	Legno_Tir ante-Punto ne	0	7070	0	2	0	0	3	0	Trave	51	51
22	0	0	I-I	12x16	Legno_isotropo	Legno_Tir ante-Punto ne	0	7070	0	2	0	0	2	0	Trave	51	51
22	0	0	I-I	12x16	Legno_isotropo	Legno_Tir ante-Punto ne	0	7070	0	2	0	0	2	0	Trave	51	51
22	0	0	I-I	12x16	Legno_isotropo	Legno_Tir ante-Punto ne	0	7070	0	1	0	0	2	0	Trave	51	51
22	0	0	I-I	12x16	Legno_isotropo	Legno_Tir ante-Punto ne	0	7070	0	1	0	0	1	0	Trave	51	51
22	0	0	I-I	12x16	Legno_isotropo	Legno_Tir ante-Punto ne	0	7070	0	0	0	0	1	0	Trave	51	51
22	0	0	I-I	12x16	Legno_isotropo	Legno_Tir ante-Punto ne	0	8080	0	0	0	-0	0	0	Trave	490	490
22	55	0	I-I	12x16	Legno_isotropo	Legno_Tir ante-Punto ne	0	7070	0	0	0	0	0	0	Trave	51	51
23	0	60	I-I	12x16	Legno_isotropo	Legno_Tir ante-Punto ne	0	8080	0	0	0	0	0	0	Trave	53	53
23	0	0	I-I	12x16	Legno_isotropo	Legno_Tir ante-Punto ne	0	8080	0	0	0	0	0	0	Trave	53	53
23	0	0	I-I	12x16	Legno_isotropo	Legno_Tir ante-Punto ne	0	8080	0	0	0	0	0	0	Trave	53	53
23	0	0	I-I	12x16	Legno_isotropo	Legno_Tir ante-Punto ne	0	8080	0	0	0	0	0	0	Trave	53	53
23	0	0	I-I	12x16	Legno_isotropo	Legno_Tir ante-Punto ne	0	8080	0	0	0	0	0	0	Trave	53	53
23	0	0	I-I	12x16	Legno_isotropo	Legno_Tir ante-Punto ne	0	8080	0	0	0	0	0	0	Trave	53	53
23	0	0	I-I	12x16	Legno_isotropo	Legno_Tir ante-Punto ne	0	8080	0	0	0	0	0	0	Trave	53	53
23	0	0	I-I	12x16	Legno_isotropo	Legno_Tir ante-Punto ne	0	8080	0	0	0	0	0	0	Trave	53	53
23	0	0	I-I	12x16	Legno_isotropo	Legno_Tir ante-Punto ne	0	8080	0	0	0	0	0	0	Trave	53	53
23	0	0	I-I	12x16	Legno_isotropo	Legno_Tir ante-Punto ne	0	8080	0	0	0	0	0	0	Trave	53	53
23	0	0	I-I	12x16	Legno_isotropo	Legno_Tir ante-Punto ne	0	8080	0	0	0	0	0	0	Trave	53	53
23	0	0	I-I	12x16	Legno_isotropo	Legno_Tir ante-Punto ne	0	8080	0	0	0	0	0	0	Trave	47	47
23	0	0	I-I	12x16	Legno_isotropo	Legno_Tir ante-Punto ne	0	8080	0	0	0	0	0	0	Trave	47	47
23	0	0	I-I	12x16	Legno_isotropo	Legno_Tir ante-Punto ne	0	8080	0	0	0	0	0	0	Trave	47	47
23	0	0	I-I	12x16	Legno_isotropo	Legno_Tir ante-Punto ne	0	8080	0	0	0	0	0	0	Trave	47	47
23	0	0	I-I	12x16	Legno_isotropo	Legno_Tir ante-Punto ne	0	8080	0	0	0	0	0	0	Trave	47	47

	Ni	Nf	Vinc.	Sez.	Mat.	Crit.pr.	Rot.	f.f.	xi	yi	zi	xf	yf	zf	Tipo	L2	L3
23	0	0	I-I	12x16	Legno_isotropo	Legno_Tirante-Punto ne	0	8080	0	0	0	0	0	0	Trave	47	47
23	0	62	I-I	12x16	Legno_isotropo	Legno_Tirante-Punto ne	0	8080	0	0	0	0	0	0	Trave	490	490
23	60	0	I-I	12x16	Legno_isotropo	Legno_Tirante-Punto ne	0	8080	0	0	0	0	0	0	Trave	47	47
23	41	0	I-I	12x16	Legno_isotropo	Legno_Tirante-Punto ne	0	8080	0	0	0	0	0	0	Trave	53	53
24	0	60	I-I	12x16	Legno_isotropo	Legno_Tirante-Punto ne	0	8080	0	0	0	0	0	0	Trave	60	60
24	0	0	I-I	12x16	Legno_isotropo	Legno_Tirante-Punto ne	0	8080	0	0	0	0	0	0	Trave	60	60
24	0	0	I-I	12x16	Legno_isotropo	Legno_Tirante-Punto ne	0	8080	0	0	0	0	0	0	Trave	60	60
24	0	0	I-I	12x16	Legno_isotropo	Legno_Tirante-Punto ne	0	8080	0	0	0	0	0	0	Trave	60	60
24	0	0	I-I	12x16	Legno_isotropo	Legno_Tirante-Punto ne	0	8080	0	0	0	0	0	0	Trave	60	60
24	0	0	I-I	12x16	Legno_isotropo	Legno_Tirante-Punto ne	0	8080	0	0	0	0	0	0	Trave	60	60
24	0	0	I-I	12x16	Legno_isotropo	Legno_Tirante-Punto ne	0	8080	0	0	0	0	0	0	Trave	60	60
24	0	0	I-I	12x16	Legno_isotropo	Legno_Tirante-Punto ne	0	8080	0	0	0	0	0	0	Trave	58	58
24	0	0	I-I	12x16	Legno_isotropo	Legno_Tirante-Punto ne	0	8080	0	0	0	0	0	0	Trave	58	58
24	0	0	I-I	12x16	Legno_isotropo	Legno_Tirante-Punto ne	0	8080	0	0	0	0	0	0	Trave	58	58
24	0	0	I-I	12x16	Legno_isotropo	Legno_Tirante-Punto ne	0	8080	0	0	0	0	0	0	Trave	58	58
24	0	0	I-I	12x16	Legno_isotropo	Legno_Tirante-Punto ne	0	8080	0	0	0	0	0	0	Trave	63	63
24	0	0	I-I	12x16	Legno_isotropo	Legno_Tirante-Punto ne	0	8080	0	0	0	0	0	0	Trave	63	63
24	0	0	I-I	12x16	Legno_isotropo	Legno_Tirante-Punto ne	0	8080	0	0	0	0	0	0	Trave	63	63
24	0	0	I-I	12x16	Legno_isotropo	Legno_Tirante-Punto ne	0	8080	0	0	0	0	0	0	Trave	63	63
24	0	0	I-I	12x16	Legno_isotropo	Legno_Tirante-Punto ne	0	8080	0	0	0	0	0	0	Trave	63	63
24	0	0	I-I	12x16	Legno_isotropo	Legno_Tirante-Punto ne	0	8080	0	0	0	0	0	0	Trave	63	63
24	0	0	I-I	12x16	Legno_isotropo	Legno_Tirante-Punto ne	0	8080	0	0	0	0	0	0	Trave	63	63
24	0	0	I-I	12x16	Legno_isotropo	Legno_Tirante-Punto ne	0	8080	0	0	0	0	0	0	Trave	490	490
24	59	0	I-I	12x16	Legno_isotropo	Legno_Tirante-Punto ne	0	8080	0	0	0	0	0	0	Trave	60	60
24	58	0	I-I	12x16	Legno_isotropo	Legno_Tirante-Punto ne	0	8080	0	0	0	0	0	0	Trave	58	58

	Ni	Nf	Vinc.	Sez.	Mat.	Crit.pr.	Rot.	f.f.	xi	yi	zi	xf	yf	zf	Tipo	L2	L3
						ne											
24	47	0	I-I	12x16	Legno_isotropo	Legno_Tirante-Punto ne	0	8080	0	0	0	0	0	0	Trave	63	63
25	0	0	I-I	12x16	Legno_isotropo	Legno_Tirante-Punto ne	0	8080	0	0	0	0	0	0	Trave	490	490
25	0	56	I-I	12x16	Legno_isotropo	Legno_Tirante-Punto ne	0	7070	0	0	0	0	0	0	Trave	58	58
25	0	0	I-I	12x16	Legno_isotropo	Legno_Tirante-Punto ne	0	7070	0	0	0	0	0	0	Trave	58	58
25	0	0	I-I	12x16	Legno_isotropo	Legno_Tirante-Punto ne	0	7070	0	0	0	0	0	0	Trave	58	58
25	0	0	I-I	12x16	Legno_isotropo	Legno_Tirante-Punto ne	0	7070	0	0	0	0	0	0	Trave	58	58
25	0	0	I-I	12x16	Legno_isotropo	Legno_Tirante-Punto ne	0	7070	0	0	0	0	0	0	Trave	58	58
25	0	0	I-I	12x16	Legno_isotropo	Legno_Tirante-Punto ne	0	7070	0	0	0	0	0	0	Trave	58	58
25	0	62	I-I	12x16	Legno_isotropo	Legno_Tirante-Punto ne	0	7070	0	0	0	0	0	0	Trave	63	63
25	0	0	I-I	12x16	Legno_isotropo	Legno_Tirante-Punto ne	0	7070	0	0	0	0	0	0	Trave	63	63
25	0	0	I-I	12x16	Legno_isotropo	Legno_Tirante-Punto ne	0	7070	0	0	0	0	0	0	Trave	63	63
25	0	0	I-I	12x16	Legno_isotropo	Legno_Tirante-Punto ne	0	7070	0	0	0	0	0	0	Trave	63	63
25	0	0	I-I	12x16	Legno_isotropo	Legno_Tirante-Punto ne	0	7070	0	0	0	0	0	0	Trave	63	63
25	0	0	I-I	12x16	Legno_isotropo	Legno_Tirante-Punto ne	0	7070	0	0	0	0	0	0	Trave	63	63
25	0	0	I-I	12x16	Legno_isotropo	Legno_Tirante-Punto ne	0	7070	0	0	0	0	0	0	Trave	63	63
25	0	0	I-I	12x16	Legno_isotropo	Legno_Tirante-Punto ne	0	7070	0	0	0	0	0	0	Trave	63	63
25	62	0	I-I	12x16	Legno_isotropo	Legno_Tirante-Punto ne	0	7070	0	0	0	0	0	0	Trave	58	58
25	49	0	I-I	12x16	Legno_isotropo	Legno_Tirante-Punto ne	0	7070	0	0	0	0	0	0	Trave	63	63
26	0	0	I-I	12x16	Legno_isotropo	Legno_Tirante-Punto ne	0	8080	0	0	0	0	0	0	Trave	490	490
26	61	62	I-I	20x40	Legno_isotropo	Legno_Tirante-Punto ne	0	8080	0	0	0	0	0	0	Trave	440	440
26	58	61	I-I	20x40	Legno_isotropo	Legno_Tirante-Punto ne	0	8080	0	0	0	0	0	0	Trave	330	330
27	0	0	I-I	12x16	Legno_isotropo	Legno_Tirante-Punto ne	0	8080	0	0	0	0	-0	0	Trave	490	490
27	70	66	I-I	12x16	Legno_isotropo	Legno_Tirante-Punto ne	0	7070	0	0	0	0	0	0	Trave	630	630
28	0	0	I-I	12x16	Legno_isotropo	Legno_Tirante-Punto ne	0	8080	0	0	0	0	0	0	Trave	490	490
28	0	67	I-I	12x16	Legno_isotropo	Legno_Tirante-Punto ne	0	7070	0	0	0	0	0	0	Trave	52	52
28	0	0	I-I	12x16	Legno_isotropo	Legno_Tirante-Punto ne	0	7070	0	0	0	0	0	0	Trave	52	52
28	0	0	I-I	12x16	Legno_isotropo	Legno_Tirante-Punto ne	0	7070	0	0	0	0	0	0	Trave	52	52
28	0	0	I-I	12x16	Legno_isotropo	Legno_Tirante-Punto ne	0	7070	0	0	0	0	0	0	Trave	52	52
28	0	68	I-I	12x16	Legno_isotropo	Legno_Tirante-Punto ne	0	7070	0	0	0	0	0	0	Trave	55	55

	Ni	Nf	Vinc.	Sez.	Mat.	Crit.pr.	Rot.	f.f.	xi	yi	zi	xf	yf	zf	Tipo	L2	L3
30	0	0	I-I	12x16	Legno_isotropo	Legno_Tirante-Punto ne	0	7070	0	0	0	0	0	0	Trave	55	55
30	0	0	I-I	12x16	Legno_isotropo	Legno_Tirante-Punto ne	0	7070	0	0	0	0	0	0	Trave	55	55
30	0	0	I-I	12x16	Legno_isotropo	Legno_Tirante-Punto ne	0	7070	0	0	0	0	0	0	Trave	55	55
30	0	0	I-I	12x16	Legno_isotropo	Legno_Tirante-Punto ne	0	7070	0	0	0	0	0	0	Trave	55	55
30	0	0	I-I	12x16	Legno_isotropo	Legno_Tirante-Punto ne	0	7070	0	0	0	0	0	0	Trave	55	55
30	65	0	I-I	12x16	Legno_isotropo	Legno_Tirante-Punto ne	0	7070	0	0	0	0	0	0	Trave	52	52
30	64	0	I-I	12x16	Legno_isotropo	Legno_Tirante-Punto ne	0	7070	0	0	0	0	0	0	Trave	55	55
30	69	0	I-I	12x16	Legno_isotropo	Legno_Tirante-Punto ne	0	7070	0	0	0	0	0	0	Trave	55	55
31	0	0	I-I	12x16	Legno_isotropo	Legno_Tirante-Punto ne	0	8080	0	0	0	0	0	0	Trave	490	490
32	0	0	I-I	12x16	Legno_isotropo	Legno_Tirante-Punto ne	0	8080	0	0	0	0	0	0	Trave	490	490
33	0	0	I-I	12x16	Legno_isotropo	Legno_Tirante-Punto ne	0	8080	0	0	0	0	0	0	Trave	440	440
34	0	0	I-I	12x16	Legno_isotropo	Legno_Tirante-Punto ne	0	8080	0	0	0	0	0	0	Trave	440	440
35	0	0	I-I	12x16	Legno_isotropo	Legno_Tirante-Punto ne	0	8080	0	0	0	0	0	0	Trave	440	440
36	0	0	I-I	12x16	Legno_isotropo	Legno_Tirante-Punto ne	0	8080	0	0	0	0	0	0	Trave	440	440
37	0	0	I-I	12x16	Legno_isotropo	Legno_Tirante-Punto ne	0	8080	0	0	0	0	0	0	Trave	440	440
38	0	0	I-I	12x16	Legno_isotropo	Legno_Tirante-Punto ne	0	8080	0	0	0	0	0	0	Trave	440	440
39	0	0	I-I	12x16	Legno_isotropo	Legno_Tirante-Punto ne	0	8080	0	0	0	0	0	0	Trave	440	440
40	0	0	I-I	12x16	Legno_isotropo	Legno_Tirante-Punto ne	0	8080	0	-6	-0	0	0	0	Trave	440	440
41	0	0	I-I	12x16	Legno_isotropo	Legno_Tirante-Punto ne	0	8080	0	0	0	0	0	0	Trave	440	440
42	0	0	I-I	12x16	Legno_isotropo	Legno_Tirante-Punto ne	0	8080	0	0	0	0	0	0	Trave	440	440
43	0	0	I-I	12x16	Legno_isotropo	Legno_Tirante-Punto ne	0	8080	0	-0	-0	-0	-0	-0	Trave	440	440
44	0	0	I-I	12x16	Legno_isotropo	Legno_Tirante-Punto ne	0	8080	0	0	0	0	0	0	Trave	440	440
45	0	0	I-I	12x16	Legno_isotropo	Legno_Tirante-Punto ne	0	8080	0	0	0	0	0	0	Trave	440	440
46	0	0	I-I	12x16	Legno_isotropo	Legno_Tirante-Punto ne	0	8080	0	-0	-0	-0	-0	-0	Trave	440	440
47	0	0	I-I	12x16	Legno_isotropo	Legno_Tirante-Punto ne	0	8080	0	0	0	0	0	0	Trave	330	330
49	0	0	I-I	12x16	Legno_isotropo	Legno_Tirante-Punto ne	0	8080	0	0	0	0	0	0	Trave	330	330
51	0	0	I-I	12x16	Legno_isotropo	Legno_Tirante-Punto ne	0	8080	0	0	0	0	0	0	Trave	330	330
53	0	0	I-I	12x16	Legno_isotropo	Legno_Tirante-Punto ne	0	8080	0	0	0	0	0	0	Trave	330	330
55	0	0	I-I	12x16	Legno_isotropo	Legno_Tirante-Punto	0	8080	0	0	0	0	0	0	Trave	330	330

	Ni	Nf	Vinc.	Sez.	Mat.	Crit.pr.	Rot.	f.f.	xi	yi	zi	xf	yf	zf	Tipo	L2	L3
						ne											
57	0	0	I-I	12x16	Legno_isotropo	Legno_Tirante-Punto ne	0	8080	0	0	0	0	0	0	Trave	330	330
59	0	0	I-I	12x16	Legno_isotropo	Legno_Tirante-Punto ne	0	8080	0	0	0	0	0	0	Trave	330	330
61	0	0	I-I	12x16	Legno_isotropo	Legno_Tirante-Punto ne	0	8080	0	0	0	0	0	0	Trave	330	330
63	0	0	I-I	12x16	Legno_isotropo	Legno_Tirante-Punto ne	0	8080	0	0	0	0	0	0	Trave	330	330
65	0	0	I-I	12x16	Legno_isotropo	Legno_Tirante-Punto ne	0	8080	0	0	0	-0	0	0	Trave	330	330
66	0	0	I-I	12x16	Legno_isotropo	Legno_Tirante-Punto ne	0	8080	0	0	0	0	0	0	Trave	260	260
67	0	0	I-I	12x16	Legno_isotropo	Legno_Tirante-Punto ne	0	8080	0	-0	-0	0	-0	-0	Trave	330	330
68	0	0	I-I	12x16	Legno_isotropo	Legno_Tirante-Punto ne	0	8080	0	-0	0	-0	-0	0	Trave	260	260
69	0	0	I-I	12x16	Legno_isotropo	Legno_Tirante-Punto ne	0	8080	0	0	0	0	0	0	Trave	330	330
70	0	0	I-I	12x16	Legno_isotropo	Legno_Tirante-Punto ne	0	8080	0	0	0	0	0	0	Trave	260	260
71	0	0	I-I	12x16	Legno_isotropo	Legno_Tirante-Punto ne	0	8080	0	0	0	-0	0	0	Trave	330	330
72	0	0	I-I	12x16	Legno_isotropo	Legno_Tirante-Punto ne	0	8080	0	0	0	-0	0	0	Trave	260	260
73	0	0	I-I	12x16	Legno_isotropo	Legno_Tirante-Punto ne	0	8080	0	-0	-0	0	-0	-0	Trave	330	330
74	0	0	I-I	12x16	Legno_isotropo	Legno_Tirante-Punto ne	0	8080	0	-0	0	-0	-0	0	Trave	260	260
75	57	59	I-I	12x16	Legno_isotropo	Legno_Tirante-Punto ne	0	8080	0	0	0	0	0	0	Trave	330	330
76	0	0	I-I	12x16	Legno_isotropo	Legno_Tirante-Punto ne	0	8080	0	0	0	0	0	-0	Trave	330	330
77	0	0	I-I	12x16	Legno_isotropo	Legno_Tirante-Punto ne	0	8080	0	0	0	0	0	0	Trave	330	330
78	0	0	I-I	12x16	Legno_isotropo	Legno_Tirante-Punto ne	0	8080	0	0	0	0	0	0	Trave	330	330
79	0	0	I-I	12x16	Legno_isotropo	Legno_Tirante-Punto ne	0	8080	0	0	0	0	0	0	Trave	330	330
80	53	0	I-I	12x16	Legno_isotropo	Legno_Tirante-Punto ne	0	8080	0	-7	0	0	0	0	Trave	330	330
81	0	0	I-I	12x16	Legno_isotropo	Legno_Tirante-Punto ne	0	8080	0	0	0	0	0	0	Trave	330	330
82	0	0	I-I	12x16	Legno_isotropo	Legno_Tirante-Punto ne	0	8080	0	0	0	0	0	0	Trave	330	330
83	0	0	I-I	12x16	Legno_isotropo	Legno_Tirante-Punto ne	0	8080	0	0	0	0	0	0	Trave	330	330
84	0	0	I-I	12x16	Legno_isotropo	Legno_Tirante-Punto ne	0	8080	0	-0	0	0	0	0	Trave	310	310
85	0	0	I-I	12x16	Legno_isotropo	Legno_Tirante-Punto ne	0	8080	0	0	0	-0	-0	0	Trave	310	310
86	0	0	I-I	12x16	Legno_isotropo	Legno_Tirante-Punto ne	0	8080	0	0	0	0	0	0	Trave	310	310
87	0	0	I-I	12x16	Legno_isotropo	Legno_Tirante-Punto ne	0	8080	0	-0	0	-0	-0	0	Trave	310	310
88	0	0	I-I	12x16	Legno_isotropo	Legno_Tirante-Punto ne	0	8080	0	0	0	-0	-0	0	Trave	310	310
89	0	0	I-I	12x16	Legno_isotropo	Legno_Tir	0	8080	0	0	0	-0	-0	0	Trave	310	310

	Ni	Nf	Vinc.	Sez.	Mat.	Crit.pr.	Rot.	f.f.	xi	yi	zi	xf	yf	zf	Tipo	L2	L3
					ropo	ante-Punto ne											
90	0	0	I-I	12x16	Legno_isotropo	Legno_Tir ante-Punto ne	0	8080	0	-0	0	0	0	0	Trave	310	310
91	0	0	I-I	12x16	Legno_isotropo	Legno_Tir ante-Punto ne	0	8080	0	0	0	-0	-0	0	Trave	310	310
92	56	0	I-I	12x16	Legno_isotropo	Legno_Tir ante-Punto ne	0	8080	0	0	0	0	0	0	Trave	310	310
93	0	0	I-I	12x16	Legno_isotropo	Legno_Tir ante-Punto ne	0	8080	0	-0	0	0	0	0	Trave	310	310
94	0	0	I-I	12x16	Legno_isotropo	Legno_Tir ante-Punto ne	0	8080	0	-0	0	0	0	0	Trave	310	310
95	0	0	I-I	12x16	Legno_isotropo	Legno_Tir ante-Punto ne	0	8080	0	-0	0	0	0	0	Trave	310	310
96	0	0	I-I	12x16	Legno_isotropo	Legno_Tir ante-Punto ne	0	8080	0	-0	0	0	0	-0	Trave	310	310
97	0	0	I-I	12x16	Legno_isotropo	Legno_Tir ante-Punto ne	0	8080	0	0	-0	0	0	-0	Trave	310	310
98	0	0	I-I	12x16	Legno_isotropo	Legno_Tir ante-Punto ne	0	8080	0	0	-0	0	0	-0	Trave	310	310
99	0	0	I-I	12x16	Legno_isotropo	Legno_Tir ante-Punto ne	0	8080	0	0	0	0	0	-0	Trave	310	310
100	0	0	I-I	12x16	Legno_isotropo	Legno_Tir ante-Punto ne	0	8080	0	0	0	0	0	0	Trave	530	530
101	0	0	I-I	12x16	Legno_isotropo	Legno_Tir ante-Punto ne	0	8080	1	-0	0	-0	-0	0	Trave	530	530
102	0	0	I-I	12x16	Legno_isotropo	Legno_Tir ante-Punto ne	0	8080	0	-0	0	0	0	0	Trave	530	530
103	0	0	I-I	12x16	Legno_isotropo	Legno_Tir ante-Punto ne	0	8080	0	0	0	-0	-0	0	Trave	530	530
104	0	0	I-I	12x16	Legno_isotropo	Legno_Tir ante-Punto ne	0	8080	0	0	0	0	0	0	Trave	530	530
105	0	0	I-I	12x16	Legno_isotropo	Legno_Tir ante-Punto ne	0	8080	0	0	0	-0	-0	0	Trave	530	530
106	0	60	I-I	12x16	Legno_isotropo	Legno_Tir ante-Punto ne	0	8080	0	0	0	-0	0	0	Trave	531	531
107	0	0	I-I	12x16	Legno_isotropo	Legno_Tir ante-Punto ne	0	8080	0	0	0	0	0	0	Trave	530	530
108	0	0	I-I	12x16	Legno_isotropo	Legno_Tir ante-Punto ne	0	8080	0	-0	0	-0	-0	-0	Trave	530	530
109	0	0	I-I	12x16	Legno_isotropo	Legno_Tir ante-Punto ne	0	8080	0	0	0	0	0	0	Trave	530	530
110	0	0	I-I	12x16	Legno_isotropo	Legno_Tir ante-Punto ne	0	8080	0	-0	0	-0	-0	0	Trave	530	530
111	0	0	I-I	12x16	Legno_isotropo	Legno_Tir ante-Punto ne	0	8080	0	0	0	0	0	0	Trave	530	530
112	0	0	I-I	12x16	Legno_isotropo	Legno_Tir ante-Punto ne	0	8080	0	0	0	0	0	0	Trave	530	530
113	0	0	I-I	12x16	Legno_isotropo	Legno_Tir ante-Punto ne	0	8080	0	-0	0	0	0	0	Trave	530	530
114	0	0	I-I	12x16	Legno_isotropo	Legno_Tir ante-Punto ne	0	8080	0	-0	0	-0	0	0	Trave	530	530
115	0	0	I-I	12x16	Legno_isotropo	Legno_Tir ante-Punto ne	0	8080	0	-0	0	0	0	0	Trave	530	530
116	0	0	I-I	12x16	Legno_isotropo	Legno_Tir ante-Punto ne	0	8080	0	0	0	0	0	0	Trave	530	530
117	0	0	I-I	12x16	Legno_isotropo	Legno_Tir ante-Punto ne	0	8080	0	0	0	-0	0	0	Trave	530	530

	Ni	Nf	Vinc.	Sez.	Mat.	Crit.pr.	Rot.	f.f.	xi	yi	zi	xf	yf	zf	Tipo	L2	L3
118	1	0	I-I	12x16	Legno_isotropo	Legno_Tirante-Punto ne	0	8080	0	0	0	0	0	0	Trave	530	530
119	0	0	I-I	12x16	Legno_isotropo	Legno_Tirante-Punto ne	0	8080	0	0	0	-0	0	0	Trave	540	540
120	0	0	I-I	12x16	Legno_isotropo	Legno_Tirante-Punto ne	0	8080	0	0	0	0	0	0	Trave	540	540
121	0	0	I-I	12x16	Legno_isotropo	Legno_Tirante-Punto ne	0	8080	0	0	0	0	0	0	Trave	540	540
122	0	44	I-I	12x16	Legno_isotropo	Legno_Tirante-Punto ne	0	8080	0	0	0	0	-0	0	Trave	540	540
123	0	0	I-I	12x16	Legno_isotropo	Legno_Tirante-Punto ne	0	8080	0	0	0	-0	-0	0	Trave	540	540
124	0	0	I-I	12x16	Legno_isotropo	Legno_Tirante-Punto ne	0	8080	0	0	0	0	0	0	Trave	540	540
125	0	0	I-I	12x16	Legno_isotropo	Legno_Tirante-Punto ne	0	8080	0	0	0	-0	-0	0	Trave	540	540
126	0	0	I-I	12x16	Legno_isotropo	Legno_Tirante-Punto ne	0	8080	0	0	0	0	0	0	Trave	540	540
127	0	0	I-I	12x16	Legno_isotropo	Legno_Tirante-Punto ne	0	8080	0	0	0	-0	-0	0	Trave	540	540
128	0	0	I-I	12x16	Legno_isotropo	Legno_Tirante-Punto ne	0	8080	0	0	0	0	0	0	Trave	540	540
6	0	0	I-I	10x12	Legno_isotropo	Legno_Tirante-Punto ne	0	8080	0	0	0	0	0	-0	Trave	195	195
7	0	0	I-I	10x12	Legno_isotropo	Legno_Tirante-Punto ne	0	8080	0	0	0	0	0	-0	Trave	190	190
8	0	0	I-I	10x12	Legno_isotropo	Legno_Tirante-Punto ne	0	8080	0	0	0	-0	0	-0	Trave	186	186
9	47	0	I-I	10x12	Legno_isotropo	Legno_Tirante-Punto ne	0	8080	0	0	0	0	0	0	Trave	181	181
10	0	0	I-I	10x12	Legno_isotropo	Legno_Tirante-Punto ne	0	8080	0	0	0	-0	0	-0	Trave	176	176
11	0	0	I-I	10x12	Legno_isotropo	Legno_Tirante-Punto ne	0	8080	0	-0	0	-0	0	-0	Trave	171	171
12	0	0	I-I	10x12	Legno_isotropo	Legno_Tirante-Punto ne	0	8080	0	-0	0	0	0	0	Trave	165	165
13	0	0	I-I	10x12	Legno_isotropo	Legno_Tirante-Punto ne	0	8080	0	0	0	0	0	0	Trave	160	160
14	0	0	I-I	10x12	Legno_isotropo	Legno_Tirante-Punto ne	0	8080	0	0	0	0	0	0	Trave	155	155

Aste - Carichi

Descrizione carichi aste

UnifG

Uniforme globale

UnifL

Uniforme locale

VarG

Variabile lineare globale

VarL

Variabile lineare locale

PolG

Polygonale globale

Termico

Distorsione termica

Torcente

Carico torcente

Precomp.

Carico da precompressione

Poll

Polygonale locale

Sezione	Ni	Nf	Cond.	Tipo c.	Xi	QXi	QYi	QZi	Xf	QXf	QYf	QZf
---------	----	----	-------	---------	----	-----	-----	-----	----	-----	-----	-----

Sezione	Ni	Nf	Cond.	Tipo c.	Xi	QXi	QYi	QZi	Xf	QXf	QYf	QZf
					cm	car. dist. kg/m			cm	car. dist. kg/m		
Pilastro 1												
14x14	230	146	Peso Proprio	UnifG	0	0	0	14	381	0	0	14
Pilastro 2												
14x14	130	246	Peso Proprio	UnifG	0	0	0	14	387	0	0	14
Trave 1												
12x16	0	0	Peso Proprio	UnifG	0	0	0	13	630	0	0	13
12x16	0	0	QP Solai	PolG	0	0	0	154	630	0	0	154
12x16	0	0	QFissi Solai	PolG	0	0	0	66	630	0	0	66
12x16	0	0	QV Solai	PolG	0	0	0	83	630	0	0	83
Trave 2												
12x16	0	0	Peso Proprio	UnifG	0	0	0	13	630	0	0	13
12x16	0	0	QP Solai	PolG	0	0	0	154	630	0	0	154
12x16	0	0	QFissi Solai	PolG	0	0	0	66	630	0	0	66
12x16	0	0	QV Solai	PolG	0	0	0	83	630	0	0	83
Trave 3												
12x16	0	0	Peso Proprio	UnifG	0	0	0	13	630	0	0	13
12x16	0	0	QP Solai	PolG	0	0	0	154	630	0	0	154
12x16	0	0	QFissi Solai	PolG	0	0	0	66	630	0	0	66
12x16	0	0	QV Solai	PolG	0	0	0	83	630	0	0	83
14x14	46	146	Peso Proprio	UnifG	0	0	0	14	200	0	0	14
Trave 4												
14x14	0	246	Peso Proprio	UnifG	0	0	0	14	60	0	0	14
14x14	0	0	Peso Proprio	UnifG	0	0	0	14	60	0	0	14
14x14	0	0	Peso Proprio	UnifG	0	0	0	14	60	0	0	14
14x14	0	0	Peso Proprio	UnifG	0	0	0	14	60	0	0	14
14x14	0	0	Peso Proprio	UnifG	0	0	0	14	60	0	0	14
14x14	0	0	Peso Proprio	UnifG	0	0	0	14	60	0	0	14
12x16	0	0	Peso Proprio	UnifG	0	0	0	13	630	0	0	13
14x14	0	0	Peso Proprio	UnifG	0	0	0	14	60	0	0	14
14x14	0	0	Peso Proprio	UnifG	0	0	0	14	60	0	0	14
14x14	0	0	Peso Proprio	UnifG	0	0	0	14	60	0	0	14
12x16	0	0	QP Solai	PolG	0	0	0	154	630	0	0	154
12x16	0	0	QFissi Solai	PolG	0	0	0	66	630	0	0	66
12x16	0	0	QV Solai	PolG	0	0	0	83	630	0	0	83
14x14	146	0	Peso Proprio	UnifG	0	0	0	14	60	0	0	14
Trave 5												
12x16	0	0	Peso Proprio	UnifG	0	0	0	13	630	0	0	13
12x16	0	0	QP Solai	PolG	0	0	0	154	630	0	0	154
12x16	0	0	QFissi Solai	PolG	0	0	0	66	630	0	0	66
12x16	0	0	QV Solai	PolG	0	0	0	83	630	0	0	83
20x20	35	36	Peso Proprio	UnifG	0	0	0	225	980	0	0	225
20x20	35	36	QP Solai	PolG	30	0	0	569	965	0	0	569
20x20	35	36	QFissi Solai	PolG	0	0	0	588	980	0	0	588
20x20	35	36	QV Solai	PolG	0	0	0	588	980	0	0	588
20x20	35	36	QV SolaiPsi0	PolG	0	0	0	412	980	0	0	412
20x20	35	36	QV SolaiPsi1	PolG	0	0	0	412	980	0	0	412
20x20	35	36	QV SolaiPsi2	PolG	0	0	0	353	980	0	0	353
20x20	36	37	Peso Proprio	UnifG	0	0	0	225	310	0	0	225
20x20	36	37	QP Solai	PolG	15	0	0	283	280	0	0	283
20x20	36	37	QFissi Solai	PolG	0	0	0	279	310	0	0	279
20x20	36	37	QV Solai	PolG	0	0	0	279	310	0	0	279
20x20	36	37	QV SolaiPsi0	PolG	0	0	0	195	310	0	0	195
20x20	36	37	QV SolaiPsi1	PolG	0	0	0	195	310	0	0	195
20x20	36	37	QV SolaiPsi2	PolG	0	0	0	167	310	0	0	167
14x14	246	48	Peso Proprio	UnifG	0	0	0	14	150	0	0	14
Trave 6												
10x12	0	0	Peso Proprio	UnifG	0	0	0	8	195	0	0	8
12x16	0	0	Peso Proprio	UnifG	0	0	0	13	630	0	0	13
12x16	0	0	QP Solai	PolG	0	0	0	154	630	0	0	154
12x16	0	0	QFissi Solai	PolG	0	0	0	66	630	0	0	66
12x16	0	0	QV Solai	PolG	0	0	0	83	630	0	0	83
Trave 7												
12x16	0	0	Peso Proprio	UnifG	0	0	0	13	630	0	0	13
10x12	0	0	Peso Proprio	UnifG	0	0	0	8	190	0	0	8

Sezione	Ni	Nf	Cond.	Tipo c.	Xi	QXi	QYi	QZi	Xf	QXf	QYf	QZf
12x16	0	0	QP Solai	PolG	0	0	0	154	630	0	0	154
12x16	0	0	QFissi Solai	PolG	0	0	0	66	630	0	0	66
12x16	0	0	QV Solai	PolG	0	0	0	83	630	0	0	83
Trave 8												
10x12	0	0	Peso Proprio	UnifG	0	0	0	8	186	0	0	8
12x16	64	68	Peso Proprio	UnifG	0	0	0	13	630	0	0	13
12x16	64	68	QP Solai	PolG	0	0	0	154	630	0	0	154
12x16	64	68	QFissi Solai	PolG	0	0	0	66	630	0	0	66
12x16	64	68	QV Solai	PolG	0	0	0	83	630	0	0	83
Trave 9												
12x16	0	0	Peso Proprio	UnifG	0	0	0	13	630	0	0	13
12x16	0	0	QP Solai	PolG	0	0	0	154	630	0	0	154
12x16	0	0	QFissi Solai	PolG	0	0	0	66	630	0	0	66
12x16	0	0	QV Solai	PolG	0	0	0	83	630	0	0	83
10x12	47	0	Peso Proprio	UnifG	0	0	0	8	181	0	0	8
Trave 10												
12x16	0	0	Peso Proprio	UnifG	0	0	0	13	630	0	0	13
10x12	0	0	Peso Proprio	UnifG	0	0	0	8	176	0	0	8
12x16	0	0	QP Solai	PolG	0	0	0	154	630	0	0	154
12x16	0	0	QFissi Solai	PolG	0	0	0	66	630	0	0	66
12x16	0	0	QV Solai	PolG	0	0	0	83	630	0	0	83
Trave 11												
12x16	0	0	Peso Proprio	UnifG	0	0	0	13	630	0	0	13
10x12	0	0	Peso Proprio	UnifG	0	0	0	8	171	0	0	8
12x16	0	0	QP Solai	PolG	0	0	0	154	630	0	0	154
12x16	0	0	QFissi Solai	PolG	0	0	0	66	630	0	0	66
12x16	0	0	QV Solai	PolG	0	0	0	83	630	0	0	83
Trave 12												
10x12	0	0	Peso Proprio	UnifG	0	0	0	8	165	0	0	8
12x16	0	0	Peso Proprio	UnifG	0	0	0	13	630	0	0	13
12x16	0	0	QP Solai	PolG	0	0	0	154	630	0	0	154
12x16	0	0	QFissi Solai	PolG	0	0	0	66	630	0	0	66
12x16	0	0	QV Solai	PolG	0	0	0	83	630	0	0	83
Trave 13												
10x12	0	0	Peso Proprio	UnifG	0	0	0	8	160	0	0	8
12x16	0	0	Peso Proprio	UnifG	0	0	0	13	630	0	0	13
12x16	0	0	QP Solai	PolG	0	0	0	227	630	0	0	227
12x16	0	0	QFissi Solai	PolG	0	0	0	97	630	0	0	97
12x16	0	0	QV Solai	PolG	0	0	0	122	630	0	0	122
Trave 14												
20x40	0	0	Peso Proprio	UnifG	0	0	0	56	54	0	0	56
20x40	0	0	Peso Proprio	UnifG	0	0	0	56	54	0	0	56
12x16	0	0	Peso Proprio	UnifG	0	0	0	13	630	0	0	13
10x12	0	0	Peso Proprio	UnifG	0	0	0	8	155	0	0	8
20x40	0	0	Peso Proprio	UnifG	0	0	0	56	54	0	0	56
20x40	0	0	Peso Proprio	UnifG	0	0	0	56	54	0	0	56
20x40	0	0	Peso Proprio	UnifG	0	0	0	56	54	0	0	56
20x40	0	0	Peso Proprio	UnifG	0	0	0	56	54	0	0	56
20x40	0	51	Peso Proprio	UnifG	0	0	0	56	54	0	0	56
20x40	0	0	Peso Proprio	UnifG	0	0	0	56	55	0	0	56
20x40	0	0	Peso Proprio	UnifG	0	0	0	56	55	0	0	56
20x40	0	0	Peso Proprio	UnifG	0	0	0	56	55	0	0	56
20x40	0	0	Peso Proprio	UnifG	0	0	0	56	55	0	0	56
20x40	0	0	Peso Proprio	UnifG	0	0	0	56	55	0	0	56
20x40	0	0	Peso Proprio	UnifG	0	0	0	56	55	0	0	56
20x40	0	0	Peso Proprio	UnifG	0	0	0	56	55	0	0	56
20x40	0	0	Peso Proprio	UnifG	0	0	0	56	55	0	0	56
20x40	0	0	QP Solai	PolG	0	0	0	82	55	0	0	82
20x40	0	0	QP Solai	PolG	0	0	0	82	55	0	0	82
20x40	0	0	QP Solai	PolG	0	0	0	83	54	0	0	84
20x40	0	0	QP Solai	PolG	0	0	0	83	54	0	0	83
20x40	0	0	QP Solai	PolG	0	0	0	83	54	0	0	83
20x40	0	0	QP Solai	PolG	0	0	0	82	54	0	0	83
20x40	0	0	QP Solai	PolG	0	0	0	84	54	0	0	85
12x16	0	0	QP Solai	PolG	0	0	0	223	630	0	0	223
20x40	0	56	QP Solai	PolG	0	0	0	82	55	0	0	82

Sezione	Ni	Nf	Cond.	Tipo c.	Xi	QXi	QYi	QZi	Xf	QXf	QYf	QZf
20x40	0	0	QP Solai	PolG	0	0	0	82	55	0	0	82
20x40	0	0	QP Solai	PolG	0	0	0	82	55	0	0	82
20x40	0	0	QP Solai	PolG	0	0	0	82	55	0	0	82
20x40	0	0	QP Solai	PolG	0	0	0	82	55	0	0	82
20x40	0	51	QP Solai	PolG	0	0	0	85	54	0	0	86
20x40	0	0	QP Solai	PolG	0	0	0	85	54	0	0	85
20x40	0	0	QP Solai	PolG	0	0	0	84	54	0	0	84
20x40	0	0	QFissi Solai	PolG	0	0	0	35	55	0	0	35
20x40	0	0	QFissi Solai	PolG	0	0	0	36	54	0	0	36
20x40	0	0	QFissi Solai	PolG	0	0	0	35	55	0	0	35
20x40	0	0	QFissi Solai	PolG	0	0	0	35	55	0	0	35
20x40	0	0	QFissi Solai	PolG	0	0	0	36	54	0	0	36
20x40	0	0	QFissi Solai	PolG	0	0	0	35	55	0	0	35
20x40	0	0	QFissi Solai	PolG	0	0	0	36	54	0	0	36
20x40	0	0	QFissi Solai	PolG	0	0	0	36	54	0	0	36
20x40	0	0	QFissi Solai	PolG	0	0	0	37	54	0	0	37
20x40	0	0	QFissi Solai	PolG	0	0	0	35	55	0	0	35
20x40	0	0	QFissi Solai	PolG	0	0	0	35	55	0	0	35
12x16	0	0	QFissi Solai	PolG	0	0	0	95	630	0	0	95
20x40	0	56	QFissi Solai	PolG	0	0	0	35	55	0	0	35
20x40	0	0	QFissi Solai	PolG	0	0	0	35	54	0	0	36
20x40	0	0	QFissi Solai	PolG	0	0	0	35	54	0	0	35
20x40	0	51	QV Solai	PolG	0	0	0	46	54	0	0	46
20x40	0	56	QV Solai	PolG	0	0	0	44	55	0	0	44
20x40	0	0	QV Solai	PolG	0	0	0	44	55	0	0	44
20x40	0	0	QV Solai	PolG	0	0	0	44	55	0	0	44
20x40	0	0	QV Solai	PolG	0	0	0	44	55	0	0	44
20x40	0	0	QV Solai	PolG	0	0	0	44	55	0	0	44
20x40	0	0	QV Solai	PolG	0	0	0	44	55	0	0	44
20x40	0	0	QV Solai	PolG	0	0	0	44	55	0	0	44
20x40	0	0	QV Solai	PolG	0	0	0	44	55	0	0	44
20x40	0	0	QV Solai	PolG	0	0	0	44	54	0	0	44
20x40	0	0	QV Solai	PolG	0	0	0	44	54	0	0	44
12x16	0	0	QV Solai	PolG	0	0	0	119	630	0	0	119
20x40	0	0	QV Solai	PolG	0	0	0	44	54	0	0	45
20x40	0	0	QV Solai	PolG	0	0	0	45	54	0	0	45
20x40	0	0	QV Solai	PolG	0	0	0	45	54	0	0	46
20x40	0	0	QV Solai	PolG	0	0	0	45	54	0	0	45
20x40	0	0	QV Solai	PolG	0	0	0	45	54	0	0	45
20x40	56	0	Peso Proprio	UnifG	0	0	0	56	54	0	0	56
20x40	56	0	QP Solai	PolG	0	0	0	82	54	0	0	82
20x40	56	0	QFissi Solai	PolG	0	0	0	35	54	0	0	35
20x40	56	0	QV Solai	PolG	0	0	0	44	54	0	0	44
20x40	57	0	Peso Proprio	UnifG	0	0	0	56	55	0	0	56
20x40	57	0	QP Solai	PolG	0	0	0	82	55	0	0	82
20x40	57	0	QFissi Solai	PolG	0	0	0	35	55	0	0	35
20x40	57	0	QV Solai	PolG	0	0	0	44	55	0	0	44

Trave 15

12x16	0	0	Peso Proprio	UnifG	0	0	0	13	63	0	0	13
12x16	0	0	Peso Proprio	UnifG	0	0	0	13	630	0	0	13
12x16	0	0	Peso Proprio	UnifG	0	0	0	13	63	0	0	13
12x16	0	0	Peso Proprio	UnifG	0	0	0	13	63	0	0	13
12x16	0	54	Peso Proprio	UnifG	0	0	0	13	57	0	0	13
20x40	0	0	Peso Proprio	UnifG	0	0	0	56	62	0	0	56
20x40	0	0	Peso Proprio	UnifG	0	0	0	56	62	0	0	56
20x40	0	0	Peso Proprio	UnifG	0	0	0	56	62	0	0	56
20x40	0	53	Peso Proprio	UnifG	0	0	0	56	62	0	0	56
12x16	0	0	Peso Proprio	UnifG	0	0	0	13	63	0	0	13
12x16	0	0	Peso Proprio	UnifG	0	0	0	13	63	0	0	13
12x16	0	0	Peso Proprio	UnifG	0	0	0	13	57	0	0	13
12x16	0	0	Peso Proprio	UnifG	0	0	0	13	63	0	0	13
12x16	0	0	Peso Proprio	UnifG	0	0	0	13	58	0	0	13
12x16	0	0	Peso Proprio	UnifG	0	0	0	13	58	0	0	13
12x16	0	0	Peso Proprio	UnifG	0	0	0	13	58	0	0	13
12x16	0	0	Peso Proprio	UnifG	0	0	0	13	58	0	0	13
12x16	0	57	Peso Proprio	UnifG	0	0	0	13	58	0	0	13

Sezione	Ni	Nf	Cond.	Tipo c.	Xi	QXi	QYi	QZi	Xf	QXf	QYf	QZf
12x16	0	0	QV SolaiPsi2	PolG	0	0	0	139	63	0	0	139
12x16	0	61	QV SolaiPsi2	PolG	0	0	0	139	63	0	0	139
12x16	0	0	QV SolaiPsi2	PolG	0	0	0	139	63	0	0	139
12x16	0	0	QV SolaiPsi2	PolG	0	0	0	139	63	0	0	139
12x16	0	0	QV SolaiPsi2	PolG	0	0	0	139	63	0	0	139
12x16	0	0	QV SolaiPsi2	PolG	0	0	0	139	63	0	0	139
12x16	0	0	QV SolaiPsi2	PolG	0	0	0	139	63	0	0	139
12x16	0	0	QV SolaiPsi2	PolG	0	0	0	139	63	0	0	139
12x16	0	0	QV SolaiPsi2	PolG	0	0	0	139	63	0	0	139
12x16	48	0	Peso Proprio	UnifG	0	0	0	13	63	0	0	13
12x16	48	0	QP Solai	PolG	12	0	0	237	57	0	0	237
12x16	48	0	QFissi Solai	PolG	0	0	0	231	63	0	0	231
12x16	48	0	QV Solai	PolG	0	0	0	231	63	0	0	231
12x16	48	0	QV SolaiPsi0	PolG	0	0	0	162	63	0	0	162
12x16	48	0	QV SolaiPsi1	PolG	0	0	0	162	63	0	0	162
12x16	48	0	QV SolaiPsi2	PolG	0	0	0	139	63	0	0	139
12x16	53	0	Peso Proprio	UnifG	0	0	0	13	57	0	0	13
12x16	54	55	Peso Proprio	UnifG	0	0	0	13	530	0	0	13
12x16	54	55	QP Solai	PolG	0	0	0	66	530	0	0	71
12x16	54	55	QFissi Solai	PolG	0	0	0	28	530	0	0	30
12x16	54	55	QV Solai	PolG	0	0	0	35	530	0	0	38
20x40	57	0	Peso Proprio	UnifG	0	0	0	56	62	0	0	56
20x40	57	0	QP Solai	PolG	0	0	0	77	62	0	0	77
20x40	57	0	QFissi Solai	PolG	0	0	0	33	62	0	0	33
20x40	57	0	QV Solai	PolG	0	0	0	41	62	0	0	41
12x16	61	0	Peso Proprio	UnifG	0	0	0	13	58	0	0	13
Trave 16												
20x40	0	59	Peso Proprio	UnifG	0	0	0	56	52	0	0	56
12x16	0	0	Peso Proprio	UnifG	0	0	0	13	53	0	0	13
12x16	0	44	Peso Proprio	UnifG	0	0	0	13	53	0	0	13
20x40	0	0	Peso Proprio	UnifG	0	0	0	56	52	0	0	56
12x16	0	0	Peso Proprio	UnifG	0	0	0	13	53	0	0	13
12x16	0	0	Peso Proprio	UnifG	0	0	0	13	53	0	0	13
12x16	0	0	Peso Proprio	UnifG	0	0	0	13	53	0	0	13
12x16	0	0	Peso Proprio	UnifG	0	0	0	13	53	0	0	13
12x16	0	0	Peso Proprio	UnifG	0	0	0	13	630	0	0	13
20x40	0	0	Peso Proprio	UnifG	0	0	0	56	52	0	0	56
12x16	0	0	Peso Proprio	UnifG	0	0	0	13	53	0	0	13
20x40	0	0	Peso Proprio	UnifG	0	0	0	56	52	0	0	56
12x16	0	0	QP Solai	PolG	0	0	0	146	630	0	0	146
12x16	0	0	QFissi Solai	PolG	0	0	0	62	630	0	0	62
12x16	0	0	QV Solai	PolG	0	0	0	78	630	0	0	78
12x16	43	0	Peso Proprio	UnifG	0	0	0	13	53	0	0	13
20x40	44	0	Peso Proprio	UnifG	0	0	0	56	52	0	0	56
Trave 17												
12x16	0	0	Peso Proprio	UnifG	0	0	0	13	630	0	0	13
12x16	0	0	QP Solai	PolG	0	0	0	146	630	0	0	146
12x16	0	0	QFissi Solai	PolG	0	0	0	62	630	0	0	62
12x16	0	0	QV Solai	PolG	0	0	0	78	630	0	0	78
12x16	41	43	Peso Proprio	UnifG	0	0	0	13	540	0	0	13
12x16	41	43	QP Solai	PolG	0	0	0	74	540	0	0	74
12x16	41	43	QFissi Solai	PolG	0	0	0	32	540	0	0	32
12x16	41	43	QV Solai	PolG	0	0	0	39	540	0	0	40
12x16	42	41	Peso Proprio	UnifG	0	0	0	13	530	0	0	13
12x16	42	41	QP Solai	PolG	0	0	0	71	530	0	0	74
12x16	42	41	QFissi Solai	PolG	0	0	0	30	530	0	0	32
12x16	42	41	QV Solai	PolG	0	0	0	38	530	0	0	39
Trave 18												
12x16	0	45	Peso Proprio	UnifG	0	0	0	13	58	0	0	13
12x16	0	0	Peso Proprio	UnifG	0	0	0	13	58	0	0	13
12x16	0	0	Peso Proprio	UnifG	0	0	0	13	58	0	0	13
12x16	0	0	Peso Proprio	UnifG	0	0	0	13	58	0	0	13
12x16	0	0	Peso Proprio	UnifG	0	0	0	13	490	0	0	13
12x16	0	0	Peso Proprio	UnifG	0	0	0	13	58	0	0	13
12x16	0	0	QP Solai	PolG	0	0	0	364	58	0	0	364
12x16	0	0	QP Solai	PolG	0	0	0	364	58	0	0	364
12x16	0	0	QP Solai	PolG	0	0	0	171	163	0	0	169
					163	0	0	169	327	0	0	166

Sezione	Ni	Nf	Cond.	Tipo c.	Xi	QXi	QYi	QZi	Xf	QXf	QYf	QZf
					327	0	0	166	490	0	0	163
12x16	0	0	QP Solai	PolG	0	0	0	364	58	0	0	364
12x16	0	0	QP Solai	PolG	0	0	0	364	58	0	0	364
12x16	0	0	QFissi Solai	PolG	0	0	0	156	58	0	0	156
12x16	0	0	QFissi Solai	PolG	0	0	0	156	58	0	0	156
12x16	0	0	QFissi Solai	PolG	0	0	0	156	58	0	0	156
12x16	0	0	QFissi Solai	PolG	0	0	0	73	327	0	0	71
					327	0	0	71	490	0	0	70
12x16	0	0	QFissi Solai	PolG	0	0	0	156	58	0	0	156
12x16	0	0	QV Solai	PolG	0	0	0	195	58	0	0	195
12x16	0	0	QV Solai	PolG	0	0	0	195	58	0	0	195
12x16	0	0	QV Solai	PolG	0	0	0	195	58	0	0	195
12x16	0	0	QV Solai	PolG	0	0	0	195	58	0	0	195
12x16	0	0	QV Solai	PolG	0	0	0	92	272	0	0	89
					272	0	0	89	490	0	0	87
12x16	44	0	Peso Proprio	UnifG	0	0	0	13	58	0	0	13
12x16	44	0	QP Solai	PolG	0	0	0	364	58	0	0	364
12x16	44	0	QFissi Solai	PolG	0	0	0	156	58	0	0	156
12x16	44	0	QV Solai	PolG	0	0	0	195	58	0	0	195
12x16	45	46	Peso Proprio	UnifG	0	0	0	13	630	0	0	13

Trave 19

12x16	0	0	Peso Proprio	UnifG	0	0	0	13	55	0	0	13
12x16	0	0	Peso Proprio	UnifG	0	0	0	13	65	0	0	13
12x16	0	0	Peso Proprio	UnifG	0	0	0	13	65	0	0	13
12x16	0	48	Peso Proprio	UnifG	0	0	0	13	55	0	0	13
12x16	0	0	Peso Proprio	UnifG	0	0	0	13	55	0	0	13
12x16	0	47	Peso Proprio	UnifG	0	0	0	13	65	0	0	13
12x16	0	0	Peso Proprio	UnifG	0	0	0	13	55	0	0	13
12x16	0	0	Peso Proprio	UnifG	0	0	0	13	55	0	0	13
12x16	0	0	Peso Proprio	UnifG	0	0	0	13	490	0	0	13
12x16	0	0	QP Solai	PolG	0	0	0	58	55	0	0	58
12x16	0	0	QP Solai	PolG	0	0	0	58	55	0	0	58
12x16	0	0	QP Solai	PolG	0	0	0	58	55	0	0	58
12x16	0	0	QP Solai	PolG	0	0	0	58	55	0	0	58
12x16	0	48	QP Solai	PolG	0	0	0	58	49	0	0	58
12x16	0	0	QP Solai	PolG	0	0	0	171	490	0	0	163
12x16	0	0	QFissi Solai	PolG	0	0	0	76	55	0	0	76
12x16	0	0	QFissi Solai	PolG	0	0	0	76	55	0	0	76
12x16	0	0	QFissi Solai	PolG	0	0	0	76	55	0	0	76
12x16	0	0	QFissi Solai	PolG	0	0	0	76	55	0	0	76
12x16	0	0	QFissi Solai	PolG	0	0	0	76	490	0	0	70
12x16	0	48	QFissi Solai	PolG	0	0	0	76	55	0	0	76
12x16	0	0	QV Solai	PolG	0	0	0	76	55	0	0	76
12x16	0	48	QV Solai	PolG	0	0	0	76	55	0	0	76
12x16	0	0	QV Solai	PolG	0	0	0	76	55	0	0	76
12x16	0	0	QV Solai	PolG	0	0	0	76	55	0	0	76
12x16	0	0	QV Solai	PolG	0	0	0	92	490	0	0	87
12x16	0	0	QV SolaiPsi0	PolG	0	0	0	53	55	0	0	53
12x16	0	0	QV SolaiPsi0	PolG	0	0	0	53	55	0	0	53
12x16	0	0	QV SolaiPsi0	PolG	0	0	0	53	55	0	0	53
12x16	0	48	QV SolaiPsi0	PolG	0	0	0	53	55	0	0	53
12x16	0	0	QV SolaiPsi0	PolG	0	0	0	53	55	0	0	53
12x16	0	0	QV SolaiPsi1	PolG	0	0	0	53	55	0	0	53
12x16	0	0	QV SolaiPsi1	PolG	0	0	0	53	55	0	0	53
12x16	0	48	QV SolaiPsi1	PolG	0	0	0	53	55	0	0	53
12x16	0	0	QV SolaiPsi1	PolG	0	0	0	53	55	0	0	53
12x16	0	0	QV SolaiPsi2	PolG	0	0	0	45	55	0	0	45
12x16	0	48	QV SolaiPsi2	PolG	0	0	0	45	55	0	0	45
12x16	0	0	QV SolaiPsi2	PolG	0	0	0	45	55	0	0	45
12x16	0	0	QV SolaiPsi2	PolG	0	0	0	45	55	0	0	45
12x16	46	0	Peso Proprio	UnifG	0	0	0	13	65	0	0	13
12x16	47	0	Peso Proprio	UnifG	0	0	0	13	55	0	0	13
12x16	47	0	QP Solai	PolG	6	0	0	58	55	0	0	58

Sezione	Ni	Nf	Cond.	Tipo c.	Xi	QXi	QYi	QZi	Xf	QXf	QYf	QZf
12x16	47	0	QFissi Solai	PolG	0	0	0	76	55	0	0	76
12x16	47	0	QV Solai	PolG	0	0	0	76	55	0	0	76
12x16	47	0	QV SolaiPsi0	PolG	0	0	0	53	55	0	0	53
12x16	47	0	QV SolaiPsi1	PolG	0	0	0	53	55	0	0	53
12x16	47	0	QV SolaiPsi2	PolG	0	0	0	45	55	0	0	45
12x16	48	49	Peso Proprio	UnifG	0	0	0	13	440	0	0	13
12x16	48	49	QP Solai	PolG	6	0	0	58	428	0	0	58
12x16	48	49	QFissi Solai	PolG	0	0	0	76	440	0	0	76
12x16	48	49	QV Solai	PolG	0	0	0	76	440	0	0	76
12x16	48	49	QV SolaiPsi0	PolG	0	0	0	53	440	0	0	53
12x16	48	49	QV SolaiPsi1	PolG	0	0	0	53	440	0	0	53
12x16	48	49	QV SolaiPsi2	PolG	0	0	0	45	440	0	0	45
12x16	49	50	Peso Proprio	UnifG	0	0	0	13	490	0	0	13
12x16	49	50	QP Solai	PolG	0	0	0	88	490	0	0	86
12x16	49	50	QFissi Solai	PolG	0	0	0	38	490	0	0	37
12x16	49	50	QV Solai	PolG	0	0	0	47	490	0	0	46

Trave 20

12x16	0	51	Peso Proprio	UnifG	0	0	0	13	61	0	0	13
12x16	0	0	Peso Proprio	UnifG	0	0	0	13	490	0	0	13
12x16	0	0	Peso Proprio	UnifG	0	0	0	13	61	0	0	13
12x16	0	0	Peso Proprio	UnifG	0	0	0	13	61	0	0	13
12x16	0	0	Peso Proprio	UnifG	0	0	0	13	61	0	0	13
12x16	0	0	Peso Proprio	UnifG	0	0	0	13	61	0	0	13
12x16	0	0	Peso Proprio	UnifG	0	0	0	13	61	0	0	13
12x16	0	0	Peso Proprio	UnifG	0	0	0	13	61	0	0	13
12x16	0	0	Peso Proprio	UnifG	0	0	0	13	61	0	0	13
12x16	0	0	Peso Proprio	UnifG	0	0	0	13	61	0	0	13
12x16	0	0	Peso Proprio	UnifG	0	0	0	13	61	0	0	13
12x16	0	0	Peso Proprio	UnifG	0	0	0	13	61	0	0	13
12x16	0	0	Peso Proprio	UnifG	0	0	0	13	61	0	0	13
12x16	0	0	Peso Proprio	UnifG	0	0	0	13	61	0	0	13
12x16	0	0	Peso Proprio	UnifG	0	0	0	13	61	0	0	13
12x16	0	0	Peso Proprio	UnifG	0	0	0	13	61	0	0	13
12x16	0	0	QP Solai	PolG	0	0	0	171	490	0	0	163
12x16	0	0	QFissi Solai	PolG	0	0	0	73	490	0	0	70
12x16	0	0	QV Solai	PolG	0	0	0	92	490	0	0	87
12x16	50	0	Peso Proprio	UnifG	0	0	0	13	61	0	0	13
12x16	51	52	Peso Proprio	UnifG	0	0	0	13	310	0	0	13
12x16	51	52	QP Solai	PolG	0	0	0	76	310	0	0	77
12x16	51	52	QFissi Solai	PolG	0	0	0	33	310	0	0	33
12x16	51	52	QV Solai	PolG	0	0	0	41	310	0	0	41

Trave 21

12x16	0	0	Peso Proprio	UnifG	0	0	0	13	55	0	0	13
12x16	0	0	Peso Proprio	UnifG	0	0	0	13	55	0	0	13
12x16	0	0	Peso Proprio	UnifG	0	0	0	13	55	0	0	13
12x16	0	0	Peso Proprio	UnifG	0	0	0	13	55	0	0	13
12x16	0	0	Peso Proprio	UnifG	0	0	0	13	55	0	0	13
12x16	0	0	Peso Proprio	UnifG	0	0	0	13	55	0	0	13
12x16	0	0	Peso Proprio	UnifG	0	0	0	13	490	0	0	13
12x16	0	0	Peso Proprio	UnifG	0	0	0	13	55	0	0	13
12x16	0	0	Peso Proprio	UnifG	0	0	0	13	55	0	0	13
12x16	0	0	Peso Proprio	UnifG	0	0	0	13	55	0	0	13
12x16	0	0	Peso Proprio	UnifG	0	0	0	13	55	0	0	13
12x16	0	0	Peso Proprio	UnifG	0	0	0	13	55	0	0	13
12x16	0	0	Peso Proprio	UnifG	0	0	0	13	55	0	0	13
12x16	0	0	Peso Proprio	UnifG	0	0	0	13	55	0	0	13
12x16	0	0	Peso Proprio	UnifG	0	0	0	13	55	0	0	13
12x16	0	0	QP Solai	PolG	0	0	0	171	490	0	0	163
12x16	0	0	QFissi Solai	PolG	0	0	0	73	490	0	0	70
12x16	0	0	QV Solai	PolG	0	0	0	92	490	0	0	87
12x16	52	0	Peso Proprio	UnifG	0	0	0	13	55	0	0	13

Trave 22

12x16	0	0	Peso Proprio	UnifG	0	0	0	13	51	0	0	13
12x16	0	0	Peso Proprio	UnifG	0	0	0	13	51	0	0	13

Sezione	Ni	Nf	Cond.	Tipo c.	Xi	QXi	QYi	QZi	Xf	QXf	QYf	QZf
12x16	0	0	Peso Proprio	UnifG	0	0	0	13	51	0	0	13
12x16	0	0	Peso Proprio	UnifG	0	0	0	13	51	0	0	13
12x16	0	0	Peso Proprio	UnifG	0	0	0	13	51	0	0	13
12x16	0	0	Peso Proprio	UnifG	0	0	0	13	51	0	0	13
12x16	0	0	Peso Proprio	UnifG	0	0	0	13	51	0	0	13
12x16	0	0	Peso Proprio	UnifG	0	0	0	13	51	0	0	13
12x16	0	0	Peso Proprio	UnifG	0	0	0	13	51	0	0	13
12x16	0	0	Peso Proprio	UnifG	0	0	0	13	51	0	0	13
12x16	0	0	Peso Proprio	UnifG	0	0	0	13	51	0	0	13
12x16	0	0	Peso Proprio	UnifG	0	0	0	13	51	0	0	13
12x16	0	0	Peso Proprio	UnifG	0	0	0	13	51	0	0	13
12x16	0	0	Peso Proprio	UnifG	0	0	0	13	51	0	0	13
12x16	0	0	Peso Proprio	UnifG	0	0	0	13	51	0	0	13
12x16	0	0	Peso Proprio	UnifG	0	0	0	13	51	0	0	13
12x16	0	0	Peso Proprio	UnifG	0	0	0	13	51	0	0	13
12x16	0	0	Peso Proprio	UnifG	0	0	0	13	51	0	0	13
12x16	0	0	Peso Proprio	UnifG	0	0	0	13	51	0	0	13
12x16	0	0	Peso Proprio	UnifG	0	0	0	13	51	0	0	13
12x16	0	0	Peso Proprio	UnifG	0	0	0	13	51	0	0	13
12x16	0	0	Peso Proprio	UnifG	0	0	0	13	51	0	0	13
12x16	0	0	QP Solai	PolG	0	0	0	171	490	0	0	163
12x16	0	0	QFissi Solai	PolG	0	0	0	73	490	0	0	70
12x16	0	0	QV Solai	PolG	0	0	0	92	490	0	0	87
12x16	55	0	Peso Proprio	UnifG	0	0	0	13	51	0	0	13

Trave 23

12x16	0	0	Peso Proprio	UnifG	0	0	0	13	47	0	0	13
12x16	0	0	Peso Proprio	UnifG	0	0	0	13	47	0	0	13
12x16	0	0	Peso Proprio	UnifG	0	0	0	13	47	0	0	13
12x16	0	54	Peso Proprio	UnifG	0	0	0	13	47	0	0	13
12x16	0	62	Peso Proprio	UnifG	0	0	0	13	490	0	0	13
12x16	0	0	Peso Proprio	UnifG	0	0	0	13	53	0	0	13
12x16	0	0	Peso Proprio	UnifG	0	0	0	13	53	0	0	13
12x16	0	0	Peso Proprio	UnifG	0	0	0	13	53	0	0	13
12x16	0	0	Peso Proprio	UnifG	0	0	0	13	53	0	0	13
12x16	0	0	Peso Proprio	UnifG	0	0	0	13	53	0	0	13
12x16	0	0	Peso Proprio	UnifG	0	0	0	13	53	0	0	13
12x16	0	0	Peso Proprio	UnifG	0	0	0	13	53	0	0	13
12x16	0	0	Peso Proprio	UnifG	0	0	0	13	53	0	0	13
12x16	0	0	Peso Proprio	UnifG	0	0	0	13	53	0	0	13
12x16	0	0	Peso Proprio	UnifG	0	0	0	13	53	0	0	13
12x16	0	0	QP Solai	PolG	0	0	0	81	47	0	0	80
12x16	0	0	QP Solai	PolG	0	0	0	82	47	0	0	82
12x16	0	0	QP Solai	PolG	0	0	0	83	47	0	0	82
12x16	0	0	QP Solai	PolG	0	0	0	81	47	0	0	81
12x16	0	0	QP Solai	PolG	0	0	0	83	47	0	0	83
12x16	0	62	QP Solai	PolG	0	0	0	171	490	0	0	170
12x16	0	0	QP Solai	PolG	0	0	0	82	47	0	0	81
12x16	0	0	QFissi Solai	PolG	0	0	0	35	47	0	0	35
12x16	0	54	QFissi Solai	PolG	0	0	0	35	47	0	0	34
12x16	0	0	QFissi Solai	PolG	0	0	0	36	47	0	0	36
12x16	0	0	QFissi Solai	PolG	0	0	0	35	47	0	0	35
12x16	0	0	QFissi Solai	PolG	0	0	0	36	47	0	0	35
12x16	0	0	QFissi Solai	PolG	0	0	0	35	47	0	0	35
12x16	0	62	QFissi Solai	PolG	0	0	0	73	490	0	0	73
12x16	0	0	QV Solai	PolG	0	0	0	44	47	0	0	44
12x16	0	0	QV Solai	PolG	0	0	0	44	47	0	0	44
12x16	0	0	QV Solai	PolG	0	0	0	44	47	0	0	44
12x16	0	0	QV Solai	PolG	0	0	0	44	47	0	0	43
12x16	0	62	QV Solai	PolG	0	0	0	92	490	0	0	91
12x16	0	54	QV Solai	PolG	0	0	0	43	47	0	0	43
12x16	0	0	QV Solai	PolG	0	0	0	45	47	0	0	44
12x16	41	0	Peso Proprio	UnifG	0	0	0	13	53	0	0	13
12x16	60	0	Peso Proprio	UnifG	0	0	0	13	47	0	0	13
12x16	60	0	QP Solai	PolG	0	0	0	84	47	0	0	83
12x16	60	0	QFissi Solai	PolG	0	0	0	36	47	0	0	36
12x16	60	0	QV Solai	PolG	0	0	0	45	47	0	0	45

Sezione	Ni	Nf	Cond.	Tipo c.	Xi	QXi	QYi	QZi	Xf	QXf	QYf	QZf
Trave 24												
12x16	0	0	Peso Proprio	UnifG	0	0	0	13	60	0	0	13
12x16	0	0	Peso Proprio	UnifG	0	0	0	13	60	0	0	13
12x16	0	0	Peso Proprio	UnifG	0	0	0	13	60	0	0	13
12x16	0	0	Peso Proprio	UnifG	0	0	0	13	490	0	0	13
12x16	0	0	Peso Proprio	UnifG	0	0	0	13	60	0	0	13
12x16	0	0	Peso Proprio	UnifG	0	0	0	13	60	0	0	13
12x16	0	60	Peso Proprio	UnifG	0	0	0	13	60	0	0	13
12x16	0	59	Peso Proprio	UnifG	0	0	0	13	58	0	0	13
12x16	0	0	Peso Proprio	UnifG	0	0	0	13	60	0	0	13
12x16	0	0	Peso Proprio	UnifG	0	0	0	13	63	0	0	13
12x16	0	0	Peso Proprio	UnifG	0	0	0	13	63	0	0	13
12x16	0	0	Peso Proprio	UnifG	0	0	0	13	58	0	0	13
12x16	0	0	Peso Proprio	UnifG	0	0	0	13	58	0	0	13
12x16	0	0	Peso Proprio	UnifG	0	0	0	13	63	0	0	13
12x16	0	0	Peso Proprio	UnifG	0	0	0	13	63	0	0	13
12x16	0	0	Peso Proprio	UnifG	0	0	0	13	63	0	0	13
12x16	0	0	Peso Proprio	UnifG	0	0	0	13	63	0	0	13
12x16	0	0	Peso Proprio	UnifG	0	0	0	13	63	0	0	13
12x16	0	0	Peso Proprio	UnifG	0	0	0	13	63	0	0	13
12x16	0	0	Peso Proprio	UnifG	0	0	0	13	58	0	0	13
12x16	0	0	Peso Proprio	UnifG	0	0	0	13	63	0	0	13
12x16	0	0	Peso Proprio	UnifG	0	0	0	13	60	0	0	13
12x16	0	0	Peso Proprio	UnifG	0	0	0	13	58	0	0	13
12x16	0	58	Peso Proprio	UnifG	0	0	0	13	63	0	0	13
12x16	0	0	QP Solai	PolG	6	0	0	102	57	0	0	102
12x16	0	0	QP Solai	PolG	6	0	0	102	57	0	0	102
12x16	0	0	QP Solai	PolG	0	0	0	171	490	0	0	176
12x16	0	0	QP Solai	PolG	6	0	0	102	57	0	0	102
12x16	0	58	QP Solai	PolG	6	0	0	102	53	0	0	102
12x16	0	0	QP Solai	PolG	6	0	0	102	57	0	0	102
12x16	0	59	QP Solai	PolG	0	0	0	364	58	0	0	364
12x16	0	0	QP Solai	PolG	0	0	0	364	58	0	0	364
12x16	0	0	QP Solai	PolG	0	0	0	364	58	0	0	364
12x16	0	0	QP Solai	PolG	0	0	0	364	58	0	0	364
12x16	0	0	QP Solai	PolG	0	0	0	364	58	0	0	364
12x16	0	0	QP Solai	PolG	6	0	0	102	57	0	0	102
12x16	0	0	QP Solai	PolG	6	0	0	102	57	0	0	102
12x16	0	0	QP Solai	PolG	6	0	0	102	57	0	0	102
12x16	0	0	QP Solai	PolG	6	0	0	102	57	0	0	102
12x16	0	0	QFissi Solai	PolG	0	0	0	156	58	0	0	156
12x16	0	59	QFissi Solai	PolG	0	0	0	156	58	0	0	156
12x16	0	0	QFissi Solai	PolG	0	0	0	73	490	0	0	76
12x16	0	0	QFissi Solai	PolG	0	0	0	156	58	0	0	156
12x16	0	0	QFissi Solai	PolG	0	0	0	99	63	0	0	99
12x16	0	58	QFissi Solai	PolG	0	0	0	99	63	0	0	99
12x16	0	0	QFissi Solai	PolG	0	0	0	99	63	0	0	99
12x16	0	0	QFissi Solai	PolG	0	0	0	99	63	0	0	99
12x16	0	0	QFissi Solai	PolG	0	0	0	99	63	0	0	99
12x16	0	0	QFissi Solai	PolG	0	0	0	99	63	0	0	99
12x16	0	0	QFissi Solai	PolG	0	0	0	99	63	0	0	99
12x16	0	0	QFissi Solai	PolG	0	0	0	99	63	0	0	99
12x16	0	0	QFissi Solai	PolG	0	0	0	99	63	0	0	99
12x16	0	0	QFissi Solai	PolG	0	0	0	99	63	0	0	99
12x16	0	0	QFissi Solai	PolG	0	0	0	156	58	0	0	156
12x16	0	0	QFissi Solai	PolG	0	0	0	99	63	0	0	99
12x16	0	0	QFissi Solai	PolG	0	0	0	99	63	0	0	99
12x16	0	0	QFissi Solai	PolG	0	0	0	99	63	0	0	99
12x16	0	0	QV Solai	PolG	0	0	0	92	490	0	0	94
12x16	0	0	QV Solai	PolG	0	0	0	99	63	0	0	99
12x16	0	0	QV Solai	PolG	0	0	0	99	63	0	0	99
12x16	0	58	QV Solai	PolG	0	0	0	99	63	0	0	99
12x16	0	0	QV Solai	PolG	0	0	0	195	58	0	0	195
12x16	0	0	QV Solai	PolG	0	0	0	195	58	0	0	195
12x16	0	0	QV Solai	PolG	0	0	0	195	58	0	0	195
12x16	0	0	QV Solai	PolG	0	0	0	195	58	0	0	195
12x16	0	0	QV Solai	PolG	0	0	0	99	63	0	0	99
12x16	0	0	QV Solai	PolG	0	0	0	99	63	0	0	99
12x16	0	0	QV Solai	PolG	0	0	0	99	63	0	0	99
12x16	0	0	QV Solai	PolG	0	0	0	99	63	0	0	99

Sezione	Ni	Nf	Cond.	Tipo c.	Xi	QXi	QYi	QZi	Xf	QXf	QYf	QZf
12x16	0	0	QV Solai	PolG	0	0	0	99	63	0	0	99
12x16	0	0	QV Solai	PolG	0	0	0	99	63	0	0	99
12x16	0	59	QV Solai	PolG	0	0	0	195	58	0	0	195
12x16	0	0	QV SolaiPsi0	PolG	0	0	0	69	63	0	0	69
12x16	0	0	QV SolaiPsi0	PolG	0	0	0	69	63	0	0	69
12x16	0	0	QV SolaiPsi0	PolG	0	0	0	69	63	0	0	69
12x16	0	0	QV SolaiPsi0	PolG	0	0	0	69	63	0	0	69
12x16	0	0	QV SolaiPsi0	PolG	0	0	0	69	63	0	0	69
12x16	0	0	QV SolaiPsi0	PolG	0	0	0	69	63	0	0	69
12x16	0	0	QV SolaiPsi0	PolG	0	0	0	69	63	0	0	69
12x16	0	0	QV SolaiPsi0	PolG	0	0	0	69	63	0	0	69
12x16	0	0	QV SolaiPsi0	PolG	0	0	0	69	63	0	0	69
12x16	0	0	QV SolaiPsi0	PolG	0	0	0	69	63	0	0	69
12x16	0	0	QV SolaiPsi0	PolG	0	0	0	69	63	0	0	69
12x16	0	0	QV SolaiPsi0	PolG	0	0	0	69	63	0	0	69
12x16	0	0	QV SolaiPsi1	PolG	0	0	0	69	63	0	0	69
12x16	0	0	QV SolaiPsi1	PolG	0	0	0	69	63	0	0	69
12x16	0	0	QV SolaiPsi1	PolG	0	0	0	69	63	0	0	69
12x16	0	0	QV SolaiPsi1	PolG	0	0	0	69	63	0	0	69
12x16	0	0	QV SolaiPsi1	PolG	0	0	0	69	63	0	0	69
12x16	0	0	QV SolaiPsi1	PolG	0	0	0	69	63	0	0	69
12x16	0	0	QV SolaiPsi1	PolG	0	0	0	69	63	0	0	69
12x16	0	0	QV SolaiPsi1	PolG	0	0	0	69	63	0	0	69
12x16	0	0	QV SolaiPsi2	PolG	0	0	0	59	63	0	0	59
12x16	0	0	QV SolaiPsi2	PolG	0	0	0	59	63	0	0	59
12x16	0	0	QV SolaiPsi2	PolG	0	0	0	59	63	0	0	59
12x16	0	0	QV SolaiPsi2	PolG	0	0	0	59	63	0	0	59
12x16	0	0	QV SolaiPsi2	PolG	0	0	0	59	63	0	0	59
12x16	0	0	QV SolaiPsi2	PolG	0	0	0	59	63	0	0	59
12x16	0	0	QV SolaiPsi2	PolG	0	0	0	59	63	0	0	59
12x16	0	0	QV SolaiPsi2	PolG	0	0	0	59	63	0	0	59
12x16	0	0	Peso Proprio	UnifG	0	0	0	13	63	0	0	13
12x16	47	0	QP Solai	PolG	12	0	0	102	57	0	0	102
12x16	47	0	QFissi Solai	PolG	0	0	0	99	63	0	0	99
12x16	47	0	QV Solai	PolG	0	0	0	99	63	0	0	99
12x16	47	0	QV SolaiPsi0	PolG	0	0	0	69	63	0	0	69
12x16	47	0	QV SolaiPsi1	PolG	0	0	0	69	63	0	0	69
12x16	47	0	QV SolaiPsi2	PolG	0	0	0	59	63	0	0	59
12x16	58	0	Peso Proprio	UnifG	0	0	0	13	58	0	0	13
12x16	59	0	Peso Proprio	UnifG	0	0	0	13	60	0	0	13

Trave 25

12x16	0	0	Peso Proprio	UnifG	0	0	0	13	63	0	0	13
12x16	0	0	Peso Proprio	UnifG	0	0	0	13	490	0	0	13
12x16	0	0	Peso Proprio	UnifG	0	0	0	13	63	0	0	13
12x16	0	0	Peso Proprio	UnifG	0	0	0	13	63	0	0	13
12x16	0	0	Peso Proprio	UnifG	0	0	0	13	63	0	0	13
12x16	0	0	Peso Proprio	UnifG	0	0	0	13	63	0	0	13
12x16	0	0	Peso Proprio	UnifG	0	0	0	13	63	0	0	13
12x16	0	0	Peso Proprio	UnifG	0	0	0	13	63	0	0	13
12x16	0	0	Peso Proprio	UnifG	0	0	0	13	63	0	0	13
12x16	0	0	Peso Proprio	UnifG	0	0	0	13	63	0	0	13
12x16	0	0	Peso Proprio	UnifG	0	0	0	13	58	0	0	13
12x16	0	0	Peso Proprio	UnifG	0	0	0	13	58	0	0	13
12x16	0	0	Peso Proprio	UnifG	0	0	0	13	58	0	0	13
12x16	0	0	Peso Proprio	UnifG	0	0	0	13	58	0	0	13
12x16	0	0	QP Solai	PolG	6	0	0	135	57	0	0	135
12x16	0	0	QP Solai	PolG	0	0	0	171	490	0	0	176
12x16	0	0	QP Solai	PolG	6	0	0	135	57	0	0	135
12x16	0	0	QP Solai	PolG	6	0	0	135	57	0	0	135
12x16	0	0	QP Solai	PolG	6	0	0	135	53	0	0	135
12x16	0	0	QP Solai	PolG	6	0	0	135	57	0	0	135
					57	0	0	135	63	0	0	0
12x16	0	0	QP Solai	PolG	12	0	0	135	57	0	0	135
12x16	0	0	QP Solai	PolG	6	0	0	135	57	0	0	135
12x16	0	0	QP Solai	PolG	6	0	0	135	57	0	0	135
12x16	0	0	QP Solai	PolG	6	0	0	135	57	0	0	135

Trave 26

12x16	0	0	Peso Proprio	UnifG	0	0	0	13	490	0	0	13
12x16	0	0	QP Solai	PolG	0	0	0	171	490	0	0	176
12x16	0	0	QFissi Solai	PolG	0	0	0	73	490	0	0	76
12x16	0	0	QV Solai	PolG	0	0	0	92	490	0	0	94
20x40	58	61	Peso Proprio	UnifG	0	0	0	56	330	0	0	56
20x40	58	61	QP Solai	PolG	0	0	0	82	6	0	0	82
					6	0	0	142	324	0	0	142
					324	0	0	82	330	0	0	82
20x40	58	61	QFissi Solai	PolG	0	0	0	111	330	0	0	111
20x40	58	61	QV Solai	PolG	0	0	0	119	330	0	0	119

Sezione	Ni	Nf	Cond.	Tipo c.	Xi	QXi	QYi	QZi	Xf	QXf	QYf	QZf
20x40	58	61	QV SolaiPsi0	PolG	0	0	0	53	330	0	0	53
20x40	58	61	QV SolaiPsi1	PolG	0	0	0	53	330	0	0	53
20x40	58	61	QV SolaiPsi2	PolG	0	0	0	45	330	0	0	45
20x40	61	62	Peso Proprio	UnifG	0	0	0	56	440	0	0	56
20x40	61	62	QP Solai	PolG	0	0	0	82	6	0	0	82
					6	0	0	142	428	0	0	142
					428	0	0	82	440	0	0	82
20x40	61	62	QFissi Solai	PolG	0	0	0	111	440	0	0	111
20x40	61	62	QV Solai	PolG	0	0	0	119	440	0	0	119
20x40	61	62	QV SolaiPsi0	PolG	0	0	0	53	440	0	0	53
20x40	61	62	QV SolaiPsi1	PolG	0	0	0	53	440	0	0	53
20x40	61	62	QV SolaiPsi2	PolG	0	0	0	45	440	0	0	45

Trave 27

12x16	0	0	Peso Proprio	UnifG	0	0	0	13	490	0	0	13
12x16	0	0	QP Solai	PolG	0	0	0	171	490	0	0	176
12x16	0	0	QFissi Solai	PolG	0	0	0	73	490	0	0	76
12x16	0	0	QV Solai	PolG	0	0	0	92	490	0	0	94
12x16	70	66	Peso Proprio	UnifG	0	0	0	13	630	0	0	13
12x16	70	66	QP Solai	PolG	0	0	0	73	630	0	0	73
12x16	70	66	QFissi Solai	PolG	0	0	0	31	630	0	0	31
12x16	70	66	QV Solai	PolG	0	0	0	39	630	0	0	39

Trave 28

12x16	0	0	Peso Proprio	UnifG	0	0	0	13	52	0	0	13
12x16	0	67	Peso Proprio	UnifG	0	0	0	13	52	0	0	13
12x16	0	0	Peso Proprio	UnifG	0	0	0	13	52	0	0	13
12x16	0	0	Peso Proprio	UnifG	0	0	0	13	52	0	0	13
12x16	0	0	Peso Proprio	UnifG	0	0	0	13	55	0	0	13
12x16	0	0	Peso Proprio	UnifG	0	0	0	13	55	0	0	13
12x16	0	0	Peso Proprio	UnifG	0	0	0	13	55	0	0	13
12x16	0	0	Peso Proprio	UnifG	0	0	0	13	55	0	0	13
12x16	0	0	Peso Proprio	UnifG	0	0	0	13	55	0	0	13
12x16	0	0	Peso Proprio	UnifG	0	0	0	13	490	0	0	13
12x16	0	68	Peso Proprio	UnifG	0	0	0	13	55	0	0	13
12x16	0	0	Peso Proprio	UnifG	0	0	0	13	55	0	0	13
12x16	0	0	Peso Proprio	UnifG	0	0	0	13	55	0	0	13
12x16	0	0	Peso Proprio	UnifG	0	0	0	13	55	0	0	13
12x16	0	63	Peso Proprio	UnifG	0	0	0	13	55	0	0	13
12x16	0	0	Peso Proprio	UnifG	0	0	0	13	55	0	0	13
12x16	0	0	QP Solai	PolG	0	0	0	171	490	0	0	176
12x16	0	0	QFissi Solai	PolG	0	0	0	73	490	0	0	76
12x16	0	0	QV Solai	PolG	0	0	0	92	490	0	0	94
12x16	66	0	Peso Proprio	UnifG	0	0	0	13	52	0	0	13
12x16	67	0	Peso Proprio	UnifG	0	0	0	13	55	0	0	13
12x16	68	0	Peso Proprio	UnifG	0	0	0	13	55	0	0	13

Trave 29

12x16	0	0	Peso Proprio	UnifG	0	0	0	13	490	0	0	13
12x16	0	0	QP Solai	PolG	0	0	0	171	490	0	0	176
12x16	0	0	QFissi Solai	PolG	0	0	0	73	490	0	0	76
12x16	0	0	QV Solai	PolG	0	0	0	92	490	0	0	94
12x16	63	69	Peso Proprio	UnifG	0	0	0	13	630	0	0	13
12x16	63	69	QP Solai	PolG	0	0	0	77	630	0	0	77
12x16	63	69	QFissi Solai	PolG	0	0	0	33	630	0	0	33
12x16	63	69	QV Solai	PolG	0	0	0	41	630	0	0	41

Trave 30

12x16	0	0	Peso Proprio	UnifG	0	0	0	13	52	0	0	13
12x16	0	70	Peso Proprio	UnifG	0	0	0	13	52	0	0	13
12x16	0	0	Peso Proprio	UnifG	0	0	0	13	52	0	0	13
12x16	0	0	Peso Proprio	UnifG	0	0	0	13	55	0	0	13
12x16	0	0	Peso Proprio	UnifG	0	0	0	13	52	0	0	13
12x16	0	0	Peso Proprio	UnifG	0	0	0	13	55	0	0	13
12x16	0	0	Peso Proprio	UnifG	0	0	0	13	55	0	0	13
12x16	0	0	Peso Proprio	UnifG	0	0	0	13	55	0	0	13
12x16	0	0	Peso Proprio	UnifG	0	0	0	13	55	0	0	13
12x16	0	0	Peso Proprio	UnifG	0	0	0	13	55	0	0	13
12x16	0	0	Peso Proprio	UnifG	0	0	0	13	55	0	0	13
12x16	0	0	Peso Proprio	UnifG	0	0	0	13	55	0	0	13
12x16	0	0	Peso Proprio	UnifG	0	0	0	13	55	0	0	13
12x16	0	0	Peso Proprio	UnifG	0	0	0	13	55	0	0	13

Sezione	Ni	Nf	Cond.	Tipo c.	Xi	QXi	QYi	QZi	Xf	QXf	QYf	QZf
12x16	0	65	Peso Proprio	UnifG	0	0	0	13	55	0	0	13
12x16	0	0	Peso Proprio	UnifG	0	0	0	13	490	0	0	13
12x16	0	64	Peso Proprio	UnifG	0	0	0	13	55	0	0	13
12x16	0	0	Peso Proprio	UnifG	0	0	0	13	55	0	0	13
12x16	0	0	Peso Proprio	UnifG	0	0	0	13	55	0	0	13
12x16	0	0	Peso Proprio	UnifG	0	0	0	13	55	0	0	13
12x16	0	0	QP Solai	PolG	0	0	0	171	490	0	0	176
12x16	0	0	QFissi Solai	PolG	0	0	0	73	490	0	0	76
12x16	0	0	QV Solai	PolG	0	0	0	92	490	0	0	94
12x16	64	0	Peso Proprio	UnifG	0	0	0	13	55	0	0	13
12x16	65	0	Peso Proprio	UnifG	0	0	0	13	52	0	0	13
12x16	69	0	Peso Proprio	UnifG	0	0	0	13	55	0	0	13
Trave 31												
12x16	0	0	Peso Proprio	UnifG	0	0	0	13	490	0	0	13
12x16	0	0	QP Solai	PolG	0	0	0	171	490	0	0	176
12x16	0	0	QFissi Solai	PolG	0	0	0	73	490	0	0	76
12x16	0	0	QV Solai	PolG	0	0	0	92	490	0	0	94
Trave 32												
12x16	0	0	Peso Proprio	UnifG	0	0	0	13	490	0	0	13
12x16	0	0	QP Solai	PolG	0	0	0	171	490	0	0	176
12x16	0	0	QFissi Solai	PolG	0	0	0	73	490	0	0	76
12x16	0	0	QV Solai	PolG	0	0	0	92	490	0	0	94
Trave 33												
12x16	0	0	Peso Proprio	UnifG	0	0	0	13	440	0	0	13
12x16	0	0	QP Solai	PolG	12	0	0	123	434	0	0	123
12x16	0	0	QFissi Solai	PolG	0	0	0	151	440	0	0	151
12x16	0	0	QV Solai	PolG	0	0	0	151	440	0	0	151
12x16	0	0	QV SolaiPsi0	PolG	0	0	0	106	440	0	0	106
12x16	0	0	QV SolaiPsi1	PolG	0	0	0	106	440	0	0	106
12x16	0	0	QV SolaiPsi2	PolG	0	0	0	91	440	0	0	91
Trave 34												
12x16	0	0	Peso Proprio	UnifG	0	0	0	13	440	0	0	13
12x16	0	0	QP Solai	PolG	12	0	0	131	434	0	0	131
12x16	0	0	QFissi Solai	PolG	0	0	0	151	440	0	0	151
12x16	0	0	QV Solai	PolG	0	0	0	151	440	0	0	151
12x16	0	0	QV SolaiPsi0	PolG	0	0	0	106	440	0	0	106
12x16	0	0	QV SolaiPsi1	PolG	0	0	0	106	440	0	0	106
12x16	0	0	QV SolaiPsi2	PolG	0	0	0	91	440	0	0	91
Trave 35												
12x16	0	0	Peso Proprio	UnifG	0	0	0	13	440	0	0	13
12x16	0	0	QP Solai	PolG	12	0	0	131	434	0	0	131
12x16	0	0	QFissi Solai	PolG	0	0	0	151	440	0	0	151
12x16	0	0	QV Solai	PolG	0	0	0	151	440	0	0	151
12x16	0	0	QV SolaiPsi0	PolG	0	0	0	106	440	0	0	106
12x16	0	0	QV SolaiPsi1	PolG	0	0	0	106	440	0	0	106
12x16	0	0	QV SolaiPsi2	PolG	0	0	0	91	440	0	0	91
Trave 36												
12x16	0	0	Peso Proprio	UnifG	0	0	0	13	440	0	0	13
12x16	0	0	QP Solai	PolG	12	0	0	131	434	0	0	131
12x16	0	0	QFissi Solai	PolG	0	0	0	151	440	0	0	151
12x16	0	0	QV Solai	PolG	0	0	0	151	440	0	0	151
12x16	0	0	QV SolaiPsi0	PolG	0	0	0	106	440	0	0	106
12x16	0	0	QV SolaiPsi1	PolG	0	0	0	106	440	0	0	106
12x16	0	0	QV SolaiPsi2	PolG	0	0	0	91	440	0	0	91
Trave 37												
12x16	0	0	Peso Proprio	UnifG	0	0	0	13	440	0	0	13
12x16	0	0	QP Solai	PolG	12	0	0	131	434	0	0	131
12x16	0	0	QFissi Solai	PolG	0	0	0	151	440	0	0	151
12x16	0	0	QV Solai	PolG	0	0	0	151	440	0	0	151
12x16	0	0	QV SolaiPsi0	PolG	0	0	0	106	440	0	0	106
12x16	0	0	QV SolaiPsi1	PolG	0	0	0	106	440	0	0	106
12x16	0	0	QV SolaiPsi2	PolG	0	0	0	91	440	0	0	91
Trave 38												
12x16	0	0	Peso Proprio	UnifG	0	0	0	13	440	0	0	13
12x16	0	0	QP Solai	PolG	12	0	0	131	434	0	0	131
12x16	0	0	QFissi Solai	PolG	0	0	0	151	440	0	0	151

Sezione	Ni	Nf	Cond.	Tipo c.	Xi	QXi	QYi	QZi	Xf	QXf	QYf	QZf
12x16	0	0	QV Solai	PolG	0	0	0	151	440	0	0	151
12x16	0	0	QP SolaiPsi0	PolG	0	0	0	106	440	0	0	106
12x16	0	0	QFissi Solai	PolG	0	0	0	151	440	0	0	151
12x16	0	0	QV Solai	PolG	0	0	0	151	440	0	0	151
12x16	0	0	QV SolaiPsi0	PolG	0	0	0	106	440	0	0	106
12x16	0	0	QV SolaiPsi1	PolG	0	0	0	106	440	0	0	106
12x16	0	0	QV SolaiPsi2	PolG	0	0	0	91	440	0	0	91
Trave 39												
12x16	0	0	Peso Proprio	UnifG	0	0	0	13	440	0	0	13
12x16	0	0	QP Solai	PolG	12	0	0	138	434	0	0	131
12x16	0	0	QFissi Solai	PolG	0	0	0	151	440	0	0	151
12x16	0	0	QV Solai	PolG	0	0	0	151	440	0	0	151
12x16	0	0	QV SolaiPsi0	PolG	0	0	0	106	440	0	0	106
12x16	0	0	QV SolaiPsi1	PolG	0	0	0	106	440	0	0	106
12x16	0	0	QV SolaiPsi2	PolG	0	0	0	91	440	0	0	91
Trave 40												
12x16	0	0	Peso Proprio	UnifG	0	0	0	13	440	0	0	13
12x16	0	0	QP Solai	PolG	12	0	0	131	434	0	0	131
12x16	0	0	QFissi Solai	PolG	0	0	0	151	440	0	0	151
12x16	0	0	QV Solai	PolG	0	0	0	151	440	0	0	151
12x16	0	0	QV SolaiPsi0	PolG	0	0	0	106	440	0	0	106
12x16	0	0	QV SolaiPsi1	PolG	0	0	0	106	440	0	0	106
12x16	0	0	QV SolaiPsi2	PolG	0	0	0	91	440	0	0	91
Trave 41												
12x16	0	0	Peso Proprio	UnifG	0	0	0	13	440	0	0	13
12x16	0	0	QP Solai	PolG	12	0	0	118	434	0	0	125
12x16	0	0	QFissi Solai	PolG	0	0	0	151	440	0	0	151
12x16	0	0	QV Solai	PolG	0	0	0	151	440	0	0	151
12x16	0	0	QV SolaiPsi0	PolG	0	0	0	106	440	0	0	106
12x16	0	0	QV SolaiPsi1	PolG	0	0	0	106	440	0	0	106
12x16	0	0	QV SolaiPsi2	PolG	0	0	0	91	440	0	0	91
Trave 42												
12x16	0	0	Peso Proprio	UnifG	0	0	0	13	440	0	0	13
12x16	0	0	QP Solai	PolG	0	0	0	163	440	0	0	163
12x16	0	0	QFissi Solai	PolG	0	0	0	70	440	0	0	70
12x16	0	0	QV Solai	PolG	0	0	0	88	440	0	0	88
Trave 43												
12x16	0	0	Peso Proprio	UnifG	0	0	0	13	440	0	0	13
12x16	0	0	QP Solai	PolG	0	0	0	163	440	0	0	163
12x16	0	0	QFissi Solai	PolG	0	0	0	70	440	0	0	70
12x16	0	0	QV Solai	PolG	0	0	0	88	440	0	0	88
Trave 44												
12x16	0	0	Peso Proprio	UnifG	0	0	0	13	440	0	0	13
12x16	0	0	QP Solai	PolG	0	0	0	163	440	0	0	163
12x16	0	0	QFissi Solai	PolG	0	0	0	70	440	0	0	70
12x16	0	0	QV Solai	PolG	0	0	0	88	440	0	0	88
Trave 45												
12x16	0	0	Peso Proprio	UnifG	0	0	0	13	440	0	0	13
12x16	0	0	QP Solai	PolG	0	0	0	163	440	0	0	163
12x16	0	0	QFissi Solai	PolG	0	0	0	70	440	0	0	70
12x16	0	0	QV Solai	PolG	0	0	0	88	440	0	0	88
Trave 46												
12x16	0	0	Peso Proprio	UnifG	0	0	0	13	440	0	0	13
12x16	0	0	QP Solai	PolG	0	0	0	163	440	0	0	163
12x16	0	0	QFissi Solai	PolG	0	0	0	70	440	0	0	70
12x16	0	0	QV Solai	PolG	0	0	0	88	440	0	0	87
Trave 47												
12x16	0	0	Peso Proprio	UnifG	0	0	0	13	330	0	0	13
12x16	0	0	QP Solai	PolG	6	0	0	123	324	0	0	123
12x16	0	0	QFissi Solai	PolG	0	0	0	151	330	0	0	151
12x16	0	0	QV Solai	PolG	0	0	0	151	330	0	0	151
12x16	0	0	QV SolaiPsi0	PolG	0	0	0	106	330	0	0	106
12x16	0	0	QV SolaiPsi1	PolG	0	0	0	106	330	0	0	106
12x16	0	0	QV SolaiPsi2	PolG	0	0	0	91	330	0	0	91
Trave 49												
12x16	0	0	Peso Proprio	UnifG	0	0	0	13	330	0	0	13
12x16	0	0	QP Solai	PolG	6	0	0	131	324	0	0	131
12x16	0	0	QFissi Solai	PolG	0	0	0	151	330	0	0	151
12x16	0	0	QV Solai	PolG	0	0	0	151	330	0	0	151

Sezione	Ni	Nf	Cond.	Tipo c.	Xi	QXi	QYi	QZi	Xf	QXf	QYf	QZf
12x16	0	0	QV SolaiPsi0	PolG	0	0	0	106	330	0	0	106
12x16	0	0	QV SolaiPsi1	PolG	0	0	0	106	330	0	0	106
12x16	0	0	QV SolaiPsi2	PolG	0	0	0	91	330	0	0	91
Trave 51												
12x16	0	0	Peso Proprio	UnifG	0	0	0	13	330	0	0	13
12x16	0	0	QP Solai	PolG	6	0	0	131	324	0	0	131
12x16	0	0	QFissi Solai	PolG	0	0	0	151	330	0	0	151
12x16	0	0	QV Solai	PolG	0	0	0	151	330	0	0	151
12x16	0	0	QV SolaiPsi0	PolG	0	0	0	106	330	0	0	106
12x16	0	0	QV SolaiPsi1	PolG	0	0	0	106	330	0	0	106
12x16	0	0	QV SolaiPsi2	PolG	0	0	0	91	330	0	0	91
Trave 53												
12x16	0	0	Peso Proprio	UnifG	0	0	0	13	330	0	0	13
12x16	0	0	QP Solai	PolG	6	0	0	131	324	0	0	131
12x16	0	0	QFissi Solai	PolG	0	0	0	151	330	0	0	151
12x16	0	0	QV Solai	PolG	0	0	0	151	330	0	0	151
12x16	0	0	QV SolaiPsi0	PolG	0	0	0	106	330	0	0	106
12x16	0	0	QV SolaiPsi1	PolG	0	0	0	106	330	0	0	106
12x16	0	0	QV SolaiPsi2	PolG	0	0	0	91	330	0	0	91
Trave 55												
12x16	0	0	Peso Proprio	UnifG	0	0	0	13	330	0	0	13
12x16	0	0	QP Solai	PolG	6	0	0	131	324	0	0	131
12x16	0	0	QFissi Solai	PolG	0	0	0	151	330	0	0	151
12x16	0	0	QV Solai	PolG	0	0	0	151	330	0	0	151
12x16	0	0	QV SolaiPsi0	PolG	0	0	0	106	330	0	0	106
12x16	0	0	QV SolaiPsi1	PolG	0	0	0	106	330	0	0	106
12x16	0	0	QV SolaiPsi2	PolG	0	0	0	91	330	0	0	91
Trave 57												
12x16	0	0	Peso Proprio	UnifG	0	0	0	13	330	0	0	13
12x16	0	0	QP Solai	PolG	6	0	0	131	324	0	0	131
12x16	0	0	QFissi Solai	PolG	0	0	0	151	330	0	0	151
12x16	0	0	QV Solai	PolG	0	0	0	151	330	0	0	151
12x16	0	0	QV SolaiPsi0	PolG	0	0	0	106	330	0	0	106
12x16	0	0	QV SolaiPsi1	PolG	0	0	0	106	330	0	0	106
12x16	0	0	QV SolaiPsi2	PolG	0	0	0	91	330	0	0	91
Trave 59												
12x16	0	0	Peso Proprio	UnifG	0	0	0	13	330	0	0	13
12x16	0	0	QP Solai	PolG	6	0	0	131	324	0	0	131
12x16	0	0	QFissi Solai	PolG	0	0	0	151	330	0	0	151
12x16	0	0	QV Solai	PolG	0	0	0	151	330	0	0	151
12x16	0	0	QV SolaiPsi0	PolG	0	0	0	106	330	0	0	106
12x16	0	0	QV SolaiPsi1	PolG	0	0	0	106	330	0	0	106
12x16	0	0	QV SolaiPsi2	PolG	0	0	0	91	330	0	0	91
Trave 61												
12x16	0	0	Peso Proprio	UnifG	0	0	0	13	330	0	0	13
12x16	0	0	QP Solai	PolG	6	0	0	131	324	0	0	131
12x16	0	0	QFissi Solai	PolG	0	0	0	151	330	0	0	151
12x16	0	0	QV Solai	PolG	0	0	0	151	330	0	0	151
12x16	0	0	QV SolaiPsi0	PolG	0	0	0	106	330	0	0	106
12x16	0	0	QV SolaiPsi1	PolG	0	0	0	106	330	0	0	106
12x16	0	0	QV SolaiPsi2	PolG	0	0	0	91	330	0	0	91
Trave 63												
12x16	0	0	Peso Proprio	UnifG	0	0	0	13	330	0	0	13
12x16	0	0	QP Solai	PolG	6	0	0	125	324	0	0	125
12x16	0	0	QFissi Solai	PolG	0	0	0	151	330	0	0	151
12x16	0	0	QV Solai	PolG	0	0	0	151	330	0	0	151
12x16	0	0	QV SolaiPsi0	PolG	0	0	0	106	330	0	0	106
12x16	0	0	QV SolaiPsi1	PolG	0	0	0	106	330	0	0	106
12x16	0	0	QV SolaiPsi2	PolG	0	0	0	91	330	0	0	91
Trave 65												
12x16	0	0	Peso Proprio	UnifG	0	0	0	13	330	0	0	13
12x16	0	0	QP Solai	PolG	0	0	0	163	330	0	0	163
12x16	0	0	QFissi Solai	PolG	0	0	0	70	330	0	0	70
12x16	0	0	QV Solai	PolG	0	0	0	87	330	0	0	87
Trave 66												
12x16	0	0	Peso Proprio	UnifG	0	0	0	13	260	0	0	13

Sezione	Ni	Nf	Cond.	Tipo c.	Xi	QXi	QYi	QZi	Xf	QXf	QYf	QZf
Trave 67												
12x16	0	0	Peso Proprio	UnifG	0	0	0	13	330	0	0	13
12x16	0	0	QP Solai	PolG	0	0	0	163	330	0	0	163
12x16	0	0	QFissi Solai	PolG	0	0	0	70	330	0	0	70
12x16	0	0	QV Solai	PolG	0	0	0	87	330	0	0	87
Trave 68												
12x16	0	0	Peso Proprio	UnifG	0	0	0	13	260	0	0	13
Trave 69												
12x16	0	0	Peso Proprio	UnifG	0	0	0	13	330	0	0	13
12x16	0	0	QP Solai	PolG	0	0	0	163	330	0	0	163
12x16	0	0	QFissi Solai	PolG	0	0	0	70	330	0	0	70
12x16	0	0	QV Solai	PolG	0	0	0	87	330	0	0	87
Trave 70												
12x16	0	0	Peso Proprio	UnifG	0	0	0	13	260	0	0	13
Trave 71												
12x16	0	0	Peso Proprio	UnifG	0	0	0	13	330	0	0	13
12x16	0	0	QP Solai	PolG	0	0	0	163	330	0	0	163
12x16	0	0	QFissi Solai	PolG	0	0	0	70	330	0	0	70
12x16	0	0	QV Solai	PolG	0	0	0	87	330	0	0	87
Trave 72												
12x16	0	0	Peso Proprio	UnifG	0	0	0	13	260	0	0	13
Trave 73												
12x16	0	0	Peso Proprio	UnifG	0	0	0	13	330	0	0	13
12x16	0	0	QP Solai	PolG	0	0	0	163	330	0	0	163
12x16	0	0	QFissi Solai	PolG	0	0	0	70	330	0	0	70
12x16	0	0	QV Solai	PolG	0	0	0	87	330	0	0	87
Trave 74												
12x16	0	0	Peso Proprio	UnifG	0	0	0	13	260	0	0	13
Trave 75												
12x16	57	59	Peso Proprio	UnifG	0	0	0	13	330	0	0	13
12x16	57	59	QP Solai	PolG	0	0	0	168	330	0	0	166
12x16	57	59	QFissi Solai	PolG	0	0	0	72	330	0	0	71
12x16	57	59	QV Solai	PolG	0	0	0	90	330	0	0	89
Trave 76												
12x16	0	0	Peso Proprio	UnifG	0	0	0	13	330	0	0	13
12x16	0	0	QP Solai	PolG	0	0	0	174	330	0	0	168
12x16	0	0	QFissi Solai	PolG	0	0	0	74	330	0	0	72
12x16	0	0	QV Solai	PolG	0	0	0	93	330	0	0	90
Trave 77												
12x16	0	0	Peso Proprio	UnifG	0	0	0	13	330	0	0	13
12x16	0	0	QP Solai	PolG	0	0	0	174	330	0	0	168
12x16	0	0	QFissi Solai	PolG	0	0	0	74	330	0	0	72
12x16	0	0	QV Solai	PolG	0	0	0	93	330	0	0	90
Trave 78												
12x16	0	0	Peso Proprio	UnifG	0	0	0	13	330	0	0	13
12x16	0	0	QP Solai	PolG	0	0	0	174	330	0	0	168
12x16	0	0	QFissi Solai	PolG	0	0	0	74	330	0	0	72
12x16	0	0	QV Solai	PolG	0	0	0	93	330	0	0	90
Trave 79												
12x16	0	0	Peso Proprio	UnifG	0	0	0	13	330	0	0	13
12x16	0	0	QP Solai	PolG	0	0	0	174	330	0	0	168
12x16	0	0	QFissi Solai	PolG	0	0	0	74	330	0	0	72
12x16	0	0	QV Solai	PolG	0	0	0	93	330	0	0	90
Trave 80												
12x16	53	0	Peso Proprio	UnifG	0	0	0	13	330	0	0	13
12x16	53	0	QP Solai	PolG	0	0	0	167	330	0	0	168
12x16	53	0	QFissi Solai	PolG	0	0	0	72	330	0	0	72
12x16	53	0	QV Solai	PolG	0	0	0	90	330	0	0	90
Trave 81												
12x16	0	0	Peso Proprio	UnifG	0	0	0	13	330	0	0	13
12x16	0	0	QP Solai	PolG	0	0	0	161	330	0	0	168
12x16	0	0	QFissi Solai	PolG	0	0	0	69	330	0	0	72
12x16	0	0	QV Solai	PolG	0	0	0	86	330	0	0	90
Trave 82												
12x16	0	0	Peso Proprio	UnifG	0	0	0	13	330	0	0	13
12x16	0	0	QP Solai	PolG	0	0	0	161	330	0	0	168

Sezione	Ni	Nf	Cond.	Tipo c.	Xi	QXi	QYi	QZi	Xf	QXf	QYf	QZf
12x16	0	0	QFissi Solai	PolG	0	0	0	69	330	0	0	72
12x16	0	0	QV Solai	PolG	0	0	0	86	330	0	0	90
Trave 83												
12x16	0	0	Peso Proprio	UnifG	0	0	0	13	330	0	0	13
12x16	0	0	QP Solai	PolG	0	0	0	161	141	0	0	164
					141	0	0	164	283	0	0	167
					283	0	0	167	330	0	0	168
12x16	0	0	QFissi Solai	PolG	0	0	0	69	236	0	0	71
					236	0	0	71	330	0	0	72
12x16	0	0	QV Solai	PolG	0	0	0	86	189	0	0	88
					189	0	0	88	330	0	0	90
Trave 84												
12x16	0	0	Peso Proprio	UnifG	0	0	0	13	310	0	0	13
12x16	0	0	QP Solai	PolG	0	0	0	152	310	0	0	153
12x16	0	0	QFissi Solai	PolG	0	0	0	65	310	0	0	66
12x16	0	0	QV Solai	PolG	0	0	0	82	310	0	0	82
Trave 85												
12x16	0	0	Peso Proprio	UnifG	0	0	0	13	310	0	0	13
12x16	0	0	QP Solai	PolG	0	0	0	152	310	0	0	153
12x16	0	0	QFissi Solai	PolG	0	0	0	65	310	0	0	66
12x16	0	0	QV Solai	PolG	0	0	0	82	310	0	0	82
Trave 86												
12x16	0	0	Peso Proprio	UnifG	0	0	0	13	310	0	0	13
12x16	0	0	QP Solai	PolG	0	0	0	152	310	0	0	153
12x16	0	0	QFissi Solai	PolG	0	0	0	65	310	0	0	66
12x16	0	0	QV Solai	PolG	0	0	0	82	310	0	0	82
Trave 87												
12x16	0	0	Peso Proprio	UnifG	0	0	0	13	310	0	0	13
12x16	0	0	QP Solai	PolG	0	0	0	152	310	0	0	153
12x16	0	0	QFissi Solai	PolG	0	0	0	65	310	0	0	66
12x16	0	0	QV Solai	PolG	0	0	0	82	310	0	0	82
Trave 88												
12x16	0	0	Peso Proprio	UnifG	0	0	0	13	310	0	0	13
12x16	0	0	QP Solai	PolG	0	0	0	152	310	0	0	153
12x16	0	0	QFissi Solai	PolG	0	0	0	65	310	0	0	66
12x16	0	0	QV Solai	PolG	0	0	0	82	310	0	0	82
Trave 89												
12x16	0	0	Peso Proprio	UnifG	0	0	0	13	310	0	0	13
12x16	0	0	QP Solai	PolG	0	0	0	152	310	0	0	153
12x16	0	0	QFissi Solai	PolG	0	0	0	65	310	0	0	66
12x16	0	0	QV Solai	PolG	0	0	0	82	310	0	0	82
Trave 90												
12x16	0	0	Peso Proprio	UnifG	0	0	0	13	310	0	0	13
12x16	0	0	QP Solai	PolG	0	0	0	152	310	0	0	153
12x16	0	0	QFissi Solai	PolG	0	0	0	65	310	0	0	66
12x16	0	0	QV Solai	PolG	0	0	0	82	310	0	0	82
Trave 91												
12x16	0	0	Peso Proprio	UnifG	0	0	0	13	310	0	0	13
12x16	0	0	QP Solai	PolG	0	0	0	152	310	0	0	153
12x16	0	0	QFissi Solai	PolG	0	0	0	65	310	0	0	66
12x16	0	0	QV Solai	PolG	0	0	0	82	310	0	0	82
Trave 92												
12x16	56	0	Peso Proprio	UnifG	0	0	0	13	310	0	0	13
12x16	56	0	QP Solai	PolG	0	0	0	153	310	0	0	153
12x16	56	0	QFissi Solai	PolG	0	0	0	66	310	0	0	66
12x16	56	0	QV Solai	PolG	0	0	0	82	310	0	0	82
Trave 93												
12x16	0	0	Peso Proprio	UnifG	0	0	0	13	310	0	0	13
12x16	0	0	QP Solai	PolG	0	0	0	154	310	0	0	153
12x16	0	0	QFissi Solai	PolG	0	0	0	66	310	0	0	66
12x16	0	0	QV Solai	PolG	0	0	0	83	310	0	0	82
Trave 94												
12x16	0	0	Peso Proprio	UnifG	0	0	0	13	310	0	0	13
12x16	0	0	QP Solai	PolG	0	0	0	154	310	0	0	153
12x16	0	0	QFissi Solai	PolG	0	0	0	66	310	0	0	66
12x16	0	0	QV Solai	PolG	0	0	0	83	310	0	0	82

Sezione	Ni	Nf	Cond.	Tipo c.	Xi	QXi	QYi	QZi	Xf	QXf	QYf	QZf
Trave 95												
12x16	0	0	Peso Proprio	UnifG	0	0	0	13	310	0	0	13
12x16	0	0	QP Solai	PolG	0	0	0	154	310	0	0	153
12x16	0	0	QFissi Solai	PolG	0	0	0	66	310	0	0	66
12x16	0	0	QV Solai	PolG	0	0	0	83	310	0	0	82
Trave 96												
12x16	0	0	Peso Proprio	UnifG	0	0	0	13	310	0	0	13
12x16	0	0	QP Solai	PolG	0	0	0	154	310	0	0	153
12x16	0	0	QFissi Solai	PolG	0	0	0	66	310	0	0	66
12x16	0	0	QV Solai	PolG	0	0	0	83	310	0	0	82
Trave 97												
12x16	0	0	Peso Proprio	UnifG	0	0	0	13	310	0	0	13
12x16	0	0	QP Solai	PolG	0	0	0	154	310	0	0	153
12x16	0	0	QFissi Solai	PolG	0	0	0	66	310	0	0	66
12x16	0	0	QV Solai	PolG	0	0	0	83	310	0	0	82
Trave 98												
12x16	0	0	Peso Proprio	UnifG	0	0	0	13	310	0	0	13
12x16	0	0	QP Solai	PolG	0	0	0	154	310	0	0	153
12x16	0	0	QFissi Solai	PolG	0	0	0	66	310	0	0	66
12x16	0	0	QV Solai	PolG	0	0	0	83	310	0	0	82
Trave 99												
12x16	0	0	Peso Proprio	UnifG	0	0	0	13	310	0	0	13
12x16	0	0	QP Solai	PolG	0	0	0	154	310	0	0	153
12x16	0	0	QFissi Solai	PolG	0	0	0	66	310	0	0	66
12x16	0	0	QV Solai	PolG	0	0	0	83	310	0	0	82
Trave 100												
12x16	0	0	Peso Proprio	UnifG	0	0	0	13	530	0	0	13
12x16	0	0	QP Solai	PolG	0	0	0	141	530	0	0	132
12x16	0	0	QFissi Solai	PolG	0	0	0	61	530	0	0	57
12x16	0	0	QV Solai	PolG	0	0	0	76	530	0	0	71
Trave 101												
12x16	0	0	Peso Proprio	UnifG	0	0	0	13	529	0	0	13
12x16	0	0	QP Solai	PolG	0	0	0	141	530	0	0	132
12x16	0	0	QFissi Solai	PolG	0	0	0	61	530	0	0	57
12x16	0	0	QV Solai	PolG	0	0	0	76	530	0	0	71
Trave 102												
12x16	0	0	Peso Proprio	UnifG	0	0	0	13	530	0	0	13
12x16	0	0	QP Solai	PolG	0	0	0	141	530	0	0	132
12x16	0	0	QFissi Solai	PolG	0	0	0	61	530	0	0	57
12x16	0	0	QV Solai	PolG	0	0	0	76	530	0	0	71
Trave 103												
12x16	0	0	Peso Proprio	UnifG	0	0	0	13	530	0	0	13
12x16	0	0	QP Solai	PolG	0	0	0	141	530	0	0	132
12x16	0	0	QFissi Solai	PolG	0	0	0	61	530	0	0	57
12x16	0	0	QV Solai	PolG	0	0	0	76	530	0	0	71
Trave 104												
12x16	0	0	Peso Proprio	UnifG	0	0	0	13	530	0	0	13
12x16	0	0	QP Solai	PolG	0	0	0	141	530	0	0	132
12x16	0	0	QFissi Solai	PolG	0	0	0	61	530	0	0	57
12x16	0	0	QV Solai	PolG	0	0	0	76	530	0	0	71
Trave 105												
12x16	0	0	Peso Proprio	UnifG	0	0	0	13	530	0	0	13
12x16	0	0	QP Solai	PolG	0	0	0	141	530	0	0	132
12x16	0	0	QFissi Solai	PolG	0	0	0	61	530	0	0	57
12x16	0	0	QV Solai	PolG	0	0	0	76	530	0	0	71
Trave 106												
12x16	0	60	Peso Proprio	UnifG	0	0	0	13	531	0	0	13
12x16	0	60	QP Solai	PolG	0	0	0	141	531	0	0	139
12x16	0	60	QFissi Solai	PolG	0	0	0	61	531	0	0	60
12x16	0	60	QV Solai	PolG	0	0	0	76	531	0	0	75
Trave 107												
12x16	0	0	Peso Proprio	UnifG	0	0	0	13	530	0	0	13
12x16	0	0	QP Solai	PolG	0	0	0	141	530	0	0	147
12x16	0	0	QFissi Solai	PolG	0	0	0	61	530	0	0	63
12x16	0	0	QV Solai	PolG	0	0	0	76	530	0	0	79
Trave 108												

Sezione	Ni	Nf	Cond.	Tipo c.	Xi	QXi	QYi	QZi	Xf	QXf	QYf	QZf
12x16	0	0	Peso Proprio	UnifG	0	0	0	13	530	0	0	13
12x16	0	0	QP Solai	PolG	0	0	0	141	530	0	0	147
12x16	0	0	QFissi Solai	PolG	0	0	0	61	530	0	0	63
12x16	0	0	QV Solai	PolG	0	0	0	76	530	0	0	79
Trave 109												
12x16	0	0	Peso Proprio	UnifG	0	0	0	13	530	0	0	13
12x16	0	0	QP Solai	PolG	0	0	0	141	530	0	0	147
12x16	0	0	QFissi Solai	PolG	0	0	0	61	530	0	0	63
12x16	0	0	QV Solai	PolG	0	0	0	76	530	0	0	79
Trave 110												
12x16	0	0	Peso Proprio	UnifG	0	0	0	13	530	0	0	13
12x16	0	0	QP Solai	PolG	0	0	0	141	530	0	0	147
12x16	0	0	QFissi Solai	PolG	0	0	0	61	530	0	0	63
12x16	0	0	QV Solai	PolG	0	0	0	76	530	0	0	79
Trave 111												
12x16	0	0	Peso Proprio	UnifG	0	0	0	13	530	0	0	13
12x16	0	0	QP Solai	PolG	0	0	0	141	530	0	0	147
12x16	0	0	QFissi Solai	PolG	0	0	0	61	530	0	0	63
12x16	0	0	QV Solai	PolG	0	0	0	76	530	0	0	79
Trave 112												
12x16	0	0	Peso Proprio	UnifG	0	0	0	13	530	0	0	13
12x16	0	0	QP Solai	PolG	0	0	0	141	530	0	0	147
12x16	0	0	QFissi Solai	PolG	0	0	0	61	530	0	0	63
12x16	0	0	QV Solai	PolG	0	0	0	76	530	0	0	79
Trave 113												
12x16	0	0	Peso Proprio	UnifG	0	0	0	13	530	0	0	13
12x16	0	0	QP Solai	PolG	0	0	0	141	530	0	0	147
12x16	0	0	QFissi Solai	PolG	0	0	0	61	530	0	0	63
12x16	0	0	QV Solai	PolG	0	0	0	76	530	0	0	79
Trave 114												
12x16	0	0	Peso Proprio	UnifG	0	0	0	13	530	0	0	13
12x16	0	0	QP Solai	PolG	0	0	0	141	530	0	0	147
12x16	0	0	QFissi Solai	PolG	0	0	0	61	530	0	0	63
12x16	0	0	QV Solai	PolG	0	0	0	76	530	0	0	79
Trave 115												
12x16	0	0	Peso Proprio	UnifG	0	0	0	13	530	0	0	13
12x16	0	0	QP Solai	PolG	0	0	0	141	530	0	0	147
12x16	0	0	QFissi Solai	PolG	0	0	0	61	530	0	0	63
12x16	0	0	QV Solai	PolG	0	0	0	76	530	0	0	79
Trave 116												
12x16	0	0	Peso Proprio	UnifG	0	0	0	13	530	0	0	13
12x16	0	0	QP Solai	PolG	0	0	0	141	530	0	0	147
12x16	0	0	QFissi Solai	PolG	0	0	0	61	530	0	0	63
12x16	0	0	QV Solai	PolG	0	0	0	76	530	0	0	79
Trave 117												
12x16	0	0	Peso Proprio	UnifG	0	0	0	13	530	0	0	13
12x16	0	0	QP Solai	PolG	0	0	0	141	530	0	0	147
12x16	0	0	QFissi Solai	PolG	0	0	0	61	530	0	0	63
12x16	0	0	QV Solai	PolG	0	0	0	76	530	0	0	79
Trave 118												
12x16	1	0	Peso Proprio	UnifG	0	0	0	13	530	0	0	13
Trave 119												
12x16	0	0	Peso Proprio	UnifG	0	0	0	13	540	0	0	13
12x16	0	0	QP Solai	PolG	0	0	0	73	540	0	0	73
12x16	0	0	QFissi Solai	PolG	0	0	0	31	540	0	0	31
12x16	0	0	QV Solai	PolG	0	0	0	39	540	0	0	39
Trave 120												
12x16	0	0	Peso Proprio	UnifG	0	0	0	13	540	0	0	13
12x16	0	0	QP Solai	PolG	0	0	0	147	540	0	0	146
12x16	0	0	QFissi Solai	PolG	0	0	0	63	540	0	0	62
12x16	0	0	QV Solai	PolG	0	0	0	79	540	0	0	78
Trave 121												
12x16	0	0	Peso Proprio	UnifG	0	0	0	13	540	0	0	13
12x16	0	0	QP Solai	PolG	0	0	0	147	540	0	0	146
12x16	0	0	QFissi Solai	PolG	0	0	0	63	540	0	0	62
12x16	0	0	QV Solai	PolG	0	0	0	79	540	0	0	78

Sezione	Ni	Nf	Cond.	Tipo c.	Xi	QXi	QYi	QZi	Xf	QXf	QYf	QZf
Trave 122												
12x16	0	44	Peso Proprio	UnifG	0	0	0	13	540	0	0	13
12x16	0	44	QP Solai	PolG	0	0	0	147	540	0	0	147
12x16	0	44	QFissi Solai	PolG	0	0	0	63	540	0	0	63
12x16	0	44	QV Solai	PolG	0	0	0	79	540	0	0	79
Trave 123												
12x16	0	0	Peso Proprio	UnifG	0	0	0	13	540	0	0	13
12x16	0	0	QP Solai	PolG	0	0	0	147	540	0	0	148
12x16	0	0	QFissi Solai	PolG	0	0	0	63	540	0	0	63
12x16	0	0	QV Solai	PolG	0	0	0	79	540	0	0	79
Trave 124												
12x16	0	0	Peso Proprio	UnifG	0	0	0	13	540	0	0	13
12x16	0	0	QP Solai	PolG	0	0	0	147	540	0	0	148
12x16	0	0	QFissi Solai	PolG	0	0	0	63	540	0	0	63
12x16	0	0	QV Solai	PolG	0	0	0	79	540	0	0	79
Trave 125												
12x16	0	0	Peso Proprio	UnifG	0	0	0	13	540	0	0	13
12x16	0	0	QP Solai	PolG	0	0	0	147	540	0	0	148
12x16	0	0	QFissi Solai	PolG	0	0	0	63	540	0	0	63
12x16	0	0	QV Solai	PolG	0	0	0	79	540	0	0	79
Trave 126												
12x16	0	0	Peso Proprio	UnifG	0	0	0	13	540	0	0	13
12x16	0	0	QP Solai	PolG	0	0	0	147	540	0	0	148
12x16	0	0	QFissi Solai	PolG	0	0	0	63	540	0	0	63
12x16	0	0	QV Solai	PolG	0	0	0	79	540	0	0	79
Trave 127												
12x16	0	0	Peso Proprio	UnifG	0	0	0	13	540	0	0	13
12x16	0	0	QP Solai	PolG	0	0	0	147	540	0	0	148
12x16	0	0	QFissi Solai	PolG	0	0	0	63	540	0	0	63
12x16	0	0	QV Solai	PolG	0	0	0	79	540	0	0	79
Trave 128												
12x16	0	0	Peso Proprio	UnifG	0	0	0	13	540	0	0	13
12x16	0	0	QP Solai	PolG	0	0	0	147	540	0	0	148
12x16	0	0	QFissi Solai	PolG	0	0	0	63	540	0	0	63
12x16	0	0	QV Solai	PolG	0	0	0	79	540	0	0	79

Pareti - geometria e vincoli

Parete	Nodi	Tipo	Materiale	Criterio	N.P.	N.P.X	N.P.Y	Spess. cm
1	1-2-7-12-11	Platea	C25/30	CLS_Platee	60			50
2	2-3-4-8-7	Platea	C25/30	CLS_Platee	36			50
3	4-5-9-8	Platea	C25/30	CLS_Platee	8			50
4	5-6-10-9	Platea	C25/30	CLS_Platee	12			50
5	10-15-14-13-12-7-8-9	Platea	C25/30	CLS_Platee	64			50
6	15-17-16-14	Platea	C25/30	CLS_Platee	40			50
7	17-20-19-16	Platea	C25/30	CLS_Platee	40			50
8	19-18-13-14-16	Platea	C25/30	CLS_Platee	40			50
9	1-2-21-22	Discreto	C25/30	CLS_Muri	12			30
10	2-7-12-23-28-21	Discreto	C25/30	CLS_Muri	20			30
11	12-11-24-23	Discreto	C25/30	CLS_Muri	12			30
12	11-1-22-24	Discreto	C25/30	CLS_Muri	20			30
13	2-3-25-21	Discreto	C25/30	CLS_Muri	12			30
14	3-4-26-25	Discreto	C25/30	CLS_Muri	8			30
15	4-8-27-26	Discreto	C25/30	CLS_Muri	4			30
16	8-7-28-27	Discreto	C25/30	CLS_Muri	12			30
17	4-5-29-26	Discreto	C25/30	CLS_Muri	8			30
18	5-6-30-29	Discreto	C25/30	CLS_Muri	12			30
19	6-10-31-30	Discreto	C25/30	CLS_Muri	4			30
20	10-9-32-31	Discreto	C25/30	CLS_Muri	12			30
21	9-8-27-32	Discreto	C25/30	CLS_Muri	8			30

Parete	Nodi	Tipo	Materiale	Criterio	N.P.	N.P.X	N.P.Y	Spess.
22	5-9-32-29	Discreto	C25/30	CLS_Muri	4			30
23	10-15-33-31	Discreto	C25/30	CLS_Muri	8			30
24	15-17-34-33	Discreto	C25/30	CLS_Muri	8			30
25	17-20-35-34	Discreto	C25/30	CLS_Muri	8			30
26	20-19-36-35	Discreto	C25/30	CLS_Muri	20			30
27	19-18-37-36	Discreto	C25/30	CLS_Muri	8			30
28	18-13-38-37	Discreto	C25/30	CLS_Muri	20			30
29	13-12-23-38	Discreto	C25/30	CLS_Muri	4			30
30	19-16-39-36	Discreto	C25/30	CLS_Muri	8			30
31	16-17-34-39	Discreto	C25/30	CLS_Muri	20			30
32	16-14-40-39	Discreto	C25/30	CLS_Muri	8			30
33	14-15-33-40	Discreto	C25/30	CLS_Muri	20			30
34	13-14-40-38	Discreto	C25/30	CLS_Muri	8			30
35	22-21-41-42	Discreto	Legno_isotropo	Legno_Tenso-Pressoflessione	24			15
36	21-25-43-41	Discreto	Legno_isotropo	Legno_Tenso-Pressoflessione	24			15
37	25-26-44-0-0-0-0-0-43	Discreto	Legno_isotropo	Legno_Tenso-Pressoflessione	46			15
40	30-31-47-0-0-0-46	Discreto	Legno_isotropo	Legno_Tenso-Pressoflessione	26			15
41	31-33-48-0-0-0-0-47	Discreto	Legno_isotropo	Legno_Tenso-Pressoflessione	42			15
42	33-34-49-48	Discreto	Legno_isotropo	Legno_Tenso-Pressoflessione	16			15
43	34-35-50-49	Discreto	Legno_isotropo	Legno_Tenso-Pressoflessione	16			15
44	35-36-51-0-0-0-0-0-0-0-0-0-0-0-50	Discreto	Legno_isotropo	Legno_Tenso-Pressoflessione	164			15
45	36-37-52-51	Discreto	Legno_isotropo	Legno_Tenso-Pressoflessione	16			15
46	37-38-53-0-0-0-0-0-0-0-0-0-0-0-0-52	Discreto	Legno_isotropo	Legno_Tenso-Pressoflessione	162			15
47	38-23-54-0-0-53	Discreto	Legno_isotropo	Legno_Tenso-Pressoflessione	20			15
48	24-23-54-55	Discreto	Legno_isotropo	Legno_Tenso-Pressoflessione	24			15
49	24-22-42-0-0-0-0-0-0-0-0-0-0-0-0-0-0-55	Discreto	Legno_isotropo	Legno_Tenso-Pressoflessione	190			15
50	34-39-56-0-0-0-0-62-0-0-0-0-0-0-0-0-49	Discreto	Legno_isotropo	Legno_Tenso-Pressoflessione	157			15
51	33-40-57-0-0-0-0-61-0-0-0-0-0-0-0-48	Discreto	Legno_isotropo	Legno_Tenso-Pressoflessione	157			15
52	31-32-58-0-0-0-0-0-0-0-0-47	Discreto	Legno_isotropo	Legno_Tenso-Pressoflessione	95			15
53	32-27-59-0-0-0-0-58	Discreto	Legno_isotropo	Legno_Tenso-Pressoflessione	40			15
54	27-28-60-0-0-0-0-0-0-0-59	Discreto	Legno_isotropo	Legno_Tenso-Pressoflessione	82			15
55	21-28-60-0-0-0-0-0-0-0-0-0-41	Discreto	Legno_isotropo	Legno_Tenso-Pressoflessione	94			15
56	29-32-58-45	Discreto	Legno_isotropo	Legno_Tenso-Pressoflessione	8			15
57	28-23-54-0-0-0-0-0-60	Discreto	Legno_isotropo	Legno_Tenso-Pressoflessione	45			15
58	62-61-64-0-0-0-0-0-0-69	Discreto	Legno_isotropo	Legno_Tenso-Pressoflessione	60			15
59	61-58-65-0-0-0-0-64	Discreto	Legno_isotropo	Legno_Tenso-Pressoflessione	40			15
60	58-45-70-0-0-0-65	Discreto	Legno_isotropo	Legno_Tenso-Pressoflessione	27			15
61	46-0-0-47-67-0-0-0-66	Discreto	Legno_isotropo	Legno_Tenso-Pressoflessione	46			15
62	47-0-0-0-0-48-68-0-0-0-0-67	Discreto	Legno_isotropo	Legno_Tenso-Pressoflessione	48			15
63	48-49-63-0-0-0-0-0-68	Discreto	Legno_isotropo	Legno_Tenso-Presso	60			15

Parete	Nodi	Tipo	Materiale	Criterio	N.P.	N.P.X	N.P.Y	Spess.
			po	flessione				
64	49-0-0-0-0-0-0-0-62-69-63	Discreto	Legno_isotropo	Legno_Tenso-Pressoflessione	78			15
66	47-0-0-0-0-0-0-0-58-65-67	Discreto	Legno_isotropo	Legno_Tenso-Pressoflessione	78			15

Muri - Carichi

Par	Pan	Condizione	Tipo	Carico	Vert.1	Vert.2	Vert.3	Vert.4	Altezza	Peso sp.	Coesione	Ang. at.	K0
									kg/mq	cm	kg/mc	kg/cmq	°
1		Peso Proprio	Peso Proprio kg	63600									
2		Peso Proprio	Peso Proprio kg	42525									
3		Peso Proprio	Peso Proprio kg	11375									
4		Peso Proprio	Peso Proprio kg	20475									
5		Peso Proprio	Peso Proprio kg	62700									
6		Peso Proprio	Peso Proprio kg	53912									
7		Peso Proprio	Peso Proprio kg	60013									
8		Peso Proprio	Peso Proprio kg	36037									
9		Peso Proprio	Peso Proprio kg	8745									
9		Spinta terreno	Terreno - Attivo - Dir.Pos.						136	2000	0.00	0	
10		Peso Proprio	Peso Proprio kg	15840									
11		Peso Proprio	Peso Proprio kg	8745									
11		Spinta terreno	Terreno - Attivo - Dir.Pos.						136	2000	0.00	0	
12		Peso Proprio	Peso Proprio kg	15840									
12		Spinta terreno	Terreno - Attivo - Dir.Pos.						136	2000	0.00	0	
13		Peso Proprio	Peso Proprio kg	8910									
13		Spinta terreno	Terreno - Attivo - Dir.Pos.						136	2000	0.00	0	
14		Peso Proprio	Peso Proprio kg	6105									
14		Spinta terreno	Terreno - Attivo - Dir.Pos.						136	2000	0.00	0	
15		Peso Proprio	Peso Proprio kg	4290									
16		Peso Proprio	Peso Proprio kg	8910									
17		Peso Proprio	Peso Proprio kg	5775									
17		Spinta terreno	Terreno - Attivo - Dir.Pos.						136	2000	0.00	0	
18		Peso Proprio	Peso Proprio kg	10395									
18		Spinta terreno	Terreno - Attivo - Dir.Pos.						136	2000	0.00	0	
19		Peso Proprio	Peso Proprio kg	4290									
19		Spinta terreno	Terreno - Attivo - Dir.Pos.						136	2000	0.00	0	
20		Peso Proprio	Peso Proprio kg	10395									
21		Peso Proprio	Peso Proprio kg	5775									
22		Peso Proprio	Peso Proprio kg	4290									
23		Peso Proprio	Peso Proprio kg	5445									
23		Spinta terreno	Terreno - Attivo - Dir.Pos.						136	2000	0.00	0	
24		Peso Proprio	Peso Proprio kg	7262									
24		Spinta terreno	Terreno - Attivo - Dir.Pos.						136	2000	0.00	0	
25		Peso Proprio	Peso Proprio kg	8083									
25		Spinta terreno	Terreno - Attivo - Dir.Pos.						136	2000	0.00	0	
26		Peso Proprio	Peso Proprio kg	16170									
27		Peso Proprio	Peso Proprio kg	5115									
28		Peso Proprio	Peso Proprio kg	15345									
28		Spinta terreno	Terreno - Attivo - Dir.Pos.						136	2000	0.00	0	
29		Peso Proprio	Peso Proprio kg	3795									
29		Spinta terreno	Terreno - Attivo - Dir.Pos.						136	2000	0.00	0	
30		Peso Proprio	Peso Proprio kg	8083									
31		Peso Proprio	Peso Proprio kg	16170									
32		Peso Proprio	Peso Proprio kg	7262									
33		Peso Proprio	Peso Proprio kg	16170									
34		Peso Proprio	Peso Proprio kg	5115									
35		Peso Proprio	Peso Proprio kg	2154									
36		Peso Proprio	Peso Proprio kg	2194									
37		Peso Proprio	Peso Proprio kg	1503									
40		Peso Proprio	Peso Proprio kg	1057									
41		Peso Proprio	Peso Proprio kg	1341									
42		Peso Proprio	Peso Proprio kg	1788									
43		Peso Proprio	Peso Proprio kg	1991									
44		Peso Proprio	Peso Proprio kg	3982									
45		Peso Proprio	Peso Proprio kg	1260									
46		Peso Proprio	Peso Proprio kg	3779									
47		Peso Proprio	Peso Proprio kg	935									
48		Peso Proprio	Peso Proprio kg	2154									
49		Peso Proprio	Peso Proprio kg	3901									
50		Peso Proprio	Peso Proprio kg	3982									
51		Peso Proprio	Peso Proprio kg	3982									
52		Peso Proprio	Peso Proprio kg	2560									
53		Peso Proprio	Peso Proprio kg	1422									
54		Peso Proprio	Peso Proprio kg	2194									

Tabella solai tipo

Sol.N°	Descrizione	Spessore	QP	QF	QVar.	ψ0	ψ1	ψ2	Luce netta	Def	%QX	%QY
		cm	kg/mq	kg/mq	kg/mq							
1	Tetti e Coperture	20	280	120	150	0.00	0.00	0.00	No	No	100	0
2	Uffici e Scuole	25	320	300	300	0.70	0.70	0.60	Si	No	80	20

Dati solai

Plinti - Geometria e vincoli

N.	Nodo	X	Y	Z	Tipo	Materiale	Criterio	f.f.	F.Rig.Ass	F.Rig.Rot
		mm	mm	mm						
0	130	22000	10940	2200	0.4x0.4	C25/30	CLS_Plinti	55	1.000	1.000
0	3	22500	4920	2200	0.4x0.4	C25/30	CLS_Plinti	55	1.000	1.000

TABULATI DI VERIFICA

L'esito di ogni elaborazione viene sintetizzato nei disegni e schemi grafici allegati, che evidenziano i valori numerici nei punti e/o nelle sezioni significative, ai fini della valutazione del comportamento complessivo della struttura, e quelli necessari ai fini delle verifiche di misura della sicurezza.

Di seguito si riportano le tabelle relative a:

- Forze sismiche e masse
 - Spostamenti Relativi dei nodi (SLD)
 - Fattori di partecipazione e masse modali

- Massimi spostamenti dei nodi

Risultati Analisi Dinamica - Baricentri masse e masse

Scenario di calcolo : Set_NT_SLV_SLD_A2_STR/GEO_2018

Piano	Rigido	Massa	X	Y	Z
		kg	cm	cm	cm
0	No	458119	1185	967	408

Piano	Rigido	Massa	X	Y	Z
		kg	cm	cm	cm
0	No	458119	1296	1059	408

Piano	Rigido	Massa	X	Y	Z
		kg	cm	cm	cm
0	No	458119	1185	1152	408

Piano	Rigido	Massa	X	Y	Z
		kg	cm	cm	cm
0	No	458119	1075	1059	408

Verifica Degli Spostamenti Relativi

Scenario di calcolo : Set_NT_SLV_SLD_A2_STR/GEO_2018

Interp.	Comb.	ηXv	ηXh	ηYv	ηYh	Nodo1	Nodo2	η	ηAmm	Cs
		mm	mm	mm	mm			mm	mm	
0-0	(28+29)-V-3	0.30	1.26	0.01	0.05	0	0	1.56	17.60	11
0-0	(28+29)-V-3	0.40	6.73	0.01	0.02	0	0	7.12	17.60	2.5
0-0	(28+29)-V-3	0.43	5.46	0.01	0.05	0	0	5.88	17.60	3.0
0-0	(28+29)-V-3	0.41	4.12	0.00	0.06	0	0	4.54	17.60	3.9
0-0	(28+29)-V-3	0.38	2.67	0.00	0.06	0	0	3.04	17.60	5.8
0-0	(28+29)-III-4	0.01	0.07	0.01	0.22	1	42	0.23	30.35	>100
0-0	(28+29)-IV-4	0.01	0.13	0.02	0.08	2	41	0.14	30.35	>100
0-0	(28+29)-IV-3	0.01	0.18	0.00	0.49	3	43	0.50	30.35	61
0-0	(28+29)-I-4	0.05	5.37	0.05	0.11	4	44	5.42	30.35	5.6
0-0	(28+29)-I-3	0.43	14.34	0.00	0.72	5	70	14.77	47.95	3.2
0-0	(28+29)-I-3	0.03	14.35	0.00	0.32	6	66	14.38	47.95	3.3
0-0	(28+29)-I-4	0.05	0.11	0.01	0.00	7	60	0.16	30.35	>100
0-0	(28+29)-VIII-3	0.01	0.00	0.02	1.17	8	59	1.19	30.35	25
0-0	(28+29)-II-3	0.09	0.18	0.00	1.81	9	65	1.81	47.95	26
0-0	(28+29)-I-3	0.08	0.32	0.03	0.10	10	67	0.39	47.95	>100
0-0	(28+29)-VIII-3	0.04	0.08	0.01	0.17	11	55	0.18	30.35	>100
0-0	(28+29)-VIII-3	0.04	0.10	0.00	0.09	12	54	0.14	30.35	>100
0-0	(28+29)-VII-4	0.03	0.10	0.02	0.07	13	53	0.13	30.35	>100
0-0	(28+29)-VIII-3	0.08	0.01	0.03	1.73	14	57	1.76	30.35	17
0-0	(28+29)-V-4	0.20	7.68	0.02	0.19	15	68	7.88	47.95	6.1

Interp.	Comb.	ηXv	ηXh	ηYv	ηYh	Nodo1	Nodo2	η	ηAmm	Cs
0-0	(28+29)-VIII-3	0.08	0.03	0.06	2.09	16	56	2.15	30.35	14
0-0	(28+29)-VI-3	0.01	0.17	0.01	0.21	17	63	0.23	47.95	>100
0-0	(28+29)-VII-3	0.01	0.05	0.03	0.10	18	52	0.14	30.35	>100
0-0	(28+29)-VIII-4	0.01	0.07	0.37	2.13	19	51	2.51	30.35	12
0-0	(28+29)-VI-3	0.01	0.20	0.01	0.07	20	50	0.20	30.35	>100
0-0	(28+29)-V-4	0.54	7.58	0.04	0.01	61	64	8.13	17.60	2.2
0-0	(28+29)-II-4	0.01	0.04	0.03	0.11	62	69	0.15	17.60	>100
Minimo										
0-0	(28+29)-V-4	0.54	7.58	0.04	0.01	61	64	8.13	17.60	2.2

Periodi di vibrazione e Masse modali

Scenario di calcolo : Set_NT_SLV_SLD_A2_STR/GEO_2018

Posizione masse 1

Numero di Frequenze calcolate =150, filtrate=35

N	T(s)	Coeff. Partecipazione		Masse Modali		Percentuali	
		Dir=0°	Dir=90°	Dir=0°	Dir=90°	Dir=0°	Dir=90°
1(7)	0.2862	23.805	-0.145	5557	0	1.21	0.00
2(8)	0.2320	-69.632	2.993	47549	88	10.38	0.02
3(9)	0.1994	26.401	15.588	6836	2383	1.49	0.52
4(10)	0.1936	-3.910	82.767	150	67179	0.03	14.67
5(12)	0.1331	1.466	-66.052	21	42785	0.00	9.34
6(18)	0.0901	-38.154	-4.351	14276	186	3.12	0.04
7(21)	0.0847	25.543	-4.279	6398	180	1.40	0.04
8(24)	0.0779	-24.034	2.022	5665	40	1.24	0.01
9(25)	0.0741	0.586	27.815	3	7587	0.00	1.66
10(26)	0.0701	12.957	-34.134	1646	11426	0.36	2.50
11(30)	0.0629	-30.838	13.430	9326	1769	2.04	0.39
12(32)	0.0619	3.077	45.970	93	20724	0.02	4.53
13(34)	0.0608	15.162	19.882	2255	3876	0.49	0.85
14(35)	0.0599	-2.498	-44.807	61	19689	0.01	4.30
15(38)	0.0571	50.845	6.137	25353	369	5.54	0.08
16(39)	0.0564	-26.434	3.878	6853	147	1.50	0.03
17(43)	0.0500	0.052	26.706	0	6994	0.00	1.53
18(45)	0.0472	29.053	29.461	8278	8512	1.81	1.86
19(46)	0.0455	-39.205	17.818	15073	3114	3.29	0.68
20(47)	0.0452	-10.137	57.403	1008	32314	0.22	7.06
21(50)	0.0441	16.541	9.855	2683	952	0.59	0.21
22(51)	0.0436	-11.452	18.015	1286	3183	0.28	0.69
23(52)	0.0423	3.960	-43.118	154	18232	0.03	3.98
24(53)	0.0412	31.027	7.583	9441	564	2.06	0.12
25(54)	0.0411	36.367	5.224	12970	268	2.83	0.06
26(58)	0.0395	9.028	-22.512	799	4970	0.17	1.09
27(59)	0.0389	-17.721	-22.603	3080	5010	0.67	1.09
28(62)	0.0378	34.495	2.750	11669	74	2.55	0.02
29(63)	0.0374	-28.836	-0.067	8154	0	1.78	0.00
30(66)	0.0364	-11.588	15.753	1317	2434	0.29	0.53
31(73)	0.0342	-0.637	-18.042	4	3192	0.00	0.70
32(78)	0.0332	19.951	-4.742	3903	220	0.85	0.05
33(116)	0.0260	18.487	3.768	3352	139	0.73	0.03
34(127)	0.0247	16.197	17.637	2573	3051	0.56	0.67
35(133)	0.0242	-18.770	-3.105	3455	95	0.75	0.02
Somma delle Masse Modali [kgm*g]				221238	271747		
Masse strutturali libere [kgm*g]				457919	457919		
Percentuale				88.31	89.34	88.31	89.34

Posizione masse 2

Numero di Frequenze calcolate =150, filtrate=47

N	T(s)	Coeff. Partecipazione		Masse Modali		Percentuali	
		Dir=0°	Dir=90°	Dir=0°	Dir=90°	Dir=0°	Dir=90°
1(7)	0.3020	-34.830	0.277	11897	1	2.60	0.00
2(8)	0.2287	-55.019	6.553	29686	421	6.48	0.09
3(9)	0.2102	3.817	89.106	143	77863	0.03	17.00
4(10)	0.1787	-36.943	2.146	13384	45	2.92	0.01
5(11)	0.1419	1.911	41.497	36	16887	0.01	3.69
6(13)	0.1363	-1.421	54.560	20	29192	0.00	6.37
7(20)	0.0915	-36.108	-5.287	12786	274	2.79	0.06
8(22)	0.0829	-25.148	-0.983	6202	9	1.35	0.00
9(23)	0.0736	3.661	19.968	131	3910	0.03	0.85
10(24)	0.0733	-24.384	3.078	5831	93	1.27	0.02
11(26)	0.0713	8.153	-34.827	652	11895	0.14	2.60
12(28)	0.0676	-9.451	-20.462	876	4106	0.19	0.90
13(29)	0.0662	-7.590	48.906	565	23456	0.12	5.12
14(30)	0.0655	4.549	-18.561	203	3379	0.04	0.74
15(32)	0.0645	-1.513	46.185	22	20918	0.00	4.57
16(33)	0.0628	-24.337	0.919	5808	8	1.27	0.00
17(34)	0.0609	2.272	21.280	51	4441	0.01	0.97
18(35)	0.0592	21.535	18.958	4548	3524	0.99	0.77
19(40)	0.0544	8.845	41.241	767	16679	0.17	3.64
20(43)	0.0515	-44.294	-14.469	19240	2053	4.20	0.45
21(44)	0.0494	-41.357	0.774	16774	6	3.66	0.00
22(45)	0.0489	-10.041	26.224	989	6744	0.22	1.47
23(46)	0.0473	-16.875	-0.573	2792	3	0.61	0.00
24(47)	0.0459	-0.431	25.896	2	6577	0.00	1.44
25(48)	0.0451	-31.347	2.693	9636	71	2.10	0.02
26(50)	0.0445	42.858	-6.031	18013	357	3.93	0.08
27(51)	0.0440	-41.060	6.745	16533	446	3.61	0.10
28(53)	0.0425	-4.616	-24.585	209	5927	0.05	1.29
29(54)	0.0422	-6.085	-15.650	363	2402	0.08	0.52
30(56)	0.0413	38.968	-6.228	14891	380	3.25	0.08
31(57)	0.0398	28.001	3.554	7689	124	1.68	0.03
32(58)	0.0397	-8.986	15.901	792	2480	0.17	0.54
33(61)	0.0387	-9.676	19.804	918	3846	0.20	0.84
34(65)	0.0369	-20.636	-0.243	4176	1	0.91	0.00
35(68)	0.0359	-8.549	15.324	717	2303	0.16	0.50
36(70)	0.0353	-8.701	19.515	742	3735	0.16	0.82
37(71)	0.0349	-9.274	-39.656	843	15422	0.18	3.37
38(72)	0.0341	3.210	24.563	101	5917	0.02	1.29
39(82)	0.0313	16.168	-10.942	2564	1174	0.56	0.26
40(90)	0.0297	10.105	-19.576	1001	3758	0.22	0.82
41(95)	0.0291	-3.341	17.728	109	3082	0.02	0.67
42(108)	0.0270	3.165	15.645	98	2400	0.02	0.52
43(120)	0.0258	-21.992	-0.420	4743	2	1.04	0.00
44(129)	0.0248	15.323	3.706	2302	135	0.50	0.03
45(146)	0.0232	-0.576	-18.721	3	3437	0.00	0.75
46(147)	0.0232	-16.172	5.520	2565	299	0.56	0.07
47(148)	0.0232	-19.047	-8.537	3558	715	0.78	0.16
Somma delle Masse Modali [kgm*g]				225972	290896		
Masse strutturali libere [kgm*g]				457919	457919		
Percentuale				89.35	85.53	89.35	85.53

Posizione masse 3

Numero di Frequenze calcolate =150, filtrate=44

N	T(s)	Coeff. Partecipazione		Masse Modali		Percentuali	
		Dir=0°	Dir=90°	Dir=0°	Dir=90°	Dir=0°	Dir=90°
1(6)	0.2687	-35.971	0.217	12689	0	2.77	0.00

N	T(s)	Coeff. Partecipazione		Masse Modali		Percentuali	
2(8)	0.1991	0.027	-85.375	0	71479	0.00	15.61
3(9)	0.1870	56.131	-1.915	30898	36	6.75	0.01
4(11)	0.1509	19.501	39.336	3729	15174	0.81	3.31
5(12)	0.1446	15.788	-55.617	2445	30334	0.53	6.62
6(17)	0.1062	36.212	1.581	12859	25	2.81	0.01
7(19)	0.0931	23.913	-2.085	5608	43	1.22	0.01
8(20)	0.0884	-20.741	-1.114	4219	12	0.92	0.00
9(24)	0.0741	-25.761	2.499	6508	61	1.42	0.01
10(26)	0.0708	-1.349	-28.730	18	8094	0.00	1.77
11(27)	0.0691	2.660	56.559	69	31371	0.02	6.85
12(28)	0.0668	16.568	-19.693	2692	3803	0.59	0.83
13(29)	0.0636	7.557	40.738	560	16275	0.12	3.55
14(32)	0.0606	15.341	1.609	2308	25	0.50	0.01
15(33)	0.0594	-0.242	-42.303	1	17549	0.00	3.83
16(34)	0.0586	-17.365	-1.340	2957	18	0.65	0.00
17(35)	0.0560	33.666	-13.521	11115	1793	2.43	0.39
18(36)	0.0551	-24.895	-20.571	6078	4150	1.33	0.91
19(39)	0.0521	-33.645	-6.318	11101	391	2.42	0.09
20(40)	0.0520	-16.847	-1.531	2783	23	0.61	0.01
21(41)	0.0513	-17.602	8.386	3038	690	0.66	0.15
22(42)	0.0506	-15.328	12.241	2304	1469	0.50	0.32
23(43)	0.0486	31.364	9.448	9647	875	2.11	0.19
24(44)	0.0483	-19.971	-1.491	3911	22	0.85	0.00
25(45)	0.0476	25.902	-16.443	6579	2651	1.44	0.58
26(48)	0.0458	40.900	13.121	16405	1688	3.58	0.37
27(49)	0.0455	-34.549	-8.584	11706	723	2.56	0.16
28(50)	0.0444	-16.735	26.611	2746	6945	0.60	1.52
29(53)	0.0421	10.596	-40.612	1101	16175	0.24	3.53
30(54)	0.0415	25.310	-3.053	6282	91	1.37	0.02
31(55)	0.0412	-10.243	24.978	1029	6118	0.22	1.34
32(57)	0.0401	-29.409	0.605	8482	4	1.85	0.00
33(58)	0.0399	-24.556	11.656	5913	1332	1.29	0.29
34(60)	0.0392	11.540	-21.632	1306	4589	0.29	1.00
35(66)	0.0364	-4.787	29.989	225	8820	0.05	1.93
36(68)	0.0359	-26.283	23.106	6774	5236	1.48	1.14
37(71)	0.0353	-10.407	-16.987	1062	2830	0.23	0.62
38(72)	0.0351	5.200	-18.535	265	3369	0.06	0.74
39(73)	0.0344	28.169	4.772	7781	223	1.70	0.05
40(81)	0.0321	-8.622	20.696	729	4200	0.16	0.92
41(82)	0.0317	22.110	9.192	4794	829	1.05	0.18
42(88)	0.0302	-6.059	-24.065	360	5679	0.08	1.24
43(94)	0.0289	2.438	17.386	58	2964	0.01	0.65
44(108)	0.0264	-12.888	-18.741	1629	3444	0.36	0.75
Somma delle Masse Modali [kgm*g]				222762	281623		
Masse strutturali libere [kgm*g]				457919	457919		
Percentuale				88.65	85.50	88.65	85.50

Posizione masse 4

Numero di Frequenze calcolate =150, filtrate=43

N	T(s)	Coeff. Partecipazione		Masse Modali		Percentuali	
		Dir=0°	Dir=90°	Dir=0°	Dir=90°	Dir=0°	Dir=90°
1(5)	0.2504	15.550	-0.490	2371	2	0.52	0.00
2(6)	0.2489	-21.780	-0.004	4652	0	1.02	0.00
3(8)	0.2081	-64.977	0.494	41404	2	9.04	0.00
4(9)	0.1817	-1.057	80.722	11	63900	0.00	13.95
5(11)	0.1454	14.912	43.998	2181	18984	0.48	4.15
6(12)	0.1395	16.617	-47.260	2708	21903	0.59	4.78
7(15)	0.1089	16.464	-3.284	2658	106	0.58	0.02
8(17)	0.1061	39.778	2.307	15517	52	3.39	0.01
9(18)	0.1014	-15.331	-1.304	2305	17	0.50	0.00
10(19)	0.0986	26.343	-1.099	6805	12	1.49	0.00
11(22)	0.0779	0.233	-21.345	1	4468	0.00	0.98
12(26)	0.0688	-24.701	14.460	5983	2050	1.31	0.45

N	T(s)	Coeff. Partecipazione		Masse Modali		Percentuali	
13(27)	0.0679	-3.215	29.235	101	8381	0.02	1.83
14(28)	0.0676	-4.580	-16.621	206	2709	0.04	0.59
15(29)	0.0650	47.775	6.422	22383	404	4.89	0.09
16(30)	0.0630	1.372	-46.307	18	21028	0.00	4.59
17(31)	0.0620	11.785	23.763	1362	5538	0.30	1.21
18(34)	0.0567	0.594	-45.393	3	20207	0.00	4.41
19(35)	0.0564	39.456	10.062	15267	993	3.33	0.22
20(36)	0.0561	10.828	-24.797	1150	6030	0.25	1.32
21(37)	0.0556	-23.441	-15.355	5389	2312	1.18	0.50
22(39)	0.0513	34.412	-14.074	11613	1942	2.54	0.42
23(41)	0.0496	3.898	28.107	149	7747	0.03	1.69
24(43)	0.0483	17.093	-52.038	2865	26556	0.63	5.80
25(44)	0.0478	-14.871	-17.179	2169	2894	0.47	0.63
26(47)	0.0459	-3.442	15.328	116	2304	0.03	0.50
27(52)	0.0418	-5.038	-26.218	249	6741	0.05	1.47
28(53)	0.0417	-58.807	-11.719	33914	1347	7.41	0.29
29(57)	0.0394	21.882	-18.735	4696	3442	1.03	0.75
30(58)	0.0382	25.758	-3.374	6506	112	1.42	0.02
31(65)	0.0364	-23.213	21.660	5284	4601	1.15	1.00
32(67)	0.0357	24.038	3.092	5667	94	1.24	0.02
33(69)	0.0353	-4.215	20.694	174	4200	0.04	0.92
34(71)	0.0345	-4.804	23.479	226	5406	0.05	1.18
35(74)	0.0338	-3.173	-20.710	99	4206	0.02	0.92
36(75)	0.0335	-23.774	3.689	5543	133	1.21	0.03
37(83)	0.0312	-21.311	4.981	4454	243	0.97	0.05
38(88)	0.0300	-23.926	-9.925	5614	966	1.23	0.21
39(89)	0.0300	0.697	-19.714	5	3811	0.00	0.83
40(90)	0.0297	19.041	16.214	3556	2578	0.78	0.56
41(96)	0.0287	18.693	19.337	3427	3667	0.75	0.80
42(123)	0.0251	-15.521	1.585	2363	25	0.52	0.01
43(125)	0.0247	17.720	2.232	3079	49	0.67	0.01
Somma delle Masse Modali [kgm*g]				234242	262164		
Masse strutturali libere [kgm*g]				457919	457919		
Percentuale				85.15	87.25	85.15	87.25

Risultati Analisi Dinamica - Spostamenti massimi - Nodi

Scenario di calcolo : Set_NT_SLV_SLD_A2_STR/GEO_2018

la tripletta (Cb [-SubC-Cbm]) indica la Combinazione - SottoCombinazione sismica - Posizione Masse, nel caso non sismico mancano SubC-Cbm

Nodo	Trasl. X mm	Trasl. Y mm	Trasl. Z mm	Rotaz. X mrad	Rotaz. Y mrad	Rotaz. Z mrad
0	1.88(12-I-2)	-1.71(13-II-2)	-0.60(2)	0.16(2)	4.41(2)	3.38(12-I-2)
0	0.43(12-I-2)	-0.16(13-II-2)	-0.56(2)	-0.02(13-I-2)	0.88(12-I-2)	0.34(12-II-2)
0	0.56(12-I-2)	-0.18(13-II-2)	-0.56(2)	-0.02(13-I-2)	0.88(12-I-2)	0.31(13-I-2)
0	0.58(12-II-2)	-0.19(13-II-2)	-0.55(2)	0.02(13-II-2)	0.74(12-I-2)	-0.33(13-II-2)
0	0.50(13-I-2)	-0.18(13-II-2)	-0.53(2)	0.02(13-II-2)	0.52(12-I-2)	-0.27(12-II-2)
0	0.39(13-I-2)	-0.16(13-II-2)	-0.52(2)	-0.02(13-I-2)	0.26(12-I-2)	-0.44(12-II-1)
0	1.00(12-I-1)	-0.15(13-II-2)	-0.52(2)	0.03(13-II-2)	0.47(12-I-2)	1.65(12-I-1)
0	2.30(12-I-1)	-0.18(13-II-2)	-0.55(2)	0.03(13-II-2)	1.12(12-I-2)	2.20(12-I-1)
0	3.84(12-I-1)	-0.20(13-II-2)	-0.58(2)	0.03(13-II-2)	1.85(12-I-2)	2.37(12-I-1)
0	0.39(12-I-2)	-1.33(12-II-1)	-0.90(2)	1.29(2)	0.25(12-II-2)	0.24(12-II-2)
0	0.53(12-I-2)	-1.31(12-II-1)	-1.65(2)	1.18(12-I-4)	0.76(12-I-4)	0.25(13-I-2)
0	0.56(12-II-2)	-1.29(12-II-1)	-2.30(2)	1.20(12-I-4)	1.39(12-I-4)	-0.30(13-II-2)
0	0.54(13-I-2)	-1.29(12-II-1)	-3.00(12-I-4)	1.30(12-I-4)	2.08(12-I-4)	-0.27(12-II-2)
0	0.43(13-I-2)	-1.30(12-II-1)	-3.93(12-I-4)	1.46(12-I-4)	2.81(12-I-4)	-0.43(12-II-1)
0	0.46(12-I-1)	-1.33(12-II-1)	-4.99(12-I-4)	1.62(12-II-4)	3.54(12-I-4)	0.81(12-I-1)

Nodo	Trasl. X	Trasl. Y	Trasl. Z	Rotaz. X	Rotaz. Y	Rotaz. Z
0	1.20(12-I-1)	-1.39(12-II-1)	-6.15(12-I-4)	1.78(12-I-3)	4.23(12-II-4)	1.58(12-I-1)
0	2.40(12-I-1)	-1.50(12-II-1)	-7.24(12-II-4)	2.25(12-II-3)	4.84(12-II-4)	2.20(12-I-1)
0	3.86(12-I-1)	-1.63(12-II-1)	-8.35(12-II-3)	2.78(12-II-3)	6.11(12-II-3)	2.51(12-I-4)
0	-6.25(12-II-4)	0.60(13-I-3)	-0.25(12-I-4)	-0.20(13-I-3)	-5.06(2)	-0.65(12-I-4)
0	-6.22(12-II-4)	0.54(13-I-3)	-0.27(12-I-4)	-0.13(13-I-3)	-5.00(2)	-0.89(12-I-1)
0	-5.56(12-II-4)	-0.50(13-II-3)	-0.27(12-I-4)	-0.09(13-I-3)	-4.84(2)	-1.79(12-I-4)
0	-4.40(12-II-4)	-0.48(13-II-3)	-0.26(12-I-4)	-0.08(13-I-3)	-4.46(2)	-2.50(12-I-4)
0	-2.93(12-II-4)	-0.47(13-II-3)	-0.25(13-II-3)	-0.08(13-I-3)	-3.91(2)	-2.78(12-I-4)
0	-1.36(12-II-4)	0.46(13-I-3)	-0.32(13-II-3)	-0.09(13-I-3)	-2.75(2)	2.65(12-II-4)
0	-1.22(12-II-4)	-1.19(13-II-3)	-0.62(2)	0.23(13-I-1)	-2.85(2)	2.63(12-I-4)
0	-2.72(12-II-4)	-1.11(13-II-3)	-0.90(2)	0.15(13-I-1)	-5.06(2)	3.00(12-I-4)
0	-4.13(12-II-4)	-0.98(13-II-3)	-1.01(2)	-0.27(13-II-1)	-6.52(2)	2.52(12-I-4)
0	-5.13(12-II-4)	0.89(13-I-3)	-0.78(2)	-0.50(2)	-6.33(2)	-1.70(12-II-1)
0	-1.33(12-II-4)	-0.11(13-II-1)	-0.38(2)	0.03(13-II-1)	-2.35(2)	-2.46(12-II-4)
0	-2.65(12-II-4)	-0.12(13-II-1)	-0.40(2)	0.05(2)	-1.59(12-II-4)	2.73(12-I-4)
0	4.03(12-I-4)	-0.12(13-II-1)	-0.41(2)	0.04(13-II-1)	1.42(12-I-4)	2.46(12-I-4)
0	5.24(12-I-4)	-0.13(13-II-1)	-0.42(2)	0.04(13-II-1)	1.88(12-I-4)	1.83(12-I-4)
0	6.03(12-I-4)	-0.13(13-II-1)	-0.43(2)	0.03(13-II-1)	2.13(12-I-4)	-1.09(12-II-4)
0	6.35(12-I-4)	-0.13(13-II-1)	-0.43(2)	0.03(13-II-1)	2.24(12-I-4)	-0.48(12-I-4)
0	6.14(12-I-4)	-0.13(13-II-1)	-0.44(2)	0.03(13-II-1)	2.19(12-I-4)	-0.93(12-I-4)
0	5.40(12-I-4)	-0.14(13-II-1)	-0.44(2)	0.03(13-II-1)	1.97(12-I-4)	-1.78(12-I-4)
0	4.20(12-I-4)	-0.14(13-II-1)	-0.44(2)	0.03(13-II-1)	1.58(12-I-4)	-2.47(12-I-4)
0	2.69(12-I-4)	-0.14(13-II-1)	-0.43(2)	-0.03(13-I-1)	1.05(12-I-4)	-2.79(12-I-4)
0	1.15(12-I-4)	-0.13(13-II-1)	-0.41(2)	-0.04(13-I-1)	0.47(12-I-4)	-2.56(12-I-4)
0	-0.72(12-II-4)	-0.10(13-II-1)	-0.36(2)	0.03(13-II-4)	-2.66(2)	-1.42(12-II-4)
0	-1.46(12-II-4)	-0.10(13-II-1)	-0.37(2)	0.02(13-II-4)	-3.76(2)	-1.19(12-II-4)
0	-1.93(12-II-4)	-0.10(13-II-1)	-0.37(2)	0.02(13-II-4)	-4.22(2)	-0.56(12-I-4)
0	-2.00(12-II-4)	-0.10(13-II-1)	-0.37(2)	0.02(13-II-4)	-4.32(2)	0.34(12-II-4)
0	-1.63(12-II-4)	-0.10(13-II-1)	-0.37(2)	0.02(13-II-4)	-4.01(2)	1.09(12-II-4)
0	-0.90(12-I-4)	-0.10(13-II-1)	-0.38(2)	0.03(2)	-2.97(2)	1.58(12-I-4)
0	1.35(12-I-4)	0.29(12-I-4)	-0.29(12-II-4)	-0.09(2)	2.38(2)	-2.81(12-I-4)
0	2.92(12-I-4)	0.30(12-I-4)	-0.28(12-II-4)	-0.08(12-I-4)	3.65(2)	-2.89(12-I-4)
0	4.43(12-I-4)	0.27(12-I-4)	-0.29(12-II-4)	-0.06(12-I-4)	4.28(2)	-2.57(12-I-4)
0	5.65(12-I-4)	0.21(12-I-4)	-0.31(12-II-4)	-0.05(13-I-4)	4.69(2)	-1.90(12-I-4)
0	6.41(12-I-4)	0.18(13-I-4)	-0.31(12-II-4)	-0.04(13-I-4)	4.99(2)	-1.01(12-I-4)
0	6.64(12-I-4)	0.19(13-I-4)	-0.30(12-II-4)	-0.04(13-I-4)	5.28(2)	-0.45(12-I-4)
0	6.33(12-I-4)	0.18(13-I-4)	-0.28(12-II-4)	-0.04(13-I-4)	5.46(2)	-1.15(12-II-4)
0	5.52(12-I-4)	-0.17(13-II-4)	-0.25(12-II-4)	-0.04(13-I-4)	5.55(2)	1.97(12-I-4)
0	4.31(12-I-4)	-0.17(13-II-4)	-0.21(12-II-4)	-0.04(13-I-4)	5.56(2)	2.55(12-I-4)
0	2.88(12-I-4)	-0.17(13-II-4)	-0.16(12-II-4)	-0.04(13-I-4)	5.56(2)	2.71(12-I-4)
0	1.50(12-I-4)	-0.17(13-II-4)	-0.12(12-II-4)	-0.04(13-I-4)	5.55(2)	2.34(12-I-4)
0	0.52(12-I-4)	-0.17(13-II-4)	-0.13(12-II-4)	-0.04(13-I-4)	5.40(2)	1.72(12-I-4)
0	0.81(12-I-4)	-0.18(13-II-4)	-0.15(12-I-4)	-0.04(13-I-4)	5.23(2)	1.30(12-I-4)
0	1.27(12-I-4)	-0.18(13-II-4)	-0.18(12-II-4)	-0.04(13-I-4)	4.93(2)	0.93(12-II-4)
0	-1.56(12-II-4)	0.18(13-I-4)	-0.21(12-II-4)	-0.04(13-I-4)	4.65(2)	-0.31(12-I-4)
0	-1.50(12-II-4)	0.18(13-I-4)	-0.22(12-II-4)	-0.03(13-I-4)	4.28(2)	-0.55(12-I-4)
0	1.14(12-I-4)	0.18(13-I-4)	-0.25(13-I-4)	0.03(13-II-4)	3.72(2)	-1.08(12-II-4)
0	0.57(12-I-4)	0.17(13-I-4)	-0.30(13-I-4)	0.04(13-II-4)	2.41(2)	-1.14(12-II-4)
0	-0.90(12-I-3)	-2.29(13-II-3)	-0.88(2)	0.38(13-II-4)	-2.45(2)	1.57(12-II-3)
0	-1.63(12-I-3)	-2.34(13-II-3)	-1.37(2)	0.81(2)	-3.45(2)	1.44(12-II-3)
0	-2.09(12-I-3)	-2.29(13-II-3)	-1.91(2)	0.74(2)	-3.99(2)	0.84(12-II-3)
0	-2.19(12-I-3)	-2.19(13-II-3)	-2.24(2)	0.32(2)	-4.13(2)	0.35(12-I-3)
0	-1.90(12-I-3)	-2.06(13-II-3)	-2.24(2)	-0.25(2)	-3.90(2)	-0.89(12-II-3)
0	-1.33(12-I-3)	2.02(13-I-3)	-1.89(2)	-0.74(2)	-3.27(2)	-1.42(12-II-3)
0	-0.66(12-I-3)	1.98(13-I-3)	-1.27(2)	-0.93(2)	-2.21(2)	-1.46(12-II-3)
0	-0.55(12-I-3)	-2.65(13-II-3)	-2.03(2)	2.88(2)	-1.66(2)	1.58(12-II-3)
0	1.36(12-II-3)	-2.58(13-II-3)	-3.61(2)	2.34(2)	-2.74(2)	1.61(12-II-3)
0	2.08(12-II-3)	-2.45(13-II-3)	-4.74(2)	1.41(2)	-3.42(2)	1.18(12-II-3)
0	2.50(12-II-3)	-2.29(13-II-3)	-5.25(2)	0.29(2)	-3.79(2)	0.50(12-II-3)
0	2.52(12-II-3)	2.23(13-I-3)	-5.11(2)	-0.80(2)	-3.88(2)	-0.42(12-II-3)
0	2.13(12-II-3)	2.32(13-I-3)	-4.37(2)	-1.69(2)	-3.71(2)	-1.09(12-II-3)
0	-1.50(12-I-3)	2.37(13-I-3)	-3.21(2)	-2.16(2)	-3.22(2)	-1.55(12-II-3)
0	-0.87(12-I-3)	2.35(13-I-3)	-1.90(2)	-2.01(2)	-2.32(2)	-1.59(12-II-3)
0	0.67(12-II-3)	0.13(12-II-3)	-0.27(2)	0.03(13-I-4)	1.11(2)	-1.25(12-II-3)
0	1.47(12-II-3)	0.14(12-II-3)	-0.23(2)	-0.02(12-II-3)	1.61(2)	-1.31(12-II-3)
0	2.12(12-II-3)	0.11(12-II-3)	-0.22(12-I-3)	-0.02(12-II-3)	1.96(2)	-0.84(12-II-3)

Nodo	Trasl. X	Trasl. Y	Trasl. Z	Rotaz. X	Rotaz. Y	Rotaz. Z
0	2.38(12-II-3)	0.08(13-I-4)	-0.23(12-I-3)	-0.02(12-I-3)	2.11(2)	0.36(12-I-3)
0	2.18(12-II-3)	0.10(12-I-3)	-0.22(12-I-3)	-0.02(12-I-3)	2.12(2)	0.78(12-II-3)
0	1.57(12-II-3)	0.13(12-I-3)	-0.22(4)	-0.02(12-I-3)	2.00(2)	1.27(12-II-3)
0	0.78(12-II-3)	0.15(12-I-3)	-0.23(4)	-0.02(12-I-3)	1.88(2)	1.28(12-II-3)
0	0.30(12-II-3)	0.14(12-I-3)	-0.24(4)	-0.02(12-I-3)	1.83(2)	-1.17(12-II-3)
0	0.90(12-II-3)	0.15(12-II-3)	-0.23(4)	-0.02(12-II-3)	2.02(2)	-1.35(12-II-3)
0	1.72(12-II-3)	0.15(12-II-3)	-0.22(12-I-3)	-0.02(2)	2.30(2)	-1.39(12-II-3)
0	2.44(12-II-3)	0.13(12-II-3)	-0.24(12-I-3)	-0.02(12-I-3)	2.51(2)	-1.03(12-II-3)
0	2.84(12-II-3)	0.10(13-I-4)	-0.25(12-I-3)	-0.02(13-I-4)	2.63(2)	-0.41(12-II-3)
0	2.82(12-II-3)	0.10(13-I-4)	-0.26(12-I-3)	-0.01(13-I-4)	2.55(2)	0.47(12-II-3)
0	2.37(12-II-3)	0.12(12-I-3)	-0.27(12-I-3)	-0.01(13-I-4)	2.30(2)	1.09(12-II-3)
0	1.60(12-II-3)	0.14(12-I-3)	-0.28(12-I-3)	0.01(13-II-4)	1.82(2)	1.46(12-II-3)
0	0.71(12-II-3)	0.14(12-I-3)	-0.32(2)	0.02(12-II-3)	1.13(2)	1.41(12-II-3)
0	-0.14(13-I-4)	-0.37(13-II-1)	-0.27(2)	1.00(2)	0.02(13-II-4)	-0.41(13-II-1)
0	-0.11(13-I-4)	-0.54(13-II-1)	-0.26(2)	1.19(2)	0.02(13-II-4)	-0.12(12-I-3)
0	-0.08(12-II-4)	-0.42(13-II-1)	-0.27(2)	1.08(2)	0.05(13-II-4)	0.41(13-II-1)
0	0.21(12-I-4)	-0.44(13-II-1)	-1.05(2)	2.05(2)	0.76(2)	0.73(13-I-1)
0	0.18(12-I-4)	-0.79(13-II-1)	-1.54(2)	2.73(2)	0.45(2)	0.61(13-I-3)
0	-0.15(12-II-4)	-1.05(13-II-3)	-1.64(2)	2.54(2)	-0.11(2)	-0.63(13-II-3)
0	-0.20(12-I-3)	-1.34(13-II-3)	-1.28(2)	1.47(2)	-0.60(2)	-0.98(13-II-3)
0	-0.11(12-II-4)	0.38(13-I-1)	-0.32(2)	-1.24(2)	-0.02(12-II-4)	0.40(13-I-1)
0	-0.08(12-II-4)	0.55(13-I-1)	-0.32(2)	-1.66(2)	-0.01(12-II-4)	-0.18(12-I-4)
0	0.07(12-I-4)	0.46(13-I-1)	-0.32(2)	-1.88(2)	-0.01(13-II-4)	-0.29(13-I-1)
0	0.07(12-I-1)	0.27(13-I-4)	-0.32(2)	-2.02(2)	-0.01(13-II-3)	0.46(13-II-1)
0	0.07(12-I-1)	0.44(13-I-1)	-0.32(2)	-2.19(2)	0.01(13-I-3)	0.58(13-I-1)
0	0.08(12-I-1)	0.81(13-I-1)	-0.33(2)	-2.27(2)	0.01(13-I-2)	0.59(13-I-3)
0	0.08(12-I-1)	1.13(13-I-3)	-0.33(2)	-2.13(2)	0.01(13-I-2)	-0.50(13-II-3)
0	0.09(12-I-1)	1.28(13-I-3)	-0.35(2)	-1.60(2)	0.03(2)	-0.44(13-I-1)
0	-5.23(12-II-4)	-1.74(13-II-2)	-3.36(2)	1.74(2)	-6.15(2)	-1.60(13-I-3)
0	-5.19(12-II-4)	-2.41(13-II-3)	-6.70(2)	3.23(2)	-4.29(13-I-2)	-1.14(13-I-3)
0	5.45(12-I-4)	-2.84(13-II-3)	-7.59(13-II-2)	3.73(13-I-2)	1.36(2)	0.43(13-I-3)
0	5.74(12-I-4)	-2.70(13-II-3)	-5.72(13-I-2)	2.95(13-I-2)	5.76(2)	0.75(13-I-2)
0	5.84(12-I-4)	-1.93(13-II-3)	-2.11(13-I-2)	1.32(13-I-2)	5.57(13-II-2)	1.66(13-I-3)
0	0.10(12-I-1)	2.04(13-I-3)	-0.35(2)	-1.26(13-I-3)	0.04(2)	1.54(13-I-3)
0	0.11(12-I-1)	2.76(13-I-3)	-0.36(2)	-1.63(13-I-3)	0.04(13-I-2)	0.79(13-I-2)
0	0.12(12-I-1)	2.86(13-I-3)	-0.37(2)	-1.59(13-I-3)	0.03(13-I-2)	0.44(13-I-3)
0	0.13(12-I-1)	2.42(13-I-3)	-0.38(2)	-1.36(13-I-3)	0.03(13-I-2)	-1.18(13-I-3)
0	0.14(12-I-1)	1.72(13-I-2)	-0.40(2)	-0.93(13-I-2)	0.03(12-II-1)	-1.51(13-I-3)
0	0.17(12-I-1)	-2.63(13-II-2)	-0.43(2)	-0.59(2)	0.03(12-I-1)	-2.64(13-II-2)
0	0.18(12-I-1)	-4.35(13-II-2)	-0.43(2)	-0.93(2)	0.03(12-I-1)	-2.77(13-II-2)
0	0.19(12-I-1)	-5.92(13-II-2)	-0.44(2)	-1.13(2)	0.03(12-I-1)	-2.11(13-II-2)
0	0.19(12-I-1)	-6.90(13-II-2)	-0.44(2)	-1.25(2)	0.03(12-I-1)	-1.01(13-II-2)
0	0.20(12-I-1)	-7.08(13-II-2)	-0.45(2)	-1.28(2)	0.03(12-I-1)	0.48(13-II-3)
0	0.21(12-I-1)	-6.42(13-II-2)	-0.46(2)	-1.25(2)	0.03(12-I-1)	1.66(13-II-2)
0	0.21(12-I-1)	-5.03(13-II-2)	-0.47(2)	-1.14(2)	0.04(12-I-1)	2.62(13-II-2)
0	0.21(12-I-1)	-3.17(13-II-2)	-0.48(2)	-0.93(2)	0.04(12-I-1)	3.03(13-II-2)
0	0.22(12-I-1)	-1.31(13-II-2)	-0.49(2)	-0.58(2)	0.04(12-I-1)	2.58(13-II-2)
0	0.12(12-I-2)	-2.76(13-II-2)	-0.46(2)	-1.37(2)	-0.03(13-I-2)	-2.65(13-II-2)
0	0.13(12-I-2)	-4.54(13-II-2)	-0.45(2)	-2.19(13-I-2)	-0.02(12-II-2)	-2.68(13-II-2)
0	0.15(12-I-2)	-6.17(13-II-2)	-0.46(2)	-2.92(13-I-2)	0.02(12-I-2)	-2.05(13-II-2)
0	0.16(12-I-2)	-7.19(13-II-2)	-0.46(2)	-3.34(13-I-2)	0.03(12-I-2)	-0.97(13-II-2)
0	0.17(12-I-2)	-7.38(13-II-2)	-0.47(2)	-3.43(13-I-2)	0.03(12-I-2)	0.49(13-II-3)
0	0.19(12-I-2)	-6.71(13-II-2)	-0.48(2)	-3.19(13-I-2)	0.03(12-I-2)	1.61(13-II-2)
0	0.20(12-I-2)	-5.27(13-II-2)	-0.49(2)	-2.66(13-I-2)	0.03(12-I-2)	2.56(13-II-2)
0	0.22(12-I-2)	-3.32(13-II-2)	-0.49(2)	-1.92(13-I-2)	0.03(12-I-2)	3.05(13-II-2)
0	0.25(12-I-2)	-1.31(13-II-2)	-0.49(2)	-1.00(13-I-2)	-0.03(12-II-2)	2.70(13-II-2)
0	-0.11(12-I-3)	2.32(13-I-3)	-0.44(2)	-0.99(2)	-0.09(2)	0.92(13-I-2)
0	-0.09(12-II-2)	2.80(13-I-3)	-0.42(2)	-1.30(13-I-3)	-0.02(12-I-3)	0.67(13-I-2)
0	0.09(12-I-2)	2.88(13-I-3)	-0.42(2)	-1.46(13-I-2)	0.02(12-II-3)	0.45(13-I-3)
0	0.10(12-I-2)	2.46(13-I-3)	-0.43(2)	-1.32(13-I-2)	0.04(13-I-2)	-1.15(13-I-3)
0	0.11(12-I-2)	1.83(13-I-2)	-0.46(2)	-1.04(2)	0.10(2)	-1.54(13-I-3)
0	-0.17(12-I-3)	2.55(13-I-3)	-0.60(2)	-1.48(2)	-0.12(2)	-0.85(13-II-2)
0	-0.14(12-I-3)	2.94(13-I-3)	-0.58(2)	-1.86(13-I-3)	-0.04(12-I-3)	0.62(13-II-2)
0	0.14(12-II-3)	2.98(13-I-3)	-0.57(2)	-1.98(13-I-3)	0.03(12-II-3)	0.50(13-I-3)
0	0.15(12-II-3)	2.57(13-I-3)	-0.58(2)	-1.72(13-I-3)	0.04(12-II-3)	1.13(13-II-3)
0	0.16(12-I-2)	1.95(13-I-2)	-0.58(2)	-1.47(2)	0.07(2)	-1.45(13-I-3)

Nodo	Trasl. X	Trasl. Y	Trasl. Z	Rotaz. X	Rotaz. Y	Rotaz. Z
0	0.22(13-II-2)	-3.04(13-II-2)	-0.54(2)	-0.27(10)	0.03(12-I-2)	-2.65(13-II-2)
0	0.22(13-II-2)	-4.71(13-II-2)	-0.53(2)	-0.35(10)	-0.03(12-II-2)	-2.61(13-II-2)
0	0.19(12-I-2)	-6.18(13-II-2)	-0.53(2)	-0.40(10)	0.03(12-I-2)	-1.96(13-II-2)
0	0.19(12-I-2)	-7.10(13-II-2)	-0.53(2)	-0.43(10)	0.03(12-I-2)	-0.95(13-II-2)
0	0.19(12-I-2)	-7.27(13-II-2)	-0.53(2)	-0.44(10)	0.03(12-I-2)	-0.51(13-I-3)
0	0.19(13-I-2)	-6.62(13-II-2)	-0.53(2)	-0.42(10)	0.02(12-I-2)	1.62(13-II-2)
0	0.26(13-I-2)	-5.25(13-II-2)	-0.52(2)	-0.37(10)	0.02(12-I-2)	2.57(13-II-2)
0	0.28(13-I-2)	-3.39(13-II-2)	-0.52(2)	0.30(13-II-2)	-0.03(12-II-2)	3.02(13-II-2)
0	0.26(13-I-2)	-1.47(13-II-2)	-0.50(2)	0.20(13-II-2)	-0.03(12-II-2)	2.76(13-II-2)
0	-0.08(12-I-3)	-2.93(13-II-3)	-0.21(13-I-3)	3.88(2)	0.01(12-II-3)	0.90(13-I-2)
0	0.08(12-II-3)	-3.19(13-II-3)	-0.21(13-I-3)	4.34(2)	-0.01(12-I-3)	0.57(13-II-2)
0	0.08(12-II-3)	-3.15(13-II-3)	-0.21(13-I-3)	4.60(2)	-0.01(12-I-3)	0.51(13-I-3)
0	0.08(12-II-3)	-2.72(13-II-3)	-0.19(13-I-3)	4.71(2)	-0.01(12-I-3)	1.05(13-II-3)
0	0.10(13-I-3)	-2.19(13-II-2)	-0.16(13-I-3)	4.81(2)	-0.02(13-II-3)	-1.38(13-I-3)
0	0.12(13-II-2)	-2.31(13-II-2)	-0.16(13-I-3)	4.88(2)	-0.02(13-II-2)	-1.89(13-II-2)
0	0.17(13-II-2)	-3.46(13-II-2)	-0.19(13-I-2)	5.05(2)	-0.02(13-II-2)	-2.56(13-II-2)
0	0.17(13-II-2)	-5.08(13-II-2)	-0.25(13-I-2)	5.13(2)	-0.02(13-II-2)	-2.62(13-II-2)
0	0.13(13-II-2)	-6.57(13-II-2)	-0.31(13-I-2)	5.14(2)	-0.02(13-II-2)	-2.02(13-II-2)
0	0.09(12-II-3)	-7.52(13-II-2)	-0.35(13-I-2)	5.33(13-II-2)	-0.02(12-I-3)	-0.98(13-II-2)
0	0.10(13-I-2)	-7.69(13-II-2)	-0.37(13-I-2)	5.38(13-II-2)	-0.01(12-I-3)	-0.54(13-I-3)
0	0.19(13-I-2)	-7.01(13-II-2)	-0.37(13-I-2)	5.00(13-II-2)	-0.01(12-I-3)	1.67(13-II-2)
0	0.25(13-I-2)	-5.60(13-II-2)	-0.35(13-I-2)	4.37(2)	-0.02(12-I-3)	2.62(13-II-2)
0	0.28(13-I-2)	-3.70(13-II-2)	-0.32(13-I-2)	3.78(2)	-0.02(12-I-3)	3.10(13-II-2)
0	-0.26(13-II-2)	-1.67(13-II-2)	-0.32(13-I-2)	2.63(2)	-0.02(12-I-3)	2.96(13-II-2)
0	-2.56(12-II-2)	-0.39(12-II-2)	-0.28(12-I-1)	0.04(13-II-1)	-5.19(2)	-4.98(12-II-2)
0	-5.45(12-II-2)	-0.44(12-II-2)	-0.32(12-I-2)	0.03(13-II-1)	-5.61(2)	5.84(12-I-2)
0	-8.57(12-II-2)	-0.46(12-II-1)	-0.36(12-I-2)	-0.03(13-I-1)	-6.44(2)	6.08(12-I-1)
0	-11.58(12-II-2)	-0.44(12-II-1)	-0.38(12-I-2)	0.04(13-II-1)	-7.03(2)	5.90(12-I-1)
0	11.91(12-I-2)	-1.87(13-II-2)	-0.57(13-II-2)	-0.14(13-I-2)	7.41(2)	-5.89(12-II-1)
0	8.87(12-I-2)	-1.86(13-II-2)	-0.50(13-II-2)	0.16(13-II-2)	6.85(2)	-5.99(12-II-1)
0	5.70(12-I-2)	-1.85(13-II-2)	-0.48(2)	0.16(13-II-2)	5.93(2)	5.69(12-I-2)
0	2.75(12-I-2)	-1.84(13-II-2)	-0.48(2)	0.19(13-II-2)	5.07(2)	5.01(12-I-2)
0	-8.22(12-II-2)	-0.24(13-II-2)	-0.36(12-I-2)	0.02(13-II-2)	-6.95(2)	-2.51(12-I-2)
0	-6.84(12-II-2)	-0.27(12-I-2)	-0.33(12-I-2)	-0.02(13-I-2)	-6.52(2)	-3.07(12-I-2)
0	-5.21(12-II-2)	-0.29(12-I-2)	-0.31(12-I-2)	-0.02(13-I-2)	-5.86(2)	-3.37(12-I-2)
0	-3.51(12-II-2)	-0.28(12-I-2)	-0.30(12-I-2)	-0.02(13-I-2)	-4.92(2)	-3.33(12-I-2)
0	-1.81(12-II-2)	-0.24(12-I-2)	-0.31(12-I-2)	-0.03(13-I-2)	-3.76(2)	3.09(12-II-2)
0	2.01(12-I-2)	1.80(13-I-2)	-0.52(2)	-0.17(13-I-2)	5.49(2)	-3.06(12-I-2)
0	3.72(12-I-2)	1.77(13-I-2)	-0.55(2)	-0.11(13-I-2)	6.15(2)	3.18(12-II-2)
0	5.45(12-I-2)	1.74(13-I-2)	-0.57(2)	-0.08(12-I-2)	7.07(2)	3.22(12-II-2)
0	7.11(12-I-2)	1.72(13-I-2)	-0.59(2)	-0.07(12-I-2)	7.73(2)	-2.96(12-I-2)
0	8.51(12-I-2)	-1.70(13-II-2)	-0.61(2)	-0.05(12-I-1)	8.07(2)	-2.46(12-I-2)
0	-1.77(12-II-2)	-0.28(12-II-2)	-0.29(12-I-2)	0.04(13-II-2)	-4.35(2)	-3.32(12-II-2)
0	-3.80(12-II-2)	-0.29(12-II-2)	-0.27(12-I-2)	0.02(13-II-2)	-6.09(2)	3.60(12-I-2)
0	-5.77(12-II-2)	-0.27(12-II-2)	-0.27(12-I-2)	0.02(13-II-2)	-7.09(2)	3.41(12-I-2)
0	-7.49(12-II-2)	-0.24(13-II-2)	-0.29(12-I-2)	0.02(13-II-2)	-7.71(2)	2.79(12-I-2)
0	-8.78(12-II-2)	-0.24(13-II-2)	-0.32(12-I-2)	0.02(13-II-2)	-8.07(2)	1.96(12-I-2)
0	-9.53(12-II-2)	-0.23(13-II-2)	-0.34(12-I-2)	0.02(13-II-2)	-8.17(2)	1.09(12-I-2)
0	-9.67(12-II-2)	-0.23(13-II-2)	-0.35(12-I-2)	0.02(13-II-2)	-8.07(2)	-0.89(12-I-2)
0	9.99(12-I-2)	-1.69(13-II-2)	-0.64(2)	-0.02(13-II-2)	8.62(2)	-0.90(12-I-2)
0	9.86(12-I-2)	-1.69(13-II-2)	-0.65(2)	-0.02(12-II-2)	8.72(2)	1.08(12-I-2)
0	9.09(12-I-2)	-1.69(13-II-2)	-0.65(2)	0.03(12-I-2)	8.59(2)	1.95(12-I-2)
0	7.77(12-I-2)	-1.69(13-II-2)	-0.65(2)	0.05(12-I-2)	8.17(2)	2.75(12-I-2)
0	6.00(12-I-2)	-1.69(13-II-2)	-0.64(2)	0.08(12-I-2)	7.47(2)	3.32(12-I-2)
0	3.96(12-I-2)	-1.70(13-II-2)	-0.63(2)	0.10(12-I-2)	6.32(2)	3.56(12-I-2)
1	-1.83(12-II-4)	-3.70(12-II-1)	-57.84(2)	0.24(13-I-1)	-13.44(2)	2.00(12-II-1)
1	0.00(1)	0.00(1)	-0.39(2)	0.03(13-II-4)	-0.03(13-II-4)	0.00(1)
2	0.00(1)	0.00(1)	-0.34(2)	0.03(13-II-1)	-0.02(13-II-4)	0.00(1)
3	0.00(1)	0.00(1)	-0.08(1)	0.00(1)	0.00(1)	0.00(1)
3	0.00(1)	0.00(1)	-0.39(13-II-3)	0.05(13-II-3)	0.03(13-II-4)	0.00(1)
4	0.00(1)	0.00(1)	-0.30(2)	0.03(13-II-3)	0.04(13-II-2)	0.00(1)
5	0.00(1)	0.00(1)	-0.38(13-II-2)	0.09(13-II-2)	0.01(13-II-2)	0.00(1)
6	0.00(1)	0.00(1)	-0.42(2)	0.03(13-II-2)	0.03(13-I-2)	0.00(1)
7	0.00(1)	0.00(1)	-0.28(2)	-0.01(13-I-4)	0.01(12-I-4)	0.00(1)
8	0.00(1)	0.00(1)	-0.26(2)	0.03(13-II-2)	0.01(13-I-2)	0.00(1)
9	0.00(1)	0.00(1)	-0.29(2)	0.06(13-II-2)	0.01(12-I-1)	0.00(1)

Nodo	Trasl. X	Trasl. Y	Trasl. Z	Rotaz. X	Rotaz. Y	Rotaz. Z
10	0.00(1)	0.00(1)	-0.42(2)	0.02(13-II-2)	0.03(2)	0.00(1)
11	0.00(1)	0.00(1)	-0.40(2)	-0.03(13-I-4)	-0.03(13-I-4)	0.00(1)
12	0.00(1)	0.00(1)	-0.31(2)	-0.02(13-I-4)	-0.01(13-I-4)	0.00(1)
13	0.00(1)	0.00(1)	-0.28(2)	-0.02(2)	-0.01(13-I-4)	0.00(1)
14	0.00(1)	0.00(1)	-0.26(2)	-0.01(12-I-3)	-0.00(13-I-1)	0.00(1)
15	0.00(1)	0.00(1)	-0.41(2)	0.01(13-II-2)	0.04(2)	0.00(1)
16	0.00(1)	0.00(1)	-0.26(2)	-0.01(13-I-4)	0.01(12-II-3)	0.00(1)
17	0.00(1)	0.00(1)	-0.40(2)	-0.01(13-I-2)	0.03(12-I-2)	0.00(1)
18	0.00(1)	0.00(1)	-0.38(2)	-0.02(2)	-0.02(12-I-3)	0.00(1)
19	0.00(1)	0.00(1)	-0.36(2)	-0.04(2)	-0.01(12-I-3)	0.00(1)
20	0.00(1)	0.00(1)	-0.43(2)	-0.03(13-I-2)	0.03(13-I-2)	0.00(1)
21	-0.04(13-II-4)	-0.05(13-II-1)	-0.35(2)	0.03(13-II-1)	-0.02(13-II-4)	-0.06(12-I-1)
22	-0.05(13-II-4)	-0.06(13-II-4)	-0.39(2)	0.03(13-II-4)	-0.03(13-II-4)	0.11(12-II-4)
23	-0.04(13-I-4)	0.03(13-I-4)	-0.32(2)	-0.02(13-I-4)	-0.02(13-I-4)	0.03(13-II-4)
24	-0.05(13-I-4)	0.07(13-I-4)	-0.40(2)	-0.03(13-I-4)	-0.03(13-I-4)	-0.11(12-II-4)
25	0.05(13-II-4)	-0.11(13-II-3)	-0.40(13-II-3)	0.06(13-II-3)	0.03(13-II-3)	-0.05(12-I-1)
26	0.07(13-II-2)	-0.08(13-II-3)	-0.32(2)	0.03(13-II-3)	0.04(13-II-2)	0.04(12-I-1)
27	0.02(12-I-1)	-0.08(13-II-2)	-0.28(2)	0.04(13-II-2)	0.01(13-I-2)	0.02(13-I-1)
28	-0.02(12-II-4)	0.02(13-I-1)	-0.30(2)	-0.01(13-I-1)	-0.01(12-II-4)	-0.08(12-II-4)
29	0.03(13-II-2)	-0.23(13-II-2)	-0.41(13-II-2)	0.12(13-II-2)	0.01(13-II-2)	0.02(13-I-2)
30	0.06(13-I-2)	-0.05(13-II-2)	-0.43(2)	0.02(13-II-2)	0.04(12-I-1)	-0.04(13-I-2)
31	0.06(12-I-1)	-0.04(13-II-2)	-0.43(2)	0.02(13-II-2)	0.04(12-I-1)	0.04(13-II-2)
32	0.03(12-I-1)	-0.23(13-II-2)	-0.31(2)	0.12(13-II-2)	0.01(12-I-1)	-0.05(13-II-2)
33	0.07(12-I-2)	-0.03(13-II-2)	-0.42(2)	0.02(13-II-2)	0.04(12-I-2)	0.05(13-II-2)
34	0.07(12-I-2)	0.03(13-I-2)	-0.41(2)	0.01(13-II-2)	0.04(12-I-2)	0.07(13-II-2)
35	0.06(13-I-2)	0.03(13-I-2)	-0.43(2)	-0.03(13-I-2)	0.02(13-I-2)	-0.12(13-I-3)
36	-0.03(12-I-3)	0.07(2)	-0.37(2)	-0.05(2)	-0.01(12-I-3)	0.08(13-I-3)
37	-0.03(12-I-3)	0.04(12-I-3)	-0.38(2)	-0.02(12-I-3)	-0.02(12-I-3)	0.05(12-II-3)
38	-0.03(13-I-4)	0.02(13-I-4)	-0.29(2)	-0.01(13-I-4)	-0.02(13-I-4)	-0.03(12-II-3)
39	0.03(12-II-3)	0.02(13-I-4)	-0.28(2)	-0.01(13-I-3)	0.02(12-II-3)	-0.08(13-II-3)
40	-0.01(13-I-4)	-0.01(13-II-4)	-0.27(2)	0.01(13-II-4)	0.01(2)	-0.05(13-II-3)
41	-0.13(13-II-4)	-0.13(13-II-1)	-0.38(2)	-0.05(2)	-0.02(13-II-4)	1.22(12-II-4)
42	-0.14(13-II-4)	0.21(12-I-4)	-0.39(2)	-0.07(12-II-4)	0.09(12-I-4)	-1.97(12-I-4)
43	-0.18(13-I-4)	-0.46(13-II-3)	-0.45(13-II-3)	-0.10(13-I-3)	-0.10(13-I-3)	-1.76(12-I-4)
44	-5.67(12-II-4)	0.75(13-I-3)	-0.38(13-I-1)	-0.48(2)	-4.48(2)	-1.68(13-II-3)
45	5.33(12-I-1)	-1.39(13-II-2)	-0.71(13-II-2)	-0.24(13-I-2)	-2.72(12-II-2)	2.73(12-I-4)
46	5.34(12-I-1)	-0.21(13-II-2)	-0.61(2)	0.03(13-II-2)	2.50(12-I-2)	-2.27(12-II-4)
47	0.22(12-I-1)	-0.12(13-II-2)	-0.50(2)	-0.02(13-I-2)	0.05(12-I-1)	1.04(13-II-2)
48	0.35(12-I-2)	-0.15(13-II-2)	-0.55(2)	0.02(13-II-2)	0.67(12-I-2)	-0.49(13-I-2)
49	0.18(12-I-2)	0.09(13-I-2)	-0.47(2)	0.03(13-II-2)	-0.04(12-II-2)	1.62(13-II-2)
50	0.19(13-I-2)	0.07(13-I-2)	-0.43(2)	0.06(13-II-2)	-0.03(12-I-3)	1.70(13-II-2)
51	-0.08(12-I-3)	-2.62(13-II-3)	-0.24(4)	2.81(2)	-0.04(2)	0.80(13-I-3)
52	0.08(12-II-3)	0.12(12-I-3)	-0.38(2)	0.02(13-II-4)	0.05(12-II-3)	0.79(12-II-3)
53	0.12(12-I-4)	-0.11(13-II-4)	-0.42(2)	0.43(2)	0.46(2)	0.47(12-I-3)
54	-0.14(13-I-4)	-0.10(13-II-1)	-0.34(2)	0.05(2)	-0.04(2)	-0.44(12-II-4)
55	-0.14(13-I-4)	0.18(13-I-4)	-0.40(2)	0.05(13-II-4)	0.07(2)	-1.04(12-II-4)
56	-0.26(12-I-3)	2.22(13-I-3)	-0.81(2)	-1.01(2)	-0.90(2)	-1.03(12-II-3)
57	-0.17(12-I-3)	1.83(13-I-3)	-0.61(2)	-0.72(13-II-3)	-0.65(2)	-1.08(13-II-3)
58	0.16(12-I-1)	-1.49(13-II-2)	-0.43(2)	-0.17(13-I-2)	0.06(12-I-1)	-1.16(13-II-2)
59	0.08(12-I-1)	-1.22(13-II-3)	-0.35(2)	-0.52(13-I-3)	-0.17(2)	1.15(12-I-4)
60	-0.17(12-II-4)	-0.11(13-II-1)	-0.39(2)	-0.02(13-I-4)	-0.47(2)	1.26(12-I-4)
61	-0.13(12-II-2)	-1.68(13-II-2)	-0.53(2)	-0.04(2)	-1.17(12-II-2)	0.40(13-I-3)
62	0.18(12-I-2)	-1.77(13-II-2)	-0.54(2)	-0.08(13-II-3)	-0.06(12-II-2)	-1.80(13-II-2)
63	0.21(12-I-2)	-0.19(12-II-2)	-0.48(2)	0.05(12-I-2)	-0.12(2)	2.45(12-I-2)
64	9.50(12-I-2)	-1.69(13-II-2)	-0.63(2)	-0.03(12-I-2)	7.77(2)	-1.72(12-I-2)
65	0.40(12-I-1)	1.81(13-I-2)	-0.47(2)	-0.10(13-I-2)	0.21(2)	3.15(12-I-2)
66	-14.29(12-II-1)	0.41(12-I-1)	-0.41(12-I-2)	0.05(13-II-1)	-7.16(12-II-2)	6.07(12-I-1)
67	0.37(12-I-1)	-0.25(12-II-2)	-0.50(2)	0.03(12-I-2)	-0.26(2)	-3.09(12-II-2)
68	-9.20(12-II-2)	-0.24(13-II-2)	-0.38(12-I-2)	0.02(13-II-2)	-7.19(2)	-1.71(12-I-2)
69	0.26(12-I-2)	-1.69(13-II-2)	-0.56(2)	0.11(13-I-2)	0.09(12-I-2)	-2.44(12-II-2)
70	14.68(12-I-1)	-1.86(13-II-2)	-0.63(13-II-2)	-0.17(13-I-2)	7.44(2)	-6.03(12-II-1)
130	1.27(2)	2.48(2)	-0.14(2)	0.39(12-II-4)	-0.13(12-II-2)	0.38(12-I-1)
146	5.25(12-I-1)	-1.77(12-II-1)	-10.41(12-II-3)	3.79(12-II-4)	7.89(12-II-3)	1.85(12-I-4)
230	-48.43(12-II-3)	35.54(12-II-4)	-10.41(12-II-3)	12.75(12-II-4)	15.33(12-II-3)	1.85(12-I-4)
246	0.30(12-I-2)	-1.34(12-II-1)	-0.14(2)	1.16(2)	-0.46(2)	0.38(12-I-1)

VERIFICHE STATO LIMITE ULTIMO

Verifica dei Muri in calcestruzzo

Scenario di calcolo : Set_NT_SLV_SLD_A2_STR/GEO_2018

Muro [Plateal]:1 - Nodi : [1 - 2 - 7 - 12 - 11]:Verificato

Pann=60 Spess.= 50 cm Terreno:**Terreno1** Criterio CLS_Platee Materiale: C25/30
Fatt.Ampl.Sisma = 1.1

Armatura a maglia doppia

Pannello	Nx	<th>Nxy</th> <th>Mx</th> <th>My</th> <th>Mxy</th> <th>Ax</th> <th>Ay</th> <th>C</th> <th>Cs</th>	Nxy	Mx	My	Mxy	Ax	Ay	C	Cs
	kg	kg	kg	kg*m	kg*m	kg*m	cmq	cmq		
1	1361	1303	-659	-698	-376	603	10.26	12.32	2	6.5
2	3846	2752	-696	-1755	131	533	10.26	12.32	2	3.5
3	4854	3009	-340	-2534	21	239	10.26	12.32	2	2.8
4	5754	2769	192	-2787	-116	96	10.26	12.32	2	2.6
5	6751	2367	599	-2734	-177	53	10.26	12.32	2	2.6
6	7386	2089	314	-2578	-176	-25	10.26	12.32	2	2.8
7	7074	2277	-352	-2244	-40	-259	10.26	12.32	2	2.9
8	5617	2502	-619	-1898	116	-479	10.26	12.32	2	3.2
9	3682	2263	-493	-1243	110	-720	10.26	12.32	2	4.1
10	777	1164	-119	-528	-501	-625	10.26	12.32	2	7.5
11	2546	3871	-771	155	-858	757	10.26	12.32	2	6.0
12	3751	3302	-371	605	750	786	10.26	12.32	2	5.8
13	5026	3021	-460	746	728	402	10.26	12.32	2	6.7
14	6054	2632	-153	743	459	130	10.26	12.32	2	8.6
15	6839	2243	211	751	332	3	10.26	12.32	2	9.7
16	7165	2030	299	791	375	-101	10.26	12.32	2	8.1
17	6690	2201	57	833	578	-301	10.26	12.32	2	6.5
18	5482	2698	-327	785	803	-609	10.26	12.32	2	5.5
19	3789	3222	-592	556	575	-895	10.26	12.32	2	5.5
20	2451	3809	28	86	-1138	-744	10.26	12.32	2	5.2
21	3419	5505	-1531	400	-1304	338	10.26	12.32	2	5.7
22	3832	4229	-1194	1384	1052	365	10.26	12.32	2	4.6
23	5167	3199	-984	2001	1154	204	10.26	12.32	2	3.5
24	6363	2578	-571	2244	801	69	10.26	12.32	2	3.2
25	7096	2211	-72	2306	604	-7	10.26	12.32	2	3.1
26	7230	2103	301	2289	661	-66	10.26	12.32	2	3.1
27	6635	2363	470	2173	924	-158	10.26	12.32	2	3.2
28	5380	3072	462	1850	1189	-295	10.26	12.32	2	3.6
29	3969	4200	442	1205	825	-422	10.26	12.32	2	4.9
30	3521	5390	768	304	-1588	-360	10.26	12.32	2	4.8
31	3633	5623	-2542	464	-1393	-257	10.26	12.32	2	5.7
32	4049	4274	-2450	1584	1080	-306	10.26	12.32	2	4.2
33	5596	3150	-1836	2310	1224	-184	10.26	12.32	2	3.0
34	6879	2519	-1036	2618	881	-80	10.26	12.32	2	2.7
35	7576	2226	-297	2706	673	-29	10.26	12.32	2	2.6
36	7638	2166	335	2685	710	6	10.26	12.32	2	2.7
37	6997	2402	909	2545	960	67	10.26	12.32	2	2.8
38	5681	3075	1447	2177	1239	172	10.26	12.32	2	3.2
39	4152	4244	1812	1435	911	269	10.26	12.32	2	4.6
40	3764	5545	1805	395	-1604	204	10.26	12.32	2	5.2
41	3004	3883	-3287	393	-997	-861	10.26	12.32	2	5.2
42	4433	3290	-3480	1240	823	-940	10.26	12.32	2	3.6

Pannello	Nx	<th>Nxy</th> <th>Mx</th> <th>My</th> <th>Mxy</th> <th>Ax</th> <th>Ay</th> <th>C</th> <th>Cs</th>	Nxy	Mx	My	Mxy	Ax	Ay	C	Cs
43	6366	2796	-2505	1684	887	-540	10.26	12.32		2 3.3
44	7664	2498	-1385	1858	645	-227	10.26	12.32		2 3.4
45	8267	2341	-462	1915	495	-61	10.26	12.32		2 3.6
46	8316	2297	327	1907	509	57	10.26	12.32		2 3.6
47	7758	2397	1162	1833	675	235	10.26	12.32		2 3.4
48	6424	2704	2123	1638	889	549	10.26	12.32		2 3.4
49	4477	3241	2919	1175	744	912	10.26	12.32		2 3.8
50	3105	3911	2624	364	-1108	796	10.26	12.32		2 5.1
51	1182	1067	-2789	-353	-397	-1014	10.26	12.32		2 6.3
52	4744	2407	-3490	-732	215	-1027	10.26	12.32		2 4.4
53	7308	2852	-2632	-1042	195	-600	10.26	12.32		2 4.4
54	2651	914	-1606	-1447	-103	-310	10.26	12.32	(12+13)-III-1	4.7
55	3034	1001	-1118	-1493	-128	-218	10.26	12.32	(12+13)-III-1	4.8
56	2767	1248	-588	-1519	-120	-131	10.26	12.32	(12+13)-VII-3	5.0
57	8689	2736	1192	-1103	96	259	10.26	12.32		2 5.1
58	7419	2775	2182	-1070	187	581	10.26	12.32		2 4.4
59	4854	2378	2963	-769	192	993	10.26	12.32		2 4.4
60	1310	1146	2323	-364	-427	965	10.26	12.32		2 6.4
										Massimi/minimi
1							10.26			
1								12.32		
35										2.6

Muro [Plateal]:2 - Nodi : [2 - 3 - 4 - 8 - 7]:Verificato

Pann=36 Spess.= 50 cm Terreno:**Terreno1** Criterio CLS_Platee Materiale: C25/30
Fatt.Ampl.Sisma = 1.1

Armatura a maglia doppia

Pannello	Nx	Ny	Nxy	Mx	My	Mxy	Ax	Ay	C	Cs
	kg	kg	kg	kg*m	kg*m	kg*m	cmq	cmq		
1	1143	1030	1745	-400	-299	811	10.26	12.32		2 7.1
2	4239	1756	2055	-901	191	717	10.26	12.32		2 4.9
3	6043	1913	944	-1328	169	203	10.26	12.32		2 4.9
4	4201	1451	-1539	-1663	22	-354	10.26	12.32		2 3.9
5	1762	1224	-1355	-1625	-13	-669	10.26	12.32		2 3.7
6	495	-237	-1108	-678	-425	-639	10.26	12.32		2 6.6
7	2723	2834	1924	324	-795	755	10.26	12.32		2 6.4
8	3612	2215	1859	963	838	749	10.26	12.32		2 4.7
9	4159	1590	310	1188	951	266	10.26	12.32		2 5.4
10	3405	2783	-2332	1065	713	-383	10.26	12.32	(12+13)-II-2	5.6
11	1574	1996	-1714	784	576	-724	10.26	12.32		2 5.6
12	1179	1980	-1498	210	-837	-722	10.26	12.32		2 6.5
13	3206	4261	1145	430	-1128	245	10.26	12.32		2 7.0
14	2876	3035	832	1370	1166	268	10.26	12.32		2 5.0
15	3018	2225	-45	1893	1405	92	10.26	12.32		2 4.1
16	2334	2238	-903	1876	1223	-125	10.26	12.32		2 4.2
17	1335	2758	-1396	1337	838	-310	10.26	12.32		2 5.2
18	1502	3125	-1507	371	-1218	-319	10.26	12.32		2 6.4
19	2922	4261	202	404	-1074	-299	10.26	12.32		2 7.0
20	2482	3169	-222	1297	1173	-296	10.26	12.32		2 5.2
21	2470	2465	-444	1787	1392	-119	10.26	12.32		2 4.3
22	1924	2434	-622	1760	1216	69	10.26	12.32		2 4.6
23	1067	2937	-884	1249	820	210	10.26	12.32		2 5.9
24	1146	3366	-1562	327	-1222	136	10.26	12.32		2 7.2
25	2068	3024	-471	204	-711	-726	10.26	12.32		2 6.9
26	2348	2545	-897	686	864	-689	10.26	12.32		2 6.0
27	2452	2418	-646	839	934	-221	10.26	12.32		2 7.8
28	1868	2354	-463	773	803	236	10.26	12.32		2 8.3
29	735	2435	-384	547	551	599	10.26	12.32		2 7.6
30	-175	2993	-1622	53	-826	480	10.26	12.32		2 7.6
31	852	944	-512	-600	-319	-644	10.26	12.32		2 6.9
32	2475	2350	-569	-1497	202	-495	10.26	12.32		2 4.2
33	2544	2633	-663	-2112	141	-102	10.26	12.32		2 3.7

Pannello	Nx	<th>Nxy</th> <th>Mx</th> <th>My</th> <th>Mxy</th> <th>Ax</th> <th>Ay</th> <th>C</th> <th>Cs</th>	Nxy	Mx	My	Mxy	Ax	Ay	C	Cs
34	1949	2458	-610	-2124	83	230	10.26	12.32	2	3.6
35	465	2083	-482	-1658	38	509	10.26	12.32	2	4.0
36	-2549	1369	-1143	-943	-332	425	10.26	12.32	2	6.8
Massimi/minimi										
1							10.26			
1								12.32		
34										3.6

Muro [Platea]:3 - Nodi : [4 - 5 - 9 - 8]:Verificato

Pann=8 Spess.= 50 cm Terreno:**Terreno1** Criterio CLS_Platee Materiale: C25/30
Fatt.Ampl.Sisma = 1.1

Armatura a maglia doppia

Pannello	Nx	Ny	Nxy	Mx	My	Mxy	Ax	Ay	C	Cs
	kg	kg	kg	kg*m	kg*m	kg*m	cmq	cmq		
1	-593	1117	-5068	-184	-174	-786	10.26	12.32	(12+13)-VI-2	9.2
2	-1120	-3764	2070	-237	-532	392	10.26	12.32	(12+13)-II-3	12
3	-900	3599	-4824	119	-157	-643	10.26	12.32	(12+13)-VI-2	12
4	956	3452	-4066	319	831	-378	10.26	12.32	(12+13)-II-2	8.1
5	1133	-3718	4378	231	271	491	10.26	12.32	(12+13)-II-1	12
6	842	3991	-3761	376	958	-500	10.26	12.32	(12+13)-II-2	6.6
7	2356	-2826	4511	364	82	369	10.26	12.32	(12+13)-II-1	11
8	491	5177	-3625	-234	684	-491	10.26	12.32	(12+13)-II-2	8.0
Massimi/minimi										
1							10.26			
1								12.32		
6										6.6

Muro [Platea]:4 - Nodi : [5 - 6 - 10 - 9]:Verificato

Pann=12 Spess.= 50 cm Terreno:**Terreno1** Criterio CLS_Platee Materiale: C25/30
Fatt.Ampl.Sisma = 1.1

Armatura a maglia doppia

Pannello	Nx	Ny	Nxy	Mx	My	Mxy	Ax	Ay	C	Cs
	kg	kg	kg	kg*m	kg*m	kg*m	cmq	cmq		
1	-2317	3417	2558	-554	-46	-54	10.26	12.32	(12+13)-VI-2	15
2	1232	5259	2123	-178	686	468	10.26	12.32	(12+13)-II-2	8.2
3	1904	-4284	-2095	242	325	-322	10.26	12.32	(12+13)-II-1	15
4	1726	4284	2100	376	909	439	10.26	12.32	(12+13)-II-2	7.1
5	1937	4695	3514	213	329	404	10.26	12.32	(12+13)-II-2	13
6	2168	4168	2631	280	759	375	10.26	12.32	(12+13)-II-2	8.5
7	2326	3944	3417	259	320	427	10.26	12.32	(12+13)-II-2	12
8	2085	3570	3090	259	568	341	10.26	12.32	(12+13)-VI-2	11
9	2143	2735	3180	382	266	525	10.26	12.32	(12+13)-II-2	9.2
10	2261	3166	3739	403	390	286	10.26	12.32	(12+13)-II-2	12
11	1120	1284	2578	-85	96	684	10.26	12.32	(12+13)-II-2	11
12	163	-1805	-833	-139	-245	-330	10.26	12.32	(12+13)-II-1	19
Massimi/minimi										
1							10.26			
1								12.32		
4										7.1

Muro [Platea]:5 - Nodi : [10 - 15 - 14 - 13 - 12 - 7 - 8 - 9]:Verificato

Pann=64 Spess.= 50 cm Terreno:**Terreno1** Criterio CLS_Platee Materiale: C25/30
Fatt.Ampl.Sisma = 1.1

Armatura a maglia doppia

Pannello	Nx	Ny	Nxy	Mx	My	Mxy	Ax	Ay	C	Cs
----------	----	----	-----	----	----	-----	----	----	---	----

Pannello	Nx	<th>Nxy</th> <th>Mx</th> <th>My</th> <th>Mxy</th> <th>Ax</th> <th>Ay</th> <th>C</th> <th>Cs</th>	Nxy	Mx	My	Mxy	Ax	Ay	C	Cs
	kg	kg	kg	kg*m	kg*m	kg*m	cmq	cmq		
1	-157	943	-761	-519	-285	429	10.26	12.32	2	9.3
2	2154	2290	-1025	-1139	188	271	10.26	12.32	(12+13)-II-2	5.9
3	2629	2578	-730	-1680	68	87	10.26	12.32	(12+13)-II-2	4.7
4	3591	2397	-390	-1921	-62	13	10.26	12.32	(12+13)-II-2	4.2
5	4441	2095	-210	-2004	-126	19	10.26	12.32	(12+13)-II-2	3.9
6	5132	1791	820	-1990	-144	36	10.26	12.32	(12+13)-II-2	3.8
7	5015	1329	1105	-1882	-159	73	10.26	12.32	(12+13)-II-4	4.0
8	4713	1271	1547	-1667	-144	116	10.26	12.32	(12+13)-II-4	4.4
9	4363	1166	1865	-1372	-126	139	10.26	12.32	(12+13)-II-4	5.2
10	4123	1072	1611	-1096	-112	124	10.26	12.32	(12+13)-II-4	6.5
11	3615	1431	1076	-887	-37	-16	10.26	12.32	(12+13)-VIII-4	8.9
12	1888	1658	1138	-845	79	69	10.26	12.32	2	9.2
13	1931	1473	1777	-792	92	102	10.26	12.32	2	9.4
14	2094	577	1707	-693	13	49	10.26	12.32	2	11
15	1881	465	1213	-608	40	-192	10.26	12.32	2	11
16	760	-195	571	-289	-306	-316	10.26	12.32	2	14
17	517	2772	-703	306	-474	293	10.26	12.32	2	13
18	284	2472	-643	1035	879	235	10.26	12.32	2	6.9
19	420	2513	-676	1272	662	42	10.26	12.32	2	6.6
20	486	2311	-367	1219	397	-33	10.26	12.32	2	7.0
21	592	1945	-83	1132	266	-42	10.26	12.32	2	7.4
22	812	1565	175	1081	196	-28	10.26	12.32	2	7.8
23	1051	1318	471	1060	161	2	10.26	12.32	2	8.1
24	1325	1190	750	1061	163	20	10.26	12.32	2	7.9
25	1840	1024	941	1087	184	18	10.26	12.32	2	7.6
26	2392	845	1018	1128	198	15	10.26	12.32	2	7.3
27	2496	914	1072	1162	245	27	10.26	12.32	2	7.0
28	2229	1120	1223	1173	317	59	10.26	12.32	2	6.8
29	1956	989	1292	1191	363	88	10.26	12.32	2	6.6
30	1867	567	1189	1173	406	16	10.26	12.32	2	7.1
31	1531	97	883	919	405	-143	10.26	12.32	2	8.0
32	1345	298	1050	322	-644	-109	10.26	12.32	2	14
33	630	2890	-980	372	-475	-283	10.26	12.32	2	13
34	315	2519	-967	1201	908	-222	10.26	12.32	2	6.1
35	3059	2435	-682	1412	578	136	10.26	12.32	(12+13)-II-2	5.3
36	3915	2453	-809	1478	391	167	10.26	12.32	(12+13)-II-2	4.8
37	4845	2266	-800	1505	343	150	10.26	12.32	(12+13)-II-2	4.7
38	6092	1677	348	1512	404	105	10.26	12.32	(12+13)-II-2	4.6
39	6419	1333	1040	1463	412	-3	10.26	12.32	(12+13)-II-2	5.1
40	5380	1639	1732	1355	293	-62	10.26	12.32	(12+13)-VI-4	5.4
41	4499	1553	1423	1228	212	-78	10.26	12.32	(12+13)-VI-4	6.0
42	2528	712	898	1282	207	12	10.26	12.32	2	6.4
43	2700	663	1214	1251	218	47	10.26	12.32	2	6.3
44	2207	938	1322	1203	289	84	10.26	12.32	2	6.5
45	1808	1024	1073	1161	356	96	10.26	12.32	2	6.7
46	1603	597	653	1093	451	121	10.26	12.32	2	7.0
47	1464	-220	650	839	401	207	10.26	12.32	2	8.1
48	1576	-858	762	280	-856	259	10.26	12.32	2	9.6
49	-1554	411	-42	-534	-127	-399	10.26	12.32	(12+13)-II-1	9.8
50	-1447	1278	-242	-1116	133	-208	10.26	12.32	(12+13)-VI-3	6.9
51	-2175	1205	-340	-1595	4	-117	10.26	12.32	(12+13)-VI-3	5.4
52	-2826	806	-983	-1911	-116	71	10.26	12.32	(12+13)-VI-3	4.7
53	-3356	-194	-44	-2244	-271	71	10.26	12.32	(12+13)-VI-1	4.1
54	-4662	-1058	190	-2674	-505	-86	10.26	12.32	(12+13)-II-3	3.5
55	7491	1814	1597	1860	418	138	10.26	12.32	(12+13)-II-2	3.6
56	-2996	-639	-593	-2179	-320	-101	10.26	12.32	(12+13)-II-3	4.1
57	-1455	-212	-273	-1784	-193	-93	10.26	12.32	(12+13)-II-3	4.9
58	-353	-21	-43	-1526	-182	-94	10.26	12.32	(12+13)-II-3	5.5
59	164	-455	504	-1344	-225	26	10.26	12.32	(12+13)-II-3	6.4
60	265	351	780	-1196	-74	56	10.26	12.32	(12+13)-II-3	7.0
61	35	808	968	-1089	11	60	10.26	12.32	(12+13)-II-3	7.7
62	83	1006	501	-931	112	150	10.26	12.32	(12+13)-IV-3	8.1
63	1434	-14	63	-628	42	255	10.26	12.32	(12+13)-VIII-1	9.6
64	1236	-3385	-358	-203	-714	311	10.26	12.32	2	11

Pannello	Nx	<th>Nxy</th> <th>Mx</th> <th>My</th> <th>Mxy</th> <th>Ax</th> <th>Ay</th> <th>C</th> <th>Cs</th>	Nxy	Mx	My	Mxy	Ax	Ay	C	Cs
Massimi/minimi										
1							10.26			
1								12.32		
54										3.5

Muro [Platea]:6 - Nodi : [15 - 17 - 16 - 14]:Verificato

Pann=40 Spess.= 50 cm Terreno:**Terreno1** Criterio CLS_Platee Materiale: C25/30
Fatt.Ampl.Sisma = 1.1

Armatura a maglia doppia

Pannello	Nx	Ny	Nxy	Mx	My	Mxy	Ax	Ay	C	Cs
	kg	kg	kg	kg*m	kg*m	kg*m	cmq	cmq		
1	100	1651	-707	-429	-433	-706	10.26	12.32	2	7.7
2	1555	3025	-679	-891	417	-545	10.26	12.32	2	5.9
3	1851	3103	-667	-1241	324	-179	10.26	12.32	2	5.9
4	914	1691	-882	-1461	6	-17	10.26	12.32	(12+13)-VI-3	5.8
5	749	1344	-793	-1467	-83	29	10.26	12.32	(12+13)-VI-3	5.8
6	761	1065	-789	-1398	-109	34	10.26	12.32	(12+13)-VI-3	6.0
7	767	912	-650	-1277	-84	51	10.26	12.32	(12+13)-II-1	6.5
8	1601	1320	350	-1003	53	239	10.26	12.32	2	6.8
9	786	1264	750	-807	68	438	10.26	12.32	2	6.9
10	-1248	1082	420	-510	-277	442	10.26	12.32	2	9.5
11	1707	4159	-518	396	-852	-377	10.26	12.32	2	7.8
12	1128	3392	-666	1364	1117	-339	10.26	12.32	2	5.0
13	1611	2897	-325	1852	1038	-110	10.26	12.32	2	4.3
14	1852	2488	-189	1940	666	26	10.26	12.32	2	4.3
15	1872	2124	-85	1878	432	59	10.26	12.32	2	4.3
16	1789	1808	46	1782	356	56	10.26	12.32	2	4.6
17	1605	1576	210	1665	401	65	10.26	12.32	2	4.9
18	1236	1499	402	1461	524	127	10.26	12.32	2	5.4
19	740	1652	538	1044	490	243	10.26	12.32	2	6.7
20	1057	2221	-160	347	-624	216	10.26	12.32	2	12
21	1747	4161	414	388	-816	470	10.26	12.32	2	7.5
22	1157	3355	476	1313	1105	446	10.26	12.32	2	4.9
23	1545	2835	191	1762	1013	199	10.26	12.32	2	4.3
24	1755	2405	202	1822	633	39	10.26	12.32	2	4.5
25	1762	2016	288	1748	397	-24	10.26	12.32	2	4.8
26	1674	1696	361	1658	320	-52	10.26	12.32	2	4.9
27	1513	1479	404	1566	368	-94	10.26	12.32	2	5.1
28	1254	1388	325	1406	495	-189	10.26	12.32	2	5.4
29	1043	1475	-39	1045	469	-338	10.26	12.32	2	6.2
30	1530	1781	-170	385	-620	-334	10.26	12.32	2	11
31	356	1831	746	-463	-383	731	10.26	12.32	2	7.3
32	1588	2871	601	-1088	373	550	10.26	12.32	2	5.2
33	1683	2862	580	-1609	250	185	10.26	12.32	2	4.7
34	1686	2388	714	-1783	43	2	10.26	12.32	2	4.7
35	1715	1850	755	-1774	-80	-50	10.26	12.32	2	4.6
36	1675	1425	700	-1694	-121	-57	10.26	12.32	2	4.8
37	1586	1144	613	-1562	-97	-82	10.26	12.32	2	5.2
38	1565	938	471	-1315	-25	-181	10.26	12.32	2	5.7
39	1504	641	89	-867	2	-377	10.26	12.32	2	6.8
40	751	157	-272	-334	-327	-465	10.26	12.32	2	11
Massimi/minimi										
1							10.26			
1								12.32		
14										4.3

Muro [Platea]:7 - Nodi : [17 - 20 - 19 - 16]:Verificato

Pann=40 Spess.= 50 cm Terreno:**Terreno1** Criterio CLS_Platee Materiale: C25/30
Fatt.Ampl.Sisma = 1.1

Armatura a maglia doppia

Pannello	Nx	<th>Nxy</th> <th>Mx</th> <th>My</th> <th>Mxy</th> <th>Ax</th> <th>Ay</th> <th>C</th> <th>Cs</th>	Nxy	Mx	My	Mxy	Ax	Ay	C	Cs
	kg	kg	kg	kg*m	kg*m	kg*m	cmq	cmq		
1	1678	2416	1163	-561	-554	-696	10.26	12.32	2	6.7
2	4988	3242	1046	-1287	332	-623	10.26	12.32	2	4.1
3	6445	3171	742	-1883	254	-261	10.26	12.32	2	3.5
4	7495	2695	328	-2131	36	-36	10.26	12.32	2	3.3
5	8086	2190	-60	-2165	-104	54	10.26	12.32	2	3.2
6	8156	1809	-375	-2096	-144	95	10.26	12.32	2	3.2
7	7701	1569	-583	-1942	-103	166	10.26	12.32	2	3.4
8	6749	1404	-637	-1641	-14	327	10.26	12.32	2	3.7
9	5242	1169	-546	-1105	-25	562	10.26	12.32	2	4.6
10	2474	790	-675	-421	-492	570	10.26	12.32	2	8.4
11	4065	5230	1972	430	-1246	-505	10.26	12.32	2	5.4
12	4848	4007	1506	1421	1098	-523	10.26	12.32	2	4.0
13	6717	3025	1446	1974	1163	-263	10.26	12.32	2	3.3
14	8024	2329	1001	2125	785	-66	10.26	12.32	2	3.2
15	8639	1896	431	2104	522	34	10.26	12.32	2	3.2
16	8608	1654	-94	2033	452	95	10.26	12.32	2	3.3
17	7963	1606	-520	1929	542	180	10.26	12.32	2	3.4
18	6724	1817	-763	1716	699	335	10.26	12.32	2	3.6
19	5199	2311	-738	1261	546	546	10.26	12.32	2	4.3
20	4431	3003	-1205	494	-1066	513	10.26	12.32	2	6.3
21	4640	5228	3782	606	-1308	513	10.26	12.32	2	5.2
22	5388	3966	3533	1831	1159	499	10.26	12.32	2	3.3
23	7471	2917	2585	2574	1244	258	10.26	12.32	2	2.5
24	8920	2322	1591	2853	886	79	10.26	12.32	2	2.3
25	9461	1995	766	2895	637	4	10.26	12.32	2	2.3
26	9345	1822	67	2827	574	-24	10.26	12.32	2	2.4
27	8629	1802	-629	2667	670	-62	10.26	12.32	2	2.5
28	7224	2047	-1376	2337	830	-151	10.26	12.32	2	2.9
29	5418	2635	-2013	1692	666	-274	10.26	12.32	2	3.9
30	4922	3521	-1821	672	-1127	-208	10.26	12.32	2	7.3
31	2509	2224	3957	-18	-578	1218	10.26	12.32	2	5.6
32	6328	3006	4455	67	475	1149	10.26	12.32	2	6.1
33	7860	2741	2799	461	462	499	10.26	12.32	(12+13)-VIII-3	7.4
34	9278	2798	1633	650	381	96	10.26	12.32	(12+13)-II-1	9.1
35	9178	2340	359	808	271	-79	10.26	12.32	(12+13)-VIII-3	7.7
36	8970	2132	-208	831	245	-174	10.26	12.32	(12+13)-VIII-3	6.8
37	8348	1881	-954	727	261	-287	10.26	12.32	(12+13)-VIII-3	6.9
38	7072	1745	-1907	519	286	-466	10.26	12.32	(12+13)-VIII-3	7.4
39	4878	1513	-2650	281	178	-678	10.26	12.32	(12+13)-VIII-3	8.1
40	2600	1480	-2339	-33	-509	-794	10.26	12.32	2	7.8
									Massimi/minimi	
1							10.26			
1								12.32		
25										2.3

Muro [Plateal]:8 - Nodi : [19 - 18 - 13 - 14 - 16]: Verificato

Pann=40 Spess.= 50 cm Terreno:Terreno1 Criterio CLS_Platee Materiale: C25/30
Fatt.Ampl.Sisma = 1.1

Armatura a maglia doppia

Pannello	Nx	<th>Nxy</th> <th>Mx</th> <th>My</th> <th>Mxy</th> <th>Ax</th> <th>Ay</th> <th>C</th> <th>Cs</th>	Nxy	Mx	My	Mxy	Ax	Ay	C	Cs
	kg	kg	kg	kg*m	kg*m	kg*m	cmq	cmq		
1	3942	2239	913	-1070	91	144	10.26	12.32	2	6.6
2	656	762	592	-1397	-117	-62	10.26	12.32	(12+13)-VII-3	5.9
3	4459	1366	325	-1333	-98	-51	10.26	12.32	2	5.7
4	4254	1057	261	-1366	-121	-68	10.26	12.32	2	5.5
5	3809	891	211	-1342	-119	-107	10.26	12.32	2	5.5
6	3128	581	171	-1116	-55	-205	10.26	12.32	2	6.2
7	2231	-303	-39	-720	-64	-363	10.26	12.32	2	7.7
8	763	-2391	-234	-322	-504	-353	10.26	12.32	2	13
9	1507	-317	-806	350	-599	-308	10.26	12.32	2	12

Pannello	Nx	<th>Nxy</th> <th>Mx</th> <th>My</th> <th>Mxy</th> <th>Ax</th> <th>Ay</th> <th>C</th> <th>Cs</th>	Nxy	Mx	My	Mxy	Ax	Ay	C	Cs
10	1574	-40	-1067	367	-588	18	10.26	12.32		2 17
11	1163	-1647	-1780	-141	-449	131	10.26	12.32		2 19
12	1558	1099	-1718	-396	157	143	10.26	12.32		2 16
13	2813	1305	-559	-564	74	102	10.26	12.32	(12+13)-V-1	12
14	3286	186	289	-542	-108	107	10.26	12.32	(12+13)-III-4	12
15	4489	577	-1526	-484	-51	-142	10.26	12.32	(12+13)-V-2	13
16	3252	2456	-1328	-512	205	-107	10.26	12.32	(12+13)-V-2	13
17	2275	3221	1186	-571	356	-144	10.26	12.32	(12+13)-VII-1	12
18	1347	1560	1251	-262	-96	-273	10.26	12.32	(12+13)-VII-1	16
19	1694	2849	1109	360	-217	-153	10.26	12.32	(12+13)-VII-1	16
20	1648	2951	1524	425	-253	443	10.26	12.32		2 9.7
21	847	1158	1327	-299	-144	594	10.26	12.32		2 9.7
22	2652	2236	1457	-730	209	452	10.26	12.32		2 7.0
23	4271	803	-188	1300	199	38	10.26	12.32		2 5.9
24	4197	897	-69	1603	263	-37	10.26	12.32		2 4.8
25	4235	916	-491	828	143	-105	10.26	12.32	(12+13)-VII-1	8.5
26	2163	-46	-645	899	316	-281	10.26	12.32		2 7.1
27	1897	412	-822	1018	417	26	10.26	12.32		2 8.0
28	3852	741	-409	686	146	-114	10.26	12.32	(12+13)-V-1	10.0
29	3108	437	-185	820	259	-180	10.26	12.32		2 8.1
30	3486	588	-108	1454	334	-78	10.26	12.32		2 5.3
31	2965	902	-357	1262	352	43	10.26	12.32		2 6.3
32	2143	2899	779	1192	814	17	10.26	12.32		2 6.9
33	2460	2393	1314	1090	698	390	10.26	12.32		2 5.6
34	3631	2023	616	1234	487	133	10.26	12.32		2 5.9
35	4732	1456	-406	1077	275	-73	10.26	12.32	(12+13)-VII-1	6.8
36	4482	1143	-504	940	179	-99	10.26	12.32	(12+13)-VII-1	7.5
37	4526	1300	-395	1446	236	-29	10.26	12.32		2 5.3
38	4222	1587	-338	1697	346	-29	10.26	12.32		2 4.6
39	4425	1164	-138	1674	274	-37	10.26	12.32		2 4.6
40	3375	2399	128	1573	568	28	10.26	12.32		2 5.1
										Massimi/minimi
1							10.26			
1								12.32		
38										4.6

Muro :9 - Nodi : [1 - 2 - 21 - 22]:*Verificato*

Pann=12 Spess.= 30 cm Criterio CLS_Muri Materiale: C25/30

Fatt.Ampl.Sisma = 1.1

Armatura a maglia doppia

Pannello	Nx	Ny	Nxy	Mx	My	Mxy	Ax	Ay	C	Cs
	kg	kg	kg	kg*m	kg*m	kg*m	cmq	cmq		
1	-84	-1727	1865	-75	152	193	16.08	16.08	(12+13)-III-3	24
2	106	-2860	517	-394	-82	187	16.08	16.08	(12+13)-III-4	14
3	192	-2560	753	-17	315	77	16.08	16.08	(12+13)-VIII-1	21
4	498	-1455	166	-186	16	161	16.08	16.08	(12+13)-VIII-1	23
5	189	-3416	-268	1	416	-46	16.08	16.08	(12+13)-IV-3	18
6	877	-1907	-272	-186	1	-78	16.08	16.08	(12+13)-IV-3	30
7	-0	-3044	-938	5	393	-66	16.08	16.08	(12+13)-VIII-3	18
8	777	-1966	-982	-129	-9	-147	16.08	16.08	(12+13)-IV-3	29
9	-160	-2391	724	9	275	-113	16.08	16.08	(12+13)-IV-1	21
10	1355	-1890	858	-155	-16	-147	16.08	16.08	(12+13)-III-1	26
11	-380	-1609	815	-15	138	-153	16.08	16.08	(12+13)-III-1	28
12	714	-2676	-1543	417	23	113	16.08	16.08	(12+13)-I-3	15
										Massimi/minimi
1							16.08			
1								16.08		
2										14

Muro :10 - Nodi : [2 - 7 - 12 - 23 - 28 - 21]:*Verificato*

Pann=20 Spess.= 30 cm Criterio CLS_Muri Materiale: C25/30
Fatt.Ampl.Sisma = 1.1

Armatura a maglia doppia

Pannello	Nx	<th>Nxy</th> <th>Mx</th> <th>My</th> <th>Mxy</th> <th>Ax</th> <th>Ay</th> <th>C</th> <th>Cs</th>	Nxy	Mx	My	Mxy	Ax	Ay	C	Cs
	kg	kg	kg	kg*m	kg*m	kg*m	cmq	cmq		
1	-497	-3530	-1020	-39	22	81	16.08	16.08	(12+13)-VIII-1	68
2	-524	-3809	492	-113	-37	123	16.08	16.08	(12+13)-VIII-1	34
3	-60	-6339	-1074	14	-92	67	16.08	16.08	(12+13)-III-3	55
4	979	-5116	57	137	-66	101	16.08	16.08	(12+13)-IV-3	33
5	364	-5262	-3148	-6	110	-27	16.08	16.08	(12+13)-IV-2	63
6	1039	-5455	-309	207	-78	49	16.08	16.08	(12+13)-VII-1	31
7	-399	-6286	-338	90	-6	-115	16.08	16.08	(12+13)-I-4	39
8	1090	-5337	-813	379	33	-209	16.08	16.08	(12+13)-III-4	13
9	-75	-6602	-1355	152	329	-280	16.08	16.08	(12+13)-III-4	14
10	2197	-4512	943	-486	-142	486	16.08	16.08	(12+13)-III-1	8.0
11	16	-8212	-1307	51	818	-337	16.08	16.08	(12+13)-III-4	7.8
12	2477	-5902	707	189	-298	715	16.08	16.08	(12+13)-III-1	8.6
13	125	-9138	-567	12	1165	-147	16.08	16.08	(12+13)-III-4	6.9
14	2379	-6368	938	486	-447	311	16.08	16.08	(12+13)-III-1	9.7
15	216	-7917	1835	-13	-1135	-109	16.08	16.08	(12+13)-III-1	7.2
16	2065	-7235	338	-503	464	240	16.08	16.08	(12+13)-III-4	10
17	125	-6710	2145	-42	-758	-339	16.08	16.08	(12+13)-III-1	8.0
18	1237	-6590	1427	-207	317	735	16.08	16.08	(12+13)-III-4	8.4
19	16	-3058	2011	-147	-264	-288	16.08	16.08	(12+13)-III-1	15
20	-327	-4122	894	514	169	482	16.08	16.08	(12+13)-III-4	8.1
									Massimi/minimi	
1							16.08			
1								16.08		
13										6.9

Muro :11 - Nodi : [12 - 11 - 24 - 23]:Verificato

Pann=12 Spess.= 30 cm Criterio CLS_Muri Materiale: C25/30
Fatt.Ampl.Sisma = 1.1

Armatura a maglia doppia

Pannello	Nx	<th>Nxy</th> <th>Mx</th> <th>My</th> <th>Mxy</th> <th>Ax</th> <th>Ay</th> <th>C</th> <th>Cs</th>	Nxy	Mx	My	Mxy	Ax	Ay	C	Cs
	kg	kg	kg	kg*m	kg*m	kg*m	cmq	cmq		
1	-804	-1454	405	66	146	147	16.08	16.08	(12+13)-IV-4	28
2	-1246	-1558	-74	190	31	194	16.08	16.08	(12+13)-VIII-2	21
3	-455	-2460	635	11	328	142	16.08	16.08	(12+13)-IV-4	18
4	-616	-1539	118	-16	41	251	16.08	16.08	(12+13)-IV-4	28
5	-52	-3167	86	7	475	74	16.08	16.08	(12+13)-VIII-2	15
6	331	-1764	-44	-194	63	137	16.08	16.08	(12+13)-VIII-2	24
7	74	-3231	-49	3	497	-27	16.08	16.08	(12+13)-VIII-2	16
8	486	-1695	-103	-223	76	-58	16.08	16.08	(12+13)-VIII-2	28
9	124	-2472	-849	-15	365	-121	16.08	16.08	(12+13)-VIII-2	17
10	258	-1280	-321	-200	74	-228	16.08	16.08	(12+13)-VIII-2	19
11	-94	-727	-1888	-64	157	-222	16.08	16.08	(12+13)-VII-2	21
12	92	-2677	-601	-355	-73	-193	16.08	16.08	(12+13)-VII-1	15
									Massimi/minimi	
1							16.08			
1								16.08		
12										15

Muro :12 - Nodi : [11 - 1 - 22 - 24]:Verificato

Pann=20 Spess.= 30 cm Criterio CLS_Muri Materiale: C25/30
Fatt.Ampl.Sisma = 1.1

Armatura a maglia doppia

Pannello	Nx	<th>Nxy</th> <th>Mx</th> <th>My</th> <th>Mxy</th> <th>Ax</th> <th>Ay</th> <th>C</th> <th>Cs</th>	Nxy	Mx	My	Mxy	Ax	Ay	C	Cs
	kg	kg	kg	kg*m	kg*m	kg*m	cmq	cmq		

Pannello	Nx	<th>Nxy</th> <th>Mx</th> <th>My</th> <th>Mxy</th> <th>Ax</th> <th>Ay</th> <th>C</th> <th>Cs</th>	Nxy	Mx	My	Mxy	Ax	Ay	C	Cs
	kg	kg	kg	kg*m	kg*m	kg*m	cmq	cmq		
1	369	-885	940	-53	-111	-299	16.08	16.08	(12+13)-VII-2	20
2	-63	-3035	90	-299	-220	-503	16.08	16.08	(12+13)-VII-1	10
3	268	-4244	1360	-63	-445	-347	16.08	16.08	(12+13)-VII-2	11
4	479	-3397	996	-117	-386	-732	16.08	16.08	(12+13)-VII-2	7.5
5	178	-5051	1169	-50	-787	-302	16.08	16.08	(12+13)-VII-2	7.9
6	1261	-4132	557	129	-613	-576	16.08	16.08	(12+13)-V-1	7.2
7	108	-5142	1004	-54	-1045	-215	16.08	16.08	(12+13)-VII-2	6.9
8	1273	-4028	865	172	-740	-412	16.08	16.08	(12+13)-VII-2	7.4
9	79	-5133	894	-60	-1162	-118	16.08	16.08	(12+13)-VII-2	6.7
10	1576	-4077	817	166	-787	-315	16.08	16.08	(12+13)-III-4	7.7
11	152	-5312	107	-59	-1131	98	16.08	16.08	(12+13)-V-1	7.0
12	1651	-4223	656	221	-857	-152	16.08	16.08	(12+13)-III-4	8.5
13	129	-5585	-117	-45	-993	192	16.08	16.08	(12+13)-VII-2	7.3
14	1378	-4237	-299	155	-796	412	16.08	16.08	(12+13)-V-2	7.1
15	261	-5201	-1146	-38	-754	276	16.08	16.08	(12+13)-III-3	8.4
16	1605	-4214	-338	183	-765	560	16.08	16.08	(12+13)-III-4	6.4
17	349	-4625	-1517	-56	-404	335	16.08	16.08	(12+13)-I-3	12
18	735	-3510	-1160	-35	-479	746	16.08	16.08	(12+13)-III-3	6.9
19	512	-1787	-1187	-62	-101	288	16.08	16.08	(12+13)-III-3	21
20	-24	-3192	-268	-327	-252	508	16.08	16.08	(12+13)-III-4	9.6
									Massimi/minimi	
1							16.08			
1								16.08		
16										6.4

Muro :13 - Nodi : [2 - 3 - 25 - 21]:*Verificato*

Pann=12 Spess.= 30 cm Criterio CLS_Muri Materiale: C25/30
Fatt.Ampl.Sisma = 1.1

Armatura a maglia doppia

Pannello	Nx	<th>Nxy</th> <th>Mx</th> <th>My</th> <th>Mxy</th> <th>Ax</th> <th>Ay</th> <th>C</th> <th>Cs</th>	Nxy	Mx	My	Mxy	Ax	Ay	C	Cs
	kg	kg	kg	kg*m	kg*m	kg*m	cmq	cmq		
1	-163	-1623	-153	-12	144	152	16.08	16.08	(12+13)-III-3	28
2	-49	-2399	1426	374	22	-99	16.08	16.08	(12+13)-III-1	17
3	344	-2716	-17	-4	302	85	16.08	16.08	(12+13)-III-3	22
4	1998	-1734	-485	-142	-10	141	16.08	16.08	(12+13)-I-3	27
5	152	-2478	632	13	355	67	16.08	16.08	(12+13)-IV-3	20
6	469	-1477	735	-95	-6	141	16.08	16.08	(12+13)-VIII-3	34
7	477	-3000	-1342	20	380	-20	16.08	16.08	(12+13)-I-3	21
8	2629	-3427	-1854	-32	-167	-87	16.08	16.08	(12+13)-VIII-2	33
9	381	-1890	-1988	2	266	-90	16.08	16.08	(12+13)-III-3	23
10	345	365	41	-106	108	-145	16.08	16.08	(12+13)-IV-3	32
11	-97	-1435	-1196	-6	114	-143	16.08	16.08	(12+13)-I-1	32
12	242	2058	252	50	153	-135	16.08	16.08	(12+13)-VIII-3	27
									Massimi/minimi	
1							16.08			
1								16.08		
2										17

Muro :14 - Nodi : [3 - 4 - 26 - 25]:*Verificato*

Pann=8 Spess.= 30 cm Criterio CLS_Muri Materiale: C25/30
Fatt.Ampl.Sisma = 1.1

Armatura a maglia doppia

Pannello	Nx	<th>Nxy</th> <th>Mx</th> <th>My</th> <th>Mxy</th> <th>Ax</th> <th>Ay</th> <th>C</th> <th>Cs</th>	Nxy	Mx	My	Mxy	Ax	Ay	C	Cs
	kg	kg	kg	kg*m	kg*m	kg*m	cmq	cmq		
1	-402	-1409	-1392	39	109	58	16.08	16.08	(12+13)-I-4	49
2	-291	-4095	-253	-8	-167	-192	16.08	16.08	(12+13)-III-2	24
3	-79	-3886	-1433	-13	196	10	16.08	16.08	(12+13)-I-4	41

Pannello	Nx	<th>Nxy</th> <th>Mx</th> <th>My</th> <th>Mxy</th> <th>Ax</th> <th>Ay</th> <th>C</th> <th>Cs</th>	Nxy	Mx	My	Mxy	Ax	Ay	C	Cs
4	-252	-3614	652	140	-388	-206	16.08	16.08	(12+13)-III-1	14
5	-728	-4850	-1077	8	233	-54	16.08	16.08	(12+13)-I-4	30
6	78	-4794	693	149	-552	109	16.08	16.08	(12+13)-III-1	13
7	-272	-4926	1301	58	159	-68	16.08	16.08	(12+13)-I-3	38
8	3204	-4679	1631	-7	-315	303	16.08	16.08	(12+13)-I-1	14
									Massimi/minimi	
1							16.08			
1								16.08		
6										13

Muro :15 - Nodi : [4 - 8 - 27 - 26]:**Verificato**

Pann=4 Spess.= 30 cm Criterio CLS_Muri Materiale: C25/30
Fatt.Ampl.Sisma = 1.1

Armatura a maglia doppia

Pannello	Nx	Ny	Nxy	Mx	My	Mxy	Ax	Ay	C	Cs
	kg	kg	kg	kg*m	kg*m	kg*m	cmq	cmq		
1	-1383	-5461	-3245	-84	83	-36	16.08	16.08	(12+13)-II-1	68
2	4399	-4126	2671	-311	-40	-29	16.08	16.08	(12+13)-II-1	22
3	1082	-4397	3681	-65	-7	66	16.08	16.08	(12+13)-II-4	60
4	1315	-2549	1739	204	15	-73	16.08	16.08	(12+13)-VI-3	28
									Massimi/minimi	
1							16.08			
1								16.08		
2										22

Muro :16 - Nodi : [8 - 7 - 28 - 27]:**Verificato**

Pann=12 Spess.= 30 cm Criterio CLS_Muri Materiale: C25/30
Fatt.Ampl.Sisma = 1.1

Armatura a maglia doppia

Pannello	Nx	Ny	Nxy	Mx	My	Mxy	Ax	Ay	C	Cs
	kg	kg	kg	kg*m	kg*m	kg*m	cmq	cmq		
1	272	-2254	-1629	50	128	94	16.08	16.08	(12+13)-VIII-4	37
2	2910	-2659	-1831	204	95	164	16.08	16.08	(12+13)-VI-4	21
3	455	-4304	-1496	29	260	103	16.08	16.08	(12+13)-VIII-4	24
4	2339	-3334	-1401	-61	164	232	16.08	16.08	(12+13)-VIII-4	21
5	321	-5291	-1975	21	362	-68	16.08	16.08	(12+13)-VI-4	20
6	2451	-3806	-801	-129	175	114	16.08	16.08	(12+13)-IV-4	29
7	73	-5213	-2764	-6	375	-62	16.08	16.08	(12+13)-VIII-4	20
8	513	-3762	-1973	-160	189	-120	16.08	16.08	(12+13)-VIII-4	27
9	-316	-4249	-2591	-6	281	-83	16.08	16.08	(12+13)-IV-4	23
10	-151	-3535	-2073	-37	112	-237	16.08	16.08	(12+13)-VIII-4	24
11	-1605	-4225	-438	-42	110	-129	16.08	16.08	(12+13)-III-4	36
12	953	-4516	-151	-273	5	-256	16.08	16.08	(12+13)-III-4	15
									Massimi/minimi	
1							16.08			
1								16.08		
12										15

Muro :17 - Nodi : [4 - 5 - 29 - 26]:**Verificato**

Pann=8 Spess.= 30 cm Criterio CLS_Muri Materiale: C25/30
Fatt.Ampl.Sisma = 1.1

Armatura a maglia doppia

Pannello	Nx	Ny	Nxy	Mx	My	Mxy	Ax	Ay	C	Cs
	kg	kg	kg	kg*m	kg*m	kg*m	cmq	cmq		
1	-907	-1321	6022	95	81	172	16.08	16.08	(12+13)-VI-3	31

Pannello	Nx	<th>Nxy</th> <th>Mx</th> <th>My</th> <th>Mxy</th> <th>Ax</th> <th>Ay</th> <th>C</th> <th>Cs</th>	Nxy	Mx	My	Mxy	Ax	Ay	C	Cs
2	1897	-4103	3991	244	5	163	16.08	16.08	(12+13)-II-3	19
3	1396	-1349	8093	-8	156	194	16.08	16.08	(12+13)-II-1	23
4	-5124	-1740	-3234	-192	-83	-221	16.08	16.08	(12+13)-II-2	21
5	3158	183	8548	-5	211	137	16.08	16.08	(12+13)-II-1	23
6	9212	-743	5039	-146	-21	194	16.08	16.08	(12+13)-II-1	20
7	-3185	-7196	-6525	138	-112	-165	16.08	16.08	(12+13)-VI-2	28
8	-12194	-11012	-7671	445	-48	-111	16.08	16.08	(12+13)-VI-2	17
									Massimi/minimi	
1							16.08			
1								16.08		
8										17

Muro :18 - Nodi : [5 - 6 - 30 - 29]:*Verificato*

Pann=12 Spess.= 30 cm Criterio CLS_Muri Materiale: C25/30
Fatt.Ampl.Sisma = 1.1

Armatura a maglia doppia

Pannello	Nx	Ny	Nxy	Mx	My	Mxy	Ax	Ay	C	Cs
	kg	kg	kg	kg*m	kg*m	kg*m	cmq	cmq		
1	2810	3044	-4369	104	236	188	16.08	16.08	(12+13)-II-3	18
2	-10158	-8796	6826	279	-47	129	16.08	16.08	(12+13)-VIII-2	23
3	3578	-530	-5059	18	396	211	16.08	16.08	(12+13)-VI-1	13
4	9593	-1206	-2760	-107	35	320	16.08	16.08	(12+13)-VI-1	16
5	2248	-1560	-4192	19	522	-70	16.08	16.08	(12+13)-VI-1	14
6	-2717	-1817	2863	32	-151	201	16.08	16.08	(12+13)-VI-4	23
7	1364	-1731	-3660	15	513	-119	16.08	16.08	(12+13)-II-3	13
8	4309	-1285	-2001	-208	44	-177	16.08	16.08	(12+13)-II-3	20
9	558	-2032	-3663	5	359	-188	16.08	16.08	(12+13)-VI-1	15
10	2483	-1414	-1874	-148	31	-292	16.08	16.08	(12+13)-VI-1	18
11	162	-1548	-3431	89	147	-193	16.08	16.08	(12+13)-VI-1	24
12	-360	-2757	-2134	264	53	-200	16.08	16.08	(12+13)-II-3	17
									Massimi/minimi	
1							16.08			
1								16.08		
7										13

Muro :19 - Nodi : [6 - 10 - 31 - 30]:*Verificato*

Pann=4 Spess.= 30 cm Criterio CLS_Muri Materiale: C25/30
Fatt.Ampl.Sisma = 1.1

Armatura a maglia doppia

Pannello	Nx	Ny	Nxy	Mx	My	Mxy	Ax	Ay	C	Cs
	kg	kg	kg	kg*m	kg*m	kg*m	cmq	cmq		
1	-803	-1295	-1564	63	47	90	16.08	16.08	(12+13)-II-3	53
2	355	-4236	267	-105	-176	-130	16.08	16.08	(12+13)-II-2	28
3	546	-4723	748	83	26	-90	16.08	16.08	(12+13)-II-2	46
4	1361	-4471	646	260	-137	83	16.08	16.08	(12+13)-II-2	23
									Massimi/minimi	
1							16.08			
1								16.08		
4										23

Muro :20 - Nodi : [10 - 9 - 32 - 31]:*Verificato*

Pann=12 Spess.= 30 cm Criterio CLS_Muri Materiale: C25/30
Fatt.Ampl.Sisma = 1.1

Armatura a maglia doppia

Pannello	Nx	Ny	Nxy	Mx	My	Mxy	Ax	Ay	C	Cs
----------	----	----	-----	----	----	-----	----	----	---	----

Pannello	Nx	<th>Nxy</th> <th>Mx</th> <th>My</th> <th>Mxy</th> <th>Ax</th> <th>Ay</th> <th>C</th> <th>Cs</th>	Nxy	Mx	My	Mxy	Ax	Ay	C	Cs
	kg	kg	kg	kg*m	kg*m	kg*m	cmq	cmq		
1	326	-5375	4934	146	195	222	16.08	16.08	(12+13)-II-2	21
2	-111	-4820	2771	507	205	422	16.08	16.08	(12+13)-II-2	8.7
3	553	-8748	4054	51	596	307	16.08	16.08	(12+13)-II-2	10
4	2997	-6202	2575	-113	474	721	16.08	16.08	(12+13)-II-2	7.3
5	1024	-7160	2550	26	948	185	16.08	16.08	(12+13)-II-2	7.8
6	4412	-5234	1731	-345	727	390	16.08	16.08	(12+13)-II-2	7.7
7	1400	-6165	1762	41	1030	-103	16.08	16.08	(12+13)-II-2	7.7
8	5250	-4855	1179	-347	757	-208	16.08	16.08	(12+13)-II-2	8.9
9	1777	-3713	1325	82	830	-218	16.08	16.08	(12+13)-II-2	8.1
10	5696	-3124	1373	-127	535	-552	16.08	16.08	(12+13)-II-2	7.7
11	964	1502	1032	93	480	-202	16.08	16.08	(12+13)-II-2	12
12	5310	1325	2591	314	250	-421	16.08	16.08	(12+13)-II-2	10
									Massimi/minimi	
1							16.08			
1								16.08		
4										7.3

Muro :21 - Nodi : [9 - 8 - 27 - 32]:Verificato

Pann=8 Spess.= 30 cm Criterio CLS_Muri Materiale: C25/30
Fatt.Ampl.Sisma = 1.1

Armatura a maglia doppia

Pannello	Nx	Ny	Nxy	Mx	My	Mxy	Ax	Ay	C	Cs
	kg	kg	kg	kg*m	kg*m	kg*m	cmq	cmq		
1	871	2251	-3112	-54	313	-206	16.08	16.08	(12+13)-II-2	15
2	-1991	-10908	3456	270	-78	176	16.08	16.08	(12+13)-VI-3	19
3	1680	-1518	-3304	62	312	-174	16.08	16.08	(12+13)-II-2	17
4	4631	-1164	-3064	115	134	-203	16.08	16.08	(12+13)-II-2	24
5	-1367	-7949	3371	-68	-258	125	16.08	16.08	(12+13)-II-3	23
6	3251	-2712	-1790	137	138	-213	16.08	16.08	(12+13)-VI-2	22
7	-1261	-6309	2771	-73	-159	49	16.08	16.08	(12+13)-II-3	42
8	2419	-2735	-1245	245	94	-159	16.08	16.08	(12+13)-II-4	19
									Massimi/minimi	
1							16.08			
1								16.08		
1										15

Muro :22 - Nodi : [5 - 9 - 32 - 29]:Verificato

Pann=4 Spess.= 30 cm Criterio CLS_Muri Materiale: C25/30
Fatt.Ampl.Sisma = 1.1

Armatura a maglia doppia

Pannello	Nx	Ny	Nxy	Mx	My	Mxy	Ax	Ay	C	Cs
	kg	kg	kg	kg*m	kg*m	kg*m	cmq	cmq		
1	-1466	-9716	-5146	30	31	60	16.08	16.08	(12+13)-II-2	91
2	-1657	6187	8918	-139	-59	-56	16.08	16.08	(12+13)-VI-1	42
3	3456	-6794	-5398	-76	15	-39	16.08	16.08	(12+13)-II-2	66
4	-1049	-4711	-6744	-292	2	-74	16.08	16.08	(12+13)-II-2	22
									Massimi/minimi	
1							16.08			
1								16.08		
4										22

Muro :23 - Nodi : [10 - 15 - 33 - 31]:Verificato

Pann=8 Spess.= 30 cm Criterio CLS_Muri Materiale: C25/30
Fatt.Ampl.Sisma = 1.1

Armatura a maglia doppia

Pannello	Nx	<th>Nxy</th> <th>Mx</th> <th>My</th> <th>Mxy</th> <th>Ax</th> <th>Ay</th> <th>C</th> <th>Cs</th>	Nxy	Mx	My	Mxy	Ax	Ay	C	Cs
	kg	kg	kg	kg*m	kg*m	kg*m	cmq	cmq		
1	318	-4292	-1478	-24	109	97	16.08	16.08	(12+13)-II-2	42
2	2534	-4328	-2558	-209	-122	103	16.08	16.08	(12+13)-II-2	25
3	-869	-3779	1857	4	167	37	16.08	16.08	(12+13)-VI-3	41
4	194	-4831	-175	-104	-186	-59	16.08	16.08	(12+13)-III-2	35
5	-327	-6472	-601	-1	149	-35	16.08	16.08	2	48
6	41	-4782	85	13	-188	-31	16.08	16.08	(12+13)-III-2	39
7	-1157	-2478	1837	-18	95	-105	16.08	16.08	(12+13)-VI-1	42
8	1661	-4304	-1355	319	-57	121	16.08	16.08	(12+13)-VI-4	18
									Massimi/minimi	
1							16.08			
1								16.08		
8										18

Muro :24 - Nodi : [15 - 17 - 34 - 33]:Verificato

Pann=8 Spess.= 30 cm Criterio CLS_Muri Materiale: C25/30
Fatt.Ampl.Sisma = 1.1

Armatura a maglia doppia

Pannello	Nx	<th>Nxy</th> <th>Mx</th> <th>My</th> <th>Mxy</th> <th>Ax</th> <th>Ay</th> <th>C</th> <th>Cs</th>	Nxy	Mx	My	Mxy	Ax	Ay	C	Cs
	kg	kg	kg	kg*m	kg*m	kg*m	cmq	cmq		
1	-44	-3129	-1686	-48	137	110	16.08	16.08	(12+13)-II-2	34
2	1483	-3349	-2061	-254	-133	101	16.08	16.08	(12+13)-II-2	22
3	206	-4723	-1592	-8	226	-33	16.08	16.08	(12+13)-II-2	33
4	279	-4378	136	-32	-223	-62	16.08	16.08	(12+13)-III-2	30
5	268	-4720	2339	-8	236	15	16.08	16.08	(12+13)-II-3	34
6	52	-3280	-1808	54	-208	-66	16.08	16.08	(12+13)-VI-4	31
7	-343	-2947	2047	-26	138	-109	16.08	16.08	(12+13)-II-3	34
8	16	-3447	-1959	399	-9	129	16.08	16.08	(12+13)-VI-2	15
									Massimi/minimi	
1							16.08			
1								16.08		
8										15

Muro :25 - Nodi : [17 - 20 - 35 - 34]:Verificato

Pann=8 Spess.= 30 cm Criterio CLS_Muri Materiale: C25/30
Fatt.Ampl.Sisma = 1.1

Armatura a maglia doppia

Pannello	Nx	<th>Nxy</th> <th>Mx</th> <th>My</th> <th>Mxy</th> <th>Ax</th> <th>Ay</th> <th>C</th> <th>Cs</th>	Nxy	Mx	My	Mxy	Ax	Ay	C	Cs
	kg	kg	kg	kg*m	kg*m	kg*m	cmq	cmq		
1	-445	-2378	-51	-32	167	173	16.08	16.08	(12+13)-VI-4	24
2	31	-2466	-853	-203	-100	208	16.08	16.08	(12+13)-VI-4	20
3	490	-7326	2042	25	386	79	16.08	16.08	2	19
4	1206	-2072	-384	-128	-50	83	16.08	16.08	(12+13)-I-4	37
5	885	-7851	-643	20	435	4	16.08	16.08	2	20
6	2683	-3718	875	-164	-133	81	16.08	16.08	(12+13)-II-1	32
7	464	-2864	-1699	-116	210	-204	16.08	16.08	(12+13)-VI-1	20
8	1254	-2211	235	-456	-85	-213	16.08	16.08	(12+13)-VI-1	12
									Massimi/minimi	
1							16.08			
1								16.08		
8										12

Muro :26 - Nodi : [20 - 19 - 36 - 35]:Verificato

Pann=20 Spess.= 30 cm Criterio CLS_Muri Materiale: C25/30
Fatt.Ampl.Sisma = 1.1

Armatura a maglia doppia

Pannello	Nx	<th>Nxy</th> <th>Mx</th> <th>My</th> <th>Mxy</th> <th>Ax</th> <th>Ay</th> <th>C</th> <th>Cs</th>	Nxy	Mx	My	Mxy	Ax	Ay	C	Cs
	kg	kg	kg	kg*m	kg*m	kg*m	cmq	cmq		
1	856	-2325	2019	-99	-107	-417	16.08	16.08	(12+13)-II-1	15
2	65	-3005	1265	-394	-231	-557	16.08	16.08	(12+13)-II-1	8.4
3	647	-5643	2156	-41	-491	-439	16.08	16.08	(12+13)-II-1	9.3
4	1639	-4101	1509	44	-462	-851	16.08	16.08	(12+13)-II-1	6.5
5	600	-6258	1136	-33	-905	-350	16.08	16.08	(12+13)-II-1	7.0
6	2339	-4212	904	224	-699	-655	16.08	16.08	(12+13)-II-1	6.3
7	393	-5597	440	-67	-1217	-241	16.08	16.08	(12+13)-IV-1	6.0
8	2696	-4284	-166	253	-817	-383	16.08	16.08	(12+13)-VI-3	7.1
9	329	-5198	203	-86	-1416	42	16.08	16.08	(12+13)-IV-1	5.9
10	2645	-4085	-336	248	-825	79	16.08	16.08	(12+13)-II-1	9.4
11	308	-4986	143	-89	-1440	103	16.08	16.08	(12+13)-IV-1	5.6
12	2470	-3988	-544	211	-752	279	16.08	16.08	(12+13)-II-1	8.2
13	329	-4956	117	-72	-1285	226	16.08	16.08	(12+13)-IV-1	5.7
14	2227	-3939	-678	198	-658	458	16.08	16.08	(12+13)-II-1	7.6
15	296	-4860	-96	-50	-963	356	16.08	16.08	(12+13)-VIII-3	6.5
16	1595	-3891	-121	229	-621	626	16.08	16.08	(12+13)-VIII-3	6.8
17	323	-4261	-869	-62	-533	433	16.08	16.08	(12+13)-VIII-3	8.8
18	1457	-4072	-718	-44	-534	786	16.08	16.08	(12+13)-VIII-3	6.4
19	154	-2760	-109	-176	-136	317	16.08	16.08	(12+13)-IV-1	16
20	1620	-3348	-3	-601	-379	534	16.08	16.08	(12+13)-IV-1	6.9
									Massimi/minimi	
1							16.08			
1								16.08		
11										5.6

Muro :27 - Nodi : [19 - 18 - 37 - 36]:Verificato

Pann=8 Spess.= 30 cm Criterio CLS_Muri Materiale: C25/30

Fatt.Ampl.Sisma = 1.1

Armatura a maglia doppia

Pannello	Nx	<th>Nxy</th> <th>Mx</th> <th>My</th> <th>Mxy</th> <th>Ax</th> <th>Ay</th> <th>C</th> <th>Cs</th>	Nxy	Mx	My	Mxy	Ax	Ay	C	Cs
	kg	kg	kg	kg*m	kg*m	kg*m	cmq	cmq		
1	-177	-2680	-980	-95	98	99	16.08	16.08	(12+13)-VIII-3	42
2	1172	-2909	-1174	-436	-236	170	16.08	16.08	(12+13)-VIII-3	13
3	288	-3938	-301	19	166	22	16.08	16.08	(12+13)-V-1	45
4	696	-2422	-919	-115	-173	29	16.08	16.08	(12+13)-VI-3	41
5	200	-3741	-677	-2	151	26	16.08	16.08	(12+13)-VII-2	48
6	316	-2372	-820	89	-120	39	16.08	16.08	(12+13)-VIII-3	52
7	224	-860	-685	84	41	107	16.08	16.08	(12+13)-VII-3	42
8	-703	-1128	-625	256	20	104	16.08	16.08	(12+13)-VII-3	23
									Massimi/minimi	
1							16.08			
1								16.08		
2										13

Muro :28 - Nodi : [18 - 13 - 38 - 37]:Verificato

Pann=20 Spess.= 30 cm Criterio CLS_Muri Materiale: C25/30

Fatt.Ampl.Sisma = 1.1

Armatura a maglia doppia

Pannello	Nx	<th>Nxy</th> <th>Mx</th> <th>My</th> <th>Mxy</th> <th>Ax</th> <th>Ay</th> <th>C</th> <th>Cs</th>	Nxy	Mx	My	Mxy	Ax	Ay	C	Cs
	kg	kg	kg	kg*m	kg*m	kg*m	cmq	cmq		
1	257	-1163	300	58	163	219	16.08	16.08	(12+13)-VII-3	21
2	195	-2245	557	-212	-160	-273	16.08	16.08	(12+13)-VII-2	17
3	178	-3187	442	30	434	203	16.08	16.08	(12+13)-VII-3	13
4	1031	-2920	663	-35	-329	-421	16.08	16.08	(12+13)-VII-2	11
5	30	-3681	-70	51	701	145	16.08	16.08	(12+13)-VII-3	10

Pannello	Nx	<th>Nxy</th> <th>Mx</th> <th>My</th> <th>Mxy</th> <th>Ax</th> <th>Ay</th> <th>C</th> <th>Cs</th>	Nxy	Mx	My	Mxy	Ax	Ay	C	Cs
6	1316	-3144	383	84	-468	-330	16.08	16.08	(12+13)-VII-2	11
7	-118	-3689	-113	65	865	83	16.08	16.08	(12+13)-VII-3	8.9
8	1361	-3174	-172	130	-529	-212	16.08	16.08	(12+13)-VII-2	11
9	-220	-3599	-263	73	922	-36	16.08	16.08	(12+13)-VII-3	8.8
10	1230	-3088	-402	131	-540	111	16.08	16.08	(12+13)-VII-2	13
11	-282	-3526	-320	74	887	-74	16.08	16.08	(12+13)-VII-3	8.8
12	1026	-3005	-540	113	-522	175	16.08	16.08	(12+13)-VII-2	12
13	-307	-3481	-312	66	770	-117	16.08	16.08	(12+13)-VII-3	9.5
14	797	-2536	-619	83	-488	267	16.08	16.08	(12+13)-VII-2	11
15	-314	-3369	-229	52	582	-157	16.08	16.08	(12+13)-VII-3	11
16	561	-2650	-629	25	-424	332	16.08	16.08	(12+13)-VII-2	11
17	-362	-3121	84	35	341	-188	16.08	16.08	(12+13)-VII-3	16
18	334	-2471	-448	-136	-297	362	16.08	16.08	(12+13)-VII-2	13
19	-602	-2550	1113	95	121	-166	16.08	16.08	(12+13)-VII-3	29
20	427	-2300	-159	-261	-135	198	16.08	16.08	(12+13)-VII-2	17
									Massimi/minimi	
1							16.08			
1								16.08		
11										8.8

Muro :29 - Nodi : [13 - 12 - 23 - 38]:Verificato

Pann=4 Spess.= 30 cm Criterio CLS_Muri Materiale: C25/30
Fatt.Ampl.Sisma = 1.1

Armatura a maglia doppia

Pannello	Nx	Ny	Nxy	Mx	My	Mxy	Ax	Ay	C	Cs
	kg	kg	kg	kg*m	kg*m	kg*m	cmq	cmq		
1	-667	-2795	-144	-15	65	58	16.08	16.08	(12+13)-IV-4	68
2	2880	-3436	-192	162	-49	-60	16.08	16.08	(12+13)-VII-3	35
3	380	-2386	-983	36	18	-57	16.08	16.08	(12+13)-IV-3	86
4	-1617	-2067	737	124	-3	87	16.08	16.08	(12+13)-IV-4	39
									Massimi/minimi	
1							16.08			
1								16.08		
2										35

Muro :30 - Nodi : [19 - 16 - 39 - 36]:Verificato

Pann=8 Spess.= 30 cm Criterio CLS_Muri Materiale: C25/30
Fatt.Ampl.Sisma = 1.1

Armatura a maglia doppia

Pannello	Nx	Ny	Nxy	Mx	My	Mxy	Ax	Ay	C	Cs
	kg	kg	kg	kg*m	kg*m	kg*m	cmq	cmq		
1	868	-3047	3163	9	172	155	16.08	16.08	(12+13)-V-3	26
2	1635	-2086	2066	-321	-92	-142	16.08	16.08	(12+13)-VII-1	17
3	820	-5225	1646	-5	414	90	16.08	16.08	(12+13)-VII-4	17
4	3622	-2529	1231	-198	124	194	16.08	16.08	(12+13)-V-4	19
5	1198	-4470	122	-15	423	-53	16.08	16.08	(12+13)-VII-4	18
6	5754	-2788	-1001	233	-110	136	16.08	16.08	(12+13)-VII-1	20
7	846	-2502	-830	15	191	-151	16.08	16.08	(12+13)-VII-4	24
8	2911	-2207	-408	-278	-9	-216	16.08	16.08	(12+13)-VIII-4	16
									Massimi/minimi	
1							16.08			
1								16.08		
8										16

Muro :31 - Nodi : [16 - 17 - 34 - 39]:Verificato

Pann=20 Spess.= 30 cm Criterio CLS_Muri Materiale: C25/30

Fatt.Ampl.Sisma = 1.1

Armatura a maglia doppia

Pannello	Nx	<th>Nxy</th> <th>Mx</th> <th>My</th> <th>Mxy</th> <th>Ax</th> <th>Ay</th> <th>C</th> <th>Cs</th>	Nxy	Mx	My	Mxy	Ax	Ay	C	Cs
	kg	kg	kg	kg*m	kg*m	kg*m	cmq	cmq		
1	70	-4024	-441	-144	-271	-302	16.08	16.08	(12+13)-VIII-4	15
2	434	-4656	131	-553	-297	-603	16.08	16.08	(12+13)-IV-2	6.9
3	-17	-6453	801	-97	-811	-400	16.08	16.08	(12+13)-VIII-4	7.3
4	387	-7415	756	163	-559	-856	16.08	16.08	(12+13)-VIII-4	6.3
5	-318	-7692	1089	-119	-1355	-352	16.08	16.08	(12+13)-VI-4	5.2
6	514	-6891	808	-93	-680	-724	16.08	16.08	(12+13)-II-2	6.3
7	-317	-8011	1169	-151	-1826	-255	16.08	16.08	(12+13)-VI-4	4.3
8	439	-7467	11	172	-788	-614	16.08	16.08	(12+13)-VI-2	6.4
9	-453	-8333	328	-173	-2105	-167	16.08	16.08	(12+13)-II-4	4.0
10	829	-7386	55	231	-958	-405	16.08	16.08	(12+13)-II-4	6.5
11	-367	-8254	163	-168	-2178	-83	16.08	16.08	(12+13)-II-4	4.0
12	1137	-7265	-56	295	-1074	-213	16.08	16.08	(12+13)-II-4	6.9
13	-270	-8280	-400	-141	-2005	205	16.08	16.08	(12+13)-VI-2	4.1
14	2012	-7174	217	265	-1057	483	16.08	16.08	(12+13)-VI-4	5.8
15	-152	-8109	-787	-120	-1543	360	16.08	16.08	(12+13)-VI-2	4.7
16	1083	-6335	-1036	216	-911	790	16.08	16.08	(12+13)-II-4	5.2
17	-165	-6742	-1850	-119	-893	439	16.08	16.08	(12+13)-VI-2	6.6
18	574	-5612	-1109	-66	-579	1038	16.08	16.08	(12+13)-VI-2	5.4
19	-296	-3222	-1786	-165	-293	309	16.08	16.08	(12+13)-VI-2	14
20	-689	-3143	-610	-623	-256	604	16.08	16.08	(12+13)-VI-2	6.6
Massimi/minimi										
1							16.08			
1								16.08		
9										4.0

Muro :32 - Nodi : [16 - 14 - 40 - 39]:*Verificato*

Pann=8 Spess.= 30 cm Criterio CLS_Muri Materiale: C25/30
Fatt.Ampl.Sisma = 1.1

Armatura a maglia doppia

Pannello	Nx	<th>Nxy</th> <th>Mx</th> <th>My</th> <th>Mxy</th> <th>Ax</th> <th>Ay</th> <th>C</th> <th>Cs</th>	Nxy	Mx	My	Mxy	Ax	Ay	C	Cs
	kg	kg	kg	kg*m	kg*m	kg*m	cmq	cmq		
1	406	-5008	1083	-10	-79	-108	16.08	16.08	(12+13)-VII-2	46
2	1751	-4145	1030	370	3	-146	16.08	16.08	(12+13)-IV-2	15
3	632	-3825	-1402	-12	170	47	16.08	16.08	(12+13)-VII-3	39
4	1974	-2599	414	168	-56	-96	16.08	16.08	(12+13)-VII-2	30
5	182	-3699	-2465	-14	180	-45	16.08	16.08	(12+13)-VII-3	38
6	2281	-2498	-311	133	-58	119	16.08	16.08	(12+13)-VII-2	31
7	-632	-2675	-1218	-1	82	-79	16.08	16.08	(12+13)-VII-4	52
8	1148	-2111	-299	-248	-9	-105	16.08	16.08	(12+13)-VI-4	22
Massimi/minimi										
1							16.08			
1								16.08		
2										15

Muro :33 - Nodi : [14 - 15 - 33 - 40]:*Verificato*

Pann=20 Spess.= 30 cm Criterio CLS_Muri Materiale: C25/30
Fatt.Ampl.Sisma = 1.1

Armatura a maglia doppia

Pannello	Nx	<th>Nxy</th> <th>Mx</th> <th>My</th> <th>Mxy</th> <th>Ax</th> <th>Ay</th> <th>C</th> <th>Cs</th>	Nxy	Mx	My	Mxy	Ax	Ay	C	Cs
	kg	kg	kg	kg*m	kg*m	kg*m	cmq	cmq		
1	448	-4707	-175	-149	-228	-221	16.08	16.08	(12+13)-VI-2	19
2	1168	-5181	-540	-480	-227	-429	16.08	16.08	(12+13)-VI-2	8.7
3	466	-6423	452	-98	-631	-339	16.08	16.08	(12+13)-VI-2	9.1
4	2515	-6206	455	109	-344	-677	16.08	16.08	(12+13)-VI-2	8.6

Pannello	Nx	<th>Nxy</th> <th>Mx</th> <th>My</th> <th>Mxy</th> <th>Ax</th> <th>Ay</th> <th>C</th> <th>Cs</th>	Nxy	Mx	My	Mxy	Ax	Ay	C	Cs
5	336	-6959	681	-99	-1092	-318	16.08	16.08	(12+13)-VI-2	6.3
6	3423	-5849	963	103	-431	-612	16.08	16.08	(12+13)-VI-4	8.4
7	295	-7108	684	-122	-1487	-235	16.08	16.08	(12+13)-VI-2	5.1
8	3622	-6063	917	150	-531	-534	16.08	16.08	(12+13)-VI-4	8.2
9	610	-7217	512	-139	-1739	-143	16.08	16.08	(12+13)-II-2	4.7
10	3862	-6150	374	253	-648	-356	16.08	16.08	(12+13)-VI-4	8.7
11	612	-7763	136	-134	-1804	58	16.08	16.08	(12+13)-II-2	4.8
12	4028	-6361	72	296	-739	-201	16.08	16.08	(12+13)-VI-4	9.3
13	585	-8348	-597	-110	-1644	185	16.08	16.08	(12+13)-VI-4	4.9
14	3184	-6290	-870	260	-724	421	16.08	16.08	(12+13)-VI-2	7.7
15	592	-8706	-2030	-94	-1256	330	16.08	16.08	(12+13)-VI-4	5.7
16	3389	-6474	-1283	224	-616	689	16.08	16.08	(12+13)-VI-4	6.7
17	399	-8392	-3505	-101	-718	385	16.08	16.08	(12+13)-VI-4	8.2
18	2235	-5900	-2253	82	-379	852	16.08	16.08	(12+13)-VI-4	7.1
19	379	-4491	-3678	-159	-231	263	16.08	16.08	(12+13)-VI-4	17
20	-632	-4597	-1965	-581	-184	471	16.08	16.08	(12+13)-VI-4	7.7
									Massimi/minimi	
1							16.08			
1								16.08		
9										4.7

Muro :34 - Nodi : [13 - 14 - 40 - 38]:*Verificato*

Pann=8 Spess.= 30 cm Criterio CLS_Muri Materiale: C25/30
Fatt.Ampl.Sisma = 1.1

Armatura a maglia doppia

Pannello	Nx	Ny	Nxy	Mx	My	Mxy	Ax	Ay	C	Cs
	kg	kg	kg	kg*m	kg*m	kg*m	cmq	cmq		
1	705	-4004	1653	51	-76	-42	16.08	16.08	(12+13)-VIII-3	72
2	3207	-1778	1986	175	36	-76	16.08	16.08	(12+13)-VII-3	30
3	1027	-4728	935	2	-93	-30	16.08	16.08	(12+13)-IV-1	70
4	4586	-2390	494	60	17	-58	16.08	16.08	(12+13)-IV-1	64
5	108	-5140	-1447	7	-78	-21	16.08	16.08	(12+13)-VII-1	87
6	-23	-2442	623	-119	-29	-39	16.08	16.08	(12+13)-IV-4	51
7	-133	-3577	506	-64	-11	-81	16.08	16.08	(12+13)-VI-4	55
8	1739	-2443	636	-277	-67	-134	16.08	16.08	(12+13)-VI-4	19
									Massimi/minimi	
1							16.08			
1								16.08		
8										19

Verifica dei Muri in legno

Scenario di calcolo : Set_NT_SLV_SLD_A2_STR/GEO_2018

Muro : 35 Nodi :[22 - 21 - 41 - 42]fyd=fmk/ $\gamma M=165.52[\text{kg}/\text{cmq}]$

Pann=24 Spess.= 15 cm Criterio: Legno_Tenso-Pressoflessione Materiale: Legno_isotropo

Verificato

Comb.	Kmod	Pann.	Nx	Ny	Nxy	Mx	My	Mxy	σ_{id}/K_{od}	σ_{id}/K_{mod}	Cs
			kg	kg	kg	kg*m	kg*m	kg*m	kg/cmq	kg/cmq	
(12+13)-I-3	0.6	1	-188	-1236	8	-44	25	40	4.79	3.70	35
(12+13)-III-3	0.6	2	45	-892	-81	-163	-43	85	9.60	8.96	17
(12+13)-I-4	0.6	3	636	-561	-9	-350	-118	64	15.32	13.85	11
(12+13)-III-4	0.6	4	1936	-372	275	-454	-107	43	20.69	16.53	8.0
(12+13)-III-3	0.6	5	-241	-998	-169	-19	68	-3	4.44	2.79	37

Comb.	Kmod	Pann.	Nx	<th>Nxy</th> <th>Mx</th> <th>My</th> <th>Mxy</th> <th>σ_{id}/Km_{od}</th> <th>$\sigma_{id+Km_{mod}}$</th> <th>Cs</th>	Nxy	Mx	My	Mxy	σ_{id}/Km_{od}	$\sigma_{id+Km_{mod}}$	Cs
(12+13)-III-3	0.6	6	124	-700	-271	-99	-19	-4	4.50	3.81	37
(12+13)-III-3	0.6	7	639	-516	-267	-180	-60	-2	7.87	6.35	21
(12+13)-III-3	0.6	8	1140	-259	107	-247	-35	3	11.65	8.93	14
(12+13)-III-3	0.6	9	-73	-957	-340	-9	60	-21	4.04	3.62	41
(12+13)-III-4	0.6	10	402	-840	-283	-27	-26	-35	2.99	3.72	44
(12+13)-I-2	0.6	11	336	-446	722	59	-6	28	4.52	4.92	34
(12+13)-IV-3	0.6	12	247	-174	-15	-156	5	19	7.54	7.46	22
(12+13)-III-4	0.6	13	335	-1088	-314	8	-28	-22	3.07	3.70	45
(12+13)-III-3	0.6	14	284	-682	-595	8	19	-40	2.93	4.31	38
(12+13)-IV-2	0.6	15	711	-506	430	43	-29	28	3.88	4.98	33
(12+13)-IV-4	0.6	16	1071	-230	-131	114	-15	19	6.14	6.86	24
(12+13)-I-4	0.6	17	416	-806	-399	13	-30	-9	2.73	3.24	51
(12+13)-III-3	0.6	18	273	-670	-692	62	23	-28	3.23	4.52	37
(12+13)-III-1	0.6	19	380	-249	584	-101	-20	-35	6.00	5.43	28
(12+13)-III-1	0.6	20	792	-128	284	-153	-15	-52	8.69	8.30	19
(12+13)-III-4	0.6	21	556	-886	-596	33	13	17	2.82	2.79	59
(12+13)-III-3	0.6	22	259	-667	-519	110	31	22	4.93	4.95	33
(12+13)-III-3	0.6	23	185	-645	-561	232	73	25	9.31	9.54	17
(12+13)-III-3	0.6	24	-639	-486	-560	368	96	43	15.87	14.34	10

Massimo (P4):20.69 [kg/cmq]

Muro : 36 Nodi :[21 - 25 - 43 - 41]fyd=fmk/ $\gamma M=165.52$ [kg/cmq]

Pann=24 Spess.= 15 cm Criterio: Legno_Tenso-Pressoflessione Materiale: Legno_isotropo

Verificato

Comb.	Kmod	Pann.	Nx	Ny	Nxy	Mx	My	Mxy	σ_{id}/Km_{od}	$\sigma_{id+Km_{mod}}$	Cs
			kg	kg	kg	kg*m	kg*m	kg*m	kg/cmq	kg/cmq	
(12+13)-III-4	0.6	1	262	-1144	-462	-21	15	16	3.52	2.92	47
(12+13)-III-4	0.6	2	561	-865	-489	-82	-22	28	5.27	4.41	31
(12+13)-III-4	0.6	3	753	-386	-457	-193	-59	31	9.16	9.09	18
(12+13)-III-1	0.6	4	-738	-504	668	358	94	-49	15.79	13.89	10
(12+13)-III-3	0.6	5	24	-867	-455	-7	44	19	3.89	3.09	43
(12+13)-III-3	0.6	6	350	-703	-507	-50	27	33	5.30	4.10	31
(12+13)-I-3	0.6	7	423	-265	-586	-99	-23	41	6.23	5.30	27
(12+13)-III-3	0.6	8	646	-131	-300	-148	-15	68	9.14	8.60	18
(12+13)-III-2	0.6	9	298	-1118	303	-9	-42	19	2.99	3.69	45
(12+13)-III-1	0.6	10	349	-669	515	14	-13	40	2.99	4.55	36
(12+13)-III-2	0.6	11	462	-517	365	65	-25	31	4.34	5.43	30
(12+13)-IV-2	0.6	12	1486	-234	-114	122	-18	-20	6.57	7.84	21
(12+13)-IV-2	0.6	13	268	-1608	-531	-9	-47	16	3.45	3.85	43
(12+13)-III-2	0.6	14	269	-884	239	27	-31	35	3.26	4.62	36
(12+13)-III-2	0.6	15	665	-559	211	69	-35	37	5.20	6.18	27
(12+13)-IV-3	0.6	16	-715	-149	-141	-164	8	-41	7.61	8.84	19
(12+13)-I-2	0.6	17	-229	-1439	-116	-14	55	14	4.42	3.89	37
(12+13)-III-2	0.6	18	232	-1046	21	-80	-32	26	4.18	3.69	40
(12+13)-III-1	0.6	19	624	-305	352	-167	-60	14	7.24	6.08	23
(12+13)-III-1	0.6	20	875	-234	1	-231	-37	16	10.71	8.61	15
(12+13)-IV-2	0.6	21	-366	-3692	-1124	-23	-7	-10	4.37	4.86	34
(12+13)-III-1	0.6	22	99	-136	403	-140	-34	-86	9.36	8.25	18
(12+13)-III-2	0.6	23	627	-637	-132	-334	-115	-61	14.58	13.28	11
(12+13)-III-2	0.6	24	1785	-381	-372	-426	-112	-38	19.18	15.44	8.6

Massimo (P24):19.18 [kg/cmq]

Muro : 37 Nodi :[25 - 26 - 44 - 0 - 0 - 0 - 0 - 0 - 0 - 43]fyd=fmk/ $\gamma M=165.52$ [kg/cmq]

Pann=46 Spess.= 15 cm Criterio: Legno_Tenso-Pressoflessione Materiale: Legno_isotropo

Verificato

Comb.	Kmod	Pann.	Nx	Ny	Nxy	Mx	My	Mxy	σ_{id}/Km_{od}	$\sigma_{id+Km_{mod}}$	Cs
			kg	kg	kg	kg*m	kg*m	kg*m	kg/cmq	kg/cmq	
2	0.6	1	4804	-1214	1060	341	1284	248	56.81	53.20	2.9
2	0.6	2	4174	-2432	2237	392	1598	-147	70.00	60.80	2.4

Comb.	Kmod	Pann.	Nx	<th>Nxy</th> <th>Mx</th> <th>My</th> <th>Mxy</th> <th>σ_{id}/Km_{od}</th> <th>$\sigma_{id+Km_{od}}$</th> <th>Cs</th>	Nxy	Mx	My	Mxy	σ_{id}/Km_{od}	$\sigma_{id+Km_{od}}$	Cs
2	0.6	3	3347	-1252	-166	419	1226	308	55.61	51.79	3.0
2	0.6	4	2669	-2552	1999	441	1673	-191	72.75	64.23	2.3
2	0.6	5	1819	-1913	-895	452	1394	402	65.91	60.01	2.5
2	0.6	6	1121	-2153	1808	470	1536	-154	65.02	58.68	2.5
2	0.6	7	534	-1999	-919	444	1469	456	70.63	64.94	2.3
2	0.6	8	81	-1798	1796	417	1388	-92	57.75	53.04	2.9
2	0.6	9	-119	-2982	-778	359	1673	541	83.08	76.05	2.0
2	0.6	10	-417	-1205	1000	264	1070	166	45.42	44.28	3.6
2	0.6	11	18	-2470	-250	237	1200	556	67.39	62.69	2.5
(12+13)-III-3	0.6	12	-1348	267	9	502	255	289	30.32	28.65	5.5
(12+13)-III-2	0.6	13	260	-908	-933	-225	-31	-184	17.88	18.20	9.1
(12+13)-III-2	0.6	14	53	-1596	-1118	-104	-59	-185	16.06	17.00	9.7
(12+13)-III-2	0.6	15	-241	-2217	-1163	-49	-85	-71	8.68	9.46	18
(12+13)-III-2	0.6	16	75	-1718	-1204	-57	-243	-106	12.58	15.70	11
(12+13)-I-1	0.6	17	-406	-2426	183	-99	-434	-84	16.50	20.92	7.9
(12+13)-III-1	0.6	18	-856	-4832	660	-122	-584	-30	21.86	28.69	5.8
(12+13)-III-3	0.6	19	41	-5960	297	-7	221	6	16.61	13.87	10.0
2	0.6	20	216	-7799	-928	35	646	-24	36.76	19.58	4.5
2	0.6	21	-5694	-12973	-3321	200	1050	125	57.34	46.88	2.9
2	0.6	22	1607	-3452	2144	315	1493	-84	65.79	56.35	2.5
(12+13)-III-2	0.6	23	-49	-1647	-1413	26	-48	-175	15.02	16.83	9.8
(12+13)-III-2	0.6	24	-68	-1518	-1197	93	-38	-126	12.81	13.64	12
2	0.6	25	-977	-3358	-329	223	575	14	25.66	19.00	6.4
2	0.6	26	-2251	-4621	-1458	168	736	60	34.79	25.54	4.8
2	0.6	27	-988	-2288	322	303	878	69	36.85	32.70	4.5
2	0.6	28	197	-1817	1464	331	1155	75	47.89	44.65	3.5
2	0.6	29	-2055	-1705	546	281	1118	72	46.25	44.11	3.6
2	0.6	30	-560	-2321	611	229	566	43	24.32	22.48	6.8
2	0.6	31	-234	-2063	1029	344	923	94	38.37	35.06	4.3
2	0.6	32	64	-1947	1080	345	883	100	36.71	33.73	4.5
2	0.6	33	908	-2136	1308	389	1239	147	52.01	48.35	3.2
2	0.6	34	625	-1858	1203	399	1149	139	47.75	44.81	3.5
2	0.6	35	1121	-1805	653	441	1333	159	55.53	51.94	3.0
2	0.6	36	1766	-2391	1426	393	1364	109	57.41	52.30	2.9
2	0.6	37	634	-2061	1229	388	1137	108	47.19	43.58	3.5
2	0.6	38	1077	-1614	1405	392	1232	82	50.56	47.40	3.3
2	0.6	39	219	-1937	940	324	747	121	31.72	29.11	5.2
(12+13)-III-3	0.6	40	343	-445	1514	157	264	230	21.37	22.90	7.2
(12+13)-III-3	0.6	41	-35	-672	1776	63	271	184	18.19	20.31	8.1
2	0.6	42	255	-1687	557	269	755	296	38.08	36.54	4.3
2	0.6	43	197	-1742	1122	386	1232	230	52.75	50.68	3.1
2	0.6	44	397	-1925	900	367	1052	212	45.59	43.00	3.6
2	0.6	45	501	-2377	771	304	1080	242	48.68	44.96	3.4
2	0.6	46	532	-2114	553	392	1227	220	53.05	49.32	3.1

Massimo (P9):83.08 [kg/cmq]

Muro : 40 Nodi :[30 - 31 - 47 - 0 - 0 - 0 - 46]fyd=fmk/ $\gamma M=165.52$ [kg/cmq]

Pann=26 Spess.= 15 cm Criterio: Legno_Tenso-Pressoflessione Materiale: Legno_isotropo

Verificato

Comb.	Kmod	Pann.	Nx	Ny	Nxy	Mx	My	Mxy	σ_{id}/Km_{od}	$\sigma_{id+Km_{od}}$	Cs
			kg	kg	kg	kg*m	kg*m	kg*m	kg/cmq	kg/cmq	
(12+13)-I-1	0.6	1	304	-2183	-89	-376	-182	177	20.38	19.66	8.1
(12+13)-I-1	0.6	2	166	-2098	-61	-262	-202	204	18.85	19.29	8.6
(12+13)-I-1	0.6	3	154	-2107	-59	-203	13	210	19.60	17.96	8.4
(12+13)-I-2	0.6	4	-101	-2410	-126	-29	47	234	19.08	17.84	8.7
(12+13)-I-4	0.6	5	-259	-1056	135	17	-360	-91	17.38	18.67	8.9
(12+13)-I-4	0.6	6	-66	-1102	145	-115	-452	-87	18.28	20.28	8.2
(12+13)-I-1	0.6	7	-2	-2099	20	-72	-167	194	16.19	17.26	9.6
(12+13)-I-4	0.6	8	-13	-1284	-134	69	129	-176	14.67	14.33	11
(12+13)-I-2	0.6	9	-601	-3660	-679	-49	-198	48	11.24	11.93	14
(12+13)-I-2	0.6	10	-503	-3226	-549	-25	-64	42	5.28	6.17	27
(12+13)-I-4	0.6	11	-160	-1052	-137	146	42	-86	9.02	9.15	18

Comb.	Kmod	Pann.	Nx	<th>Nxy</th> <th>Mx</th> <th>My</th> <th>Mxy</th> <th>σ_{id}/Km_{od}</th> <th>$\sigma_{id+Km_{mod}}$</th> <th>Cs</th>	Nxy	Mx	My	Mxy	σ_{id}/Km_{od}	$\sigma_{id+Km_{mod}}$	Cs
(12+13)-I-4	0.6	12	-400	-1142	-28	342	97	-79	14.99	14.81	11
(12+13)-I-4	0.6	13	-987	-1187	122	514	147	-66	21.81	20.27	7.6
(12+13)-I-1	0.6	14	289	-2217	-53	-440	-175	145	21.09	20.01	7.8
(12+13)-I-1	0.6	15	13	-2283	-18	-256	-124	162	16.19	16.06	10
(12+13)-I-1	0.6	16	-50	-2378	-40	-264	-111	139	15.20	14.84	11
(12+13)-I-1	0.6	17	-61	-2323	-30	-199	-97	161	14.85	14.77	11
(12+13)-I-1	0.6	18	106	-2274	-40	-307	-126	155	17.37	16.76	9.5
(12+13)-I-4	0.6	19	-223	-1166	-94	147	77	-156	13.30	13.41	12
(12+13)-I-1	0.6	20	159	-2199	-24	-305	-163	184	18.65	18.51	8.9
(12+13)-I-1	0.6	21	125	-2167	-21	-249	-181	198	18.12	18.60	8.9
(12+13)-I-1	0.6	22	72	-2214	-1	-249	-147	182	17.05	17.27	9.6
(12+13)-I-1	0.6	23	69	-2148	-3	-177	12	218	19.40	18.19	8.5
(12+13)-I-1	0.6	24	16	-2072	29	-88	21	223	18.19	18.04	9.1
(12+13)-I-1	0.6	25	14	-2234	18	-187	-152	193	16.50	17.32	9.6
(12+13)-I-1	0.6	26	-22	-2217	26	-103	-162	195	15.65	17.22	9.6

Massimo (P13):21.81 [kg/cmq]

Muro : 41 Nodi :[31 - 33 - 48 - 0 - 0 - 0 - 0 - 0 - 47]fyd=fmk/ $\gamma M=165.52$ [kg/cmq]

Pann=42 Spess.= 15 cm Criterio: Legno_Tenso-Pressoflessione Materiale: Legno_isotropo

Verificato

Comb.	Kmod	Pann.	Nx	Ny	Nxy	Mx	My	Mxy	σ_{id}/Km_{od}	$\sigma_{id+Km_{mod}}$	Cs
			kg	kg	kg	kg*m	kg*m	kg*m	kg/cmq	kg/cmq	
(12+13)-V-3	0.6	1	-427	-2227	480	-145	-424	45	14.55	19.32	8.6
(12+13)-V-3	0.6	2	-515	-2159	509	-89	-369	-2	12.69	17.00	9.7
(12+13)-VII-3	0.6	3	-462	-2136	425	-63	-316	-16	10.99	15.06	11
2	0.6	4	-412	-3096	-191	3	-219	-29	9.23	13.24	12
2	0.6	5	-374	-3076	-178	-7	-182	-47	8.12	11.86	14
(12+13)-I-2	0.6	6	-243	-2446	135	-201	-208	-49	8.80	11.41	15
(12+13)-II-2	0.6	7	413	-2232	-620	-267	-171	-30	10.79	11.36	15
(12+13)-II-2	0.6	8	574	-2263	-574	-343	-172	-27	14.06	13.34	12
(12+13)-II-2	0.6	9	767	-2323	-603	-415	-174	1	17.34	15.34	9.5
(12+13)-II-2	0.6	10	1029	-2356	-709	-489	-160	26	21.25	17.84	7.8
(12+13)-II-2	0.6	11	198	-2489	-1113	-309	-97	42	14.32	11.78	12
(12+13)-II-2	0.6	12	3	-2689	-1202	-156	-43	38	9.16	6.19	18
(12+13)-II-2	0.6	13	-174	-2807	-1069	-40	14	23	6.09	2.82	27
(12+13)-II-2	0.6	14	-295	-2643	-1126	-12	35	-13	4.73	3.86	35
(12+13)-VI-2	0.6	15	-39	-2118	-1202	15	11	-18	4.03	4.34	38
2	0.6	16	-671	-3398	9	17	10	3	3.70	3.59	45
(12+13)-II-2	0.6	17	-56	-2548	-1058	136	45	-1	5.89	6.77	24
(12+13)-II-2	0.6	18	-42	-2770	-1210	264	95	-12	10.40	11.65	14
(12+13)-VI-3	0.6	19	643	-2113	599	-477	-321	31	19.03	19.17	8.6
(12+13)-V-3	0.6	20	-378	-2402	-439	-227	-407	50	14.31	18.24	9.1
(12+13)-II-2	0.6	21	-56	-2566	-1235	-72	-15	-12	4.86	4.74	34
(12+13)-VI-2	0.6	22	8	-2118	-1387	38	16	-23	4.06	5.29	31
(12+13)-II-2	0.6	23	-51	-2481	-1200	16	16	-31	3.58	5.29	31
(12+13)-VI-3	0.6	24	-523	-1948	1036	-131	-91	24	5.58	7.37	22
(12+13)-V-3	0.6	25	-503	-2333	519	-70	-117	26	3.67	7.41	22
2	0.6	26	-430	-3174	-237	-8	-217	-12	8.78	12.86	13
2	0.6	27	-440	-3228	-260	-21	-170	5	5.98	10.51	16
(12+13)-V-3	0.6	28	-517	-2243	520	-83	-268	-5	8.44	12.85	13
(12+13)-V-3	0.6	29	-455	-2360	532	-149	-296	55	9.71	14.66	11
(12+13)-I-2	0.6	30	-325	-2686	-112	-124	-102	-9	5.02	6.92	24
(12+13)-II-2	0.6	31	196	-2414	-1067	-233	-108	4	9.97	9.25	17
(12+13)-II-2	0.6	32	16	-2453	-1184	-108	-43	-16	5.34	5.89	28
(12+13)-II-2	0.6	33	405	-2289	-703	-262	-156	-30	10.66	11.06	15
(12+13)-II-2	0.6	34	541	-2354	-734	-309	-142	-18	12.87	11.95	13
(12+13)-II-2	0.6	35	441	-2316	-818	-262	-133	-22	10.85	10.60	15
2	0.6	36	-358	-3152	-219	-21	-146	-34	6.29	9.90	17
(12+13)-I-2	0.6	37	-345	-2577	-34	-140	-150	-25	5.46	8.69	19
(12+13)-I-2	0.6	38	-258	-2609	24	-168	-154	-30	7.14	9.21	18
2	0.6	39	-401	-3165	-244	-15	-149	-19	5.30	9.83	17
2	0.6	40	-401	-3144	-212	-9	-193	-31	7.90	12.01	14

Comb.	Kmod	Pann.	Nx	<th>Nxy</th> <th>Mx</th> <th>My</th> <th>Mxy</th> <th>σid-/Km od</th> <th>σid+/K mod</th> <th>Cs</th>	Nxy	Mx	My	Mxy	σid-/Km od	σid+/K mod	Cs
2	0.6	41	-365	-3116	-194	-16	-165	-47	7.31	11.06	15
(12+13)-I-2	0.6	42	-239	-2500	110	-188	-181	-50	8.20	10.56	16

Massimo (P10):21.25 [kg/cmq]

Muro : 42 Nodi :[33 - 34 - 49 - 48]fyd=fmk/ γ M=165.52[kg/cmq]

Pann=16 Spess.= 15 cm Criterio: Legno_Tenso-Pressoflessione Materiale: Legno_isotropo

Verificato

Comb.	Kmod	Pann.	Nx	Ny	Nxy	Mx	My	Mxy	σ_{id}/Km_{od}	σ_{id}/K_{mod}	Cs
			kg	kg	kg	kg*m	kg*m	kg*m	kg/cmq	kg/cmq	
(12+13)-VI-2	0.6	1	-113	-2116	-1160	-27	1	9	4.28	3.41	39
(12+13)-II-4	0.6	2	219	-2094	-1266	-105	-31	-2	5.87	5.53	28
(12+13)-II-2	0.6	3	347	-2225	-1133	-230	-100	-32	9.76	9.88	17
(12+13)-V-4	0.6	4	271	-2794	203	-245	-320	-98	15.09	16.75	9.9
(12+13)-II-2	0.6	5	-256	-2082	-1011	-9	-17	-23	3.81	4.68	35
(12+13)-II-2	0.6	6	62	-2046	-1095	-18	-32	-36	3.06	5.97	28
(12+13)-I-2	0.6	7	-228	-2546	-135	70	-103	-38	5.24	9.72	17
(12+13)-I-2	0.6	8	-202	-2410	-13	145	-238	-28	13.15	17.36	9.5
(12+13)-VI-4	0.6	9	-97	-1783	-1002	8	-42	-10	4.49	4.81	34
(12+13)-II-1	0.6	10	-442	-2429	1375	-34	-21	17	3.49	5.07	33
(12+13)-I-2	0.6	11	-253	-2366	-91	105	-71	26	5.83	9.01	18
(12+13)-I-2	0.6	12	-318	-2201	-56	181	-132	77	12.35	15.02	11
(12+13)-VI-3	0.6	13	-545	-2523	1254	-25	15	-20	5.45	3.70	30
(12+13)-VI-4	0.6	14	97	-1433	-963	112	24	52	7.23	5.83	23
(12+13)-VI-4	0.6	15	278	-1360	-927	198	45	72	10.37	10.00	16
(12+13)-II-1	0.6	16	-575	-2226	1123	-337	-135	9	13.62	13.83	12

Massimo (P8):17.36 [kg/cmq]

Muro : 43 Nodi :[34 - 35 - 50 - 49]fyd=fmk/ γ M=165.52[kg/cmq]

Pann=16 Spess.= 15 cm Criterio: Legno_Tenso-Pressoflessione Materiale: Legno_isotropo

Verificato

Comb.	Kmod	Pann.	Nx	Ny	Nxy	Mx	My	Mxy	σ_{id}/Km_{od}	σ_{id}/K_{mod}	Cs
			kg	kg	kg	kg*m	kg*m	kg*m	kg/cmq	kg/cmq	
(12+13)-VI-3	0.6	1	7	-2203	1384	33	22	-16	4.89	3.67	34
(12+13)-II-3	0.6	2	-184	-1527	1259	124	36	31	5.64	7.19	23
(12+13)-II-2	0.6	3	517	-625	-391	-263	-80	-24	11.14	10.67	15
(12+13)-II-2	0.6	4	1505	-189	-291	-405	-97	47	18.43	14.90	9.0
(12+13)-VI-3	0.6	5	-21	-1807	1239	5	28	23	3.65	4.24	39
(12+13)-VI-3	0.6	6	-284	-1365	1283	37	6	28	2.95	5.14	32
(12+13)-VI-2	0.6	7	569	-282	-896	-98	-23	-28	4.70	5.09	33
(12+13)-VI-2	0.6	8	921	-80	-406	-153	-11	-50	8.23	7.22	20
(12+13)-II-3	0.6	9	-183	-1370	714	-10	47	20	3.76	3.56	44
(12+13)-VI-2	0.6	10	328	-289	-895	22	-14	-34	3.65	4.78	35
(12+13)-VI-4	0.6	11	287	-435	-834	78	2	-33	4.81	5.72	29
(12+13)-II-3	0.6	12	733	-148	97	-161	-19	29	7.90	7.82	21
(12+13)-VI-1	0.6	13	-303	-1284	346	-49	25	-29	4.78	2.84	35
(12+13)-VI-1	0.6	14	17	-878	423	-157	-40	-53	8.27	7.00	20
(12+13)-II-1	0.6	15	582	-483	308	-317	-111	-33	13.48	11.90	12
(12+13)-VI-2	0.6	16	-1187	-656	-893	400	98	60	18.29	15.32	9.1

Massimo (P4):18.43 [kg/cmq]

Pann=164 Spess.= 15 cm Criterio: Legno_Tenso-Pressoflessione Materiale: Legno_isotropo

Verificato

Comb.	Kmod	Pann.	Nx	Ny	Nxy	Mx	My	Mxy	σ_{id}/Km_{od}	σ_{id}/K_{mod}	Cs
			kg	kg	kg	kg*m	kg*m	kg*m	kg/cmq	kg/cmq	
2	0.6	1	-403	-1363	-649	426	1017	64	41.10	38.14	4.0
2	0.6	2	-208	-2394	932	420	1299	-302	59.08	53.09	2.8

Comb.	Kmod	Pann.	Nx	<th>Nxy</th> <th>Mx</th> <th>My</th> <th>Mxy</th> <th>σ_{id}/Km_{od}</th> <th>$\sigma_{id+Km_{od}}$</th> <th>Cs</th>	Nxy	Mx	My	Mxy	σ_{id}/Km_{od}	$\sigma_{id+Km_{od}}$	Cs
2	0.6	3	-163	-1635	-989	402	1140	145	48.00	43.83	3.4
2	0.6	4	-202	-2164	1107	391	1220	-290	55.83	49.98	3.0
2	0.6	5	-56	-1745	-1062	386	1199	187	51.62	46.94	3.2
2	0.6	6	-213	-1969	1075	390	1139	-256	51.42	46.05	3.2
2	0.6	7	-96	-1643	-910	399	1179	176	50.24	45.99	3.3
2	0.6	8	-276	-2467	1094	416	1273	-248	56.61	50.37	2.9
2	0.6	9	-127	-1552	-1084	432	1191	220	51.62	47.21	3.2
2	0.6	10	-433	-2204	1214	430	1162	-262	52.51	46.57	3.2
2	0.6	11	-168	-1590	-962	425	1222	185	51.94	47.76	3.2
2	0.6	12	-298	-2218	1232	351	1164	-270	53.54	47.43	3.1
2	0.6	13	-59	-1604	-959	335	1194	196	51.95	47.60	3.2
2	0.6	14	-270	-2210	1164	314	1178	-242	53.49	47.57	3.1
2	0.6	15	-126	-1616	-989	319	1181	218	52.18	47.70	3.2
2	0.6	16	-346	-2197	1134	316	1192	-220	53.31	47.60	3.1
2	0.6	17	-237	-1606	-1008	323	1163	239	52.03	47.53	3.2
2	0.6	18	-454	-2239	1154	323	1218	-206	53.97	48.27	3.1
2	0.6	19	-348	-1588	-1063	326	1155	270	52.63	48.03	3.1
2	0.6	20	-578	-2068	1227	330	1184	-198	52.15	46.79	3.2
2	0.6	21	-488	-1989	-1016	331	1263	288	57.71	52.48	2.9
2	0.6	22	-688	-2018	1023	334	1173	-125	49.88	45.23	3.3
2	0.6	23	-705	-1612	-977	330	1135	321	53.56	49.05	3.1
2	0.6	24	-879	-2034	1200	334	1200	-116	50.89	46.24	3.3
2	0.6	25	-869	-1874	-994	316	1211	382	59.08	54.09	2.8
2	0.6	26	-1032	-1864	1160	308	1149	-38	47.76	44.08	3.5
2	0.6	27	-865	-2260	-882	267	1260	469	65.31	59.83	2.5
2	0.6	28	-905	-1375	677	203	902	161	39.22	37.81	4.2
2	0.6	29	-401	-2266	-637	213	970	505	57.77	52.74	2.9
(12+13)-VI-2	0.6	30	-1566	147	-395	629	261	298	35.13	31.76	4.7
(12+13)-VI-3	0.6	31	249	-772	-340	-278	-54	-183	17.99	18.31	9.0
(12+13)-VI-1	0.6	32	283	-991	74	-114	-57	-183	15.04	14.78	11
(12+13)-VI-3	0.6	33	-335	-1485	53	-73	-98	-78	7.08	7.87	21
(12+13)-II-1	0.6	34	310	-1425	178	-45	-240	-97	11.40	13.53	12
(12+13)-VI-3	0.6	35	623	-1571	128	-93	-421	-54	15.83	19.38	8.5
(12+13)-II-1	0.6	36	822	-1618	116	-114	-495	-19	18.20	22.03	7.5
(12+13)-II-1	0.6	37	779	-1336	76	-116	-465	25	17.08	20.43	8.1
(12+13)-II-1	0.6	38	643	-1342	-189	-100	-374	37	13.72	16.76	9.9
2	0.6	39	226	-2473	-91	-74	-308	5	10.87	15.14	11
2	0.6	40	145	-2407	-120	-68	-293	16	10.62	14.53	11
(12+13)-VIII-3	0.6	41	192	-1612	28	-70	-288	29	10.02	13.58	12
(12+13)-VIII-3	0.6	42	-656	-1929	141	-95	-278	31	9.24	13.04	13
2	0.6	43	108	-2491	71	37	107	51	7.85	4.62	21
2	0.6	44	240	-2400	-113	158	408	18	18.45	13.46	9.0
2	0.6	45	-1145	-2202	-632	234	707	-38	29.87	26.01	5.5
2	0.6	46	-379	-2591	357	415	1204	-217	52.68	47.26	3.1
2	0.6	47	-130	-2036	35	277	839	-35	35.14	30.92	4.7
2	0.6	48	-176	-2002	55	310	965	-40	40.12	35.98	4.1
2	0.6	49	-129	-1978	298	336	1078	-49	44.76	40.55	3.7
2	0.6	50	-134	-2034	45	265	842	-28	35.33	31.09	4.7
2	0.6	51	-156	-1970	28	290	963	-34	40.19	36.08	4.1
2	0.6	52	-243	-1900	-197	312	1081	-36	44.87	41.00	3.7
2	0.6	53	-131	-2033	63	252	836	-19	35.17	30.91	4.7
2	0.6	54	-172	-2000	73	279	961	-20	40.18	36.00	4.1
2	0.6	55	-117	-1988	286	299	1078	-21	44.97	40.74	3.7
(12+13)-II-3	0.6	56	439	-1300	-57	-50	-187	78	9.93	10.75	15
(12+13)-VI-2	0.6	57	-156	-1185	214	-5	218	-129	15.11	12.96	11
2	0.6	58	-99	-2084	46	240	738	-25	31.21	26.86	5.3
2	0.6	59	-63	-2119	49	211	634	-24	27.12	22.70	6.1
2	0.6	60	-91	-2083	67	214	694	-20	29.58	25.20	5.6
2	0.6	61	-93	-2085	32	227	690	-24	29.33	24.99	5.6
2	0.6	62	-4	-2196	43	162	458	-17	20.22	15.65	8.2
2	0.6	63	-138	-2037	9	325	875	-29	36.21	32.05	4.6
2	0.6	64	-290	-1844	-325	398	1096	-20	44.60	40.92	3.7
2	0.6	65	-171	-2018	-25	359	994	-30	40.86	36.75	4.1
2	0.6	66	-55	-2195	174	388	1095	-24	45.09	40.51	3.7

Comb.	Kmod	Pann.	Nx	<th>Nxy</th> <th>Mx</th> <th>My</th> <th>Mxy</th> <th>σ_{id}/Km_{od}</th> <th>σ_{id}/K_{mod}</th> <th>Cs</th>	Nxy	Mx	My	Mxy	σ_{id}/Km_{od}	σ_{id}/K_{mod}	Cs
2	0.6	67	-177	-1963	314	394	1083	-40	44.37	40.28	3.7
2	0.6	68	-269	-1942	-232	377	1087	-49	44.57	40.72	3.7
2	0.6	69	-180	-2003	53	350	973	-32	40.10	36.00	4.1
2	0.6	70	-156	-1987	6	335	965	-44	39.92	35.85	4.1
2	0.6	71	-144	-2043	17	307	846	-32	35.17	30.99	4.7
2	0.6	72	-133	-2043	28	291	837	-35	34.91	30.70	4.7
(12+13)-VI-1	0.6	73	407	-1501	-29	-45	-124	74	7.70	8.64	19
2	0.6	74	-12	-2197	19	174	435	-18	19.18	14.78	8.6
(12+13)-VI-3	0.6	75	259	-1420	-195	-16	198	104	13.72	10.64	12
2	0.6	76	-14	-2213	-8	133	322	-10	14.75	11.73	11
2	0.6	77	-92	-2090	29	243	688	-29	29.11	24.80	5.7
2	0.6	78	-64	-2134	13	215	581	-26	24.91	20.54	6.6
2	0.6	79	-109	-2089	17	264	712	-28	29.93	25.66	5.5
2	0.6	80	-63	-2157	10	208	523	-18	22.54	18.16	7.3
2	0.6	81	-107	-2091	16	268	700	-25	29.41	25.14	5.6
(12+13)-VIII-4	0.6	82	-213	-1221	-326	48	115	37	6.63	5.74	25
2	0.6	83	-23	-2392	64	92	187	36	9.95	5.83	17
2	0.6	84	-26	-2273	-2	130	254	12	12.04	7.76	14
(12+13)-VI-1	0.6	85	271	-1479	-52	-31	-99	55	6.04	6.94	24
2	0.6	86	-16	-2250	-8	125	256	-3	12.09	8.60	14
2	0.6	87	26	-2299	-75	204	467	2	20.34	15.75	8.1
2	0.6	88	-111	-2287	-210	229	574	-8	24.57	19.97	6.7
2	0.6	89	-90	-2129	-100	286	688	-33	28.85	24.63	5.7
2	0.6	90	-268	-1826	-242	373	1035	-86	42.66	39.16	3.9
2	0.6	91	-221	-1975	-102	342	883	-68	36.63	32.75	4.5
2	0.6	92	-147	-2183	37	353	961	-77	40.13	35.69	4.1
2	0.6	93	-362	-1814	-181	362	860	-80	35.51	32.11	4.7
2	0.6	94	-72	-2203	-10	211	483	-11	20.88	16.50	7.9
2	0.6	95	-71	-2160	2	210	504	-13	21.68	17.34	7.6
2	0.6	96	-133	-2018	13	325	890	-30	36.81	32.68	4.5
2	0.6	97	-117	-2083	4	274	710	-23	29.77	25.53	5.6
2	0.6	98	-124	-2063	-20	296	806	-30	33.61	29.39	4.9
2	0.6	99	-98	-2095	-41	281	719	-34	30.15	25.92	5.5
2	0.6	100	-102	-2044	192	365	1068	-69	44.27	39.98	3.7
2	0.6	101	-155	-2032	-34	331	903	-55	37.50	33.39	4.4
2	0.6	102	-207	-1916	-110	363	1042	-39	42.76	38.89	3.9
2	0.6	103	-206	-1896	-284	361	1082	-52	44.47	40.70	3.7
2	0.6	104	-150	-1876	189	350	1046	-41	43.06	39.15	3.8
2	0.6	105	-156	-1949	-23	335	962	-50	39.79	35.81	4.2
(12+13)-VI-1	0.6	106	585	-1243	226	47	-240	59	12.72	14.51	11
(12+13)-VI-4	0.6	107	-243	-1256	52	1	261	-110	15.44	13.29	11
2	0.6	108	-101	-2095	94	229	735	-4	31.14	26.75	5.3
2	0.6	109	-52	-2130	91	204	633	-6	27.12	22.64	6.1
2	0.6	110	-90	-2093	109	208	683	-2	29.16	24.77	5.7
2	0.6	111	-89	-2084	70	210	692	-10	29.52	25.14	5.6
2	0.6	112	20	-2204	76	157	455	-13	20.16	17.77	8.2
2	0.6	113	-139	-2037	72	248	835	-11	35.15	30.88	4.7
2	0.6	114	-172	-1970	50	274	960	-10	40.13	36.02	4.1
2	0.6	115	-274	-1894	-187	296	1077	-9	44.80	40.91	3.7
2	0.6	116	-143	-2042	90	251	838	-1	35.24	30.97	4.7
2	0.6	117	-199	-2011	93	274	959	3	40.11	35.92	4.1
2	0.6	118	-159	-2011	289	295	1075	5	44.89	40.68	3.7
2	0.6	119	-159	-2044	101	250	833	10	35.03	30.78	4.7
2	0.6	120	-218	-1976	69	275	958	12	40.04	35.95	4.1
2	0.6	121	-351	-1874	-177	299	1073	15	44.57	40.73	3.7
(12+13)-II-2	0.6	122	-69	-1065	135	-39	288	66	15.65	14.02	11
(12+13)-VI-3	0.6	123	402	-1486	-124	51	-204	-82	11.66	13.94	12
(12+13)-II-1	0.6	124	367	-1275	-210	41	-56	-194	14.88	16.27	10
(12+13)-II-1	0.6	125	272	-1293	-124	0	-174	-149	12.94	14.99	11
(12+13)-II-2	0.6	126	-48	-906	84	-7	234	121	14.72	14.63	11
(12+13)-II-4	0.6	127	-218	-859	-56	53	322	290	26.56	25.58	6.2
(12+13)-VI-2	0.6	128	-59	-505	24	159	234	273	23.09	22.83	7.2
(12+13)-II-4	0.6	129	-5	-755	36	59	241	211	19.27	18.61	8.6
(12+13)-VI-2	0.6	130	-685	-673	-207	271	371	399	34.79	33.45	4.8

Comb.	Kmod	Pann.	Nx	Ny	Nxy	Mx	My	Mxy	σid-/Km od	σid+/K mod	Cs
	2	0.6	131	-560	-1857	388	276	957	215	42.78	40.02
	2	0.6	132	-300	-2085	-7	224	810	222	38.38	34.57
	2	0.6	133	-217	-1942	96	259	740	179	33.77	32.13
	2	0.6	134	-284	-2010	121	273	802	144	35.14	31.86
	2	0.6	135	-589	-2027	-76	297	1013	175	44.24	40.34
	2	0.6	136	-446	-1964	244	306	1017	96	42.69	38.97
	2	0.6	137	-586	-1973	440	306	1043	140	44.35	41.01
	2	0.6	138	-392	-1978	160	286	898	125	38.47	34.77
	2	0.6	139	-613	-1845	-54	299	1012	114	42.76	39.19
(12+13)-II-2	0.6	140	-83	-1022	157	-112	340	106	20.70	19.47	8.0
(12+13)-II-2	0.6	141	-24	-945	101	-41	294	179	20.32	19.54	8.1
(12+13)-VI-2	0.6	142	-239	-900	212	-72	372	250	26.87	26.32	6.2
	2	0.6	143	-267	-2047	138	277	844	72	35.62	31.58
	2	0.6	144	-175	-2048	151	256	731	80	31.20	28.20
	2	0.6	145	-85	-2077	131	246	654	50	27.80	25.17
	2	0.6	146	-92	-2102	139	235	665	35	28.26	24.04
	2	0.6	147	36	-2159	116	189	493	13	21.41	19.38
	2	0.6	148	-106	-2097	136	230	693	23	29.39	25.07
	2	0.6	149	-22	-2148	131	194	568	10	24.50	21.04
	2	0.6	150	-83	-2101	111	218	678	11	28.86	24.49
(12+13)-VI-1	0.6	151	580	-1423	236	48	-242	4	12.68	13.98	12
(12+13)-VI-4	0.6	152	-128	-1157	-98	-81	349	-73	19.54	17.43	8.5
(12+13)-VI-4	0.6	153	-103	-1155	96	-86	312	15	17.33	15.01	9.5
(12+13)-VI-4	0.6	154	-203	-1226	71	-32	300	-55	15.93	13.50	10
	2	0.6	155	-362	-1985	422	310	1086	44	45.18	41.27
	2	0.6	156	-410	-2148	-135	311	1076	64	45.13	40.73
	2	0.6	157	-340	-2054	148	291	979	55	40.99	36.88
	2	0.6	158	-226	-2037	141	273	848	51	35.62	31.52
	2	0.6	159	-209	-2042	132	258	832	33	34.95	30.78
	2	0.6	160	-169	-2050	112	251	828	19	34.84	30.59
	2	0.6	161	-287	-1962	83	282	964	36	40.24	36.25
	2	0.6	162	-244	-2021	112	280	959	27	40.09	35.94
	2	0.6	163	-461	-1815	-212	305	1077	46	44.72	41.04
	2	0.6	164	-226	-2066	316	300	1083	27	45.21	40.98

Massimo (P27):65.31 [kg/cmq]

Muro : 45 Nodi :[36 - 37 - 52 - 51]fyd=fmk/ γ M=165.52[kg/cmq]

Pann=16 Spess.= 15 cm Criterio: Legno_Tenso-Pressoflessione Materiale: Legno_isotropo

Verificato

Comb.	Kmod	Pann.	Nx	<th>Nxy</th> <th>Mx</th> <th>My</th> <th>Mxy</th> <th>σ_{id}/Km od</th> <th>σ_{id}/K mod</th> <th>Cs</th>	Nxy	Mx	My	Mxy	σ_{id}/Km od	σ_{id}/K mod	Cs
			kg	kg	kg	kg*m	kg*m	kg*m	kg/cmq	kg/cmq	
(12+13)-VIII-3	0.6	1	-546	-1656	19	-87	-229	38	7.80	10.90	15
	2	0.6	2	102	-2221	20	-18	58	68	7.61	6.91
	2	0.6	3	283	-2109	135	23	261	17	13.65	8.81
	2	0.6	4	847	-2825	610	-19	432	-166	27.17	19.80
(12+13)-VIII-3	0.6	5	-306	-1163	41	-49	-145	44	5.60	7.66	22
(12+13)-VIII-1	0.6	6	-41	-1174	176	-28	-28	75	5.70	6.51	25
	2	0.6	7	131	-1336	38	-42	145	-11	9.16	8.49
	2	0.6	8	206	-515	-3	-19	147	-181	15.90	15.28
(12+13)-VIII-3	0.6	9	-179	-865	61	-25	-73	38	3.67	4.83	34
(12+13)-VIII-1	0.6	10	85	-884	136	-60	-29	58	5.09	5.33	31
(12+13)-VIII-4	0.6	11	-20	-332	-353	45	65	-73	5.95	6.71	25
(12+13)-VIII-4	0.6	12	-395	-254	-155	99	39	-138	11.12	11.43	14
(12+13)-V-2	0.6	13	-119	-1051	117	-28	8	-15	2.70	2.10	61
(12+13)-VIII-3	0.6	14	66	-517	15	-63	-21	56	5.09	4.97	33
(12+13)-VII-1	0.6	15	319	-476	-37	-204	-61	-16	8.62	7.73	19
(12+13)-VII-4	0.6	16	-695	-277	-447	294	81	0	12.38	11.04	13

Massimo (P4):27.17 [kg/cmq]

Pann=162 Spess.= 15 cm Criterio: Legno_Tenso-Pressoflessione Materiale: Legno_isotropo
Verificato

Comb.	Kmod	Pann.	Nx	<th>Nxy</th> <th>Mx</th> <th>My</th> <th>Mxy</th> <th>σ_{id}/Km_{od}</th> <th>$\sigma_{id+Km_{od}}$</th> <th>Cs</th>	Nxy	Mx	My	Mxy	σ_{id}/Km_{od}	$\sigma_{id+Km_{od}}$	Cs
			kg	kg	kg	kg*m	kg*m	kg*m	kg/cmq	kg/cmq	
2	0.6	1	3301	-784	1659	187	493	-82	22.95	18.68	7.2
2	0.6	2	1974	-1126	738	139	554	-217	30.18	25.59	5.5
2	0.6	3	1359	-1442	569	125	538	-38	24.11	19.85	6.9
2	0.6	4	737	-1333	154	105	618	-177	30.58	27.21	5.4
2	0.6	5	483	-1519	323	99	554	30	24.66	21.97	6.7
2	0.6	6	281	-1436	128	111	614	-130	28.78	25.47	5.8
2	0.6	7	182	-1461	305	111	554	77	24.82	23.65	6.7
2	0.6	8	226	-1452	190	141	604	-96	27.10	23.73	6.1
2	0.6	9	168	-1390	291	147	572	115	25.81	24.86	6.4
2	0.6	10	402	-1412	276	205	552	-62	23.63	20.43	7.0
2	0.6	11	383	-1336	172	217	550	116	24.36	22.00	6.8
2	0.6	12	642	-1306	218	270	517	-64	21.86	19.64	7.6
(12+13)-VII-4	0.6	13	1403	-566	552	443	333	170	23.02	23.48	7.0
(12+13)-VII-4	0.6	14	1719	-566	470	535	308	39	20.19	22.59	7.3
(12+13)-VII-4	0.6	15	1528	-577	-304	554	321	-83	20.97	23.84	6.9
(12+13)-VII-4	0.6	16	1079	-571	-200	425	316	-191	22.96	23.28	7.1
2	0.6	17	127	-1457	-261	248	521	23	21.63	18.70	7.7
2	0.6	18	-124	-1243	116	194	613	-157	28.23	25.73	5.9
2	0.6	19	-249	-1598	-331	190	583	47	24.86	21.45	6.7
2	0.6	20	-380	-1309	215	139	630	-154	29.46	26.77	5.6
2	0.6	21	-476	-1594	-304	141	622	82	27.56	24.23	6.0
2	0.6	22	-512	-1384	364	105	656	-132	30.47	27.52	5.4
2	0.6	23	-620	-1638	-318	106	681	136	31.75	28.43	5.2
2	0.6	24	-626	-1387	480	101	623	-81	27.93	25.02	5.9
2	0.6	25	-682	-1569	-302	97	683	179	33.13	30.04	5.0
2	0.6	26	-741	-1437	586	109	607	-26	26.40	23.65	6.3
2	0.6	27	-738	-1529	-332	104	675	229	34.59	31.58	4.8
2	0.6	28	-866	-1441	580	143	568	53	24.22	22.08	6.8
2	0.6	29	-806	-1360	-329	132	575	274	32.67	30.03	5.1
2	0.6	30	-944	-1342	437	174	469	124	21.37	19.97	7.7
2	0.6	31	-595	-1349	-418	151	416	253	26.78	23.88	6.2
(12+13)-VII-4	0.6	32	-1015	90	-151	384	150	122	18.65	16.56	8.9
(12+13)-VII-2	0.6	33	151	-494	-193	-98	-19	-98	8.43	8.76	19
(12+13)-VII-2	0.6	34	122	-701	8	-45	-20	-93	7.45	7.34	22
(12+13)-VII-2	0.6	35	-135	-891	48	-29	-46	-40	3.34	3.98	42
(12+13)-VII-2	0.6	36	108	-1044	-69	-16	-114	-48	5.06	7.09	23
(12+13)-VII-2	0.6	37	267	-1223	-22	-44	-194	-19	6.61	9.40	18
(12+13)-VII-2	0.6	38	249	-1311	-62	-53	-210	9	6.99	9.93	17
(12+13)-VII-2	0.6	39	273	-1306	-129	-52	-176	21	5.88	8.58	19
2	0.6	40	-221	-1918	-187	-43	-164	3	5.01	8.54	19
(12+13)-VII-1	0.6	41	-7	-1043	-477	-44	-173	-14	5.82	8.29	20
(12+13)-VII-1	0.6	42	-89	-985	-493	-35	-168	22	6.35	7.88	21
(12+13)-VII-1	0.6	43	-139	-1042	-414	-19	-103	42	5.08	5.82	28
2	0.6	44	-506	-2684	51	-27	-23	18	3.68	3.79	44
(12+13)-VII-1	0.6	45	-173	-1430	-133	-82	-35	73	6.82	6.43	24
(12+13)-VII-1	0.6	46	-65	-1976	-420	-195	-51	86	11.32	9.54	15
(12+13)-VII-1	0.6	47	-5363	-3491	-728	-388	-17	60	20.14	21.51	7.7
2	0.6	48	316	-303	2329	162	439	-175	25.03	21.61	6.6
(12+13)-VII-4	0.6	49	-395	-1384	80	-47	102	-32	7.51	6.02	22
(12+13)-VII-1	0.6	50	-140	-955	-534	25	-72	57	6.15	5.84	27
(12+13)-VII-1	0.6	51	-417	-1143	-496	27	-30	87	7.80	6.47	21
(12+13)-V-1	0.6	52	-162	-951	-419	36	-77	27	4.80	5.49	30
(12+13)-III-2	0.6	53	-235	-1009	-39	-34	124	31	7.73	6.38	21
(12+13)-VII-4	0.6	54	-330	-1147	213	-51	109	32	7.56	6.12	22
(12+13)-VII-4	0.6	55	-346	-1275	199	-76	119	1	8.62	6.64	19
(12+13)-VII-4	0.6	56	-574	-1286	-124	-7	102	-97	9.27	8.54	18
(12+13)-VII-4	0.6	57	-1159	-1451	-903	38	88	-135	9.88	12.30	13
(12+13)-VII-4	0.6	58	-747	-675	251	-46	153	-154	14.82	13.83	11
(12+13)-VII-4	0.6	59	-494	-437	316	-48	210	-205	19.56	18.41	8.5
(12+13)-V-4	0.6	60	-1587	-48	56	162	190	-203	17.99	17.18	9.2
2	0.6	61	109	-1242	570	98	476	-88	22.20	20.29	7.5

Comb.	Kmod	Pann.	Nx	<th>Nxy</th> <th>Mx</th> <th>My</th> <th>Mxy</th> <th>σ_{id}/Km_{od}</th> <th>σ_{id}/K_{mod}</th> <th>Cs</th>	Nxy	Mx	My	Mxy	σ_{id}/Km_{od}	σ_{id}/K_{mod}	Cs
2	0.6	62	-107	-1021	764	106	422	-112	20.64	19.28	8.0
(12+13)-VII-4	0.6	63	-477	-1082	165	-86	134	-67	10.76	9.26	15
(12+13)-V-4	0.6	64	-446	-866	111	-189	193	-117	17.70	16.78	9.4
(12+13)-VII-4	0.6	65	-473	-922	392	-131	186	-86	14.76	13.24	11
(12+13)-VII-4	0.6	66	-497	-779	508	-126	181	-143	17.13	15.31	9.7
2	0.6	67	-197	-1425	178	115	353	-6	15.35	13.80	11
2	0.6	68	-388	-1476	29	99	237	3	10.63	9.02	16
2	0.6	69	-398	-1384	203	104	327	-28	14.44	12.77	11
(12+13)-VII-4	0.6	70	-342	-1183	281	-116	159	-17	11.71	9.83	14
2	0.6	71	138	-1431	247	129	526	2	22.69	21.98	7.3
2	0.6	72	15	-1449	241	127	456	-4	19.70	18.53	8.4
2	0.6	73	96	-1439	297	114	495	-17	21.62	20.70	7.7
2	0.6	74	179	-1394	444	104	503	-67	22.82	21.39	7.3
2	0.6	75	89	-1435	318	102	493	-41	21.94	20.60	7.5
(12+13)-V-4	0.6	76	-470	-951	490	-244	208	-80	19.21	17.78	8.6
(12+13)-V-1	0.6	77	-97	-921	-366	43	-72	-27	5.18	6.02	28
(12+13)-VII-2	0.6	78	67	-1143	-124	48	48	53	5.27	5.20	31
(12+13)-VII-2	0.6	79	82	-1021	-37	-23	172	80	11.27	9.30	15
(12+13)-VII-2	0.6	80	49	-1064	-64	87	123	73	8.18	6.89	20
(12+13)-VII-1	0.6	81	-65	-1092	-283	-36	143	-77	10.01	8.92	17
2	0.6	82	-360	-1559	-34	82	162	12	7.79	7.22	21
(12+13)-VII-1	0.6	83	-112	-1087	-324	-42	138	-68	9.54	8.52	17
(12+13)-III-2	0.6	84	-242	-978	-40	-7	92	41	6.10	5.55	27
(12+13)-VII-1	0.6	85	-280	-913	-222	-56	222	-123	15.10	14.44	11
(12+13)-VII-1	0.6	86	-314	-987	-269	-45	182	-92	12.08	11.36	14
2	0.6	87	-95	-1407	121	138	360	6	15.43	13.65	11
2	0.6	88	-276	-1466	40	110	250	7	11.09	9.99	15
(12+13)-VII-4	0.6	89	747	-555	546	320	239	190	19.76	20.57	8.0
(12+13)-VII-1	0.6	90	-258	-859	-266	-64	260	-157	18.14	17.73	9.1
2	0.6	91	247	-1340	136	197	476	24	19.86	19.55	8.3
2	0.6	92	164	-1412	240	152	520	19	22.18	21.76	7.5
2	0.6	93	196	-1391	187	169	482	23	20.36	19.44	8.1
2	0.6	94	82	-1412	188	153	452	12	19.20	18.37	8.6
(12+13)-V-1	0.6	95	-236	-974	-177	-74	242	88	15.37	13.51	11
(12+13)-VII-2	0.6	96	-84	-988	-26	-29	212	90	13.18	11.42	13
(12+13)-VII-1	0.6	97	-248	-984	-213	-74	238	-121	16.13	15.22	10
(12+13)-VII-1	0.6	98	-268	-1027	-238	-42	191	-98	12.67	11.77	13
(12+13)-VII-1	0.6	99	-508	-897	-227	-178	249	111	19.18	18.17	8.6
(12+13)-VII-1	0.6	100	-480	-944	-235	-184	263	107	19.81	18.47	8.4
(12+13)-VII-1	0.6	101	-390	-951	-210	-147	256	108	18.55	17.02	8.9
(12+13)-VII-4	0.6	102	966	-478	-138	459	269	-143	20.08	21.74	7.6
(12+13)-VII-4	0.6	103	901	-501	454	379	264	157	19.24	20.32	8.1
(12+13)-VII-4	0.6	104	851	-460	373	409	249	124	19.42	19.51	8.5
(12+13)-VII-1	0.6	105	-330	-934	-250	-105	256	-148	18.61	18.07	8.9
(12+13)-VII-2	0.6	106	156	-912	-128	29	-13	-98	7.34	8.20	20
(12+13)-VII-1	0.6	107	112	-1129	-209	23	-54	-68	5.15	7.09	23
(12+13)-VII-4	0.6	108	-28	-651	198	-21	122	54	7.62	7.57	22
2	0.6	109	63	-1712	93	70	173	-12	8.56	6.99	19
(12+13)-VII-2	0.6	110	134	-1050	-30	138	143	-29	7.23	6.26	23
(12+13)-VII-4	0.6	111	-78	-805	278	-31	137	-16	7.92	6.11	21
(12+13)-VII-2	0.6	112	188	-1146	-56	41	-95	-23	5.85	7.00	24
(12+13)-VII-3	0.6	113	-243	-471	23	107	161	225	18.52	18.29	8.9
(12+13)-VII-3	0.6	114	-318	-560	91	-22	204	228	20.04	19.95	8.3
(12+13)-VII-3	0.6	115	-101	-530	67	-22	150	173	15.32	15.06	11
(12+13)-VII-3	0.6	116	25	-417	-10	35	88	152	12.32	12.04	13
(12+13)-VII-3	0.6	117	68	-598	16	-11	101	118	10.58	9.99	16
2	0.6	118	-416	-1447	173	114	449	144	22.16	20.57	7.5
2	0.6	119	-465	-1574	108	102	517	119	24.33	21.66	6.8
(12+13)-VII-4	0.6	120	-77	-667	213	-37	153	94	10.84	10.41	15
2	0.6	121	-247	-1563	141	108	420	89	19.52	17.08	8.5
(12+13)-VII-4	0.6	122	-338	-724	233	-45	201	172	16.64	16.68	9.9
(12+13)-VII-4	0.6	123	-258	-692	243	-56	204	131	14.70	14.54	11
2	0.6	124	-113	-1625	136	102	366	42	16.53	13.59	10
2	0.6	125	55	-1644	84	83	236	10	10.98	8.56	15

Comb.	Kmod	Pann.	Nx	<th>Nxy</th> <th>Mx</th> <th>My</th> <th>Mxy</th> <th>σ_{id}/Km_{od}</th> <th>$\sigma_{id+Km_{od}}$</th> <th>Cs</th>	Nxy	Mx	My	Mxy	σ_{id}/Km_{od}	$\sigma_{id+Km_{od}}$	Cs
2	0.6	126	-147	-1644	155	100	396	15	17.59	14.28	9.4
2	0.6	127	2	-1687	132	90	267	0	12.26	9.37	14
2	0.6	128	-557	-1489	213	106	553	97	25.03	22.59	6.6
2	0.6	129	-330	-1567	156	99	473	70	21.41	18.83	7.7
2	0.6	130	-425	-1575	85	94	547	66	24.57	21.60	6.7
2	0.6	131	-418	-1588	41	100	594	15	26.07	23.90	6.3
2	0.6	132	-477	-1526	185	96	552	38	24.32	21.47	6.8
2	0.6	133	-322	-1594	141	107	514	18	22.51	19.56	7.4
(12+13)-V-3	0.6	134	-280	-933	108	44	-79	-50	6.10	6.62	25
(12+13)-VII-2	0.6	135	199	-1201	-48	35	-95	20	6.22	6.79	24
2	0.6	136	10	-1721	123	73	181	-15	8.92	7.27	19
(12+13)-VII-2	0.6	137	156	-1133	-18	71	148	30	7.25	5.20	23
(12+13)-VII-2	0.6	138	53	-1078	-23	92	170	57	8.77	7.06	19
(12+13)-VII-2	0.6	139	100	-1048	-30	-23	176	79	11.39	9.35	15
(12+13)-VII-2	0.6	140	123	-1068	-17	-18	169	69	10.67	8.55	16
(12+13)-VII-2	0.6	141	109	-1098	-53	-25	131	68	9.38	7.55	18
2	0.6	142	-78	-1506	167	143	375	-28	16.28	13.20	10
(12+13)-VII-2	0.6	143	36	-995	-7	-32	215	91	13.47	11.60	12
(12+13)-VII-1	0.6	144	-284	-980	-180	-61	236	109	15.58	13.77	11
(12+13)-VII-2	0.6	145	149	-993	-18	-27	215	92	13.46	11.46	12
2	0.6	146	-113	-1442	95	184	527	-60	22.61	19.63	7.3
2	0.6	147	-79	-1452	131	170	458	-44	19.64	17.13	8.4
2	0.6	148	-9	-1364	61	193	480	-54	20.42	19.05	8.1
(12+13)-VII-1	0.6	149	-504	-889	-206	-151	250	119	18.74	18.07	8.8
2	0.6	150	29	-1385	117	199	452	-37	19.11	18.26	8.7
(12+13)-VII-4	0.6	151	787	-573	-97	391	268	-166	19.77	20.57	8.0
(12+13)-VII-1	0.6	152	-395	-928	-186	-99	253	124	17.70	16.17	9.4
2	0.6	153	-139	-1632	161	112	405	-9	17.84	14.40	9.3
2	0.6	154	-29	-1681	156	95	279	-11	12.73	9.19	13
2	0.6	155	-107	-1581	167	129	396	-26	17.35	14.01	9.5
2	0.6	156	-53	-1649	165	101	274	-18	12.48	9.70	13
2	0.6	157	-435	-1537	164	111	590	-11	25.71	23.31	6.4
2	0.6	158	-277	-1566	137	117	513	-9	22.30	19.19	7.4
2	0.6	159	-309	-1532	45	118	546	-26	23.78	20.66	7.0
2	0.6	160	-174	-1473	9	168	544	-59	23.42	21.40	7.1
2	0.6	161	-266	-1512	124	138	540	-44	23.44	20.30	7.1
2	0.6	162	-169	-1525	122	144	483	-43	20.98	17.79	7.9

Massimo (P27):34.59 [kg/cmq]

Muro : 47 Nodi :[38 - 23 - 54 - 0 - 0 - 0 - 53]fyd=fmk/ $\gamma M=165.52$ [kg/cmq]

Pann=20 Spess.= 15 cm Criterio: Legno_Tenso-Pressoflessione Materiale: Legno_isotropo

Verificato

Comb.	Kmod	Pann.	Nx	Ny	Nxy	Mx	My	Mxy	σ_{id}/Km_{od}	$\sigma_{id+Km_{od}}$	Cs
			kg	kg	kg	kg*m	kg*m	kg*m	kg/cmq	kg/cmq	
2	0.6	1	2834	-964	-747	154	434	25	19.07	15.80	8.7
2	0.6	2	3102	-1193	-211	166	509	-115	23.79	20.63	7.0
2	0.6	3	3938	-1202	-1844	149	509	103	25.63	18.95	6.5
2	0.6	4	5127	-385	-1672	102	454	-45	21.23	18.39	7.8
2	0.6	5	3692	-585	-3614	84	505	128	28.72	19.35	5.8
(12+13)-VII-1	0.6	6	-3922	-2591	42	-246	17	18	12.90	14.41	11
(12+13)-VII-1	0.6	7	-376	-1893	781	-143	-49	-9	6.28	5.97	26
(12+13)-V-4	0.6	8	-39	-1825	-160	48	10	-15	3.29	3.55	47
(12+13)-VII-4	0.6	9	79	-1996	-426	10	-9	-8	2.56	3.23	51
2	0.6	10	-143	-1613	330	23	6	4	2.12	2.29	72
(12+13)-VIII-4	0.6	11	-391	-573	-257	66	15	18	3.47	3.47	48
(12+13)-VII-4	0.6	12	114	-488	-608	130	15	14	5.76	5.82	28
(12+13)-V-2	0.6	13	1599	191	517	-166	4	-99	12.55	11.87	13
2	0.6	14	2473	-1191	534	136	458	-146	23.67	19.42	7.0
2	0.6	15	-542	-10	-1965	103	293	39	13.24	11.59	13
(12+13)-VIII-3	0.6	16	-1093	-470	-258	165	40	-7	7.65	7.00	22
2	0.6	17	540	-11	-1463	128	297	18	12.29	11.52	13
2	0.6	18	1202	-581	-762	146	290	-5	11.89	10.91	14

Comb.	Kmod	Pann.	Nx	<th>Nxy</th> <th>Mx</th> <th>My</th> <th>Mxy</th> <th>σ_{id}/Km_{od}</th> <th>σ_{id}/K_{mod}</th> <th>Cs</th>	Nxy	Mx	My	Mxy	σ_{id}/Km_{od}	σ_{id}/K_{mod}	Cs
(12+13)-IV-1	0.6	19	-344	-364	-15	164	42	32	7.27	6.79	23
	2	0.6	20	1227	-525	-292	156	261	-32	10.74	10.40

Massimo (P5):28.72 [kg/cmq]

Muro : 48 Nodi :[24 - 23 - 54 - 55]fyd=fmk/γM=165.52[kg/cmq]

Pann=24 Spess.= 15 cm Criterio: Legno_Tenso-Pressoflessione Materiale: Legno_isotropo

Verificato

Comb.	Kmod	Pann.	Nx	Ny	Nxy	Mx	My	Mxy	σ_{id}/Km_{od}	σ_{id}/K_{mod}	Cs
			kg	kg	kg	kg*m	kg*m	kg*m	kg/cmq	kg/cmq	
2	0.6	1	-38	-1077	483	36	-13	-31	3.58	3.37	46
2	0.6	2	281	-804	342	135	45	-48	6.57	6.57	25
2	0.6	3	1049	-366	121	214	86	-17	7.39	9.50	17
(12+13)-VIII-1	0.6	4	1264	-623	613	205	62	51	7.24	10.93	15
(12+13)-VII-2	0.6	5	-136	-768	-22	10	-54	-10	3.17	3.50	47
(12+13)-IV-4	0.6	6	200	-120	4	53	-16	-36	3.72	4.14	40
(12+13)-VIII-2	0.6	7	468	-266	241	94	12	-54	5.67	5.88	28
(12+13)-VIII-2	0.6	8	282	-240	213	134	5	-93	9.29	9.21	18
(12+13)-VIII-2	0.6	9	-153	-355	195	-12	-84	-3	3.22	3.81	43
(12+13)-VIII-1	0.6	10	375	-909	-30	-20	48	19	4.23	3.72	39
(12+13)-VIII-2	0.6	11	374	-280	220	110	-6	-18	5.47	5.71	29
(12+13)-IV-4	0.6	12	403	-143	193	177	-10	-42	8.37	9.08	18
(12+13)-VIII-2	0.6	13	-161	-390	149	-14	-77	14	2.92	3.77	44
(12+13)-IV-1	0.6	14	339	-760	16	-31	45	-13	4.14	4.05	40
(12+13)-IV-1	0.6	15	667	-486	18	-69	41	-21	5.63	5.57	29
(12+13)-IV-4	0.6	16	412	-140	169	157	-10	51	7.89	8.85	19
(12+13)-VIII-4	0.6	17	-264	-224	319	-9	-53	19	2.36	3.13	53
(12+13)-VIII-2	0.6	18	36	-243	208	-12	-26	39	2.77	3.60	46
(12+13)-VIII-4	0.6	19	338	-172	483	51	-3	46	4.67	5.33	31
(12+13)-VIII-2	0.6	20	385	-180	123	55	-3	93	7.21	8.01	21
(12+13)-VIII-4	0.6	21	-167	-173	252	-15	-23	19	1.76	2.24	74
(12+13)-VIII-4	0.6	22	-184	-180	440	-12	-10	38	2.63	3.87	43
(12+13)-VIII-3	0.6	23	731	-473	-112	129	56	-41	5.21	6.73	25
(12+13)-VIII-3	0.6	24	1629	-578	-287	160	46	-67	7.86	10.09	16

Massimo (P4):10.93 [kg/cmq]

$$]fyd=fmk/\gamma M=165.52[\text{kg/cmq}]$$

Criterio: Legno_Tenso-Pressoflessione Materiale: Legno_isotropo

Verificato

Comb.	Kmod	Pann.	Nx	Ny	Nxy	Mx	My	Mxy	σid-/Km od	σid+/K mod	Cs
			kg	kg	kg	kg*m	kg*m	kg*m	kg/cmq	kg/cmq	
2	0.6	1	-2168	-2898	-370	269	925	-251	43.38	39.59	3.8
2	0.6	2	-2600	-902	-1518	359	1725	-482	78.05	80.67	2.1
2	0.6	3	-1768	-2903	778	410	1276	27	52.81	47.61	3.1
2	0.6	4	-1215	-1938	-1479	443	1530	-435	69.49	69.19	2.4
2	0.6	5	-1034	-2380	806	453	1431	90	58.84	54.70	2.8
2	0.6	6	-736	-2063	-1136	469	1421	-372	63.54	61.96	2.6
2	0.6	7	-720	-2170	489	459	1473	86	60.43	56.42	2.7
2	0.6	8	-691	-1880	-739	452	1433	-301	62.16	59.87	2.7
2	0.6	9	-653	-2479	293	441	1306	113	54.19	49.52	3.1
2	0.6	10	-749	-1713	-843	408	1461	-308	63.64	61.85	2.6
2	0.6	11	-885	-2418	327	393	1376	164	58.17	53.88	2.8
2	0.6	12	-802	-1768	-656	362	1409	-282	61.48	59.28	2.7
2	0.6	13	-984	-2415	309	353	1368	194	58.75	54.62	2.8
2	0.6	14	-719	-1705	-395	357	1437	-249	61.98	59.39	2.7
2	0.6	15	-887	-2479	294	368	1335	235	58.17	53.98	2.8
2	0.6	16	-479	-1655	-256	393	1445	-246	61.98	59.17	2.7
2	0.6	17	-772	-2494	222	417	1400	266	61.15	56.84	2.7
2	0.6	18	-249	-1663	-166	464	1447	-250	61.57	58.56	2.7

Comb.	Kmod	Pann.	Nx	<th>Nxy</th> <th>Mx</th> <th>My</th> <th>Mxy</th> <th>σ_{id}/Km_{od}</th> <th>σ_{id}/K_{mod}</th> <th>Cs</th>	Nxy	Mx	My	Mxy	σ_{id}/Km_{od}	σ_{id}/K_{mod}	Cs
2	0.6	19	-687	-2564	36	472	1489	274	64.65	59.90	2.6
2	0.6	20	-301	-1646	-101	468	1419	-249	60.36	57.34	2.7
2	0.6	21	-811	-2629	-156	441	1505	272	65.65	60.57	2.5
2	0.6	22	-549	-1571	69	355	1371	-206	58.54	55.53	2.8
2	0.6	23	-1007	-2551	-239	345	1381	303	62.46	57.61	2.6
2	0.6	24	-560	-1647	301	418	1408	-175	58.96	55.56	2.8
2	0.6	25	-900	-2582	-317	452	1490	348	67.18	62.09	2.5
2	0.6	26	-652	-1664	414	524	1351	-131	55.11	51.64	3.0
2	0.6	27	-831	-2461	-371	550	1495	336	66.18	61.20	2.5
2	0.6	28	-821	-1948	574	553	1548	-125	63.19	59.13	2.6
2	0.6	29	-1156	-2365	-682	570	1479	411	68.20	62.98	2.4
2	0.6	30	-979	-1853	840	537	1502	-149	61.75	57.70	2.7
2	0.6	31	-1464	-2431	-935	533	1586	480	75.16	69.45	2.2
2	0.6	32	-1222	-1533	1088	484	1328	-111	54.19	50.79	3.1
2	0.6	33	-1346	-3278	-801	404	1853	513	88.23	81.30	1.9
2	0.6	34	-1119	-1147	374	279	901	214	39.70	38.58	4.2
2	0.6	35	-261	-2132	-454	226	985	495	57.27	52.85	2.9
2	0.6	36	-471	38	-626	24	202	255	22.39	20.38	7.4
(12+13)-VII-1	0.6	37	192	-809	-496	-124	-11	-87	8.32	9.00	18
2	0.6	38	97	-1174	-478	-61	-10	-130	9.70	11.18	15
2	0.6	39	-253	-1264	-496	-48	-73	-68	4.65	7.37	22
2	0.6	40	-66	-1778	-276	-30	-183	-78	7.82	11.49	14
2	0.6	41	105	-2251	-54	-78	-330	-40	11.21	16.06	10
2	0.6	42	169	-2531	8	-101	-399	-15	13.29	18.82	8.8
2	0.6	43	173	-2657	16	-109	-416	-1	13.75	19.56	8.5
(12+13)-III-3	0.6	44	520	-1416	-45	-124	-462	-26	16.94	20.22	8.2
(12+13)-I-4	0.6	45	606	-1356	177	-127	-508	-0	18.79	22.01	7.5
(12+13)-I-4	0.6	46	410	-1247	-4	-103	-442	47	16.94	19.62	8.4
(12+13)-I-4	0.6	47	108	-1316	104	-46	-252	95	11.79	14.01	12
(12+13)-III-4	0.6	48	-272	-1550	292	-65	-96	80	7.01	8.49	20
(12+13)-I-4	0.6	49	204	-1292	388	-112	-58	194	15.11	16.26	10
(12+13)-III-4	0.6	50	280	-1071	608	-260	-52	195	17.90	19.01	8.7
(12+13)-III-1	0.6	51	438	726	284	441	230	-304	29.14	28.77	5.7
2	0.6	52	-1137	-1101	-135	221	949	-501	54.71	53.92	3.0
(12+13)-III-3	0.6	53	373	-1354	-64	28	-234	-59	10.62	13.65	12
(12+13)-I-1	0.6	54	-208	-1572	-192	3	214	106	13.97	11.36	12
2	0.6	55	-112	-2412	4	181	495	9	21.80	16.86	7.6
2	0.6	56	-306	-2309	-16	273	840	6	35.37	30.64	4.7
2	0.6	57	-226	-2333	-9	242	715	6	30.39	25.60	5.4
2	0.6	58	-280	-2293	14	253	777	10	32.87	28.17	5.0
2	0.6	59	-297	-2306	-31	249	798	-2	33.78	29.05	4.9
2	0.6	60	-758	-2091	-49	334	1283	-24	53.31	49.27	3.1
2	0.6	61	-540	-2197	68	355	1284	2	53.25	48.84	3.1
2	0.6	62	-699	-2036	4	367	1314	-4	54.17	50.20	3.1
2	0.6	63	-444	-2179	109	397	1316	30	54.22	49.83	3.1
2	0.6	64	-512	-2165	40	368	1204	15	49.68	45.34	3.3
2	0.6	65	-445	-2185	18	337	1076	15	44.59	40.18	3.7
2	0.6	66	-369	-2240	13	301	938	15	39.18	34.62	4.2
2	0.6	67	-535	-2177	-22	322	1147	-17	47.76	43.40	3.5
2	0.6	68	-415	-2249	-34	296	987	-15	41.28	36.71	4.0
2	0.6	69	-394	-2244	-13	303	971	3	40.52	35.96	4.1
2	0.6	70	-522	-2127	19	354	1208	10	49.92	45.66	3.3
2	0.6	71	-476	-2193	0	325	1098	8	45.65	41.23	3.6
2	0.6	72	-553	-2192	-2	329	1173	-0	48.75	44.36	3.4
2	0.6	73	-85	-2387	-5	191	489	-1	21.42	16.67	7.7
(12+13)-I-1	0.6	74	-194	-1591	-212	-32	241	53	13.88	10.53	12
(12+13)-I-4	0.6	75	359	-1281	193	27	-262	-8	10.70	13.94	12
2	0.6	76	-258	-2304	-38	258	758	-28	32.10	27.40	5.2
2	0.6	77	-476	-2237	-58	316	1055	-50	44.10	39.63	3.8
2	0.6	78	-380	-2260	-52	298	951	-45	39.88	35.31	4.2
2	0.6	79	-444	-2242	-41	296	1010	-40	42.34	37.82	3.9
2	0.6	80	-453	-2207	-68	312	1008	-54	42.16	37.75	3.9
2	0.6	81	-575	-2194	-64	347	1151	-76	47.95	43.65	3.5
2	0.6	82	-616	-2176	14	373	1280	-76	53.18	48.88	3.1

Comb.	Kmod	Pann.	Nx	<th>Nxy</th> <th>Mx</th> <th>My</th> <th>Mxy</th> <th>σ_{id}/Km_{od}</th> <th>$\sigma_{id+Km_{od}}$</th> <th>Cs</th>	Nxy	Mx	My	Mxy	σ_{id}/Km_{od}	$\sigma_{id+Km_{od}}$	Cs
2	0.6	83	-565	-2174	-68	333	1155	-56	48.14	43.84	3.4
2	0.6	84	-787	-2109	-156	343	1277	-68	53.13	49.14	3.1
2	0.6	85	-575	-2214	-37	323	1151	-38	47.98	43.58	3.4
2	0.6	86	-625	-2183	37	342	1278	-38	53.20	48.87	3.1
(12+13)-I-4	0.6	87	270	-1102	267	153	-22	138	12.74	13.95	12
(12+13)-I-4	0.6	88	194	-1263	271	29	-180	142	13.12	15.37	11
(12+13)-I-4	0.6	89	301	-1274	367	11	-45	193	14.58	16.05	10
(12+13)-I-4	0.6	90	295	-1191	222	32	-229	70	11.05	13.75	12
(12+13)-III-2	0.6	91	-193	-1583	58	-41	238	-25	13.35	10.92	12
2	0.6	92	-1171	-2006	-445	395	1264	-262	55.14	52.36	3.0
2	0.6	93	-642	-2165	-225	389	1054	-213	46.01	42.37	3.6
2	0.6	94	-922	-2759	169	426	1226	-252	54.32	49.06	3.0
2	0.6	95	-640	-2457	-41	368	1053	-262	48.00	43.69	3.4
2	0.6	96	-1485	-1870	-22	301	1181	-284	53.45	50.65	3.1
2	0.6	97	-273	-2225	-77	348	822	-172	36.42	32.45	4.5
2	0.6	98	-293	-2234	-36	319	801	-214	37.13	33.24	4.5
2	0.6	99	-449	-2221	-188	312	906	-332	45.31	42.11	3.7
2	0.6	100	35	-2116	98	285	562	-100	24.95	24.11	6.6
(12+13)-III-2	0.6	101	-88	-954	180	44	219	-174	16.97	15.96	9.8
(12+13)-III-2	0.6	102	-258	-879	124	102	320	-299	26.88	26.12	6.2
(12+13)-I-1	0.6	103	-178	-337	82	124	196	-233	19.78	19.52	8.4
(12+13)-III-1	0.6	104	-283	-527	-46	244	341	-338	29.47	29.17	5.6
(12+13)-I-1	0.6	105	-291	-1301	-167	-40	302	-136	18.66	17.02	8.9
2	0.6	106	-48	-2297	10	225	488	-9	21.10	16.89	7.8
2	0.6	107	-255	-2245	-52	301	785	-54	33.00	28.53	5.0
2	0.6	108	-378	-2185	-86	335	909	-91	38.19	33.94	4.3
2	0.6	109	-428	-2207	-76	339	994	-76	41.53	37.17	4.0
2	0.6	110	-329	-2176	-112	361	857	-144	36.94	32.98	4.5
2	0.6	111	-328	-2173	-90	364	873	-117	37.00	32.92	4.5
2	0.6	112	-117	-2207	-33	309	668	-88	28.72	24.68	5.8
2	0.6	113	-706	-2163	199	444	1286	-182	54.33	50.04	3.0
2	0.6	114	-598	-2175	-110	401	1063	-180	45.59	41.65	3.6
2	0.6	115	-784	-2117	-299	429	1243	-182	52.40	48.76	3.2
2	0.6	116	-613	-2029	-3	426	1225	-157	51.31	47.44	3.2
2	0.6	117	-543	-2105	-132	399	1091	-149	45.96	42.06	3.6
2	0.6	118	-569	-2129	-104	371	1153	-91	47.92	43.80	3.5
2	0.6	119	-553	-2214	-71	388	1217	-112	50.80	46.50	3.3
2	0.6	120	-762	-2029	-211	379	1292	-104	53.64	49.88	3.1
2	0.6	121	-605	-2095	-141	406	1181	-123	49.13	45.18	3.4
(12+13)-I-1	0.6	122	-179	-1298	42	99	177	112	11.74	10.76	14
(12+13)-III-3	0.6	123	324	-1603	-51	-53	-175	-75	8.11	10.53	16
2	0.6	124	-298	-2292	58	294	843	19	35.32	30.67	4.7
2	0.6	125	-224	-2315	50	255	713	20	30.20	25.49	5.5
2	0.6	126	-287	-2287	78	275	806	19	33.89	29.24	4.9
2	0.6	127	-278	-2286	26	262	777	17	32.80	28.13	5.0
2	0.6	128	-113	-2402	35	191	496	12	21.76	16.88	7.6
2	0.6	129	-607	-2031	28	425	1329	7	54.26	50.25	3.1
2	0.6	130	-388	-2176	80	431	1341	30	54.94	50.54	3.0
2	0.6	131	-623	-2073	25	431	1320	12	53.89	49.80	3.1
2	0.6	132	-451	-2189	43	397	1316	24	54.20	49.78	3.1
2	0.6	133	-364	-2232	32	311	939	16	39.11	34.58	4.2
2	0.6	134	-440	-2180	38	350	1078	19	44.54	40.15	3.7
2	0.6	135	-471	-2115	43	387	1208	22	49.64	45.40	3.3
2	0.6	136	-385	-2223	84	331	997	28	41.41	36.93	4.0
2	0.6	137	-488	-2195	76	368	1163	23	47.99	43.59	3.4
2	0.6	138	-495	-2162	61	401	1220	19	50.06	45.73	3.3
2	0.6	139	-461	-2136	60	385	1189	19	48.89	44.60	3.4
2	0.6	140	-439	-2174	57	362	1104	19	45.53	41.16	3.6
2	0.6	141	-378	-2226	61	332	975	21	40.44	35.95	4.1
2	0.6	142	-82	-2377	49	212	492	15	21.43	16.70	7.7
(12+13)-I-4	0.6	143	177	-1541	-3	-17	152	-82	10.97	8.45	15
(12+13)-VII-4	0.6	144	-202	-1214	60	41	-125	36	6.33	8.35	20
2	0.6	145	-247	-2292	86	285	768	42	32.39	27.79	5.1
2	0.6	146	-433	-2224	104	341	1076	62	44.80	40.37	3.7

Comb.	Kmod	Pann.	Nx	<th>Nxy</th> <th>Mx</th> <th>My</th> <th>Mxy</th> <th>σ_{id}/Km_{od}</th> <th>$\sigma_{id+Km_{od}}$</th> <th>Cs</th>	Nxy	Mx	My	Mxy	σ_{id}/Km_{od}	$\sigma_{id+Km_{od}}$	Cs
2	0.6	147	-358	-2250	101	327	968	57	40.43	35.94	4.1
2	0.6	148	-427	-2215	110	341	1029	70	42.91	38.53	3.9
2	0.6	149	-414	-2231	92	324	1025	49	42.76	38.29	3.9
2	0.6	150	-491	-2162	87	350	1171	41	48.54	44.23	3.4
2	0.6	151	-715	-2093	80	360	1299	36	53.73	49.66	3.1
2	0.6	152	-547	-2210	93	351	1177	68	48.99	44.64	3.4
2	0.6	153	-532	-2193	44	350	1293	80	54.03	49.68	3.1
2	0.6	154	-536	-2155	115	376	1175	93	48.83	44.64	3.4
2	0.6	155	-752	-2086	153	395	1302	94	53.88	49.94	3.1
2	0.6	156	88	-2312	-57	142	183	-30	9.57	6.79	17
2	0.6	157	98	-2290	-103	26	-78	-53	4.97	7.96	21
2	0.6	158	200	-1786	-379	74	74	-105	8.68	9.35	18
2	0.6	159	80	-1946	-243	38	-45	-95	7.00	9.38	18
2	0.6	160	148	-2090	-177	158	172	-58	9.74	8.04	17
2	0.6	161	-1249	-1746	434	500	1274	220	53.49	50.98	3.1
2	0.6	162	-640	-2528	303	358	1251	258	55.59	51.34	3.0
2	0.6	163	-686	-2047	248	430	1095	242	48.07	44.79	3.4
2	0.6	164	-776	-2326	-130	471	1311	254	56.97	52.54	2.9
2	0.6	165	-588	-2245	97	458	1094	196	46.93	42.90	3.5
2	0.6	166	115	-2005	-187	291	564	119	25.50	21.71	6.5
2	0.6	167	185	-1756	-253	257	562	175	27.30	23.83	6.1
2	0.6	168	315	-1616	-419	103	240	15	11.15	8.47	15
2	0.6	169	44	-2114	-100	332	578	83	25.18	21.39	6.6
2	0.6	170	210	-1945	-311	198	283	-29	12.94	10.20	13
2	0.6	171	-401	-2100	-40	356	939	312	45.50	41.90	3.6
2	0.6	172	-210	-2167	50	372	831	193	37.23	33.43	4.4
2	0.6	173	-228	-2200	50	407	851	155	36.86	32.91	4.5
2	0.6	174	-37	-2310	27	256	493	16	21.26	16.89	7.8
2	0.6	175	77	-2198	-87	283	435	7	18.92	15.22	8.7
2	0.6	176	-100	-2247	24	362	683	82	29.11	25.01	5.7
2	0.6	177	-318	-2227	106	426	896	116	37.68	33.59	4.4
2	0.6	178	-308	-2223	98	427	884	134	37.59	33.57	4.4
2	0.6	179	-404	-2226	110	383	1016	92	42.30	37.98	3.9
2	0.6	180	-380	-2243	127	393	931	99	38.92	34.67	4.3
2	0.6	181	-245	-2264	97	340	798	67	33.47	29.08	4.9
2	0.6	182	-580	-2173	113	482	1216	129	50.22	46.11	3.3
2	0.6	183	-729	-2107	122	453	1252	130	51.77	47.83	3.2
2	0.6	184	-561	-2188	117	418	1180	111	48.96	44.76	3.4
2	0.6	185	-549	-2214	60	423	1323	124	55.03	50.72	3.0
2	0.6	186	-567	-2167	168	476	1101	169	46.42	42.54	3.6
2	0.6	187	-966	-2107	360	527	1341	167	55.38	51.79	3.0
2	0.6	188	-694	-2196	-21	516	1289	176	53.82	49.65	3.1
2	0.6	189	-563	-2236	128	476	1127	143	47.00	42.86	3.5
2	0.6	190	-738	-2234	237	511	1273	156	52.76	48.74	3.1

Massimo (P33):88.23 [kg/cmq]

Muro : 50 Nodi :[34 - 39 - 56 - 0 - 0 - 0 - 0 - 0 - 62 - 0 - 0 - 0 - 0 - 0 - 0 - 0 - 0 - 0 - 49]fyd=fmk/ $\gamma M=165.52$ [kg/cmq]

Pann=157 Spess.= 15 cm Criterio: Legno_Tenso-Pressoflessione Materiale: Legno_isotropo

Verificato

Comb.	Kmod	Pann.	Nx	Ny	Nxy	Mx	My	Mxy	σ_{id}/Km_{od}	$\sigma_{id+Km_{od}}$	Cs
			kg	kg	kg	kg*m	kg*m	kg*m	kg/cmq	kg/cmq	
2	0.6	1	7209	-2603	2076	-225	-445	-34	19.49	21.77	7.6
2	0.6	2	6154	-3828	2710	-170	-515	111	20.17	30.09	5.5
2	0.6	3	5295	-3374	-87	-151	-423	-66	21.94	22.78	7.3
2	0.6	4	4625	-3809	1886	-137	-520	101	23.05	29.18	5.7
2	0.6	5	3762	-4261	-826	-136	-507	-111	22.75	28.28	5.9
2	0.6	6	3505	-3526	1474	-133	-490	67	19.06	25.99	6.4
2	0.6	7	2816	-4233	-990	-133	-513	-146	18.67	29.30	5.6
2	0.6	8	2639	-3368	1461	-128	-501	34	18.53	25.34	6.5
2	0.6	9	1233	-4638	-558	-24	-457	-219	26.97	31.27	5.3
(12+13)-IV-4	0.6	10	-3833	-6201	3753	981	393	-179	46.50	37.77	3.6
(12+13)-II-4	0.6	11	-3037	-5673	-301	787	529	-167	36.98	31.04	4.5

Comb.	Kmod	Pann.	Nx	<th>Nxy</th> <th>Mx</th> <th>My</th> <th>Mxy</th> <th>σ_{id}/Km_{od}</th> <th>σ_{id}/K_{mod}</th> <th>Cs</th>	Nxy	Mx	My	Mxy	σ_{id}/Km_{od}	σ_{id}/K_{mod}	Cs
(12+13)-VI-2	0.6	12	-2253	-4334	797	270	174	-117	17.22	12.35	9.6
(12+13)-II-3	0.6	13	-473	-5643	-955	-151	235	57	21.41	16.49	7.7
(12+13)-VI-1	0.6	14	-1585	-5301	96	246	483	58	24.07	21.20	6.9
(12+13)-VI-1	0.6	15	-1379	-4612	-708	313	595	58	27.97	26.19	5.9
(12+13)-VI-1	0.6	16	-1327	-4471	381	557	752	47	34.12	33.54	4.9
(12+13)-VI-1	0.6	17	-1096	-4384	-544	587	822	43	36.71	36.18	4.5
(12+13)-II-4	0.6	18	-287	-3259	1027	-834	-946	-18	41.62	42.16	3.9
(12+13)-II-4	0.6	19	-270	-3277	63	-862	-999	-27	43.43	44.12	3.8
(12+13)-II-4	0.6	20	-261	-3047	1016	-903	-1030	-4	44.45	45.47	3.6
(12+13)-VI-4	0.6	21	-17	-3274	-444	-915	-1032	-26	44.57	45.81	3.6
(12+13)-VI-2	0.6	22	-674	-2827	1111	-820	-970	33	41.17	42.71	3.9
(12+13)-VI-2	0.6	23	-143	-2823	-269	-814	-926	20	39.81	40.92	4.0
(12+13)-VI-2	0.6	24	-564	-2595	631	-595	-783	45	33.04	33.97	4.9
(12+13)-VI-2	0.6	25	-125	-2552	-340	-563	-692	33	29.62	30.32	5.5
(12+13)-VI-3	0.6	26	-26	-3382	737	176	462	-47	22.06	21.39	7.5
(12+13)-VI-3	0.6	27	-42	-3632	-220	98	336	-47	17.50	16.42	9.5
(12+13)-II-1	0.6	28	278	-3067	542	-290	131	-58	20.30	17.17	8.2
(12+13)-II-3	0.6	29	-315	-3110	210	-426	-56	-74	20.02	18.21	8.3
(12+13)-VI-1	0.6	30	221	-1949	96	-732	-191	-92	30.99	29.32	5.3
(12+13)-II-2	0.6	31	208	-1629	-834	393	103	199	22.67	21.45	7.3
(12+13)-II-2	0.6	32	136	-1827	-619	188	84	184	16.98	15.42	9.7
(12+13)-VI-4	0.6	33	-637	-2721	-683	89	101	76	9.69	7.91	17
(12+13)-VI-3	0.6	34	-502	-3650	-127	-54	-249	-93	15.66	15.73	11
(12+13)-II-1	0.6	35	-844	-4575	-479	-105	-457	-54	22.49	23.67	7.0
(12+13)-VI-3	0.6	36	-990	-5134	-611	-129	-538	-7	25.19	26.93	6.1
(12+13)-VI-3	0.6	37	-1063	-5056	-645	-132	-484	44	23.42	24.46	6.8
(12+13)-II-3	0.6	38	-1187	-5179	-65	-103	-330	59	18.10	18.72	8.8
(12+13)-VI-1	0.6	39	-1197	-4867	12	-69	-199	54	13.13	13.29	12
(12+13)-VIII-4	0.6	40	-278	-3408	-605	-53	179	-23	12.91	11.81	13
(12+13)-IV-4	0.6	41	-872	-4559	-13	49	189	-10	12.24	8.81	14
(12+13)-VIII-2	0.6	42	-1629	-6415	881	53	210	-19	15.15	9.23	11
2	0.6	43	237	-9456	-797	-8	-50	20	9.54	12.68	13
2	0.6	44	504	-11512	-1980	-29	-194	-11	6.44	21.57	7.7
2	0.6	45	-12730	-21266	-5858	-56	-219	-11	20.68	31.32	5.3
2	0.6	46	1802	-4057	3946	-191	-456	66	15.51	25.62	6.5
(12+13)-IV-2	0.6	47	-795	-3763	-733	21	-111	-24	9.03	9.72	17
2	0.6	48	-1535	-7136	-627	-36	-77	8	7.79	10.13	16
(12+13)-IV-2	0.6	49	-958	-3498	-776	33	-110	-31	9.01	9.81	17
2	0.6	50	-1904	-6342	-1874	-74	-174	3	6.99	13.37	12
2	0.6	51	-3962	-7543	-3644	-95	-226	-11	10.59	17.80	9.3
2	0.6	52	-2048	-3939	-622	-122	-270	3	9.04	14.22	12
(12+13)-VIII-4	0.6	53	-3173	-1374	-583	-191	-246	-107	11.88	15.38	11
2	0.6	54	-10	-2997	1624	-144	-359	20	14.38	17.63	9.4
2	0.6	55	-1872	-5057	-182	-79	-161	10	7.81	11.10	15
2	0.6	56	-854	-3687	563	-111	-274	0	10.56	14.33	12
2	0.6	57	2888	-3677	1441	-131	-446	6	18.48	22.96	7.2
2	0.6	58	1097	-3653	1077	-133	-381	-1	14.50	19.17	8.6
2	0.6	59	2324	-3889	515	-130	-420	-14	17.34	21.59	7.7
(12+13)-VI-1	0.6	60	2479	-1731	1139	249	-135	57	16.93	20.18	8.2
(12+13)-VI-4	0.6	61	70	-3315	-500	-370	-121	28	16.04	15.17	10
(12+13)-II-1	0.6	62	-241	-4755	-67	179	-112	-30	15.14	15.76	11
(12+13)-II-1	0.6	63	-467	-4966	-102	54	-280	-20	17.79	19.06	8.7
(12+13)-VI-4	0.6	64	10	-3245	-3	-755	-668	-29	32.88	33.50	4.9
(12+13)-VI-4	0.6	65	-420	-3256	-399	-660	-501	-31	27.02	28.24	5.9
(12+13)-II-4	0.6	66	-205	-3014	141	-718	-623	43	31.15	31.79	5.2
(12+13)-II-4	0.6	67	-238	-3180	473	-703	-607	-51	30.82	31.18	5.3
(12+13)-II-4	0.6	68	-169	-3093	58	-548	-343	-30	21.73	22.33	7.4
(12+13)-II-4	0.6	69	-235	-3245	431	-779	-778	-37	36.32	36.71	4.5
(12+13)-II-4	0.6	70	-273	-3082	643	-824	-823	-26	37.83	38.58	4.3
(12+13)-II-4	0.6	71	-192	-3022	449	-818	-814	38	37.34	38.33	4.3
(12+13)-VI-4	0.6	72	119	-3114	-537	-182	98	97	16.28	16.25	10
(12+13)-II-1	0.6	73	-350	-4493	-46	42	-261	-89	18.14	18.70	8.9
(12+13)-VI-4	0.6	74	211	-2480	-675	23	83	213	18.69	16.87	8.9
(12+13)-VI-4	0.6	75	20	-2674	-610	25	209	170	18.48	17.63	9.0

Comb.	Kmod	Pann.	Nx	<th>Nxy</th> <th>Mx</th> <th>My</th> <th>Mxy</th> <th>σ_{id}/Km_{od}</th> <th>σ_{id}/K_{mod}</th> <th>Cs</th>	Nxy	Mx	My	Mxy	σ_{id}/Km_{od}	σ_{id}/K_{mod}	Cs
(12+13)-II-2	0.6	76	162	-2769	-524	-128	76	178	18.14	17.02	9.1
(12+13)-VI-4	0.6	77	100	-3093	-477	-331	-97	100	16.78	16.21	9.9
(12+13)-VI-2	0.6	78	-435	-2837	126	-501	-296	97	20.63	21.73	7.6
(12+13)-VI-2	0.6	79	-184	-2784	94	-710	-726	79	33.40	34.28	4.8
(12+13)-VI-2	0.6	80	-244	-2856	752	-770	-780	49	35.54	36.65	4.5
(12+13)-VI-2	0.6	81	-493	-2808	176	-592	-443	101	25.33	26.37	6.3
(12+13)-II-4	0.6	82	-194	-2883	165	-680	-592	68	29.78	30.51	5.4
(12+13)-VI-2	0.6	83	-513	-2776	177	-638	-571	96	28.64	29.73	5.6
(12+13)-VI-1	0.6	84	-234	-3134	585	106	133	-189	17.68	17.60	9.4
(12+13)-II-2	0.6	85	173	-2289	-648	130	19	225	19.21	18.60	8.6
(12+13)-II-2	0.6	86	152	-2518	-541	-68	-10	227	19.10	17.86	8.7
(12+13)-VI-3	0.6	87	-33	-3251	5	-194	81	-153	18.09	17.15	9.1
(12+13)-VI-3	0.6	88	-94	-3474	139	63	224	-133	16.44	15.74	10
(12+13)-VI-3	0.6	89	67	-3477	163	147	250	-162	18.26	18.00	9.1
(12+13)-II-1	0.6	90	-33	-3420	395	197	374	-116	20.25	19.77	8.2
(12+13)-II-2	0.6	91	130	-2831	-469	-240	-68	180	18.36	16.98	9.0
(12+13)-VI-2	0.6	92	-392	-2641	125	-476	-370	135	22.47	23.15	7.2
(12+13)-VI-2	0.6	93	-308	-2489	64	-327	-252	173	19.56	19.74	8.4
(12+13)-VI-2	0.6	94	-326	-2613	82	-374	-209	164	19.34	19.84	8.3
(12+13)-VI-2	0.6	95	-446	-2628	156	-527	-487	115	25.11	25.94	6.4
(12+13)-VI-2	0.6	96	-504	-2625	265	-579	-632	87	28.99	29.83	5.5
(12+13)-VI-2	0.6	97	-348	-2488	73	-377	-374	143	21.10	21.49	7.7
(12+13)-VI-2	0.6	98	-434	-2501	2	-452	-518	107	24.53	25.04	6.6
(12+13)-VI-2	0.6	99	-651	-3448	476	-493	-317	-99	21.16	21.75	7.6
(12+13)-VI-2	0.6	100	-188	-3505	453	-344	-160	-105	16.44	15.59	10
(12+13)-II-1	0.6	101	-404	-4667	-601	368	279	140	20.96	20.57	7.9
(12+13)-II-1	0.6	102	-184	-4797	-599	258	158	155	17.76	17.58	9.3
(12+13)-VI-4	0.6	103	-352	-3509	-102	-235	-230	-198	19.90	20.06	8.3
(12+13)-VI-1	0.6	104	-692	-5232	-28	50	-259	94	18.62	19.45	8.5
(12+13)-II-4	0.6	105	57	-3780	423	-157	-92	-175	15.94	15.49	10
(12+13)-VI-2	0.6	106	-165	-3571	455	-207	-83	-112	13.17	12.17	13
(12+13)-VI-3	0.6	107	-240	-4946	-619	90	104	138	14.71	14.08	11
(12+13)-II-1	0.6	108	-521	-4820	-713	287	307	169	22.17	21.86	7.5
(12+13)-II-1	0.6	109	-698	-4726	-773	329	400	150	24.12	23.28	6.9
(12+13)-VI-1	0.6	110	-1310	-4799	-408	326	501	114	25.82	24.54	6.4
(12+13)-II-1	0.6	111	-527	-4581	-624	428	388	137	24.16	23.70	6.8
(12+13)-II-1	0.6	112	-659	-4528	-638	472	500	124	27.14	26.47	6.1
(12+13)-II-1	0.6	113	-750	-4502	-525	516	611	95	30.07	29.25	5.5
(12+13)-II-1	0.6	114	-739	-4244	-737	609	703	70	33.39	33.00	5.0
(12+13)-II-4	0.6	115	-340	-3218	659	-732	-762	-75	35.66	35.70	4.6
(12+13)-II-1	0.6	116	-645	-4264	-553	599	607	89	30.82	30.65	5.4
(12+13)-II-4	0.6	117	-257	-3426	459	-594	-493	-97	26.97	27.01	6.1
(12+13)-VIII-1	0.6	118	-743	-5053	535	60	-172	91	15.55	16.38	10
(12+13)-VI-3	0.6	119	-479	-4914	-558	56	85	162	15.85	14.37	10
(12+13)-VI-4	0.6	120	-264	-3618	-72	-115	-187	-213	19.58	19.71	8.4
(12+13)-II-4	0.6	121	-188	-4189	575	93	-171	-212	19.93	21.09	7.8
(12+13)-VI-3	0.6	122	-137	-5041	-617	72	95	183	17.56	17.09	9.4
(12+13)-VI-3	0.6	123	-385	-5002	-505	53	61	178	16.35	15.47	10
(12+13)-VI-2	0.6	124	-109	-4086	763	82	-133	-193	18.27	18.39	9.0
(12+13)-VI-3	0.6	125	-729	-3653	-498	-114	27	84	11.10	10.16	15
(12+13)-VI-3	0.6	126	-826	-3931	-645	-77	102	76	12.55	10.62	13
(12+13)-VI-1	0.6	127	-847	-4887	134	-77	-143	107	13.31	13.38	12
(12+13)-VI-3	0.6	128	-614	-4615	-431	-93	57	145	15.53	14.11	11
(12+13)-VI-3	0.6	129	-604	-4262	-297	-126	29	122	13.74	13.14	12
(12+13)-VI-3	0.6	130	-424	-4728	-356	-103	43	154	15.96	15.47	10
(12+13)-II-4	0.6	131	-68	-4309	1010	225	-147	-157	18.46	21.00	7.9
(12+13)-VI-2	0.6	132	-104	-4061	1072	150	-126	-152	16.77	17.43	9.5
(12+13)-II-4	0.6	133	-747	-2697	1244	105	-115	76	10.18	13.38	12
(12+13)-VI-2	0.6	134	-149	-3858	1611	232	-139	-102	15.95	18.50	8.9
(12+13)-II-4	0.6	135	-322	-3729	1370	154	-125	-101	14.08	15.02	11
(12+13)-II-4	0.6	136	-466	-3257	1590	162	-115	97	13.73	17.06	9.7
(12+13)-VI-1	0.6	137	-1335	-5334	-331	176	378	131	22.52	21.02	7.4
(12+13)-VI-3	0.6	138	154	-5044	-925	147	288	168	21.87	21.45	7.6
(12+13)-II-1	0.6	139	-204	-5114	-757	146	240	186	21.27	21.27	7.8

Comb.	Kmod	Pann.	Nx	<th>Nxy</th> <th>Mx</th> <th>My</th> <th>Mxy</th> <th>σ_{id}/Km_{od}</th> <th>$\sigma_{id+Km_{od}}$</th> <th>Cs</th>	Nxy	Mx	My	Mxy	σ_{id}/Km_{od}	$\sigma_{id+Km_{od}}$	Cs
(12+13)-II-4	0.6	140	-421	-5519	595	561	110	-171	26.32	27.87	5.9
(12+13)-VI-3	0.6	141	370	-6145	-1082	-262	122	116	23.76	22.12	7.0
(12+13)-VI-3	0.6	142	147	-5373	-1152	49	215	142	19.67	17.97	8.4
(12+13)-II-4	0.6	143	-29	-4738	991	368	-121	-152	21.63	25.49	6.5
(12+13)-II-4	0.6	144	-354	-4181	382	88	-175	-233	21.87	22.51	7.4
(12+13)-II-4	0.6	145	-476	-4443	392	200	-127	-221	22.38	23.08	7.2
(12+13)-VI-3	0.6	146	230	-5400	-984	42	208	169	20.79	20.46	8.0
(12+13)-VI-2	0.6	147	-385	-2166	1314	144	-157	79	12.38	15.92	10
(12+13)-VI-1	0.6	148	2350	-2357	122	209	-150	-161	16.64	22.02	7.5
(12+13)-VI-1	0.6	149	1548	-2480	490	184	-139	-125	14.69	18.47	9.0
2	0.6	150	1744	-3675	1019	-132	-412	-30	15.09	20.70	8.0
(12+13)-II-4	0.6	151	-449	-2835	1728	163	-138	112	15.03	18.37	9.0
(12+13)-II-4	0.6	152	-223	-3906	1930	313	-134	86	19.26	23.24	7.1
(12+13)-VI-1	0.6	153	1304	-3442	2050	-288	-198	-254	26.60	21.38	6.2
(12+13)-VI-1	0.6	154	1206	-6581	2856	-459	-114	-186	30.33	28.87	5.5
(12+13)-II-4	0.6	155	-376	-3343	1215	349	-143	130	24.55	25.17	6.6
(12+13)-VI-1	0.6	156	1809	-2027	1367	-223	-231	-216	21.96	18.87	7.5
(12+13)-II-4	0.6	157	-332	-2896	1602	160	-170	134	18.26	20.31	8.2

Massimo (P10):46.50 [kg/cmq]

Muro : 51 Nodi :[33 - 40 - 57 - 0 - 0 - 0 - 0 - 61 - 0 - 0 - 0 - 0 - 0 - 0 - 0 - 0 - 48]fyd=fmk/ $\gamma M=165.52$ [kg/cmq]

Pann=157 Spess.= 15 cm Criterio: Legno_Tenso-Pressoflessione Materiale: Legno_isotropo

Verificato

Comb.	Kmod	Pann.	Nx	Ny	Nxy	Mx	My	Mxy	σ_{id}/Km_{od}	$\sigma_{id+Km_{od}}$	Cs
			kg	kg	kg	kg*m	kg*m	kg*m	kg/cmq	kg/cmq	
(12+13)-VI-2	0.6	1	5302	-1172	549	-27	-191	-169	15.78	17.52	9.4
(12+13)-VIII-1	0.6	2	4447	-1913	1558	275	-17	135	20.08	23.07	7.2
(12+13)-II-4	0.6	3	4011	-1309	233	-408	-249	-111	21.60	20.74	7.7
(12+13)-II-4	0.6	4	3471	-1864	1193	-507	-341	60	22.99	22.98	7.2
(12+13)-II-4	0.6	5	3013	-1645	-98	-516	-334	-6	22.76	22.74	7.3
(12+13)-II-4	0.6	6	2570	-1737	1086	-395	-276	116	18.95	18.59	8.7
(12+13)-II-3	0.6	7	899	-1651	-3	363	-6	-124	18.22	20.61	8.0
(12+13)-II-4	0.6	8	950	-1427	1128	184	-88	144	14.95	18.48	9.0
(12+13)-VI-1	0.6	9	-2489	-3172	1994	-194	-181	-231	22.29	18.26	7.4
(12+13)-II-3	0.6	10	-13600	-32379	10875	-945	-89	-243	64.66	51.40	2.6
(12+13)-II-4	0.6	11	7271	12647	1622	1613	601	358	63.22	75.59	2.2
(12+13)-VI-3	0.6	12	488	-2512	366	-387	-272	356	30.78	32.24	5.1
(12+13)-II-2	0.6	13	2102	-2827	-648	156	-218	-261	22.41	28.69	5.8
2	0.6	14	2949	-5218	1645	-177	-477	113	19.79	27.70	6.0
(12+13)-II-2	0.6	15	2037	-2756	-832	-201	-325	-266	22.67	26.85	6.2
(12+13)-II-1	0.6	16	1465	-3092	686	423	-83	206	27.70	30.12	5.5
(12+13)-II-4	0.6	17	1475	-2765	-585	-548	-433	-219	27.63	28.81	5.7
(12+13)-II-1	0.6	18	1347	-2815	648	543	-50	125	30.46	30.67	5.4
(12+13)-VI-2	0.6	19	1304	-2879	-501	-707	-492	-147	30.38	30.43	5.4
(12+13)-VI-4	0.6	20	1720	-2819	607	-746	-477	92	30.93	30.15	5.4
(12+13)-VI-4	0.6	21	1584	-3032	-1143	-771	-507	-96	31.64	31.26	5.2
(12+13)-VI-2	0.6	22	1120	-2901	893	-641	-444	156	28.35	28.84	5.7
(12+13)-VI-3	0.6	23	1259	-3006	-967	507	-70	-159	29.84	31.10	5.3
(12+13)-VI-2	0.6	24	1133	-2901	815	-447	-401	205	24.10	26.41	6.3
(12+13)-VI-3	0.6	25	1703	-2975	-1115	333	-112	-222	25.00	29.26	5.7
2	0.6	26	3408	-4781	703	-193	-480	47	21.52	25.09	6.6
2	0.6	27	4491	-5221	-2571	-184	-524	-150	20.27	32.19	5.1
(12+13)-VI-2	0.6	28	2377	-2069	-487	322	-161	242	26.50	29.14	5.7
(12+13)-II-1	0.6	29	3173	-1355	-3731	-551	-341	-275	29.61	34.20	4.8
(12+13)-II-2	0.6	30	-3556	-1907	-2521	1260	309	95	55.15	47.37	3.0
(12+13)-II-2	0.6	31	250	-2424	516	505	151	177	23.08	25.63	6.5
(12+13)-VI-2	0.6	32	28	-2273	488	195	89	145	13.51	14.54	11
(12+13)-VI-4	0.6	33	-227	-2609	251	87	86	57	7.03	6.25	24
(12+13)-II-2	0.6	34	-62	-2941	331	47	208	86	13.04	9.54	13
(12+13)-VI-4	0.6	35	117	-2873	300	93	391	52	19.21	14.19	8.6
(12+13)-VI-4	0.6	36	186	-3200	167	115	464	11	22.15	16.16	7.5
(12+13)-VI-4	0.6	37	185	-3125	33	111	418	-36	20.31	14.91	8.1

Comb.	Kmod	Pann.	Nx	<th>Nxy</th> <th>Mx</th> <th>My</th> <th>Mxy</th> <th>σ_{id}/Km_{od}</th> <th>$\sigma_{id+Km_{od}}$</th> <th>Cs</th>	Nxy	Mx	My	Mxy	σ_{id}/Km_{od}	$\sigma_{id+Km_{od}}$	Cs
(12+13)-II-4	0.6	38	-61	-2980	316	92	301	-48	15.63	11.85	11
(12+13)-VI-4	0.6	39	58	-2908	-469	72	206	-42	11.41	9.80	15
(12+13)-VIII-4	0.6	40	-48	-2879	-526	-34	183	-26	12.19	10.97	14
(12+13)-VIII-2	0.6	41	-410	-3287	-175	54	203	-14	11.53	9.63	14
(12+13)-VIII-2	0.6	42	-374	-3738	18	55	220	-14	12.80	10.50	13
2	0.6	43	178	-7414	-506	-0	-31	14	7.60	9.72	17
2	0.6	44	397	-8585	-1298	-3	-127	-4	7.94	15.60	11
(12+13)-IV-2	0.6	45	-3365	-7419	-1574	-276	-335	-174	22.33	26.27	6.3
2	0.6	46	2770	-3112	3463	-136	-300	67	15.10	19.54	8.5
(12+13)-VIII-1	0.6	47	-604	-4112	573	-24	82	-32	9.13	8.95	18
2	0.6	48	-859	-5959	-201	-6	-51	3	4.90	8.34	20
(12+13)-VI-2	0.6	49	-284	-2672	-81	77	-93	-34	7.77	9.49	17
2	0.6	50	-1127	-5124	-851	-29	-115	3	6.72	9.89	17
(12+13)-VI-4	0.6	51	-1198	-2730	-1074	-126	-148	-85	10.45	12.16	14
(12+13)-VI-4	0.6	52	-324	-1500	-292	-218	-153	-59	9.48	10.69	15
(12+13)-VI-1	0.6	53	1444	-1300	765	209	-34	120	15.39	16.54	10
(12+13)-VI-4	0.6	54	-1785	-843	-13	-114	-225	-136	13.38	14.23	12
2	0.6	55	-978	-4642	575	-28	-114	6	6.55	9.41	18
(12+13)-VI-1	0.6	56	-389	-2073	1044	225	-47	-23	11.23	12.39	13
(12+13)-VI-1	0.6	57	1305	-1744	699	384	-30	54	20.39	21.06	7.9
(12+13)-VI-1	0.6	58	448	-1780	636	295	-78	-17	15.59	17.03	9.7
(12+13)-VI-1	0.6	59	897	-1837	350	364	-26	-28	18.62	19.01	8.7
(12+13)-VI-1	0.6	60	2293	-1503	577	326	-28	86	17.21	20.19	8.2
(12+13)-II-1	0.6	61	415	-3079	44	175	-197	-28	16.47	17.89	9.3
(12+13)-II-1	0.6	62	168	-3363	-436	84	-217	-22	15.18	15.94	10
(12+13)-VI-4	0.6	63	418	-3055	133	-58	266	16	16.99	15.27	9.7
(12+13)-II-1	0.6	64	1041	-2960	13	429	-128	-53	25.44	26.22	6.3
(12+13)-II-1	0.6	65	925	-3092	-7	353	-152	-49	22.39	23.83	6.9
(12+13)-II-1	0.6	66	1023	-3089	-67	408	-118	-70	24.42	25.36	6.5
(12+13)-VI-3	0.6	67	954	-3069	19	415	-115	66	24.67	25.38	6.5
(12+13)-II-1	0.6	68	717	-2994	-1	290	-105	-39	18.89	19.23	8.6
(12+13)-VI-3	0.6	69	1139	-3164	-398	459	-115	80	27.07	27.57	6.0
(12+13)-VI-4	0.6	70	1478	-2914	-65	-682	-392	43	27.95	27.90	5.9
(12+13)-II-1	0.6	71	1187	-3141	-253	479	-105	-83	27.91	28.47	5.8
(12+13)-VI-2	0.6	72	412	-2919	478	-143	148	93	15.78	15.69	10
(12+13)-VI-2	0.6	73	188	-2979	545	-43	256	85	16.76	14.54	9.9
(12+13)-VI-4	0.6	74	149	-2404	172	47	118	197	16.46	16.31	10
(12+13)-VI-4	0.6	75	76	-2470	227	34	210	149	15.90	13.91	10
(12+13)-II-2	0.6	76	453	-2469	95	-87	123	164	16.63	15.65	10.0
(12+13)-VI-3	0.6	77	708	-2840	-84	245	-184	-112	19.95	21.79	7.6
(12+13)-VI-3	0.6	78	412	-2826	-8	154	-192	-96	17.30	18.14	9.1
(12+13)-VI-3	0.6	79	1225	-3110	-344	394	-123	-182	27.07	28.66	5.8
(12+13)-II-1	0.6	80	1121	-2928	106	434	-118	-126	26.29	27.53	6.0
(12+13)-VI-3	0.6	81	934	-2875	-142	306	-153	-144	22.27	24.27	6.8
(12+13)-II-1	0.6	82	1029	-2916	-75	372	-133	-116	23.45	25.30	6.5
(12+13)-VI-3	0.6	83	1098	-2895	-193	335	-144	-168	24.22	26.17	6.3
(12+13)-II-2	0.6	84	-137	-1925	-556	179	93	256	22.02	21.06	7.5
(12+13)-VI-4	0.6	85	251	-2292	-438	6	94	226	19.47	17.87	8.5
(12+13)-VI-3	0.6	86	534	-2054	-581	-17	-173	-245	20.22	22.28	7.4
(12+13)-VI-3	0.6	87	555	-1262	-1766	-282	-213	-308	24.67	29.42	5.6
(12+13)-II-1	0.6	88	1578	-2529	-563	19	-194	-286	22.45	26.49	6.2
(12+13)-VI-3	0.6	89	1568	-2476	-1393	-26	-216	-289	22.01	27.97	5.9
(12+13)-VI-3	0.6	90	989	-2248	-786	-6	-208	-277	21.55	25.90	6.4
(12+13)-II-2	0.6	91	665	-2391	-427	-181	40	174	18.38	18.24	9.0
(12+13)-VI-3	0.6	92	904	-2688	-274	216	-148	-190	21.05	23.12	7.2
(12+13)-VI-3	0.6	93	793	-2525	-392	106	-176	-221	20.53	22.77	7.3
(12+13)-VI-3	0.6	94	623	-2627	-224	150	-190	-181	19.77	21.74	7.6
(12+13)-VI-3	0.6	95	1105	-2775	-282	248	-160	-209	22.67	25.62	6.5
(12+13)-VI-3	0.6	96	1307	-2878	-51	278	-151	-221	24.03	26.82	6.2
(12+13)-VI-3	0.6	97	1131	-2626	-529	116	-168	-244	21.42	24.65	6.7
(12+13)-II-1	0.6	98	1430	-2773	-656	166	-166	-261	24.64	27.20	6.1
(12+13)-VI-3	0.6	99	315	-3331	-439	166	-189	87	17.23	18.26	9.1
(12+13)-VI-2	0.6	100	912	-2869	496	-399	-183	-102	18.99	18.67	8.7
(12+13)-VI-2	0.6	101	952	-2786	572	-318	-177	-166	19.32	18.18	8.6

Comb.	Kmod	Pann.	Nx	<th>Nxy</th> <th>Mx</th> <th>My</th> <th>Mxy</th> <th>σ_{id}/Km_{od}</th> <th>σ_{id}/K_{mod}</th> <th>Cs</th>	Nxy	Mx	My	Mxy	σ_{id}/Km_{od}	σ_{id}/K_{mod}	Cs
(12+13)-II-4	0.6	102	740	-2735	602	-219	-174	-166	16.66	15.95	9.9
(12+13)-II-4	0.6	103	884	-2651	646	-213	-166	-203	19.19	17.91	8.6
(12+13)-II-4	0.6	104	185	-2855	469	-58	250	-78	17.30	15.52	9.6
(12+13)-VI-3	0.6	105	127	-3584	-550	96	-192	84	15.77	16.13	10
(12+13)-II-4	0.6	106	359	-2719	520	-87	132	-128	15.90	15.45	10
(12+13)-VI-4	0.6	107	825	-2773	149	-124	-171	-159	14.56	15.17	11
(12+13)-II-4	0.6	108	1099	-2692	656	-251	-191	-226	21.54	20.35	7.7
(12+13)-II-4	0.6	109	1277	-2753	574	-293	-251	-244	23.51	23.40	7.0
(12+13)-II-1	0.6	110	1082	-2949	-432	128	-152	280	24.80	25.41	6.5
(12+13)-II-4	0.6	111	1075	-2840	533	-379	-210	-188	22.18	22.07	7.5
(12+13)-II-1	0.6	112	932	-3072	-223	255	-141	215	24.79	25.02	6.6
(12+13)-II-1	0.6	113	1254	-3135	42	308	-127	241	28.03	28.24	5.9
(12+13)-II-4	0.6	114	1224	-2810	128	-568	-384	-186	27.25	26.93	6.1
(12+13)-VI-2	0.6	115	1210	-2818	637	-629	-381	-145	28.25	27.90	5.9
(12+13)-II-1	0.6	116	1045	-2935	-243	363	-130	168	25.95	26.30	6.3
(12+13)-VI-3	0.6	117	794	-3111	-241	324	-140	125	23.06	23.63	7.0
(12+13)-II-4	0.6	118	70	-2813	380	-67	193	-103	16.06	14.88	10
(12+13)-II-1	0.6	119	209	-4695	-650	58	-147	114	15.31	15.33	11
(12+13)-VI-2	0.6	120	817	-2378	702	-106	-145	-221	19.01	18.22	8.7
(12+13)-II-2	0.6	121	1048	-2284	231	92	-140	-200	18.54	19.36	8.5
(12+13)-II-2	0.6	122	849	-2411	128	77	-129	-175	16.02	17.34	9.5
(12+13)-VI-4	0.6	123	842	-2608	162	-78	-147	-184	16.20	16.21	10
(12+13)-VI-4	0.6	124	682	-2547	87	49	-135	-163	15.11	16.28	10
(12+13)-VI-4	0.6	125	199	-2302	-260	79	-93	-68	9.93	10.82	15
(12+13)-VI-3	0.6	126	-230	-4418	220	-44	105	47	11.02	10.17	15
(12+13)-VIII-3	0.6	127	-5	-4773	9	-50	113	54	12.32	11.13	13
(12+13)-II-2	0.6	128	711	-2299	36	105	-118	-132	14.43	15.30	11
(12+13)-VI-4	0.6	129	407	-2580	32	87	-113	-116	13.78	13.89	12
(12+13)-II-2	0.6	130	635	-2328	-220	113	-105	-97	12.01	13.75	12
(12+13)-II-2	0.6	131	940	-2157	47	138	-120	-134	15.28	16.49	10
(12+13)-II-4	0.6	132	801	-2248	396	215	-131	-144	17.94	19.28	8.6
(12+13)-VI-2	0.6	133	395	-2354	503	115	-106	74	11.33	13.00	13
(12+13)-II-4	0.6	134	1317	-2773	234	202	-127	-95	14.85	17.98	9.2
(12+13)-VI-2	0.6	135	852	-2619	293	129	-121	-103	12.21	14.90	11
(12+13)-II-4	0.6	136	897	-2725	522	141	-115	99	14.51	15.89	10
(12+13)-II-1	0.6	137	974	-3184	-84	29	-154	292	24.34	25.24	6.6
(12+13)-II-4	0.6	138	1422	-2625	812	-158	-220	-262	23.10	22.11	7.2
(12+13)-II-4	0.6	139	1095	-2420	788	-128	-173	-249	21.55	20.29	7.7
(12+13)-VI-3	0.6	140	-362	-11640	-2974	-541	-95	88	31.57	27.95	5.2
(12+13)-II-1	0.6	141	-670	-4313	-1679	-388	-166	310	31.15	28.38	5.3
(12+13)-VI-3	0.6	142	88	-3162	-702	-178	-222	320	26.99	26.10	6.1
(12+13)-VI-4	0.6	143	1472	-1870	181	356	-137	-101	23.05	23.86	6.9
(12+13)-VI-2	0.6	144	981	-2010	904	91	-157	-253	22.27	22.07	7.4
(12+13)-II-1	0.6	145	-652	-5025	-1765	-289	-84	236	25.24	24.40	6.6
(12+13)-II-4	0.6	146	1975	-2157	1178	38	-190	-275	24.12	23.48	6.9
(12+13)-VI-1	0.6	147	-859	-3054	1848	183	-55	-86	13.34	12.47	12
(12+13)-VI-1	0.6	148	-570	-1964	991	275	-48	-159	19.12	17.61	8.7
(12+13)-VI-1	0.6	149	-726	-2470	1604	237	-59	-126	17.09	15.01	9.7
(12+13)-VI-1	0.6	150	447	-1790	1130	309	-43	-87	16.25	17.12	9.7
(12+13)-II-4	0.6	151	1115	-2858	935	141	-128	126	17.03	18.28	9.1
(12+13)-II-4	0.6	152	1673	-3624	-89	246	-128	90	19.52	20.70	8.0
(12+13)-VI-1	0.6	153	-4270	-6252	5936	-199	-130	-230	29.54	18.77	5.6
(12+13)-VI-1	0.6	154	2140	-16284	4245	-403	-77	-109	34.61	26.62	4.8
(12+13)-II-3	0.6	155	-248	-8528	4340	-226	-130	-135	22.29	19.20	7.4
(12+13)-VI-1	0.6	156	-1618	-2612	2425	-153	-166	-203	20.84	18.87	7.9
(12+13)-II-4	0.6	157	590	-2723	1309	146	-143	153	19.83	20.29	8.2

Massimo (P11):75.59 [kg/cmq]

Muro : 52 Nodi :[31 - 32 - 58 - 0 - 0 - 0 - 0 - 0 - 0 - 0 - 0 - 47]fyd=fmk/ $\gamma M=165.52$ [kg/cmq]

Pann=95 Spess.= 15 cm Criterio: Legno_Tenso-Pressoflessione Materiale: Legno_isotropo

Verificato

Comb.	Kmod	Pann.	Nx	Ny	Nxy	Mx	My	Mxy	σ_{id}/Km_{od}	σ_{id}/K_{mod}	Cs
-------	------	-------	----	----	-----	----	----	-----	-----------------------	-----------------------	----

Comb.	Kmod	Pann.	Nx	<th>Nxy</th> <th>Mx</th> <th>My</th> <th>Mxy</th> <th>σ_{id}/Km_{od}</th> <th>σ_{id}/K_{mod}</th> <th>Cs</th>	Nxy	Mx	My	Mxy	σ_{id}/Km_{od}	σ_{id}/K_{mod}	Cs
			kg	kg	kg	kg*m	kg*m	kg*m	kg/cmq	kg/cmq	
(12+13)-II-2	0.6	1	1075	-4657	-227	112	-540	-12	20.99	32.73	5.1
(12+13)-VI-2	0.6	2	-4	-4045	705	-340	-814	38	27.84	35.88	4.6
(12+13)-VI-2	0.6	3	69	-3231	290	-477	-936	-35	33.36	39.24	4.2
(12+13)-VI-2	0.6	4	34	-3015	666	-773	-1198	46	44.53	49.61	3.3
(12+13)-II-4	0.6	5	-2	-2527	405	-825	-1221	-34	46.02	50.13	3.3
(12+13)-II-4	0.6	6	12	-2310	874	-967	-1304	47	50.37	54.18	3.1
(12+13)-II-4	0.6	7	41	-2289	499	-1006	-1369	-29	52.94	56.42	2.9
(12+13)-II-4	0.6	8	72	-2149	912	-1020	-1352	60	52.74	56.27	2.9
(12+13)-VI-4	0.6	9	366	-2278	-108	-1027	-1358	-34	52.97	56.24	2.9
(12+13)-VI-2	0.6	10	167	-2092	794	-930	-1283	58	49.54	53.01	3.1
(12+13)-VI-2	0.6	11	90	-2117	416	-912	-1250	-24	48.25	51.47	3.2
(12+13)-VI-2	0.6	12	109	-2041	814	-700	-1082	55	40.64	44.39	3.7
(12+13)-VI-2	0.6	13	-10	-2107	451	-636	-995	-22	37.08	40.63	4.1
(12+13)-VI-4	0.6	14	166	-2224	402	-299	-745	44	26.73	31.45	5.3
(12+13)-VI-4	0.6	15	35	-2328	95	-206	-580	-25	20.34	25.15	6.6
(12+13)-II-4	0.6	16	-213	-2030	909	301	-295	18	21.22	24.89	6.6
(12+13)-II-4	0.6	17	-262	-2242	650	519	-73	-16	23.86	26.11	6.3
(12+13)-II-4	0.6	18	-425	-2047	666	926	219	36	37.14	37.73	4.4
(12+13)-II-4	0.6	19	-58	-2138	809	536	127	169	23.98	26.65	6.2
(12+13)-II-4	0.6	20	146	-2171	965	233	85	182	16.20	18.73	8.8
(12+13)-II-2	0.6	21	-121	-2940	530	109	124	83	9.31	8.67	18
(12+13)-II-2	0.6	22	66	-3170	559	56	294	117	17.42	13.90	9.5
(12+13)-VI-4	0.6	23	330	-3331	614	103	508	52	24.62	19.18	6.7
(12+13)-II-4	0.6	24	368	-2340	970	95	512	-35	24.08	20.02	6.9
(12+13)-II-4	0.6	25	760	-1709	1305	63	329	-108	19.01	15.35	8.7
(12+13)-VI-3	0.6	26	-1616	-6783	-1860	-64	-127	68	11.26	11.71	14
(12+13)-II-4	0.6	27	739	-1067	2607	198	82	-180	20.11	13.42	8.2
(12+13)-II-2	0.6	28	1784	-3440	2712	584	170	-160	27.19	27.20	6.1
(12+13)-II-2	0.6	29	2990	-8652	497	986	167	-60	35.66	48.43	3.4
(12+13)-VI-4	0.6	30	1301	-6408	104	371	-285	14	18.79	32.71	5.1
(12+13)-II-4	0.6	31	898	-2222	942	-26	196	-177	19.78	14.58	8.4
(12+13)-II-4	0.6	32	643	-2099	1548	29	80	-240	22.21	16.49	7.5
(12+13)-II-4	0.6	33	491	-2519	910	-160	29	-200	20.03	15.77	8.3
(12+13)-II-1	0.6	34	-647	-1901	-1707	-36	18	208	19.63	18.05	8.4
(12+13)-II-2	0.6	35	1848	-3415	882	318	88	-220	22.01	22.20	7.5
(12+13)-II-4	0.6	36	852	-3521	1452	19	16	-242	21.91	17.79	7.6
(12+13)-II-1	0.6	37	-542	-1456	-1760	-141	-1	182	18.59	18.39	8.9
(12+13)-II-2	0.6	38	889	-4848	603	162	-217	-96	18.89	21.33	7.8
(12+13)-II-4	0.6	39	555	-3038	774	-247	-147	-197	19.65	17.56	8.4
(12+13)-II-2	0.6	40	698	-3053	-166	-515	-747	-62	27.63	32.33	5.1
(12+13)-VI-2	0.6	41	216	-3904	505	-234	-514	-86	17.98	24.43	6.8
(12+13)-VI-2	0.6	42	222	-3594	535	-214	-338	-143	17.91	19.27	8.6
(12+13)-II-4	0.6	43	59	-3140	588	-455	-508	-121	22.30	25.04	6.6
(12+13)-VI-3	0.6	44	-588	-1968	-1217	160	97	199	19.05	18.89	8.7
(12+13)-II-2	0.6	45	763	-2412	172	-238	86	-28	15.93	13.52	10
(12+13)-VI-4	0.6	46	805	-2473	405	-77	280	-38	18.14	15.25	9.1
(12+13)-VI-2	0.6	47	704	-2271	644	-165	140	-116	17.83	13.95	9.3
(12+13)-II-2	0.6	48	707	-2862	27	-390	-116	-38	17.48	14.72	9.5
(12+13)-VI-2	0.6	49	534	-2366	544	-302	-72	-128	17.54	14.26	9.4
(12+13)-II-4	0.6	50	248	-2776	566	-476	-303	-118	21.18	20.76	7.8
(12+13)-II-4	0.6	51	56	-2601	542	-627	-599	-86	27.19	29.23	5.7
(12+13)-II-4	0.6	52	-51	-2537	514	-806	-1082	-17	41.42	45.32	3.7
(12+13)-II-4	0.6	53	-26	-2573	590	-748	-893	-49	35.50	38.84	4.3
(12+13)-II-4	0.6	54	-58	-2348	672	-855	-1079	-28	42.28	45.64	3.6
(12+13)-II-4	0.6	55	11	-2814	582	-717	-935	-47	35.93	39.94	4.1
(12+13)-II-4	0.6	56	183	-2529	583	-581	-369	-30	22.89	23.12	7.2
(12+13)-II-4	0.6	57	35	-2203	728	-940	-1107	25	44.52	47.59	3.5
(12+13)-II-4	0.6	58	39	-2359	615	-904	-1057	-6	42.48	45.60	3.6
(12+13)-II-4	0.6	59	79	-2372	624	-731	-623	35	29.83	31.64	5.2
(12+13)-II-4	0.6	60	40	-2381	586	-785	-778	-38	33.80	36.13	4.6
(12+13)-II-4	0.6	61	39	-2287	660	-854	-878	31	37.39	40.02	4.1
(12+13)-II-4	0.6	62	190	-2488	860	-173	18	200	18.09	18.33	9.0
(12+13)-II-4	0.6	63	125	-2410	917	45	71	240	18.39	20.35	8.1

Comb.	Kmod	Pann.	Nx	<th>Nxy</th> <th>Mx</th> <th>My</th> <th>Mxy</th> <th>σ_{id}/Km_{od}</th> <th>σ_{id}/K_{mod}</th> <th>Cs</th>	Nxy	Mx	My	Mxy	σ_{id}/Km_{od}	σ_{id}/K_{mod}	Cs
(12+13)-II-2	0.6	64	304	-2978	421	-44	186	184	18.52	17.52	8.9
(12+13)-II-2	0.6	65	483	-2834	190	-316	-88	134	17.36	16.96	9.5
(12+13)-II-2	0.6	66	566	-2951	184	-244	74	74	16.69	14.46	9.9
(12+13)-II-2	0.6	67	583	-2827	81	-401	-131	58	17.82	16.17	9.3
(12+13)-II-2	0.6	68	541	-3114	340	-89	234	85	17.62	14.96	9.4
(12+13)-II-4	0.6	69	-175	-2100	845	249	-135	124	18.76	20.08	8.2
(12+13)-II-4	0.6	70	-134	-2126	806	-114	-336	121	14.34	18.82	8.8
(12+13)-II-4	0.6	71	-68	-2168	862	-103	-224	188	16.43	19.43	8.5
(12+13)-II-4	0.6	72	-121	-2198	873	247	6	216	18.57	21.97	7.5
(12+13)-II-4	0.6	73	14	-2247	914	-50	-64	240	17.87	20.74	8.0
(12+13)-VI-4	0.6	74	119	-2309	290	-297	-562	97	20.79	25.16	6.6
(12+13)-VI-2	0.6	75	21	-2150	631	-540	-751	85	28.82	32.49	5.1
(12+13)-VI-2	0.6	76	99	-2376	719	-297	-189	197	18.62	20.56	8.1
(12+13)-VI-2	0.6	77	37	-2193	679	-495	-583	123	24.69	27.91	5.9
(12+13)-VI-2	0.6	78	-6	-2209	708	-310	-394	158	18.68	22.28	7.4
(12+13)-VI-2	0.6	79	65	-2257	694	-409	-388	161	20.74	23.41	7.1
(12+13)-II-4	0.6	80	119	-2397	771	-445	-262	139	19.85	21.41	7.7
(12+13)-II-4	0.6	81	154	-2455	680	-547	-325	70	22.07	22.53	7.3
(12+13)-VI-2	0.6	82	80	-2270	648	-552	-516	131	24.73	27.40	6.0
(12+13)-II-4	0.6	83	65	-2285	758	-568	-448	124	23.99	26.33	6.3
(12+13)-II-4	0.6	84	40	-2237	759	-670	-637	100	28.84	31.62	5.2
(12+13)-II-4	0.6	85	47	-2259	730	-731	-686	75	30.82	33.49	4.9
(12+13)-II-4	0.6	86	91	-2327	708	-653	-521	76	26.34	28.41	5.8
(12+13)-II-4	0.6	87	62	-2303	675	-740	-668	48	30.82	32.91	5.0
(12+13)-II-4	0.6	88	45	-2235	694	-846	-885	44	37.44	40.13	4.1
(12+13)-II-4	0.6	89	66	-2181	677	-937	-1107	44	44.58	47.62	3.5
(12+13)-II-4	0.6	90	40	-2187	747	-806	-863	61	36.04	39.00	4.2
(12+13)-VI-2	0.6	91	110	-2143	647	-879	-1072	34	42.58	45.68	3.6
(12+13)-VI-2	0.6	92	97	-2211	614	-736	-801	81	33.38	36.42	4.5
(12+13)-VI-2	0.6	93	114	-2168	574	-814	-1002	66	39.74	43.00	3.8
(12+13)-VI-2	0.6	94	60	-2181	655	-616	-698	98	28.94	32.08	5.2
(12+13)-VI-2	0.6	95	43	-2098	685	-675	-893	61	34.47	37.96	4.4

Massimo (P7):56.42 [kg/cmq]

Muro : 53 Nodi :[32 - 27 - 59 - 0 - 0 - 0 - 0 - 0 - 58]fyd=fmk/ $\gamma M=165.52$ [kg/cmq]

Pann=40 Spess.= 15 cm Criterio: Legno_Tenso-Pressoflessione Materiale: Legno_isotropo

Verificato

Comb.	Kmod	Pann.	Nx	Ny	Nxy	Mx	My	Mxy	σ_{id}/Km_{od}	σ_{id}/K_{mod}	Cs
			kg	kg	kg	kg*m	kg*m	kg*m	kg/cmq	kg/cmq	
(12+13)-IV-4	0.6	1	1219	-1246	51	-379	-239	-186	21.38	20.40	7.7
(12+13)-VIII-4	0.6	2	1578	-1084	59	-561	-315	-29	23.25	23.24	7.1
(12+13)-VI-4	0.6	3	1769	-1609	-560	-524	-283	-96	22.85	21.33	7.2
(12+13)-VI-4	0.6	4	2041	-1488	-144	-574	-375	55	24.51	21.59	6.8
(12+13)-VI-4	0.6	5	2386	-1360	-762	-528	-289	11	22.80	21.19	7.3
(12+13)-VI-4	0.6	6	2931	-1394	-403	-421	-340	109	21.30	17.82	7.8
(12+13)-II-3	0.6	7	-2180	-954	506	371	28	-126	20.82	16.89	7.9
(12+13)-VI-1	0.6	8	-2657	-1399	1302	60	-66	-155	15.81	14.73	10
(12+13)-II-3	0.6	9	-3191	-1495	1640	-144	-164	-208	19.80	17.82	8.4
(12+13)-II-4	0.6	10	2384	-7114	1013	692	128	83	30.20	35.54	4.7
(12+13)-II-4	0.6	11	1031	-2496	-1782	315	125	86	15.13	14.34	11
(12+13)-II-3	0.6	12	-1255	-4884	2637	-72	-46	70	5.70	12.34	13
(12+13)-II-3	0.6	13	-1847	-7041	1871	-16	-46	32	5.36	10.71	15
(12+13)-II-3	0.6	14	-1559	-4422	1728	-19	-74	-11	6.33	7.68	22
(12+13)-II-3	0.6	15	-1248	-3147	1395	-14	-78	15	6.26	7.30	23
(12+13)-VIII-4	0.6	16	459	-1147	-807	43	130	-9	6.53	6.16	25
(12+13)-VI-1	0.6	17	-784	-2102	710	-16	-67	56	3.99	7.40	22
(12+13)-II-2	0.6	18	1309	-1017	-757	66	-103	-72	7.19	11.22	15
(12+13)-IV-2	0.6	19	-677	-584	-420	889	282	-28	35.57	34.51	4.7
(12+13)-VIII-1	0.6	20	289	-886	1102	-3	-183	239	17.98	22.52	7.4
(12+13)-II-2	0.6	21	1106	-224	-1388	58	51	44	6.44	6.11	26
(12+13)-VI-1	0.6	22	-959	-2577	984	58	-77	25	5.93	8.14	20
(12+13)-II-1	0.6	23	-387	-1909	294	123	-120	40	9.43	11.45	14

Comb.	Kmod	Pann.	Nx	<th>Nxy</th> <th>Mx</th> <th>My</th> <th>Mxy</th> <th>σ_{id}/Km_{od}</th> <th>$\sigma_{id+Km_{mod}}$</th> <th>Cs</th>	Nxy	Mx	My	Mxy	σ_{id}/Km_{od}	$\sigma_{id+Km_{mod}}$	Cs
(12+13)-II-2	0.6	24	1240	-930	-855	-159	-103	-142	12.60	13.79	12
(12+13)-VI-1	0.6	25	-631	-1595	669	230	-110	87	15.59	16.17	10
(12+13)-VIII-1	0.6	26	-378	-1329	582	324	-114	95	19.50	20.05	8.3
(12+13)-VIII-1	0.6	27	-479	-938	464	132	-151	181	17.10	18.72	8.8
(12+13)-VI-1	0.6	28	-1133	-2066	1449	207	-122	-137	18.19	16.18	9.1
(12+13)-VI-1	0.6	29	-1125	-1864	1830	-118	-130	-182	17.91	14.20	9.2
(12+13)-VI-1	0.6	30	-1147	-2594	1628	-115	-123	-134	13.87	11.80	12
(12+13)-II-2	0.6	31	1628	-923	-1213	-267	-8	53	15.41	15.34	11
(12+13)-VI-4	0.6	32	1226	-1002	-1176	-147	71	65	12.93	11.96	13
(12+13)-II-1	0.6	33	-286	-2203	586	214	-109	13	13.09	14.47	11
(12+13)-VI-1	0.6	34	-1146	-1722	1139	307	-34	-131	19.19	16.72	8.6
(12+13)-VI-1	0.6	35	-1820	-1515	1294	213	-53	-195	21.13	16.74	7.8
(12+13)-VI-4	0.6	36	1671	-1136	-564	-457	-190	-53	19.81	19.12	8.4
(12+13)-IV-1	0.6	37	-37	-1615	357	265	-112	12	15.48	16.29	10
(12+13)-VI-4	0.6	38	2056	-1160	-926	-424	-202	53	19.44	18.62	8.5
(12+13)-IV-1	0.6	39	-38	-1674	473	280	-114	-77	16.76	17.69	9.4
(12+13)-VI-4	0.6	40	1976	-1261	-679	-475	-218	-40	20.55	19.75	8.1

Massimo (P19):35.57 [kg/cmq]

Muro : 54 Nodi :[27 - 28 - 60 - 0 - 0 - 0 - 0 - 0 - 0 - 0 - 59]fyd=fmk/ $\gamma M=165.52$ [kg/cmq]

Pann=82 Spess.= 15 cm Criterio: Legno_Tenso-Pressoflessione Materiale: Legno_isotropo

Verificato

Comb.	Kmod	Pann.	Nx	Ny	Nxy	Mx	My	Mxy	σ_{id}/Km_{od}	$\sigma_{id+Km_{mod}}$	Cs
			kg	kg	kg	kg*m	kg*m	kg*m	kg/cmq	kg/cmq	
2	0.6	1	3940	-350	1877	-115	-455	41	17.20	21.39	7.7
2	0.6	2	2976	-1363	1435	-182	-615	200	25.73	32.36	5.1
2	0.6	3	2272	-1180	151	-206	-566	-37	20.90	24.00	6.9
2	0.6	4	1763	-1387	773	-205	-581	172	24.09	28.62	5.8
2	0.6	5	1560	-1208	-262	-202	-583	-58	21.68	24.92	6.6
2	0.6	6	1329	-1491	549	-172	-560	148	22.74	27.07	6.1
2	0.6	7	1406	-1090	-377	-179	-570	-76	21.67	24.89	6.7
2	0.6	8	1273	-1443	490	-220	-643	141	25.48	29.45	5.6
2	0.6	9	1294	-1299	-472	-233	-650	-108	24.99	28.55	5.8
2	0.6	10	1237	-1480	482	-198	-672	131	26.40	30.59	5.4
2	0.6	11	1283	-1333	-453	-180	-661	-152	26.85	30.83	5.4
2	0.6	12	1167	-1435	556	-164	-646	75	24.48	28.64	5.8
2	0.6	13	1034	-1566	-231	-141	-682	-215	30.34	34.35	4.8
2	0.6	14	678	-1503	1041	-118	-479	-51	18.40	21.17	7.8
2	0.6	15	742	-3223	1520	-129	-497	-225	25.95	27.64	6.0
(12+13)-I-1	0.6	16	3187	-2200	121	-393	-125	4	19.64	16.89	8.4
2	0.6	17	307	-2758	-98	-21	-162	15	5.52	10.02	17
(12+13)-II-3	0.6	18	-607	-1719	677	-34	-55	42	4.04	5.90	28
2	0.6	19	-110	-2785	-35	34	98	14	6.88	4.39	24
2	0.6	20	-142	-2530	-171	25	114	13	7.46	3.49	22
2	0.6	21	-126	-2499	-417	30	137	1	8.28	3.74	20
2	0.6	22	-189	-2459	-756	26	124	-12	7.67	4.21	22
2	0.6	23	-305	-2546	-1031	11	74	-28	5.74	4.63	29
2	0.6	24	-186	-2633	-1095	18	31	-27	4.11	4.56	36
2	0.6	25	-463	-2414	-1508	13	-1	-46	5.05	7.03	24
(12+13)-III-2	0.6	26	-943	-1388	-2119	223	57	11	10.79	9.04	15
(12+13)-I-1	0.6	27	-6417	-706	-247	530	108	81	29.10	22.19	5.7
2	0.6	28	2571	1151	4435	-61	-452	216	20.85	31.46	5.3
(12+13)-III-2	0.6	29	-370	-1240	-1539	6	-14	-29	2.98	5.54	30
(12+13)-I-2	0.6	30	-351	-1351	-1662	19	17	-29	3.39	5.56	30
2	0.6	31	-716	-1922	-1278	-32	-31	-41	3.48	6.37	26
(12+13)-III-2	0.6	32	-300	-1390	-1501	-6	20	-26	3.86	4.92	34
(12+13)-III-2	0.6	33	-278	-1253	-1402	-29	-21	-27	3.28	5.20	32
2	0.6	34	-229	-1432	-315	-105	-158	-3	5.01	7.54	22
2	0.6	35	108	-1268	-90	-141	-275	11	9.48	11.85	14
2	0.6	36	1016	-1259	-49	-178	-519	29	18.99	21.98	7.5
2	0.6	37	1142	-1290	207	-171	-504	47	18.51	21.75	7.6
2	0.6	38	762	-1209	137	-167	-437	36	15.88	18.64	8.9

Comb.	Kmod	Pann.	Nx	Ny	Nxy	Mx	My	Mxy	σ_{id}/Km_{od}	σ_{id}/K_{mod}	Cs
	2	0.6	39	719	-1280	34	-168	-432	23	15.50	18.32
	2	0.6	40	482	-1222	57	-158	-373	23	13.31	15.86
	2	0.6	41	-900	-1153	-888	-86	-124	-13	5.44	6.62
(12+13)-III-4	0.6	42	-76	-128	575	-168	-137	16	7.13	7.37	22
	2	0.6	43	-657	-366	133	-129	-238	30	9.04	9.89
	2	0.6	44	1138	-793	790	-184	-461	82	17.67	20.47
	2	0.6	45	56	-428	682	-162	-351	63	13.58	15.26
	2	0.6	46	759	-595	1487	-148	-387	78	14.67	18.09
	2	0.6	47	-867	768	1774	-119	-282	91	12.35	14.51
	2	0.6	48	485	-902	439	-169	-380	55	14.16	16.41
	2	0.6	49	1196	-1086	584	-188	-484	69	18.07	21.13
	2	0.6	50	679	-1067	249	-169	-415	48	15.29	17.76
	2	0.6	51	1119	-1186	185	-183	-495	61	18.45	21.35
	2	0.6	52	-533	-1137	-523	-101	-148	-7	4.77	7.04
	2	0.6	53	265	-1012	121	-156	-339	31	12.29	14.36
	2	0.6	54	-192	-1052	-94	-137	-253	16	8.89	10.81
	2	0.6	55	-61	-860	117	-138	-282	29	10.25	11.98
	2	0.6	56	-214	-2154	-376	-16	32	-1	4.12	3.99
(12+13)-VI-4	0.6	57	145	-1058	-707	-12	-72	-25	3.58	5.31	31
(12+13)-II-3	0.6	58	-494	-1433	589	14	-70	33	4.02	5.99	28
(12+13)-IV-3	0.6	59	-426	-1418	627	10	-29	28	4.18	4.40	38
(12+13)-IV-2	0.6	60	262	-1120	-709	-61	-87	-20	2.91	5.29	31
	2	0.6	61	264	-1461	-49	-143	-286	4	9.69	12.48
	2	0.6	62	-26	-1638	-159	-106	-169	2	5.27	8.08
	2	0.6	63	1074	-1356	133	-201	-540	16	19.54	22.70
	2	0.6	64	1035	-1392	-98	-206	-555	13	20.09	23.27
	2	0.6	65	577	-1431	5	-168	-391	6	13.68	16.64
	2	0.6	66	749	-1356	24	-177	-440	9	15.66	18.61
	2	0.6	67	821	-1414	4	-187	-470	7	16.72	19.81
	2	0.6	68	505	-2275	87	-92	-230	6	7.26	11.42
	2	0.6	69	253	-2035	113	-86	-184	14	5.99	9.28
	2	0.6	70	483	-1945	169	-130	-303	-8	9.85	13.77
	2	0.6	71	936	-2445	554	-128	-327	-82	12.67	16.35
	2	0.6	72	991	-1525	243	-155	-530	-54	19.72	23.22
	2	0.6	73	895	-1790	305	-133	-452	-62	16.72	20.52
	2	0.6	74	740	-1775	152	-154	-419	-36	14.77	18.52
	2	0.6	75	98	-1837	-32	-104	-183	8	5.58	8.83
	2	0.6	76	571	-1546	27	-163	-376	1	12.98	16.17
	2	0.6	77	495	-1653	63	-142	-336	-2	11.34	14.75
	2	0.6	78	361	-1632	10	-138	-287	3	9.55	12.73
	2	0.6	79	789	-1495	34	-177	-463	-3	16.41	19.71
	2	0.6	80	1056	-1452	104	-187	-561	-2	20.32	23.81
	2	0.6	81	761	-1588	59	-163	-441	-17	15.51	19.00
	2	0.6	82	966	-1498	-67	-174	-557	-25	20.28	23.90

Massimo (P13):34.35 [kg/cmq]

Muro : 55 Nodi :[21 - 28 - 60 - 0 - 0 - 0 - 0 - 0 - 0 - 0 - 0 - 0 - 0 - 0 - 0 - 0 - 41]fvd=fmk/ $\gamma M=165.52$ [kg/cmq]

Pann=94 Spess.= 15 cm Criterio: Legno_Tenso-Pressoflessione Materiale: Legno_isotropo

Verificato

Comb.	Kmod	Pann.	Nx	Ny	Nxy	Mx	My	Mxy	σid-/Km od	σid+/K mod	Cs
			kg	kg	kg	kg*m	kg*m	kg*m	kg/cmq	kg/cmq	
2	0.6	1	852	-2215	-181	137	1002	292	50.14	44.87	3.3
2	0.6	2	465	-3639	1318	144	817	24	37.79	29.77	4.4
2	0.6	3	-96	-3584	-1030	137	514	298	34.87	26.83	4.7
(12+13)-I-2	0.6	4	454	-2070	654	394	184	204	20.75	23.28	7.1
(12+13)-III-2	0.6	5	42	-2500	-839	309	105	190	20.11	18.35	8.2
(12+13)-III-2	0.6	6	333	-2034	601	544	199	122	22.19	24.37	6.8
(12+13)-III-2	0.6	7	-133	-2921	-943	466	174	135	21.82	20.70	7.6
(12+13)-III-1	0.6	8	-211	-1872	828	604	201	-11	23.70	23.92	6.9
(12+13)-I-1	0.6	9	-432	-2752	-502	572	219	92	23.83	23.18	6.9
(12+13)-III-2	0.6	10	62	-2025	502	623	205	-52	24.53	25.20	6.6
(12+13)-III-3	0.6	11	-788	-2473	-702	-631	-272	-65	24.59	25.85	6.4

Comb.	Kmod	Pann.	Nx	<th>Nxy</th> <th>Mx</th> <th>My</th> <th>Mxy</th> <th>σ_{id}/Km_{od}</th> <th>σ_{id}/K_{mod}</th> <th>Cs</th>	Nxy	Mx	My	Mxy	σ_{id}/Km_{od}	σ_{id}/K_{mod}	Cs
(12+13)-III-4	0.6	12	-542	-2624	780	-624	-320	78	24.03	25.83	6.4
(12+13)-III-4	0.6	13	-627	-2390	-1088	-647	-281	-54	24.75	26.27	6.3
(12+13)-III-3	0.6	14	-1057	-2523	1185	-506	-270	122	20.29	23.76	7.0
(12+13)-III-3	0.6	15	-1058	-2444	-792	-565	-275	58	21.73	23.04	7.2
(12+13)-I-4	0.6	16	-846	-2361	901	-320	-202	157	17.24	19.51	8.5
(12+13)-I-4	0.6	17	-929	-2643	-994	-399	-242	97	17.21	17.68	9.4
(12+13)-III-3	0.6	18	-1323	-2234	1134	-108	-123	177	15.10	17.42	9.5
(12+13)-III-1	0.6	19	-1023	-2590	-343	119	80	-158	13.17	13.38	12
(12+13)-I-4	0.6	20	-908	-1867	520	272	-15	200	20.72	20.75	8.0
(12+13)-I-1	0.6	21	-362	-2291	-486	-422	-119	-189	21.91	22.77	7.3
(12+13)-I-1	0.6	22	-303	-633	-556	-781	-221	-163	33.49	34.00	4.9
(12+13)-I-4	0.6	23	32	-1341	-386	308	102	174	18.45	18.19	9.0
(12+13)-I-4	0.6	24	10	-1512	-214	124	72	128	11.54	11.12	14
(12+13)-III-4	0.6	25	-115	-1581	-190	52	71	47	5.84	5.67	28
(12+13)-I-4	0.6	26	-109	-2287	51	-39	178	59	12.17	12.03	14
(12+13)-I-4	0.6	27	-50	-2840	-67	-77	299	21	18.46	18.13	9.0
(12+13)-I-4	0.6	28	-56	-2948	-112	-76	294	-23	18.30	18.14	9.0
(12+13)-III-3	0.6	29	-212	-2655	183	-38	175	-54	12.40	12.34	13
(12+13)-III-3	0.6	30	-290	-2346	182	38	66	-47	6.28	5.75	26
(12+13)-I-1	0.6	31	107	-1368	625	-168	-90	116	10.59	12.13	14
(12+13)-III-2	0.6	32	347	-1404	393	-399	-139	179	20.86	20.91	7.9
(12+13)-I-4	0.6	33	7	-2620	-723	816	374	-146	33.73	34.15	4.8
2	0.6	34	298	-3110	646	160	1189	-251	57.07	49.54	2.9
(12+13)-I-1	0.6	35	242	-2146	507	36	-193	102	13.41	14.91	11
(12+13)-I-1	0.6	36	178	-1850	556	14	-115	149	13.20	14.66	11
(12+13)-I-1	0.6	37	209	-2199	507	86	-132	112	13.36	14.53	11
(12+13)-I-1	0.6	38	230	-2405	462	63	-207	42	13.84	14.28	12
(12+13)-I-1	0.6	39	233	-2378	197	128	-148	46	13.41	13.82	12
(12+13)-I-1	0.6	40	49	-2350	181	330	12	54	15.83	16.51	10
(12+13)-I-1	0.6	41	175	-2363	202	223	-90	50	14.76	15.21	11
(12+13)-I-1	0.6	42	-367	-2222	203	556	165	55	22.26	22.75	7.3
(12+13)-I-1	0.6	43	-117	-2423	-10	520	138	99	21.69	22.76	7.3
(12+13)-I-1	0.6	44	-89	-2324	151	417	47	52	18.22	19.19	8.6
(12+13)-I-1	0.6	45	-128	-2318	110	458	97	91	19.31	20.71	8.0
(12+13)-III-2	0.6	46	37	-2356	-144	495	106	14	19.95	21.08	7.9
(12+13)-III-1	0.6	47	194	-1962	635	35	-108	175	15.43	16.75	9.9
(12+13)-III-3	0.6	48	-430	-2141	227	137	103	-210	17.94	17.39	9.2
(12+13)-I-3	0.6	49	-286	-2298	274	-108	78	-180	17.03	16.68	9.7
(12+13)-III-2	0.6	50	476	-1775	166	150	239	301	25.31	25.27	6.5
(12+13)-III-1	0.6	51	151	-1875	655	206	151	242	19.90	21.48	7.7
(12+13)-I-2	0.6	52	429	-2249	211	256	151	257	21.85	22.68	7.3
(12+13)-I-2	0.6	53	659	-1891	435	166	231	259	22.01	22.34	7.4
(12+13)-III-3	0.6	54	-456	-1682	254	246	285	-226	22.24	20.03	7.4
(12+13)-III-3	0.6	55	-174	-2533	538	-164	67	-134	15.90	15.81	10
(12+13)-I-1	0.6	56	77	-2289	201	292	23	127	16.45	17.21	9.6
(12+13)-III-2	0.6	57	335	-2273	-71	301	54	176	18.10	19.26	8.6
(12+13)-I-1	0.6	58	-33	-2292	142	387	71	138	18.39	20.08	8.2
(12+13)-III-1	0.6	59	-384	-2012	226	506	146	158	23.23	23.88	6.9
(12+13)-III-2	0.6	60	170	-2404	1	443	116	172	21.56	22.98	7.2
(12+13)-III-2	0.6	61	261	-2613	-242	477	147	181	23.16	24.05	6.9
(12+13)-III-2	0.6	62	77	-2237	80	443	142	208	23.26	24.32	6.8
(12+13)-III-2	0.6	63	270	-2215	136	349	94	208	20.56	22.15	7.5
(12+13)-III-2	0.6	64	358	-2291	-103	343	131	228	21.92	22.46	7.4
(12+13)-III-2	0.6	65	346	-2498	-118	121	-150	-42	13.44	13.73	12
(12+13)-III-2	0.6	66	294	-2530	-134	57	-208	-37	13.99	14.05	12
(12+13)-III-2	0.6	67	308	-2340	-177	89	-130	-109	14.01	14.16	12
(12+13)-I-4	0.6	68	134	-2237	-76	-21	98	148	13.73	13.64	12
(12+13)-III-2	0.6	69	216	-2251	-198	36	-186	-97	14.06	14.17	12
(12+13)-I-1	0.6	70	152	-2370	180	228	-93	-38	14.86	15.11	11
(12+13)-I-1	0.6	71	-2	-2353	171	337	8	-35	16.15	16.40	10
(12+13)-III-4	0.6	72	-381	-2686	178	-564	-208	43	22.37	22.37	7.4
(12+13)-III-2	0.6	73	-72	-2362	-320	562	157	-28	22.26	23.17	7.1
(12+13)-III-2	0.6	74	-27	-2373	-171	501	107	-22	20.43	21.36	7.7
(12+13)-III-4	0.6	75	-296	-2610	115	-496	-143	41	20.41	20.17	8.1

Comb.	Kmod	Pann.	Nx	<th>Nxy</th> <th>Mx</th> <th>My</th> <th>Mxy</th> <th>σ_{id}/Km_{od}</th> <th>$\sigma_{id+Km_{od}}$</th> <th>Cs</th>	Nxy	Mx	My	Mxy	σ_{id}/Km_{od}	$\sigma_{id+Km_{od}}$	Cs
(12+13)-III-2	0.6	76	70	-2405	-132	427	46	-47	18.72	19.76	8.4
(12+13)-III-2	0.6	77	71	-2321	-215	119	6	-201	16.71	17.32	9.6
(12+13)-I-1	0.6	78	93	-1841	-193	-107	-106	-224	18.20	18.60	8.9
(12+13)-I-1	0.6	79	132	-2064	-52	45	-102	-186	16.56	16.57	10.0
(12+13)-I-1	0.6	80	-219	-2007	-161	-161	-78	-248	19.84	20.53	8.1
(12+13)-III-3	0.6	81	-1018	-2193	562	-156	-106	222	19.08	19.69	8.4
(12+13)-III-2	0.6	82	-152	-2273	-188	131	19	-230	18.47	19.26	8.6
(12+13)-III-1	0.6	83	-393	-2301	66	81	-12	-230	18.19	18.41	9.0
(12+13)-III-2	0.6	84	-273	-2438	-354	201	60	-211	17.97	19.01	8.7
(12+13)-I-1	0.6	85	128	-2276	113	186	-83	-124	15.68	15.75	11
(12+13)-I-4	0.6	86	-306	-2602	151	-427	-105	100	19.28	19.11	8.6
(12+13)-I-1	0.6	87	-219	-2281	131	292	18	-162	18.27	18.34	9.0
(12+13)-I-1	0.6	88	-67	-2309	144	299	1	-115	16.94	17.00	9.7
(12+13)-I-4	0.6	89	-616	-2462	330	-350	-157	177	19.49	20.10	8.2
(12+13)-I-4	0.6	90	-488	-2488	113	-376	-127	167	19.54	19.83	8.3
(12+13)-III-3	0.6	91	-937	-2414	128	-473	-204	157	21.29	22.74	7.3
(12+13)-III-3	0.6	92	-758	-2652	645	-512	-214	130	21.35	23.33	7.1
(12+13)-I-4	0.6	93	-464	-2562	184	-475	-170	120	20.72	21.07	7.9
(12+13)-I-4	0.6	94	-660	-2298	-40	-543	-221	102	22.23	22.91	7.2

Massimo (P34):57.07 [kg/cmq]

Muro : 56 Nodi :[29 - 32 - 58 - 45]fyd=fmk/ $\gamma M=165.52$ [kg/cmq]

Pann=8 Spess.= 15 cm Criterio: Legno_Tenso-Pressoflessione Materiale: Legno_isotropo

Verificato

Comb.	Kmod	Pann.	Nx	Ny	Nxy	Mx	My	Mxy	σ_{id}/Km_{od}	$\sigma_{id+Km_{od}}$	Cs
			kg	kg	kg	kg*m	kg*m	kg*m	kg/cmq	kg/cmq	
(12+13)-II-4	0.6	1	-4160	-18402	-6950	21	92	-13	25.48	23.11	6.5
(12+13)-II-2	0.6	2	-430	-11824	-5576	-42	-58	100	21.66	18.09	7.6
(12+13)-II-2	0.6	3	-281	-6514	-5041	-79	92	111	22.56	19.67	7.3
(12+13)-I-2	0.6	4	-1079	-607	-706	-25	376	102	19.61	18.45	8.4
(12+13)-II-1	0.6	5	127	-1362	6587	3	-62	39	12.93	16.33	10
(12+13)-II-1	0.6	6	397	-307	8332	49	5	79	19.36	22.32	7.4
(12+13)-II-4	0.6	7	-1030	-5712	-9040	-195	-60	-52	23.09	23.40	7.1
(12+13)-II-2	0.6	8	-9371	-3721	-7809	-411	-111	-14	20.06	30.05	5.5

Massimo (P8):30.05 [kg/cmq]

Muro : 57 Nodi :[28 - 23 - 54 - 0 - 0 - 0 - 0 - 0 - 60]fyd=fmk/ $\gamma M=165.52$ [kg/cmq]

Pann=45 Spess.= 15 cm Criterio: Legno_Tenso-Pressoflessione Materiale: Legno_isotropo

Verificato

Comb.	Kmod	Pann.	Nx	Ny	Nxy	Mx	My	Mxy	σ_{id}/Km_{od}	$\sigma_{id+Km_{od}}$	Cs
			kg	kg	kg	kg*m	kg*m	kg*m	kg/cmq	kg/cmq	
2	0.6	1	-1043	-2157	-758	336	1268	-169	53.85	50.68	3.1
2	0.6	2	-947	-2658	249	411	1768	-549	85.26	80.35	1.9
2	0.6	3	-830	-2355	-909	462	1539	91	63.71	58.75	2.6
2	0.6	4	-530	-2310	386	464	1737	-423	78.93	74.09	2.1
2	0.6	5	-406	-2612	-864	466	1677	229	71.97	65.93	2.3
2	0.6	6	-58	-2214	379	442	1732	-296	75.39	70.44	2.2
2	0.6	7	-109	-2752	-925	424	1749	390	79.79	72.99	2.1
2	0.6	8	397	-1827	376	396	1539	-164	65.00	60.62	2.5
2	0.6	9	334	-3202	-764	341	1901	519	91.58	83.77	1.8
2	0.6	10	443	-1864	231	302	1247	141	53.28	49.26	3.1
2	0.6	11	689	-3464	272	296	1351	557	72.37	66.73	2.3
2	0.6	12	1070	-4650	495	198	396	264	27.89	27.86	5.9
(12+13)-III-2	0.6	13	452	-1125	-1043	-193	-24	-73	10.04	10.49	16
(12+13)-III-4	0.6	14	-17	-1996	-284	69	20	-63	6.27	6.65	25
2	0.6	15	34	-2494	-384	-6	-30	-26	2.99	4.83	34
2	0.6	16	-27	-2334	-372	9	-62	-15	1.46	5.86	28
2	0.6	17	-171	-1902	-193	6	-61	24	2.62	5.08	33
2	0.6	18	-182	-1437	-5	-17	-28	24	2.48	3.09	54

Comb.	Kmod	Pann.	Nx	<th>Nxy</th> <th>Mx</th> <th>My</th> <th>Mxy</th> <th>σ_{id}/Km_{od}</th> <th>$\sigma_{id+Km_{mod}}$</th> <th>Cs</th>	Nxy	Mx	My	Mxy	σ_{id}/Km_{od}	$\sigma_{id+Km_{mod}}$	Cs
2	0.6	19	-47	-1360	4	-48	-26	68	5.74	5.79	29
(12+13)-VII-3	0.6	20	236	-680	349	-163	-39	84	9.14	9.40	18
(12+13)-VII-2	0.6	21	-457	-313	-238	471	245	-224	25.01	25.00	6.6
2	0.6	22	-412	-2502	69	280	1171	-578	66.74	62.82	2.5
2	0.6	23	125	-2413	-332	119	12	-26	4.72	7.27	23
2	0.6	24	101	-1947	-92	95	4	41	4.88	6.34	26
2	0.6	25	289	-2169	-38	216	156	25	9.51	8.77	17
(12+13)-VII-2	0.6	26	21	-1134	-15	35	184	-89	11.11	9.32	15
2	0.6	27	269	-2368	-191	333	504	-50	22.04	18.38	7.5
2	0.6	28	-324	-2401	-470	432	1266	-198	53.90	49.75	3.1
2	0.6	29	127	-2475	-331	404	898	-142	38.52	34.20	4.3
2	0.6	30	-63	-2465	-340	324	997	-205	44.40	40.10	3.7
2	0.6	31	296	-2313	-164	293	690	-251	34.74	31.30	4.8
2	0.6	32	152	-2525	-367	388	669	-14	28.21	23.73	5.9
2	0.6	33	18	-2503	-387	332	840	53	35.49	30.23	4.7
2	0.6	34	133	-2755	-345	207	358	30	16.71	12.45	9.9
2	0.6	35	257	-2537	-325	263	232	-18	12.39	10.68	13
2	0.6	36	47	-2872	-265	300	859	258	41.87	36.19	4.0
2	0.6	37	-44	-2225	-218	390	1363	148	57.63	52.83	2.9
2	0.6	38	254	-2530	-225	303	1182	180	52.08	46.46	3.2
2	0.6	39	50	-2426	-382	381	1097	142	46.91	41.62	3.5
2	0.6	40	164	-2543	-454	385	1418	103	59.88	54.15	2.8
2	0.6	41	51	-2543	-403	424	1193	38	49.38	43.98	3.4
2	0.6	42	-101	-2495	-207	435	1356	17	55.95	50.71	3.0
2	0.6	43	-235	-2496	-250	425	1334	-141	56.02	51.16	3.0
2	0.6	44	-134	-2448	-440	446	1323	-57	54.46	49.55	3.0
2	0.6	45	-26	-2503	-402	404	1035	-86	43.12	38.33	3.8

Massimo (P9):91.58 [kg/cmq]

Muro : 58 Nodi :[62 - 61 - 64 - 0 - 0 - 0 - 0 - 0 - 0 - 0 - 69]fyd=fmk/ $\gamma M=165.52$ [kg/cmq]

Pann=60 Spess.= 15 cm Criterio: Legno_Tenso-Pressoflessione Materiale: Legno_isotropo

Verificato

Comb.	Kmod	Pann.	Nx	Ny	Nxy	Mx	My	Mxy	σ_{id}/Km_{od}	$\sigma_{id+Km_{mod}}$	Cs
			kg	kg	kg	kg*m	kg*m	kg*m	kg/cmq	kg/cmq	
2	0.6	1	-2739	-3062	1707	703	2234	306	92.81	89.49	1.8
2	0.6	2	-3031	-2235	-1760	697	2449	-329	101.14	99.80	1.6
2	0.6	3	-3092	-3328	2043	688	2157	371	91.05	88.24	1.8
2	0.6	4	-3337	-1542	-2025	726	2693	-305	109.76	110.06	1.5
2	0.6	5	-3266	-3232	2734	711	2172	512	94.37	93.91	1.8
2	0.6	6	-3331	-2405	-2186	742	2518	-264	102.61	100.95	1.6
2	0.6	7	-3260	-2640	2621	707	2310	598	101.76	102.72	1.6
2	0.6	8	-3190	-2470	-2058	723	2473	-155	100.06	97.44	1.7
2	0.6	9	-3409	-2546	3105	709	2432	724	110.06	112.89	1.5
2	0.6	10	-3364	-3308	-1750	699	2175	-15	88.26	82.89	1.9
2	0.6	11	-3863	-2435	2833	654	2411	837	114.01	117.57	1.4
2	0.6	12	-4007	-2941	-409	584	2045	295	86.48	82.08	1.9
2	0.6	13	-2525	110	1237	482	1833	974	102.46	107.07	1.5
(12+13)-V-4	0.6	14	1513	1460	-432	670	342	449	42.94	43.36	3.8
(12+13)-V-1	0.6	15	410	-1249	-1493	-389	-59	-217	22.05	24.81	6.7
(12+13)-V-1	0.6	16	428	-1801	-1305	-295	-103	-251	21.83	24.43	6.8
(12+13)-VI-1	0.6	17	2843	-2540	-1911	-436	-139	-130	21.97	19.99	7.5
(12+13)-V-2	0.6	18	-432	-26	-550	255	-37	-169	17.43	18.35	9.0
(12+13)-V-2	0.6	19	-447	165	221	227	-161	-122	18.43	17.59	9.0
(12+13)-I-3	0.6	20	1383	-3053	1199	-115	-472	42	19.09	23.46	7.1
2	0.6	21	394	-3214	1017	165	464	-70	22.83	18.63	7.3
2	0.6	22	-850	-2756	465	474	1240	-59	51.17	45.62	3.2
2	0.6	23	-2235	-2869	319	638	1975	76	80.28	75.34	2.1
2	0.6	24	-2477	-1543	-637	707	2512	-254	102.35	100.90	1.6
2	0.6	25	-786	-1813	-8	503	843	-23	34.42	30.99	4.8
(12+13)-V-2	0.6	26	-379	-457	320	376	121	-168	20.31	19.12	8.2
2	0.6	27	-406	-1975	612	354	648	-68	27.60	23.47	6.0
2	0.6	28	-1425	-2574	493	548	1466	11	59.44	54.61	2.8

Comb.	Kmod	Pann.	Nx	<th>Nxy</th> <th>Mx</th> <th>My</th> <th>Mxy</th> <th>σ_{id}/Km_{od}</th> <th>$\sigma_{id+Km_{od}}$</th> <th>Cs</th>	Nxy	Mx	My	Mxy	σ_{id}/Km_{od}	$\sigma_{id+Km_{od}}$	Cs
2	0.6	29	-1335	-2752	582	482	1383	-2	56.66	51.42	2.9
2	0.6	30	-954	-2452	547	490	1232	-40	50.31	45.43	3.3
2	0.6	31	-1739	-2687	468	564	1713	-47	69.82	64.82	2.4
2	0.6	32	-2186	-2633	422	661	2052	-21	82.97	78.37	2.0
2	0.6	33	-1225	-2285	235	548	1255	1	50.61	46.24	3.3
2	0.6	34	-2390	-3017	330	693	2104	49	85.27	80.01	1.9
2	0.6	35	-2597	-2457	17	644	2078	5	83.90	79.93	2.0
2	0.6	36	-2113	-2530	231	614	1791	41	72.33	67.93	2.3
2	0.6	37	-1696	-2481	367	581	1577	18	63.68	59.14	2.6
2	0.6	38	-2056	-2525	341	624	1825	6	73.66	69.21	2.2
2	0.6	39	-841	-2260	-773	536	986	154	42.32	37.32	3.9
2	0.6	40	-333	-1964	-1263	433	601	10	25.74	22.30	6.4
(12+13)-V-4	0.6	41	-430	-430	-765	279	392	313	30.15	27.18	5.5
2	0.6	42	-876	-2002	-536	530	918	64	37.86	33.80	4.4
(12+13)-V-2	0.6	43	-158	-751	-584	292	89	-209	18.88	20.73	8.0
2	0.6	44	-963	-3014	-669	392	1162	617	68.75	62.79	2.4
2	0.6	45	-698	-2574	-718	509	1237	413	60.34	54.59	2.7
2	0.6	46	-2351	-2397	57	591	1846	531	85.02	81.65	1.9
2	0.6	47	-1633	-2577	-457	619	1463	292	63.42	58.25	2.6
2	0.6	48	-2938	-2280	789	674	2197	436	93.99	91.90	1.8
2	0.6	49	-2278	-1962	-12	672	1932	365	82.09	79.06	2.0
2	0.6	50	-2327	-3671	-565	599	1874	420	83.95	76.95	2.0
2	0.6	51	-2808	-2212	-856	694	2114	295	88.14	83.95	1.9
2	0.6	52	-2090	-2457	72	655	1758	101	71.02	66.69	2.3
2	0.6	53	-1957	-2440	-131	624	1614	179	66.38	61.93	2.5
2	0.6	54	-1526	-2276	-108	596	1374	84	55.59	51.27	3.0
2	0.6	55	-2636	-2767	534	714	2117	283	87.78	83.74	1.9
2	0.6	56	-2595	-1956	-91	688	1980	210	80.62	77.53	2.1
2	0.6	57	-3225	-2107	-818	669	2187	148	88.73	85.44	1.9
2	0.6	58	-2513	-3413	781	729	2162	191	88.72	83.20	1.9
2	0.6	59	-2513	-2766	205	671	1990	133	80.92	76.30	2.0
2	0.6	60	-3349	-1612	-110	669	2206	101	88.39	86.58	1.9

Massimo (P11):117.57 [kg/cmq]

Muro : 59 Nodi :[61 - 58 - 65 - 0 - 0 - 0 - 0 - 0 - 64]fyd=fmk/ $\gamma M=165.52$ [kg/cmq]

Pann=40 Spess.= 15 cm Criterio: Legno_Tenso-Pressoflessione Materiale: Legno_isotropo

Verificato

Comb.	Kmod	Pann.	Nx	Ny	Nxy	Mx	My	Mxy	σ_{id}/Km_{od}	$\sigma_{id+Km_{od}}$	Cs	
			kg	kg	kg	kg*m	kg*m	kg*m	kg/cmq	kg/cmq		
2	0.6	1	-3324	-4735	1723	646	2608	-46	108.86	100.49	1.5	
2	0.6	2	-1988	-2045	-2238	672	2574	-736	116.78	118.12	1.4	
2	0.6	3	-961	-3139	2197	744	2285	73	92.84	87.19	1.8	
2	0.6	4	-1336	-1623	-2587	750	2633	-663	115.38	117.27	1.4	
2	0.6	5	-1338	-2838	2166	789	2259	234	92.02	88.39	1.8	
2	0.6	6	-1816	-3559	-2825	757	2271	-592	100.73	99.72	1.6	
2	0.6	7	-2049	-1907	1816	696	2618	177	106.34	104.36	1.6	
2	0.6	8	-1686	-3276	-1516	713	2145	-462	93.11	89.70	1.8	
2	0.6	9	-1662	-1519	684	708	2474	47	99.31	97.05	1.7	
2	0.6	10	-1902	-2772	97	644	1956	-233	81.32	76.35	2.0	
2	0.6	11	-642	-2815	462	464	1154	-46	47.72	42.02	3.5	
(12+13)-III-1	0.6	12	680	-2245	-3	37	354	-90	19.09	14.04	8.7	
(12+13)-V-1	0.6	13	1860	-2844	-1992	-267	-573	73	21.83	25.27	6.6	
(12+13)-I-3	0.6	14	1688	-268	-1225	-83	-232	165	17.38	15.47	9.5	
(12+13)-VI-2	0.6	15	-7542	-941	2875	-226	-116	136	16.52	22.82	7.3	
(12+13)-VI-2	0.6	16	-7871	-5798	4672	-478	-151	75	16.09	29.94	5.5	
(12+13)-I-4	0.6	17	-1047	-2714	999	-722	-231	186	30.63	33.22	5.0	
(12+13)-I-4	0.6	18	-1153	-2112	260	-1063	-272	180	44.05	45.51	3.6	
(12+13)-III-3	0.6	19	-6306	-262	556	-1099	-44	-82	50.36	54.99	3.0	
	2	0.6	20	-1636	294	-298	502	2552	-974	127.20	129.37	1.3
(12+13)-I-3	0.6	21	166	-1022	-1179	43	42	229	20.03	17.45	8.3	
(12+13)-V-2	0.6	22	-1449	-1342	1077	-174	-63	257	20.62	23.34	7.1	
(12+13)-I-1	0.6	23	522	-777	575	627	543	-299	35.61	34.17	4.6	

Comb.	Kmod	Pann.	Nx	<th>Nxy</th> <th>Mx</th> <th>My</th> <th>Mxy</th> <th>σ_{id}/Km_{od}</th> <th>$\sigma_{id+Km_{od}}$</th> <th>Cs</th>	Nxy	Mx	My	Mxy	σ_{id}/Km_{od}	$\sigma_{id+Km_{od}}$	Cs
(12+13)-I-4	0.6	24	-1156	-1780	888	-610	-56	160	28.48	29.95	5.5
(12+13)-I-1	0.6	25	385	-504	721	487	370	-199	25.63	24.13	6.5
2	0.6	26	126	-2688	1314	421	1006	-323	49.83	44.34	3.3
2	0.6	27	82	-3720	1226	392	1367	-509	71.47	62.24	2.3
2	0.6	28	-886	-2226	463	589	1278	-155	52.97	48.37	3.1
2	0.6	29	-692	-2199	639	428	829	-22	34.17	29.83	4.8
2	0.6	30	-944	-2507	390	500	1277	-129	53.05	47.97	3.1
2	0.6	31	-655	-2312	848	399	816	-74	34.44	29.46	4.8
2	0.6	32	-1515	-2723	279	664	1924	-172	79.00	73.80	2.1
2	0.6	33	-662	-2378	674	535	1202	-237	52.47	47.20	3.2
2	0.6	34	-1418	-1926	69	633	2078	-227	85.55	82.17	1.9
2	0.6	35	-1248	-2684	574	636	1689	-254	71.28	65.72	2.3
2	0.6	36	-1214	-1622	97	683	2198	-346	92.02	89.18	1.8
2	0.6	37	-1812	-4663	385	626	1782	-263	77.03	67.94	2.1
2	0.6	38	-1273	-2578	-65	587	1918	-441	85.10	80.78	1.9
2	0.6	39	-957	-2918	900	689	1979	-372	85.76	79.19	1.9
2	0.6	40	-717	-2638	746	534	1495	-370	67.88	61.92	2.4

Massimo (P20):129.37 [kg/cmq]

Muro : 60 Nodi :[58 - 45 - 70 - 0 - 0 - 0 - 0 - 65]fyd=fmk/ $\gamma M=165.52$ [kg/cmq]

Pann=27 Spess.= 15 cm Criterio: Legno_Tenso-Pressoflessione Materiale: Legno_isotropo

Verificato

Comb.	Kmod	Pann.	Nx	Ny	Nxy	Mx	My	Mxy	σ_{id}/Km_{od}	$\sigma_{id+Km_{od}}$	Cs
			kg	kg	kg	kg*m	kg*m	kg*m	kg/cmq	kg/cmq	
2	0.6	1	-824	-5036	1581	496	1745	525	83.26	77.43	2.0
2	0.6	2	-595	-1968	-1663	687	2570	-110	104.49	101.15	1.6
2	0.6	3	-16	-2432	2797	716	2456	670	109.98	110.45	1.5
2	0.6	4	80	-2653	-1916	722	2478	-20	100.98	95.41	1.6
2	0.6	5	-1393	-2261	3006	643	2679	735	120.86	122.70	1.3
2	0.6	6	-2548	-6042	-673	535	1971	90	84.64	72.95	2.0
2	0.6	7	-1136	-768	10	515	2507	873	122.42	121.72	1.4
(12+13)-I-3	0.6	8	-6665	-812	-134	-1492	-148	-44	59.64	70.37	2.4
(12+13)-I-3	0.6	9	-1518	-1779	776	-1326	-377	-291	56.77	57.70	2.9
(12+13)-I-3	0.6	10	547	-1817	969	-833	-259	-299	42.07	38.28	3.9
(12+13)-I-3	0.6	11	2797	-2375	247	-629	-247	-189	31.64	25.74	5.2
(12+13)-I-4	0.6	12	31	381	-277	-25	-239	-328	26.86	27.55	6.0
(12+13)-I-4	0.6	13	-30	72	-501	-86	-116	-383	29.03	30.79	5.4
2	0.6	14	41	-2370	-107	65	917	48	42.22	36.91	3.9
2	0.6	15	-1143	-2701	-100	229	1811	362	83.24	78.46	2.0
2	0.6	16	-1183	-1568	-272	463	2407	153	100.35	97.70	1.6
(12+13)-I-2	0.6	17	658	-1138	-1466	395	397	288	30.78	26.04	5.4
2	0.6	18	-672	-2527	-686	584	2096	302	89.24	83.68	1.9
2	0.6	19	-267	-2357	290	603	1946	375	84.04	79.88	2.0
2	0.6	20	-68	-2623	-325	460	1330	289	59.31	53.80	2.8
2	0.6	21	179	-2595	-374	304	1022	197	46.06	40.30	3.6
2	0.6	22	-321	-2725	-293	450	1695	310	74.53	68.81	2.2
2	0.6	23	-139	-2620	-440	595	1882	411	83.39	77.70	2.0
2	0.6	24	-171	-3178	710	588	2048	546	93.78	89.10	1.8
2	0.6	25	586	-3134	-474	423	1211	386	59.26	58.57	2.8
(12+13)-I-2	0.6	26	2299	-861	-1253	629	503	429	43.02	40.88	3.8
2	0.6	27	227	-2897	-289	465	1244	339	57.91	52.09	2.9

Massimo (P5):122.70 [kg/cmq]

Muro : 61 Nodi :[46 - 0 - 0 - 0 - 47 - 67 - 0 - 0 - 0 - 0 - 66]fyd=fmk/ $\gamma M=165.52$ [kg/cmq]

Pann=46 Spess.= 15 cm Criterio: Legno_Tenso-Pressoflessione Materiale: Legno_isotropo

Verificato

Comb.	Kmod	Pann.	Nx	Ny	Nxy	Mx	My	Mxy	σ_{id}/Km_{od}	$\sigma_{id+Km_{od}}$	Cs
			kg	kg	kg	kg*m	kg*m	kg*m	kg/cmq	kg/cmq	
2	0.6	1	458	-2499	-1424	464	2293	18	96.29	90.43	1.7

Comb.	Kmod	Pann.	Nx	<th>Nxy</th> <th>Mx</th> <th>My</th> <th>Mxy</th> <th>σ_{id}/Km_{od}</th> <th>$\sigma_{id+Km_{od}}$</th> <th>Cs</th>	Nxy	Mx	My	Mxy	σ_{id}/Km_{od}	$\sigma_{id+Km_{od}}$	Cs
2	0.6	2	85	-3226	1381	626	2470	-694	116.70	108.01	1.4
2	0.6	3	-373	-2301	-1660	734	2191	115	88.99	83.69	1.9
2	0.6	4	-360	-2340	1800	720	2195	-692	105.12	97.42	1.6
2	0.6	5	-98	-3172	-1295	630	2428	75	100.73	93.68	1.6
2	0.6	6	-12	-1678	1187	499	1875	-601	90.66	85.20	1.8
2	0.6	7	258	-3459	-475	390	2238	-107	96.18	88.59	1.7
2	0.6	8	67	-2547	273	162	1691	-347	79.48	73.77	2.1
2	0.6	9	-7	-2725	55	63	786	23	36.68	32.67	4.5
(12+13)-III-2	0.6	10	1	-1882	42	13	-76	420	32.27	32.90	5.0
(12+13)-I-2	0.6	11	-5	-2213	96	73	167	299	24.45	23.63	6.8
(12+13)-I-2	0.6	12	-31	-2277	134	-6	141	294	24.09	23.22	6.9
(12+13)-I-2	0.6	13	5	-2319	129	-25	106	279	22.64	21.91	7.3
(12+13)-III-2	0.6	14	20	-2208	157	-137	101	267	23.21	22.12	7.1
(12+13)-I-1	0.6	15	291	-2039	85	-282	-147	247	22.00	22.06	7.5
(12+13)-I-1	0.6	16	382	-2012	44	-410	-136	208	23.33	22.28	7.1
(12+13)-I-1	0.6	17	595	-1997	9	-522	-153	177	25.82	23.93	6.4
(12+13)-I-1	0.6	18	553	-1902	-157	-746	-232	104	31.63	29.48	5.2
(12+13)-I-1	0.6	19	69	-1542	-178	-1045	-357	210	44.50	43.54	3.7
(12+13)-I-1	0.6	20	-32	-1133	-65	-1397	-414	262	59.07	58.51	2.8
(12+13)-I-1	0.6	21	749	146	435	-1610	-213	67	68.25	66.85	2.4
2	0.6	22	1352	-3912	2150	291	2241	-905	123.27	110.46	1.3
(12+13)-III-2	0.6	23	84	-1917	54	-168	-132	347	27.39	27.89	5.9
(12+13)-III-2	0.6	24	63	-2043	78	-73	-134	347	26.78	27.79	6.0
(12+13)-III-2	0.6	25	78	-2044	53	-187	-169	337	26.86	27.58	6.0
(12+13)-III-2	0.6	26	86	-2149	34	-154	-184	309	24.55	25.56	6.5
(12+13)-I-2	0.6	27	68	-2251	90	-58	-229	322	25.60	27.52	6.0
(12+13)-I-1	0.6	28	260	-1923	-77	-558	-241	237	28.73	27.89	5.8
(12+13)-I-1	0.6	29	258	-1885	55	-358	-205	269	24.94	25.04	6.6
(12+13)-I-1	0.6	30	152	-1779	-55	-396	-230	294	27.46	27.34	6.0
(12+13)-I-1	0.6	31	210	-1656	-134	-615	-261	276	32.40	31.50	5.1
(12+13)-I-1	0.6	32	119	-1663	-126	-508	-251	318	31.67	31.14	5.2
(12+13)-I-1	0.6	33	-83	-1521	-67	-493	-187	308	30.68	30.30	5.4
(12+13)-I-1	0.6	34	-94	-1395	-14	-733	-165	312	38.47	37.86	4.3
(12+13)-III-3	0.6	35	204	-859	380	530	550	-424	41.38	39.75	4.0
2	0.6	36	51	-2516	-342	605	1792	-349	77.39	72.92	2.1
2	0.6	37	327	-2560	150	474	1260	-315	57.20	52.12	2.9
2	0.6	38	446	-2788	242	437	1499	-333	67.67	61.63	2.4
(12+13)-I-4	0.6	39	827	-860	847	924	791	-555	58.60	56.44	2.8
(12+13)-III-3	0.6	40	150	-926	261	404	607	-426	41.37	39.67	4.0
(12+13)-III-3	0.6	41	62	-939	205	243	577	-387	38.11	36.34	4.3
(12+13)-III-3	0.6	42	-41	-856	277	299	426	-307	29.85	28.16	5.5
2	0.6	43	17	-2484	-41	424	1623	-296	71.21	66.21	2.3
2	0.6	44	-23	-2456	324	607	1811	-353	78.61	73.36	2.1
2	0.6	45	160	-2846	-135	506	1669	-336	73.55	68.05	2.3
2	0.6	46	154	-2602	82	487	1352	-291	59.87	54.73	2.8

Massimo (P22):123.27 [kg/cmq]

Muro : 62 Nodi :[47 - 0 - 0 - 0 - 0 - 0 - 0 - 48 - 68 - 0 - 0 - 0 - 0 - 0 - 0 - 67]fyd=fmk/ $\gamma M=165.52$ [kg/cmq]

Pann=48 Spess.= 15 cm Criterio: Legno_Tenso-Pressoflessione Materiale: Legno_isotropo

Verificato

Comb.	Kmod	Pann.	Nx	Ny	Nxy	Mx	My	Mxy	σ_{id}/Km_{od}	$\sigma_{id+Km_{od}}$	Cs
			kg	kg	kg	kg*m	kg*m	kg*m	kg/cmq	kg/cmq	
(12+13)-V-3	0.6	1	-382	-854	-412	-588	-886	-39	34.00	35.72	4.6
(12+13)-I-4	0.6	2	203	-1165	-524	60	372	72	17.98	15.43	9.2
2	0.6	3	-321	-2633	-84	394	1022	43	42.48	37.16	3.9
2	0.6	4	-625	-2597	-435	626	1896	205	78.73	73.30	2.1
(12+13)-V-4	0.6	5	-126	-1801	-741	-227	-685	-106	26.61	30.27	5.5
(12+13)-I-3	0.6	6	-15	-1068	-195	74	357	93	17.37	15.39	9.5
2	0.6	7	-285	-2623	-234	396	989	24	41.04	35.73	4.0
2	0.6	8	-604	-2605	273	627	1891	-34	76.82	71.57	2.2
(12+13)-V-4	0.6	9	-151	-1898	38	-102	-554	-113	22.78	26.18	6.3
(12+13)-I-2	0.6	10	-105	-1864	-112	46	-91	-201	16.64	17.28	9.6

Comb.	Kmod	Pann.	Nx	<th>Nxy</th> <th>Mx</th> <th>My</th> <th>Mxy</th> <th>σ_{id}/Km_{od}</th> <th>σ_{id}/K_{mod}</th> <th>Cs</th>	Nxy	Mx	My	Mxy	σ_{id}/Km_{od}	σ_{id}/K_{mod}	Cs
2	0.6	11	-249	-2629	-181	403	941	32	39.05	33.78	4.2
2	0.6	12	-576	-2605	-474	631	1877	252	78.79	73.27	2.1
(12+13)-V-4	0.6	13	-163	-1933	42	-50	-451	-118	19.96	22.96	7.2
(12+13)-III-2	0.6	14	-134	-1888	-12	41	-95	-217	18.05	18.28	9.1
2	0.6	15	-203	-2636	-320	413	880	21	36.55	31.35	4.5
2	0.6	16	-539	-2607	238	639	1853	21	75.09	69.87	2.2
(12+13)-VII-4	0.6	17	-196	-1926	114	-35	-374	-132	18.00	20.51	8.1
(12+13)-V-3	0.6	18	-294	-1666	338	44	-58	-229	18.49	18.33	9.0
2	0.6	19	-153	-2632	-260	415	805	37	33.70	28.61	4.9
2	0.6	20	-493	-2611	-508	643	1817	314	77.75	72.14	2.1
(12+13)-V-4	0.6	21	-145	-1917	42	-68	-310	-140	16.03	18.08	9.2
(12+13)-V-3	0.6	22	-81	-1660	343	25	-60	-239	19.15	18.55	8.6
2	0.6	23	-104	-2607	-407	399	714	29	30.13	25.70	5.5
2	0.6	24	-434	-2621	206	645	1769	87	71.84	66.66	2.3
(12+13)-V-4	0.6	25	-134	-1894	47	-97	-255	-151	15.16	16.57	10.0
(12+13)-V-3	0.6	26	-335	-1631	323	-11	-65	-244	19.46	18.89	8.5
(12+13)-III-3	0.6	27	54	-1076	-480	453	471	226	28.00	25.89	5.9
2	0.6	28	-338	-2632	-543	621	1700	383	75.34	69.61	2.2
(12+13)-I-2	0.6	29	-138	-2043	36	-217	-217	-143	14.28	15.50	11
(12+13)-I-2	0.6	30	-103	-1805	11	-235	-156	-227	20.06	20.07	8.2
(12+13)-III-3	0.6	31	66	-1008	-608	496	413	210	27.12	25.11	6.1
2	0.6	32	-175	-2645	153	573	1605	158	66.39	61.17	2.5
(12+13)-I-2	0.6	33	-130	-2030	89	-277	-184	-139	15.16	15.66	11
(12+13)-I-2	0.6	34	-122	-1747	41	-368	-182	-220	22.14	22.15	7.5
(12+13)-III-3	0.6	35	48	-896	-644	531	345	196	26.51	24.84	6.2
2	0.6	36	147	-2626	-652	453	1464	462	70.84	64.73	2.3
(12+13)-I-2	0.6	37	-102	-2018	164	-358	-162	-123	17.05	16.66	9.7
(12+13)-I-2	0.6	38	119	-1704	123	-524	-210	-205	26.18	25.36	6.3
(12+13)-I-2	0.6	39	-105	-1337	-66	-591	-142	-200	28.53	28.15	5.8
2	0.6	40	716	-2513	-130	263	1283	214	57.66	51.80	2.9
(12+13)-II-2	0.6	41	516	-1810	-439	-492	-174	-59	20.55	19.24	8.1
(12+13)-I-2	0.6	42	104	-1697	201	-686	-235	-181	30.88	29.73	5.4
(12+13)-I-2	0.6	43	-168	-1126	98	-907	-273	-195	39.04	38.71	4.2
2	0.6	44	821	-1426	-1935	15	890	680	69.63	61.24	2.4
(12+13)-II-2	0.6	45	447	-1384	-367	-614	-193	1	25.05	23.46	6.6
(12+13)-I-2	0.6	46	167	-1724	304	-816	-255	-147	34.85	33.37	4.7
(12+13)-I-2	0.6	47	-202	-1057	332	-1366	-419	-177	55.76	55.36	3.0
(12+13)-I-2	0.6	48	537	315	-429	-1368	-214	-0	57.13	56.21	2.9

Massimo (P12):78.79 [kg/cmq]

Muro : 63 Nodi :[48 - 49 - 63 - 0 - 0 - 0 - 0 - 0 - 0 - 68]fyd=fmk/ $\gamma M=165.52$ [kg/cmq]

Pann=60 Spess.= 15 cm Criterio: Legno_Tenso-Pressoflessione Materiale: Legno_isotropo

Verificato

Comb.	Kmod	Pann.	Nx	Ny	Nxy	Mx	My	Mxy	σ_{id}/Km_{od}	σ_{id}/K_{mod}	Cs
			kg	kg	kg	kg*m	kg*m	kg*m	kg/cmq	kg/cmq	
2	0.6	1	-1293	-2155	-1299	482	1874	-220	78.18	75.51	2.1
2	0.6	2	-1319	-2818	1502	589	2253	-831	114.18	106.53	1.4
2	0.6	3	-1318	-1937	-1672	645	1972	49	79.45	75.64	2.1
2	0.6	4	-1322	-3445	1760	717	2603	-697	121.08	112.07	1.4
2	0.6	5	-1253	-2064	-1970	720	2019	264	84.20	78.60	2.0
2	0.6	6	-1157	-2693	1988	733	2401	-634	110.60	102.52	1.5
2	0.6	7	-1031	-2468	-1821	695	2174	325	92.36	85.85	1.8
2	0.6	8	-999	-2796	1887	706	2342	-549	105.69	97.73	1.6
2	0.6	9	-929	-2662	-2008	702	2310	420	100.49	93.01	1.6
2	0.6	10	-906	-1953	1842	691	2027	-472	90.44	84.10	1.8
2	0.6	11	-870	-2844	-1609	678	2351	379	101.26	94.06	1.6
2	0.6	12	-1016	-2167	1490	714	2115	-378	90.69	84.90	1.8
2	0.6	13	-734	-3633	-836	708	2514	266	105.78	97.92	1.6
2	0.6	14	-755	-2293	288	598	1854	-96	75.51	70.92	2.2
2	0.6	15	-347	-2651	-78	443	1139	58	47.11	41.77	3.5
(12+13)-I-4	0.6	16	208	-1166	-433	-17	391	71	20.21	17.01	8.2
(12+13)-V-4	0.6	17	429	-1546	299	-285	-673	-50	24.84	27.83	5.9

Comb.	Kmod	Pann.	Nx	<th>Nxy</th> <th>Mx</th> <th>My</th> <th>Mxy</th> <th>σ_{id}/Km_{od}</th> <th>σ_{id}/K_{mod}</th> <th>Cs</th>	Nxy	Mx	My	Mxy	σ_{id}/Km_{od}	σ_{id}/K_{mod}	Cs
(12+13)-III-1	0.6	18	-288	-2012	485	232	-286	83	19.06	22.92	7.2
(12+13)-I-2	0.6	19	-184	-1822	159	248	-100	154	17.09	19.40	8.5
(12+13)-VI-3	0.6	20	313	-1958	1232	-459	-190	73	18.70	19.12	8.7
(12+13)-VI-3	0.6	21	553	-1361	601	-503	-163	159	23.48	23.19	7.1
(12+13)-VI-3	0.6	22	677	-658	451	-614	-152	140	27.42	26.40	6.0
(12+13)-V-2	0.6	23	-1874	517	480	769	359	-432	46.47	42.62	3.6
2	0.6	24	-699	-2985	1290	394	1690	-932	102.77	95.03	1.6
2	0.6	25	233	-2688	278	426	563	16	24.71	22.03	6.7
(12+13)-I-2	0.6	26	-157	-1804	238	321	21	207	20.35	21.98	7.5
(12+13)-I-1	0.6	27	342	-1771	581	-21	-17	234	18.21	19.31	8.6
(12+13)-V-2	0.6	28	-153	-855	265	345	428	-348	32.80	31.43	5.0
(12+13)-V-2	0.6	29	48	-455	334	281	283	-309	27.54	26.24	6.0
(12+13)-V-2	0.6	30	24	-913	304	305	344	-255	25.22	23.78	6.6
(12+13)-V-2	0.6	31	-455	-755	263	477	541	-430	40.97	39.34	4.0
2	0.6	32	-162	-2147	-115	372	1068	-528	59.74	56.88	2.8
2	0.6	33	206	-2632	188	472	775	-93	33.27	28.64	5.0
2	0.6	34	-1016	-2260	-340	638	1773	-379	76.78	73.30	2.2
2	0.6	35	-505	-2642	9	509	1568	-465	73.58	68.94	2.2
2	0.6	36	-56	-2538	-28	475	1131	-343	53.26	48.94	3.1
2	0.6	37	-295	-2638	-82	577	1355	-294	59.41	54.72	2.8
2	0.6	38	130	-2556	80	455	928	-217	41.80	37.19	4.0
2	0.6	39	-317	-2732	-3	564	1256	-32	51.20	45.82	3.2
2	0.6	40	-141	-2782	91	476	907	36	37.69	32.46	4.4
2	0.6	41	-413	-2681	8	480	1282	3	52.58	47.17	3.1
2	0.6	42	-61	-2767	87	494	919	-10	38.05	32.86	4.3
(12+13)-III-1	0.6	43	-166	-1899	487	361	11	140	18.82	20.44	8.1
2	0.6	44	-640	-2478	201	664	1970	7	79.64	74.71	2.1
2	0.6	45	-616	-2681	-47	563	1742	5	71.14	65.76	2.3
2	0.6	46	-677	-2944	-155	619	2019	-7	82.58	76.66	2.0
2	0.6	47	-559	-2683	-47	618	1615	-67	65.59	60.28	2.5
2	0.6	48	-796	-2873	-747	675	2155	-17	87.70	82.04	1.9
2	0.6	49	-795	-3030	-151	671	1968	-77	80.23	74.27	2.1
2	0.6	50	-1114	-1758	257	633	1933	-66	77.66	74.38	2.1
2	0.6	51	-756	-2834	493	682	2063	-141	84.58	78.74	2.0
2	0.6	52	-425	-2695	-126	612	1454	-212	61.03	56.02	2.7
2	0.6	53	-521	-2710	-71	638	1577	-144	64.68	59.43	2.6
2	0.6	54	-164	-2752	6	552	1157	-121	48.17	42.91	3.4
2	0.6	55	-1014	-2398	-599	717	2041	-123	82.42	78.11	2.0
2	0.6	56	-740	-3041	-88	667	1857	-183	76.74	70.86	2.2
2	0.6	57	-725	-2948	511	654	2044	-264	85.97	79.77	1.9
2	0.6	58	-1330	-1926	-728	734	1999	-209	80.97	78.07	2.0
2	0.6	59	-791	-2411	-278	664	1787	-254	74.38	70.12	2.2
2	0.6	60	-522	-3362	-4	634	1982	-304	84.63	78.07	2.0

Massimo (P4):121.08 [kg/cmq]

Muro : 64 Nodi :[49 - 0 - 0 - 0 - 0 - 0 - 0 - 0 - 0 - 62 - 69 - 63]fyd=fmk/yM=165.52[kg/cmq]

Pann=78 Spess.= 15 cm Criterio: Legno_Tenso-Pressoflessione Materiale: Legno_isotropo

Verificato

Comb.	Kmod	Pann.	Nx	Ny	Nxy	Mx	My	Mxy	σ_{id}/Km_{od}	σ_{id}/K_{mod}	Cs
			kg	kg	kg	kg*m	kg*m	kg*m	kg/cmq	kg/cmq	
(12+13)-II-4	0.6	1	-56	-141	7	-445	-5	-15	19.72	19.69	8.4
(12+13)-II-2	0.6	2	-195	-154	-68	-424	-4	-41	18.88	19.18	8.6
(12+13)-I-2	0.6	3	726	-206	-75	-299	-44	-13	13.34	11.60	12
(12+13)-V-3	0.6	4	2102	-429	182	-556	-143	72	25.18	20.71	6.6
(12+13)-VI-3	0.6	5	1203	-578	-27	-513	-173	126	23.62	21.09	7.0
(12+13)-VI-3	0.6	6	528	-1068	83	-571	-147	135	25.89	24.40	6.4
(12+13)-VI-3	0.6	7	927	-2128	-167	-755	-177	34	32.31	28.89	5.1
(12+13)-VI-3	0.6	8	524	-511	-190	-425	-14	-0	19.46	17.76	8.5
(12+13)-VI-3	0.6	9	698	-855	519	-288	154	-6	18.80	15.84	8.8
(12+13)-VI-3	0.6	10	287	-418	-192	99	322	-21	13.27	12.35	12
(12+13)-VI-3	0.6	11	647	-697	660	182	437	-25	18.00	16.18	9.2
(12+13)-VI-3	0.6	12	592	-461	-234	500	598	-31	24.86	24.78	6.7

Comb.	Kmod	Pann.	Nx	<th>Nxy</th> <th>Mx</th> <th>My</th> <th>Mxy</th> <th>σ_{id}/Km_{od}</th> <th>σ_{id}/K_{mod}</th> <th>Cs</th>	Nxy	Mx	My	Mxy	σ_{id}/Km_{od}	σ_{id}/K_{mod}	Cs
(12+13)-VI-3	0.6	13	649	-926	621	546	692	-30	28.78	27.68	5.8
(12+13)-VI-3	0.6	14	259	-428	-320	755	801	-31	34.80	34.63	4.8
(12+13)-VI-3	0.6	15	761	-1047	655	759	858	-34	36.74	35.87	4.5
(12+13)-VI-1	0.6	16	-2	-799	-95	851	902	21	39.53	38.55	4.2
(12+13)-II-1	0.6	17	242	-1165	407	842	909	-22	39.68	38.41	4.2
(12+13)-II-1	0.6	18	101	-1152	-720	807	889	19	38.63	37.16	4.3
(12+13)-II-1	0.6	19	151	-1043	332	790	839	13	36.83	35.76	4.5
(12+13)-II-1	0.6	20	-45	-1459	-717	619	746	26	31.97	29.71	5.2
(12+13)-VI-1	0.6	21	-366	-1658	494	540	668	38	28.71	26.27	5.8
(12+13)-VI-1	0.6	22	-413	-2094	-518	302	530	42	22.84	18.68	7.2
(12+13)-VI-1	0.6	23	-863	-2228	225	217	413	22	18.08	13.93	9.2
(12+13)-II-3	0.6	24	-921	-2928	-594	-143	230	8	16.89	12.46	9.8
(12+13)-VI-1	0.6	25	-831	-3136	64	-290	37	-4	15.23	13.01	11
(12+13)-VI-1	0.6	26	574	-4554	-744	-670	-164	-16	29.35	25.46	5.6
(12+13)-VI-1	0.6	27	543	-2685	-859	-515	-145	-144	23.91	23.18	6.9
(12+13)-V-1	0.6	28	1361	-1171	-101	-496	-182	-107	22.46	19.68	7.4
(12+13)-V-1	0.6	29	2331	-681	-566	-525	-123	-73	24.35	19.62	6.8
(12+13)-V-2	0.6	30	1183	-254	55	-313	-45	7	14.43	11.98	11
(12+13)-VI-2	0.6	31	-48	-315	69	-466	-47	33	19.99	19.83	8.3
(12+13)-VI-2	0.6	32	16	-380	186	-519	-117	37	21.27	21.16	7.8
(12+13)-II-4	0.6	33	416	-784	250	-239	-87	81	11.48	11.34	14
(12+13)-II-1	0.6	34	1077	-669	-89	248	-49	-86	15.03	15.50	11
(12+13)-II-4	0.6	35	181	-592	100	-420	-119	64	17.68	17.36	9.4
(12+13)-VI-2	0.6	36	58	-463	237	-601	-240	40	23.55	23.44	7.0
(12+13)-II-1	0.6	37	177	-1206	-344	790	778	7	35.44	34.31	4.7
(12+13)-II-1	0.6	38	162	-1214	-126	758	656	11	32.13	31.29	5.2
(12+13)-II-1	0.6	39	1	-901	-87	743	693	5	32.44	31.55	5.1
(12+13)-II-1	0.6	40	221	-1011	72	794	748	2	34.72	33.97	4.8
(12+13)-II-4	0.6	41	454	-414	244	-697	-424	33	27.46	26.86	6.0
(12+13)-II-3	0.6	42	-573	-2808	-322	-151	89	-77	12.56	10.17	13
(12+13)-VI-1	0.6	43	-484	-2115	-26	132	255	-48	12.39	10.01	13
(12+13)-II-4	0.6	44	395	-804	522	-259	-178	80	11.63	12.42	13
(12+13)-VI-1	0.6	45	506	-2201	-167	-159	-2	-118	12.60	11.01	13
(12+13)-II-4	0.6	46	233	-712	507	-246	-123	93	11.55	12.36	13
(12+13)-II-4	0.6	47	90	-640	489	-468	-202	73	18.83	19.11	8.7
(12+13)-II-1	0.6	48	34	-1288	-251	497	407	-47	21.15	21.02	7.8
(12+13)-II-4	0.6	49	468	-628	511	-508	-298	72	20.56	20.41	8.1
(12+13)-II-4	0.6	50	422	-754	503	-401	-266	62	16.39	16.56	10.0
(12+13)-II-4	0.6	51	460	-633	481	-614	-412	42	24.48	24.23	6.8
(12+13)-II-1	0.6	52	150	-1388	-223	637	607	-26	28.37	27.19	5.8
(12+13)-II-1	0.6	53	-49	-1340	-206	517	513	-22	23.74	22.27	7.0
(12+13)-VI-1	0.6	54	-345	-1880	-67	316	396	-21	17.73	15.85	9.3
(12+13)-II-2	0.6	55	128	-313	-243	-372	-111	-74	15.81	15.74	10
(12+13)-II-3	0.6	56	975	-482	517	188	-49	91	12.96	13.65	12
(12+13)-I-2	0.6	57	575	-660	-588	-243	-90	-30	10.29	9.80	16
(12+13)-II-2	0.6	58	-128	-249	-112	-447	-52	-42	19.02	19.15	8.6
(12+13)-II-2	0.6	59	36	-306	-186	-502	-116	-47	20.61	20.46	8.0
(12+13)-II-2	0.6	60	159	-307	-166	-582	-237	-50	23.02	22.74	7.2
(12+13)-VI-3	0.6	61	358	-1028	318	757	752	-32	34.08	33.26	4.9
(12+13)-VI-3	0.6	62	246	-1028	142	736	640	19	31.12	30.58	5.3
(12+13)-VI-1	0.6	63	22	-771	284	790	742	28	34.50	33.82	4.8
(12+13)-VI-3	0.6	64	135	-473	162	704	667	7	30.66	30.36	5.4
(12+13)-II-4	0.6	65	444	-234	235	-679	-418	-23	26.83	26.06	6.2
(12+13)-II-2	0.6	66	50	-25	-369	-189	-169	-82	9.80	10.65	16
(12+13)-II-2	0.6	67	186	-108	-505	-179	-109	-96	9.61	10.81	15
(12+13)-II-1	0.6	68	454	-623	1	-256	-19	114	14.74	13.48	11
(12+13)-VI-3	0.6	69	417	-457	103	52	210	57	9.97	9.06	17
(12+13)-VI-3	0.6	70	330	-714	131	-262	62	78	15.26	13.88	11
(12+13)-II-2	0.6	71	127	-199	-261	-417	-193	-83	17.22	17.35	9.5
(12+13)-II-2	0.6	72	504	-72	-190	-461	-344	-69	19.47	18.96	8.5
(12+13)-II-2	0.6	73	210	-95	-229	-454	-277	-87	18.85	18.84	8.8
(12+13)-II-2	0.6	74	553	-221	-165	-573	-386	-56	23.25	22.56	7.1
(12+13)-II-2	0.6	75	163	-66	-264	-333	-251	-73	14.41	14.61	11
(12+13)-VI-3	0.6	76	286	-612	234	216	341	40	14.03	13.55	12

Comb.	Kmod	Pann.	Nx	<th>Nxy</th> <th>Mx</th> <th>My</th> <th>Mxy</th> <th>σ_{id}/Km_{od}</th> <th>$\sigma_{id+Km_{od}}$</th> <th>Cs</th>	Nxy	Mx	My	Mxy	σ_{id}/Km_{od}	$\sigma_{id+Km_{od}}$	Cs
(12+13)-VI-3	0.6	77	197	-467	159	438	464	27	20.34	20.04	8.1
(12+13)-VI-3	0.6	78	407	-815	190	579	566	23	25.72	25.37	6.4

Massimo (P17):39.68 [kg/cmq]

Muro : 66 Nodi :[47 - 0 - 0 - 0 - 0 - 0 - 0 - 0 - 58 - 65 - 67]fyd=fmk/ $\gamma M=165.52$ [kg/cmq]

Pann=78 Spess.= 15 cm Criterio: Legno_Tenso-Pressoflessione Materiale: Legno_isotropo

Verificato

Comb.	Kmod	Pann.	Nx	Ny	Nxy	Mx	My	Mxy	σ_{id}/Km_{od}	$\sigma_{id+Km_{od}}$	Cs
			kg	kg	kg	kg*m	kg*m	kg*m	kg/cmq	kg/cmq	
(12+13)-II-1	0.6	1	1225	-47	-291	393	10	-45	17.62	19.08	8.7
(12+13)-II-3	0.6	2	1520	-39	73	368	9	42	16.27	18.16	9.1
(12+13)-I-2	0.6	3	2838	-227	-72	-264	-23	-54	15.06	13.66	11
(12+13)-I-1	0.6	4	4660	-1868	623	-654	-151	117	33.08	26.88	5.0
(12+13)-II-1	0.6	5	2575	-218	-1045	-523	-160	141	26.76	23.45	6.2
(12+13)-II-1	0.6	6	891	-770	-686	-663	-172	123	29.72	26.60	5.6
(12+13)-II-1	0.6	7	445	-1102	-523	-899	-217	21	37.04	35.64	4.5
(12+13)-II-1	0.6	8	325	-533	-633	-461	90	-83	24.08	23.54	6.9
(12+13)-II-1	0.6	9	238	-658	-384	-263	268	-55	21.58	20.19	7.7
(12+13)-II-1	0.6	10	327	-435	-675	157	489	-97	20.69	20.64	8.0
(12+13)-II-1	0.6	11	344	-548	-375	251	597	-41	23.78	22.82	7.0
(12+13)-II-3	0.6	12	142	-291	20	555	783	-76	31.75	31.35	5.2
(12+13)-VI-3	0.6	13	325	-603	-242	604	843	-32	33.90	33.18	4.9
(12+13)-VI-3	0.6	14	381	-426	-608	815	1005	-78	41.56	41.58	4.0
(12+13)-VI-3	0.6	15	332	-640	-227	812	1008	4	41.51	40.83	4.0
(12+13)-VI-1	0.6	16	131	-529	362	907	1076	-13	44.89	44.39	3.7
(12+13)-VI-1	0.6	17	68	-594	200	905	1078	25	44.98	44.31	3.7
(12+13)-II-1	0.6	18	397	-732	-361	880	1065	-15	44.18	43.49	3.7
(12+13)-II-1	0.6	19	384	-582	32	881	1066	57	44.31	43.81	3.7
(12+13)-II-1	0.6	20	324	-684	-378	720	940	10	38.30	37.44	4.3
(12+13)-II-3	0.6	21	-341	-394	810	653	891	88	36.29	36.07	4.6
(12+13)-II-3	0.6	22	-515	-272	421	437	729	40	28.65	28.21	5.8
(12+13)-II-3	0.6	23	-783	99	692	277	608	102	24.62	25.31	6.5
(12+13)-II-3	0.6	24	-1163	214	343	-110	359	51	18.82	20.52	8.1
(12+13)-II-2	0.6	25	1162	-3600	-1044	471	111	135	21.07	23.32	7.1
(12+13)-II-3	0.6	26	-1035	61	1181	-927	-200	-43	36.83	38.71	4.3
(12+13)-II-3	0.6	27	913	421	888	-601	-149	-143	28.00	25.02	5.9
(12+13)-I-3	0.6	28	3314	-312	1334	-502	-156	-111	25.88	21.34	6.4
(12+13)-I-3	0.6	29	4329	-1982	-795	-629	-144	-125	31.91	26.97	5.2
(12+13)-I-4	0.6	30	3722	-106	215	-282	-23	52	16.61	14.10	10.0
(12+13)-II-1	0.6	31	1181	-546	-775	524	142	-42	20.29	22.79	7.3
(12+13)-II-1	0.6	32	1183	-385	-725	440	46	-45	18.44	20.71	8.0
(12+13)-II-4	0.6	33	1589	-1728	-2	-131	-15	135	13.28	13.19	12
(12+13)-II-1	0.6	34	1202	-553	-923	284	-7	-99	15.87	17.23	9.6
(12+13)-II-1	0.6	35	1421	-632	-192	412	114	-90	18.18	19.53	8.5
(12+13)-II-1	0.6	36	1182	-587	-768	631	325	-37	23.27	25.81	6.4
(12+13)-II-1	0.6	37	469	-734	-216	858	953	15	40.70	40.18	4.1
(12+13)-II-1	0.6	38	943	-714	-129	827	820	-19	36.52	36.81	4.5
(12+13)-II-1	0.6	39	413	-580	-120	827	866	-17	37.83	37.58	4.4
(12+13)-VI-1	0.6	40	178	-573	71	856	905	-25	39.50	39.22	4.2
(12+13)-II-1	0.6	41	1007	-605	-97	747	587	-27	29.83	30.92	5.4
(12+13)-II-2	0.6	42	117	-2991	-1015	238	9	155	16.65	15.94	9.9
(12+13)-II-1	0.6	43	219	152	-197	251	373	-29	14.65	15.04	11
(12+13)-II-2	0.6	44	539	-2293	-689	214	38	173	16.53	15.95	10
(12+13)-II-4	0.6	45	1024	-1819	343	-152	-32	155	13.96	13.53	12
(12+13)-II-1	0.6	46	963	-83	-91	269	263	-83	13.12	14.00	12
(12+13)-II-1	0.6	47	1192	-509	-137	492	255	-82	19.27	21.14	7.8
(12+13)-II-1	0.6	48	1010	-432	-144	586	545	-42	25.06	25.88	6.4
(12+13)-II-1	0.6	49	1123	-388	-110	556	420	-66	22.14	23.67	7.0
(12+13)-II-1	0.6	50	1004	-311	-146	440	402	-56	18.77	19.84	8.3
(12+13)-II-1	0.6	51	1047	-625	-125	675	587	-30	27.92	28.81	5.7
(12+13)-II-1	0.6	52	478	-652	-176	725	782	-15	33.76	33.45	4.9
(12+13)-VI-3	0.6	53	240	-357	29	614	680	-18	29.03	28.92	5.7

Comb.	Kmod	Pann.	Nx	<th>Nxy</th> <th>Mx</th> <th>My</th> <th>Mxy</th> <th>σ_{id}/Km_{od}</th> <th>σ_{id}/K_{mod}</th> <th>Cs</th>	Nxy	Mx	My	Mxy	σ_{id}/Km_{od}	σ_{id}/K_{mod}	Cs
(12+13)-VI-3	0.6	54	214	-207	-25	436	548	-7	22.37	22.36	7.4
(12+13)-II-3	0.6	55	1253	-523	327	217	-13	100	14.28	14.34	12
(12+13)-I-1	0.6	56	2228	-814	-1310	-208	-53	38	12.33	10.68	13
(12+13)-II-3	0.6	57	1103	-572	207	347	105	93	16.37	16.82	9.8
(12+13)-II-3	0.6	58	1233	-361	207	416	44	51	17.76	19.61	8.4
(12+13)-II-3	0.6	59	1039	-495	168	499	140	52	20.06	21.53	7.7
(12+13)-II-3	0.6	60	927	-620	182	602	319	50	22.66	24.45	6.8
(12+13)-VI-3	0.6	61	437	-661	-388	807	914	-24	38.72	38.50	4.3
(12+13)-II-1	0.6	62	546	-643	-658	792	796	-52	35.48	35.65	4.6
(12+13)-VI-1	0.6	63	204	-500	-56	845	896	-26	39.00	38.83	4.2
(12+13)-II-1	0.6	64	435	-453	-631	765	819	-46	35.42	35.53	4.7
(12+13)-II-1	0.6	65	961	-519	-697	716	573	11	28.83	29.71	5.6
(12+13)-II-4	0.6	66	557	-746	629	-4	-40	-141	12.09	11.28	14
(12+13)-II-4	0.6	67	903	-784	522	137	28	-149	13.22	12.54	13
(12+13)-II-4	0.6	68	374	-699	558	319	88	-154	17.70	17.11	9.4
(12+13)-II-1	0.6	69	402	-457	-628	110	312	24	13.12	11.68	13
(12+13)-II-4	0.6	70	153	-846	647	362	73	-140	18.68	17.98	8.9
(12+13)-II-3	0.6	71	889	-500	142	416	240	86	17.17	18.21	9.1
(12+13)-II-3	0.6	72	362	-391	138	486	480	46	21.75	21.82	7.6
(12+13)-II-3	0.6	73	531	-350	109	469	393	73	19.91	20.46	8.1
(12+13)-II-3	0.6	74	397	-441	167	600	548	39	25.70	25.85	6.4
(12+13)-II-3	0.6	75	373	-389	97	337	344	53	15.72	15.74	11
(12+13)-VI-3	0.6	76	447	-478	-429	274	471	5	18.65	17.85	8.9
(12+13)-VI-3	0.6	77	405	-428	-449	500	604	5	25.06	24.75	6.6
(12+13)-VI-3	0.6	78	491	-565	-446	635	719	23	30.55	30.15	5.4

Massimo (P17):44.98 [kg/cmq]

Verifica Plinti

Scenario di calcolo : Set_NT_SLV_SLD_A2_STR/GEO_2018

Plinto n°: 3

Descrizione	Plinto Diretto
Criterio di verifica	CLS_Plinti
Terreno	Terreno1

H	HSup	Bx	By	BxSup	BySup	MagrX	MagrY	HMagr	TR.X	TR.Y	Rot
cm	cm	cm	cm	cm	cm	cm	cm	cm	cm	cm	°
50.0	0.0	40.0	40.0	40.0	40.0	40.0	40.0	40.0	20.0	0.0	0

Peso plinto	Peso Magr	F punz	Res. punz	Arm.punz	Afx	Afy	Apx	Apy
kg	kg	kg	kg	cmq	cmq	cmq	cmq	cmq
200	80	0(C. 1)	43931	0.00	4.71	4.71	1.54	1.54

Tensioni terreno

C.	N	Mx	My	$\sigma t1$	$\sigma t3$	$\sigma t7$	$\sigma t9$
	kg	kg*m	kg*m	kg/cmq	kg/cmq	kg/cmq	kg/cmq
1	260	-0	-0	0.23	0.23	0.23	0.23

Verifica sezioni

C.	Mfx	Mfy	Mrx	Mry	Csx	Csy
	kg*m	kg*m	kg*m	kg*m		
1	7	7	7754	7754	>100	>100

Plinto:*Verificato*

Plinto n°: 130

Descrizione	Plinto Diretto
Criterio di verifica	CLS_Plinti
Terreno	Terreno1

H	HSup	Bx	By	BxSup	BySup	MagrX	MagrY	HMagr	TR.X	TR.Y	Rot
cm	cm	cm	cm	cm	cm	cm	cm	cm	cm	cm	°
50.0	0.0	40.0	40.0	40.0	40.0	40.0	40.0	20.0	0.0	0.0	0

Peso plinto	Peso Magr	F punz	Res. punz	Arm.punz	Afx	Afy	Apx	Apy
kg	kg	kg	kg	cmq	cmq	cmq	cmq	cmq
200	80	0(C. 1)	43931	0.00	4.71	4.71	1.54	1.54

Tensioni terreno

C.	N	Mx	My	σt1	σt3	σt7	σt9
	kg	kg*m	kg*m	kg/cmq	kg/cmq	kg/cmq	kg/cmq
(12+13)-III-4	375	-16	5	0.48	0.39	0.18	0.09

Verifica sezioni

C.	Mfx	Mfy	Mrx	Mry	Csx	Csy
	kg*m	kg*m	kg*m	kg*m		
(12+13)-III-4	9	11	7754	7754	>100	>100

Plinto:*Verificato*

Verifica SLU delle aste in Legno secondo NTC

Scenario di calcolo : Set_NT_SLV_SLD_A2_STR/GEO_2018

Asta: 20 [0 , 0]

Sez. R: $b = 12.0\text{cm}$ $h = 16.0\text{cm}$ $L = 61.3\text{cm}$
 Crit.Prog: Legno_Tirante-Puntone Verifica: *Verificata*

Verifica a trazione parallela alla fibr. (§4.4.8.1.1 - NTC)

Parametri di verifica: $kh = 1.10$

x	Nd	σt0d	ft0d	Kmod	Comb.	SF
cm	kg	kg/cmq	kg/cmq			
24.5	51	0	125	1	(12+13)-VIII-4	>100

Verifica a compressione parallela alla fibr. (§4.4.8.1.3 - NTC)

Parametri di verifica: $k_{crit,c} = 1.00$ $Lo = 61.3\text{cm}$

Instabilità di colonna: **Trascurabile**

x	Nd	σc0d	fc0d	Kmod	Comb.	SF
cm	kg	kg/cmq	kg/cmq			
24.5	-286	-1	166	1	(12+13)-VI-1	>100

Asta: 20 [0 , 0]

Sez. R: $b = 12.0\text{cm}$ $h = 16.0\text{cm}$ $L = 61.3\text{cm}$
 Crit.Prog: Legno_Tirante-Puntone Verifica: *Verificata*

Verifica a trazione parallela alla fibr. (§4.4.8.1.1 - NTC)

Parametri di verifica: $kh = 1.10$

x	Nd	σt0d	ft0d	Kmod	Comb.	SF
cm	kg	kg/cmq	kg/cmq			

x	Nd	σt0d	ft0d	Kmod	Comb.	SF
61.3	302	2	125	1	(12+13)-II-3	80
cm	kg	kg/cmq	kg/cmq			

Verifica a compressione parallela alla fibr. (§4.4.8.1.3 - NTC)

Parametri di verifica: $k_{crit,c} = 1.00$ $Lo = 61.3\text{cm}$

Instabilità di colonna: **Trascurabile**

x	Nd	σc0d	fc0d	Kmod	Comb.	SF
cm	kg	kg/cmq	kg/cmq			
61.3	-419	-2	166	1	(12+13)-II-2	76

Asta: 20 [0 , 0]

Sez. R: $b = 12.0\text{cm}$ $h = 16.0\text{cm}$ $L = 61.3\text{cm}$

Crit.Prog: Legno_Tirante-Puntone Verifica: **Verificata**

Verifica a trazione parallela alla fibr. (§4.4.8.1.1 - NTC)

Parametri di verifica: $kh = 1.10$

x	Nd	σt0d	ft0d	Kmod	Comb.	SF
cm	kg	kg/cmq	kg/cmq			
61.3	495	3	125	1	(12+13)-II-3	49

Verifica a compressione parallela alla fibr. (§4.4.8.1.3 - NTC)

Parametri di verifica: $k_{crit,c} = 1.00$ $Lo = 61.3\text{cm}$

Instabilità di colonna: **Trascurabile**

x	Nd	σc0d	fc0d	Kmod	Comb.	SF
cm	kg	kg/cmq	kg/cmq			
61.3	-559	-3	166	1	(12+13)-II-2	57

Asta: 20 [0 , 0]

Sez. R: $b = 12.0\text{cm}$ $h = 16.0\text{cm}$ $L = 61.3\text{cm}$

Crit.Prog: Legno_Tirante-Puntone Verifica: **Verificata**

Verifica a trazione parallela alla fibr. (§4.4.8.1.1 - NTC)

Parametri di verifica: $kh = 1.10$

x	Nd	σt0d	ft0d	Kmod	Comb.	SF
cm	kg	kg/cmq	kg/cmq			
61.3	585	3	125	1	(12+13)-VI-1	41

Verifica a compressione parallela alla fibr. (§4.4.8.1.3 - NTC)

Parametri di verifica: $k_{crit,c} = 1.00$ $Lo = 61.3\text{cm}$

Instabilità di colonna: **Trascurabile**

x	Nd	σc0d	fc0d	Kmod	Comb.	SF
cm	kg	kg/cmq	kg/cmq			
61.3	-623	-3	166	1	(12+13)-VI-4	51

Asta: 20 [0 , 0]

Sez. R: $b = 12.0\text{cm}$ $h = 16.0\text{cm}$ $L = 61.3\text{cm}$

Crit.Prog: Legno_Tirante-Puntone Verifica: **Verificata**

Verifica a trazione parallela alla fibr. (§4.4.8.1.1 - NTC)

Parametri di verifica: $kh = 1.10$

x	Nd	σt0d	ft0d	Kmod	Comb.	SF
cm	kg	kg/cmq	kg/cmq			
24.5	606	3	125	1	(12+13)-VI-3	40

Verifica a compressione parallela alla fibr. (§4.4.8.1.3 - NTC)

Parametri di verifica: $k_{crit,c} = 1.00$ $L_o = 61.3\text{cm}$

Instabilità di colonna: **Trascurabile**

x	Nd	σ_{c0d}	f_{c0d}	Kmod	Comb.	SF
cm	kg	kg/cmq	kg/cmq			
24.5	-608	-3	166	1	(12+13)-VI-2	52

Asta: 20 [0 , 0]

Sez. R: $b = 12.0\text{cm}$ $h = 16.0\text{cm}$ $L = 61.3\text{cm}$

Crit.Prog: Legno_Tirante-Puntone Verifica: **Verificata**

Verifica a trazione parallela alla fibr. (§4.4.8.1.1 - NTC)

Parametri di verifica: $kh = 1.10$

x	Nd	σ_{t0d}	f_{t0d}	Kmod	Comb.	SF
cm	kg	kg/cmq	kg/cmq			
24.5	552	3	125	1	(12+13)-VI-3	44

Verifica a compressione parallela alla fibr. (§4.4.8.1.3 - NTC)

Parametri di verifica: $k_{crit,c} = 1.00$ $L_o = 61.3\text{cm}$

Instabilità di colonna: **Trascuribile**

x	Nd	σ_{c0d}	f_{c0d}	Kmod	Comb.	SF
cm	kg	kg/cmq	kg/cmq			
24.5	-537	-3	166	1	(12+13)-VI-2	59

Asta: 20 [0 , 0]

Sez. R: $b = 12.0\text{cm}$ $h = 16.0\text{cm}$ $L = 61.3\text{cm}$

Crit.Prog: Legno_Tirante-Puntone Verifica: **Verificata**

Verifica a trazione parallela alla fibr. (§4.4.8.1.1 - NTC)

Parametri di verifica: $kh = 1.10$

x	Nd	σ_{t0d}	f_{t0d}	Kmod	Comb.	SF
cm	kg	kg/cmq	kg/cmq			
24.5	396	2	125	1	(12+13)-VI-3	61

Verifica a compressione parallela alla fibr. (§4.4.8.1.3 - NTC)

Parametri di verifica: $k_{crit,c} = 1.00$ $L_o = 61.3\text{cm}$

Instabilità di colonna: **Trascuribile**

x	Nd	σ_{c0d}	f_{c0d}	Kmod	Comb.	SF
cm	kg	kg/cmq	kg/cmq			
24.5	-366	-2	166	1	(12+13)-VI-2	87

Asta: 20 [0 , 0]

Sez. R: $b = 12.0\text{cm}$ $h = 16.0\text{cm}$ $L = 61.3\text{cm}$

Crit.Prog: Legno_Tirante-Puntone Verifica: **Verificata**

Verifica a trazione parallela alla fibr. (§4.4.8.1.1 - NTC)

Parametri di verifica: $kh = 1.10$

x	Nd	σ_{t0d}	f_{t0d}	Kmod	Comb.	SF
cm	kg	kg/cmq	kg/cmq			
24.5	176	1	125	1	(12+13)-VI-1	>100

Verifica a compressione parallela alla fibr. (§4.4.8.1.3 - NTC)

Parametri di verifica: $k_{crit,c} = 1.00$ $L_o = 61.3\text{cm}$

Instabilità di colonna: **Trascuribile**

x	Nd	σ_{c0d}	f_{c0d}	Kmod	Comb.	SF
cm	kg	kg/cmq	kg/cmq			
24.5	-129	-1	166	1	(12+13)-VI-4	>100

Asta: 20 [0 , 0]

Sez. R: $b = 12.0\text{cm}$ $h = 16.0\text{cm}$ $L = 61.3\text{cm}$
Crit.Prog: Legno_Tirante-Puntone *Verifica: Verificata*

Verifica a trazione parallela alla fibr. (§4.4.8.1.1 - NTC)

Parametri di verifica: $kh = 1.10$

x	Nd	σ_{t0d}	$ft0d$	Kmod	Comb.	SF
cm	kg	kg/cmq	kg/cmq			
61.3	391	2	125	1	(12+13)-VI-2	61

Verifica a compressione parallela alla fibr. (§4.4.8.1.3 - NTC)

Parametri di verifica: $k_{crit,c} = 1.00$ $Lo = 61.3\text{cm}$

Instabilità di colonna: **Trascurabile**

x	Nd	σ_{c0d}	$fc0d$	Kmod	Comb.	SF
cm	kg	kg/cmq	kg/cmq			
61.3	-292	-2	166	1	(12+13)-VI-3	>100

Asta: 20 [0 , 0]

Sez. R: $b = 12.0\text{cm}$ $h = 16.0\text{cm}$ $L = 61.3\text{cm}$
Crit.Prog: Legno_Tirante-Puntone *Verifica: Verificata*

Verifica a trazione parallela alla fibr. (§4.4.8.1.1 - NTC)

Parametri di verifica: $kh = 1.10$

x	Nd	σ_{t0d}	$ft0d$	Kmod	Comb.	SF
cm	kg	kg/cmq	kg/cmq			
24.5	425	2	125	1	(12+13)-VI-2	57

Verifica a compressione parallela alla fibr. (§4.4.8.1.3 - NTC)

Parametri di verifica: $k_{crit,c} = 1.00$ $Lo = 61.3\text{cm}$

Instabilità di colonna: **Trascurabile**

x	Nd	σ_{c0d}	$fc0d$	Kmod	Comb.	SF
cm	kg	kg/cmq	kg/cmq			
24.5	-264	-1	166	1	(12+13)-VI-3	>100

Asta: 20 [0 , 0]

Sez. R: $b = 12.0\text{cm}$ $h = 16.0\text{cm}$ $L = 61.3\text{cm}$
Crit.Prog: Legno_Tirante-Puntone *Verifica: Verificata*

Verifica a trazione parallela alla fibr. (§4.4.8.1.1 - NTC)

Parametri di verifica: $kh = 1.10$

x	Nd	σ_{t0d}	$ft0d$	Kmod	Comb.	SF
cm	kg	kg/cmq	kg/cmq			
24.5	268	1	125	1	(12+13)-VI-2	90

Verifica a compressione parallela alla fibr. (§4.4.8.1.3 - NTC)

Parametri di verifica: $k_{crit,c} = 1.00$ $Lo = 61.3\text{cm}$

Instabilità di colonna: **Trascurabile**

x	Nd	σ_{c0d}	$fc0d$	Kmod	Comb.	SF
cm	kg	kg/cmq	kg/cmq			
61.3	-148	-1	166	1	(12+13)-VI-3	>100

Asta: 20 [0 , 0]

Sez. R: $b = 12.0\text{cm}$ $h = 16.0\text{cm}$ $L = 61.3\text{cm}$
Crit.Prog: Legno_Tirante-Puntone *Verifica: Verificata*

Verifica a trazione parallela alla fibr. (§4.4.8.1.1 - NTC)Parametri di verifica: $kh = 1.10$

x cm	Nd kg	σ_{t0d} kg/cmq	$ft0d$ kg/cmq	Kmod	Comb.	SF
61.3	313	2	125	1	(12+13)-VI-1	77

Verifica a compressione parallela alla fibr. (§4.4.8.1.3 - NTC)Parametri di verifica: $k_{crit,c} = 1.00$ $Lo = 61.3cm$ Instabilità di colonna: **Trascurabile**

x cm	Nd kg	σ_{c0d} kg/cmq	$fc0d$ kg/cmq	Kmod	Comb.	SF
61.3	-221	-1	166	1	(12+13)-VI-4	>100

Asta: 20 [0 , 0]Sez. R: $b = 12.0cm$ $h = 16.0cm$ $L = 61.3cm$ Crit.Prog: Legno_Tirante-Puntone Verifica: **Verificata**Verifica a trazione parallela alla fibr. (§4.4.8.1.1 - NTC)Parametri di verifica: $kh = 1.10$

x cm	Nd kg	σ_{t0d} kg/cmq	$ft0d$ kg/cmq	Kmod	Comb.	SF
24.5	332	2	125	1	(12+13)-VIII-1	72

Verifica a compressione parallela alla fibr. (§4.4.8.1.3 - NTC)Parametri di verifica: $k_{crit,c} = 1.00$ $Lo = 61.3cm$ Instabilità di colonna: **Trascuribile**

x cm	Nd kg	σ_{c0d} kg/cmq	$fc0d$ kg/cmq	Kmod	Comb.	SF
24.5	-215	-1	166	1	(12+13)-VIII-4	>100

Asta: 20 [0 , 0]Sez. R: $b = 12.0cm$ $h = 16.0cm$ $L = 61.3cm$ Crit.Prog: Legno_Tirante-Puntone Verifica: **Verificata**Verifica a trazione parallela alla fibr. (§4.4.8.1.1 - NTC)Parametri di verifica: $kh = 1.10$

x cm	Nd kg	σ_{t0d} kg/cmq	$ft0d$ kg/cmq	Kmod	Comb.	SF
24.5	295	2	125	1	(12+13)-VIII-1	82

Verifica a compressione parallela alla fibr. (§4.4.8.1.3 - NTC)Parametri di verifica: $k_{crit,c} = 1.00$ $Lo = 61.3cm$ Instabilità di colonna: **Trascuribile**

x cm	Nd kg	σ_{c0d} kg/cmq	$fc0d$ kg/cmq	Kmod	Comb.	SF
24.5	-166	-1	166	1	(12+13)-VIII-4	>100

Asta: 20 [0 , 51]Sez. R: $b = 12.0cm$ $h = 16.0cm$ $L = 61.3cm$ Crit.Prog: Legno_Tirante-Puntone Verifica: **Verificata**Verifica a trazione parallela alla fibr. (§4.4.8.1.1 - NTC)Parametri di verifica: $kh = 1.10$

x cm	Nd kg	σ_{t0d} kg/cmq	$ft0d$ kg/cmq	Kmod	Comb.	SF
24.5	295	2	125	1	(12+13)-VIII-1	82

x	Nd	σt0d	ft0d	Kmod	Comb.	SF
61.3	229	1	125	1	(12+13)-VI-3	>100
cm	kg	kg/cmq	kg/cmq			

Verifica a compressione parallela alla fibr. (§4.4.8.1.3 - NTC)

Parametri di verifica: $k_{crit,c} = 1.00$ $Lo = 61.3\text{cm}$

Instabilità di colonna: **Trascurabile**

x	Nd	σc0d	fc0d	Kmod	Comb.	SF
cm	kg	kg/cmq	kg/cmq			
61.3	-175	-1	166	1	(12+13)-VI-2	>100

Asta: 25 [0 , 0]

Sez. R: $b = 12.0\text{cm}$ $h = 16.0\text{cm}$ $L = 63.0\text{cm}$

Crit.Prog: Legno_Tirante-Puntone Verifica: **Verificata**

Verifica a trazione parallela alla fibr. (§4.4.8.1.1 - NTC)

Parametri di verifica: $kh = 1.10$

x	Nd	σt0d	ft0d	Kmod	Comb.	SF
cm	kg	kg/cmq	kg/cmq			
25.2	337	2	125	1	(12+13)-II-2	71

Verifica a compressione parallela alla fibr. (§4.4.8.1.3 - NTC)

Parametri di verifica: $k_{crit,c} = 1.00$ $Lo = 63.0\text{cm}$

Instabilità di colonna: **Trascuribile**

x	Nd	σc0d	fc0d	Kmod	Comb.	SF
cm	kg	kg/cmq	kg/cmq			
25.2	-237	-1	166	1	(12+13)-II-3	>100

Asta: 25 [0 , 0]

Sez. R: $b = 12.0\text{cm}$ $h = 16.0\text{cm}$ $L = 63.0\text{cm}$

Crit.Prog: Legno_Tirante-Puntone Verifica: **Verificata**

Verifica a trazione parallela alla fibr. (§4.4.8.1.1 - NTC)

Parametri di verifica: $kh = 1.10$

x	Nd	σt0d	ft0d	Kmod	Comb.	SF
cm	kg	kg/cmq	kg/cmq			
31.5	381	2	125	1	(12+13)-II-3	63

Verifica a compressione parallela alla fibr. (§4.4.8.1.3 - NTC)

Parametri di verifica: $k_{crit,c} = 1.00$ $Lo = 63.0\text{cm}$

Instabilità di colonna: **Trascuribile**

x	Nd	σc0d	fc0d	Kmod	Comb.	SF
cm	kg	kg/cmq	kg/cmq			
31.5	-277	-1	166	1	(12+13)-II-2	>100

Asta: 25 [0 , 0]

Sez. R: $b = 12.0\text{cm}$ $h = 16.0\text{cm}$ $L = 63.0\text{cm}$

Crit.Prog: Legno_Tirante-Puntone Verifica: **Verificata**

Verifica a trazione parallela alla fibr. (§4.4.8.1.1 - NTC)

Parametri di verifica: $kh = 1.10$

x	Nd	σt0d	ft0d	Kmod	Comb.	SF
cm	kg	kg/cmq	kg/cmq			
63.0	565	3	125	1	(12+13)-VI-1	43

Verifica a compressione parallela alla fibr. (§4.4.8.1.3 - NTC)

Parametri di verifica: $k_{crit,c} = 1.00$ $L_o = 63.0\text{cm}$

Instabilità di colonna: **Trascurabile**

x	Nd	σ_{c0d}	f_{c0d}	Kmod	Comb.	SF
cm	kg	kg/cmq	kg/cmq			
63.0	-447	-2	166	1	(12+13)-VI-4	71

Asta: 25 [0 , 0]

Sez. R: $b = 12.0\text{cm}$ $h = 16.0\text{cm}$ $L = 63.0\text{cm}$

Crit.Prog: Legno_Tirante-Puntone Verifica: **Verificata**

Verifica a trazione parallela alla fibr. (§4.4.8.1.1 - NTC)

Parametri di verifica: $kh = 1.10$

x	Nd	σ_{t0d}	f_{t0d}	Kmod	Comb.	SF
cm	kg	kg/cmq	kg/cmq			
31.5	654	3	125	1	(12+13)-VI-1	37

Verifica a compressione parallela alla fibr. (§4.4.8.1.3 - NTC)

Parametri di verifica: $k_{crit,c} = 1.00$ $L_o = 63.0\text{cm}$

Instabilità di colonna: **Trascuribile**

x	Nd	σ_{c0d}	f_{c0d}	Kmod	Comb.	SF
cm	kg	kg/cmq	kg/cmq			
31.5	-519	-3	166	1	(12+13)-VI-4	61

Asta: 25 [0 , 0]

Sez. R: $b = 12.0\text{cm}$ $h = 16.0\text{cm}$ $L = 63.0\text{cm}$

Crit.Prog: Legno_Tirante-Puntone Verifica: **Verificata**

Verifica a trazione parallela alla fibr. (§4.4.8.1.1 - NTC)

Parametri di verifica: $kh = 1.10$

x	Nd	σ_{t0d}	f_{t0d}	Kmod	Comb.	SF
cm	kg	kg/cmq	kg/cmq			
25.2	648	3	125	1	(12+13)-VI-3	37

Verifica a compressione parallela alla fibr. (§4.4.8.1.3 - NTC)

Parametri di verifica: $k_{crit,c} = 1.00$ $L_o = 63.0\text{cm}$

Instabilità di colonna: **Trascuribile**

x	Nd	σ_{c0d}	f_{c0d}	Kmod	Comb.	SF
cm	kg	kg/cmq	kg/cmq			
25.2	-544	-3	166	1	(12+13)-VI-2	58

Asta: 25 [0 , 0]

Sez. R: $b = 12.0\text{cm}$ $h = 16.0\text{cm}$ $L = 63.0\text{cm}$

Crit.Prog: Legno_Tirante-Puntone Verifica: **Verificata**

Verifica a trazione parallela alla fibr. (§4.4.8.1.1 - NTC)

Parametri di verifica: $kh = 1.10$

x	Nd	σ_{t0d}	f_{t0d}	Kmod	Comb.	SF
cm	kg	kg/cmq	kg/cmq			
25.2	594	3	125	1	(12+13)-VI-3	40

Verifica a compressione parallela alla fibr. (§4.4.8.1.3 - NTC)

Parametri di verifica: $k_{crit,c} = 1.00$ $L_o = 63.0\text{cm}$

Instabilità di colonna: **Trascuribile**

x	Nd	σ_{c0d}	f_{c0d}	Kmod	Comb.	SF
cm	kg	kg/cmq	kg/cmq			
25.2	-505	-3	166	1	(12+13)-VI-2	63

Asta: 25 [0 , 0]

Sez. R: $b = 12.0\text{cm}$ $h = 16.0\text{cm}$ $L = 63.0\text{cm}$
Crit.Prog: Legno_Tirante-Puntone *Verifica: Verificata*

Verifica a trazione parallela alla fibr. (§4.4.8.1.1 - NTC)Parametri di verifica: $kh = 1.10$

x	Nd	σ_{t0d}	$ft0d$	Kmod	Comb.	SF
cm	kg	kg/cmq	kg/cmq			
25.2	445	2	125	1	(12+13)-II-1	54

Verifica a compressione parallela alla fibr. (§4.4.8.1.3 - NTC)Parametri di verifica: $k_{crit,c} = 1.00$ $Lo = 63.0\text{cm}$ Instabilità di colonna: **Trascurabile**

x	Nd	σ_{c0d}	$fc0d$	Kmod	Comb.	SF
cm	kg	kg/cmq	kg/cmq			
25.2	-375	-2	166	1	(12+13)-II-4	85

Asta: 25 [0 , 0]

Sez. R: $b = 12.0\text{cm}$ $h = 16.0\text{cm}$ $L = 63.0\text{cm}$
Crit.Prog: Legno_Tirante-Puntone *Verifica: Verificata*

Verifica a trazione parallela alla fibr. (§4.4.8.1.1 - NTC)Parametri di verifica: $kh = 1.10$

x	Nd	σ_{t0d}	$ft0d$	Kmod	Comb.	SF
cm	kg	kg/cmq	kg/cmq			
25.2	276	1	125	1	(12+13)-II-1	87

Verifica a compressione parallela alla fibr. (§4.4.8.1.3 - NTC)Parametri di verifica: $k_{crit,c} = 1.00$ $Lo = 63.0\text{cm}$ Instabilità di colonna: **Trascurabile**

x	Nd	σ_{c0d}	$fc0d$	Kmod	Comb.	SF
cm	kg	kg/cmq	kg/cmq			
25.2	-142	-1	166	1	(12+13)-I-4	>100

Asta: 25 [0 , 62]

Sez. R: $b = 12.0\text{cm}$ $h = 16.0\text{cm}$ $L = 63.0\text{cm}$
Crit.Prog: Legno_Tirante-Puntone *Verifica: Verificata*

Verifica a trazione parallela alla fibr. (§4.4.8.1.1 - NTC)Parametri di verifica: $kh = 1.10$

x	Nd	σ_{t0d}	$ft0d$	Kmod	Comb.	SF
cm	kg	kg/cmq	kg/cmq			
63.0	640	3	125	1	(12+13)-VI-4	38

Verifica a compressione parallela alla fibr. (§4.4.8.1.3 - NTC)Parametri di verifica: $k_{crit,c} = 1.00$ $Lo = 63.0\text{cm}$ Instabilità di colonna: **Trascuribile**

x	Nd	σ_{c0d}	$fc0d$	Kmod	Comb.	SF
cm	kg	kg/cmq	kg/cmq			
63.0	-624	-3	166	1	(12+13)-VI-1	51

Asta: 25 [0 , 0]

Sez. R: $b = 12.0\text{cm}$ $h = 16.0\text{cm}$ $L = 58.3\text{cm}$
Crit.Prog: Legno_Tirante-Puntone *Verifica: Verificata*

Verifica a trazione parallela alla fibr. (§4.4.8.1.1 - NTC)

Parametri di verifica: $kh = 1.10$

x	Nd	σ_{t0d}	ft_{0d}	Kmod	Comb.	SF
cm	kg	kg/cmq	kg/cmq			
58.3	438	2	75	0.6	1	33

Asta: 25 [0 , 0]

Sez. R: $b = 12.0\text{cm}$ $h = 16.0\text{cm}$ $L = 58.3\text{cm}$
Crit.Prog: Legno_Tirante-Puntone Verifica: **Verificata**

Verifica a trazione parallela alla fibr. (§4.4.8.1.1 - NTC)

Parametri di verifica: $kh = 1.10$

x	Nd	σ_{t0d}	ft_{0d}	Kmod	Comb.	SF
cm	kg	kg/cmq	kg/cmq			
58.3	522	3	75	0.6	1	28

Verifica a compressione parallela alla fibr. (§4.4.8.1.3 - NTC)

Parametri di verifica: $k_{crit,c} = 1.00$ $Lo = 58.3\text{cm}$

Instabilità di colonna: **Trascurabile**

x	Nd	σ_{c0d}	fc_{0d}	Kmod	Comb.	SF
cm	kg	kg/cmq	kg/cmq			
58.3	-18	-0	166	1	(12+13)-VII-4	>100

Asta: 25 [0 , 0]

Sez. R: $b = 12.0\text{cm}$ $h = 16.0\text{cm}$ $L = 58.3\text{cm}$
Crit.Prog: Legno_Tirante-Puntone Verifica: **Verificata**

Verifica a trazione parallela alla fibr. (§4.4.8.1.1 - NTC)

Parametri di verifica: $kh = 1.10$

x	Nd	σ_{t0d}	ft_{0d}	Kmod	Comb.	SF
cm	kg	kg/cmq	kg/cmq			
58.3	670	3	75	0.6	1	22

Verifica a compressione parallela alla fibr. (§4.4.8.1.3 - NTC)

Parametri di verifica: $k_{crit,c} = 1.00$ $Lo = 58.3\text{cm}$

Instabilità di colonna: **Trascurabile**

x	Nd	σ_{c0d}	fc_{0d}	Kmod	Comb.	SF
cm	kg	kg/cmq	kg/cmq			
58.3	-7	-0	166	1	(12+13)-VII-4	>100

Asta: 25 [0 , 0]

Sez. R: $b = 12.0\text{cm}$ $h = 16.0\text{cm}$ $L = 58.3\text{cm}$
Crit.Prog: Legno_Tirante-Puntone Verifica: **Verificata**

Verifica a trazione parallela alla fibr. (§4.4.8.1.1 - NTC)

Parametri di verifica: $kh = 1.10$

x	Nd	σ_{t0d}	ft_{0d}	Kmod	Comb.	SF
cm	kg	kg/cmq	kg/cmq			
58.3	1023	5	75	0.6	1	14

Asta: 25 [0 , 56]

Sez. R: $b = 12.0\text{cm}$ $h = 16.0\text{cm}$ $L = 58.3\text{cm}$
Crit.Prog: Legno_Tirante-Puntone Verifica: **Verificata**

Verifica a trazione parallela alla fibr. (§4.4.8.1.1 - NTC)

Parametri di verifica: $kh = 1.10$

x	Nd	σ_{t0d}	$ft0d$	Kmod	Comb.	SF
cm	kg	kg/cmq	kg/cmq			
58.3	1251	7	75	0.6	1	12

Asta: 18 [0 , 0]

Sez. R: $b = 12.0\text{cm}$

$h = 16.0\text{cm}$

$L = 489.9\text{cm}$

Crit.Prog: Legno_Tirante-Puntone

Verifica: Verificata

Verifica a trazione parallela alla fibr. (§4.4.8.1.1 - NTC)

Parametri di verifica: $kh = 1.10$

x	Nd	σ_{t0d}	$ft0d$	Kmod	Comb.	SF
cm	kg	kg/cmq	kg/cmq			
489.9	111	1	125	1	(12+13)-VIII-3	>100

Verifica a compressione parallela alla fibr. (§4.4.8.1.3 - NTC)

Parametri di verifica: $k_{crit,c} = 0.18$

$Lo = 489.9\text{cm}$

Instabilità di colonna: Instabilità nel piano XY

x	Nd	σ_{c0d}	$fc0d$	Kmod	Comb.	SF
cm	kg	kg/cmq	kg/cmq			
489.9	-859	-4	166	1	(12+13)-VIII-2	6.8

Asta: 19 [0 , 0]

Sez. R: $b = 12.0\text{cm}$

$h = 16.0\text{cm}$

$L = 489.9\text{cm}$

Crit.Prog: Legno_Tirante-Puntone

Verifica: Verificata

Verifica a trazione parallela alla fibr. (§4.4.8.1.1 - NTC)

Parametri di verifica: $kh = 1.10$

x	Nd	σ_{t0d}	$ft0d$	Kmod	Comb.	SF
cm	kg	kg/cmq	kg/cmq			
489.9	60	0	125	1	(12+13)-VIII-3	>100

Verifica a compressione parallela alla fibr. (§4.4.8.1.3 - NTC)

Parametri di verifica: $k_{crit,c} = 0.18$

$Lo = 489.9\text{cm}$

Instabilità di colonna: Instabilità nel piano XY

x	Nd	σ_{c0d}	$fc0d$	Kmod	Comb.	SF
cm	kg	kg/cmq	kg/cmq			
489.9	-399	-2	166	1	(12+13)-VIII-2	15

Asta: 20 [0 , 0]

Sez. R: $b = 12.0\text{cm}$

$h = 16.0\text{cm}$

$L = 490.0\text{cm}$

Crit.Prog: Legno_Tirante-Puntone

Verifica: Verificata

Verifica a compressione parallela alla fibr. (§4.4.8.1.3 - NTC)

Parametri di verifica: $k_{crit,c} = 0.18$

$Lo = 490.0\text{cm}$

Instabilità di colonna: Instabilità nel piano XY

x	Nd	σ_{c0d}	$fc0d$	Kmod	Comb.	SF
cm	kg	kg/cmq	kg/cmq			
490.0	-181	-1	99	0.6	1	19

Asta: 21 [0 , 0]

Sez. R: $b = 12.0\text{cm}$

$h = 16.0\text{cm}$

$L = 490.0\text{cm}$

Crit.Prog: Legno_Tirante-Puntone

Verifica: Verificata

Verifica a trazione parallela alla fibr. (§4.4.8.1.1 - NTC)

Parametri di verifica: $kh = 1.10$

x	Nd	σ_{t0d}	ft_{0d}	Kmod	Comb.	SF
cm	kg	kg/cmq	kg/cmq			
490.0	3	0	125	1	(12+13)-VIII-1	>100

Verifica a compressione parallela alla fibr. (§4.4.8.1.3 - NTC)

Parametri di verifica: $k_{crit,c} = 0.18$ $Lo = 490.0\text{cm}$

Instabilità di colonna: **Instabilità nel piano XY**

x	Nd	σ_{c0d}	fc_{0d}	Kmod	Comb.	SF
cm	kg	kg/cmq	kg/cmq			
490.0	-183	-1	99	0.6	1	19

Asta: 22 [0 , 0]

Sez. R: $b = 12.0\text{cm}$ $h = 16.0\text{cm}$ $L = 490.1\text{cm}$

Crit.Prog: Legno_Tirante-Puntone Verifica: **Verificata**

Verifica a trazione parallela alla fibr. (§4.4.8.1.1 - NTC)

Parametri di verifica: $kh = 1.10$

x	Nd	σ_{t0d}	ft_{0d}	Kmod	Comb.	SF
cm	kg	kg/cmq	kg/cmq			
490.1	261	1	125	1	(12+13)-VIII-1	92

Verifica a compressione parallela alla fibr. (§4.4.8.1.3 - NTC)

Parametri di verifica: $k_{crit,c} = 0.18$ $Lo = 490.1\text{cm}$

Instabilità di colonna: **Instabilità nel piano XY**

x	Nd	σ_{c0d}	fc_{0d}	Kmod	Comb.	SF
cm	kg	kg/cmq	kg/cmq			
490.1	-600	-3	166	1	(12+13)-VIII-4	9.8

Asta: 23 [0 , 62]

Sez. R: $b = 12.0\text{cm}$ $h = 16.0\text{cm}$ $L = 490.2\text{cm}$

Crit.Prog: Legno_Tirante-Puntone Verifica: **Verificata**

Verifica a trazione parallela alla fibr. (§4.4.8.1.1 - NTC)

Parametri di verifica: $kh = 1.10$

x	Nd	σ_{t0d}	ft_{0d}	Kmod	Comb.	SF
cm	kg	kg/cmq	kg/cmq			
490.2	818	4	125	1	(12+13)-VI-3	29

Verifica a compressione parallela alla fibr. (§4.4.8.1.3 - NTC)

Parametri di verifica: $k_{crit,c} = 0.18$ $Lo = 490.2\text{cm}$

Instabilità di colonna: **Instabilità nel piano XY**

x	Nd	σ_{c0d}	fc_{0d}	Kmod	Comb.	SF
cm	kg	kg/cmq	kg/cmq			
490.2	-1251	-7	166	1	(12+13)-VI-2	4.7

Asta: 24 [0 , 0]

Sez. R: $b = 12.0\text{cm}$ $h = 16.0\text{cm}$ $L = 490.2\text{cm}$

Crit.Prog: Legno_Tirante-Puntone Verifica: **Verificata**

Verifica a trazione parallela alla fibr. (§4.4.8.1.1 - NTC)

Parametri di verifica: $kh = 1.10$

x	Nd	σ_{t0d}	ft_{0d}	Kmod	Comb.	SF
cm	kg	kg/cmq	kg/cmq			
490.2	437	2	125	1	(12+13)-VI-3	55

Verifica a compressione parallela alla fibr. (§4.4.8.1.3 - NTC)

Parametri di verifica: $k_{crit,c} = 0.18$ $L_o = 490.2\text{cm}$

Instabilità di colonna: **Instabilità nel piano XY**

x	Nd	σ_{c0d}	f_{c0d}	Kmod	Comb.	SF
cm	kg	kg/cmq	kg/cmq			
490.2	-613	-3	166	1	(12+13)-VI-2	9.6

Asta: 25 [0 , 0]

Sez. R: $b = 12.0\text{cm}$ $h = 16.0\text{cm}$ $L = 490.1\text{cm}$
Crit.Prog: Legno_Tirante-Puntone Verifica: **Verificata**

Verifica a trazione parallela alla fibr. (§4.4.8.1.1 - NTC)

Parametri di verifica: $kh = 1.10$

x	Nd	σ_{t0d}	f_{t0d}	Kmod	Comb.	SF
cm	kg	kg/cmq	kg/cmq			
490.1	93	0	125	1	(12+13)-VIII-3	>100

Verifica a compressione parallela alla fibr. (§4.4.8.1.3 - NTC)

Parametri di verifica: $k_{crit,c} = 0.18$ $L_o = 490.1\text{cm}$

Instabilità di colonna: **Instabilità nel piano XY**

x	Nd	σ_{c0d}	f_{c0d}	Kmod	Comb.	SF
cm	kg	kg/cmq	kg/cmq			
490.1	-297	-2	166	1	(12+13)-VIII-2	20

Asta: 26 [0 , 0]

Sez. R: $b = 12.0\text{cm}$ $h = 16.0\text{cm}$ $L = 490.1\text{cm}$
Crit.Prog: Legno_Tirante-Puntone Verifica: **Verificata**

Verifica a trazione parallela alla fibr. (§4.4.8.1.1 - NTC)

Parametri di verifica: $kh = 1.10$

x	Nd	σ_{t0d}	f_{t0d}	Kmod	Comb.	SF
cm	kg	kg/cmq	kg/cmq			
490.1	13	0	125	1	(12+13)-VIII-1	>100

Verifica a compressione parallela alla fibr. (§4.4.8.1.3 - NTC)

Parametri di verifica: $k_{crit,c} = 0.18$ $L_o = 490.1\text{cm}$

Instabilità di colonna: **Instabilità nel piano XY**

x	Nd	σ_{c0d}	f_{c0d}	Kmod	Comb.	SF
cm	kg	kg/cmq	kg/cmq			
490.1	-163	-1	99	0.6	1	22

Asta: 27 [0 , 0]

Sez. R: $b = 12.0\text{cm}$ $h = 16.0\text{cm}$ $L = 490.0\text{cm}$
Crit.Prog: Legno_Tirante-Puntone Verifica: **Verificata**

Verifica a trazione parallela alla fibr. (§4.4.8.1.1 - NTC)

Parametri di verifica: $kh = 1.10$

x	Nd	σ_{t0d}	f_{t0d}	Kmod	Comb.	SF
cm	kg	kg/cmq	kg/cmq			
490.0	3	0	125	1	(12+13)-VII-2	>100

Verifica a compressione parallela alla fibr. (§4.4.8.1.3 - NTC)

Parametri di verifica: $k_{crit,c} = 0.18$ $L_o = 490.0\text{cm}$

Instabilità di colonna: **Instabilità nel piano XY**

x	Nd	σ_{c0d}	f_{c0d}	Kmod	Comb.	SF
cm	kg	kg/cmq	kg/cmq			

x	Nd	σ_{c0d}	f_{c0d}	Kmod	Comb.	SF
cm	kg	kg/cmq	kg/cmq			
490.0	-170	-1	99	0.6	1	21

Asta: 28 [0 , 0]

Sez. R: $b = 12.0\text{cm}$ $h = 16.0\text{cm}$

$L = 490.0\text{cm}$

Crit.Prog: Legno_Tirante-Puntone

Verifica: Verificata

Verifica a trazione parallela alla fibr. (§4.4.8.1.1 - NTC)

Parametri di verifica: $kh = 1.10$

x	Nd	σ_{t0d}	f_{t0d}	Kmod	Comb.	SF
cm	kg	kg/cmq	kg/cmq			
490.0	8	0	125	1	(12+13)-V-1	>100

Verifica a compressione parallela alla fibr. (§4.4.8.1.3 - NTC)

Parametri di verifica: $k_{crit,c} = 0.18$ $Lo = 490.0\text{cm}$

Instabilità di colonna: Instabilità nel piano XY

x	Nd	σ_{c0d}	f_{c0d}	Kmod	Comb.	SF
cm	kg	kg/cmq	kg/cmq			
490.0	-176	-1	99	0.6	1	20

Asta: 29 [0 , 0]

Sez. R: $b = 12.0\text{cm}$ $h = 16.0\text{cm}$

$L = 490.0\text{cm}$

Crit.Prog: Legno_Tirante-Puntone

Verifica: Verificata

Verifica a compressione parallela alla fibr. (§4.4.8.1.3 - NTC)

Parametri di verifica: $k_{crit,c} = 0.18$ $Lo = 490.0\text{cm}$

Instabilità di colonna: Instabilità nel piano XY

x	Nd	σ_{c0d}	f_{c0d}	Kmod	Comb.	SF
cm	kg	kg/cmq	kg/cmq			
490.0	-197	-1	99	0.6	1	18

Asta: 30 [0 , 0]

Sez. R: $b = 12.0\text{cm}$ $h = 16.0\text{cm}$

$L = 489.9\text{cm}$

Crit.Prog: Legno_Tirante-Puntone

Verifica: Verificata

Verifica a compressione parallela alla fibr. (§4.4.8.1.3 - NTC)

Parametri di verifica: $k_{crit,c} = 0.18$ $Lo = 489.9\text{cm}$

Instabilità di colonna: Instabilità nel piano XY

x	Nd	σ_{c0d}	f_{c0d}	Kmod	Comb.	SF
cm	kg	kg/cmq	kg/cmq			
489.9	-239	-1	99	0.6	1	15

Asta: 31 [0 , 0]

Sez. R: $b = 12.0\text{cm}$ $h = 16.0\text{cm}$

$L = 489.9\text{cm}$

Crit.Prog: Legno_Tirante-Puntone

Verifica: Verificata

Verifica a compressione parallela alla fibr. (§4.4.8.1.3 - NTC)

Parametri di verifica: $k_{crit,c} = 0.18$ $Lo = 489.9\text{cm}$

Instabilità di colonna: Instabilità nel piano XY

x	Nd	σ_{c0d}	f_{c0d}	Kmod	Comb.	SF
cm	kg	kg/cmq	kg/cmq			
489.9	-283	-1	99	0.6	1	12

Asta: 32 [0 , 0]

Sez. R: $b = 12.0\text{cm}$ $h = 16.0\text{cm}$

$L = 489.9\text{cm}$

Crit.Prog: Legno_Tirante-Puntone

Verifica: Verificata

Verifica a trazione parallela alla fibr. (§4.4.8.1.1 - NTC)

Parametri di verifica: $kh = 1.10$

x	Nd	σ_{t0d}	ft_{0d}	Kmod	Comb.	SF
cm	kg	kg/cmq	kg/cmq			
489.9	125	1	125	1	(12+13)-V-1	>100

Verifica a compressione parallela alla fibr. (§4.4.8.1.3 - NTC)

Parametri di verifica: $k_{crit,c} = 0.18$ $Lo = 489.9\text{cm}$

Instabilità di colonna: **Instabilità nel piano XY**

x	Nd	σ_{c0d}	fc_{0d}	Kmod	Comb.	SF
cm	kg	kg/cmq	kg/cmq			
489.9	-365	-2	166	1	(12+13)-V-4	16

Asta: 15 [0 , 0]

Sez. R: $b = 12.0\text{cm}$ $h = 16.0\text{cm}$ $L = 58.3\text{cm}$

Crit.Prog: Legno_Tirante-Puntone Verifica: **Verificata**

Verifica a trazione parallela alla fibr. (§4.4.8.1.1 - NTC)

Parametri di verifica: $kh = 1.10$

x	Nd	σ_{t0d}	ft_{0d}	Kmod	Comb.	SF
cm	kg	kg/cmq	kg/cmq			
35.0	274	1	75	0.6	1	53

Verifica a compressione parallela alla fibr. (§4.4.8.1.3 - NTC)

Parametri di verifica: $k_{crit,c} = 1.00$ $Lo = 58.3\text{cm}$

Instabilità di colonna: **Trascurabile**

x	Nd	σ_{c0d}	fc_{0d}	Kmod	Comb.	SF
cm	kg	kg/cmq	kg/cmq			
23.3	-84	-0	166	1	(12+13)-V-1	>100

Asta: 15 [0 , 0]

Sez. R: $b = 12.0\text{cm}$ $h = 16.0\text{cm}$ $L = 58.3\text{cm}$

Crit.Prog: Legno_Tirante-Puntone Verifica: **Verificata**

Verifica a trazione parallela alla fibr. (§4.4.8.1.1 - NTC)

Parametri di verifica: $kh = 1.10$

x	Nd	σ_{t0d}	ft_{0d}	Kmod	Comb.	SF
cm	kg	kg/cmq	kg/cmq			
35.0	431	2	75	0.6	1	33

Asta: 15 [0 , 0]

Sez. R: $b = 12.0\text{cm}$ $h = 16.0\text{cm}$ $L = 58.3\text{cm}$

Crit.Prog: Legno_Tirante-Puntone Verifica: **Verificata**

Verifica a trazione parallela alla fibr. (§4.4.8.1.1 - NTC)

Parametri di verifica: $kh = 1.10$

x	Nd	σ_{t0d}	ft_{0d}	Kmod	Comb.	SF
cm	kg	kg/cmq	kg/cmq			
35.0	603	3	75	0.6	1	24

Asta: 15 [0 , 0]

Sez. R: $b = 12.0\text{cm}$ $h = 16.0\text{cm}$ $L = 58.3\text{cm}$

Crit.Prog: Legno_Tirante-Puntone Verifica: **Verificata**

Verifica a trazione parallela alla fibr. (§4.4.8.1.1 - NTC)

Parametri di verifica: $kh = 1.10$

x	Nd	σ_{t0d}	ft_{0d}	Kmod	Comb.	SF
cm	kg	kg/cmq	kg/cmq			
35.0	948	5	75	0.6	1	15

Asta: 15 [0 , 57]

Sez. R: $b = 12.0\text{cm}$ $h = 16.0\text{cm}$

$L = 58.3\text{cm}$

Crit.Prog: Legno_Tirante-Puntone

Verifica: **Verificata**

Verifica a trazione parallela alla fibr. (§4.4.8.1.1 - NTC)

Parametri di verifica: $kh = 1.10$

x	Nd	σ_{t0d}	ft_{0d}	Kmod	Comb.	SF
cm	kg	kg/cmq	kg/cmq			
35.0	1177	6	75	0.6	1	12

Asta: 15 [0 , 0]

Sez. R: $b = 12.0\text{cm}$ $h = 16.0\text{cm}$

$L = 63.0\text{cm}$

Crit.Prog: Legno_Tirante-Puntone

Verifica: **Verificata**

Verifica a trazione parallela alla fibr. (§4.4.8.1.1 - NTC)

Parametri di verifica: $kh = 1.10$

x	Nd	σ_{t0d}	ft_{0d}	Kmod	Comb.	SF
cm	kg	kg/cmq	kg/cmq			
0.0	848	4	75	0.6	1	17

Asta: 15 [0 , 0]

Sez. R: $b = 12.0\text{cm}$ $h = 16.0\text{cm}$

$L = 63.0\text{cm}$

Crit.Prog: Legno_Tirante-Puntone

Verifica: **Verificata**

Verifica a trazione parallela alla fibr. (§4.4.8.1.1 - NTC)

Parametri di verifica: $kh = 1.10$

x	Nd	σ_{t0d}	ft_{0d}	Kmod	Comb.	SF
cm	kg	kg/cmq	kg/cmq			
0.0	508	3	75	0.6	1	28

Asta: 15 [0 , 0]

Sez. R: $b = 12.0\text{cm}$ $h = 16.0\text{cm}$

$L = 63.0\text{cm}$

Crit.Prog: Legno_Tirante-Puntone

Verifica: **Verificata**

Verifica a trazione parallela alla fibr. (§4.4.8.1.1 - NTC)

Parametri di verifica: $kh = 1.10$

x	Nd	σ_{t0d}	ft_{0d}	Kmod	Comb.	SF
cm	kg	kg/cmq	kg/cmq			
0.0	395	2	75	0.6	1	37

Asta: 15 [0 , 0]

Sez. R: $b = 12.0\text{cm}$ $h = 16.0\text{cm}$

$L = 63.0\text{cm}$

Crit.Prog: Legno_Tirante-Puntone

Verifica: **Verificata**

Verifica a trazione parallela alla fibr. (§4.4.8.1.1 - NTC)

Parametri di verifica: $kh = 1.10$

x	Nd	σ_{t0d}	ft_{0d}	Kmod	Comb.	SF
cm	kg	kg/cmq	kg/cmq			
31.5	367	2	75	0.6	1	39

Asta: 15 [0 , 0]

Sez. R: $b = 12.0\text{cm}$ $h = 16.0\text{cm}$ $L = 63.0\text{cm}$
 Crit.Prog: Legno_Tirante-Puntone Verifica: **Verificata**

Verifica a trazione parallela alla fibr. (§4.4.8.1.1 - NTC)

Parametri di verifica: $kh = 1.10$

x	Nd	σ_{t0d}	ft_{0d}	Kmod	Comb.	SF
cm	kg	kg/cmq	kg/cmq			
31.5	379	2	75	0.6	1	38

Asta: 15 [0 , 0]

Sez. R: $b = 12.0\text{cm}$ $h = 16.0\text{cm}$ $L = 63.0\text{cm}$
 Crit.Prog: Legno_Tirante-Puntone Verifica: **Verificata**

Verifica a trazione parallela alla fibr. (§4.4.8.1.1 - NTC)

Parametri di verifica: $kh = 1.10$

x	Nd	σ_{t0d}	ft_{0d}	Kmod	Comb.	SF
cm	kg	kg/cmq	kg/cmq			
31.5	399	2	75	0.6	1	36

Asta: 15 [0 , 0]

Sez. R: $b = 12.0\text{cm}$ $h = 16.0\text{cm}$ $L = 63.0\text{cm}$
 Crit.Prog: Legno_Tirante-Puntone Verifica: **Verificata**

Verifica a trazione parallela alla fibr. (§4.4.8.1.1 - NTC)

Parametri di verifica: $kh = 1.10$

x	Nd	σ_{t0d}	ft_{0d}	Kmod	Comb.	SF
cm	kg	kg/cmq	kg/cmq			
31.5	427	2	75	0.6	1	34

Asta: 15 [0 , 0]

Sez. R: $b = 12.0\text{cm}$ $h = 16.0\text{cm}$ $L = 63.0\text{cm}$
 Crit.Prog: Legno_Tirante-Puntone Verifica: **Verificata**

Verifica a trazione parallela alla fibr. (§4.4.8.1.1 - NTC)

Parametri di verifica: $kh = 1.10$

x	Nd	σ_{t0d}	ft_{0d}	Kmod	Comb.	SF
cm	kg	kg/cmq	kg/cmq			
31.5	486	3	75	0.6	1	30

Asta: 15 [0 , 61]

Sez. R: $b = 12.0\text{cm}$ $h = 16.0\text{cm}$ $L = 63.0\text{cm}$
 Crit.Prog: Legno_Tirante-Puntone Verifica: **Verificata**

Verifica a trazione parallela alla fibr. (§4.4.8.1.1 - NTC)

Parametri di verifica: $kh = 1.10$

x	Nd	σ_{t0d}	ft_{0d}	Kmod	Comb.	SF
cm	kg	kg/cmq	kg/cmq			
0.0	527	3	75	0.6	1	27

Verifica a compressione parallela alla fibr. (§4.4.8.1.3 - NTC)

Parametri di verifica: $k_{crit,c} = 1.00$ $Lo = 63.0\text{cm}$

Instabilità di colonna: **Trascurabile**

x	Nd	σ_{c0d}	fc_{0d}	Kmod	Comb.	SF
cm	kg	kg/cmq	kg/cmq			
63.0	-662	-3	166	1	(12+13)-V-1	48

Asta: 33 [0 , 0]

Sez. R: $b = 12.0\text{cm}$ $h = 16.0\text{cm}$ $L = 440.1\text{cm}$
 Crit.Prog: Legno_Tirante-Puntone

Verifica: **Verificata**

Verifica a trazione parallela alla fibr. (§4.4.8.1.1 - NTC)

Parametri di verifica: $kh = 1.10$

x	Nd	σ_{t0d}	$ft0d$	Kmod	Comb.	SF
cm	kg	kg/cmq	kg/cmq			
0.0	187	1	125	1	(12+13)-VI-1	>100

Verifica a compressione parallela alla fibr. (§4.4.8.1.3 - NTC)

Parametri di verifica: $k_{crit,c} = 0.23$ $Lo = 440.1\text{cm}$

Instabilità di colonna: **Instabilità nel piano XY**

x	Nd	σ_{c0d}	$fc0d$	Kmod	Comb.	SF
cm	kg	kg/cmq	kg/cmq			
440.1	-707	-4	166	1	(12+13)-VI-4	10

Asta: 34 [0 , 0]

Sez. R: $b = 12.0\text{cm}$ $h = 16.0\text{cm}$ $L = 440.1\text{cm}$
 Crit.Prog: Legno_Tirante-Puntone

Verifica: **Verificata**

Verifica a trazione parallela alla fibr. (§4.4.8.1.1 - NTC)

Parametri di verifica: $kh = 1.10$

x	Nd	σ_{t0d}	$ft0d$	Kmod	Comb.	SF
cm	kg	kg/cmq	kg/cmq			
0.0	36	0	125	1	(12+13)-I-3	>100

Verifica a compressione parallela alla fibr. (§4.4.8.1.3 - NTC)

Parametri di verifica: $k_{crit,c} = 0.23$ $Lo = 440.1\text{cm}$

Instabilità di colonna: **Instabilità nel piano XY**

x	Nd	σ_{c0d}	$fc0d$	Kmod	Comb.	SF
cm	kg	kg/cmq	kg/cmq			
440.1	-332	-2	99	0.6	1	13

Asta: 35 [0 , 0]

Sez. R: $b = 12.0\text{cm}$ $h = 16.0\text{cm}$ $L = 440.1\text{cm}$
 Crit.Prog: Legno_Tirante-Puntone

Verifica: **Verificata**

Verifica a trazione parallela alla fibr. (§4.4.8.1.1 - NTC)

Parametri di verifica: $kh = 1.10$

x	Nd	σ_{t0d}	$ft0d$	Kmod	Comb.	SF
cm	kg	kg/cmq	kg/cmq			
0.0	33	0	125	1	(12+13)-I-3	>100

Verifica a compressione parallela alla fibr. (§4.4.8.1.3 - NTC)

Parametri di verifica: $k_{crit,c} = 0.23$ $Lo = 440.1\text{cm}$

Instabilità di colonna: **Instabilità nel piano XY**

x	Nd	σ_{c0d}	$fc0d$	Kmod	Comb.	SF
cm	kg	kg/cmq	kg/cmq			
440.1	-427	-2	166	1	(12+13)-I-2	17

Asta: 36 [0 , 0]

Sez. R: $b = 12.0\text{cm}$ $h = 16.0\text{cm}$ $L = 440.1\text{cm}$
 Crit.Prog: Legno_Tirante-Puntone

Verifica: **Verificata**

Verifica a trazione parallela alla fibr. (§4.4.8.1.1 - NTC)

Parametri di verifica: $kh = 1.10$

x	Nd	σ_{t0d}	ft_{0d}	Kmod	Comb.	SF
cm	kg	kg/cmq	kg/cmq			
0.0	89	0	125	1	(12+13)-VI-1	>100

Verifica a compressione parallela alla fibr. (§4.4.8.1.3 - NTC)

Parametri di verifica: $k_{crit,c} = 0.23$ $Lo = 440.1\text{cm}$

Instabilità di colonna: **Instabilità nel piano XY**

x	Nd	σ_{c0d}	fc_{0d}	Kmod	Comb.	SF
cm	kg	kg/cmq	kg/cmq			
440.1	-408	-2	166	1	(12+13)-VI-4	18

Asta: 37 [0 , 0]

Sez. R: $b = 12.0\text{cm}$ $h = 16.0\text{cm}$ $L = 440.1\text{cm}$

Crit.Prog: Legno_Tirante-Puntone Verifica: **Verificata**

Verifica a trazione parallela alla fibr. (§4.4.8.1.1 - NTC)

Parametri di verifica: $kh = 1.10$

x	Nd	σ_{t0d}	ft_{0d}	Kmod	Comb.	SF
cm	kg	kg/cmq	kg/cmq			
0.0	159	1	125	1	(12+13)-VI-1	>100

Verifica a compressione parallela alla fibr. (§4.4.8.1.3 - NTC)

Parametri di verifica: $k_{crit,c} = 0.23$ $Lo = 440.1\text{cm}$

Instabilità di colonna: **Instabilità nel piano XY**

x	Nd	σ_{c0d}	fc_{0d}	Kmod	Comb.	SF
cm	kg	kg/cmq	kg/cmq			
440.1	-443	-2	166	1	(12+13)-VI-4	16

Asta: 38 [0 , 0]

Sez. R: $b = 12.0\text{cm}$ $h = 16.0\text{cm}$ $L = 440.1\text{cm}$

Crit.Prog: Legno_Tirante-Puntone Verifica: **Verificata**

Verifica a trazione parallela alla fibr. (§4.4.8.1.1 - NTC)

Parametri di verifica: $kh = 1.10$

x	Nd	σ_{t0d}	ft_{0d}	Kmod	Comb.	SF
cm	kg	kg/cmq	kg/cmq			
0.0	112	1	125	1	(12+13)-VI-1	>100

Verifica a compressione parallela alla fibr. (§4.4.8.1.3 - NTC)

Parametri di verifica: $k_{crit,c} = 0.23$ $Lo = 440.1\text{cm}$

Instabilità di colonna: **Instabilità nel piano XY**

x	Nd	σ_{c0d}	fc_{0d}	Kmod	Comb.	SF
cm	kg	kg/cmq	kg/cmq			
440.1	-401	-2	166	1	(12+13)-VI-4	18

Asta: 39 [0 , 0]

Sez. R: $b = 12.0\text{cm}$ $h = 16.0\text{cm}$ $L = 440.1\text{cm}$

Crit.Prog: Legno_Tirante-Puntone Verifica: **Verificata**

Verifica a trazione parallela alla fibr. (§4.4.8.1.1 - NTC)

Parametri di verifica: $kh = 1.10$

x	Nd	σ_{t0d}	ft_{0d}	Kmod	Comb.	SF
cm	kg	kg/cmq	kg/cmq			
0.0	161	1	125	1	(12+13)-IV-3	>100

Verifica a compressione parallela alla fibr. (§4.4.8.1.3 - NTC)Parametri di verifica: $k_{crit,c} = 0.23$ $L_o = 440.1\text{cm}$ Instabilità di colonna: **Instabilità nel piano XY**

x	Nd	σ_{c0d}	fc0d	Kmod	Comb.	SF
cm	kg	kg/cmq	kg/cmq			
440.1	-493	-3	166	1	(12+13)-IV-2	15

Asta: 40 [0 , 0]Sez. R: $b = 12.0\text{cm}$ $h = 16.0\text{cm}$ $L = 440.1\text{cm}$
Crit.Prog: Legno_Tirante-Puntone Verifica: **Verificata**Verifica a trazione parallela alla fibr. (§4.4.8.1.1 - NTC)Parametri di verifica: $kh = 1.10$

x	Nd	σ_{t0d}	ft0d	Kmod	Comb.	SF
cm	kg	kg/cmq	kg/cmq			
0.0	92	0	125	1	(12+13)-VII-4	>100

Verifica a compressione parallela alla fibr. (§4.4.8.1.3 - NTC)Parametri di verifica: $k_{crit,c} = 0.23$ $L_o = 440.1\text{cm}$ Instabilità di colonna: **Instabilità nel piano XY**

x	Nd	σ_{c0d}	fc0d	Kmod	Comb.	SF
cm	kg	kg/cmq	kg/cmq			
440.1	-445	-2	166	1	(12+13)-VII-1	16

Asta: 41 [0 , 0]Sez. R: $b = 12.0\text{cm}$ $h = 16.0\text{cm}$ $L = 440.1\text{cm}$
Crit.Prog: Legno_Tirante-Puntone Verifica: **Verificata**Verifica a trazione parallela alla fibr. (§4.4.8.1.1 - NTC)Parametri di verifica: $kh = 1.10$

x	Nd	σ_{t0d}	ft0d	Kmod	Comb.	SF
cm	kg	kg/cmq	kg/cmq			
0.0	777	4	125	1	(12+13)-VI-3	31

Verifica a compressione parallela alla fibr. (§4.4.8.1.3 - NTC)Parametri di verifica: $k_{crit,c} = 0.23$ $L_o = 440.1\text{cm}$ Instabilità di colonna: **Instabilità nel piano XY**

x	Nd	σ_{c0d}	fc0d	Kmod	Comb.	SF
cm	kg	kg/cmq	kg/cmq			
440.1	-1189	-6	166	1	(12+13)-VI-2	6.1

Asta: 42 [0 , 0]Sez. R: $b = 12.0\text{cm}$ $h = 16.0\text{cm}$ $L = 440.1\text{cm}$
Crit.Prog: Legno_Tirante-Puntone Verifica: **Verificata**Verifica a trazione parallela alla fibr. (§4.4.8.1.1 - NTC)Parametri di verifica: $kh = 1.10$

x	Nd	σ_{t0d}	ft0d	Kmod	Comb.	SF
cm	kg	kg/cmq	kg/cmq			
0.0	564	3	125	1	(12+13)-VI-1	43

Verifica a compressione parallela alla fibr. (§4.4.8.1.3 - NTC)Parametri di verifica: $k_{crit,c} = 0.23$ $L_o = 440.1\text{cm}$ Instabilità di colonna: **Instabilità nel piano XY**

x	Nd	σ_{c0d}	fc0d	Kmod	Comb.	SF
cm	kg	kg/cmq	kg/cmq			

x	Nd	σ_{c0d}	f_{c0d}	Kmod	Comb.	SF
cm	kg	kg/cmq	kg/cmq			
440.1	-353	-2	166	1	(12+13)-VI-4	20

Asta: 43 [0 , 0]

Sez. R: $b = 12.0\text{cm}$ $h = 16.0\text{cm}$

$L = 440.1\text{cm}$

Crit.Prog: Legno_Tirante-Puntone

Verifica: Verificata

Verifica a trazione parallela alla fibr. (§4.4.8.1.1 - NTC)

Parametri di verifica: $kh = 1.10$

x	Nd	σ_{t0d}	f_{t0d}	Kmod	Comb.	SF
cm	kg	kg/cmq	kg/cmq			
0.0	283	1	125	1	(12+13)-VIII-1	85

Verifica a compressione parallela alla fibr. (§4.4.8.1.3 - NTC)

Parametri di verifica: $k_{crit,c} = 0.23$ $Lo = 440.1\text{cm}$

Instabilità di colonna: Instabilità nel piano XY

x	Nd	σ_{c0d}	f_{c0d}	Kmod	Comb.	SF
cm	kg	kg/cmq	kg/cmq			
440.1	-356	-2	166	1	(12+13)-VIII-4	20

Asta: 44 [0 , 0]

Sez. R: $b = 12.0\text{cm}$ $h = 16.0\text{cm}$

$L = 440.1\text{cm}$

Crit.Prog: Legno_Tirante-Puntone

Verifica: Verificata

Verifica a trazione parallela alla fibr. (§4.4.8.1.1 - NTC)

Parametri di verifica: $kh = 1.10$

x	Nd	σ_{t0d}	f_{t0d}	Kmod	Comb.	SF
cm	kg	kg/cmq	kg/cmq			
0.0	194	1	125	1	(12+13)-VIII-1	>100

Verifica a compressione parallela alla fibr. (§4.4.8.1.3 - NTC)

Parametri di verifica: $k_{crit,c} = 0.23$ $Lo = 440.1\text{cm}$

Instabilità di colonna: Instabilità nel piano XY

x	Nd	σ_{c0d}	f_{c0d}	Kmod	Comb.	SF
cm	kg	kg/cmq	kg/cmq			
440.1	-369	-2	166	1	(12+13)-VIII-4	20

Asta: 45 [0 , 0]

Sez. R: $b = 12.0\text{cm}$ $h = 16.0\text{cm}$

$L = 440.1\text{cm}$

Crit.Prog: Legno_Tirante-Puntone

Verifica: Verificata

Verifica a trazione parallela alla fibr. (§4.4.8.1.1 - NTC)

Parametri di verifica: $kh = 1.10$

x	Nd	σ_{t0d}	f_{t0d}	Kmod	Comb.	SF
cm	kg	kg/cmq	kg/cmq			
0.0	368	2	125	1	(12+13)-VIII-1	65

Verifica a compressione parallela alla fibr. (§4.4.8.1.3 - NTC)

Parametri di verifica: $k_{crit,c} = 0.23$ $Lo = 440.1\text{cm}$

Instabilità di colonna: Instabilità nel piano XY

x	Nd	σ_{c0d}	f_{c0d}	Kmod	Comb.	SF
cm	kg	kg/cmq	kg/cmq			
440.1	-611	-3	166	1	(12+13)-VIII-4	12

Asta: 46 [0 , 0]Sez. R: $b = 12.0\text{cm}$ $h = 16.0\text{cm}$ $L = 440.1\text{cm}$

Crit.Prog: Legno_Tirante-Puntone

Verifica: Verificata

Verifica a trazione parallela alla fibr. (§4.4.8.1.1 - NTC)Parametri di verifica: $kh = 1.10$

x	Nd	σ_{t0d}	ft_{0d}	Kmod	Comb.	SF
cm	kg	kg/cmq	kg/cmq			
0.0	786	4	125	1	(12+13)-VIII-3	31

Verifica a compressione parallela alla fibr. (§4.4.8.1.3 - NTC)Parametri di verifica: $k_{crit,c} = 0.23$ $Lo = 440.1\text{cm}$

Instabilità di colonna: Instabilità nel piano XY

x	Nd	σ_{c0d}	fc_{0d}	Kmod	Comb.	SF
cm	kg	kg/cmq	kg/cmq			
440.1	-947	-5	166	1	(12+13)-VIII-2	7.6

Asta: 24 [0 , 0]Sez. R: $b = 12.0\text{cm}$ $h = 16.0\text{cm}$ $L = 63.0\text{cm}$

Crit.Prog: Legno_Tirante-Puntone

Verifica: Verificata

Verifica a trazione parallela alla fibr. (§4.4.8.1.1 - NTC)Parametri di verifica: $kh = 1.10$

x	Nd	σ_{t0d}	ft_{0d}	Kmod	Comb.	SF
cm	kg	kg/cmq	kg/cmq			
25.2	127	1	125	1	(12+13)-I-2	>100

Verifica a compressione parallela alla fibr. (§4.4.8.1.3 - NTC)Parametri di verifica: $k_{crit,c} = 1.00$ $Lo = 63.0\text{cm}$

Instabilità di colonna: Trascurabile

x	Nd	σ_{c0d}	fc_{0d}	Kmod	Comb.	SF
cm	kg	kg/cmq	kg/cmq			
25.2	-23	-0	166	1	(12+13)-I-3	>100

Asta: 24 [0 , 0]Sez. R: $b = 12.0\text{cm}$ $h = 16.0\text{cm}$ $L = 63.0\text{cm}$

Crit.Prog: Legno_Tirante-Puntone

Verifica: Verificata

Verifica a trazione parallela alla fibr. (§4.4.8.1.1 - NTC)Parametri di verifica: $kh = 1.10$

x	Nd	σ_{t0d}	ft_{0d}	Kmod	Comb.	SF
cm	kg	kg/cmq	kg/cmq			
25.2	141	1	125	1	(12+13)-I-2	>100

Verifica a compressione parallela alla fibr. (§4.4.8.1.3 - NTC)Parametri di verifica: $k_{crit,c} = 1.00$ $Lo = 63.0\text{cm}$

Instabilità di colonna: Trascurabile

x	Nd	σ_{c0d}	fc_{0d}	Kmod	Comb.	SF
cm	kg	kg/cmq	kg/cmq			
25.2	-16	-0	166	1	(12+13)-I-3	>100

Asta: 24 [0 , 0]Sez. R: $b = 12.0\text{cm}$ $h = 16.0\text{cm}$ $L = 63.0\text{cm}$

Crit.Prog: Legno_Tirante-Puntone

Verifica: Verificata

Verifica a trazione parallela alla fibr. (§4.4.8.1.1 - NTC)

Parametri di verifica: $kh = 1.10$

x	Nd	σ_{t0d}	ft_{0d}	Kmod	Comb.	SF
cm	kg	kg/cmq	kg/cmq			
25.2	159	1	125	1	(12+13)-I-2	>100

Verifica a compressione parallela alla fibr. (§4.4.8.1.3 - NTC)

Parametri di verifica: $k_{crit,c} = 1.00$ $Lo = 63.0\text{cm}$

Instabilità di colonna: **Trascurabile**

x	Nd	σ_{c0d}	fc_{0d}	Kmod	Comb.	SF
cm	kg	kg/cmq	kg/cmq			
25.2	-13	-0	166	1	(12+13)-I-3	>100

Asta: 24 [0 , 0]

Sez. R: $b = 12.0\text{cm}$ $h = 16.0\text{cm}$ $L = 63.0\text{cm}$

Crit.Prog: Legno_Tirante-Puntone Verifica: **Verificata**

Verifica a trazione parallela alla fibr. (§4.4.8.1.1 - NTC)

Parametri di verifica: $kh = 1.10$

x	Nd	σ_{t0d}	ft_{0d}	Kmod	Comb.	SF
cm	kg	kg/cmq	kg/cmq			
63.0	179	1	125	1	(12+13)-I-2	>100

Verifica a compressione parallela alla fibr. (§4.4.8.1.3 - NTC)

Parametri di verifica: $k_{crit,c} = 1.00$ $Lo = 63.0\text{cm}$

Instabilità di colonna: **Trascuribile**

x	Nd	σ_{c0d}	fc_{0d}	Kmod	Comb.	SF
cm	kg	kg/cmq	kg/cmq			
25.2	-19	-0	166	1	(12+13)-I-3	>100

Asta: 24 [0 , 0]

Sez. R: $b = 12.0\text{cm}$ $h = 16.0\text{cm}$ $L = 63.0\text{cm}$

Crit.Prog: Legno_Tirante-Puntone Verifica: **Verificata**

Verifica a trazione parallela alla fibr. (§4.4.8.1.1 - NTC)

Parametri di verifica: $kh = 1.10$

x	Nd	σ_{t0d}	ft_{0d}	Kmod	Comb.	SF
cm	kg	kg/cmq	kg/cmq			
63.0	201	1	125	1	(12+13)-I-2	>100

Verifica a compressione parallela alla fibr. (§4.4.8.1.3 - NTC)

Parametri di verifica: $k_{crit,c} = 1.00$ $Lo = 63.0\text{cm}$

Instabilità di colonna: **Trascuribile**

x	Nd	σ_{c0d}	fc_{0d}	Kmod	Comb.	SF
cm	kg	kg/cmq	kg/cmq			
63.0	-40	-0	166	1	(12+13)-I-3	>100

Asta: 24 [0 , 0]

Sez. R: $b = 12.0\text{cm}$ $h = 16.0\text{cm}$ $L = 63.0\text{cm}$

Crit.Prog: Legno_Tirante-Puntone Verifica: **Verificata**

Verifica a trazione parallela alla fibr. (§4.4.8.1.1 - NTC)

Parametri di verifica: $kh = 1.10$

x	Nd	σ_{t0d}	ft_{0d}	Kmod	Comb.	SF
cm	kg	kg/cmq	kg/cmq			
63.0	224	1	125	1	(12+13)-I-2	>100

Verifica a compressione parallela alla fibr. (§4.4.8.1.3 - NTC)Parametri di verifica: $k_{crit,c} = 1.00$ $L_o = 63.0\text{cm}$ Instabilità di colonna: **Trascurabile**

x	Nd	σ_{c0d}	f_{c0d}	Kmod	Comb.	SF
cm	kg	kg/cmq	kg/cmq			
63.0	-75	-0	166	1	(12+13)-I-3	>100

Asta: 24 [0 , 0]Sez. R: $b = 12.0\text{cm}$ $h = 16.0\text{cm}$ $L = 63.0\text{cm}$ Crit.Prog: Legno_Tirante-Puntone Verifica: **Verificata**Verifica a trazione parallela alla fibr. (§4.4.8.1.1 - NTC)Parametri di verifica: $kh = 1.10$

x	Nd	σ_{t0d}	f_{t0d}	Kmod	Comb.	SF
cm	kg	kg/cmq	kg/cmq			
31.5	256	1	125	1	(12+13)-I-2	94

Verifica a compressione parallela alla fibr. (§4.4.8.1.3 - NTC)Parametri di verifica: $k_{crit,c} = 1.00$ $L_o = 63.0\text{cm}$ Instabilità di colonna: **Trascurabile**

x	Nd	σ_{c0d}	f_{c0d}	Kmod	Comb.	SF
cm	kg	kg/cmq	kg/cmq			
31.5	-128	-1	166	1	(12+13)-I-3	>100

Asta: 24 [0 , 0]Sez. R: $b = 12.0\text{cm}$ $h = 16.0\text{cm}$ $L = 63.0\text{cm}$ Crit.Prog: Legno_Tirante-Puntone Verifica: **Verificata**Verifica a trazione parallela alla fibr. (§4.4.8.1.1 - NTC)Parametri di verifica: $kh = 1.10$

x	Nd	σ_{t0d}	f_{t0d}	Kmod	Comb.	SF
cm	kg	kg/cmq	kg/cmq			
63.0	320	2	125	1	(12+13)-I-2	75

Verifica a compressione parallela alla fibr. (§4.4.8.1.3 - NTC)Parametri di verifica: $k_{crit,c} = 1.00$ $L_o = 63.0\text{cm}$ Instabilità di colonna: **Trascurabile**

x	Nd	σ_{c0d}	f_{c0d}	Kmod	Comb.	SF
cm	kg	kg/cmq	kg/cmq			
63.0	-208	-1	166	1	(12+13)-I-3	>100

Asta: 24 [0 , 58]Sez. R: $b = 12.0\text{cm}$ $h = 16.0\text{cm}$ $L = 63.0\text{cm}$ Crit.Prog: Legno_Tirante-Puntone Verifica: **Verificata**Verifica a trazione parallela alla fibr. (§4.4.8.1.1 - NTC)Parametri di verifica: $kh = 1.10$

x	Nd	σ_{t0d}	f_{t0d}	Kmod	Comb.	SF
cm	kg	kg/cmq	kg/cmq			
63.0	562	3	125	1	(12+13)-II-2	43

Verifica a compressione parallela alla fibr. (§4.4.8.1.3 - NTC)Parametri di verifica: $k_{crit,c} = 1.00$ $L_o = 63.0\text{cm}$ Instabilità di colonna: **Trascurabile**

x	Nd	σ_{c0d}	f_{c0d}	Kmod	Comb.	SF
cm	kg	kg/cmq	kg/cmq			

x	Nd	σ_{c0d}	f_{c0d}	Kmod	Comb.	SF
cm	kg	kg/cmq	kg/cmq			
63.0	-406	-2	166	1	(12+13)-II-3	78

Asta: 18 [45 , 46]

Sez. R: $b = 12.0\text{cm}$ $h = 16.0\text{cm}$

$L = 630.0\text{cm}$

Crit.Prog: Legno_Tirante-Puntone

Verifica: Verificata

Verifica a trazione parallela alla fibr. (§4.4.8.1.1 - NTC)

Parametri di verifica: $kh = 1.10$

x	Nd	σ_{t0d}	f_{t0d}	Kmod	Comb.	SF
cm	kg	kg/cmq	kg/cmq			
630.0	1380	7	125	1	(12+13)-I-4	17

Verifica a compressione parallela alla fibr. (§4.4.8.1.3 - NTC)

Parametri di verifica: $k_{crit,c} = 0.11$ $Lo = 630.0\text{cm}$

Instabilità di colonna: Instabilità nel piano XY

x	Nd	σ_{c0d}	f_{c0d}	Kmod	Comb.	SF
cm	kg	kg/cmq	kg/cmq			
630.0	-686	-4	166	1	(12+13)-I-1	5.2

Asta: 24 [0 , 0]

Sez. R: $b = 12.0\text{cm}$ $h = 16.0\text{cm}$

$L = 58.3\text{cm}$

Crit.Prog: Legno_Tirante-Puntone

Verifica: Verificata

Verifica a trazione parallela alla fibr. (§4.4.8.1.1 - NTC)

Parametri di verifica: $kh = 1.10$

x	Nd	σ_{t0d}	f_{t0d}	Kmod	Comb.	SF
cm	kg	kg/cmq	kg/cmq			
23.3	702	4	125	1	(12+13)-II-2	34

Verifica a compressione parallela alla fibr. (§4.4.8.1.3 - NTC)

Parametri di verifica: $k_{crit,c} = 1.00$ $Lo = 58.3\text{cm}$

Instabilità di colonna: Trascurabile

x	Nd	σ_{c0d}	f_{c0d}	Kmod	Comb.	SF
cm	kg	kg/cmq	kg/cmq			
23.3	-379	-2	166	1	(12+13)-II-3	84

Asta: 24 [0 , 0]

Sez. R: $b = 12.0\text{cm}$ $h = 16.0\text{cm}$

$L = 58.3\text{cm}$

Crit.Prog: Legno_Tirante-Puntone

Verifica: Verificata

Verifica a trazione parallela alla fibr. (§4.4.8.1.1 - NTC)

Parametri di verifica: $kh = 1.10$

x	Nd	σ_{t0d}	f_{t0d}	Kmod	Comb.	SF
cm	kg	kg/cmq	kg/cmq			
23.3	495	3	125	1	(12+13)-I-2	49

Verifica a compressione parallela alla fibr. (§4.4.8.1.3 - NTC)

Parametri di verifica: $k_{crit,c} = 1.00$ $Lo = 58.3\text{cm}$

Instabilità di colonna: Trascurabile

x	Nd	σ_{c0d}	f_{c0d}	Kmod	Comb.	SF
cm	kg	kg/cmq	kg/cmq			
23.3	-142	-1	166	1	(12+13)-I-3	>100

Asta: 24 [0 , 0]Sez. R: $b = 12.0\text{cm}$ $h = 16.0\text{cm}$ $L = 58.3\text{cm}$

Crit.Prog: Legno_Tirante-Puntone

Verifica: Verificata

Verifica a trazione parallela alla fibr. (§4.4.8.1.1 - NTC)Parametri di verifica: $kh = 1.10$

x	Nd	σ_{t0d}	$ft0d$	Kmod	Comb.	SF
cm	kg	kg/cmq	kg/cmq			
23.3	368	2	125	1	(12+13)-I-2	65

Verifica a compressione parallela alla fibr. (§4.4.8.1.3 - NTC)Parametri di verifica: $k_{crit,c} = 1.00$ $Lo = 58.3\text{cm}$

Instabilità di colonna: Trascurabile

x	Nd	σ_{c0d}	$fc0d$	Kmod	Comb.	SF
cm	kg	kg/cmq	kg/cmq			
23.3	-55	-0	166	1	(12+13)-I-3	>100

Asta: 24 [0 , 0]Sez. R: $b = 12.0\text{cm}$ $h = 16.0\text{cm}$ $L = 58.3\text{cm}$

Crit.Prog: Legno_Tirante-Puntone

Verifica: Verificata

Verifica a trazione parallela alla fibr. (§4.4.8.1.1 - NTC)Parametri di verifica: $kh = 1.10$

x	Nd	σ_{t0d}	$ft0d$	Kmod	Comb.	SF
cm	kg	kg/cmq	kg/cmq			
58.3	270	1	75	0.6	1	53

Asta: 24 [0 , 59]Sez. R: $b = 12.0\text{cm}$ $h = 16.0\text{cm}$ $L = 58.3\text{cm}$

Crit.Prog: Legno_Tirante-Puntone

Verifica: Verificata

Verifica a trazione parallela alla fibr. (§4.4.8.1.1 - NTC)Parametri di verifica: $kh = 1.10$

x	Nd	σ_{t0d}	$ft0d$	Kmod	Comb.	SF
cm	kg	kg/cmq	kg/cmq			
58.3	351	2	75	0.6	1	41

Asta: 18 [0 , 0]Sez. R: $b = 12.0\text{cm}$ $h = 16.0\text{cm}$ $L = 58.3\text{cm}$

Crit.Prog: Legno_Tirante-Puntone

Verifica: Verificata

Verifica a trazione parallela alla fibr. (§4.4.8.1.1 - NTC)Parametri di verifica: $kh = 1.10$

x	Nd	σ_{t0d}	$ft0d$	Kmod	Comb.	SF
cm	kg	kg/cmq	kg/cmq			
58.3	1503	8	125	1	(12+13)-I-4	16

Verifica a compressione parallela alla fibr. (§4.4.8.1.3 - NTC)Parametri di verifica: $k_{crit,c} = 1.00$ $Lo = 58.3\text{cm}$

Instabilità di colonna: Trascurabile

x	Nd	σ_{c0d}	$fc0d$	Kmod	Comb.	SF
cm	kg	kg/cmq	kg/cmq			
58.3	-1745	-9	166	1	(12+13)-I-1	18

Asta: 18 [0 , 0]Sez. R: $b = 12.0\text{cm}$ $h = 16.0\text{cm}$ $L = 58.3\text{cm}$

Crit.Prog: Legno_Tirante-Puntone Verifica: Verificata

Verifica a trazione parallela alla fibr. (§4.4.8.1.1 - NTC)

Parametri di verifica: $kh = 1.10$

x	Nd	σ_{t0d}	$ft0d$	Kmod	Comb.	SF
cm	kg	kg/cmq	kg/cmq			
58.3	1568	8	125	1	(12+13)-I-4	15

Verifica a compressione parallela alla fibr. (§4.4.8.1.3 - NTC)

Parametri di verifica: $k_{crit,c} = 1.00$ $Lo = 58.3cm$

Instabilità di colonna: **Trascurabile**

x	Nd	σ_{c0d}	$fc0d$	Kmod	Comb.	SF
cm	kg	kg/cmq	kg/cmq			
58.3	-1808	-9	166	1	(12+13)-I-1	18

Asta: 18 [0 , 0]

Sez. R: $b = 12.0cm$ $h = 16.0cm$ $L = 58.3cm$

Crit.Prog: Legno_Tirante-Puntone Verifica: Verificata

Verifica a trazione parallela alla fibr. (§4.4.8.1.1 - NTC)

Parametri di verifica: $kh = 1.10$

x	Nd	σ_{t0d}	$ft0d$	Kmod	Comb.	SF
cm	kg	kg/cmq	kg/cmq			
58.3	1628	8	125	1	(12+13)-I-4	15

Verifica a compressione parallela alla fibr. (§4.4.8.1.3 - NTC)

Parametri di verifica: $k_{crit,c} = 1.00$ $Lo = 58.3cm$

Instabilità di colonna: **Trascuribile**

x	Nd	σ_{c0d}	$fc0d$	Kmod	Comb.	SF
cm	kg	kg/cmq	kg/cmq			
58.3	-1865	-10	166	1	(12+13)-I-1	17

Asta: 18 [0 , 0]

Sez. R: $b = 12.0cm$ $h = 16.0cm$ $L = 58.3cm$

Crit.Prog: Legno_Tirante-Puntone Verifica: Verificata

Verifica a trazione parallela alla fibr. (§4.4.8.1.1 - NTC)

Parametri di verifica: $kh = 1.10$

x	Nd	σ_{t0d}	$ft0d$	Kmod	Comb.	SF
cm	kg	kg/cmq	kg/cmq			
58.3	1684	9	125	1	(12+13)-I-4	14

Verifica a compressione parallela alla fibr. (§4.4.8.1.3 - NTC)

Parametri di verifica: $k_{crit,c} = 1.00$ $Lo = 58.3cm$

Instabilità di colonna: **Trascuribile**

x	Nd	σ_{c0d}	$fc0d$	Kmod	Comb.	SF
cm	kg	kg/cmq	kg/cmq			
58.3	-1917	-10	166	1	(12+13)-I-1	17

Asta: 18 [0 , 45]

Sez. R: $b = 12.0cm$ $h = 16.0cm$ $L = 58.3cm$

Crit.Prog: Legno_Tirante-Puntone Verifica: Verificata

Verifica a trazione parallela alla fibr. (§4.4.8.1.1 - NTC)

Parametri di verifica: $kh = 1.10$

x	Nd	σ_{t0d}	$ft0d$	Kmod	Comb.	SF
cm	kg	kg/cmq	kg/cmq			

x	Nd	σ_{t0d}	$ft0d$	Kmod	Comb.	SF
cm	kg	kg/cmq	kg/cmq			
58.3	1687	9	125	1	(12+13)-I-3	14

Verifica a compressione parallela alla fibr. (§4.4.8.1.3 - NTC)

Parametri di verifica: $k_{crit,c} = 1.00$ $Lo = 58.3\text{cm}$

Instabilità di colonna: **Trascurabile**

x	Nd	σ_{c0d}	$fc0d$	Kmod	Comb.	SF
cm	kg	kg/cmq	kg/cmq			
58.3	-1909	-10	166	1	(12+13)-I-2	17

Asta: 47 [0 , 0]

Sez. R: $b = 12.0\text{cm}$ $h = 16.0\text{cm}$ $L = 330.0\text{cm}$

Crit.Prog: Legno_Tirante-Puntone Verifica: **Verificata**

Verifica a trazione parallela alla fibr. (§4.4.8.1.1 - NTC)

Parametri di verifica: $kh = 1.10$

x	Nd	σ_{t0d}	$ft0d$	Kmod	Comb.	SF
cm	kg	kg/cmq	kg/cmq			
330.0	613	3	125	1	(12+13)-I-1	39

Verifica a compressione parallela alla fibr. (§4.4.8.1.3 - NTC)

Parametri di verifica: $k_{crit,c} = 0.39$ $Lo = 330.0\text{cm}$

Instabilità di colonna: **Instabilità nel piano XY**

x	Nd	σ_{c0d}	$fc0d$	Kmod	Comb.	SF
cm	kg	kg/cmq	kg/cmq			
0.0	-408	-2	166	1	(12+13)-I-4	31

Asta: 49 [0 , 0]

Sez. R: $b = 12.0\text{cm}$ $h = 16.0\text{cm}$ $L = 330.0\text{cm}$

Crit.Prog: Legno_Tirante-Puntone Verifica: **Verificata**

Verifica a trazione parallela alla fibr. (§4.4.8.1.1 - NTC)

Parametri di verifica: $kh = 1.10$

x	Nd	σ_{t0d}	$ft0d$	Kmod	Comb.	SF
cm	kg	kg/cmq	kg/cmq			
330.0	509	3	125	1	(12+13)-II-1	47

Verifica a compressione parallela alla fibr. (§4.4.8.1.3 - NTC)

Parametri di verifica: $k_{crit,c} = 0.39$ $Lo = 330.0\text{cm}$

Instabilità di colonna: **Instabilità nel piano XY**

x	Nd	σ_{c0d}	$fc0d$	Kmod	Comb.	SF
cm	kg	kg/cmq	kg/cmq			
0.0	-588	-3	166	1	(12+13)-II-4	21

Asta: 51 [0 , 0]

Sez. R: $b = 12.0\text{cm}$ $h = 16.0\text{cm}$ $L = 330.0\text{cm}$

Crit.Prog: Legno_Tirante-Puntone Verifica: **Verificata**

Verifica a trazione parallela alla fibr. (§4.4.8.1.1 - NTC)

Parametri di verifica: $kh = 1.10$

x	Nd	σ_{t0d}	$ft0d$	Kmod	Comb.	SF
cm	kg	kg/cmq	kg/cmq			
330.0	566	3	125	1	(12+13)-VI-1	42

Verifica a compressione parallela alla fibr. (§4.4.8.1.3 - NTC)

Parametri di verifica: $k_{crit,c} = 0.39$ $L_o = 330.0\text{cm}$

Instabilità di colonna: **Instabilità nel piano XY**

x	Nd	σ_{c0d}	f_{c0d}	Kmod	Comb.	SF
cm	kg	kg/cmq	kg/cmq			
0.0	-734	-4	166	1	(12+13)-VI-4	17

Asta: 53 [0 , 0]

Sez. R: $b = 12.0\text{cm}$ $h = 16.0\text{cm}$ $L = 330.0\text{cm}$

Crit.Prog: Legno_Tirante-Puntone Verifica: **Verificata**

Verifica a trazione parallela alla fibr. (§4.4.8.1.1 - NTC)

Parametri di verifica: $kh = 1.10$

x	Nd	σ_{t0d}	f_{t0d}	Kmod	Comb.	SF
cm	kg	kg/cmq	kg/cmq			
330.0	603	3	125	1	(12+13)-VI-3	40

Verifica a compressione parallela alla fibr. (§4.4.8.1.3 - NTC)

Parametri di verifica: $k_{crit,c} = 0.39$ $L_o = 330.0\text{cm}$

Instabilità di colonna: **Instabilità nel piano XY**

x	Nd	σ_{c0d}	f_{c0d}	Kmod	Comb.	SF
cm	kg	kg/cmq	kg/cmq			
0.0	-756	-4	166	1	(12+13)-VI-2	16

Asta: 55 [0 , 0]

Sez. R: $b = 12.0\text{cm}$ $h = 16.0\text{cm}$ $L = 330.0\text{cm}$

Crit.Prog: Legno_Tirante-Puntone Verifica: **Verificata**

Verifica a trazione parallela alla fibr. (§4.4.8.1.1 - NTC)

Parametri di verifica: $kh = 1.10$

x	Nd	σ_{t0d}	f_{t0d}	Kmod	Comb.	SF
cm	kg	kg/cmq	kg/cmq			
330.0	653	3	125	1	(12+13)-VI-3	37

Verifica a compressione parallela alla fibr. (§4.4.8.1.3 - NTC)

Parametri di verifica: $k_{crit,c} = 0.39$ $L_o = 330.0\text{cm}$

Instabilità di colonna: **Instabilità nel piano XY**

x	Nd	σ_{c0d}	f_{c0d}	Kmod	Comb.	SF
cm	kg	kg/cmq	kg/cmq			
0.0	-790	-4	166	1	(12+13)-VI-2	16

Asta: 57 [0 , 0]

Sez. R: $b = 12.0\text{cm}$ $h = 16.0\text{cm}$ $L = 330.0\text{cm}$

Crit.Prog: Legno_Tirante-Puntone Verifica: **Verificata**

Verifica a trazione parallela alla fibr. (§4.4.8.1.1 - NTC)

Parametri di verifica: $kh = 1.10$

x	Nd	σ_{t0d}	f_{t0d}	Kmod	Comb.	SF
cm	kg	kg/cmq	kg/cmq			
330.0	686	4	125	1	(12+13)-II-3	35

Verifica a compressione parallela alla fibr. (§4.4.8.1.3 - NTC)

Parametri di verifica: $k_{crit,c} = 0.39$ $L_o = 330.0\text{cm}$

Instabilità di colonna: **Instabilità nel piano XY**

x	Nd	σ_{c0d}	f_{c0d}	Kmod	Comb.	SF
cm	kg	kg/cmq	kg/cmq			

x	Nd	σc0d	fc0d	Kmod	Comb.	SF
0.0	-827	-4	166	1	(12+13)-II-2	15

Asta: 59 [0 , 0]

Sez. R: $b = 12.0\text{cm}$ $h = 16.0\text{cm}$

$L = 330.0\text{cm}$

Crit.Prog: Legno_Tirante-Puntone

Verifica: Verificata

Verifica a trazione parallela alla fibr. (§4.4.8.1.1 - NTC)

Parametri di verifica: $kh = 1.10$

x	Nd	σt0d	ft0d	Kmod	Comb.	SF
cm	kg	kg/cmq	kg/cmq			
330.0	696	4	125	1	(12+13)-II-3	35

Verifica a compressione parallela alla fibr. (§4.4.8.1.3 - NTC)

Parametri di verifica: $k_{crit,c} = 0.39$ $Lo = 330.0\text{cm}$

Instabilità di colonna: Instabilità nel piano XY

x	Nd	σc0d	fc0d	Kmod	Comb.	SF
cm	kg	kg/cmq	kg/cmq			
0.0	-843	-4	166	1	(12+13)-II-2	15

Asta: 61 [0 , 0]

Sez. R: $b = 12.0\text{cm}$ $h = 16.0\text{cm}$

$L = 330.0\text{cm}$

Crit.Prog: Legno_Tirante-Puntone

Verifica: Verificata

Verifica a trazione parallela alla fibr. (§4.4.8.1.1 - NTC)

Parametri di verifica: $kh = 1.10$

x	Nd	σt0d	ft0d	Kmod	Comb.	SF
cm	kg	kg/cmq	kg/cmq			
330.0	749	4	125	1	(12+13)-II-3	32

Verifica a compressione parallela alla fibr. (§4.4.8.1.3 - NTC)

Parametri di verifica: $k_{crit,c} = 0.39$ $Lo = 330.0\text{cm}$

Instabilità di colonna: Instabilità nel piano XY

x	Nd	σc0d	fc0d	Kmod	Comb.	SF
cm	kg	kg/cmq	kg/cmq			
0.0	-849	-4	166	1	(12+13)-II-2	15

Asta: 63 [0 , 0]

Sez. R: $b = 12.0\text{cm}$ $h = 16.0\text{cm}$

$L = 330.0\text{cm}$

Crit.Prog: Legno_Tirante-Puntone

Verifica: Verificata

Verifica a trazione parallela alla fibr. (§4.4.8.1.1 - NTC)

Parametri di verifica: $kh = 1.10$

x	Nd	σt0d	ft0d	Kmod	Comb.	SF
cm	kg	kg/cmq	kg/cmq			
330.0	1132	6	125	1	(12+13)-II-3	21

Verifica a compressione parallela alla fibr. (§4.4.8.1.3 - NTC)

Parametri di verifica: $k_{crit,c} = 0.39$ $Lo = 330.0\text{cm}$

Instabilità di colonna: Instabilità nel piano XY

x	Nd	σc0d	fc0d	Kmod	Comb.	SF
cm	kg	kg/cmq	kg/cmq			
0.0	-1020	-5	166	1	(12+13)-II-2	12

Asta: 65 [0 , 0]

Sez. R: $b = 12.0\text{cm}$ $h = 16.0\text{cm}$ $L = 330.0\text{cm}$
 Crit.Prog: Legno_Tirante-Puntone Verifica: Verificata

Verifica a trazione parallela alla fibr. (§4.4.8.1.1 - NTC)

Parametri di verifica: $kh = 1.10$

x	Nd	σ_{t0d}	ft_{0d}	Kmod	Comb.	SF
cm	kg	kg/cmq	kg/cmq			
330.0	825	4	125	1	(12+13)-II-1	29

Verifica a compressione parallela alla fibr. (§4.4.8.1.3 - NTC)

Parametri di verifica: $k_{crit,c} = 0.39$ $Lo = 330.0\text{cm}$

Instabilità di colonna: Instabilità nel piano XY

x	Nd	σ_{c0d}	fc_{0d}	Kmod	Comb.	SF
cm	kg	kg/cmq	kg/cmq			
0.0	-802	-4	166	1	(12+13)-II-4	16

Asta: 66 [0 , 0]

Sez. R: $b = 12.0\text{cm}$ $h = 16.0\text{cm}$ $L = 260.0\text{cm}$
 Crit.Prog: Legno_Tirante-Puntone Verifica: Verificata

Verifica a trazione parallela alla fibr. (§4.4.8.1.1 - NTC)

Parametri di verifica: $kh = 1.10$

x	Nd	σ_{t0d}	ft_{0d}	Kmod	Comb.	SF
cm	kg	kg/cmq	kg/cmq			
260.0	568	3	125	1	(12+13)-I-2	42

Verifica a compressione parallela alla fibr. (§4.4.8.1.3 - NTC)

Parametri di verifica: $k_{crit,c} = 0.59$ $Lo = 260.0\text{cm}$

Instabilità di colonna: Instabilità nel piano XY

x	Nd	σ_{c0d}	fc_{0d}	Kmod	Comb.	SF
cm	kg	kg/cmq	kg/cmq			
260.0	-442	-2	166	1	(12+13)-I-3	43

Asta: 67 [0 , 0]

Sez. R: $b = 12.0\text{cm}$ $h = 16.0\text{cm}$ $L = 330.0\text{cm}$
 Crit.Prog: Legno_Tirante-Puntone Verifica: Verificata

Verifica a trazione parallela alla fibr. (§4.4.8.1.1 - NTC)

Parametri di verifica: $kh = 1.10$

x	Nd	σ_{t0d}	ft_{0d}	Kmod	Comb.	SF
cm	kg	kg/cmq	kg/cmq			
330.0	248	1	125	1	(12+13)-IV-1	97

Verifica a compressione parallela alla fibr. (§4.4.8.1.3 - NTC)

Parametri di verifica: $k_{crit,c} = 0.39$ $Lo = 330.0\text{cm}$

Instabilità di colonna: Instabilità nel piano XY

x	Nd	σ_{c0d}	fc_{0d}	Kmod	Comb.	SF
cm	kg	kg/cmq	kg/cmq			
0.0	-260	-1	166	1	(12+13)-IV-4	48

Asta: 68 [0 , 0]

Sez. R: $b = 12.0\text{cm}$ $h = 16.0\text{cm}$ $L = 260.0\text{cm}$
 Crit.Prog: Legno_Tirante-Puntone Verifica: Verificata

Verifica a trazione parallela alla fibr. (§4.4.8.1.1 - NTC)

Parametri di verifica: $kh = 1.10$

x	Nd	σ_{t0d}	f_{t0d}	Kmod	Comb.	SF
cm	kg	kg/cmq	kg/cmq			
260.0	120	1	125	1	(12+13)-II-4	>100

Verifica a compressione parallela alla fibr. (§4.4.8.1.3 - NTC)

Parametri di verifica: $k_{crit,c} = 0.59$ $Lo = 260.0\text{cm}$

Instabilità di colonna: **Instabilità nel piano XY**

x	Nd	σ_{c0d}	f_{c0d}	Kmod	Comb.	SF
cm	kg	kg/cmq	kg/cmq			
260.0	-113	-1	166	1	(12+13)-II-1	>100

Asta: 69 [0 , 0]

Sez. R: $b = 12.0\text{cm}$ $h = 16.0\text{cm}$ $L = 330.0\text{cm}$

Crit.Prog: Legno_Tirante-Puntone Verifica: **Verificata**

Verifica a trazione parallela alla fibr. (§4.4.8.1.1 - NTC)

Parametri di verifica: $kh = 1.10$

x	Nd	σ_{t0d}	f_{t0d}	Kmod	Comb.	SF
cm	kg	kg/cmq	kg/cmq			
330.0	125	1	125	1	(12+13)-VIII-1	>100

Verifica a compressione parallela alla fibr. (§4.4.8.1.3 - NTC)

Parametri di verifica: $k_{crit,c} = 0.39$ $Lo = 330.0\text{cm}$

Instabilità di colonna: **Instabilità nel piano XY**

x	Nd	σ_{c0d}	f_{c0d}	Kmod	Comb.	SF
cm	kg	kg/cmq	kg/cmq			
0.0	-197	-1	166	1	(12+13)-VIII-4	63

Asta: 70 [0 , 0]

Sez. R: $b = 12.0\text{cm}$ $h = 16.0\text{cm}$ $L = 260.0\text{cm}$

Crit.Prog: Legno_Tirante-Puntone Verifica: **Verificata**

Verifica a trazione parallela alla fibr. (§4.4.8.1.1 - NTC)

Parametri di verifica: $kh = 1.10$

x	Nd	σ_{t0d}	f_{t0d}	Kmod	Comb.	SF
cm	kg	kg/cmq	kg/cmq			
260.0	129	1	125	1	(12+13)-II-4	>100

Verifica a compressione parallela alla fibr. (§4.4.8.1.3 - NTC)

Parametri di verifica: $k_{crit,c} = 0.59$ $Lo = 260.0\text{cm}$

Instabilità di colonna: **Instabilità nel piano XY**

x	Nd	σ_{c0d}	f_{c0d}	Kmod	Comb.	SF
cm	kg	kg/cmq	kg/cmq			
260.0	-136	-1	166	1	(12+13)-II-1	>100

Asta: 71 [0 , 0]

Sez. R: $b = 12.0\text{cm}$ $h = 16.0\text{cm}$ $L = 330.0\text{cm}$

Crit.Prog: Legno_Tirante-Puntone Verifica: **Verificata**

Verifica a trazione parallela alla fibr. (§4.4.8.1.1 - NTC)

Parametri di verifica: $kh = 1.10$

x	Nd	σ_{t0d}	f_{t0d}	Kmod	Comb.	SF
cm	kg	kg/cmq	kg/cmq			
330.0	330	2	125	1	(12+13)-IV-3	73

Verifica a compressione parallela alla fibr. (§4.4.8.1.3 - NTC)

Parametri di verifica: $k_{crit,c} = 0.39$ $L_o = 330.0\text{cm}$

Instabilità di colonna: **Instabilità nel piano XY**

x	Nd	σ_{c0d}	f_{c0d}	Kmod	Comb.	SF
cm	kg	kg/cmq	kg/cmq			
0.0	-500	-3	166	1	(12+13)-IV-2	25

Asta: 72 [0 , 0]

Sez. R: $b = 12.0\text{cm}$ $h = 16.0\text{cm}$ $L = 260.0\text{cm}$
Crit.Prog: Legno_Tirante-Puntone Verifica: **Verificata**

Verifica a trazione parallela alla fibr. (§4.4.8.1.1 - NTC)

Parametri di verifica: $kh = 1.10$

x	Nd	σ_{t0d}	f_{t0d}	Kmod	Comb.	SF
cm	kg	kg/cmq	kg/cmq			
260.0	135	1	125	1	(12+13)-II-4	>100

Verifica a compressione parallela alla fibr. (§4.4.8.1.3 - NTC)

Parametri di verifica: $k_{crit,c} = 0.59$ $L_o = 260.0\text{cm}$

Instabilità di colonna: **Instabilità nel piano XY**

x	Nd	σ_{c0d}	f_{c0d}	Kmod	Comb.	SF
cm	kg	kg/cmq	kg/cmq			
260.0	-130	-1	166	1	(12+13)-II-1	>100

Asta: 73 [0 , 0]

Sez. R: $b = 12.0\text{cm}$ $h = 16.0\text{cm}$ $L = 330.0\text{cm}$
Crit.Prog: Legno_Tirante-Puntone Verifica: **Verificata**

Verifica a trazione parallela alla fibr. (§4.4.8.1.1 - NTC)

Parametri di verifica: $kh = 1.10$

x	Nd	σ_{t0d}	f_{t0d}	Kmod	Comb.	SF
cm	kg	kg/cmq	kg/cmq			
330.0	1802	9	125	1	(12+13)-IV-3	13

Verifica a compressione parallela alla fibr. (§4.4.8.1.3 - NTC)

Parametri di verifica: $k_{crit,c} = 0.39$ $L_o = 330.0\text{cm}$

Instabilità di colonna: **Instabilità nel piano XY**

x	Nd	σ_{c0d}	f_{c0d}	Kmod	Comb.	SF
cm	kg	kg/cmq	kg/cmq			
0.0	-2084	-11	166	1	(12+13)-IV-2	6.0

Asta: 74 [0 , 0]

Sez. R: $b = 12.0\text{cm}$ $h = 16.0\text{cm}$ $L = 260.0\text{cm}$
Crit.Prog: Legno_Tirante-Puntone Verifica: **Verificata**

Verifica a trazione parallela alla fibr. (§4.4.8.1.1 - NTC)

Parametri di verifica: $kh = 1.10$

x	Nd	σ_{t0d}	f_{t0d}	Kmod	Comb.	SF
cm	kg	kg/cmq	kg/cmq			
260.0	199	1	125	1	(12+13)-IV-3	>100

Verifica a compressione parallela alla fibr. (§4.4.8.1.3 - NTC)

Parametri di verifica: $k_{crit,c} = 0.59$ $L_o = 260.0\text{cm}$

Instabilità di colonna: **Instabilità nel piano XY**

x	Nd	σ_{c0d}	f_{c0d}	Kmod	Comb.	SF
cm	kg	kg/cmq	kg/cmq			
0.0	-500	-3	166	1	(12+13)-IV-2	25

x	Nd	σc0d	fc0d	Kmod	Comb.	SF
260.0	-136	-1	166	1	(12+13)-IV-2	>100
cm	kg	kg/cmq	kg/cmq			

Asta: 75 [57 , 59]

Sez. R: $b = 12.0\text{cm}$

$h = 16.0\text{cm}$

$L = 330.0\text{cm}$

Crit.Prog: Legno_Tirante-Puntone

Verifica: Verificata

Verifica a trazione parallela alla fibr. (§4.4.8.1.1 - NTC)

Parametri di verifica: $kh = 1.10$

x	Nd	σt0d	ft0d	Kmod	Comb.	SF
cm	kg	kg/cmq	kg/cmq			
330.0	3846	20	125	1	(12+13)-VIII-3	6.2

Verifica a compressione parallela alla fibr. (§4.4.8.1.3 - NTC)

Parametri di verifica: $k_{crit,c} = 0.39$

$Lo = 330.0\text{cm}$

Instabilità di colonna: Instabilità nel piano XY

x	Nd	σc0d	fc0d	Kmod	Comb.	SF
cm	kg	kg/cmq	kg/cmq			
0.0	-3526	-18	166	1	(12+13)-VIII-2	3.5

Asta: 24 [0 , 0]

Sez. R: $b = 12.0\text{cm}$

$h = 16.0\text{cm}$

$L = 60.0\text{cm}$

Crit.Prog: Legno_Tirante-Puntone

Verifica: Verificata

Verifica a trazione parallela alla fibr. (§4.4.8.1.1 - NTC)

Parametri di verifica: $kh = 1.10$

x	Nd	σt0d	ft0d	Kmod	Comb.	SF
cm	kg	kg/cmq	kg/cmq			
60.0	140	1	75	0.6	1	>100

Verifica a compressione parallela alla fibr. (§4.4.8.1.3 - NTC)

Parametri di verifica: $k_{crit,c} = 1.00$

$Lo = 60.0\text{cm}$

Instabilità di colonna: Trascurabile

x	Nd	σc0d	fc0d	Kmod	Comb.	SF
cm	kg	kg/cmq	kg/cmq			
24.0	-59	-0	166	1	(12+13)-III-3	>100

Asta: 24 [0 , 0]

Sez. R: $b = 12.0\text{cm}$

$h = 16.0\text{cm}$

$L = 60.0\text{cm}$

Crit.Prog: Legno_Tirante-Puntone

Verifica: Verificata

Verifica a trazione parallela alla fibr. (§4.4.8.1.1 - NTC)

Parametri di verifica: $kh = 1.10$

x	Nd	σt0d	ft0d	Kmod	Comb.	SF
cm	kg	kg/cmq	kg/cmq			
60.0	163	1	75	0.6	1	88

Asta: 24 [0 , 0]

Sez. R: $b = 12.0\text{cm}$

$h = 16.0\text{cm}$

$L = 60.0\text{cm}$

Crit.Prog: Legno_Tirante-Puntone

Verifica: Verificata

Verifica a trazione parallela alla fibr. (§4.4.8.1.1 - NTC)

Parametri di verifica: $kh = 1.10$

x	Nd	σt0d	ft0d	Kmod	Comb.	SF
cm	kg	kg/cmq	kg/cmq			
24.0	172	1	75	0.6	1	84

Asta: 24 [0 , 0]

Sez. R: $b = 12.0\text{cm}$ $h = 16.0\text{cm}$ $L = 60.0\text{cm}$
Crit.Prog: Legno_Tirante-Puntone *Verifica: Verificata*

Verifica a trazione parallela alla fibr. (§4.4.8.1.1 - NTC)

Parametri di verifica: $kh = 1.10$

x	Nd	σ_{t0d}	$ft0d$	Kmod	Comb.	SF
cm	kg	kg/cmq	kg/cmq			
24.0	175	1	75	0.6	1	82

Verifica a compressione parallela alla fibr. (§4.4.8.1.3 - NTC)

Parametri di verifica: $k_{crit,c} = 1.00$ $Lo = 60.0\text{cm}$

Instabilità di colonna: **Trascurabile**

x	Nd	σ_{c0d}	$fc0d$	Kmod	Comb.	SF
cm	kg	kg/cmq	kg/cmq			
60.0	-29	-0	166	1	(12+13)-VII-3	>100

Asta: 24 [0 , 0]

Sez. R: $b = 12.0\text{cm}$ $h = 16.0\text{cm}$ $L = 60.0\text{cm}$
Crit.Prog: Legno_Tirante-Puntone *Verifica: Verificata*

Verifica a trazione parallela alla fibr. (§4.4.8.1.1 - NTC)

Parametri di verifica: $kh = 1.10$

x	Nd	σ_{t0d}	$ft0d$	Kmod	Comb.	SF
cm	kg	kg/cmq	kg/cmq			
60.0	370	2	125	1	(12+13)-I-4	65

Verifica a compressione parallela alla fibr. (§4.4.8.1.3 - NTC)

Parametri di verifica: $k_{crit,c} = 1.00$ $Lo = 60.0\text{cm}$

Instabilità di colonna: **Trascurabile**

x	Nd	σ_{c0d}	$fc0d$	Kmod	Comb.	SF
cm	kg	kg/cmq	kg/cmq			
60.0	-76	-0	166	1	(12+13)-I-1	>100

Asta: 24 [0 , 0]

Sez. R: $b = 12.0\text{cm}$ $h = 16.0\text{cm}$ $L = 60.0\text{cm}$
Crit.Prog: Legno_Tirante-Puntone *Verifica: Verificata*

Verifica a trazione parallela alla fibr. (§4.4.8.1.1 - NTC)

Parametri di verifica: $kh = 1.10$

x	Nd	σ_{t0d}	$ft0d$	Kmod	Comb.	SF
cm	kg	kg/cmq	kg/cmq			
60.0	530	3	125	1	(12+13)-I-4	45

Verifica a compressione parallela alla fibr. (§4.4.8.1.3 - NTC)

Parametri di verifica: $k_{crit,c} = 1.00$ $Lo = 60.0\text{cm}$

Instabilità di colonna: **Trascurabile**

x	Nd	σ_{c0d}	$fc0d$	Kmod	Comb.	SF
cm	kg	kg/cmq	kg/cmq			
60.0	-111	-1	166	1	(12+13)-I-1	>100

Asta: 24 [0 , 0]

Sez. R: $b = 12.0\text{cm}$ $h = 16.0\text{cm}$ $L = 60.0\text{cm}$
Crit.Prog: Legno_Tirante-Puntone *Verifica: Verificata*

Verifica a trazione parallela alla fibr. (§4.4.8.1.1 - NTC)

Parametri di verifica: $kh = 1.10$

x	Nd	σ_{t0d}	ft_{0d}	Kmod	Comb.	SF
cm	kg	kg/cmq	kg/cmq			
30.0	553	3	75	0.6	1	26

Verifica a compressione parallela alla fibr. (§4.4.8.1.3 - NTC)

Parametri di verifica: $k_{crit,c} = 1.00$ $Lo = 60.0\text{cm}$

Instabilità di colonna: **Trascurabile**

x	Nd	σ_{c0d}	fc_{0d}	Kmod	Comb.	SF
cm	kg	kg/cmq	kg/cmq			
24.0	-94	-0	166	1	(12+13)-I-1	>100

Asta: 24 [0 , 60]

Sez. R: $b = 12.0\text{cm}$ $h = 16.0\text{cm}$ $L = 60.0\text{cm}$

Crit.Prog: Legno_Tirante-Puntone Verifica: **Verificata**

Verifica a trazione parallela alla fibr. (§4.4.8.1.1 - NTC)

Parametri di verifica: $kh = 1.10$

x	Nd	σ_{t0d}	ft_{0d}	Kmod	Comb.	SF
cm	kg	kg/cmq	kg/cmq			
60.0	1064	6	75	0.6	1	14

Asta: 15 [0 , 0]

Sez. R: $b = 20.0\text{cm}$ $h = 40.0\text{cm}$ $L = 62.0\text{cm}$

Crit.Prog: Legno_Tirante-Puntone Verifica: **Verificata**

Verifica a trazione parallela alla fibr. (§4.4.8.1.1 - NTC)

Parametri di verifica: $kh = 1.04$

x	Nd	σ_{t0d}	ft_{0d}	Kmod	Comb.	SF
cm	kg	kg/cmq	kg/cmq			
62.0	1563	2	119	1	(12+13)-III-3	61

Verifica a compressione parallela alla fibr. (§4.4.8.1.3 - NTC)

Parametri di verifica: $k_{crit,c} = 1.00$ $Lo = 62.0\text{cm}$

Instabilità di colonna: **Trascurabile**

x	Nd	σ_{c0d}	fc_{0d}	Kmod	Comb.	SF
cm	kg	kg/cmq	kg/cmq			
0.0	-126	-0	166	1	(12+13)-III-2	>100

Asta: 15 [0 , 0]

Sez. R: $b = 20.0\text{cm}$ $h = 40.0\text{cm}$ $L = 62.0\text{cm}$

Crit.Prog: Legno_Tirante-Puntone Verifica: **Verificata**

Verifica a trazione parallela alla fibr. (§4.4.8.1.1 - NTC)

Parametri di verifica: $kh = 1.04$

x	Nd	σ_{t0d}	ft_{0d}	Kmod	Comb.	SF
cm	kg	kg/cmq	kg/cmq			
62.0	1588	2	119	1	(12+13)-III-3	60

Verifica a compressione parallela alla fibr. (§4.4.8.1.3 - NTC)

Parametri di verifica: $k_{crit,c} = 1.00$ $Lo = 62.0\text{cm}$

Instabilità di colonna: **Trascurabile**

x	Nd	σ_{c0d}	fc_{0d}	Kmod	Comb.	SF
cm	kg	kg/cmq	kg/cmq			
0.0	-126	-0	166	1	(12+13)-III-2	>100

x	Nd	σc0d	fc0d	Kmod	Comb.	SF
0.0	-150	-0	166	1	(12+13)-III-2	>100
cm	kg	kg/cmq	kg/cmq			

Asta: 15 [0 , 0]

Sez. R: $b = 20.0\text{cm}$

$h = 40.0\text{cm}$

$L = 62.0\text{cm}$

Crit.Prog: Legno_Tirante-Puntone

Verifica: Verificata

Verifica a trazione parallela alla fibr. (§4.4.8.1.1 - NTC)

Parametri di verifica: $kh = 1.04$

x	Nd	σt0d	ft0d	Kmod	Comb.	SF
cm	kg	kg/cmq	kg/cmq			
62.0	1612	2	119	1	(12+13)-III-3	59

Verifica a compressione parallela alla fibr. (§4.4.8.1.3 - NTC)

Parametri di verifica: $k_{crit,c} = 1.00$

$Lo = 62.0\text{cm}$

Instabilità di colonna: Trascurabile

x	Nd	σc0d	fc0d	Kmod	Comb.	SF
cm	kg	kg/cmq	kg/cmq			
0.0	-179	-0	166	1	(12+13)-III-2	>100

Asta: 15 [0 , 53]

Sez. R: $b = 20.0\text{cm}$

$h = 40.0\text{cm}$

$L = 62.0\text{cm}$

Crit.Prog: Legno_Tirante-Puntone

Verifica: Verificata

Verifica a trazione parallela alla fibr. (§4.4.8.1.1 - NTC)

Parametri di verifica: $kh = 1.04$

x	Nd	σt0d	ft0d	Kmod	Comb.	SF
cm	kg	kg/cmq	kg/cmq			
62.0	1632	2	119	1	(12+13)-III-3	58

Verifica a compressione parallela alla fibr. (§4.4.8.1.3 - NTC)

Parametri di verifica: $k_{crit,c} = 1.00$

$Lo = 62.0\text{cm}$

Instabilità di colonna: Trascurabile

x	Nd	σc0d	fc0d	Kmod	Comb.	SF
cm	kg	kg/cmq	kg/cmq			
0.0	-212	-0	166	1	(12+13)-III-2	>100

Asta: 15 [0 , 0]

Sez. R: $b = 12.0\text{cm}$

$h = 16.0\text{cm}$

$L = 57.5\text{cm}$

Crit.Prog: Legno_Tirante-Puntone

Verifica: Verificata

Verifica a trazione parallela alla fibr. (§4.4.8.1.1 - NTC)

Parametri di verifica: $kh = 1.10$

x	Nd	σt0d	ft0d	Kmod	Comb.	SF
cm	kg	kg/cmq	kg/cmq			
23.0	644	3	75	0.6	1	22

Asta: 15 [0 , 0]

Sez. R: $b = 12.0\text{cm}$

$h = 16.0\text{cm}$

$L = 57.5\text{cm}$

Crit.Prog: Legno_Tirante-Puntone

Verifica: Verificata

Verifica a trazione parallela alla fibr. (§4.4.8.1.1 - NTC)

Parametri di verifica: $kh = 1.10$

x	Nd	σt0d	ft0d	Kmod	Comb.	SF
cm	kg	kg/cmq	kg/cmq			
23.0	389	2	75	0.6	1	37

Asta: 15 [0 , 54]

Sez. R: $b = 12.0\text{cm}$ $h = 16.0\text{cm}$ $L = 57.5\text{cm}$
Crit.Prog: Legno_Tirante-Puntone *Verifica: Verificata*

Verifica a trazione parallela alla fibr. (§4.4.8.1.1 - NTC)

Parametri di verifica: $kh = 1.10$

x	Nd	σ_{t0d}	ft_{0d}	Kmod	Comb.	SF
cm	kg	kg/cmq	kg/cmq			
57.5	376	2	75	0.6	1	38

Asta: 76 [0 , 0]

Sez. R: $b = 12.0\text{cm}$ $h = 16.0\text{cm}$ $L = 330.0\text{cm}$
Crit.Prog: Legno_Tirante-Puntone *Verifica: Verificata*

Verifica a trazione parallela alla fibr. (§4.4.8.1.1 - NTC)

Parametri di verifica: $kh = 1.10$

x	Nd	σ_{t0d}	ft_{0d}	Kmod	Comb.	SF
cm	kg	kg/cmq	kg/cmq			
0.0	762	4	125	1	(12+13)-IV-1	32

Verifica a compressione parallela alla fibr. (§4.4.8.1.3 - NTC)

Parametri di verifica: $k_{crit,c} = 0.39$ $Lo = 330.0\text{cm}$

Instabilità di colonna: **Instabilità nel piano XY**

x	Nd	σ_{c0d}	fc_{0d}	Kmod	Comb.	SF
cm	kg	kg/cmq	kg/cmq			
330.0	-817	-4	166	1	(12+13)-IV-4	15

Asta: 77 [0 , 0]

Sez. R: $b = 12.0\text{cm}$ $h = 16.0\text{cm}$ $L = 330.0\text{cm}$
Crit.Prog: Legno_Tirante-Puntone *Verifica: Verificata*

Verifica a trazione parallela alla fibr. (§4.4.8.1.1 - NTC)

Parametri di verifica: $kh = 1.10$

x	Nd	σ_{t0d}	ft_{0d}	Kmod	Comb.	SF
cm	kg	kg/cmq	kg/cmq			
330.0	30	0	125	1	(12+13)-VIII-4	>100

Verifica a compressione parallela alla fibr. (§4.4.8.1.3 - NTC)

Parametri di verifica: $k_{crit,c} = 0.39$ $Lo = 330.0\text{cm}$

Instabilità di colonna: **Instabilità nel piano XY**

x	Nd	σ_{c0d}	fc_{0d}	Kmod	Comb.	SF
cm	kg	kg/cmq	kg/cmq			
0.0	-182	-1	166	1	(12+13)-VIII-1	68

Asta: 78 [0 , 0]

Sez. R: $b = 12.0\text{cm}$ $h = 16.0\text{cm}$ $L = 330.1\text{cm}$
Crit.Prog: Legno_Tirante-Puntone *Verifica: Verificata*

Verifica a compressione parallela alla fibr. (§4.4.8.1.3 - NTC)

Parametri di verifica: $k_{crit,c} = 0.39$ $Lo = 330.1\text{cm}$

Instabilità di colonna: **Instabilità nel piano XY**

x	Nd	σ_{c0d}	fc_{0d}	Kmod	Comb.	SF
cm	kg	kg/cmq	kg/cmq			
0.0	-105	-1	99	0.6	1	71

Asta: 79 [0 , 0]Sez. R: $b = 12.0\text{cm}$ $h = 16.0\text{cm}$ $L = 330.1\text{cm}$

Crit.Prog: Legno_Tirante-Puntone

Verifica: Verificata

Verifica a trazione parallela alla fibr. (§4.4.8.1.1 - NTC)Parametri di verifica: $kh = 1.10$

x	Nd	σ_{t0d}	$ft0d$	Kmod	Comb.	SF
cm	kg	kg/cmq	kg/cmq			
330.1	160	1	125	1	(12+13)-VII-2	>100

Verifica a compressione parallela alla fibr. (§4.4.8.1.3 - NTC)Parametri di verifica: $k_{crit,c} = 0.39$ $Lo = 330.1\text{cm}$

Instabilità di colonna: Instabilità nel piano XY

x	Nd	σ_{c0d}	$fc0d$	Kmod	Comb.	SF
cm	kg	kg/cmq	kg/cmq			
0.0	-477	-2	166	1	(12+13)-VII-3	26

Asta: 80 [53 , 0]Sez. R: $b = 12.0\text{cm}$ $h = 16.0\text{cm}$ $L = 330.2\text{cm}$

Crit.Prog: Legno_Tirante-Puntone

Verifica: Verificata

Verifica a trazione parallela alla fibr. (§4.4.8.1.1 - NTC)Parametri di verifica: $kh = 1.10$

x	Nd	σ_{t0d}	$ft0d$	Kmod	Comb.	SF
cm	kg	kg/cmq	kg/cmq			
330.2	555	3	125	1	(12+13)-IV-2	43

Verifica a compressione parallela alla fibr. (§4.4.8.1.3 - NTC)Parametri di verifica: $k_{crit,c} = 0.39$ $Lo = 330.2\text{cm}$

Instabilità di colonna: Instabilità nel piano XY

x	Nd	σ_{c0d}	$fc0d$	Kmod	Comb.	SF
cm	kg	kg/cmq	kg/cmq			
330.2	-559	-3	166	1	(12+13)-IV-3	22

Asta: 81 [0 , 0]Sez. R: $b = 12.0\text{cm}$ $h = 16.0\text{cm}$ $L = 330.1\text{cm}$

Crit.Prog: Legno_Tirante-Puntone

Verifica: Verificata

Verifica a trazione parallela alla fibr. (§4.4.8.1.1 - NTC)Parametri di verifica: $kh = 1.10$

x	Nd	σ_{t0d}	$ft0d$	Kmod	Comb.	SF
cm	kg	kg/cmq	kg/cmq			
330.1	130	1	125	1	(12+13)-VIII-4	>100

Verifica a compressione parallela alla fibr. (§4.4.8.1.3 - NTC)Parametri di verifica: $k_{crit,c} = 0.39$ $Lo = 330.1\text{cm}$

Instabilità di colonna: Instabilità nel piano XY

x	Nd	σ_{c0d}	$fc0d$	Kmod	Comb.	SF
cm	kg	kg/cmq	kg/cmq			
330.1	-347	-2	166	1	(12+13)-VIII-1	36

Asta: 82 [0 , 0]Sez. R: $b = 12.0\text{cm}$ $h = 16.0\text{cm}$ $L = 330.0\text{cm}$

Crit.Prog: Legno_Tirante-Puntone

Verifica: Verificata

Verifica a trazione parallela alla fibr. (§4.4.8.1.1 - NTC)

Parametri di verifica: $kh = 1.10$

x	Nd	σ_{t0d}	ft_{0d}	Kmod	Comb.	SF
cm	kg	kg/cmq	kg/cmq			
330.0	17	0	125	1	(12+13)-I-3	>100

Verifica a compressione parallela alla fibr. (§4.4.8.1.3 - NTC)

Parametri di verifica: $k_{crit,c} = 0.39$ $Lo = 330.0\text{cm}$

Instabilità di colonna: **Instabilità nel piano XY**

x	Nd	σ_{c0d}	fc_{0d}	Kmod	Comb.	SF
cm	kg	kg/cmq	kg/cmq			
330.0	-219	-1	99	0.6	1	34

Asta: 83 [0 , 0]

Sez. R: $b = 12.0\text{cm}$ $h = 16.0\text{cm}$ $L = 330.0\text{cm}$

Crit.Prog: Legno_Tirante-Puntone Verifica: **Verificata**

Verifica a trazione parallela alla fibr. (§4.4.8.1.1 - NTC)

Parametri di verifica: $kh = 1.10$

x	Nd	σ_{t0d}	ft_{0d}	Kmod	Comb.	SF
cm	kg	kg/cmq	kg/cmq			
330.0	464	2	125	1	(12+13)-III-4	52

Verifica a compressione parallela alla fibr. (§4.4.8.1.3 - NTC)

Parametri di verifica: $k_{crit,c} = 0.39$ $Lo = 330.0\text{cm}$

Instabilità di colonna: **Instabilità nel piano XY**

x	Nd	σ_{c0d}	fc_{0d}	Kmod	Comb.	SF
cm	kg	kg/cmq	kg/cmq			
330.0	-767	-4	166	1	(12+13)-III-1	16

Asta: 21 [0 , 0]

Sez. R: $b = 12.0\text{cm}$ $h = 16.0\text{cm}$ $L = 54.7\text{cm}$

Crit.Prog: Legno_Tirante-Puntone Verifica: **Verificata**

Verifica a compressione parallela alla fibr. (§4.4.8.1.3 - NTC)

Parametri di verifica: $k_{crit,c} = 1.00$ $Lo = 54.7\text{cm}$

Instabilità di colonna: **Trascurabile**

x	Nd	σ_{c0d}	fc_{0d}	Kmod	Comb.	SF
cm	kg	kg/cmq	kg/cmq			
54.7	-143	-1	166	1	(12+13)-VII-4	>100

Asta: 21 [0 , 0]

Sez. R: $b = 12.0\text{cm}$ $h = 16.0\text{cm}$ $L = 54.7\text{cm}$

Crit.Prog: Legno_Tirante-Puntone Verifica: **Verificata**

Verifica a trazione parallela alla fibr. (§4.4.8.1.1 - NTC)

Parametri di verifica: $kh = 1.10$

x	Nd	σ_{t0d}	ft_{0d}	Kmod	Comb.	SF
cm	kg	kg/cmq	kg/cmq			
21.9	56	0	125	1	(12+13)-VII-1	>100

Verifica a compressione parallela alla fibr. (§4.4.8.1.3 - NTC)

Parametri di verifica: $k_{crit,c} = 1.00$ $Lo = 54.7\text{cm}$

Instabilità di colonna: **Trascurabile**

x	Nd	σ_{c0d}	fc_{0d}	Kmod	Comb.	SF
cm	kg	kg/cmq	kg/cmq			
21.9	56	0	125	1	(12+13)-VII-1	>100

x	Nd	σc0d	fc0d	Kmod	Comb.	SF
21.9	-135	-1	166	1	(12+13)-VII-4	>100
cm	kg	kg/cmq	kg/cmq			

Asta: 21 [0 , 0]

Sez. R: $b = 12.0\text{cm}$

$h = 16.0\text{cm}$

$L = 54.7\text{cm}$

Crit.Prog: Legno_Tirante-Puntone

Verifica: Verificata

Verifica a trazione parallela alla fibr. (§4.4.8.1.1 - NTC)

Parametri di verifica: $kh = 1.10$

x	Nd	σt0d	ft0d	Kmod	Comb.	SF
cm	kg	kg/cmq	kg/cmq			
21.9	48	0	125	1	(12+13)-VII-1	>100

Verifica a compressione parallela alla fibr. (§4.4.8.1.3 - NTC)

Parametri di verifica: $k_{crit,c} = 1.00$

$Lo = 54.7\text{cm}$

Instabilità di colonna: Trascurabile

x	Nd	σc0d	fc0d	Kmod	Comb.	SF
cm	kg	kg/cmq	kg/cmq			
21.9	-92	-0	166	1	(12+13)-VII-4	>100

Asta: 21 [0 , 0]

Sez. R: $b = 12.0\text{cm}$

$h = 16.0\text{cm}$

$L = 54.7\text{cm}$

Crit.Prog: Legno_Tirante-Puntone

Verifica: Verificata

Verifica a trazione parallela alla fibr. (§4.4.8.1.1 - NTC)

Parametri di verifica: $kh = 1.10$

x	Nd	σt0d	ft0d	Kmod	Comb.	SF
cm	kg	kg/cmq	kg/cmq			
54.7	122	1	125	1	(12+13)-VII-3	>100

Verifica a compressione parallela alla fibr. (§4.4.8.1.3 - NTC)

Parametri di verifica: $k_{crit,c} = 1.00$

$Lo = 54.7\text{cm}$

Instabilità di colonna: Trascurabile

x	Nd	σc0d	fc0d	Kmod	Comb.	SF
cm	kg	kg/cmq	kg/cmq			
54.7	-83	-0	166	1	(12+13)-VII-2	>100

Asta: 21 [0 , 0]

Sez. R: $b = 12.0\text{cm}$

$h = 16.0\text{cm}$

$L = 54.7\text{cm}$

Crit.Prog: Legno_Tirante-Puntone

Verifica: Verificata

Verifica a trazione parallela alla fibr. (§4.4.8.1.1 - NTC)

Parametri di verifica: $kh = 1.10$

x	Nd	σt0d	ft0d	Kmod	Comb.	SF
cm	kg	kg/cmq	kg/cmq			
54.7	173	1	125	1	(12+13)-VII-4	>100

Verifica a compressione parallela alla fibr. (§4.4.8.1.3 - NTC)

Parametri di verifica: $k_{crit,c} = 1.00$

$Lo = 54.7\text{cm}$

Instabilità di colonna: Trascurabile

x	Nd	σc0d	fc0d	Kmod	Comb.	SF
cm	kg	kg/cmq	kg/cmq			
21.9	-124	-1	166	1	(12+13)-VII-2	>100

Asta: 21 [0 , 0]

Sez. R: $b = 12.0\text{cm}$ $h = 16.0\text{cm}$ $L = 54.7\text{cm}$
 Crit.Prog: Legno_Tirante-Puntone Verifica: Verificata

Verifica a trazione parallela alla fibr. (§4.4.8.1.1 - NTC)

Parametri di verifica: $kh = 1.10$

x	Nd	σ_{t0d}	ft_{0d}	Kmod	Comb.	SF
cm	kg	kg/cmq	kg/cmq			
21.9	202	1	125	1	(12+13)-VII-3	>100

Verifica a compressione parallela alla fibr. (§4.4.8.1.3 - NTC)

Parametri di verifica: $k_{crit,c} = 1.00$ $Lo = 54.7\text{cm}$

Instabilità di colonna: Trascurabile

x	Nd	σ_{c0d}	fc_{0d}	Kmod	Comb.	SF
cm	kg	kg/cmq	kg/cmq			
21.9	-146	-1	166	1	(12+13)-VII-2	>100

Asta: 21 [0 , 0]

Sez. R: $b = 12.0\text{cm}$ $h = 16.0\text{cm}$ $L = 54.7\text{cm}$
 Crit.Prog: Legno_Tirante-Puntone Verifica: Verificata

Verifica a trazione parallela alla fibr. (§4.4.8.1.1 - NTC)

Parametri di verifica: $kh = 1.10$

x	Nd	σ_{t0d}	ft_{0d}	Kmod	Comb.	SF
cm	kg	kg/cmq	kg/cmq			
27.4	245	1	125	1	(12+13)-VII-2	98

Verifica a compressione parallela alla fibr. (§4.4.8.1.3 - NTC)

Parametri di verifica: $k_{crit,c} = 1.00$ $Lo = 54.7\text{cm}$

Instabilità di colonna: Trascurabile

x	Nd	σ_{c0d}	fc_{0d}	Kmod	Comb.	SF
cm	kg	kg/cmq	kg/cmq			
27.4	-276	-1	166	1	(12+13)-VII-3	>100

Asta: 21 [0 , 0]

Sez. R: $b = 12.0\text{cm}$ $h = 16.0\text{cm}$ $L = 54.7\text{cm}$
 Crit.Prog: Legno_Tirante-Puntone Verifica: Verificata

Verifica a trazione parallela alla fibr. (§4.4.8.1.1 - NTC)

Parametri di verifica: $kh = 1.10$

x	Nd	σ_{t0d}	ft_{0d}	Kmod	Comb.	SF
cm	kg	kg/cmq	kg/cmq			
54.7	525	3	125	1	(12+13)-VII-1	46

Verifica a compressione parallela alla fibr. (§4.4.8.1.3 - NTC)

Parametri di verifica: $k_{crit,c} = 1.00$ $Lo = 54.7\text{cm}$

Instabilità di colonna: Trascurabile

x	Nd	σ_{c0d}	fc_{0d}	Kmod	Comb.	SF
cm	kg	kg/cmq	kg/cmq			
54.7	-557	-3	166	1	(12+13)-VII-4	57

Asta: 21 [0 , 0]

Sez. R: $b = 12.0\text{cm}$ $h = 16.0\text{cm}$ $L = 54.7\text{cm}$
 Crit.Prog: Legno_Tirante-Puntone Verifica: Verificata

Verifica a trazione parallela alla fibr. (§4.4.8.1.1 - NTC)

Parametri di verifica: $kh = 1.10$

x	Nd	σt0d	ft0d	Kmod	Comb.	SF
cm	kg	kg/cmq	kg/cmq			
21.9	537	3	125	1	(12+13)-VII-1	45

Verifica a compressione parallela alla fibr. (§4.4.8.1.3 - NTC)

Parametri di verifica: $k_{crit,c} = 1.00$ $L_o = 54.7\text{cm}$

Instabilità di colonna: **Trascurabile**

x	Nd	σc0d	fc0d	Kmod	Comb.	SF
cm	kg	kg/cmq	kg/cmq			
21.9	-589	-3	166	1	(12+13)-VII-4	54

Asta: 21 [0 , 0]

Sez. R: $b = 12.0\text{cm}$ $h = 16.0\text{cm}$ $L = 54.7\text{cm}$

Crit.Prog: Legno_Tirante-Puntone Verifica: **Verificata**

Verifica a trazione parallela alla fibr. (§4.4.8.1.1 - NTC)

Parametri di verifica: $kh = 1.10$

x	Nd	σt0d	ft0d	Kmod	Comb.	SF
cm	kg	kg/cmq	kg/cmq			
54.7	491	3	125	1	(12+13)-VII-4	49

Verifica a compressione parallela alla fibr. (§4.4.8.1.3 - NTC)

Parametri di verifica: $k_{crit,c} = 1.00$ $L_o = 54.7\text{cm}$

Instabilità di colonna: **Trascurabile**

x	Nd	σc0d	fc0d	Kmod	Comb.	SF
cm	kg	kg/cmq	kg/cmq			
54.7	-476	-2	166	1	(12+13)-VII-1	67

Asta: 21 [0 , 0]

Sez. R: $b = 12.0\text{cm}$ $h = 16.0\text{cm}$ $L = 54.7\text{cm}$

Crit.Prog: Legno_Tirante-Puntone Verifica: **Verificata**

Verifica a trazione parallela alla fibr. (§4.4.8.1.1 - NTC)

Parametri di verifica: $kh = 1.10$

x	Nd	σt0d	ft0d	Kmod	Comb.	SF
cm	kg	kg/cmq	kg/cmq			
27.4	908	5	125	1	(12+13)-VII-4	26

Verifica a compressione parallela alla fibr. (§4.4.8.1.3 - NTC)

Parametri di verifica: $k_{crit,c} = 1.00$ $L_o = 54.7\text{cm}$

Instabilità di colonna: **Trascurabile**

x	Nd	σc0d	fc0d	Kmod	Comb.	SF
cm	kg	kg/cmq	kg/cmq			
27.4	-724	-4	166	1	(12+13)-VII-1	44

Asta: 21 [0 , 0]

Sez. R: $b = 12.0\text{cm}$ $h = 16.0\text{cm}$ $L = 54.7\text{cm}$

Crit.Prog: Legno_Tirante-Puntone Verifica: **Verificata**

Verifica a trazione parallela alla fibr. (§4.4.8.1.1 - NTC)

Parametri di verifica: $kh = 1.10$

x	Nd	σt0d	ft0d	Kmod	Comb.	SF
cm	kg	kg/cmq	kg/cmq			
54.7	1164	6	125	1	(12+13)-VII-4	21

Verifica a compressione parallela alla fibr. (§4.4.8.1.3 - NTC)

Parametri di verifica: $k_{crit,c} = 1.00$ $L_o = 54.7\text{cm}$

Instabilità di colonna: **Trascurabile**

x	Nd	σ_{c0d}	f_{c0d}	Kmod	Comb.	SF
cm	kg	kg/cmq	kg/cmq			
54.7	-838	-4	166	1	(12+13)-VII-1	38

Asta: 21 [0 , 0]

Sez. R: $b = 12.0\text{cm}$ $h = 16.0\text{cm}$ $L = 54.7\text{cm}$

Crit.Prog: Legno_Tirante-Puntone Verifica: **Verificata**

Verifica a trazione parallela alla fibr. (§4.4.8.1.1 - NTC)

Parametri di verifica: $kh = 1.10$

x	Nd	σ_{t0d}	f_{t0d}	Kmod	Comb.	SF
cm	kg	kg/cmq	kg/cmq			
21.9	1207	6	125	1	(12+13)-VII-4	20

Verifica a compressione parallela alla fibr. (§4.4.8.1.3 - NTC)

Parametri di verifica: $k_{crit,c} = 1.00$ $L_o = 54.7\text{cm}$

Instabilità di colonna: **Trascurabile**

x	Nd	σ_{c0d}	f_{c0d}	Kmod	Comb.	SF
cm	kg	kg/cmq	kg/cmq			
21.9	-826	-4	166	1	(12+13)-VII-1	38

Asta: 21 [0 , 0]

Sez. R: $b = 12.0\text{cm}$ $h = 16.0\text{cm}$ $L = 54.7\text{cm}$

Crit.Prog: Legno_Tirante-Puntone Verifica: **Verificata**

Verifica a trazione parallela alla fibr. (§4.4.8.1.1 - NTC)

Parametri di verifica: $kh = 1.10$

x	Nd	σ_{t0d}	f_{t0d}	Kmod	Comb.	SF
cm	kg	kg/cmq	kg/cmq			
21.9	1123	6	125	1	(12+13)-VII-4	21

Verifica a compressione parallela alla fibr. (§4.4.8.1.3 - NTC)

Parametri di verifica: $k_{crit,c} = 1.00$ $L_o = 54.7\text{cm}$

Instabilità di colonna: **Trascurabile**

x	Nd	σ_{c0d}	f_{c0d}	Kmod	Comb.	SF
cm	kg	kg/cmq	kg/cmq			
21.9	-621	-3	166	1	(12+13)-VII-1	51

Asta: 21 [0 , 0]

Sez. R: $b = 12.0\text{cm}$ $h = 16.0\text{cm}$ $L = 54.7\text{cm}$

Crit.Prog: Legno_Tirante-Puntone Verifica: **Verificata**

Verifica a trazione parallela alla fibr. (§4.4.8.1.1 - NTC)

Parametri di verifica: $kh = 1.10$

x	Nd	σ_{t0d}	f_{t0d}	Kmod	Comb.	SF
cm	kg	kg/cmq	kg/cmq			
54.7	836	4	125	1	(12+13)-VII-2	29

Verifica a compressione parallela alla fibr. (§4.4.8.1.3 - NTC)

Parametri di verifica: $k_{crit,c} = 1.00$ $L_o = 54.7\text{cm}$

Instabilità di colonna: **Trascurabile**

x	Nd	σ_{c0d}	f_{c0d}	Kmod	Comb.	SF
cm	kg	kg/cmq	kg/cmq			
54.7	-838	-4	166	1	(12+13)-VII-1	38

x	Nd	σc0d	fc0d	Kmod	Comb.	SF
54.7	-192	-1	166	1	(12+13)-VIII-3	>100
cm	kg	kg/cmq	kg/cmq			

Asta: 21 [0 , 53]

Sez. R: $b = 12.0\text{cm}$ $h = 16.0\text{cm}$

$L = 54.7\text{cm}$

Crit.Prog: Legno_Tirante-Puntone

Verifica: Verificata

Verifica a trazione parallela alla fibr. (§4.4.8.1.1 - NTC)

Parametri di verifica: $kh = 1.10$

x	Nd	σt0d	ft0d	Kmod	Comb.	SF
cm	kg	kg/cmq	kg/cmq			
54.7	1939	10	125	1	(12+13)-V-2	12

Verifica a compressione parallela alla fibr. (§4.4.8.1.3 - NTC)

Parametri di verifica: $k_{crit,c} = 1.00$ $Lo = 54.7\text{cm}$

Instabilità di colonna: Trascurabile

x	Nd	σc0d	fc0d	Kmod	Comb.	SF
cm	kg	kg/cmq	kg/cmq			
54.7	-1416	-7	166	1	(12+13)-V-3	22

Asta: 14 [0 , 0]

Sez. R: $b = 20.0\text{cm}$ $h = 40.0\text{cm}$

$L = 54.4\text{cm}$

Crit.Prog: Legno_Tirante-Puntone

Verifica: Verificata

Verifica a trazione parallela alla fibr. (§4.4.8.1.1 - NTC)

Parametri di verifica: $kh = 1.04$

x	Nd	σt0d	ft0d	Kmod	Comb.	SF
cm	kg	kg/cmq	kg/cmq			
54.4	1802	2	119	1	(12+13)-VIII-1	53

Verifica a compressione parallela alla fibr. (§4.4.8.1.3 - NTC)

Parametri di verifica: $k_{crit,c} = 1.00$ $Lo = 54.4\text{cm}$

Instabilità di colonna: Trascurabile

x	Nd	σc0d	fc0d	Kmod	Comb.	SF
cm	kg	kg/cmq	kg/cmq			
54.4	-1518	-2	166	1	(12+13)-VIII-4	87

Asta: 14 [0 , 0]

Sez. R: $b = 20.0\text{cm}$ $h = 40.0\text{cm}$

$L = 54.4\text{cm}$

Crit.Prog: Legno_Tirante-Puntone

Verifica: Verificata

Verifica a trazione parallela alla fibr. (§4.4.8.1.1 - NTC)

Parametri di verifica: $kh = 1.04$

x	Nd	σt0d	ft0d	Kmod	Comb.	SF
cm	kg	kg/cmq	kg/cmq			
54.4	1614	2	119	1	(12+13)-VIII-1	59

Verifica a compressione parallela alla fibr. (§4.4.8.1.3 - NTC)

Parametri di verifica: $k_{crit,c} = 1.00$ $Lo = 54.4\text{cm}$

Instabilità di colonna: Trascurabile

x	Nd	σc0d	fc0d	Kmod	Comb.	SF
cm	kg	kg/cmq	kg/cmq			
54.4	-1316	-2	166	1	(12+13)-VIII-4	>100

Asta: 14 [0 , 0]

Sez. R: $b = 20.0\text{cm}$ $h = 40.0\text{cm}$ $L = 54.4\text{cm}$
 Crit.Prog: Legno_Tirante-Puntone Verifica: Verificata

Verifica a trazione parallela alla fibr. (§4.4.8.1.1 - NTC)

Parametri di verifica: $kh = 1.04$

x	Nd	σ_{t0d}	ft_{0d}	Kmod	Comb.	SF
cm	kg	kg/cmq	kg/cmq			
54.4	1425	2	119	1	(12+13)-VIII-1	67

Verifica a compressione parallela alla fibr. (§4.4.8.1.3 - NTC)

Parametri di verifica: $k_{crit,c} = 1.00$ $Lo = 54.4\text{cm}$

Instabilità di colonna: Trascurabile

x	Nd	σ_{c0d}	fc_{0d}	Kmod	Comb.	SF
cm	kg	kg/cmq	kg/cmq			
54.4	-1115	-1	166	1	(12+13)-VIII-4	>100

Asta: 14 [0 , 0]

Sez. R: $b = 20.0\text{cm}$ $h = 40.0\text{cm}$ $L = 54.4\text{cm}$
 Crit.Prog: Legno_Tirante-Puntone Verifica: Verificata

Verifica a trazione parallela alla fibr. (§4.4.8.1.1 - NTC)

Parametri di verifica: $kh = 1.04$

x	Nd	σ_{t0d}	ft_{0d}	Kmod	Comb.	SF
cm	kg	kg/cmq	kg/cmq			
54.4	1237	2	119	1	(12+13)-VIII-1	77

Verifica a compressione parallela alla fibr. (§4.4.8.1.3 - NTC)

Parametri di verifica: $k_{crit,c} = 1.00$ $Lo = 54.4\text{cm}$

Instabilità di colonna: Trascurabile

x	Nd	σ_{c0d}	fc_{0d}	Kmod	Comb.	SF
cm	kg	kg/cmq	kg/cmq			
54.4	-922	-1	166	1	(12+13)-VIII-4	>100

Asta: 14 [0 , 0]

Sez. R: $b = 20.0\text{cm}$ $h = 40.0\text{cm}$ $L = 54.4\text{cm}$
 Crit.Prog: Legno_Tirante-Puntone Verifica: Verificata

Verifica a trazione parallela alla fibr. (§4.4.8.1.1 - NTC)

Parametri di verifica: $kh = 1.04$

x	Nd	σ_{t0d}	ft_{0d}	Kmod	Comb.	SF
cm	kg	kg/cmq	kg/cmq			
54.4	1053	1	119	1	(12+13)-VIII-1	90

Verifica a compressione parallela alla fibr. (§4.4.8.1.3 - NTC)

Parametri di verifica: $k_{crit,c} = 1.00$ $Lo = 54.4\text{cm}$

Instabilità di colonna: Trascurabile

x	Nd	σ_{c0d}	fc_{0d}	Kmod	Comb.	SF
cm	kg	kg/cmq	kg/cmq			
54.4	-742	-1	166	1	(12+13)-VIII-4	>100

Asta: 14 [0 , 0]

Sez. R: $b = 20.0\text{cm}$ $h = 40.0\text{cm}$ $L = 54.4\text{cm}$
 Crit.Prog: Legno_Tirante-Puntone Verifica: Verificata

Verifica a trazione parallela alla fibr. (§4.4.8.1.1 - NTC)

Parametri di verifica: $kh = 1.04$

x	Nd	σt0d	ft0d	Kmod	Comb.	SF
cm	kg	kg/cmq	kg/cmq			
54.4	878	1	119	1	(12+13)-VIII-1	>100

Verifica a compressione parallela alla fibr. (§4.4.8.1.3 - NTC)

Parametri di verifica: $k_{crit,c} = 1.00$ $L_o = 54.4\text{cm}$

Instabilità di colonna: **Trascurabile**

x	Nd	σc0d	fc0d	Kmod	Comb.	SF
cm	kg	kg/cmq	kg/cmq			
54.4	-579	-1	166	1	(12+13)-VIII-4	>100

Asta: 14 [0 , 0]

Sez. R: $b = 20.0\text{cm}$ $h = 40.0\text{cm}$ $L = 54.4\text{cm}$

Crit.Prog: Legno_Tirante-Puntone Verifica: **Verificata**

Verifica a trazione parallela alla fibr. (§4.4.8.1.1 - NTC)

Parametri di verifica: $kh = 1.04$

x	Nd	σt0d	ft0d	Kmod	Comb.	SF
cm	kg	kg/cmq	kg/cmq			
54.4	718	1	119	1	(12+13)-VIII-1	>100

Verifica a compressione parallela alla fibr. (§4.4.8.1.3 - NTC)

Parametri di verifica: $k_{crit,c} = 1.00$ $L_o = 54.4\text{cm}$

Instabilità di colonna: **Trascurabile**

x	Nd	σc0d	fc0d	Kmod	Comb.	SF
cm	kg	kg/cmq	kg/cmq			
54.4	-439	-1	166	1	(12+13)-VIII-4	>100

Asta: 14 [0 , 51]

Sez. R: $b = 20.0\text{cm}$ $h = 40.0\text{cm}$ $L = 54.4\text{cm}$

Crit.Prog: Legno_Tirante-Puntone Verifica: **Verificata**

Verifica a trazione parallela alla fibr. (§4.4.8.1.1 - NTC)

Parametri di verifica: $kh = 1.04$

x	Nd	σt0d	ft0d	Kmod	Comb.	SF
cm	kg	kg/cmq	kg/cmq			
54.4	604	1	119	1	(12+13)-VIII-1	>100

Verifica a compressione parallela alla fibr. (§4.4.8.1.3 - NTC)

Parametri di verifica: $k_{crit,c} = 1.00$ $L_o = 54.4\text{cm}$

Instabilità di colonna: **Trascurabile**

x	Nd	σc0d	fc0d	Kmod	Comb.	SF
cm	kg	kg/cmq	kg/cmq			
54.4	-348	-0	166	1	(12+13)-VIII-4	>100

Asta: 14 [0 , 0]

Sez. R: $b = 20.0\text{cm}$ $h = 40.0\text{cm}$ $L = 55.0\text{cm}$

Crit.Prog: Legno_Tirante-Puntone Verifica: **Verificata**

Verifica a trazione parallela alla fibr. (§4.4.8.1.1 - NTC)

Parametri di verifica: $kh = 1.04$

x	Nd	σt0d	ft0d	Kmod	Comb.	SF
cm	kg	kg/cmq	kg/cmq			
55.0	3740	5	119	1	(12+13)-VIII-3	25

Verifica a compressione parallela alla fibr. (§4.4.8.1.3 - NTC)

Parametri di verifica: $k_{crit,c} = 1.00$ $L_o = 55.0\text{cm}$

Instabilità di colonna: **Trascurabile**

x	Nd	σ_{c0d}	f_{c0d}	Kmod	Comb.	SF
cm	kg	kg/cmq	kg/cmq			
0.0	-3842	-5	166	1	(12+13)-VIII-2	34

Asta: 14 [0 , 0]

Sez. R: $b = 20.0\text{cm}$ $h = 40.0\text{cm}$ $L = 55.0\text{cm}$

Crit.Prog: Legno_Tirante-Puntone Verifica: **Verificata**

Verifica a trazione parallela alla fibr. (§4.4.8.1.1 - NTC)

Parametri di verifica: $kh = 1.04$

x	Nd	σ_{t0d}	f_{t0d}	Kmod	Comb.	SF
cm	kg	kg/cmq	kg/cmq			
55.0	3570	4	119	1	(12+13)-VIII-3	27

Verifica a compressione parallela alla fibr. (§4.4.8.1.3 - NTC)

Parametri di verifica: $k_{crit,c} = 1.00$ $L_o = 55.0\text{cm}$

Instabilità di colonna: **Trascuribile**

x	Nd	σ_{c0d}	f_{c0d}	Kmod	Comb.	SF
cm	kg	kg/cmq	kg/cmq			
0.0	-3663	-5	166	1	(12+13)-VIII-2	36

Asta: 14 [0 , 0]

Sez. R: $b = 20.0\text{cm}$ $h = 40.0\text{cm}$ $L = 55.0\text{cm}$

Crit.Prog: Legno_Tirante-Puntone Verifica: **Verificata**

Verifica a trazione parallela alla fibr. (§4.4.8.1.1 - NTC)

Parametri di verifica: $kh = 1.04$

x	Nd	σ_{t0d}	f_{t0d}	Kmod	Comb.	SF
cm	kg	kg/cmq	kg/cmq			
55.0	3394	4	119	1	(12+13)-VIII-3	28

Verifica a compressione parallela alla fibr. (§4.4.8.1.3 - NTC)

Parametri di verifica: $k_{crit,c} = 1.00$ $L_o = 55.0\text{cm}$

Instabilità di colonna: **Trascuribile**

x	Nd	σ_{c0d}	f_{c0d}	Kmod	Comb.	SF
cm	kg	kg/cmq	kg/cmq			
0.0	-3485	-4	166	1	(12+13)-VIII-2	38

Asta: 14 [0 , 0]

Sez. R: $b = 20.0\text{cm}$ $h = 40.0\text{cm}$ $L = 55.0\text{cm}$

Crit.Prog: Legno_Tirante-Puntone Verifica: **Verificata**

Verifica a trazione parallela alla fibr. (§4.4.8.1.1 - NTC)

Parametri di verifica: $kh = 1.04$

x	Nd	σ_{t0d}	f_{t0d}	Kmod	Comb.	SF
cm	kg	kg/cmq	kg/cmq			
55.0	3212	4	119	1	(12+13)-VIII-3	30

Verifica a compressione parallela alla fibr. (§4.4.8.1.3 - NTC)

Parametri di verifica: $k_{crit,c} = 1.00$ $L_o = 55.0\text{cm}$

Instabilità di colonna: **Trascuribile**

x	Nd	σ_{c0d}	f_{c0d}	Kmod	Comb.	SF
cm	kg	kg/cmq	kg/cmq			
0.0	-3485	-4	166	1	(12+13)-VIII-2	38

x	Nd	σc0d	fc0d	Kmod	Comb.	SF
0.0	-3309	-4	166	1	(12+13)-VIII-2	40
cm	kg	kg/cmq	kg/cmq			

Asta: 14 [0 , 0]

Sez. R: $b = 20.0\text{cm}$

$h = 40.0\text{cm}$

$L = 55.0\text{cm}$

Crit.Prog: Legno_Tirante-Puntone

Verifica: Verificata

Verifica a trazione parallela alla fibr. (§4.4.8.1.1 - NTC)

Parametri di verifica: $kh = 1.04$

x	Nd	σt0d	ft0d	Kmod	Comb.	SF
cm	kg	kg/cmq	kg/cmq			
55.0	3027	4	119	1	(12+13)-VIII-3	31

Verifica a compressione parallela alla fibr. (§4.4.8.1.3 - NTC)

Parametri di verifica: $k_{crit,c} = 1.00$

$Lo = 55.0\text{cm}$

Instabilità di colonna: Trascurabile

x	Nd	σc0d	fc0d	Kmod	Comb.	SF
cm	kg	kg/cmq	kg/cmq			
0.0	-3135	-4	166	1	(12+13)-VIII-2	42

Asta: 14 [0 , 0]

Sez. R: $b = 20.0\text{cm}$

$h = 40.0\text{cm}$

$L = 55.0\text{cm}$

Crit.Prog: Legno_Tirante-Puntone

Verifica: Verificata

Verifica a trazione parallela alla fibr. (§4.4.8.1.1 - NTC)

Parametri di verifica: $kh = 1.04$

x	Nd	σt0d	ft0d	Kmod	Comb.	SF
cm	kg	kg/cmq	kg/cmq			
55.0	2840	4	119	1	(12+13)-VIII-3	33

Verifica a compressione parallela alla fibr. (§4.4.8.1.3 - NTC)

Parametri di verifica: $k_{crit,c} = 1.00$

$Lo = 55.0\text{cm}$

Instabilità di colonna: Trascurabile

x	Nd	σc0d	fc0d	Kmod	Comb.	SF
cm	kg	kg/cmq	kg/cmq			
0.0	-2962	-4	166	1	(12+13)-VIII-2	45

Asta: 14 [0 , 56]

Sez. R: $b = 20.0\text{cm}$

$h = 40.0\text{cm}$

$L = 55.0\text{cm}$

Crit.Prog: Legno_Tirante-Puntone

Verifica: Verificata

Verifica a trazione parallela alla fibr. (§4.4.8.1.1 - NTC)

Parametri di verifica: $kh = 1.04$

x	Nd	σt0d	ft0d	Kmod	Comb.	SF
cm	kg	kg/cmq	kg/cmq			
55.0	2653	3	119	1	(12+13)-VIII-3	36

Verifica a compressione parallela alla fibr. (§4.4.8.1.3 - NTC)

Parametri di verifica: $k_{crit,c} = 1.00$

$Lo = 55.0\text{cm}$

Instabilità di colonna: Trascurabile

x	Nd	σc0d	fc0d	Kmod	Comb.	SF
cm	kg	kg/cmq	kg/cmq			
0.0	-2787	-3	166	1	(12+13)-VIII-2	48

Asta: 84 [0 , 0]

Sez. R: $b = 12.0\text{cm}$ $h = 16.0\text{cm}$ $L = 310.0\text{cm}$
 Crit.Prog: Legno_Tirante-Puntone Verifica: Verificata

Verifica a trazione parallela alla fibr. (§4.4.8.1.1 - NTC)

Parametri di verifica: $kh = 1.10$

x	Nd	σ_{t0d}	ft_{0d}	Kmod	Comb.	SF
cm	kg	kg/cmq	kg/cmq			
310.0	31	0	125	1	(12+13)-VII-1	>100

Verifica a compressione parallela alla fibr. (§4.4.8.1.3 - NTC)

Parametri di verifica: $k_{crit,c} = 0.44$ $Lo = 310.0\text{cm}$

Instabilità di colonna: Instabilità nel piano XY

x	Nd	σ_{c0d}	fc_{0d}	Kmod	Comb.	SF
cm	kg	kg/cmq	kg/cmq			
310.0	-194	-1	99	0.6	1	43

Asta: 85 [0 , 0]

Sez. R: $b = 12.0\text{cm}$ $h = 16.0\text{cm}$ $L = 310.0\text{cm}$
 Crit.Prog: Legno_Tirante-Puntone Verifica: Verificata

Verifica a compressione parallela alla fibr. (§4.4.8.1.3 - NTC)

Parametri di verifica: $k_{crit,c} = 0.44$ $Lo = 310.0\text{cm}$

Instabilità di colonna: Instabilità nel piano XY

x	Nd	σ_{c0d}	fc_{0d}	Kmod	Comb.	SF
cm	kg	kg/cmq	kg/cmq			
310.0	-119	-1	99	0.6	1	71

Asta: 86 [0 , 0]

Sez. R: $b = 12.0\text{cm}$ $h = 16.0\text{cm}$ $L = 310.0\text{cm}$
 Crit.Prog: Legno_Tirante-Puntone Verifica: Verificata

Verifica a trazione parallela alla fibr. (§4.4.8.1.1 - NTC)

Parametri di verifica: $kh = 1.10$

x	Nd	σ_{t0d}	ft_{0d}	Kmod	Comb.	SF
cm	kg	kg/cmq	kg/cmq			
310.0	14	0	125	1	(12+13)-VII-3	>100

Verifica a compressione parallela alla fibr. (§4.4.8.1.3 - NTC)

Parametri di verifica: $k_{crit,c} = 0.44$ $Lo = 310.0\text{cm}$

Instabilità di colonna: Instabilità nel piano XY

x	Nd	σ_{c0d}	fc_{0d}	Kmod	Comb.	SF
cm	kg	kg/cmq	kg/cmq			
310.0	-98	-1	166	1	(12+13)-VII-2	>100

Asta: 87 [0 , 0]

Sez. R: $b = 12.0\text{cm}$ $h = 16.0\text{cm}$ $L = 310.0\text{cm}$
 Crit.Prog: Legno_Tirante-Puntone Verifica: Verificata

Verifica a trazione parallela alla fibr. (§4.4.8.1.1 - NTC)

Parametri di verifica: $kh = 1.10$

x	Nd	σ_{t0d}	ft_{0d}	Kmod	Comb.	SF
cm	kg	kg/cmq	kg/cmq			
310.0	55	0	125	1	(12+13)-VII-3	>100

Verifica a compressione parallela alla fibr. (§4.4.8.1.3 - NTC)

Parametri di verifica: $k_{crit,c} = 0.44$ $Lo = 310.0\text{cm}$

Instabilità di colonna: Instabilità nel piano XY

x	Nd	σ_{c0d}	fc0d	Kmod	Comb.	SF
cm	kg	kg/cmq	kg/cmq			
310.0	-114	-1	166	1	(12+13)-VII-2	>100

Asta: 88 [0 , 0]

Sez. R: $b = 12.0\text{cm}$ $h = 16.0\text{cm}$ $L = 310.0\text{cm}$
 Crit.Prog: Legno_Tirante-Puntone Verifica: Verificata

Verifica a trazione parallela alla fibr. (§4.4.8.1.1 - NTC)

Parametri di verifica: $kh = 1.10$

x	Nd	σ_{t0d}	ft0d	Kmod	Comb.	SF
cm	kg	kg/cmq	kg/cmq			
310.0	64	0	125	1	(12+13)-VII-4	>100

Verifica a compressione parallela alla fibr. (§4.4.8.1.3 - NTC)

Parametri di verifica: $k_{crit,c} = 0.44$ $Lo = 310.0\text{cm}$

Instabilità di colonna: Instabilità nel piano XY

x	Nd	σ_{c0d}	fc0d	Kmod	Comb.	SF
cm	kg	kg/cmq	kg/cmq			
310.0	-116	-1	166	1	(12+13)-VII-1	>100

Asta: 89 [0 , 0]

Sez. R: $b = 12.0\text{cm}$ $h = 16.0\text{cm}$ $L = 310.0\text{cm}$
 Crit.Prog: Legno_Tirante-Puntone Verifica: Verificata

Verifica a trazione parallela alla fibr. (§4.4.8.1.1 - NTC)

Parametri di verifica: $kh = 1.10$

x	Nd	σ_{t0d}	ft0d	Kmod	Comb.	SF
cm	kg	kg/cmq	kg/cmq			
310.0	44	0	125	1	(12+13)-VII-4	>100

Verifica a compressione parallela alla fibr. (§4.4.8.1.3 - NTC)

Parametri di verifica: $k_{crit,c} = 0.44$ $Lo = 310.0\text{cm}$

Instabilità di colonna: Instabilità nel piano XY

x	Nd	σ_{c0d}	fc0d	Kmod	Comb.	SF
cm	kg	kg/cmq	kg/cmq			
310.0	-109	-1	166	1	(12+13)-VII-1	>100

Asta: 90 [0 , 0]

Sez. R: $b = 12.0\text{cm}$ $h = 16.0\text{cm}$ $L = 310.0\text{cm}$
 Crit.Prog: Legno_Tirante-Puntone Verifica: Verificata

Verifica a compressione parallela alla fibr. (§4.4.8.1.3 - NTC)

Parametri di verifica: $k_{crit,c} = 0.44$ $Lo = 310.0\text{cm}$

Instabilità di colonna: Instabilità nel piano XY

x	Nd	σ_{c0d}	fc0d	Kmod	Comb.	SF
cm	kg	kg/cmq	kg/cmq			
310.0	-89	-0	99	0.6	1	94

Asta: 91 [0 , 0]

Sez. R: $b = 12.0\text{cm}$ $h = 16.0\text{cm}$ $L = 310.0\text{cm}$
 Crit.Prog: Legno_Tirante-Puntone Verifica: Verificata

Verifica a trazione parallela alla fibr. (§4.4.8.1.1 - NTC)

Parametri di verifica: $kh = 1.10$

x	Nd	σ_{t0d}	f_{t0d}	Kmod	Comb.	SF
cm	kg	kg/cmq	kg/cmq			
310.0	174	1	125	1	(12+13)-VII-2	>100

Verifica a compressione parallela alla fibr. (§4.4.8.1.3 - NTC)

Parametri di verifica: $k_{crit,c} = 0.44$ $L_o = 310.0\text{cm}$

Instabilità di colonna: **Instabilità nel piano XY**

x	Nd	σ_{c0d}	f_{c0d}	Kmod	Comb.	SF
cm	kg	kg/cmq	kg/cmq			
310.0	-472	-2	166	1	(12+13)-VII-3	30

Asta: 92 [56 , 0]

Sez. R: $b = 12.0\text{cm}$ $h = 16.0\text{cm}$ $L = 310.0\text{cm}$

Crit.Prog: Legno_Tirante-Puntone Verifica: **Verificata**

Verifica a trazione parallela alla fibr. (§4.4.8.1.1 - NTC)

Parametri di verifica: $kh = 1.10$

x	Nd	σ_{t0d}	f_{t0d}	Kmod	Comb.	SF
cm	kg	kg/cmq	kg/cmq			
310.0	923	5	125	1	(12+13)-VII-1	26

Verifica a compressione parallela alla fibr. (§4.4.8.1.3 - NTC)

Parametri di verifica: $k_{crit,c} = 0.44$ $L_o = 310.0\text{cm}$

Instabilità di colonna: **Instabilità nel piano XY**

x	Nd	σ_{c0d}	f_{c0d}	Kmod	Comb.	SF
cm	kg	kg/cmq	kg/cmq			
310.0	-943	-5	166	1	(12+13)-VII-4	15

Asta: 93 [0 , 0]

Sez. R: $b = 12.0\text{cm}$ $h = 16.0\text{cm}$ $L = 310.0\text{cm}$

Crit.Prog: Legno_Tirante-Puntone Verifica: **Verificata**

Verifica a trazione parallela alla fibr. (§4.4.8.1.1 - NTC)

Parametri di verifica: $kh = 1.10$

x	Nd	σ_{t0d}	f_{t0d}	Kmod	Comb.	SF
cm	kg	kg/cmq	kg/cmq			
310.0	249	1	125	1	(12+13)-VII-1	96

Verifica a compressione parallela alla fibr. (§4.4.8.1.3 - NTC)

Parametri di verifica: $k_{crit,c} = 0.44$ $L_o = 310.0\text{cm}$

Instabilità di colonna: **Instabilità nel piano XY**

x	Nd	σ_{c0d}	f_{c0d}	Kmod	Comb.	SF
cm	kg	kg/cmq	kg/cmq			
0.0	-615	-3	166	1	(12+13)-VII-4	23

Asta: 94 [0 , 0]

Sez. R: $b = 12.0\text{cm}$ $h = 16.0\text{cm}$ $L = 310.0\text{cm}$

Crit.Prog: Legno_Tirante-Puntone Verifica: **Verificata**

Verifica a compressione parallela alla fibr. (§4.4.8.1.3 - NTC)

Parametri di verifica: $k_{crit,c} = 0.44$ $L_o = 310.0\text{cm}$

Instabilità di colonna: **Instabilità nel piano XY**

x	Nd	σ_{t0d}	f_{t0d}	Kmod	Comb.	SF
cm	kg	kg/cmq	kg/cmq			
0.0	-106	-1	99	0.6	1	79

Asta: 95 [0 , 0]Sez. R: $b = 12.0\text{cm}$ $h = 16.0\text{cm}$ $L = 310.0\text{cm}$

Crit.Prog: Legno_Tirante-Puntone

Verifica: Verificata

Verifica a trazione parallela alla fibr. (§4.4.8.1.1 - NTC)Parametri di verifica: $kh = 1.10$

x cm	Nd kg	σ_{t0d} kg/cmq	$ft0d$ kg/cmq	Kmod	Comb.	SF
310.0	68	0	125	1	(12+13)-V-4	>100

Verifica a compressione parallela alla fibr. (§4.4.8.1.3 - NTC)Parametri di verifica: $k_{crit,c} = 0.44$ $Lo = 310.0\text{cm}$

Instabilità di colonna: Instabilità nel piano XY

x cm	Nd kg	σ_{c0d} kg/cmq	$fc0d$ kg/cmq	Kmod	Comb.	SF
0.0	-129	-1	166	1	(12+13)-V-1	>100

Asta: 96 [0 , 0]Sez. R: $b = 12.0\text{cm}$ $h = 16.0\text{cm}$ $L = 310.0\text{cm}$

Crit.Prog: Legno_Tirante-Puntone

Verifica: Verificata

Verifica a trazione parallela alla fibr. (§4.4.8.1.1 - NTC)Parametri di verifica: $kh = 1.10$

x cm	Nd kg	σ_{t0d} kg/cmq	$ft0d$ kg/cmq	Kmod	Comb.	SF
310.0	85	0	125	1	(12+13)-V-3	>100

Verifica a compressione parallela alla fibr. (§4.4.8.1.3 - NTC)Parametri di verifica: $k_{crit,c} = 0.44$ $Lo = 310.0\text{cm}$

Instabilità di colonna: Instabilità nel piano XY

x cm	Nd kg	σ_{c0d} kg/cmq	$fc0d$ kg/cmq	Kmod	Comb.	SF
0.0	-135	-1	166	1	(12+13)-V-2	>100

Asta: 97 [0 , 0]Sez. R: $b = 12.0\text{cm}$ $h = 16.0\text{cm}$ $L = 310.0\text{cm}$

Crit.Prog: Legno_Tirante-Puntone

Verifica: Verificata

Verifica a trazione parallela alla fibr. (§4.4.8.1.1 - NTC)Parametri di verifica: $kh = 1.10$

x cm	Nd kg	σ_{t0d} kg/cmq	$ft0d$ kg/cmq	Kmod	Comb.	SF
310.0	65	0	125	1	(12+13)-V-4	>100

Verifica a compressione parallela alla fibr. (§4.4.8.1.3 - NTC)Parametri di verifica: $k_{crit,c} = 0.44$ $Lo = 310.0\text{cm}$

Instabilità di colonna: Instabilità nel piano XY

x cm	Nd kg	σ_{c0d} kg/cmq	$fc0d$ kg/cmq	Kmod	Comb.	SF
0.0	-130	-1	166	1	(12+13)-V-1	>100

Asta: 98 [0 , 0]Sez. R: $b = 12.0\text{cm}$ $h = 16.0\text{cm}$ $L = 310.0\text{cm}$

Crit.Prog: Legno_Tirante-Puntone

Verifica: Verificata

Verifica a trazione parallela alla fibr. (§4.4.8.1.1 - NTC)Parametri di verifica: $kh = 1.10$

x	Nd	σ_{t0d}	ft_{0d}	Kmod	Comb.	SF
cm	kg	kg/cmq	kg/cmq			
310.0	65	0	125	1	(12+13)-II-2	>100

Verifica a compressione parallela alla fibr. (§4.4.8.1.3 - NTC)Parametri di verifica: $k_{crit,c} = 0.44$ $Lo = 310.0\text{cm}$ Instabilità di colonna: **Instabilità nel piano XY**

x	Nd	σ_{c0d}	fc_{0d}	Kmod	Comb.	SF
cm	kg	kg/cmq	kg/cmq			
0.0	-223	-1	166	1	(12+13)-II-3	63

Asta: 99 [0 , 0]Sez. R: $b = 12.0\text{cm}$ $h = 16.0\text{cm}$ $L = 310.0\text{cm}$ Crit.Prog: Legno_Tirante-Puntone Verifica: **Verificata**Verifica a trazione parallela alla fibr. (§4.4.8.1.1 - NTC)Parametri di verifica: $kh = 1.10$

x	Nd	σ_{t0d}	ft_{0d}	Kmod	Comb.	SF
cm	kg	kg/cmq	kg/cmq			
0.0	93	0	125	1	(12+13)-II-4	>100

Verifica a compressione parallela alla fibr. (§4.4.8.1.3 - NTC)Parametri di verifica: $k_{crit,c} = 0.44$ $Lo = 310.0\text{cm}$ Instabilità di colonna: **Instabilità nel piano XY**

x	Nd	σ_{c0d}	fc_{0d}	Kmod	Comb.	SF
cm	kg	kg/cmq	kg/cmq			
310.0	-530	-3	166	1	(12+13)-II-1	26

Asta: 22 [0 , 0]Sez. R: $b = 12.0\text{cm}$ $h = 16.0\text{cm}$ $L = 50.5\text{cm}$ Crit.Prog: Legno_Tirante-Puntone Verifica: **Verificata**Verifica a trazione parallela alla fibr. (§4.4.8.1.1 - NTC)Parametri di verifica: $kh = 1.10$

x	Nd	σ_{t0d}	ft_{0d}	Kmod	Comb.	SF
cm	kg	kg/cmq	kg/cmq			
50.5	20	0	125	1	(12+13)-VIII-1	>100

Verifica a compressione parallela alla fibr. (§4.4.8.1.3 - NTC)Parametri di verifica: $k_{crit,c} = 1.00$ $Lo = 50.5\text{cm}$ Instabilità di colonna: **Trascurabile**

x	Nd	σ_{c0d}	fc_{0d}	Kmod	Comb.	SF
cm	kg	kg/cmq	kg/cmq			
20.2	-117	-1	99	0.6	1	>100

Asta: 22 [0 , 0]Sez. R: $b = 12.0\text{cm}$ $h = 16.0\text{cm}$ $L = 50.5\text{cm}$ Crit.Prog: Legno_Tirante-Puntone Verifica: **Verificata**Verifica a trazione parallela alla fibr. (§4.4.8.1.1 - NTC)Parametri di verifica: $kh = 1.10$

x	Nd	σ_{t0d}	ft_{0d}	Kmod	Comb.	SF
cm	kg	kg/cmq	kg/cmq			
25.3	61	0	125	1	(12+13)-VII-1	>100

Verifica a compressione parallela alla fibr. (§4.4.8.1.3 - NTC)

Parametri di verifica: $k_{crit,c} = 1.00$ $L_o = 50.5\text{cm}$

Instabilità di colonna: **Trascurabile**

x	Nd	σ_{c0d}	f_{c0d}	Kmod	Comb.	SF
cm	kg	kg/cmq	kg/cmq			
20.2	-159	-1	166	1	(12+13)-VIII-4	>100

Asta: 22 [0 , 0]

Sez. R: $b = 12.0\text{cm}$ $h = 16.0\text{cm}$ $L = 50.5\text{cm}$

Crit.Prog: Legno_Tirante-Puntone Verifica: **Verificata**

Verifica a trazione parallela alla fibr. (§4.4.8.1.1 - NTC)

Parametri di verifica: $k_h = 1.10$

x	Nd	σ_{t0d}	f_{t0d}	Kmod	Comb.	SF
cm	kg	kg/cmq	kg/cmq			
20.2	43	0	125	1	(12+13)-VIII-1	>100

Verifica a compressione parallela alla fibr. (§4.4.8.1.3 - NTC)

Parametri di verifica: $k_{crit,c} = 1.00$ $L_o = 50.5\text{cm}$

Instabilità di colonna: **Trascuribile**

x	Nd	σ_{c0d}	f_{c0d}	Kmod	Comb.	SF
cm	kg	kg/cmq	kg/cmq			
20.2	-124	-1	166	1	(12+13)-VIII-4	>100

Asta: 22 [0 , 0]

Sez. R: $b = 12.0\text{cm}$ $h = 16.0\text{cm}$ $L = 50.5\text{cm}$

Crit.Prog: Legno_Tirante-Puntone Verifica: **Verificata**

Verifica a trazione parallela alla fibr. (§4.4.8.1.1 - NTC)

Parametri di verifica: $k_h = 1.10$

x	Nd	σ_{t0d}	f_{t0d}	Kmod	Comb.	SF
cm	kg	kg/cmq	kg/cmq			
25.3	58	0	125	1	(12+13)-III-3	>100

Verifica a compressione parallela alla fibr. (§4.4.8.1.3 - NTC)

Parametri di verifica: $k_{crit,c} = 1.00$ $L_o = 50.5\text{cm}$

Instabilità di colonna: **Trascuribile**

x	Nd	σ_{c0d}	f_{c0d}	Kmod	Comb.	SF
cm	kg	kg/cmq	kg/cmq			
20.2	-108	-1	166	1	(12+13)-VIII-4	>100

Asta: 22 [0 , 0]

Sez. R: $b = 12.0\text{cm}$ $h = 16.0\text{cm}$ $L = 50.5\text{cm}$

Crit.Prog: Legno_Tirante-Puntone Verifica: **Verificata**

Verifica a trazione parallela alla fibr. (§4.4.8.1.1 - NTC)

Parametri di verifica: $k_h = 1.10$

x	Nd	σ_{t0d}	f_{t0d}	Kmod	Comb.	SF
cm	kg	kg/cmq	kg/cmq			
25.3	161	1	125	1	(12+13)-III-3	>100

Verifica a compressione parallela alla fibr. (§4.4.8.1.3 - NTC)

Parametri di verifica: $k_{crit,c} = 1.00$ $L_o = 50.5\text{cm}$

Instabilità di colonna: **Trascuribile**

x	Nd	σ_{c0d}	f_{c0d}	Kmod	Comb.	SF
cm	kg	kg/cmq	kg/cmq			
20.2	-141	-1	166	1	(12+13)-III-2	>100

Asta: 22 [0 , 0]

Sez. R: $b = 12.0\text{cm}$ $h = 16.0\text{cm}$

$L = 50.5\text{cm}$

Crit.Prog: Legno_Tirante-Puntone

Verifica: Verificata

Verifica a trazione parallela alla fibr. (§4.4.8.1.1 - NTC)

Parametri di verifica: $kh = 1.10$

x	Nd	σ_{t0d}	f_{t0d}	Kmod	Comb.	SF
cm	kg	kg/cmq	kg/cmq			
50.5	333	2	125	1	(12+13)-III-3	72

Verifica a compressione parallela alla fibr. (§4.4.8.1.3 - NTC)

Parametri di verifica: $k_{crit,c} = 1.00$ $Lo = 50.5\text{cm}$

Instabilità di colonna: Trascurabile

x	Nd	σ_{c0d}	f_{c0d}	Kmod	Comb.	SF
cm	kg	kg/cmq	kg/cmq			
50.5	-249	-1	166	1	(12+13)-III-2	>100

Asta: 22 [0 , 0]

Sez. R: $b = 12.0\text{cm}$ $h = 16.0\text{cm}$

$L = 50.5\text{cm}$

Crit.Prog: Legno_Tirante-Puntone

Verifica: Verificata

Verifica a trazione parallela alla fibr. (§4.4.8.1.1 - NTC)

Parametri di verifica: $kh = 1.10$

x	Nd	σ_{t0d}	f_{t0d}	Kmod	Comb.	SF
cm	kg	kg/cmq	kg/cmq			
20.2	370	2	125	1	(12+13)-III-3	65

Verifica a compressione parallela alla fibr. (§4.4.8.1.3 - NTC)

Parametri di verifica: $k_{crit,c} = 1.00$ $Lo = 50.5\text{cm}$

Instabilità di colonna: Trascurabile

x	Nd	σ_{c0d}	f_{c0d}	Kmod	Comb.	SF
cm	kg	kg/cmq	kg/cmq			
20.2	-357	-2	166	1	(12+13)-III-2	89

Asta: 22 [0 , 0]

Sez. R: $b = 12.0\text{cm}$ $h = 16.0\text{cm}$

$L = 50.5\text{cm}$

Crit.Prog: Legno_Tirante-Puntone

Verifica: Verificata

Verifica a trazione parallela alla fibr. (§4.4.8.1.1 - NTC)

Parametri di verifica: $kh = 1.10$

x	Nd	σ_{t0d}	f_{t0d}	Kmod	Comb.	SF
cm	kg	kg/cmq	kg/cmq			
20.2	283	1	125	1	(12+13)-III-3	85

Verifica a compressione parallela alla fibr. (§4.4.8.1.3 - NTC)

Parametri di verifica: $k_{crit,c} = 1.00$ $Lo = 50.5\text{cm}$

Instabilità di colonna: Trascurabile

x	Nd	σ_{c0d}	f_{c0d}	Kmod	Comb.	SF
cm	kg	kg/cmq	kg/cmq			
20.2	-319	-2	166	1	(12+13)-III-2	100

Asta: 22 [0 , 0]Sez. R: $b = 12.0\text{cm}$ $h = 16.0\text{cm}$ $L = 50.5\text{cm}$

Crit.Prog: Legno_Tirante-Puntone

Verifica: Verificata

Verifica a trazione parallela alla fibr. (§4.4.8.1.1 - NTC)Parametri di verifica: $kh = 1.10$

x	Nd	σ_{t0d}	ft_{0d}	Kmod	Comb.	SF
cm	kg	kg/cmq	kg/cmq			
25.3	369	2	125	1	(12+13)-III-2	65

Verifica a compressione parallela alla fibr. (§4.4.8.1.3 - NTC)Parametri di verifica: $k_{crit,c} = 1.00$ $Lo = 50.5\text{cm}$

Instabilità di colonna: Trascurabile

x	Nd	σ_{c0d}	fc_{0d}	Kmod	Comb.	SF
cm	kg	kg/cmq	kg/cmq			
25.3	-299	-2	166	1	(12+13)-III-3	>100

Asta: 22 [0 , 0]Sez. R: $b = 12.0\text{cm}$ $h = 16.0\text{cm}$ $L = 50.5\text{cm}$

Crit.Prog: Legno_Tirante-Puntone

Verifica: Verificata

Verifica a trazione parallela alla fibr. (§4.4.8.1.1 - NTC)Parametri di verifica: $kh = 1.10$

x	Nd	σ_{t0d}	ft_{0d}	Kmod	Comb.	SF
cm	kg	kg/cmq	kg/cmq			
50.5	714	4	125	1	(12+13)-III-2	34

Verifica a compressione parallela alla fibr. (§4.4.8.1.3 - NTC)Parametri di verifica: $k_{crit,c} = 1.00$ $Lo = 50.5\text{cm}$

Instabilità di colonna: Trascurabile

x	Nd	σ_{c0d}	fc_{0d}	Kmod	Comb.	SF
cm	kg	kg/cmq	kg/cmq			
50.5	-586	-3	166	1	(12+13)-III-3	54

Asta: 22 [0 , 0]Sez. R: $b = 12.0\text{cm}$ $h = 16.0\text{cm}$ $L = 50.5\text{cm}$

Crit.Prog: Legno_Tirante-Puntone

Verifica: Verificata

Verifica a trazione parallela alla fibr. (§4.4.8.1.1 - NTC)Parametri di verifica: $kh = 1.10$

x	Nd	σ_{t0d}	ft_{0d}	Kmod	Comb.	SF
cm	kg	kg/cmq	kg/cmq			
50.5	994	5	125	1	(12+13)-III-2	24

Verifica a compressione parallela alla fibr. (§4.4.8.1.3 - NTC)Parametri di verifica: $k_{crit,c} = 1.00$ $Lo = 50.5\text{cm}$

Instabilità di colonna: Trascurabile

x	Nd	σ_{c0d}	fc_{0d}	Kmod	Comb.	SF
cm	kg	kg/cmq	kg/cmq			
50.5	-840	-4	166	1	(12+13)-III-3	38

Asta: 22 [0 , 0]Sez. R: $b = 12.0\text{cm}$ $h = 16.0\text{cm}$ $L = 50.5\text{cm}$

Crit.Prog: Legno_Tirante-Puntone

Verifica: Verificata

Verifica a trazione parallela alla fibr. (§4.4.8.1.1 - NTC)

Parametri di verifica: $kh = 1.10$

x	Nd	σ_{t0d}	ft_{0d}	Kmod	Comb.	SF
cm	kg	kg/cmq	kg/cmq			
50.5	1203	6	125	1	(12+13)-III-2	20

Verifica a compressione parallela alla fibr. (§4.4.8.1.3 - NTC)

Parametri di verifica: $k_{crit,c} = 1.00$ $Lo = 50.5cm$

Instabilità di colonna: **Trascurabile**

x	Nd	σ_{c0d}	fc_{0d}	Kmod	Comb.	SF
cm	kg	kg/cmq	kg/cmq			
50.5	-1112	-6	166	1	(12+13)-III-3	29

Asta: 22 [0 , 0]

Sez. R: $b = 12.0cm$ $h = 16.0cm$ $L = 50.5cm$

Crit.Prog: Legno_Tirante-Puntone Verifica: **Verificata**

Verifica a trazione parallela alla fibr. (§4.4.8.1.1 - NTC)

Parametri di verifica: $kh = 1.10$

x	Nd	σ_{t0d}	ft_{0d}	Kmod	Comb.	SF
cm	kg	kg/cmq	kg/cmq			
25.3	1254	7	125	1	(12+13)-III-2	19

Verifica a compressione parallela alla fibr. (§4.4.8.1.3 - NTC)

Parametri di verifica: $k_{crit,c} = 1.00$ $Lo = 50.5cm$

Instabilità di colonna: **Trascuribile**

x	Nd	σ_{c0d}	fc_{0d}	Kmod	Comb.	SF
cm	kg	kg/cmq	kg/cmq			
25.3	-1278	-7	166	1	(12+13)-III-3	25

Asta: 22 [0 , 0]

Sez. R: $b = 12.0cm$ $h = 16.0cm$ $L = 50.5cm$

Crit.Prog: Legno_Tirante-Puntone Verifica: **Verificata**

Verifica a trazione parallela alla fibr. (§4.4.8.1.1 - NTC)

Parametri di verifica: $kh = 1.10$

x	Nd	σ_{t0d}	ft_{0d}	Kmod	Comb.	SF
cm	kg	kg/cmq	kg/cmq			
20.2	1268	7	125	1	(12+13)-III-1	19

Verifica a compressione parallela alla fibr. (§4.4.8.1.3 - NTC)

Parametri di verifica: $k_{crit,c} = 1.00$ $Lo = 50.5cm$

Instabilità di colonna: **Trascuribile**

x	Nd	σ_{c0d}	fc_{0d}	Kmod	Comb.	SF
cm	kg	kg/cmq	kg/cmq			
20.2	-1334	-7	166	1	(12+13)-III-4	24

Asta: 22 [0 , 0]

Sez. R: $b = 12.0cm$ $h = 16.0cm$ $L = 50.5cm$

Crit.Prog: Legno_Tirante-Puntone Verifica: **Verificata**

Verifica a trazione parallela alla fibr. (§4.4.8.1.1 - NTC)

Parametri di verifica: $kh = 1.10$

x	Nd	σ_{t0d}	ft_{0d}	Kmod	Comb.	SF
cm	kg	kg/cmq	kg/cmq			
20.2	1068	6	125	1	(12+13)-III-1	22

Verifica a compressione parallela alla fibr. (§4.4.8.1.3 - NTC)Parametri di verifica: $k_{crit,c} = 1.00$ $L_o = 50.5cm$ Instabilità di colonna: **Trascurabile**

x	Nd	σ_{c0d}	f_{c0d}	Kmod	Comb.	SF
cm	kg	kg/cmq	kg/cmq			
20.2	-1165	-6	166	1	(12+13)-III-4	27

Asta: 22 [0 , 0]Sez. R: $b = 12.0cm$ $h = 16.0cm$ $L = 50.5cm$ Crit.Prog: Legno_Tirante-Puntone Verifica: **Verificata**Verifica a trazione parallela alla fibr. (§4.4.8.1.1 - NTC)Parametri di verifica: $kh = 1.10$

x	Nd	σ_{t0d}	f_{t0d}	Kmod	Comb.	SF
cm	kg	kg/cmq	kg/cmq			
20.2	683	4	125	1	(12+13)-III-1	35

Verifica a compressione parallela alla fibr. (§4.4.8.1.3 - NTC)Parametri di verifica: $k_{crit,c} = 1.00$ $L_o = 50.5cm$ Instabilità di colonna: **Trascurabile**

x	Nd	σ_{c0d}	f_{c0d}	Kmod	Comb.	SF
cm	kg	kg/cmq	kg/cmq			
20.2	-711	-4	166	1	(12+13)-III-4	45

Asta: 22 [0 , 0]Sez. R: $b = 12.0cm$ $h = 16.0cm$ $L = 50.5cm$ Crit.Prog: Legno_Tirante-Puntone Verifica: **Verificata**Verifica a trazione parallela alla fibr. (§4.4.8.1.1 - NTC)Parametri di verifica: $kh = 1.10$

x	Nd	σ_{t0d}	f_{t0d}	Kmod	Comb.	SF
cm	kg	kg/cmq	kg/cmq			
25.3	669	3	125	1	(12+13)-III-4	36

Verifica a compressione parallela alla fibr. (§4.4.8.1.3 - NTC)Parametri di verifica: $k_{crit,c} = 1.00$ $L_o = 50.5cm$ Instabilità di colonna: **Trascurabile**

x	Nd	σ_{c0d}	f_{c0d}	Kmod	Comb.	SF
cm	kg	kg/cmq	kg/cmq			
25.3	-591	-3	166	1	(12+13)-III-1	54

Asta: 22 [0 , 42]Sez. R: $b = 12.0cm$ $h = 16.0cm$ $L = 50.5cm$ Crit.Prog: Legno_Tirante-Puntone Verifica: **Verificata**Verifica a trazione parallela alla fibr. (§4.4.8.1.1 - NTC)Parametri di verifica: $kh = 1.10$

x	Nd	σ_{t0d}	f_{t0d}	Kmod	Comb.	SF
cm	kg	kg/cmq	kg/cmq			
25.3	952	5	125	1	(12+13)-III-4	25

Verifica a compressione parallela alla fibr. (§4.4.8.1.3 - NTC)Parametri di verifica: $k_{crit,c} = 1.00$ $L_o = 50.5cm$ Instabilità di colonna: **Trascurabile**

x	Nd	σ_{c0d}	f_{c0d}	Kmod	Comb.	SF
cm	kg	kg/cmq	kg/cmq			

x	Nd	σ_{c0d}	f_{c0d}	Kmod	Comb.	SF
cm	kg	kg/cmq	kg/cmq			
25.3	-1916	-10	166	1	(12+13)-III-1	17

Asta: 23 [0 , 0]

Sez. R: $b = 12.0\text{cm}$ $h = 16.0\text{cm}$

$L = 47.1\text{cm}$

Crit.Prog: Legno_Tirante-Puntone

Verifica: Verificata

Verifica a trazione parallela alla fibr. (§4.4.8.1.1 - NTC)

Parametri di verifica: $kh = 1.10$

x	Nd	σ_{t0d}	f_{t0d}	Kmod	Comb.	SF
cm	kg	kg/cmq	kg/cmq			
23.6	158	1	75	0.6	1	91

Verifica a compressione parallela alla fibr. (§4.4.8.1.3 - NTC)

Parametri di verifica: $k_{crit,c} = 1.00$ $Lo = 47.1\text{cm}$

Instabilità di colonna: Trascurabile

x	Nd	σ_{c0d}	f_{c0d}	Kmod	Comb.	SF
cm	kg	kg/cmq	kg/cmq			
18.9	-53	-0	166	1	(12+13)-III-4	>100

Asta: 23 [0 , 0]

Sez. R: $b = 12.0\text{cm}$ $h = 16.0\text{cm}$

$L = 47.1\text{cm}$

Crit.Prog: Legno_Tirante-Puntone

Verifica: Verificata

Verifica a trazione parallela alla fibr. (§4.4.8.1.1 - NTC)

Parametri di verifica: $kh = 1.10$

x	Nd	σ_{t0d}	f_{t0d}	Kmod	Comb.	SF
cm	kg	kg/cmq	kg/cmq			
47.1	183	1	125	1	(12+13)-III-1	>100

Verifica a compressione parallela alla fibr. (§4.4.8.1.3 - NTC)

Parametri di verifica: $k_{crit,c} = 1.00$ $Lo = 47.1\text{cm}$

Instabilità di colonna: Trascurabile

x	Nd	σ_{c0d}	f_{c0d}	Kmod	Comb.	SF
cm	kg	kg/cmq	kg/cmq			
18.9	-47	-0	166	1	(12+13)-III-4	>100

Asta: 23 [0 , 0]

Sez. R: $b = 12.0\text{cm}$ $h = 16.0\text{cm}$

$L = 47.1\text{cm}$

Crit.Prog: Legno_Tirante-Puntone

Verifica: Verificata

Verifica a trazione parallela alla fibr. (§4.4.8.1.1 - NTC)

Parametri di verifica: $kh = 1.10$

x	Nd	σ_{t0d}	f_{t0d}	Kmod	Comb.	SF
cm	kg	kg/cmq	kg/cmq			
23.6	146	1	125	1	(12+13)-III-1	>100

Verifica a compressione parallela alla fibr. (§4.4.8.1.3 - NTC)

Parametri di verifica: $k_{crit,c} = 1.00$ $Lo = 47.1\text{cm}$

Instabilità di colonna: Trascurabile

x	Nd	σ_{c0d}	f_{c0d}	Kmod	Comb.	SF
cm	kg	kg/cmq	kg/cmq			
18.9	-70	-0	166	1	(12+13)-III-4	>100

Asta: 23 [0 , 0]Sez. R: $b = 12.0\text{cm}$ $h = 16.0\text{cm}$ $L = 47.1\text{cm}$

Crit.Prog: Legno_Tirante-Puntone

Verifica: Verificata

Verifica a trazione parallela alla fibr. (§4.4.8.1.1 - NTC)Parametri di verifica: $kh = 1.10$

x	Nd	σ_{t0d}	ft_{0d}	Kmod	Comb.	SF
cm	kg	kg/cmq	kg/cmq			
47.1	118	1	125	1	(12+13)-III-1	>100

Verifica a compressione parallela alla fibr. (§4.4.8.1.3 - NTC)Parametri di verifica: $k_{crit,c} = 1.00$ $Lo = 47.1\text{cm}$

Instabilità di colonna: Trascurabile

x	Nd	σ_{c0d}	fc_{0d}	Kmod	Comb.	SF
cm	kg	kg/cmq	kg/cmq			
47.1	-120	-1	166	1	(12+13)-III-4	>100

Asta: 23 [0 , 0]Sez. R: $b = 12.0\text{cm}$ $h = 16.0\text{cm}$ $L = 47.1\text{cm}$

Crit.Prog: Legno_Tirante-Puntone

Verifica: Verificata

Verifica a trazione parallela alla fibr. (§4.4.8.1.1 - NTC)Parametri di verifica: $kh = 1.10$

x	Nd	σ_{t0d}	ft_{0d}	Kmod	Comb.	SF
cm	kg	kg/cmq	kg/cmq			
18.9	104	1	125	1	(12+13)-III-1	>100

Verifica a compressione parallela alla fibr. (§4.4.8.1.3 - NTC)Parametri di verifica: $k_{crit,c} = 1.00$ $Lo = 47.1\text{cm}$

Instabilità di colonna: Trascurabile

x	Nd	σ_{c0d}	fc_{0d}	Kmod	Comb.	SF
cm	kg	kg/cmq	kg/cmq			
23.6	-188	-1	166	1	(12+13)-III-4	>100

Asta: 23 [0 , 54]Sez. R: $b = 12.0\text{cm}$ $h = 16.0\text{cm}$ $L = 47.1\text{cm}$

Crit.Prog: Legno_Tirante-Puntone

Verifica: Verificata

Verifica a trazione parallela alla fibr. (§4.4.8.1.1 - NTC)Parametri di verifica: $kh = 1.10$

x	Nd	σ_{t0d}	ft_{0d}	Kmod	Comb.	SF
cm	kg	kg/cmq	kg/cmq			
18.9	122	1	125	1	(12+13)-III-1	>100

Verifica a compressione parallela alla fibr. (§4.4.8.1.3 - NTC)Parametri di verifica: $k_{crit,c} = 1.00$ $Lo = 47.1\text{cm}$

Instabilità di colonna: Trascurabile

x	Nd	σ_{c0d}	fc_{0d}	Kmod	Comb.	SF
cm	kg	kg/cmq	kg/cmq			
47.1	-240	-1	166	1	(12+13)-III-4	>100

Asta: 23 [0 , 0]Sez. R: $b = 12.0\text{cm}$ $h = 16.0\text{cm}$ $L = 52.5\text{cm}$

Crit.Prog: Legno_Tirante-Puntone

Verifica: Verificata

Verifica a trazione parallela alla fibr. (§4.4.8.1.1 - NTC)

Parametri di verifica: $kh = 1.10$

x	Nd	σ_{t0d}	ft_{0d}	Kmod	Comb.	SF
cm	kg	kg/cmq	kg/cmq			
52.5	50	0	125	1	(12+13)-IV-2	>100

Verifica a compressione parallela alla fibr. (§4.4.8.1.3 - NTC)

Parametri di verifica: $k_{crit,c} = 1.00$ $Lo = 52.5\text{cm}$

Instabilità di colonna: **Trascurabile**

x	Nd	σ_{c0d}	fc_{0d}	Kmod	Comb.	SF
cm	kg	kg/cmq	kg/cmq			
21.0	-132	-1	166	1	(12+13)-IV-3	>100

Asta: 23 [0 , 0]

Sez. R: $b = 12.0\text{cm}$ $h = 16.0\text{cm}$ $L = 52.5\text{cm}$

Crit.Prog: Legno_Tirante-Puntone Verifica: **Verificata**

Verifica a trazione parallela alla fibr. (§4.4.8.1.1 - NTC)

Parametri di verifica: $kh = 1.10$

x	Nd	σ_{t0d}	ft_{0d}	Kmod	Comb.	SF
cm	kg	kg/cmq	kg/cmq			
52.5	48	0	125	1	(12+13)-IV-2	>100

Verifica a compressione parallela alla fibr. (§4.4.8.1.3 - NTC)

Parametri di verifica: $k_{crit,c} = 1.00$ $Lo = 52.5\text{cm}$

Instabilità di colonna: **Trascuribile**

x	Nd	σ_{c0d}	fc_{0d}	Kmod	Comb.	SF
cm	kg	kg/cmq	kg/cmq			
21.0	-122	-1	166	1	(12+13)-IV-3	>100

Asta: 23 [0 , 0]

Sez. R: $b = 12.0\text{cm}$ $h = 16.0\text{cm}$ $L = 52.5\text{cm}$

Crit.Prog: Legno_Tirante-Puntone Verifica: **Verificata**

Verifica a trazione parallela alla fibr. (§4.4.8.1.1 - NTC)

Parametri di verifica: $kh = 1.10$

x	Nd	σ_{t0d}	ft_{0d}	Kmod	Comb.	SF
cm	kg	kg/cmq	kg/cmq			
26.3	64	0	125	1	(12+13)-IV-2	>100

Verifica a compressione parallela alla fibr. (§4.4.8.1.3 - NTC)

Parametri di verifica: $k_{crit,c} = 1.00$ $Lo = 52.5\text{cm}$

Instabilità di colonna: **Trascuribile**

x	Nd	σ_{c0d}	fc_{0d}	Kmod	Comb.	SF
cm	kg	kg/cmq	kg/cmq			
21.0	-102	-1	166	1	(12+13)-IV-3	>100

Asta: 23 [0 , 0]

Sez. R: $b = 12.0\text{cm}$ $h = 16.0\text{cm}$ $L = 52.5\text{cm}$

Crit.Prog: Legno_Tirante-Puntone Verifica: **Verificata**

Verifica a trazione parallela alla fibr. (§4.4.8.1.1 - NTC)

Parametri di verifica: $kh = 1.10$

x	Nd	σ_{t0d}	ft_{0d}	Kmod	Comb.	SF
cm	kg	kg/cmq	kg/cmq			
21.0	85	0	125	1	(12+13)-IV-2	>100

Verifica a compressione parallela alla fibr. (§4.4.8.1.3 - NTC)Parametri di verifica: $k_{crit,c} = 1.00$ $L_o = 52.5\text{cm}$ Instabilità di colonna: **Trascurabile**

x	Nd	σ_{c0d}	f_{c0d}	Kmod	Comb.	SF
cm	kg	kg/cmq	kg/cmq			
21.0	-86	-0	166	1	(12+13)-IV-3	>100

Asta: 23 [0 , 0]Sez. R: $b = 12.0\text{cm}$ $h = 16.0\text{cm}$ $L = 52.5\text{cm}$ Crit.Prog: Legno_Tirante-Puntone Verifica: **Verificata**Verifica a trazione parallela alla fibr. (§4.4.8.1.1 - NTC)Parametri di verifica: $kh = 1.10$

x	Nd	σ_{t0d}	f_{t0d}	Kmod	Comb.	SF
cm	kg	kg/cmq	kg/cmq			
21.0	102	1	125	1	(12+13)-IV-2	>100

Verifica a compressione parallela alla fibr. (§4.4.8.1.3 - NTC)Parametri di verifica: $k_{crit,c} = 1.00$ $L_o = 52.5\text{cm}$ Instabilità di colonna: **Trascuribile**

x	Nd	σ_{c0d}	f_{c0d}	Kmod	Comb.	SF
cm	kg	kg/cmq	kg/cmq			
21.0	-69	-0	166	1	(12+13)-IV-3	>100

Asta: 23 [0 , 0]Sez. R: $b = 12.0\text{cm}$ $h = 16.0\text{cm}$ $L = 52.5\text{cm}$ Crit.Prog: Legno_Tirante-Puntone Verifica: **Verificata**Verifica a trazione parallela alla fibr. (§4.4.8.1.1 - NTC)Parametri di verifica: $kh = 1.10$

x	Nd	σ_{t0d}	f_{t0d}	Kmod	Comb.	SF
cm	kg	kg/cmq	kg/cmq			
52.5	71	0	75	0.6	1	>100

Verifica a compressione parallela alla fibr. (§4.4.8.1.3 - NTC)Parametri di verifica: $k_{crit,c} = 1.00$ $L_o = 52.5\text{cm}$ Instabilità di colonna: **Trascuribile**

x	Nd	σ_{c0d}	f_{c0d}	Kmod	Comb.	SF
cm	kg	kg/cmq	kg/cmq			
21.0	-61	-0	166	1	(12+13)-IV-3	>100

Asta: 23 [0 , 0]Sez. R: $b = 12.0\text{cm}$ $h = 16.0\text{cm}$ $L = 52.5\text{cm}$ Crit.Prog: Legno_Tirante-Puntone Verifica: **Verificata**Verifica a trazione parallela alla fibr. (§4.4.8.1.1 - NTC)Parametri di verifica: $kh = 1.10$

x	Nd	σ_{t0d}	f_{t0d}	Kmod	Comb.	SF
cm	kg	kg/cmq	kg/cmq			
52.5	87	0	75	0.6	1	>100

Verifica a compressione parallela alla fibr. (§4.4.8.1.3 - NTC)Parametri di verifica: $k_{crit,c} = 1.00$ $L_o = 52.5\text{cm}$ Instabilità di colonna: **Trascuribile**

x	Nd	σ_{c0d}	f_{c0d}	Kmod	Comb.	SF
cm	kg	kg/cmq	kg/cmq			

x	Nd	σ_{c0d}	f_{c0d}	Kmod	Comb.	SF
cm	kg	kg/cmq	kg/cmq			
21.0	-55	-0	166	1	(12+13)-IV-3	>100

Asta: 23 [0 , 0]

Sez. R: $b = 12.0\text{cm}$ $h = 16.0\text{cm}$

$L = 52.5\text{cm}$

Crit.Prog: Legno_Tirante-Puntone

Verifica: Verificata

Verifica a trazione parallela alla fibr. (§4.4.8.1.1 - NTC)

Parametri di verifica: $kh = 1.10$

x	Nd	σ_{t0d}	f_{t0d}	Kmod	Comb.	SF
cm	kg	kg/cmq	kg/cmq			
26.3	107	1	75	0.6	1	>100

Verifica a compressione parallela alla fibr. (§4.4.8.1.3 - NTC)

Parametri di verifica: $k_{crit,c} = 1.00$ $Lo = 52.5\text{cm}$

Instabilità di colonna: Trascurabile

x	Nd	σ_{c0d}	f_{c0d}	Kmod	Comb.	SF
cm	kg	kg/cmq	kg/cmq			
21.0	-49	-0	166	1	(12+13)-IV-3	>100

Asta: 23 [0 , 0]

Sez. R: $b = 12.0\text{cm}$ $h = 16.0\text{cm}$

$L = 52.5\text{cm}$

Crit.Prog: Legno_Tirante-Puntone

Verifica: Verificata

Verifica a trazione parallela alla fibr. (§4.4.8.1.1 - NTC)

Parametri di verifica: $kh = 1.10$

x	Nd	σ_{t0d}	f_{t0d}	Kmod	Comb.	SF
cm	kg	kg/cmq	kg/cmq			
52.5	152	1	75	0.6	1	95

Verifica a compressione parallela alla fibr. (§4.4.8.1.3 - NTC)

Parametri di verifica: $k_{crit,c} = 1.00$ $Lo = 52.5\text{cm}$

Instabilità di colonna: Trascurabile

x	Nd	σ_{c0d}	f_{c0d}	Kmod	Comb.	SF
cm	kg	kg/cmq	kg/cmq			
21.0	-32	-0	166	1	(12+13)-IV-3	>100

Asta: 23 [0 , 0]

Sez. R: $b = 12.0\text{cm}$ $h = 16.0\text{cm}$

$L = 52.5\text{cm}$

Crit.Prog: Legno_Tirante-Puntone

Verifica: Verificata

Verifica a trazione parallela alla fibr. (§4.4.8.1.1 - NTC)

Parametri di verifica: $kh = 1.10$

x	Nd	σ_{t0d}	f_{t0d}	Kmod	Comb.	SF
cm	kg	kg/cmq	kg/cmq			
52.5	203	1	75	0.6	1	71

Asta: 23 [0 , 60]

Sez. R: $b = 12.0\text{cm}$ $h = 16.0\text{cm}$

$L = 52.5\text{cm}$

Crit.Prog: Legno_Tirante-Puntone

Verifica: Verificata

Verifica a trazione parallela alla fibr. (§4.4.8.1.1 - NTC)

Parametri di verifica: $kh = 1.10$

x	Nd	σ_{t0d}	f_{t0d}	Kmod	Comb.	SF
cm	kg	kg/cmq	kg/cmq			
21.0	-55	-0	166	1	(12+13)-IV-3	>100

x	Nd	σ_{t0d}	f_{t0d}	Kmod	Comb.	SF
cm	kg	kg/cmq	kg/cmq			
21.0	195	1	75	0.6	1	74

Asta: 100 [0 , 0]

Sez. R: $b = 12.0\text{cm}$ $h = 16.0\text{cm}$

$L = 530.0\text{cm}$

Crit.Prog: Legno_Tirante-Puntone

Verifica: Verificata

Verifica a trazione parallela alla fibr. (§4.4.8.1.1 - NTC)

Parametri di verifica: $kh = 1.10$

x	Nd	σ_{t0d}	f_{t0d}	Kmod	Comb.	SF
cm	kg	kg/cmq	kg/cmq			
530.0	45	0	125	1	(12+13)-VIII-2	>100

Verifica a compressione parallela alla fibr. (§4.4.8.1.3 - NTC)

Parametri di verifica: $k_{crit,c} = 0.16$ $Lo = 530.0\text{cm}$

Instabilità di colonna: Instabilità nel piano XY

x	Nd	σ_{c0d}	f_{c0d}	Kmod	Comb.	SF
cm	kg	kg/cmq	kg/cmq			
530.0	-273	-1	99	0.6	1	11

Asta: 101 [0 , 0]

Sez. R: $b = 12.0\text{cm}$ $h = 16.0\text{cm}$

$L = 529.2\text{cm}$

Crit.Prog: Legno_Tirante-Puntone

Verifica: Verificata

Verifica a compressione parallela alla fibr. (§4.4.8.1.3 - NTC)

Parametri di verifica: $k_{crit,c} = 0.16$ $Lo = 529.2\text{cm}$

Instabilità di colonna: Instabilità nel piano XY

x	Nd	σ_{c0d}	f_{c0d}	Kmod	Comb.	SF
cm	kg	kg/cmq	kg/cmq			
529.2	-442	-2	99	0.6	1	6.9

Asta: 102 [0 , 0]

Sez. R: $b = 12.0\text{cm}$ $h = 16.0\text{cm}$

$L = 530.1\text{cm}$

Crit.Prog: Legno_Tirante-Puntone

Verifica: Verificata

Verifica a compressione parallela alla fibr. (§4.4.8.1.3 - NTC)

Parametri di verifica: $k_{crit,c} = 0.16$ $Lo = 530.1\text{cm}$

Instabilità di colonna: Instabilità nel piano XY

x	Nd	σ_{c0d}	f_{c0d}	Kmod	Comb.	SF
cm	kg	kg/cmq	kg/cmq			
530.1	-364	-2	99	0.6	1	8.3

Asta: 103 [0 , 0]

Sez. R: $b = 12.0\text{cm}$ $h = 16.0\text{cm}$

$L = 530.2\text{cm}$

Crit.Prog: Legno_Tirante-Puntone

Verifica: Verificata

Verifica a compressione parallela alla fibr. (§4.4.8.1.3 - NTC)

Parametri di verifica: $k_{crit,c} = 0.16$ $Lo = 530.2\text{cm}$

Instabilità di colonna: Instabilità nel piano XY

x	Nd	σ_{c0d}	f_{c0d}	Kmod	Comb.	SF
cm	kg	kg/cmq	kg/cmq			
530.2	-321	-2	99	0.6	1	9.4

Asta: 104 [0 , 0]

Sez. R: $b = 12.0\text{cm}$ $h = 16.0\text{cm}$

$L = 530.3\text{cm}$

Crit.Prog: Legno_Tirante-Puntone

Verifica: Verificata

Verifica a compressione parallela alla fibr. (§4.4.8.1.3 - NTC)

Parametri di verifica: $k_{crit,c} = 0.16$ $L_o = 530.3\text{cm}$

Instabilità di colonna: **Instabilità nel piano XY**

x	Nd	σ_{c0d}	fc0d	Kmod	Comb.	SF
cm	kg	kg/cmq	kg/cmq			
530.3	-321	-2	99	0.6	1	9.4

Asta: 105 [0 , 0]

Sez. R: $b = 12.0\text{cm}$ $h = 16.0\text{cm}$ $L = 530.4\text{cm}$

Crit.Prog: Legno_Tirante-Puntone Verifica: **Verificata**

Verifica a trazione parallela alla fibr. (§4.4.8.1.1 - NTC)

Parametri di verifica: $kh = 1.10$

x	Nd	σ_{t0d}	ft0d	Kmod	Comb.	SF
cm	kg	kg/cmq	kg/cmq			
530.4	218	1	125	1	(12+13)-VII-2	>100

Verifica a compressione parallela alla fibr. (§4.4.8.1.3 - NTC)

Parametri di verifica: $k_{crit,c} = 0.16$ $L_o = 530.4\text{cm}$

Instabilità di colonna: **Instabilità nel piano XY**

x	Nd	σ_{c0d}	fc0d	Kmod	Comb.	SF
cm	kg	kg/cmq	kg/cmq			
530.4	-476	-2	166	1	(12+13)-VII-3	11

Asta: 106 [0 , 60]

Sez. R: $b = 12.0\text{cm}$ $h = 16.0\text{cm}$ $L = 530.5\text{cm}$

Crit.Prog: Legno_Tirante-Puntone Verifica: **Verificata**

Verifica a trazione parallela alla fibr. (§4.4.8.1.1 - NTC)

Parametri di verifica: $kh = 1.10$

x	Nd	σ_{t0d}	ft0d	Kmod	Comb.	SF
cm	kg	kg/cmq	kg/cmq			
530.5	866	5	125	1	(12+13)-III-4	28

Verifica a compressione parallela alla fibr. (§4.4.8.1.3 - NTC)

Parametri di verifica: $k_{crit,c} = 0.16$ $L_o = 530.5\text{cm}$

Instabilità di colonna: **Instabilità nel piano XY**

x	Nd	σ_{c0d}	fc0d	Kmod	Comb.	SF
cm	kg	kg/cmq	kg/cmq			
530.5	-793	-4	166	1	(12+13)-III-1	6.3

Asta: 107 [0 , 0]

Sez. R: $b = 12.0\text{cm}$ $h = 16.0\text{cm}$ $L = 530.4\text{cm}$

Crit.Prog: Legno_Tirante-Puntone Verifica: **Verificata**

Verifica a trazione parallela alla fibr. (§4.4.8.1.1 - NTC)

Parametri di verifica: $kh = 1.10$

x	Nd	σ_{t0d}	ft0d	Kmod	Comb.	SF
cm	kg	kg/cmq	kg/cmq			
530.4	318	2	125	1	(12+13)-III-3	76

Verifica a compressione parallela alla fibr. (§4.4.8.1.3 - NTC)

Parametri di verifica: $k_{crit,c} = 0.16$ $L_o = 530.4\text{cm}$

Instabilità di colonna: **Instabilità nel piano XY**

x	Nd	σ_{c0d}	fc0d	Kmod	Comb.	SF
cm	kg	kg/cmq	kg/cmq			

x	Nd	σ_{c0d}	f_{c0d}	Kmod	Comb.	SF
cm	kg	kg/cmq	kg/cmq			
530.4	-742	-4	166	1	(12+13)-III-2	6.8

Asta: 108 [0 , 0]

Sez. R: $b = 12.0\text{cm}$ $h = 16.0\text{cm}$ $L = 530.3\text{cm}$

Crit.Prog: Legno_Tirante-Puntone

Verifica: Verificata

Verifica a compressione parallela alla fibr. (§4.4.8.1.3 - NTC)

Parametri di verifica: $k_{crit,c} = 0.16$ $Lo = 530.3\text{cm}$

Instabilità di colonna: Instabilità nel piano XY

x	Nd	σ_{c0d}	f_{c0d}	Kmod	Comb.	SF
cm	kg	kg/cmq	kg/cmq			
530.3	-285	-1	99	0.6	1	11

Asta: 109 [0 , 0]

Sez. R: $b = 12.0\text{cm}$ $h = 16.0\text{cm}$ $L = 530.3\text{cm}$

Crit.Prog: Legno_Tirante-Puntone

Verifica: Verificata

Verifica a trazione parallela alla fibr. (§4.4.8.1.1 - NTC)

Parametri di verifica: $kh = 1.10$

x	Nd	σ_{t0d}	f_{t0d}	Kmod	Comb.	SF
cm	kg	kg/cmq	kg/cmq			
530.3	56	0	125	1	(12+13)-VIII-4	>100

Verifica a compressione parallela alla fibr. (§4.4.8.1.3 - NTC)

Parametri di verifica: $k_{crit,c} = 0.16$ $Lo = 530.3\text{cm}$

Instabilità di colonna: Instabilità nel piano XY

x	Nd	σ_{c0d}	f_{c0d}	Kmod	Comb.	SF
cm	kg	kg/cmq	kg/cmq			
530.3	-289	-2	166	1	(12+13)-VIII-1	17

Asta: 110 [0 , 0]

Sez. R: $b = 12.0\text{cm}$ $h = 16.0\text{cm}$ $L = 530.2\text{cm}$

Crit.Prog: Legno_Tirante-Puntone

Verifica: Verificata

Verifica a trazione parallela alla fibr. (§4.4.8.1.1 - NTC)

Parametri di verifica: $kh = 1.10$

x	Nd	σ_{t0d}	f_{t0d}	Kmod	Comb.	SF
cm	kg	kg/cmq	kg/cmq			
530.2	144	1	125	1	(12+13)-IV-2	>100

Verifica a compressione parallela alla fibr. (§4.4.8.1.3 - NTC)

Parametri di verifica: $k_{crit,c} = 0.16$ $Lo = 530.2\text{cm}$

Instabilità di colonna: Instabilità nel piano XY

x	Nd	σ_{c0d}	f_{c0d}	Kmod	Comb.	SF
cm	kg	kg/cmq	kg/cmq			
530.2	-315	-2	166	1	(12+13)-IV-3	16

Asta: 111 [0 , 0]

Sez. R: $b = 12.0\text{cm}$ $h = 16.0\text{cm}$ $L = 530.2\text{cm}$

Crit.Prog: Legno_Tirante-Puntone

Verifica: Verificata

Verifica a trazione parallela alla fibr. (§4.4.8.1.1 - NTC)

Parametri di verifica: $kh = 1.10$

x	Nd	σ_{t0d}	f_{t0d}	Kmod	Comb.	SF
cm	kg	kg/cmq	kg/cmq			

x	Nd	σ_{t0d}	f_{t0d}	Kmod	Comb.	SF
cm	kg	kg/cmq	kg/cmq			
530.2	105	1	125	1	(12+13)-III-1	>100

Verifica a compressione parallela alla fibr. (§4.4.8.1.3 - NTC)

Parametri di verifica: $k_{crit,c} = 0.16$ $L_o = 530.2\text{cm}$

Instabilità di colonna: **Instabilità nel piano XY**

x	Nd	σ_{c0d}	f_{c0d}	Kmod	Comb.	SF
cm	kg	kg/cmq	kg/cmq			
530.2	-256	-1	166	1	(12+13)-III-4	20

Asta: 112 [0 , 0]

Sez. R: $b = 12.0\text{cm}$ $h = 16.0\text{cm}$ $L = 530.1\text{cm}$

Crit.Prog: Legno_Tirante-Puntone Verifica: **Verificata**

Verifica a trazione parallela alla fibr. (§4.4.8.1.1 - NTC)

Parametri di verifica: $kh = 1.10$

x	Nd	σ_{t0d}	f_{t0d}	Kmod	Comb.	SF
cm	kg	kg/cmq	kg/cmq			
530.1	83	0	125	1	(12+13)-IV-1	>100

Verifica a compressione parallela alla fibr. (§4.4.8.1.3 - NTC)

Parametri di verifica: $k_{crit,c} = 0.16$ $L_o = 530.1\text{cm}$

Instabilità di colonna: **Instabilità nel piano XY**

x	Nd	σ_{c0d}	f_{c0d}	Kmod	Comb.	SF
cm	kg	kg/cmq	kg/cmq			
530.1	-338	-2	166	1	(12+13)-IV-4	15

Asta: 113 [0 , 0]

Sez. R: $b = 12.0\text{cm}$ $h = 16.0\text{cm}$ $L = 530.1\text{cm}$

Crit.Prog: Legno_Tirante-Puntone Verifica: **Verificata**

Verifica a trazione parallela alla fibr. (§4.4.8.1.1 - NTC)

Parametri di verifica: $kh = 1.10$

x	Nd	σ_{t0d}	f_{t0d}	Kmod	Comb.	SF
cm	kg	kg/cmq	kg/cmq			
530.1	6	0	125	1	(12+13)-IV-1	>100

Verifica a compressione parallela alla fibr. (§4.4.8.1.3 - NTC)

Parametri di verifica: $k_{crit,c} = 0.16$ $L_o = 530.1\text{cm}$

Instabilità di colonna: **Instabilità nel piano XY**

x	Nd	σ_{c0d}	f_{c0d}	Kmod	Comb.	SF
cm	kg	kg/cmq	kg/cmq			
530.1	-233	-1	99	0.6	1	13

Asta: 114 [0 , 0]

Sez. R: $b = 12.0\text{cm}$ $h = 16.0\text{cm}$ $L = 530.1\text{cm}$

Crit.Prog: Legno_Tirante-Puntone Verifica: **Verificata**

Verifica a compressione parallela alla fibr. (§4.4.8.1.3 - NTC)

Parametri di verifica: $k_{crit,c} = 0.16$ $L_o = 530.1\text{cm}$

Instabilità di colonna: **Instabilità nel piano XY**

x	Nd	σ_{t0d}	f_{t0d}	Kmod	Comb.	SF
cm	kg	kg/cmq	kg/cmq			
530.1	-272	-1	99	0.6	1	11

Asta: 115 [0 , 0]Sez. R: $b = 12.0\text{cm}$ $h = 16.0\text{cm}$ $L = 530.0\text{cm}$

Crit.Prog: Legno_Tirante-Puntone

Verifica: Verificata

Verifica a compressione parallela alla fibr. (§4.4.8.1.3 - NTC)Parametri di verifica: $k_{crit,c} = 0.16$ $Lo = 530.0\text{cm}$

Instabilità di colonna: Instabilità nel piano XY

x	Nd	σ_{c0d}	fc0d	Kmod	Comb.	SF
cm	kg	kg/cmq	kg/cmq			
530.0	-327	-2	99	0.6	1	9.2

Asta: 116 [0 , 0]Sez. R: $b = 12.0\text{cm}$ $h = 16.0\text{cm}$ $L = 530.0\text{cm}$

Crit.Prog: Legno_Tirante-Puntone

Verifica: Verificata

Verifica a compressione parallela alla fibr. (§4.4.8.1.3 - NTC)Parametri di verifica: $k_{crit,c} = 0.16$ $Lo = 530.0\text{cm}$

Instabilità di colonna: Instabilità nel piano XY

x	Nd	σ_{c0d}	fc0d	Kmod	Comb.	SF
cm	kg	kg/cmq	kg/cmq			
530.0	-360	-2	99	0.6	1	8.4

Asta: 117 [0 , 0]Sez. R: $b = 12.0\text{cm}$ $h = 16.0\text{cm}$ $L = 530.0\text{cm}$

Crit.Prog: Legno_Tirante-Puntone

Verifica: Verificata

Verifica a trazione parallela alla fibr. (§4.4.8.1.1 - NTC)Parametri di verifica: $kh = 1.10$

x	Nd	σ_{t0d}	ft0d	Kmod	Comb.	SF
cm	kg	kg/cmq	kg/cmq			
530.0	64	0	125	1	(12+13)-I-3	>100

Verifica a compressione parallela alla fibr. (§4.4.8.1.3 - NTC)Parametri di verifica: $k_{crit,c} = 0.16$ $Lo = 530.0\text{cm}$

Instabilità di colonna: Instabilità nel piano XY

x	Nd	σ_{c0d}	fc0d	Kmod	Comb.	SF
cm	kg	kg/cmq	kg/cmq			
530.0	-392	-2	166	1	(12+13)-I-2	13

Asta: 16 [0 , 0]Sez. R: $b = 20.0\text{cm}$ $h = 40.0\text{cm}$ $L = 52.0\text{cm}$

Crit.Prog: Legno_Tirante-Puntone

Verifica: Verificata

Verifica a trazione parallela alla fibr. (§4.4.8.1.1 - NTC)Parametri di verifica: $kh = 1.04$

x	Nd	σ_{t0d}	ft0d	Kmod	Comb.	SF
cm	kg	kg/cmq	kg/cmq			
52.0	7449	9	119	1	(12+13)-VIII-3	13

Verifica a compressione parallela alla fibr. (§4.4.8.1.3 - NTC)Parametri di verifica: $k_{crit,c} = 1.00$ $Lo = 52.0\text{cm}$

Instabilità di colonna: Trascurabile

x	Nd	σ_{c0d}	fc0d	Kmod	Comb.	SF
cm	kg	kg/cmq	kg/cmq			
52.0	-7565	-9	166	1	(12+13)-VIII-2	18

Asta: 16 [0 , 0]Sez. R: $b = 20.0\text{cm}$ $h = 40.0\text{cm}$ $L = 52.0\text{cm}$

Crit.Prog: Legno_Tirante-Puntone

Verifica: Verificata

Verifica a trazione parallela alla fibr. (§4.4.8.1.1 - NTC)Parametri di verifica: $kh = 1.04$

x	Nd	σ_{t0d}	ft_{0d}	Kmod	Comb.	SF
cm	kg	kg/cmq	kg/cmq			
52.0	7341	9	119	1	(12+13)-VIII-3	13

Verifica a compressione parallela alla fibr. (§4.4.8.1.3 - NTC)Parametri di verifica: $k_{crit,c} = 1.00$ $Lo = 52.0\text{cm}$

Instabilità di colonna: Trascurabile

x	Nd	σ_{c0d}	fc_{0d}	Kmod	Comb.	SF
cm	kg	kg/cmq	kg/cmq			
52.0	-7461	-9	166	1	(12+13)-VIII-2	18

Asta: 16 [0 , 0]Sez. R: $b = 20.0\text{cm}$ $h = 40.0\text{cm}$ $L = 52.0\text{cm}$

Crit.Prog: Legno_Tirante-Puntone

Verifica: Verificata

Verifica a trazione parallela alla fibr. (§4.4.8.1.1 - NTC)Parametri di verifica: $kh = 1.04$

x	Nd	σ_{t0d}	ft_{0d}	Kmod	Comb.	SF
cm	kg	kg/cmq	kg/cmq			
52.0	7280	9	119	1	(12+13)-VIII-3	13

Verifica a compressione parallela alla fibr. (§4.4.8.1.3 - NTC)Parametri di verifica: $k_{crit,c} = 1.00$ $Lo = 52.0\text{cm}$

Instabilità di colonna: Trascurabile

x	Nd	σ_{c0d}	fc_{0d}	Kmod	Comb.	SF
cm	kg	kg/cmq	kg/cmq			
52.0	-7404	-9	166	1	(12+13)-VIII-2	18

Asta: 16 [0 , 59]Sez. R: $b = 20.0\text{cm}$ $h = 40.0\text{cm}$ $L = 52.0\text{cm}$

Crit.Prog: Legno_Tirante-Puntone

Verifica: Verificata

Verifica a trazione parallela alla fibr. (§4.4.8.1.1 - NTC)Parametri di verifica: $kh = 1.04$

x	Nd	σ_{t0d}	ft_{0d}	Kmod	Comb.	SF
cm	kg	kg/cmq	kg/cmq			
52.0	7268	9	119	1	(12+13)-VIII-3	13

Verifica a compressione parallela alla fibr. (§4.4.8.1.3 - NTC)Parametri di verifica: $k_{crit,c} = 1.00$ $Lo = 52.0\text{cm}$

Instabilità di colonna: Trascurabile

x	Nd	σ_{c0d}	fc_{0d}	Kmod	Comb.	SF
cm	kg	kg/cmq	kg/cmq			
52.0	-7393	-9	166	1	(12+13)-VIII-2	18

Asta: 16 [0 , 0]Sez. R: $b = 12.0\text{cm}$ $h = 16.0\text{cm}$ $L = 52.9\text{cm}$

Crit.Prog: Legno_Tirante-Puntone

Verifica: Verificata

Verifica a trazione parallela alla fibr. (§4.4.8.1.1 - NTC)Parametri di verifica: $kh = 1.10$

x	Nd	σ_{t0d}	ft_{0d}	Kmod	Comb.	SF
cm	kg	kg/cmq	kg/cmq			
52.9	257	1	125	1	(12+13)-IV-1	93

Verifica a compressione parallela alla fibr. (§4.4.8.1.3 - NTC)Parametri di verifica: $k_{crit,c} = 1.00$ $Lo = 52.9\text{cm}$ Instabilità di colonna: **Trascurabile**

x	Nd	σ_{c0d}	fc_{0d}	Kmod	Comb.	SF
cm	kg	kg/cmq	kg/cmq			
52.9	-333	-2	166	1	(12+13)-IV-4	95

Asta: 16 [0 , 0]Sez. R: $b = 12.0\text{cm}$ $h = 16.0\text{cm}$ $L = 52.9\text{cm}$ Crit.Prog: Legno_Tirante-Puntone Verifica: **Verificata**Verifica a trazione parallela alla fibr. (§4.4.8.1.1 - NTC)Parametri di verifica: $kh = 1.10$

x	Nd	σ_{t0d}	ft_{0d}	Kmod	Comb.	SF
cm	kg	kg/cmq	kg/cmq			
52.9	638	3	125	1	(12+13)-IV-1	38

Verifica a compressione parallela alla fibr. (§4.4.8.1.3 - NTC)Parametri di verifica: $k_{crit,c} = 1.00$ $Lo = 52.9\text{cm}$ Instabilità di colonna: **Trascurabile**

x	Nd	σ_{c0d}	fc_{0d}	Kmod	Comb.	SF
cm	kg	kg/cmq	kg/cmq			
52.9	-494	-3	166	1	(12+13)-IV-4	64

Asta: 16 [0 , 0]Sez. R: $b = 12.0\text{cm}$ $h = 16.0\text{cm}$ $L = 52.9\text{cm}$ Crit.Prog: Legno_Tirante-Puntone Verifica: **Verificata**Verifica a trazione parallela alla fibr. (§4.4.8.1.1 - NTC)Parametri di verifica: $kh = 1.10$

x	Nd	σ_{t0d}	ft_{0d}	Kmod	Comb.	SF
cm	kg	kg/cmq	kg/cmq			
52.9	1037	5	125	1	(12+13)-IV-1	23

Verifica a compressione parallela alla fibr. (§4.4.8.1.3 - NTC)Parametri di verifica: $k_{crit,c} = 1.00$ $Lo = 52.9\text{cm}$ Instabilità di colonna: **Trascurabile**

x	Nd	σ_{c0d}	fc_{0d}	Kmod	Comb.	SF
cm	kg	kg/cmq	kg/cmq			
52.9	-682	-4	166	1	(12+13)-IV-4	47

Asta: 16 [0 , 0]Sez. R: $b = 12.0\text{cm}$ $h = 16.0\text{cm}$ $L = 52.9\text{cm}$ Crit.Prog: Legno_Tirante-Puntone Verifica: **Verificata**Verifica a trazione parallela alla fibr. (§4.4.8.1.1 - NTC)Parametri di verifica: $kh = 1.10$

x	Nd	σ_{t0d}	ft_{0d}	Kmod	Comb.	SF
cm	kg	kg/cmq	kg/cmq			
52.9	1453	8	125	1	(12+13)-IV-1	17

Verifica a compressione parallela alla fibr. (§4.4.8.1.3 - NTC)

Parametri di verifica: $k_{crit,c} = 1.00$ $L_o = 52.9\text{cm}$

Instabilità di colonna: **Trascurabile**

x	Nd	σ_{c0d}	f_{c0d}	Kmod	Comb.	SF
cm	kg	kg/cmq	kg/cmq			
52.9	-853	-4	166	1	(12+13)-IV-4	37

Asta: 16 [0 , 0]

Sez. R: $b = 12.0\text{cm}$ $h = 16.0\text{cm}$ $L = 52.9\text{cm}$

Crit.Prog: Legno_Tirante-Puntone Verifica: **Verificata**

Verifica a trazione parallela alla fibr. (§4.4.8.1.1 - NTC)

Parametri di verifica: $kh = 1.10$

x	Nd	σ_{t0d}	f_{t0d}	Kmod	Comb.	SF
cm	kg	kg/cmq	kg/cmq			
26.4	1930	10	125	1	(12+13)-IV-1	12

Verifica a compressione parallela alla fibr. (§4.4.8.1.3 - NTC)

Parametri di verifica: $k_{crit,c} = 1.00$ $L_o = 52.9\text{cm}$

Instabilità di colonna: **Trascuribile**

x	Nd	σ_{c0d}	f_{c0d}	Kmod	Comb.	SF
cm	kg	kg/cmq	kg/cmq			
26.4	-964	-5	166	1	(12+13)-IV-4	33

Asta: 16 [0 , 44]

Sez. R: $b = 12.0\text{cm}$ $h = 16.0\text{cm}$ $L = 52.9\text{cm}$

Crit.Prog: Legno_Tirante-Puntone Verifica: **Verificata**

Verifica a trazione parallela alla fibr. (§4.4.8.1.1 - NTC)

Parametri di verifica: $kh = 1.10$

x	Nd	σ_{t0d}	f_{t0d}	Kmod	Comb.	SF
cm	kg	kg/cmq	kg/cmq			
52.9	2799	15	125	1	(12+13)-VIII-3	8.6

Verifica a compressione parallela alla fibr. (§4.4.8.1.3 - NTC)

Parametri di verifica: $k_{crit,c} = 1.00$ $L_o = 52.9\text{cm}$

Instabilità di colonna: **Trascuribile**

x	Nd	σ_{c0d}	f_{c0d}	Kmod	Comb.	SF
cm	kg	kg/cmq	kg/cmq			
52.9	-1667	-9	166	1	(12+13)-VIII-2	19

Asta: 118 [1 , 0]

Sez. R: $b = 12.0\text{cm}$ $h = 16.0\text{cm}$ $L = 530.0\text{cm}$

Crit.Prog: Legno_Tirante-Puntone Verifica: **Verificata**

Verifica a trazione parallela alla fibr. (§4.4.8.1.1 - NTC)

Parametri di verifica: $kh = 1.10$

x	Nd	σ_{t0d}	f_{t0d}	Kmod	Comb.	SF
cm	kg	kg/cmq	kg/cmq			
530.0	7	0	125	1	(12+13)-III-4	>100

Verifica a compressione parallela alla fibr. (§4.4.8.1.3 - NTC)

Parametri di verifica: $k_{crit,c} = 0.16$ $L_o = 530.0\text{cm}$

Instabilità di colonna: **Instabilità nel piano XY**

x	Nd	σ_{c0d}	f_{c0d}	Kmod	Comb.	SF
cm	kg	kg/cmq	kg/cmq			
530.0	-7	-0	166	1	(12+13)-III-1	>100

Asta: 119 [0 , 0]

Sez. R: $b = 12.0\text{cm}$ $h = 16.0\text{cm}$

$L = 540.0\text{cm}$

Crit.Prog: Legno_Tirante-Puntone

Verifica: Verificata

Verifica a trazione parallela alla fibr. (§4.4.8.1.1 - NTC)

Parametri di verifica: $kh = 1.10$

x	Nd	σ_{t0d}	f_{t0d}	Kmod	Comb.	SF
cm	kg	kg/cmq	kg/cmq			
540.0	273	1	125	1	(12+13)-III-4	88

Verifica a compressione parallela alla fibr. (§4.4.8.1.3 - NTC)

Parametri di verifica: $k_{crit,c} = 0.15$ $Lo = 540.0\text{cm}$

Instabilità di colonna: Instabilità nel piano XY

x	Nd	σ_{c0d}	f_{c0d}	Kmod	Comb.	SF
cm	kg	kg/cmq	kg/cmq			
540.0	-274	-1	166	1	(12+13)-III-1	18

Asta: 120 [0 , 0]

Sez. R: $b = 12.0\text{cm}$ $h = 16.0\text{cm}$

$L = 540.0\text{cm}$

Crit.Prog: Legno_Tirante-Puntone

Verifica: Verificata

Verifica a trazione parallela alla fibr. (§4.4.8.1.1 - NTC)

Parametri di verifica: $kh = 1.10$

x	Nd	σ_{t0d}	f_{t0d}	Kmod	Comb.	SF
cm	kg	kg/cmq	kg/cmq			
540.0	169	1	125	1	(12+13)-IV-4	>100

Verifica a compressione parallela alla fibr. (§4.4.8.1.3 - NTC)

Parametri di verifica: $k_{crit,c} = 0.15$ $Lo = 540.0\text{cm}$

Instabilità di colonna: Instabilità nel piano XY

x	Nd	σ_{c0d}	f_{c0d}	Kmod	Comb.	SF
cm	kg	kg/cmq	kg/cmq			
540.0	-433	-2	166	1	(12+13)-IV-1	11

Asta: 121 [0 , 0]

Sez. R: $b = 12.0\text{cm}$ $h = 16.0\text{cm}$

$L = 540.0\text{cm}$

Crit.Prog: Legno_Tirante-Puntone

Verifica: Verificata

Verifica a trazione parallela alla fibr. (§4.4.8.1.1 - NTC)

Parametri di verifica: $kh = 1.10$

x	Nd	σ_{t0d}	f_{t0d}	Kmod	Comb.	SF
cm	kg	kg/cmq	kg/cmq			
540.0	459	2	125	1	(12+13)-IV-4	52

Verifica a compressione parallela alla fibr. (§4.4.8.1.3 - NTC)

Parametri di verifica: $k_{crit,c} = 0.15$ $Lo = 540.0\text{cm}$

Instabilità di colonna: Instabilità nel piano XY

x	Nd	σ_{c0d}	f_{c0d}	Kmod	Comb.	SF
cm	kg	kg/cmq	kg/cmq			
540.0	-696	-4	166	1	(12+13)-IV-1	7.0

Asta: 122 [0 , 44]Sez. R: $b = 12.0\text{cm}$ $h = 16.0\text{cm}$ $L = 540.0\text{cm}$

Crit.Prog: Legno_Tirante-Puntone

Verifica: Verificata

Verifica a trazione parallela alla fibr. (§4.4.8.1.1 - NTC)Parametri di verifica: $kh = 1.10$

x	Nd	σ_{t0d}	$ft0d$	Kmod	Comb.	SF
cm	kg	kg/cmq	kg/cmq			
540.0	498	3	125	1	(12+13)-III-3	48

Verifica a compressione parallela alla fibr. (§4.4.8.1.3 - NTC)Parametri di verifica: $k_{crit,c} = 0.15$ $Lo = 540.0\text{cm}$

Instabilità di colonna: Instabilità nel piano XY

x	Nd	σ_{c0d}	$fc0d$	Kmod	Comb.	SF
cm	kg	kg/cmq	kg/cmq			
540.0	-406	-2	166	1	(12+13)-III-2	12

Asta: 123 [0 , 0]Sez. R: $b = 12.0\text{cm}$ $h = 16.0\text{cm}$ $L = 540.0\text{cm}$

Crit.Prog: Legno_Tirante-Puntone

Verifica: Verificata

Verifica a trazione parallela alla fibr. (§4.4.8.1.1 - NTC)Parametri di verifica: $kh = 1.10$

x	Nd	σ_{t0d}	$ft0d$	Kmod	Comb.	SF
cm	kg	kg/cmq	kg/cmq			
540.0	343	2	125	1	(12+13)-IV-3	70

Verifica a compressione parallela alla fibr. (§4.4.8.1.3 - NTC)Parametri di verifica: $k_{crit,c} = 0.15$ $Lo = 540.0\text{cm}$

Instabilità di colonna: Instabilità nel piano XY

x	Nd	σ_{c0d}	$fc0d$	Kmod	Comb.	SF
cm	kg	kg/cmq	kg/cmq			
540.0	-670	-3	166	1	(12+13)-IV-2	7.2

Asta: 124 [0 , 0]Sez. R: $b = 12.0\text{cm}$ $h = 16.0\text{cm}$ $L = 540.0\text{cm}$

Crit.Prog: Legno_Tirante-Puntone

Verifica: Verificata

Verifica a compressione parallela alla fibr. (§4.4.8.1.3 - NTC)Parametri di verifica: $k_{crit,c} = 0.15$ $Lo = 540.0\text{cm}$

Instabilità di colonna: Instabilità nel piano XY

x	Nd	σ_{c0d}	$fc0d$	Kmod	Comb.	SF
cm	kg	kg/cmq	kg/cmq			
540.0	-294	-2	99	0.6	1	9.9

Asta: 125 [0 , 0]Sez. R: $b = 12.0\text{cm}$ $h = 16.0\text{cm}$ $L = 540.0\text{cm}$

Crit.Prog: Legno_Tirante-Puntone

Verifica: Verificata

Verifica a compressione parallela alla fibr. (§4.4.8.1.3 - NTC)Parametri di verifica: $k_{crit,c} = 0.15$ $Lo = 540.0\text{cm}$

Instabilità di colonna: Instabilità nel piano XY

x	Nd	σ_{c0d}	$fc0d$	Kmod	Comb.	SF
cm	kg	kg/cmq	kg/cmq			
540.0	-299	-2	99	0.6	1	9.7

Asta: 126 [0 , 0]Sez. R: $b = 12.0\text{cm}$ $h = 16.0\text{cm}$ $L = 540.0\text{cm}$

Crit.Prog: Legno_Tirante-Puntone

Verifica: Verificata

Verifica a compressione parallela alla fibr. (§4.4.8.1.3 - NTC)Parametri di verifica: $k_{crit,c} = 0.15$ $Lo = 540.0\text{cm}$

Instabilità di colonna: Instabilità nel piano XY

x	Nd	σ_{c0d}	fc0d	Kmod	Comb.	SF
cm	kg	kg/cmq	kg/cmq			
540.0	-345	-2	99	0.6	1	8.5

Asta: 127 [0 , 0]Sez. R: $b = 12.0\text{cm}$ $h = 16.0\text{cm}$ $L = 540.0\text{cm}$

Crit.Prog: Legno_Tirante-Puntone

Verifica: Verificata

Verifica a compressione parallela alla fibr. (§4.4.8.1.3 - NTC)Parametri di verifica: $k_{crit,c} = 0.15$ $Lo = 540.0\text{cm}$

Instabilità di colonna: Instabilità nel piano XY

x	Nd	σ_{c0d}	fc0d	Kmod	Comb.	SF
cm	kg	kg/cmq	kg/cmq			
540.0	-393	-2	99	0.6	1	7.4

Asta: 128 [0 , 0]Sez. R: $b = 12.0\text{cm}$ $h = 16.0\text{cm}$ $L = 540.0\text{cm}$

Crit.Prog: Legno_Tirante-Puntone

Verifica: Verificata

Verifica a trazione parallela alla fibr. (§4.4.8.1.1 - NTC)Parametri di verifica: $kh = 1.10$

x	Nd	σ_{t0d}	ft0d	Kmod	Comb.	SF
cm	kg	kg/cmq	kg/cmq			
540.0	40	0	125	1	(12+13)-III-3	>100

Verifica a compressione parallela alla fibr. (§4.4.8.1.3 - NTC)Parametri di verifica: $k_{crit,c} = 0.15$ $Lo = 540.0\text{cm}$

Instabilità di colonna: Instabilità nel piano XY

x	Nd	σ_{c0d}	fc0d	Kmod	Comb.	SF
cm	kg	kg/cmq	kg/cmq			
540.0	-259	-1	99	0.6	1	11

Asta: 17 [42 , 41]Sez. R: $b = 12.0\text{cm}$ $h = 16.0\text{cm}$ $L = 530.0\text{cm}$

Crit.Prog: Legno_Tirante-Puntone

Verifica: Verificata

Verifica a trazione parallela alla fibr. (§4.4.8.1.1 - NTC)Parametri di verifica: $kh = 1.10$

x	Nd	σ_{t0d}	ft0d	Kmod	Comb.	SF
cm	kg	kg/cmq	kg/cmq			
530.0	293	2	125	1	(12+13)-IV-3	82

Verifica a compressione parallela alla fibr. (§4.4.8.1.3 - NTC)Parametri di verifica: $k_{crit,c} = 0.16$ $Lo = 530.0\text{cm}$

Instabilità di colonna: Instabilità nel piano XY

x	Nd	σ_{c0d}	fc0d	Kmod	Comb.	SF
cm	kg	kg/cmq	kg/cmq			
53.0	-311	-2	166	1	(12+13)-III-3	16

Asta: 17 [41 , 43]Sez. R: $b = 12.0\text{cm}$ $h = 16.0\text{cm}$ $L = 540.0\text{cm}$

Crit.Prog: Legno_Tirante-Puntone

Verifica: Verificata

Verifica a trazione parallela alla fibr. (§4.4.8.1.1 - NTC)Parametri di verifica: $kh = 1.10$

x	Nd	σ_{t0d}	$ft0d$	Kmod	Comb.	SF
cm	kg	kg/cmq	kg/cmq			
216.0	335	2	125	1	(12+13)-IV-2	72

Verifica a compressione parallela alla fibr. (§4.4.8.1.3 - NTC)Parametri di verifica: $k_{crit,c} = 0.15$ $Lo = 540.0\text{cm}$

Instabilità di colonna: Instabilità nel piano XY

x	Nd	σ_{c0d}	$fc0d$	Kmod	Comb.	SF
cm	kg	kg/cmq	kg/cmq			
540.0	-182	-1	99	0.6	1	16

Asta: 16 [43 , 0]Sez. R: $b = 12.0\text{cm}$ $h = 16.0\text{cm}$ $L = 52.9\text{cm}$

Crit.Prog: Legno_Tirante-Puntone

Verifica: Verificata

Verifica a trazione parallela alla fibr. (§4.4.8.1.1 - NTC)Parametri di verifica: $kh = 1.10$

x	Nd	σ_{t0d}	$ft0d$	Kmod	Comb.	SF
cm	kg	kg/cmq	kg/cmq			
21.1	538	3	125	1	(12+13)-III-3	45

Verifica a compressione parallela alla fibr. (§4.4.8.1.3 - NTC)Parametri di verifica: $k_{crit,c} = 1.00$ $Lo = 52.9\text{cm}$

Instabilità di colonna: Trascurabile

x	Nd	σ_{c0d}	$fc0d$	Kmod	Comb.	SF
cm	kg	kg/cmq	kg/cmq			
21.1	-317	-2	166	1	(12+13)-III-2	>100

Asta: 18 [44 , 0]Sez. R: $b = 12.0\text{cm}$ $h = 16.0\text{cm}$ $L = 58.3\text{cm}$

Crit.Prog: Legno_Tirante-Puntone

Verifica: Verificata

Verifica a trazione parallela alla fibr. (§4.4.8.1.1 - NTC)Parametri di verifica: $kh = 1.10$

x	Nd	σ_{t0d}	$ft0d$	Kmod	Comb.	SF
cm	kg	kg/cmq	kg/cmq			
58.3	1431	7	125	1	(12+13)-I-4	17

Verifica a compressione parallela alla fibr. (§4.4.8.1.3 - NTC)Parametri di verifica: $k_{crit,c} = 1.00$ $Lo = 58.3\text{cm}$

Instabilità di colonna: Trascurabile

x	Nd	σ_{c0d}	$fc0d$	Kmod	Comb.	SF
cm	kg	kg/cmq	kg/cmq			
58.3	-1674	-9	166	1	(12+13)-I-1	19

Asta: 19 [46 , 0]Sez. R: $b = 12.0\text{cm}$ $h = 16.0\text{cm}$ $L = 65.0\text{cm}$

Crit.Prog: Legno_Tirante-Puntone

Verifica: Verificata

Verifica a trazione parallela alla fibr. (§4.4.8.1.1 - NTC)

Parametri di verifica: $kh = 1.10$

x	Nd	σ_{t0d}	$ft0d$	Kmod	Comb.	SF
cm	kg	kg/cmq	kg/cmq			
26.0	264	1	125	1	(12+13)-I-1	91

Asta: 19 [47 , 0]

Sez. R: $b = 12.0\text{cm}$ $h = 16.0\text{cm}$ $L = 55.0\text{cm}$

Crit.Prog: Legno_Tirante-Puntone

Verifica: Verificata

Verifica a trazione parallela alla fibr. (§4.4.8.1.1 - NTC)

Parametri di verifica: $kh = 1.10$

x	Nd	σ_{t0d}	$ft0d$	Kmod	Comb.	SF
cm	kg	kg/cmq	kg/cmq			
22.0	307	2	125	1	(12+13)-II-3	78

Verifica a compressione parallela alla fibr. (§4.4.8.1.3 - NTC)

Parametri di verifica: $k_{crit,c} = 1.00$ $Lo = 55.0\text{cm}$

Instabilità di colonna: Trascurabile

x	Nd	σ_{c0d}	$fc0d$	Kmod	Comb.	SF
cm	kg	kg/cmq	kg/cmq			
22.0	-288	-2	166	1	(12+13)-II-2	>100

Asta: 19 [48 , 49]

Sez. R: $b = 12.0\text{cm}$ $h = 16.0\text{cm}$ $L = 440.1\text{cm}$

Crit.Prog: Legno_Tirante-Puntone

Verifica: Verificata

Verifica a trazione parallela alla fibr. (§4.4.8.1.1 - NTC)

Parametri di verifica: $kh = 1.10$

x	Nd	σ_{t0d}	$ft0d$	Kmod	Comb.	SF
cm	kg	kg/cmq	kg/cmq			
176.0	229	1	75	0.6	1	63

Verifica a compressione parallela alla fibr. (§4.4.8.1.3 - NTC)

Parametri di verifica: $k_{crit,c} = 0.23$ $Lo = 440.1\text{cm}$

Instabilità di colonna: Instabilità nel piano XY

x	Nd	σ_{c0d}	$fc0d$	Kmod	Comb.	SF
cm	kg	kg/cmq	kg/cmq			
440.1	-278	-1	166	1	(12+13)-II-1	26

Asta: 19 [49 , 50]

Sez. R: $b = 12.0\text{cm}$ $h = 16.0\text{cm}$ $L = 489.9\text{cm}$

Crit.Prog: Legno_Tirante-Puntone

Verifica: Verificata

Verifica a trazione parallela alla fibr. (§4.4.8.1.1 - NTC)

Parametri di verifica: $kh = 1.10$

x	Nd	σ_{t0d}	$ft0d$	Kmod	Comb.	SF
cm	kg	kg/cmq	kg/cmq			
196.0	206	1	125	1	(12+13)-V-4	>100

Verifica a compressione parallela alla fibr. (§4.4.8.1.3 - NTC)

Parametri di verifica: $k_{crit,c} = 0.18$ $Lo = 489.9\text{cm}$

Instabilità di colonna: Instabilità nel piano XY

x	Nd	σ_{c0d}	$fc0d$	Kmod	Comb.	SF
cm	kg	kg/cmq	kg/cmq			
489.9	-245	-1	166	1	(12+13)-VI-1	24

Asta: 20 [50 , 0]Sez. R: $b = 12.0\text{cm}$ $h = 16.0\text{cm}$ $L = 61.3\text{cm}$

Crit.Prog: Legno_Tirante-Puntone

Verifica: Verificata

Verifica a trazione parallela alla fibr. (§4.4.8.1.1 - NTC)Parametri di verifica: $kh = 1.10$

x cm	Nd kg	σ_{t0d} kg/cmq	$ft0d$ kg/cmq	Kmod	Comb.	SF
24.5	629	3	125	1	(12+13)-VI-2	38

Verifica a compressione parallela alla fibr. (§4.4.8.1.3 - NTC)Parametri di verifica: $k_{crit,c} = 1.00$ $Lo = 61.3\text{cm}$

Instabilità di colonna: Trascurabile

x cm	Nd kg	σ_{c0d} kg/cmq	$fc0d$ kg/cmq	Kmod	Comb.	SF
24.5	-370	-2	166	1	(12+13)-VI-3	86

Asta: 20 [51 , 52]Sez. R: $b = 12.0\text{cm}$ $h = 16.0\text{cm}$ $L = 310.0\text{cm}$

Crit.Prog: Legno_Tirante-Puntone

Verifica: Verificata

Verifica a trazione parallela alla fibr. (§4.4.8.1.1 - NTC)Parametri di verifica: $kh = 1.10$

x cm	Nd kg	σ_{t0d} kg/cmq	$ft0d$ kg/cmq	Kmod	Comb.	SF
124.0	184	1	125	1	(12+13)-VIII-1	>100

Verifica a compressione parallela alla fibr. (§4.4.8.1.3 - NTC)Parametri di verifica: $k_{crit,c} = 0.44$ $Lo = 310.0\text{cm}$

Instabilità di colonna: Instabilità nel piano XY

x cm	Nd kg	σ_{c0d} kg/cmq	$fc0d$ kg/cmq	Kmod	Comb.	SF
62.0	-315	-2	166	1	(12+13)-VII-4	44

Asta: 21 [52 , 0]Sez. R: $b = 12.0\text{cm}$ $h = 16.0\text{cm}$ $L = 54.7\text{cm}$

Crit.Prog: Legno_Tirante-Puntone

Verifica: Verificata

Verifica a trazione parallela alla fibr. (§4.4.8.1.1 - NTC)Parametri di verifica: $kh = 1.10$

x cm	Nd kg	σ_{t0d} kg/cmq	$ft0d$ kg/cmq	Kmod	Comb.	SF
21.9	316	2	125	1	(12+13)-VII-4	76

Verifica a compressione parallela alla fibr. (§4.4.8.1.3 - NTC)Parametri di verifica: $k_{crit,c} = 1.00$ $Lo = 54.7\text{cm}$

Instabilità di colonna: Trascurabile

x cm	Nd kg	σ_{c0d} kg/cmq	$fc0d$ kg/cmq	Kmod	Comb.	SF
21.9	-198	-1	166	1	(12+13)-VII-1	>100

Asta: 15 [53 , 0]Sez. R: $b = 12.0\text{cm}$ $h = 16.0\text{cm}$ $L = 57.5\text{cm}$

Crit.Prog: Legno_Tirante-Puntone

Verifica: Verificata

Verifica a trazione parallela alla fibr. (§4.4.8.1.1 - NTC)

Parametri di verifica: $kh = 1.10$

x	Nd	σ_{t0d}	ft_{0d}	Kmod	Comb.	SF
cm	kg	kg/cmq	kg/cmq			
23.0	1030	5	75	0.6	1	14

Asta: 15 [54 , 55]

Sez. R: $b = 12.0\text{cm}$ $h = 16.0\text{cm}$ $L = 530.0\text{cm}$

Crit.Prog: Legno_Tirante-Puntone Verifica: **Verificata**

Verifica a trazione parallela alla fibr. (§4.4.8.1.1 - NTC)

Parametri di verifica: $kh = 1.10$

x	Nd	σ_{t0d}	ft_{0d}	Kmod	Comb.	SF
cm	kg	kg/cmq	kg/cmq			
212.0	279	1	125	1	(12+13)-IV-1	86

Verifica a compressione parallela alla fibr. (§4.4.8.1.3 - NTC)

Parametri di verifica: $k_{crit,c} = 0.16$ $Lo = 530.0\text{cm}$

Instabilità di colonna: **Instabilità nel piano XY**

x	Nd	σ_{c0d}	fc_{0d}	Kmod	Comb.	SF
cm	kg	kg/cmq	kg/cmq			
530.0	-173	-1	99	0.6	1	17

Asta: 22 [55 , 0]

Sez. R: $b = 12.0\text{cm}$ $h = 16.0\text{cm}$ $L = 50.5\text{cm}$

Crit.Prog: Legno_Tirante-Puntone Verifica: **Verificata**

Verifica a trazione parallela alla fibr. (§4.4.8.1.1 - NTC)

Parametri di verifica: $kh = 1.10$

x	Nd	σ_{t0d}	ft_{0d}	Kmod	Comb.	SF
cm	kg	kg/cmq	kg/cmq			
20.2	236	1	125	1	(12+13)-VII-4	>100

Verifica a compressione parallela alla fibr. (§4.4.8.1.3 - NTC)

Parametri di verifica: $k_{crit,c} = 1.00$ $Lo = 50.5\text{cm}$

Instabilità di colonna: **Trascurabile**

x	Nd	σ_{c0d}	fc_{0d}	Kmod	Comb.	SF
cm	kg	kg/cmq	kg/cmq			
20.2	-85	-0	166	1	(12+13)-VII-1	>100

Asta: 23 [41 , 0]

Sez. R: $b = 12.0\text{cm}$ $h = 16.0\text{cm}$ $L = 52.5\text{cm}$

Crit.Prog: Legno_Tirante-Puntone Verifica: **Verificata**

Verifica a trazione parallela alla fibr. (§4.4.8.1.1 - NTC)

Parametri di verifica: $kh = 1.10$

x	Nd	σ_{t0d}	ft_{0d}	Kmod	Comb.	SF
cm	kg	kg/cmq	kg/cmq			
52.5	101	1	125	1	(12+13)-IV-2	>100

Verifica a compressione parallela alla fibr. (§4.4.8.1.3 - NTC)

Parametri di verifica: $k_{crit,c} = 1.00$ $Lo = 52.5\text{cm}$

Instabilità di colonna: **Trascurabile**

x	Nd	σ_{c0d}	fc_{0d}	Kmod	Comb.	SF
cm	kg	kg/cmq	kg/cmq			
21.0	-83	-0	166	1	(12+13)-IV-3	>100

Asta: 23 [60 , 0]

Sez. R: $b = 12.0\text{cm}$ $h = 16.0\text{cm}$ $L = 47.1\text{cm}$
Crit.Prog: Legno_Tirante-Puntone *Verifica: Verificata*

Verifica a trazione parallela alla fibr. (§4.4.8.1.1 - NTC)

Parametri di verifica: $kh = 1.10$

x	Nd	σ_{t0d}	$ft0d$	Kmod	Comb.	SF
cm	kg	kg/cmq	kg/cmq			
18.9	284	1	125	1	(12+13)-III-1	85

Verifica a compressione parallela alla fibr. (§4.4.8.1.3 - NTC)

Parametri di verifica: $k_{crit,c} = 1.00$ $Lo = 47.1\text{cm}$

Instabilità di colonna: **Trascurabile**

x	Nd	σ_{c0d}	$fc0d$	Kmod	Comb.	SF
cm	kg	kg/cmq	kg/cmq			
18.9	-95	-0	166	1	(12+13)-III-4	>100

Asta: 24 [47 , 0]

Sez. R: $b = 12.0\text{cm}$ $h = 16.0\text{cm}$ $L = 63.0\text{cm}$
Crit.Prog: Legno_Tirante-Puntone *Verifica: Verificata*

Verifica a trazione parallela alla fibr. (§4.4.8.1.1 - NTC)

Parametri di verifica: $kh = 1.10$

x	Nd	σ_{t0d}	$ft0d$	Kmod	Comb.	SF
cm	kg	kg/cmq	kg/cmq			
63.0	114	1	125	1	(12+13)-I-2	>100

Verifica a compressione parallela alla fibr. (§4.4.8.1.3 - NTC)

Parametri di verifica: $k_{crit,c} = 1.00$ $Lo = 63.0\text{cm}$

Instabilità di colonna: **Trascurabile**

x	Nd	σ_{c0d}	$fc0d$	Kmod	Comb.	SF
cm	kg	kg/cmq	kg/cmq			
25.2	-23	-0	166	1	(12+13)-I-3	>100

Asta: 24 [58 , 0]

Sez. R: $b = 12.0\text{cm}$ $h = 16.0\text{cm}$ $L = 58.3\text{cm}$
Crit.Prog: Legno_Tirante-Puntone *Verifica: Verificata*

Verifica a trazione parallela alla fibr. (§4.4.8.1.1 - NTC)

Parametri di verifica: $kh = 1.10$

x	Nd	σ_{t0d}	$ft0d$	Kmod	Comb.	SF
cm	kg	kg/cmq	kg/cmq			
23.3	856	4	125	1	(12+13)-I-2	28

Verifica a compressione parallela alla fibr. (§4.4.8.1.3 - NTC)

Parametri di verifica: $k_{crit,c} = 1.00$ $Lo = 58.3\text{cm}$

Instabilità di colonna: **Trascurabile**

x	Nd	σ_{c0d}	$fc0d$	Kmod	Comb.	SF
cm	kg	kg/cmq	kg/cmq			
23.3	-747	-4	166	1	(12+13)-I-3	43

Asta: 24 [59 , 0]

Sez. R: $b = 12.0\text{cm}$ $h = 16.0\text{cm}$ $L = 60.0\text{cm}$
Crit.Prog: Legno_Tirante-Puntone *Verifica: Verificata*

Verifica a trazione parallela alla fibr. (§4.4.8.1.1 - NTC)Parametri di verifica: $kh = 1.10$

x cm	Nd kg	σ_{t0d} kg/cmq	ft_{0d} kg/cmq	Kmod	Comb.	SF
60.0	192	1	125	1	(12+13)-III-2	>100

Verifica a compressione parallela alla fibr. (§4.4.8.1.3 - NTC)Parametri di verifica: $k_{crit,c} = 1.00$ $Lo = 60.0\text{cm}$ Instabilità di colonna: **Trascurabile**

x cm	Nd kg	σ_{c0d} kg/cmq	fc_{0d} kg/cmq	Kmod	Comb.	SF
24.0	-289	-2	166	1	(12+13)-III-3	>100

Asta: 15 [48 , 0]Sez. R: $b = 12.0\text{cm}$ $h = 16.0\text{cm}$ $L = 63.0\text{cm}$ Crit.Prog: Legno_Tirante-Puntone Verifica: **Verificata**Verifica a trazione parallela alla fibr. (§4.4.8.1.1 - NTC)Parametri di verifica: $kh = 1.10$

x cm	Nd kg	σ_{t0d} kg/cmq	ft_{0d} kg/cmq	Kmod	Comb.	SF
0.0	1561	8	75	0.6	1	9.2

Verifica a compressione parallela alla fibr. (§4.4.8.1.3 - NTC)Parametri di verifica: $k_{crit,c} = 1.00$ $Lo = 63.0\text{cm}$ Instabilità di colonna: **Trascuribile**

x cm	Nd kg	σ_{c0d} kg/cmq	fc_{0d} kg/cmq	Kmod	Comb.	SF
25.2	-28	-0	166	1	(12+13)-V-1	>100

Asta: 25 [49 , 0]Sez. R: $b = 12.0\text{cm}$ $h = 16.0\text{cm}$ $L = 63.0\text{cm}$ Crit.Prog: Legno_Tirante-Puntone Verifica: **Verificata**Verifica a trazione parallela alla fibr. (§4.4.8.1.1 - NTC)Parametri di verifica: $kh = 1.10$

x cm	Nd kg	σ_{t0d} kg/cmq	ft_{0d} kg/cmq	Kmod	Comb.	SF
25.2	769	4	125	1	(12+13)-VI-4	31

Verifica a compressione parallela alla fibr. (§4.4.8.1.3 - NTC)Parametri di verifica: $k_{crit,c} = 1.00$ $Lo = 63.0\text{cm}$ Instabilità di colonna: **Trascuribile**

x cm	Nd kg	σ_{c0d} kg/cmq	fc_{0d} kg/cmq	Kmod	Comb.	SF
25.2	-679	-4	166	1	(12+13)-VI-1	47

Asta: 14 [57 , 0]Sez. R: $b = 20.0\text{cm}$ $h = 40.0\text{cm}$ $L = 55.0\text{cm}$ Crit.Prog: Legno_Tirante-Puntone Verifica: **Verificata**Verifica a trazione parallela alla fibr. (§4.4.8.1.1 - NTC)Parametri di verifica: $kh = 1.04$

x cm	Nd kg	σ_{t0d} kg/cmq	ft_{0d} kg/cmq	Kmod	Comb.	SF
25.2	192	1	125	1	(12+13)-VII-2	>100

x	Nd	σt0d	ft0d	Kmod	Comb.	SF
55.0	3905	5	119	1	(12+13)-VIII-3	24
cm	kg	kg/cmq	kg/cmq			

Verifica a compressione parallela alla fibr. (§4.4.8.1.3 - NTC)

Parametri di verifica: $k_{crit,c} = 1.00$ $Lo = 55.0\text{cm}$

Instabilità di colonna: **Trascurabile**

x	Nd	σc0d	fc0d	Kmod	Comb.	SF
cm	kg	kg/cmq	kg/cmq			
0.0	-4018	-5	166	1	(12+13)-VIII-2	33

Asta: 14 [56 , 0]

Sez. R: $b = 20.0\text{cm}$ $h = 40.0\text{cm}$ $L = 54.4\text{cm}$

Crit.Prog: Legno_Tirante-Puntone Verifica: **Verificata**

Verifica a trazione parallela alla fibr. (§4.4.8.1.1 - NTC)

Parametri di verifica: $kh = 1.04$

x	Nd	σt0d	ft0d	Kmod	Comb.	SF
cm	kg	kg/cmq	kg/cmq			
54.4	1988	2	119	1	(12+13)-VIII-1	48

Verifica a compressione parallela alla fibr. (§4.4.8.1.3 - NTC)

Parametri di verifica: $k_{crit,c} = 1.00$ $Lo = 54.4\text{cm}$

Instabilità di colonna: **Trascuribile**

x	Nd	σc0d	fc0d	Kmod	Comb.	SF
cm	kg	kg/cmq	kg/cmq			
54.4	-1716	-2	166	1	(12+13)-VIII-4	77

Asta: 15 [57 , 0]

Sez. R: $b = 20.0\text{cm}$ $h = 40.0\text{cm}$ $L = 62.0\text{cm}$

Crit.Prog: Legno_Tirante-Puntone Verifica: **Verificata**

Verifica a trazione parallela alla fibr. (§4.4.8.1.1 - NTC)

Parametri di verifica: $kh = 1.04$

x	Nd	σt0d	ft0d	Kmod	Comb.	SF
cm	kg	kg/cmq	kg/cmq			
62.0	1535	2	119	1	(12+13)-III-3	62

Verifica a compressione parallela alla fibr. (§4.4.8.1.3 - NTC)

Parametri di verifica: $k_{crit,c} = 1.00$ $Lo = 62.0\text{cm}$

Instabilità di colonna: **Trascuribile**

x	Nd	σc0d	fc0d	Kmod	Comb.	SF
cm	kg	kg/cmq	kg/cmq			
0.0	-105	-0	166	1	(12+13)-III-2	>100

Asta: 16 [44 , 0]

Sez. R: $b = 20.0\text{cm}$ $h = 40.0\text{cm}$ $L = 52.0\text{cm}$

Crit.Prog: Legno_Tirante-Puntone Verifica: **Verificata**

Verifica a trazione parallela alla fibr. (§4.4.8.1.1 - NTC)

Parametri di verifica: $kh = 1.04$

x	Nd	σt0d	ft0d	Kmod	Comb.	SF
cm	kg	kg/cmq	kg/cmq			
52.0	7550	9	119	1	(12+13)-VIII-3	13

Verifica a compressione parallela alla fibr. (§4.4.8.1.3 - NTC)

Parametri di verifica: $k_{crit,c} = 1.00$ $L_o = 52.0\text{cm}$

Instabilità di colonna: **Trascurabile**

x	Nd	σ_{c0d}	f_{c0d}	Kmod	Comb.	SF
cm	kg	kg/cmq	kg/cmq			
52.0	-7665	-10	166	1	(12+13)-VIII-2	17

Asta: 15 [61 , 0]

Sez. R: $b = 12.0\text{cm}$ $h = 16.0\text{cm}$ $L = 58.3\text{cm}$

Crit.Prog: Legno_Tirante-Puntone Verifica: **Verificata**

Verifica a trazione parallela alla fibr. (§4.4.8.1.1 - NTC)

Parametri di verifica: $kh = 1.10$

x	Nd	σ_{t0d}	f_{t0d}	Kmod	Comb.	SF
cm	kg	kg/cmq	kg/cmq			
0.0	889	5	125	1	(12+13)-V-2	27

Verifica a compressione parallela alla fibr. (§4.4.8.1.3 - NTC)

Parametri di verifica: $k_{crit,c} = 1.00$ $L_o = 58.3\text{cm}$

Instabilità di colonna: **Trascurabile**

x	Nd	σ_{c0d}	f_{c0d}	Kmod	Comb.	SF
cm	kg	kg/cmq	kg/cmq			
58.3	-350	-2	166	1	(12+13)-VI-1	91

Asta: 25 [62 , 0]

Sez. R: $b = 12.0\text{cm}$ $h = 16.0\text{cm}$ $L = 58.3\text{cm}$

Crit.Prog: Legno_Tirante-Puntone Verifica: **Verificata**

Verifica a trazione parallela alla fibr. (§4.4.8.1.1 - NTC)

Parametri di verifica: $kh = 1.10$

x	Nd	σ_{t0d}	f_{t0d}	Kmod	Comb.	SF
cm	kg	kg/cmq	kg/cmq			
23.3	920	5	125	1	(12+13)-VI-2	26

Verifica a compressione parallela alla fibr. (§4.4.8.1.3 - NTC)

Parametri di verifica: $k_{crit,c} = 1.00$ $L_o = 58.3\text{cm}$

Instabilità di colonna: **Trascurabile**

x	Nd	σ_{c0d}	f_{c0d}	Kmod	Comb.	SF
cm	kg	kg/cmq	kg/cmq			
23.3	-376	-2	166	1	(12+13)-VI-3	84

Asta: 26 [58 , 61]

Sez. R: $b = 20.0\text{cm}$ $h = 40.0\text{cm}$ $L = 330.0\text{cm}$

Crit.Prog: Legno_Tirante-Puntone Verifica: **Verificata**

Verifica a trazione parallela alla fibr. (§4.4.8.1.1 - NTC)

Parametri di verifica: $kh = 1.04$

x	Nd	σ_{t0d}	f_{t0d}	Kmod	Comb.	SF
cm	kg	kg/cmq	kg/cmq			
0.0	7839	10	119	1	(12+13)-II-3	12

Verifica a compressione parallela alla fibr. (§4.4.8.1.3 - NTC)

Parametri di verifica: $k_{crit,c} = 0.83$ $L_o = 330.0\text{cm}$

Instabilità di colonna: **Instabilità nel piano XY**

x	Nd	σ_{c0d}	f_{c0d}	Kmod	Comb.	SF
cm	kg	kg/cmq	kg/cmq			
66.0	-7966	-10	166	1	(12+13)-II-2	14

Asta: 26 [61 , 62]

Sez. R: $b = 20.0\text{cm}$ $h = 40.0\text{cm}$ $L = 440.1\text{cm}$
 Crit.Prog: Legno_Tirante-Puntone Verifica: **Verificata**

Verifica a trazione parallela alla fibr. (§4.4.8.1.1 - NTC)Parametri di verifica: $kh = 1.04$

x	Nd	σ_{t0d}	f_{t0d}	Kmod	Comb.	SF
cm	kg	kg/cmq	kg/cmq			
176.0	3574	4	119	1	(12+13)-VI-3	27

Verifica a compressione parallela alla fibr. (§4.4.8.1.3 - NTC)Parametri di verifica: $k_{crit,c} = 0.58$ $L_o = 440.1\text{cm}$ Instabilità di colonna: **Instabilità nel piano XY**

x	Nd	σ_{c0d}	f_{c0d}	Kmod	Comb.	SF
cm	kg	kg/cmq	kg/cmq			
352.1	-2753	-3	166	1	(12+13)-VI-4	28

Asta: 1 [230 , 146]Sez. R: $b = 14.0\text{cm}$ $h = 14.0\text{cm}$ $L = 381.0\text{cm}$ Crit.Prog: Legno_Tenso-Pressoflessione Verifica: **Verificata**Verifica a tensoflessione (§4.4.8.1.8 - NTC, §7.6.1.2.3 - CNR DT 206/2018)Parametri di verifica: $km=0.70$, $kh=1.10$, $kh,y=1.10$, $kh,z=1.10$ Instabilità di trave: **Trascurata (Sezione completamente tesa!)**

x	Nd	Myd	Mzd	σ_{t0d}	σ_{myd}	σ_{mzd}	f_{t0d}	f_{myd}	f_{mzd}	Kmod	Comb.	SF
cm	kg	kg*m	kg*m	kg/cmq	kg/cmq	kg/cmq	kg/cmq	kg/cmq	kg/cmq			
381.0	60	74	128	0	16	28	125	182	182	1	(12+13)-VII-2	4.6

Verifica a taglio (§4.4.8.1.9 - NTC)

x	Tyd	Tzd	τ_d	f_{vd}	Kmod	Comb.	SF
cm	kg	kg	kg/cmq	kg/cmq			
381.0	34	19	0	19	1	(12+13)-VII-3	63

Asta: 2 [130 , 246]Sez. R: $b = 14.0\text{cm}$ $h = 14.0\text{cm}$ $L = 387.0\text{cm}$ Crit.Prog: Legno_Tenso-Pressoflessione Verifica: **Verificata**Verifica a pressoflessione (§4.4.8.1.8 - NTC, §7.6.1.2.3 - CNR DT 206/2018)Parametri di verifica: $km=0.70$, $kh,y=1.10$, $kh,z=1.10$, $k_{crit,c}=0.39$, $k_{crit,m}=1.00$, $L_o=387.0\text{cm}$, $Leff=348.3\text{cm}$ Instabilità di colonna: **Non trascurabile** Instabilità di trave: **Trascurabile**

x	Nd	Myd	Mzd	σ_{c0d}	σ_{myd}	σ_{mzd}	f_{c0d}	f_{myd}	f_{mzd}	Kmod	Comb.	SF
cm	kg	kg*m	kg*m	kg/cmq	kg/cmq	kg/cmq	kg/cmq	kg/cmq	kg/cmq			
0.0	-175	7	2	-1	2	0	99	109	109	0.6	1	25

Verifica a taglio (§4.4.8.1.9 - NTC)

x	Tyd	Tzd	τ_d	f_{vd}	Kmod	Comb.	SF
cm	kg	kg	kg/cmq	kg/cmq			
387.0	2	6	0	19	1	(12+13)-III-2	>100

Asta: 30 [0 , 0]

Sez. R: $b = 12.0\text{cm}$ $h = 16.0\text{cm}$ $L = 55.0\text{cm}$
 Crit.Prog: Legno_Tirante-Puntone Verifica: **Verificata**

Verifica a trazione parallela alla fibr. (§4.4.8.1.1 - NTC)

Parametri di verifica: $kh = 1.10$

x	Nd	σ_{t0d}	ft_{0d}	Kmod	Comb.	SF
cm	kg	kg/cmq	kg/cmq			
22.0	836	4	125	1	(12+13)-V-1	29

Verifica a compressione parallela alla fibr. (§4.4.8.1.3 - NTC)

Parametri di verifica: $k_{crit,c} = 1.00$ $Lo = 55.0\text{cm}$

Instabilità di colonna: **Trascurabile**

x	Nd	σ_{c0d}	fc_{0d}	Kmod	Comb.	SF
cm	kg	kg/cmq	kg/cmq			
22.0	-859	-4	166	1	(12+13)-V-4	37

Asta: 30 [0 , 0]

Sez. R: $b = 12.0\text{cm}$ $h = 16.0\text{cm}$ $L = 55.0\text{cm}$

Crit.Prog: Legno_Tirante-Puntone Verifica: **Verificata**

Verifica a trazione parallela alla fibr. (§4.4.8.1.1 - NTC)

Parametri di verifica: $kh = 1.10$

x	Nd	σ_{t0d}	ft_{0d}	Kmod	Comb.	SF
cm	kg	kg/cmq	kg/cmq			
55.0	838	4	125	1	(12+13)-V-4	29

Verifica a compressione parallela alla fibr. (§4.4.8.1.3 - NTC)

Parametri di verifica: $k_{crit,c} = 1.00$ $Lo = 55.0\text{cm}$

Instabilità di colonna: **Trascurabile**

x	Nd	σ_{c0d}	fc_{0d}	Kmod	Comb.	SF
cm	kg	kg/cmq	kg/cmq			
55.0	-1066	-6	166	1	(12+13)-V-1	30

Asta: 30 [0 , 0]

Sez. R: $b = 12.0\text{cm}$ $h = 16.0\text{cm}$ $L = 55.0\text{cm}$

Crit.Prog: Legno_Tirante-Puntone Verifica: **Verificata**

Verifica a trazione parallela alla fibr. (§4.4.8.1.1 - NTC)

Parametri di verifica: $kh = 1.10$

x	Nd	σ_{t0d}	ft_{0d}	Kmod	Comb.	SF
cm	kg	kg/cmq	kg/cmq			
55.0	1250	7	125	1	(12+13)-I-2	19

Verifica a compressione parallela alla fibr. (§4.4.8.1.3 - NTC)

Parametri di verifica: $k_{crit,c} = 1.00$ $Lo = 55.0\text{cm}$

Instabilità di colonna: **Trascurabile**

x	Nd	σ_{c0d}	fc_{0d}	Kmod	Comb.	SF
cm	kg	kg/cmq	kg/cmq			
55.0	-1579	-8	166	1	(12+13)-I-3	20

Asta: 30 [0 , 0]

Sez. R: $b = 12.0\text{cm}$ $h = 16.0\text{cm}$ $L = 55.0\text{cm}$

Crit.Prog: Legno_Tirante-Puntone Verifica: **Verificata**

Verifica a trazione parallela alla fibr. (§4.4.8.1.1 - NTC)

Parametri di verifica: $kh = 1.10$

x	Nd	σ_{t0d}	ft_{0d}	Kmod	Comb.	SF
cm	kg	kg/cmq	kg/cmq			
55.0	1599	8	125	1	(12+13)-I-2	15

Verifica a compressione parallela alla fibr. (§4.4.8.1.3 - NTC)Parametri di verifica: $k_{crit,c} = 1.00$ $L_o = 55.0\text{cm}$ Instabilità di colonna: **Trascurabile**

x	Nd	σ_{c0d}	f_{c0d}	Kmod	Comb.	SF
cm	kg	kg/cmq	kg/cmq			
55.0	-1939	-10	166	1	(12+13)-I-3	16

Asta: 30 [0 , 0]Sez. R: $b = 12.0\text{cm}$ $h = 16.0\text{cm}$ $L = 55.0\text{cm}$ Crit.Prog: Legno_Tirante-Puntone Verifica: **Verificata**Verifica a trazione parallela alla fibr. (§4.4.8.1.1 - NTC)Parametri di verifica: $kh = 1.10$

x	Nd	σ_{t0d}	f_{t0d}	Kmod	Comb.	SF
cm	kg	kg/cmq	kg/cmq			
55.0	1799	9	125	1	(12+13)-I-1	13

Verifica a compressione parallela alla fibr. (§4.4.8.1.3 - NTC)Parametri di verifica: $k_{crit,c} = 1.00$ $L_o = 55.0\text{cm}$ Instabilità di colonna: **Trascurabile**

x	Nd	σ_{c0d}	f_{c0d}	Kmod	Comb.	SF
cm	kg	kg/cmq	kg/cmq			
55.0	-2102	-11	166	1	(12+13)-I-4	15

Asta: 30 [0 , 0]Sez. R: $b = 12.0\text{cm}$ $h = 16.0\text{cm}$ $L = 55.0\text{cm}$ Crit.Prog: Legno_Tirante-Puntone Verifica: **Verificata**Verifica a trazione parallela alla fibr. (§4.4.8.1.1 - NTC)Parametri di verifica: $kh = 1.10$

x	Nd	σ_{t0d}	f_{t0d}	Kmod	Comb.	SF
cm	kg	kg/cmq	kg/cmq			
22.0	1845	10	125	1	(12+13)-I-2	13

Verifica a compressione parallela alla fibr. (§4.4.8.1.3 - NTC)Parametri di verifica: $k_{crit,c} = 1.00$ $L_o = 55.0\text{cm}$ Instabilità di colonna: **Trascurabile**

x	Nd	σ_{c0d}	f_{c0d}	Kmod	Comb.	SF
cm	kg	kg/cmq	kg/cmq			
55.0	-2099	-11	166	1	(12+13)-I-3	15

Asta: 30 [0 , 64]Sez. R: $b = 12.0\text{cm}$ $h = 16.0\text{cm}$ $L = 55.0\text{cm}$ Crit.Prog: Legno_Tirante-Puntone Verifica: **Verificata**Verifica a trazione parallela alla fibr. (§4.4.8.1.1 - NTC)Parametri di verifica: $kh = 1.10$

x	Nd	σ_{t0d}	f_{t0d}	Kmod	Comb.	SF
cm	kg	kg/cmq	kg/cmq			
22.0	1858	10	125	1	(12+13)-I-2	13

Verifica a compressione parallela alla fibr. (§4.4.8.1.3 - NTC)Parametri di verifica: $k_{crit,c} = 1.00$ $L_o = 55.0\text{cm}$ Instabilità di colonna: **Trascurabile**

x	Nd	σ_{c0d}	f_{c0d}	Kmod	Comb.	SF
cm	kg	kg/cmq	kg/cmq			

x	Nd	σ_{c0d}	f_{c0d}	Kmod	Comb.	SF
cm	kg	kg/cmq	kg/cmq			
22.0	-2078	-11	166	1	(12+13)-I-3	15

Asta: 28 [0 , 0]

Sez. R: $b = 12.0\text{cm}$ $h = 16.0\text{cm}$

$L = 55.0\text{cm}$

Crit.Prog: Legno_Tirante-Puntone

Verifica: Verificata

Verifica a trazione parallela alla fibr. (§4.4.8.1.1 - NTC)

Parametri di verifica: $kh = 1.10$

x	Nd	σ_{t0d}	f_{t0d}	Kmod	Comb.	SF
cm	kg	kg/cmq	kg/cmq			
22.0	553	3	125	1	(12+13)-I-2	43

Verifica a compressione parallela alla fibr. (§4.4.8.1.3 - NTC)

Parametri di verifica: $k_{crit,c} = 1.00$ $Lo = 55.0\text{cm}$

Instabilità di colonna: Trascurabile

x	Nd	σ_{c0d}	f_{c0d}	Kmod	Comb.	SF
cm	kg	kg/cmq	kg/cmq			
55.0	-563	-3	166	1	(12+13)-I-4	56

Asta: 28 [0 , 0]

Sez. R: $b = 12.0\text{cm}$ $h = 16.0\text{cm}$

$L = 55.0\text{cm}$

Crit.Prog: Legno_Tirante-Puntone

Verifica: Verificata

Verifica a trazione parallela alla fibr. (§4.4.8.1.1 - NTC)

Parametri di verifica: $kh = 1.10$

x	Nd	σ_{t0d}	f_{t0d}	Kmod	Comb.	SF
cm	kg	kg/cmq	kg/cmq			
22.0	547	3	125	1	(12+13)-I-1	44

Verifica a compressione parallela alla fibr. (§4.4.8.1.3 - NTC)

Parametri di verifica: $k_{crit,c} = 1.00$ $Lo = 55.0\text{cm}$

Instabilità di colonna: Trascurabile

x	Nd	σ_{c0d}	f_{c0d}	Kmod	Comb.	SF
cm	kg	kg/cmq	kg/cmq			
22.0	-561	-3	166	1	(12+13)-I-4	57

Asta: 28 [0 , 0]

Sez. R: $b = 12.0\text{cm}$ $h = 16.0\text{cm}$

$L = 55.0\text{cm}$

Crit.Prog: Legno_Tirante-Puntone

Verifica: Verificata

Verifica a trazione parallela alla fibr. (§4.4.8.1.1 - NTC)

Parametri di verifica: $kh = 1.10$

x	Nd	σ_{t0d}	f_{t0d}	Kmod	Comb.	SF
cm	kg	kg/cmq	kg/cmq			
22.0	518	3	125	1	(12+13)-I-2	46

Verifica a compressione parallela alla fibr. (§4.4.8.1.3 - NTC)

Parametri di verifica: $k_{crit,c} = 1.00$ $Lo = 55.0\text{cm}$

Instabilità di colonna: Trascurabile

x	Nd	σ_{c0d}	f_{c0d}	Kmod	Comb.	SF
cm	kg	kg/cmq	kg/cmq			
22.0	-531	-3	166	1	(12+13)-I-3	60

Asta: 28 [0 , 0]Sez. R: $b = 12.0\text{cm}$ $h = 16.0\text{cm}$ $L = 55.0\text{cm}$

Crit.Prog: Legno_Tirante-Puntone

Verifica: Verificata

Verifica a trazione parallela alla fibr. (§4.4.8.1.1 - NTC)Parametri di verifica: $kh = 1.10$

x	Nd	σ_{t0d}	ft_{0d}	Kmod	Comb.	SF
cm	kg	kg/cmq	kg/cmq			
22.0	427	2	125	1	(12+13)-I-2	56

Verifica a compressione parallela alla fibr. (§4.4.8.1.3 - NTC)Parametri di verifica: $k_{crit,c} = 1.00$ $Lo = 55.0\text{cm}$

Instabilità di colonna: Trascurabile

x	Nd	σ_{c0d}	fc_{0d}	Kmod	Comb.	SF
cm	kg	kg/cmq	kg/cmq			
22.0	-454	-2	166	1	(12+13)-I-3	70

Asta: 28 [0 , 0]Sez. R: $b = 12.0\text{cm}$ $h = 16.0\text{cm}$ $L = 55.0\text{cm}$

Crit.Prog: Legno_Tirante-Puntone

Verifica: Verificata

Verifica a trazione parallela alla fibr. (§4.4.8.1.1 - NTC)Parametri di verifica: $kh = 1.10$

x	Nd	σ_{t0d}	ft_{0d}	Kmod	Comb.	SF
cm	kg	kg/cmq	kg/cmq			
22.0	274	1	125	1	(12+13)-V-4	88

Verifica a compressione parallela alla fibr. (§4.4.8.1.3 - NTC)Parametri di verifica: $k_{crit,c} = 1.00$ $Lo = 55.0\text{cm}$

Instabilità di colonna: Trascurabile

x	Nd	σ_{c0d}	fc_{0d}	Kmod	Comb.	SF
cm	kg	kg/cmq	kg/cmq			
22.0	-357	-2	166	1	(12+13)-V-1	89

Asta: 28 [0 , 0]Sez. R: $b = 12.0\text{cm}$ $h = 16.0\text{cm}$ $L = 55.0\text{cm}$

Crit.Prog: Legno_Tirante-Puntone

Verifica: Verificata

Verifica a compressione parallela alla fibr. (§4.4.8.1.3 - NTC)Parametri di verifica: $k_{crit,c} = 1.00$ $Lo = 55.0\text{cm}$

Instabilità di colonna: Trascurabile

x	Nd	σ_{c0d}	fc_{0d}	Kmod	Comb.	SF
cm	kg	kg/cmq	kg/cmq			
55.0	-354	-2	166	1	(12+13)-V-3	90

Asta: 28 [0 , 63]Sez. R: $b = 12.0\text{cm}$ $h = 16.0\text{cm}$ $L = 55.0\text{cm}$

Crit.Prog: Legno_Tirante-Puntone

Verifica: Verificata

Verifica a trazione parallela alla fibr. (§4.4.8.1.1 - NTC)Parametri di verifica: $kh = 1.10$

x	Nd	σ_{t0d}	ft_{0d}	Kmod	Comb.	SF
cm	kg	kg/cmq	kg/cmq			
55.0	769	4	125	1	(12+13)-V-2	31

Verifica a compressione parallela alla fibr. (§4.4.8.1.3 - NTC)

Parametri di verifica: $k_{crit,c} = 1.00$ $L_o = 55.0\text{cm}$

Instabilità di colonna: **Trascurabile**

x	Nd	σ_{c0d}	f_{c0d}	Kmod	Comb.	SF
cm	kg	kg/cmq	kg/cmq			
55.0	-404	-2	166	1	(12+13)-V-3	79

Asta: 30 [0 , 0]

Sez. R: $b = 12.0\text{cm}$ $h = 16.0\text{cm}$ $L = 55.0\text{cm}$

Crit.Prog: Legno_Tirante-Puntone Verifica: **Verificata**

Verifica a trazione parallela alla fibr. (§4.4.8.1.1 - NTC)

Parametri di verifica: $kh = 1.10$

x	Nd	σ_{t0d}	f_{t0d}	Kmod	Comb.	SF
cm	kg	kg/cmq	kg/cmq			
22.0	1225	6	125	1	(12+13)-V-4	20

Verifica a compressione parallela alla fibr. (§4.4.8.1.3 - NTC)

Parametri di verifica: $k_{crit,c} = 1.00$ $L_o = 55.0\text{cm}$

Instabilità di colonna: **Trascuribile**

x	Nd	σ_{c0d}	f_{c0d}	Kmod	Comb.	SF
cm	kg	kg/cmq	kg/cmq			
22.0	-1494	-8	166	1	(12+13)-V-1	21

Asta: 30 [0 , 0]

Sez. R: $b = 12.0\text{cm}$ $h = 16.0\text{cm}$ $L = 55.0\text{cm}$

Crit.Prog: Legno_Tirante-Puntone Verifica: **Verificata**

Verifica a trazione parallela alla fibr. (§4.4.8.1.1 - NTC)

Parametri di verifica: $kh = 1.10$

x	Nd	σ_{t0d}	f_{t0d}	Kmod	Comb.	SF
cm	kg	kg/cmq	kg/cmq			
22.0	1033	5	125	1	(12+13)-V-4	23

Verifica a compressione parallela alla fibr. (§4.4.8.1.3 - NTC)

Parametri di verifica: $k_{crit,c} = 1.00$ $L_o = 55.0\text{cm}$

Instabilità di colonna: **Trascuribile**

x	Nd	σ_{c0d}	f_{c0d}	Kmod	Comb.	SF
cm	kg	kg/cmq	kg/cmq			
22.0	-1219	-6	166	1	(12+13)-V-1	26

Asta: 30 [0 , 0]

Sez. R: $b = 12.0\text{cm}$ $h = 16.0\text{cm}$ $L = 55.0\text{cm}$

Crit.Prog: Legno_Tirante-Puntone Verifica: **Verificata**

Verifica a trazione parallela alla fibr. (§4.4.8.1.1 - NTC)

Parametri di verifica: $kh = 1.10$

x	Nd	σ_{t0d}	f_{t0d}	Kmod	Comb.	SF
cm	kg	kg/cmq	kg/cmq			
55.0	1785	9	125	1	(12+13)-I-4	13

Verifica a compressione parallela alla fibr. (§4.4.8.1.3 - NTC)

Parametri di verifica: $k_{crit,c} = 1.00$ $L_o = 55.0\text{cm}$

Instabilità di colonna: **Trascuribile**

x	Nd	σ_{c0d}	f_{c0d}	Kmod	Comb.	SF
cm	kg	kg/cmq	kg/cmq			
55.0	-1831	-10	166	1	(12+13)-I-1	17

Asta: 30 [0 , 0]

Sez. R: $b = 12.0\text{cm}$ $h = 16.0\text{cm}$ $L = 55.0\text{cm}$
Crit.Prog: Legno_Tirante-Puntone *Verifica: Verificata*

Verifica a trazione parallela alla fibr. (§4.4.8.1.1 - NTC)

Parametri di verifica: $kh = 1.10$

x	Nd	σ_{t0d}	$ft0d$	Kmod	Comb.	SF
cm	kg	kg/cmq	kg/cmq			
27.5	3265	17	125	1	(12+13)-I-4	7.4

Verifica a compressione parallela alla fibr. (§4.4.8.1.3 - NTC)

Parametri di verifica: $k_{crit,c} = 1.00$ $Lo = 55.0\text{cm}$

Instabilità di colonna: **Trascurabile**

x	Nd	σ_{c0d}	$fc0d$	Kmod	Comb.	SF
cm	kg	kg/cmq	kg/cmq			
27.5	-2498	-13	166	1	(12+13)-I-1	13

Asta: 30 [0 , 65]

Sez. R: $b = 12.0\text{cm}$ $h = 16.0\text{cm}$ $L = 55.0\text{cm}$
Crit.Prog: Legno_Tirante-Puntone *Verifica: Verificata*

Verifica a trazione parallela alla fibr. (§4.4.8.1.1 - NTC)

Parametri di verifica: $kh = 1.10$

x	Nd	σ_{t0d}	$ft0d$	Kmod	Comb.	SF
cm	kg	kg/cmq	kg/cmq			
22.0	3664	19	125	1	(12+13)-I-4	6.6

Verifica a compressione parallela alla fibr. (§4.4.8.1.3 - NTC)

Parametri di verifica: $k_{crit,c} = 1.00$ $Lo = 55.0\text{cm}$

Instabilità di colonna: **Trascurabile**

x	Nd	σ_{c0d}	$fc0d$	Kmod	Comb.	SF
cm	kg	kg/cmq	kg/cmq			
55.0	-5122	-27	166	1	(12+13)-I-1	6.2

Asta: 28 [0 , 0]

Sez. R: $b = 12.0\text{cm}$ $h = 16.0\text{cm}$ $L = 55.0\text{cm}$
Crit.Prog: Legno_Tirante-Puntone *Verifica: Verificata*

Verifica a trazione parallela alla fibr. (§4.4.8.1.1 - NTC)

Parametri di verifica: $kh = 1.10$

x	Nd	σ_{t0d}	$ft0d$	Kmod	Comb.	SF
cm	kg	kg/cmq	kg/cmq			
22.0	692	4	125	1	(12+13)-I-3	35

Verifica a compressione parallela alla fibr. (§4.4.8.1.3 - NTC)

Parametri di verifica: $k_{crit,c} = 1.00$ $Lo = 55.0\text{cm}$

Instabilità di colonna: **Trascurabile**

x	Nd	σ_{c0d}	$fc0d$	Kmod	Comb.	SF
cm	kg	kg/cmq	kg/cmq			
22.0	-867	-5	166	1	(12+13)-I-2	37

Asta: 28 [0 , 0]

Sez. R: $b = 12.0\text{cm}$ $h = 16.0\text{cm}$ $L = 55.0\text{cm}$
Crit.Prog: Legno_Tirante-Puntone *Verifica: Verificata*

Verifica a trazione parallela alla fibr. (§4.4.8.1.1 - NTC)Parametri di verifica: $kh = 1.10$

x	Nd	σ_{t0d}	ft_{0d}	Kmod	Comb.	SF
cm	kg	kg/cmq	kg/cmq			
22.0	513	3	125	1	(12+13)-I-4	47

Verifica a compressione parallela alla fibr. (§4.4.8.1.3 - NTC)Parametri di verifica: $k_{crit,c} = 1.00$ $Lo = 55.0\text{cm}$ Instabilità di colonna: **Trascurabile**

x	Nd	σ_{c0d}	fc_{0d}	Kmod	Comb.	SF
cm	kg	kg/cmq	kg/cmq			
22.0	-456	-2	166	1	(12+13)-I-1	70

Asta: 28 [0 , 0]Sez. R: $b = 12.0\text{cm}$ $h = 16.0\text{cm}$ $L = 55.0\text{cm}$ Crit.Prog: Legno_Tirante-Puntone Verifica: **Verificata**Verifica a trazione parallela alla fibr. (§4.4.8.1.1 - NTC)Parametri di verifica: $kh = 1.10$

x	Nd	σ_{t0d}	ft_{0d}	Kmod	Comb.	SF
cm	kg	kg/cmq	kg/cmq			
22.0	350	2	125	1	(12+13)-I-4	69

Verifica a compressione parallela alla fibr. (§4.4.8.1.3 - NTC)Parametri di verifica: $k_{crit,c} = 1.00$ $Lo = 55.0\text{cm}$ Instabilità di colonna: **Trascuribile**

x	Nd	σ_{c0d}	fc_{0d}	Kmod	Comb.	SF
cm	kg	kg/cmq	kg/cmq			
27.5	-297	-2	166	1	(12+13)-V-1	>100

Asta: 28 [0 , 0]Sez. R: $b = 12.0\text{cm}$ $h = 16.0\text{cm}$ $L = 55.0\text{cm}$ Crit.Prog: Legno_Tirante-Puntone Verifica: **Verificata**Verifica a trazione parallela alla fibr. (§4.4.8.1.1 - NTC)Parametri di verifica: $kh = 1.10$

x	Nd	σ_{t0d}	ft_{0d}	Kmod	Comb.	SF
cm	kg	kg/cmq	kg/cmq			
55.0	400	2	125	1	(12+13)-V-4	60

Verifica a compressione parallela alla fibr. (§4.4.8.1.3 - NTC)Parametri di verifica: $k_{crit,c} = 1.00$ $Lo = 55.0\text{cm}$ Instabilità di colonna: **Trascuribile**

x	Nd	σ_{c0d}	fc_{0d}	Kmod	Comb.	SF
cm	kg	kg/cmq	kg/cmq			
55.0	-379	-2	166	1	(12+13)-V-1	84

Asta: 28 [0 , 68]Sez. R: $b = 12.0\text{cm}$ $h = 16.0\text{cm}$ $L = 55.0\text{cm}$ Crit.Prog: Legno_Tirante-Puntone Verifica: **Verificata**Verifica a trazione parallela alla fibr. (§4.4.8.1.1 - NTC)Parametri di verifica: $kh = 1.10$

x	Nd	σ_{t0d}	ft_{0d}	Kmod	Comb.	SF
cm	kg	kg/cmq	kg/cmq			
55.0	400	2	125	1	(12+13)-V-4	60

x	Nd	σt0d	ft0d	Kmod	Comb.	SF
55.0	477	2	125	1	(12+13)-I-2	50
cm	kg	kg/cmq	kg/cmq			

Verifica a compressione parallela alla fibr. (§4.4.8.1.3 - NTC)

Parametri di verifica: $k_{crit,c} = 1.00$ $Lo = 55.0\text{cm}$

Instabilità di colonna: **Trascurabile**

x	Nd	σc0d	fc0d	Kmod	Comb.	SF
cm	kg	kg/cmq	kg/cmq			
55.0	-468	-2	166	1	(12+13)-I-3	68

Asta: 1 [0 , 0]

Sez. R: $b = 12.0\text{cm}$ $h = 16.0\text{cm}$ $L = 630.0\text{cm}$

Crit.Prog: Legno_Tirante-Puntone Verifica: **Verificata**

Verifica a trazione parallela alla fibr. (§4.4.8.1.1 - NTC)

Parametri di verifica: $kh = 1.10$

x	Nd	σt0d	ft0d	Kmod	Comb.	SF
cm	kg	kg/cmq	kg/cmq			
630.0	202	1	125	1	(12+13)-II-2	>100

Verifica a compressione parallela alla fibr. (§4.4.8.1.3 - NTC)

Parametri di verifica: $k_{crit,c} = 0.11$ $Lo = 630.0\text{cm}$

Instabilità di colonna: **Instabilità nel piano XY**

x	Nd	σc0d	fc0d	Kmod	Comb.	SF
cm	kg	kg/cmq	kg/cmq			
630.0	-824	-4	166	1	(12+13)-II-3	4.4

Asta: 2 [0 , 0]

Sez. R: $b = 12.0\text{cm}$ $h = 16.0\text{cm}$ $L = 630.0\text{cm}$

Crit.Prog: Legno_Tirante-Puntone Verifica: **Verificata**

Verifica a compressione parallela alla fibr. (§4.4.8.1.3 - NTC)

Parametri di verifica: $k_{crit,c} = 0.11$ $Lo = 630.0\text{cm}$

Instabilità di colonna: **Instabilità nel piano XY**

x	Nd	σt0d	ft0d	Kmod	Comb.	SF
cm	kg	kg/cmq	kg/cmq			
630.0	-620	-3	99	0.6	1	3.5

Asta: 3 [0 , 0]

Sez. R: $b = 12.0\text{cm}$ $h = 16.0\text{cm}$ $L = 630.0\text{cm}$

Crit.Prog: Legno_Tirante-Puntone Verifica: **Verificata**

Verifica a compressione parallela alla fibr. (§4.4.8.1.3 - NTC)

Parametri di verifica: $k_{crit,c} = 0.11$ $Lo = 630.0\text{cm}$

Instabilità di colonna: **Instabilità nel piano XY**

x	Nd	σc0d	fc0d	Kmod	Comb.	SF
cm	kg	kg/cmq	kg/cmq			
630.0	-478	-2	99	0.6	1	4.5

Asta: 4 [0 , 0]

Sez. R: $b = 12.0\text{cm}$ $h = 16.0\text{cm}$ $L = 630.0\text{cm}$

Crit.Prog: Legno_Tirante-Puntone Verifica: **Verificata**

Verifica a compressione parallela alla fibr. (§4.4.8.1.3 - NTC)

Parametri di verifica: $k_{crit,c} = 0.11$ $Lo = 630.0\text{cm}$

Instabilità di colonna: **Instabilità nel piano XY**

x	Nd	σ_{c0d}	f_{c0d}	Kmod	Comb.	SF
cm	kg	kg/cmq	kg/cmq			
630.0	-367	-2	99	0.6	1	5.9

Asta: 5 [0 , 0]

Sez. R: $b = 12.0\text{cm}$ $h = 16.0\text{cm}$ $L = 630.0\text{cm}$
 Crit.Prog: Legno_Tirante-Puntone Verifica: Verificata

Verifica a compressione parallela alla fibr. (§4.4.8.1.3 - NTC)

Parametri di verifica: $k_{crit,c} = 0.11$ $Lo = 630.0\text{cm}$

Instabilità di colonna: Instabilità nel piano XY

x	Nd	σ_{c0d}	f_{c0d}	Kmod	Comb.	SF
cm	kg	kg/cmq	kg/cmq			
630.0	-323	-2	99	0.6	1	6.7

Asta: 6 [0 , 0]

Sez. R: $b = 12.0\text{cm}$ $h = 16.0\text{cm}$ $L = 630.0\text{cm}$
 Crit.Prog: Legno_Tirante-Puntone Verifica: Verificata

Verifica a compressione parallela alla fibr. (§4.4.8.1.3 - NTC)

Parametri di verifica: $k_{crit,c} = 0.11$ $Lo = 630.0\text{cm}$

Instabilità di colonna: Instabilità nel piano XY

x	Nd	σ_{c0d}	f_{c0d}	Kmod	Comb.	SF
cm	kg	kg/cmq	kg/cmq			
630.0	-322	-2	99	0.6	1	6.7

Asta: 7 [0 , 0]

Sez. R: $b = 12.0\text{cm}$ $h = 16.0\text{cm}$ $L = 630.0\text{cm}$
 Crit.Prog: Legno_Tirante-Puntone Verifica: Verificata

Verifica a compressione parallela alla fibr. (§4.4.8.1.3 - NTC)

Parametri di verifica: $k_{crit,c} = 0.11$ $Lo = 630.0\text{cm}$

Instabilità di colonna: Instabilità nel piano XY

x	Nd	σ_{c0d}	f_{c0d}	Kmod	Comb.	SF
cm	kg	kg/cmq	kg/cmq			
630.0	-299	-2	99	0.6	1	7.2

Asta: 8 [64 , 68]

Sez. R: $b = 12.0\text{cm}$ $h = 16.0\text{cm}$ $L = 630.0\text{cm}$
 Crit.Prog: Legno_Tirante-Puntone Verifica: Verificata

Verifica a compressione parallela alla fibr. (§4.4.8.1.3 - NTC)

Parametri di verifica: $k_{crit,c} = 0.11$ $Lo = 630.0\text{cm}$

Instabilità di colonna: Instabilità nel piano XY

x	Nd	σ_{c0d}	f_{c0d}	Kmod	Comb.	SF
cm	kg	kg/cmq	kg/cmq			
630.0	-371	-2	99	0.6	1	5.8

Asta: 9 [0 , 0]

Sez. R: $b = 12.0\text{cm}$ $h = 16.0\text{cm}$ $L = 630.0\text{cm}$
 Crit.Prog: Legno_Tirante-Puntone Verifica: Verificata

Verifica a compressione parallela alla fibr. (§4.4.8.1.3 - NTC)

Parametri di verifica: $k_{crit,c} = 0.11$ $Lo = 630.0\text{cm}$

Instabilità di colonna: Instabilità nel piano XY

x	Nd	σ_{c0d}	f_{c0d}	Kmod	Comb.	SF
cm	kg	kg/cmq	kg/cmq			
630.0	-367	-2	99	0.6	1	5.9

x	Nd	σ_{c0d}	fc0d	Kmod	Comb.	SF
cm	kg	kg/cmq	kg/cmq			
630.0	-349	-2	99	0.6	1	6.2

Asta: 10 [0 , 0]

Sez. R: $b = 12.0\text{cm}$ $h = 16.0\text{cm}$

$L = 630.0\text{cm}$

Crit.Prog: Legno_Tirante-Puntone

Verifica: Verificata

Verifica a compressione parallela alla fibr. (§4.4.8.1.3 - NTC)

Parametri di verifica: $k_{crit,c} = 0.11$ $Lo = 630.0\text{cm}$

Instabilità di colonna: Instabilità nel piano XY

x	Nd	σ_{c0d}	fc0d	Kmod	Comb.	SF
cm	kg	kg/cmq	kg/cmq			
630.0	-406	-2	99	0.6	1	5.3

Asta: 11 [0 , 0]

Sez. R: $b = 12.0\text{cm}$ $h = 16.0\text{cm}$

$L = 630.0\text{cm}$

Crit.Prog: Legno_Tirante-Puntone

Verifica: Verificata

Verifica a compressione parallela alla fibr. (§4.4.8.1.3 - NTC)

Parametri di verifica: $k_{crit,c} = 0.11$ $Lo = 630.0\text{cm}$

Instabilità di colonna: Instabilità nel piano XY

x	Nd	σ_{c0d}	fc0d	Kmod	Comb.	SF
cm	kg	kg/cmq	kg/cmq			
630.0	-562	-3	99	0.6	1	3.8

Asta: 12 [0 , 0]

Sez. R: $b = 12.0\text{cm}$ $h = 16.0\text{cm}$

$L = 630.0\text{cm}$

Crit.Prog: Legno_Tirante-Puntone

Verifica: Verificata

Verifica a compressione parallela alla fibr. (§4.4.8.1.3 - NTC)

Parametri di verifica: $k_{crit,c} = 0.11$ $Lo = 630.0\text{cm}$

Instabilità di colonna: Instabilità nel piano XY

x	Nd	σ_{c0d}	fc0d	Kmod	Comb.	SF
cm	kg	kg/cmq	kg/cmq			
630.0	-880	-5	99	0.6	1	2.4

Asta: 13 [0 , 0]

Sez. R: $b = 12.0\text{cm}$ $h = 16.0\text{cm}$

$L = 630.0\text{cm}$

Crit.Prog: Legno_Tirante-Puntone

Verifica: Verificata

Verifica a compressione parallela alla fibr. (§4.4.8.1.3 - NTC)

Parametri di verifica: $k_{crit,c} = 0.11$ $Lo = 630.0\text{cm}$

Instabilità di colonna: Instabilità nel piano XY

x	Nd	σ_{c0d}	fc0d	Kmod	Comb.	SF
cm	kg	kg/cmq	kg/cmq			
630.0	-903	-5	99	0.6	1	2.4

Asta: 30 [0 , 0]

Sez. R: $b = 12.0\text{cm}$ $h = 16.0\text{cm}$

$L = 52.0\text{cm}$

Crit.Prog: Legno_Tirante-Puntone

Verifica: Verificata

Verifica a trazione parallela alla fibr. (§4.4.8.1.1 - NTC)

Parametri di verifica: $kh = 1.10$

x	Nd	σ_{t0d}	ft0d	Kmod	Comb.	SF
cm	kg	kg/cmq	kg/cmq			
20.8	3493	18	125	1	(12+13)-I-4	6.9

Verifica a compressione parallela alla fibr. (§4.4.8.1.3 - NTC)

Parametri di verifica: $k_{crit,c} = 1.00$ $L_o = 52.0\text{cm}$

Instabilità di colonna: **Trascurabile**

x	Nd	σ_{c0d}	f_{c0d}	Kmod	Comb.	SF
cm	kg	kg/cmq	kg/cmq			
20.8	-2601	-14	166	1	(12+13)-I-1	12

Asta: 30 [0 , 0]

Sez. R: $b = 12.0\text{cm}$ $h = 16.0\text{cm}$ $L = 52.0\text{cm}$

Crit.Prog: Legno_Tirante-Puntone Verifica: **Verificata**

Verifica a trazione parallela alla fibr. (§4.4.8.1.1 - NTC)

Parametri di verifica: $kh = 1.10$

x	Nd	σ_{t0d}	f_{t0d}	Kmod	Comb.	SF
cm	kg	kg/cmq	kg/cmq			
20.8	1750	9	125	1	(12+13)-I-4	14

Verifica a compressione parallela alla fibr. (§4.4.8.1.3 - NTC)

Parametri di verifica: $k_{crit,c} = 1.00$ $L_o = 52.0\text{cm}$

Instabilità di colonna: **Trascurabile**

x	Nd	σ_{c0d}	f_{c0d}	Kmod	Comb.	SF
cm	kg	kg/cmq	kg/cmq			
20.8	-1478	-8	166	1	(12+13)-I-1	22

Asta: 30 [0 , 0]

Sez. R: $b = 12.0\text{cm}$ $h = 16.0\text{cm}$ $L = 52.0\text{cm}$

Crit.Prog: Legno_Tirante-Puntone Verifica: **Verificata**

Verifica a trazione parallela alla fibr. (§4.4.8.1.1 - NTC)

Parametri di verifica: $kh = 1.10$

x	Nd	σ_{t0d}	f_{t0d}	Kmod	Comb.	SF
cm	kg	kg/cmq	kg/cmq			
52.0	968	5	125	1	(12+13)-I-2	25

Verifica a compressione parallela alla fibr. (§4.4.8.1.3 - NTC)

Parametri di verifica: $k_{crit,c} = 1.00$ $L_o = 52.0\text{cm}$

Instabilità di colonna: **Trascurabile**

x	Nd	σ_{c0d}	f_{c0d}	Kmod	Comb.	SF
cm	kg	kg/cmq	kg/cmq			
20.8	-447	-2	166	1	(12+13)-I-3	71

Asta: 30 [0 , 70]

Sez. R: $b = 12.0\text{cm}$ $h = 16.0\text{cm}$ $L = 52.0\text{cm}$

Crit.Prog: Legno_Tirante-Puntone Verifica: **Verificata**

Verifica a trazione parallela alla fibr. (§4.4.8.1.1 - NTC)

Parametri di verifica: $kh = 1.10$

x	Nd	σ_{t0d}	f_{t0d}	Kmod	Comb.	SF
cm	kg	kg/cmq	kg/cmq			
26.0	736	4	75	0.6	1	20

Asta: 28 [0 , 0]

Sez. R: $b = 12.0\text{cm}$ $h = 16.0\text{cm}$ $L = 52.0\text{cm}$

Crit.Prog: Legno_Tirante-Puntone Verifica: **Verificata**

Verifica a trazione parallela alla fibr. (§4.4.8.1.1 - NTC)Parametri di verifica: $kh = 1.10$

x	Nd	σ_{t0d}	ft_{0d}	Kmod	Comb.	SF
cm	kg	kg/cmq	kg/cmq			
52.0	227	1	125	1	(12+13)-I-2	>100

Verifica a compressione parallela alla fibr. (§4.4.8.1.3 - NTC)Parametri di verifica: $k_{crit,c} = 1.00$ $Lo = 52.0\text{cm}$ Instabilità di colonna: **Trascurabile**

x	Nd	σ_{c0d}	fc_{0d}	Kmod	Comb.	SF
cm	kg	kg/cmq	kg/cmq			
20.8	-240	-1	166	1	(12+13)-I-3	>100

Asta: 28 [0 , 0]Sez. R: $b = 12.0\text{cm}$ $h = 16.0\text{cm}$ $L = 52.0\text{cm}$ Crit.Prog: Legno_Tirante-Puntone Verifica: **Verificata**Verifica a trazione parallela alla fibr. (§4.4.8.1.1 - NTC)Parametri di verifica: $kh = 1.10$

x	Nd	σ_{t0d}	ft_{0d}	Kmod	Comb.	SF
cm	kg	kg/cmq	kg/cmq			
52.0	496	3	125	1	(12+13)-I-4	48

Verifica a compressione parallela alla fibr. (§4.4.8.1.3 - NTC)Parametri di verifica: $k_{crit,c} = 1.00$ $Lo = 52.0\text{cm}$ Instabilità di colonna: **Trascurabile**

x	Nd	σ_{c0d}	fc_{0d}	Kmod	Comb.	SF
cm	kg	kg/cmq	kg/cmq			
52.0	-424	-2	166	1	(12+13)-I-1	75

Asta: 28 [0 , 0]Sez. R: $b = 12.0\text{cm}$ $h = 16.0\text{cm}$ $L = 52.0\text{cm}$ Crit.Prog: Legno_Tirante-Puntone Verifica: **Verificata**Verifica a trazione parallela alla fibr. (§4.4.8.1.1 - NTC)Parametri di verifica: $kh = 1.10$

x	Nd	σ_{t0d}	ft_{0d}	Kmod	Comb.	SF
cm	kg	kg/cmq	kg/cmq			
52.0	806	4	125	1	(12+13)-I-4	30

Verifica a compressione parallela alla fibr. (§4.4.8.1.3 - NTC)Parametri di verifica: $k_{crit,c} = 1.00$ $Lo = 52.0\text{cm}$ Instabilità di colonna: **Trascurabile**

x	Nd	σ_{c0d}	fc_{0d}	Kmod	Comb.	SF
cm	kg	kg/cmq	kg/cmq			
52.0	-985	-5	166	1	(12+13)-I-1	32

Asta: 28 [0 , 67]Sez. R: $b = 12.0\text{cm}$ $h = 16.0\text{cm}$ $L = 52.0\text{cm}$ Crit.Prog: Legno_Tirante-Puntone Verifica: **Verificata**Verifica a trazione parallela alla fibr. (§4.4.8.1.1 - NTC)Parametri di verifica: $kh = 1.10$

x	Nd	σ_{t0d}	ft_{0d}	Kmod	Comb.	SF
cm	kg	kg/cmq	kg/cmq			
26.0	1900	10	125	1	(12+13)-I-4	13

Verifica a compressione parallela alla fibr. (§4.4.8.1.3 - NTC)

Parametri di verifica: $k_{crit,c} = 1.00$ $L_o = 52.0\text{cm}$

Instabilità di colonna: **Trascurabile**

x	Nd	σ_{c0d}	f_{c0d}	Kmod	Comb.	SF
cm	kg	kg/cmq	kg/cmq			
26.0	-1211	-6	166	1	(12+13)-I-1	26

Asta: 14 [0 , 0]

Sez. R: $b = 12.0\text{cm}$ $h = 16.0\text{cm}$ $L = 630.0\text{cm}$

Crit.Prog: Legno_Tirante-Puntone Verifica: **Verificata**

Verifica a compressione parallela alla fibr. (§4.4.8.1.3 - NTC)

Parametri di verifica: $k_{crit,c} = 0.11$ $L_o = 630.0\text{cm}$

Instabilità di colonna: **Instabilità nel piano XY**

x	Nd	σ_{c0d}	f_{c0d}	Kmod	Comb.	SF
cm	kg	kg/cmq	kg/cmq			
630.0	-911	-5	99	0.6	1	2.4

Asta: 15 [0 , 0]

Sez. R: $b = 12.0\text{cm}$ $h = 16.0\text{cm}$ $L = 630.0\text{cm}$

Crit.Prog: Legno_Tirante-Puntone Verifica: **Verificata**

Verifica a compressione parallela alla fibr. (§4.4.8.1.3 - NTC)

Parametri di verifica: $k_{crit,c} = 0.11$ $L_o = 630.0\text{cm}$

Instabilità di colonna: **Instabilità nel piano XY**

x	Nd	σ_{c0d}	f_{c0d}	Kmod	Comb.	SF
cm	kg	kg/cmq	kg/cmq			
630.0	-1026	-5	99	0.6	1	2.1

Asta: 16 [0 , 0]

Sez. R: $b = 12.0\text{cm}$ $h = 16.0\text{cm}$ $L = 630.0\text{cm}$

Crit.Prog: Legno_Tirante-Puntone Verifica: **Verificata**

Verifica a compressione parallela alla fibr. (§4.4.8.1.3 - NTC)

Parametri di verifica: $k_{crit,c} = 0.11$ $L_o = 630.0\text{cm}$

Instabilità di colonna: **Instabilità nel piano XY**

x	Nd	σ_{c0d}	f_{c0d}	Kmod	Comb.	SF
cm	kg	kg/cmq	kg/cmq			
630.0	-813	-4	99	0.6	1	2.7

Asta: 17 [0 , 0]

Sez. R: $b = 12.0\text{cm}$ $h = 16.0\text{cm}$ $L = 630.0\text{cm}$

Crit.Prog: Legno_Tirante-Puntone Verifica: **Verificata**

Verifica a compressione parallela alla fibr. (§4.4.8.1.3 - NTC)

Parametri di verifica: $k_{crit,c} = 0.11$ $L_o = 630.0\text{cm}$

Instabilità di colonna: **Instabilità nel piano XY**

x	Nd	σ_{c0d}	f_{c0d}	Kmod	Comb.	SF
cm	kg	kg/cmq	kg/cmq			
630.0	-503	-3	99	0.6	1	4.3

Asta: 27 [70 , 66]

Sez. R: $b = 12.0\text{cm}$ $h = 16.0\text{cm}$ $L = 630.0\text{cm}$

Crit.Prog: Legno_Tirante-Puntone Verifica: **Verificata**

Verifica a trazione parallela alla fibr. (§4.4.8.1.1 - NTC)Parametri di verifica: $kh = 1.10$

x	Nd	σ_{t0d}	ft_{0d}	Kmod	Comb.	SF
cm	kg	kg/cmq	kg/cmq			
630.0	435	2	75	0.6	1	33

Asta: 28 [66 , 0]Sez. R: $b = 12.0\text{cm}$ $h = 16.0\text{cm}$ $L = 52.0\text{cm}$ Crit.Prog: Legno_Tirante-Puntone Verifica: **Verificata**Verifica a trazione parallela alla fibr. (§4.4.8.1.1 - NTC)Parametri di verifica: $kh = 1.10$

x	Nd	σ_{t0d}	ft_{0d}	Kmod	Comb.	SF
cm	kg	kg/cmq	kg/cmq			
52.0	48	0	125	1	(12+13)-I-2	>100

Verifica a compressione parallela alla fibr. (§4.4.8.1.3 - NTC)Parametri di verifica: $k_{crit,c} = 1.00$ $Lo = 52.0\text{cm}$ Instabilità di colonna: **Trascurabile**

x	Nd	σ_{c0d}	fc_{0d}	Kmod	Comb.	SF
cm	kg	kg/cmq	kg/cmq			
20.8	-156	-1	99	0.6	1	>100

Asta: 28 [67 , 0]Sez. R: $b = 12.0\text{cm}$ $h = 16.0\text{cm}$ $L = 55.0\text{cm}$ Crit.Prog: Legno_Tirante-Puntone Verifica: **Verificata**Verifica a trazione parallela alla fibr. (§4.4.8.1.1 - NTC)Parametri di verifica: $kh = 1.10$

x	Nd	σ_{t0d}	ft_{0d}	Kmod	Comb.	SF
cm	kg	kg/cmq	kg/cmq			
22.0	1554	8	125	1	(12+13)-I-3	15

Verifica a compressione parallela alla fibr. (§4.4.8.1.3 - NTC)Parametri di verifica: $k_{crit,c} = 1.00$ $Lo = 55.0\text{cm}$ Instabilità di colonna: **Trascurabile**

x	Nd	σ_{c0d}	fc_{0d}	Kmod	Comb.	SF
cm	kg	kg/cmq	kg/cmq			
55.0	-987	-5	166	1	(12+13)-I-2	32

Asta: 28 [68 , 0]Sez. R: $b = 12.0\text{cm}$ $h = 16.0\text{cm}$ $L = 55.0\text{cm}$ Crit.Prog: Legno_Tirante-Puntone Verifica: **Verificata**Verifica a trazione parallela alla fibr. (§4.4.8.1.1 - NTC)Parametri di verifica: $kh = 1.10$

x	Nd	σ_{t0d}	ft_{0d}	Kmod	Comb.	SF
cm	kg	kg/cmq	kg/cmq			
55.0	553	3	125	1	(12+13)-I-2	43

Verifica a compressione parallela alla fibr. (§4.4.8.1.3 - NTC)Parametri di verifica: $k_{crit,c} = 1.00$ $Lo = 55.0\text{cm}$ Instabilità di colonna: **Trascurabile**

x	Nd	σ_{c0d}	fc_{0d}	Kmod	Comb.	SF
cm	kg	kg/cmq	kg/cmq			
55.0	-537	-3	166	1	(12+13)-I-3	59

Asta: 29 [63 , 69]

Sez. R: $b = 12.0\text{cm}$ $h = 16.0\text{cm}$ $L = 630.0\text{cm}$
Crit.Prog: Legno_Tirante-Puntone *Verifica: Verificata*

Verifica a trazione parallela alla fibr. (§4.4.8.1.1 - NTC)

Parametri di verifica: $kh = 1.10$

x	Nd	σ_{t0d}	$ft0d$	Kmod	Comb.	SF
cm	kg	kg/cmq	kg/cmq			
378.0	542	3	125	1	(12+13)-II-3	44

Verifica a compressione parallela alla fibr. (§4.4.8.1.3 - NTC)

Parametri di verifica: $k_{crit,c} = 0.11$ $Lo = 630.0\text{cm}$

Instabilità di colonna: **Instabilità nel piano XY**

x	Nd	σ_{c0d}	$fc0d$	Kmod	Comb.	SF
cm	kg	kg/cmq	kg/cmq			
252.0	-443	-2	166	1	(12+13)-II-2	8.1

Asta: 30 [69 , 0]

Sez. R: $b = 12.0\text{cm}$ $h = 16.0\text{cm}$ $L = 55.0\text{cm}$
Crit.Prog: Legno_Tirante-Puntone *Verifica: Verificata*

Verifica a trazione parallela alla fibr. (§4.4.8.1.1 - NTC)

Parametri di verifica: $kh = 1.10$

x	Nd	σ_{t0d}	$ft0d$	Kmod	Comb.	SF
cm	kg	kg/cmq	kg/cmq			
55.0	860	4	125	1	(12+13)-V-1	28

Verifica a compressione parallela alla fibr. (§4.4.8.1.3 - NTC)

Parametri di verifica: $k_{crit,c} = 1.00$ $Lo = 55.0\text{cm}$

Instabilità di colonna: **Trascurabile**

x	Nd	σ_{c0d}	$fc0d$	Kmod	Comb.	SF
cm	kg	kg/cmq	kg/cmq			
22.0	-2954	-15	166	1	(12+13)-I-2	11

Asta: 30 [64 , 0]

Sez. R: $b = 12.0\text{cm}$ $h = 16.0\text{cm}$ $L = 55.0\text{cm}$
Crit.Prog: Legno_Tirante-Puntone *Verifica: Verificata*

Verifica a trazione parallela alla fibr. (§4.4.8.1.1 - NTC)

Parametri di verifica: $kh = 1.10$

x	Nd	σ_{t0d}	$ft0d$	Kmod	Comb.	SF
cm	kg	kg/cmq	kg/cmq			
22.0	1567	8	125	1	(12+13)-I-2	15

Verifica a compressione parallela alla fibr. (§4.4.8.1.3 - NTC)

Parametri di verifica: $k_{crit,c} = 1.00$ $Lo = 55.0\text{cm}$

Instabilità di colonna: **Trascurabile**

x	Nd	σ_{c0d}	$fc0d$	Kmod	Comb.	SF
cm	kg	kg/cmq	kg/cmq			
22.0	-1784	-9	166	1	(12+13)-I-3	18

Asta: 30 [65 , 0]

Sez. R: $b = 12.0\text{cm}$ $h = 16.0\text{cm}$ $L = 52.0\text{cm}$
Crit.Prog: Legno_Tirante-Puntone *Verifica: Verificata*

Verifica a trazione parallela alla fibr. (§4.4.8.1.1 - NTC)Parametri di verifica: $kh = 1.10$

x cm	Nd kg	σ_{t0d} kg/cmq	ft_{0d} kg/cmq	Kmod	Comb.	SF
20.8	4467	23	125	1	(12+13)-I-4	5.4

Verifica a compressione parallela alla fibr. (§4.4.8.1.3 - NTC)Parametri di verifica: $k_{crit,c} = 1.00$ $Lo = 52.0\text{cm}$ Instabilità di colonna: **Trascurabile**

x cm	Nd kg	σ_{c0d} kg/cmq	fc_{0d} kg/cmq	Kmod	Comb.	SF
20.8	-5821	-30	166	1	(12+13)-I-1	5.5

Asta: 3 [46 , 146]Sez. R: $b = 14.0\text{cm}$ $h = 14.0\text{cm}$ $L = 200.1\text{cm}$
Crit.Prog: Legno_Tirante-Puntone Verifica: **Verificata**Verifica a trazione parallela alla fibr. (§4.4.8.1.1 - NTC)Parametri di verifica: $kh = 1.10$

x cm	Nd kg	σ_{t0d} kg/cmq	ft_{0d} kg/cmq	Kmod	Comb.	SF
0.0	235	1	125	1	(12+13)-I-4	>100

Verifica a compressione parallela alla fibr. (§4.4.8.1.3 - NTC)Parametri di verifica: $k_{crit,c} = 0.90$ $Lo = 200.1\text{cm}$ Instabilità di colonna: **Non trascurabile**

x cm	Nd kg	σ_{c0d} kg/cmq	fc_{0d} kg/cmq	Kmod	Comb.	SF
200.1	-220	-1	166	1	(12+13)-I-1	>100

Asta: 4 [146 , 0]Sez. R: $b = 14.0\text{cm}$ $h = 14.0\text{cm}$ $L = 59.7\text{cm}$
Crit.Prog: Legno_Tirante-Puntone Verifica: **Verificata**Verifica a trazione parallela alla fibr. (§4.4.8.1.1 - NTC)Parametri di verifica: $kh = 1.10$

x cm	Nd kg	σ_{t0d} kg/cmq	ft_{0d} kg/cmq	Kmod	Comb.	SF
59.7	105	1	125	1	(12+13)-I-4	>100

Verifica a compressione parallela alla fibr. (§4.4.8.1.3 - NTC)Parametri di verifica: $k_{crit,c} = 1.00$ $Lo = 59.7\text{cm}$ Instabilità di colonna: **Trascuribile**

x cm	Nd kg	σ_{c0d} kg/cmq	fc_{0d} kg/cmq	Kmod	Comb.	SF
0.0	-102	-1	166	1	(12+13)-I-1	>100

Asta: 5 [246 , 48]Sez. R: $b = 14.0\text{cm}$ $h = 14.0\text{cm}$ $L = 150.0\text{cm}$
Crit.Prog: Legno_Tirante-Puntone Verifica: **Verificata**Verifica a trazione parallela alla fibr. (§4.4.8.1.1 - NTC)Parametri di verifica: $kh = 1.10$

x cm	Nd kg	σ_{t0d} kg/cmq	ft_{0d} kg/cmq	Kmod	Comb.	SF
0.0	102	1	125	1	(12+13)-I-4	>100

x	Nd	σt0d	ft0d	Kmod	Comb.	SF
150.0	224	1	125	1	(12+13)-I-4	>100
cm	kg	kg/cmq	kg/cmq			

Verifica a compressione parallela alla fibr. (§4.4.8.1.3 - NTC)

Parametri di verifica: $k_{crit,c} = 0.96$ $Lo = 150.0\text{cm}$

Instabilità di colonna: **Non trascurabile**

x	Nd	σc0d	fc0d	Kmod	Comb.	SF
cm	kg	kg/cmq	kg/cmq			
150.0	-229	-1	166	1	(12+13)-I-1	>100

Asta: 4 | 0 , 0]

Sez. R: $b = 14.0\text{cm}$ $h = 14.0\text{cm}$ $L = 59.7\text{cm}$

Crit.Prog: Legno_Tirante-Puntone Verifica: **Verificata**

Verifica a trazione parallela alla fibr. (§4.4.8.1.1 - NTC)

Parametri di verifica: $kh = 1.10$

x	Nd	σt0d	ft0d	Kmod	Comb.	SF
cm	kg	kg/cmq	kg/cmq			
59.7	178	1	125	1	(12+13)-I-4	>100

Verifica a compressione parallela alla fibr. (§4.4.8.1.3 - NTC)

Parametri di verifica: $k_{crit,c} = 1.00$ $Lo = 59.7\text{cm}$

Instabilità di colonna: **Trascuribile**

x	Nd	σc0d	fc0d	Kmod	Comb.	SF
cm	kg	kg/cmq	kg/cmq			
0.0	-176	-1	166	1	(12+13)-I-1	>100

Asta: 4 | 0 , 0]

Sez. R: $b = 14.0\text{cm}$ $h = 14.0\text{cm}$ $L = 59.7\text{cm}$

Crit.Prog: Legno_Tirante-Puntone Verifica: **Verificata**

Verifica a trazione parallela alla fibr. (§4.4.8.1.1 - NTC)

Parametri di verifica: $kh = 1.10$

x	Nd	σt0d	ft0d	Kmod	Comb.	SF
cm	kg	kg/cmq	kg/cmq			
59.7	228	1	125	1	(12+13)-I-4	>100

Verifica a compressione parallela alla fibr. (§4.4.8.1.3 - NTC)

Parametri di verifica: $k_{crit,c} = 1.00$ $Lo = 59.7\text{cm}$

Instabilità di colonna: **Trascuribile**

x	Nd	σc0d	fc0d	Kmod	Comb.	SF
cm	kg	kg/cmq	kg/cmq			
0.0	-233	-1	166	1	(12+13)-I-1	>100

Asta: 4 | 0 , 0]

Sez. R: $b = 14.0\text{cm}$ $h = 14.0\text{cm}$ $L = 59.7\text{cm}$

Crit.Prog: Legno_Tirante-Puntone Verifica: **Verificata**

Verifica a trazione parallela alla fibr. (§4.4.8.1.1 - NTC)

Parametri di verifica: $kh = 1.10$

x	Nd	σt0d	ft0d	Kmod	Comb.	SF
cm	kg	kg/cmq	kg/cmq			
59.7	275	1	125	1	(12+13)-I-4	89

Verifica a compressione parallela alla fibr. (§4.4.8.1.3 - NTC)

Parametri di verifica: $k_{crit,c} = 1.00$ $L_o = 59.7\text{cm}$

Instabilità di colonna: **Trascurabile**

x	Nd	σ_{c0d}	f_{c0d}	Kmod	Comb.	SF
cm	kg	kg/cmq	kg/cmq			
0.0	-290	-1	166	1	(12+13)-I-1	>100

Asta: 4 [0 , 0]

Sez. R: $b = 14.0\text{cm}$ $h = 14.0\text{cm}$ $L = 59.7\text{cm}$

Crit.Prog: Legno_Tirante-Puntone Verifica: **Verificata**

Verifica a trazione parallela alla fibr. (§4.4.8.1.1 - NTC)

Parametri di verifica: $kh = 1.10$

x	Nd	σ_{t0d}	f_{t0d}	Kmod	Comb.	SF
cm	kg	kg/cmq	kg/cmq			
59.7	281	1	125	1	(12+13)-I-4	87

Verifica a compressione parallela alla fibr. (§4.4.8.1.3 - NTC)

Parametri di verifica: $k_{crit,c} = 1.00$ $L_o = 59.7\text{cm}$

Instabilità di colonna: **Trascuribile**

x	Nd	σ_{c0d}	f_{c0d}	Kmod	Comb.	SF
cm	kg	kg/cmq	kg/cmq			
0.0	-301	-2	166	1	(12+13)-I-1	>100

Asta: 4 [0 , 0]

Sez. R: $b = 14.0\text{cm}$ $h = 14.0\text{cm}$ $L = 59.7\text{cm}$

Crit.Prog: Legno_Tirante-Puntone Verifica: **Verificata**

Verifica a trazione parallela alla fibr. (§4.4.8.1.1 - NTC)

Parametri di verifica: $kh = 1.10$

x	Nd	σ_{t0d}	f_{t0d}	Kmod	Comb.	SF
cm	kg	kg/cmq	kg/cmq			
59.7	262	1	125	1	(12+13)-I-4	94

Verifica a compressione parallela alla fibr. (§4.4.8.1.3 - NTC)

Parametri di verifica: $k_{crit,c} = 1.00$ $L_o = 59.7\text{cm}$

Instabilità di colonna: **Trascuribile**

x	Nd	σ_{c0d}	f_{c0d}	Kmod	Comb.	SF
cm	kg	kg/cmq	kg/cmq			
0.0	-281	-1	166	1	(12+13)-I-1	>100

Asta: 4 [0 , 0]

Sez. R: $b = 14.0\text{cm}$ $h = 14.0\text{cm}$ $L = 59.7\text{cm}$

Crit.Prog: Legno_Tirante-Puntone Verifica: **Verificata**

Verifica a trazione parallela alla fibr. (§4.4.8.1.1 - NTC)

Parametri di verifica: $kh = 1.10$

x	Nd	σ_{t0d}	f_{t0d}	Kmod	Comb.	SF
cm	kg	kg/cmq	kg/cmq			
59.7	247	1	125	1	(12+13)-I-4	99

Verifica a compressione parallela alla fibr. (§4.4.8.1.3 - NTC)

Parametri di verifica: $k_{crit,c} = 1.00$ $L_o = 59.7\text{cm}$

Instabilità di colonna: **Trascuribile**

x	Nd	σ_{c0d}	f_{c0d}	Kmod	Comb.	SF
cm	kg	kg/cmq	kg/cmq			
0.0	-257	-1	166	1	(12+13)-I-1	>100

Asta: 4 [0 , 0]

Sez. R: $b = 14.0\text{cm}$ $h = 14.0\text{cm}$ $L = 59.7\text{cm}$
 Crit.Prog: Legno_Tirante-Puntone Verifica: **Verificata**

Verifica a trazione parallela alla fibr. (§4.4.8.1.1 - NTC)Parametri di verifica: $kh = 1.10$

x	Nd	σ_{t0d}	$ft0d$	Kmod	Comb.	SF
cm	kg	kg/cmq	kg/cmq			
59.7	220	1	125	1	(12+13)-I-4	>100

Verifica a compressione parallela alla fibr. (§4.4.8.1.3 - NTC)Parametri di verifica: $k_{crit,c} = 1.00$ $Lo = 59.7\text{cm}$ Instabilità di colonna: **Trascurabile**

x	Nd	σ_{c0d}	$fc0d$	Kmod	Comb.	SF
cm	kg	kg/cmq	kg/cmq			
0.0	-222	-1	166	1	(12+13)-I-1	>100

Asta: 4 [0 , 0]

Sez. R: $b = 14.0\text{cm}$ $h = 14.0\text{cm}$ $L = 59.7\text{cm}$
 Crit.Prog: Legno_Tirante-Puntone Verifica: **Verificata**

Verifica a trazione parallela alla fibr. (§4.4.8.1.1 - NTC)Parametri di verifica: $kh = 1.10$

x	Nd	σ_{t0d}	$ft0d$	Kmod	Comb.	SF
cm	kg	kg/cmq	kg/cmq			
59.7	182	1	125	1	(12+13)-I-4	>100

Verifica a compressione parallela alla fibr. (§4.4.8.1.3 - NTC)Parametri di verifica: $k_{crit,c} = 1.00$ $Lo = 59.7\text{cm}$ Instabilità di colonna: **Trascurabile**

x	Nd	σ_{c0d}	$fc0d$	Kmod	Comb.	SF
cm	kg	kg/cmq	kg/cmq			
0.0	-182	-1	166	1	(12+13)-I-1	>100

Asta: 4 [0 , 246]

Sez. R: $b = 14.0\text{cm}$ $h = 14.0\text{cm}$ $L = 59.7\text{cm}$
 Crit.Prog: Legno_Tirante-Puntone Verifica: **Verificata**

Verifica a trazione parallela alla fibr. (§4.4.8.1.1 - NTC)Parametri di verifica: $kh = 1.10$

x	Nd	σ_{t0d}	$ft0d$	Kmod	Comb.	SF
cm	kg	kg/cmq	kg/cmq			
59.7	146	1	125	1	(12+13)-I-4	>100

Verifica a compressione parallela alla fibr. (§4.4.8.1.3 - NTC)Parametri di verifica: $k_{crit,c} = 1.00$ $Lo = 59.7\text{cm}$ Instabilità di colonna: **Trascurabile**

x	Nd	σ_{c0d}	$fc0d$	Kmod	Comb.	SF
cm	kg	kg/cmq	kg/cmq			
0.0	-156	-1	166	1	(12+13)-I-1	>100

Asta: 19 [0 , 0]

Sez. R: $b = 12.0\text{cm}$ $h = 16.0\text{cm}$ $L = 65.0\text{cm}$
 Crit.Prog: Legno_Tirante-Puntone Verifica: **Verificata**

Verifica a trazione parallela alla fibr. (§4.4.8.1.1 - NTC)Parametri di verifica: $kh = 1.10$

x cm	Nd kg	σ_{t0d} kg/cmq	$ft0d$ kg/cmq	Kmod	Comb.	SF
65.0	207	1	125	1	(12+13)-I-4	>100

Verifica a compressione parallela alla fibr. (§4.4.8.1.3 - NTC)Parametri di verifica: $k_{crit,c} = 1.00$ $Lo = 65.0\text{cm}$ Instabilità di colonna: **Instabilità nel piano XY**

x cm	Nd kg	σ_{c0d} kg/cmq	$fc0d$ kg/cmq	Kmod	Comb.	SF
65.0	-84	-0	166	1	(12+13)-I-1	>100

Asta: 19 [0 , 0]Sez. R: $b = 12.0\text{cm}$ $h = 16.0\text{cm}$ $L = 65.0\text{cm}$ Crit.Prog: Legno_Tirante-Puntone Verifica: **Verificata**Verifica a trazione parallela alla fibr. (§4.4.8.1.1 - NTC)Parametri di verifica: $kh = 1.10$

x cm	Nd kg	σ_{t0d} kg/cmq	$ft0d$ kg/cmq	Kmod	Comb.	SF
65.0	295	2	125	1	(12+13)-I-4	82

Verifica a compressione parallela alla fibr. (§4.4.8.1.3 - NTC)Parametri di verifica: $k_{crit,c} = 1.00$ $Lo = 65.0\text{cm}$ Instabilità di colonna: **Instabilità nel piano XY**

x cm	Nd kg	σ_{c0d} kg/cmq	$fc0d$ kg/cmq	Kmod	Comb.	SF
65.0	-242	-1	166	1	(12+13)-I-1	>100

Asta: 19 [0 , 47]Sez. R: $b = 12.0\text{cm}$ $h = 16.0\text{cm}$ $L = 65.0\text{cm}$ Crit.Prog: Legno_Tirante-Puntone Verifica: **Verificata**Verifica a trazione parallela alla fibr. (§4.4.8.1.1 - NTC)Parametri di verifica: $kh = 1.10$

x cm	Nd kg	σ_{t0d} kg/cmq	$ft0d$ kg/cmq	Kmod	Comb.	SF
65.0	425	2	125	1	(12+13)-I-4	57

Verifica a compressione parallela alla fibr. (§4.4.8.1.3 - NTC)Parametri di verifica: $k_{crit,c} = 1.00$ $Lo = 65.0\text{cm}$ Instabilità di colonna: **Instabilità nel piano XY**

x cm	Nd kg	σ_{c0d} kg/cmq	$fc0d$ kg/cmq	Kmod	Comb.	SF
65.0	-418	-2	166	1	(12+13)-I-1	76

Asta: 19 [0 , 0]Sez. R: $b = 12.0\text{cm}$ $h = 16.0\text{cm}$ $L = 55.0\text{cm}$ Crit.Prog: Legno_Tirante-Puntone Verifica: **Verificata**Verifica a trazione parallela alla fibr. (§4.4.8.1.1 - NTC)Parametri di verifica: $kh = 1.10$

x cm	Nd kg	σ_{t0d} kg/cmq	$ft0d$ kg/cmq	Kmod	Comb.	SF
65.0	207	1	125	1	(12+13)-I-4	>100

x	Nd	σt0d	ft0d	Kmod	Comb.	SF
22.0	220	1	125	1	(12+13)-I-3	>100
cm	kg	kg/cmq	kg/cmq			

Verifica a compressione parallela alla fibr. (§4.4.8.1.3 - NTC)

Parametri di verifica: $k_{crit,c} = 1.00$ $L_o = 55.0\text{cm}$

Instabilità di colonna: **Trascurabile**

x	Nd	σc0d	fc0d	Kmod	Comb.	SF
22.0	-183	-1	166	1	(12+13)-I-2	>100
cm	kg	kg/cmq	kg/cmq			

Asta: 19 [0 , 0]

Sez. R: $b = 12.0\text{cm}$ $h = 16.0\text{cm}$ $L = 55.0\text{cm}$

Crit.Prog: Legno_Tirante-Puntone Verifica: **Verificata**

Verifica a trazione parallela alla fibr. (§4.4.8.1.1 - NTC)

Parametri di verifica: $kh = 1.10$

x	Nd	σt0d	ft0d	Kmod	Comb.	SF
22.0	203	1	125	1	(12+13)-I-3	>100
cm	kg	kg/cmq	kg/cmq			

Verifica a compressione parallela alla fibr. (§4.4.8.1.3 - NTC)

Parametri di verifica: $k_{crit,c} = 1.00$ $L_o = 55.0\text{cm}$

Instabilità di colonna: **Trascuribile**

x	Nd	σc0d	fc0d	Kmod	Comb.	SF
22.0	-102	-1	166	1	(12+13)-I-2	>100
cm	kg	kg/cmq	kg/cmq			

Asta: 19 [0 , 0]

Sez. R: $b = 12.0\text{cm}$ $h = 16.0\text{cm}$ $L = 55.0\text{cm}$

Crit.Prog: Legno_Tirante-Puntone Verifica: **Verificata**

Verifica a trazione parallela alla fibr. (§4.4.8.1.1 - NTC)

Parametri di verifica: $kh = 1.10$

x	Nd	σt0d	ft0d	Kmod	Comb.	SF
27.5	122	1	75	0.6	1	>100
cm	kg	kg/cmq	kg/cmq			

Verifica a compressione parallela alla fibr. (§4.4.8.1.3 - NTC)

Parametri di verifica: $k_{crit,c} = 1.00$ $L_o = 55.0\text{cm}$

Instabilità di colonna: **Trascuribile**

x	Nd	σc0d	fc0d	Kmod	Comb.	SF
22.0	-31	-0	166	1	(12+13)-I-1	>100
cm	kg	kg/cmq	kg/cmq			

Asta: 19 [0 , 0]

Sez. R: $b = 12.0\text{cm}$ $h = 16.0\text{cm}$ $L = 55.0\text{cm}$

Crit.Prog: Legno_Tirante-Puntone Verifica: **Verificata**

Verifica a trazione parallela alla fibr. (§4.4.8.1.1 - NTC)

Parametri di verifica: $kh = 1.10$

x	Nd	σt0d	ft0d	Kmod	Comb.	SF
22.0	114	1	75	0.6	1	>100
cm	kg	kg/cmq	kg/cmq			

Verifica a compressione parallela alla fibr. (§4.4.8.1.3 - NTC)

Parametri di verifica: $k_{crit,c} = 1.00$ $L_o = 55.0\text{cm}$

Instabilità di colonna: **Trascurabile**

x	Nd	σ_{c0d}	f_{c0d}	Kmod	Comb.	SF
cm	kg	kg/cmq	kg/cmq			
55.0	-26	-0	166	1	(12+13)-II-1	>100

Asta: 19 [0 , 48]

Sez. R: $b = 12.0\text{cm}$ $h = 16.0\text{cm}$ $L = 55.0\text{cm}$

Crit.Prog: Legno_Tirante-Puntone Verifica: **Verificata**

Verifica a trazione parallela alla fibr. (§4.4.8.1.1 - NTC)

Parametri di verifica: $kh = 1.10$

x	Nd	σ_{t0d}	f_{t0d}	Kmod	Comb.	SF
cm	kg	kg/cmq	kg/cmq			
22.0	164	1	125	1	(12+13)-II-4	>100

Verifica a compressione parallela alla fibr. (§4.4.8.1.3 - NTC)

Parametri di verifica: $k_{crit,c} = 1.00$ $L_o = 55.0\text{cm}$

Instabilità di colonna: **Trascuribile**

x	Nd	σ_{c0d}	f_{c0d}	Kmod	Comb.	SF
cm	kg	kg/cmq	kg/cmq			
55.0	-326	-2	166	1	(12+13)-VI-3	97

Asta: 6 [0 , 0]

Sez. R: $b = 10.0\text{cm}$ $h = 12.0\text{cm}$ $L = 195.2\text{cm}$

Crit.Prog: Legno_Tirante-Puntone Verifica: **Verificata**

Verifica a trazione parallela alla fibr. (§4.4.8.1.1 - NTC)

Parametri di verifica: $kh = 1.10$

x	Nd	σ_{t0d}	f_{t0d}	Kmod	Comb.	SF
cm	kg	kg/cmq	kg/cmq			
0.0	143	1	125	1	(12+13)-I-1	>100

Verifica a compressione parallela alla fibr. (§4.4.8.1.3 - NTC)

Parametri di verifica: $k_{crit,c} = 0.69$ $L_o = 195.2\text{cm}$

Instabilità di colonna: **Instabilità nel piano XY**

x	Nd	σ_{c0d}	f_{c0d}	Kmod	Comb.	SF
cm	kg	kg/cmq	kg/cmq			
195.2	-171	-1	166	1	(12+13)-I-4	81

Asta: 7 [0 , 0]

Sez. R: $b = 10.0\text{cm}$ $h = 12.0\text{cm}$ $L = 190.4\text{cm}$

Crit.Prog: Legno_Tirante-Puntone Verifica: **Verificata**

Verifica a trazione parallela alla fibr. (§4.4.8.1.1 - NTC)

Parametri di verifica: $kh = 1.10$

x	Nd	σ_{t0d}	f_{t0d}	Kmod	Comb.	SF
cm	kg	kg/cmq	kg/cmq			
0.0	21	0	125	1	(12+13)-I-1	>100

Verifica a compressione parallela alla fibr. (§4.4.8.1.3 - NTC)

Parametri di verifica: $k_{crit,c} = 0.72$ $L_o = 190.4\text{cm}$

Instabilità di colonna: **Instabilità nel piano XY**

x	Nd	σ_{c0d}	f_{c0d}	Kmod	Comb.	SF
cm	kg	kg/cmq	kg/cmq			
190.4	-30	-0	166	1	(12+13)-I-4	>100

Asta: 8 [0 , 0]

Sez. R: $b = 10.0\text{cm}$ $h = 12.0\text{cm}$ $L = 185.8\text{cm}$
 Crit.Prog: Legno_Tirante-Puntone Verifica: **Verificata**

Verifica a trazione parallela alla fibr. (§4.4.8.1.1 - NTC)

Parametri di verifica: $kh = 1.10$

x	Nd	σ_{t0d}	$ft0d$	Kmod	Comb.	SF
cm	kg	kg/cmq	kg/cmq			
0.0	176	1	125	1	(12+13)-II-1	85

Verifica a compressione parallela alla fibr. (§4.4.8.1.3 - NTC)

Parametri di verifica: $k_{crit,c} = 0.74$ $Lo = 185.8\text{cm}$

Instabilità di colonna: **Instabilità nel piano XY**

x	Nd	σ_{c0d}	$fc0d$	Kmod	Comb.	SF
cm	kg	kg/cmq	kg/cmq			
185.8	-157	-1	166	1	(12+13)-II-4	94

Asta: 9 [47 , 0]

Sez. R: $b = 10.0\text{cm}$ $h = 12.0\text{cm}$ $L = 181.4\text{cm}$
 Crit.Prog: Legno_Tirante-Puntone Verifica: **Verificata**

Verifica a trazione parallela alla fibr. (§4.4.8.1.1 - NTC)

Parametri di verifica: $kh = 1.10$

x	Nd	σ_{t0d}	$ft0d$	Kmod	Comb.	SF
cm	kg	kg/cmq	kg/cmq			
0.0	92	1	125	1	(12+13)-I-2	>100

Verifica a compressione parallela alla fibr. (§4.4.8.1.3 - NTC)

Parametri di verifica: $k_{crit,c} = 0.76$ $Lo = 181.4\text{cm}$

Instabilità di colonna: **Instabilità nel piano XY**

x	Nd	σ_{c0d}	$fc0d$	Kmod	Comb.	SF
cm	kg	kg/cmq	kg/cmq			
181.4	-74	-1	166	1	(12+13)-I-3	>100

Asta: 10 [0 , 0]

Sez. R: $b = 10.0\text{cm}$ $h = 12.0\text{cm}$ $L = 175.9\text{cm}$
 Crit.Prog: Legno_Tirante-Puntone Verifica: **Verificata**

Verifica a trazione parallela alla fibr. (§4.4.8.1.1 - NTC)

Parametri di verifica: $kh = 1.10$

x	Nd	σ_{t0d}	$ft0d$	Kmod	Comb.	SF
cm	kg	kg/cmq	kg/cmq			
0.0	115	1	125	1	(12+13)-II-4	>100

Verifica a compressione parallela alla fibr. (§4.4.8.1.3 - NTC)

Parametri di verifica: $k_{crit,c} = 0.78$ $Lo = 175.9\text{cm}$

Instabilità di colonna: **Instabilità nel piano XY**

x	Nd	σ_{c0d}	$fc0d$	Kmod	Comb.	SF
cm	kg	kg/cmq	kg/cmq			
175.9	-97	-1	166	1	(12+13)-II-1	>100

Asta: 11 [0 , 0]

Sez. R: $b = 10.0\text{cm}$ $h = 12.0\text{cm}$ $L = 170.5\text{cm}$
 Crit.Prog: Legno_Tirante-Puntone Verifica: **Verificata**

Verifica a trazione parallela alla fibr. (§4.4.8.1.1 - NTC)Parametri di verifica: $kh = 1.10$

x cm	Nd kg	σ_{t0d} kg/cmq	$ft0d$ kg/cmq	Kmod	Comb.	SF
0.0	15	0	125	1	(12+13)-I-2	>100

Verifica a compressione parallela alla fibr. (§4.4.8.1.3 - NTC)Parametri di verifica: $k_{crit,c} = 0.81$ $Lo = 170.5\text{cm}$ Instabilità di colonna: **Instabilità nel piano XY**

x cm	Nd kg	σ_{c0d} kg/cmq	$fc0d$ kg/cmq	Kmod	Comb.	SF
170.5	-16	-0	166	1	(12+13)-I-3	>100

Asta: 12 [0 , 0]Sez. R: $b = 10.0\text{cm}$ $h = 12.0\text{cm}$ $L = 165.2\text{cm}$ Crit.Prog: Legno_Tirante-Puntone Verifica: **Verificata**Verifica a compressione parallela alla fibr. (§4.4.8.1.3 - NTC)Parametri di verifica: $k_{crit,c} = 0.83$ $Lo = 165.2\text{cm}$ Instabilità di colonna: **Instabilità nel piano XY**

x cm	Nd kg	σ_{c0d} kg/cmq	$fc0d$ kg/cmq	Kmod	Comb.	SF
165.2	-11	-0	99	0.6	1	>100

Asta: 13 [0 , 0]Sez. R: $b = 10.0\text{cm}$ $h = 12.0\text{cm}$ $L = 160.1\text{cm}$ Crit.Prog: Legno_Tirante-Puntone Verifica: **Verificata**Verifica a trazione parallela alla fibr. (§4.4.8.1.1 - NTC)Parametri di verifica: $kh = 1.10$

x cm	Nd kg	σ_{t0d} kg/cmq	$ft0d$ kg/cmq	Kmod	Comb.	SF
0.0	6	0	125	1	(12+13)-I-4	>100

Verifica a compressione parallela alla fibr. (§4.4.8.1.3 - NTC)Parametri di verifica: $k_{crit,c} = 0.85$ $Lo = 160.1\text{cm}$ Instabilità di colonna: **Instabilità nel piano XY**

x cm	Nd kg	σ_{c0d} kg/cmq	$fc0d$ kg/cmq	Kmod	Comb.	SF
160.1	-40	-0	166	1	(12+13)-I-1	>100

Asta: 14 [0 , 0]Sez. R: $b = 10.0\text{cm}$ $h = 12.0\text{cm}$ $L = 155.0\text{cm}$ Crit.Prog: Legno_Tirante-Puntone Verifica: **Verificata**Verifica a trazione parallela alla fibr. (§4.4.8.1.1 - NTC)Parametri di verifica: $kh = 1.10$

x cm	Nd kg	σ_{t0d} kg/cmq	$ft0d$ kg/cmq	Kmod	Comb.	SF
0.0	190	2	125	1	(12+13)-I-1	79

Verifica a compressione parallela alla fibr. (§4.4.8.1.3 - NTC)Parametri di verifica: $k_{crit,c} = 0.86$ $Lo = 155.0\text{cm}$ Instabilità di colonna: **Instabilità nel piano XY**

x cm	Nd kg	σ_{c0d} kg/cmq	$fc0d$ kg/cmq	Kmod	Comb.	SF
0.0						

x	Nd	σ_{c0d}	f_{c0d}	Kmod	Comb.	SF
cm	kg	kg/cmq	kg/cmq			
155.0	-159	-1	166	1	(12+13)-I-4	>100

VERIFICHE STATO LIMITE DI ESERCIZIO

Verifica dei Muri (Stati limite esercizio)	
Scenario di calcolo : Set_NT_SLV_SLD_A2_STR/GEO_2018	

Muro [Platea]:1 - Nodi : [1 - 2 - 7 - 12 - 11]

Pann=60 Spess.= 50 cm Terreno:**Terreno1** Criterio CLS_Platee Materiale: C25/30
Fatt.Ampl.Sisma = 1.1

Armatura a maglia doppia, Stampa elementi piu' gravosi
Combinazione Rara: $\sigma_{ca}[\text{kg}/\text{cmq}] = 149$ $\sigma_{fa}[\text{kg}/\text{cmq}] = 3600$

P.	Nx	Ny	Nxy	Mx	My	Mxy	Afx	Afy	σ_{cmax}	σ_{fmax}	Cbc	Cbf	Ver	Cs
	kg/mq	kg/mq	kg/mq	kg	kg	kg	cmq/m	cmq/m	kg/cmq	kg/cmq				
4	7005	3715	239	-1799	-64	62	10.26	12.32	-9	1138	16	21	Si	3.2
35	9265	2893	-397	1764	440	-21	10.26	12.32	-8	1235	16	21	Si	2.9

Combinazione QP: $\sigma_{ca}[\text{kg}/\text{cmq}] = 112$ $\sigma_{fa}[\text{kg}/\text{cmq}] = 3600$

P.	Nx	Ny	Nxy	Mx	My	Mxy	Afx	Afy	σ_{cmax}	σ_{fmax}	Cbc	Cbf	Ver	Cs
	kg/mq	kg/mq	kg/mq	kg	kg	kg	cmq/m	cmq/m	kg/cmq	kg/cmq				
4	6906	3677	229	-1772	-62	61	10.26	12.32	-9	1122	27	27	Si	3.2
35	9144	2848	-396	1741	435	-21	10.26	12.32	-8	1219	27	27	Si	3.0

Verifica aperture fessure:Wamm_Freq[mm]=0.400 Wamm_Qp[mm]=0.300

P.	Nx	Ny	Nxy	Mx	My	Mxy	σ_{fmmed}	Wd	Wk	Cb	Ver	Cs
	kg/mq	kg/mq	kg/mq	kg	kg	kg	kg/cmq	mm	mm			
35	9144	2848	-396	1741	435	-21	1219	0.173	0.173	27(Qp)	Si	1.7
35	9144	2848	-396	1741	435	-21	1219	0.173	0.173	23(Fr)	Si	2.3

Muro [Platea]:2 - Nodi : [2 - 3 - 4 - 8 - 7]

Pann=36 Spess.= 50 cm Terreno:**Terreno1** Criterio CLS_Platee Materiale: C25/30
Fatt.Ampl.Sisma = 1.1

Armatura a maglia doppia, Stampa elementi piu' gravosi
Combinazione Rara: $\sigma_{ca}[\text{kg}/\text{cmq}] = 149$ $\sigma_{fa}[\text{kg}/\text{cmq}] = 3600$

P.	Nx	Ny	Nxy	Mx	My	Mxy	Afx	Afy	σ_{cmax}	σ_{fmax}	Cbc	Cbf	Ver	Cs
	kg/mq	kg/mq	kg/mq	kg	kg	kg	cmq/m	cmq/m	kg/cmq	kg/cmq				
34	2456	3347	-752	-1407	62	152	10.26	12.32	-8	742	16	21	Si	4.9
3	8765	2783	1356	-980	124	150	10.26	12.32	-2	785	14	21	Si	4.6

Combinazione QP: $\sigma_{ca}[\text{kg}/\text{cmq}] = 112$ $\sigma_{fa}[\text{kg}/\text{cmq}] = 3600$

P.	Nx	Ny	Nxy	Mx	My	Mxy	Afx	Afy	σ_{cmax}	σ_{fmax}	Cbc	Cbf	Ver	Cs
	kg/mq	kg/mq	kg/mq	kg	kg	kg	cmq/m	cmq/m	kg/cmq	kg/cmq				
34	2421	3315	-739	-1386	62	150	10.26	12.32	-7	731	27	27	Si	4.9
3	7656	2493	1187	-896	112	139	10.26	12.32	-3	776	27	27	Si	4.6

Verifica aperture fessure:Wamm_Freq[mm]=0.400 Wamm_Qp[mm]=0.300

P.	Nx	<th>Nxy</th> <th>Mx</th> <th>My</th> <th>Mxy</th> <th>σfmed</th> <th>Wd</th> <th>Wk</th> <th>Cb</th> <th>Ver</th> <th>Cs</th>	Nxy	Mx	My	Mxy	σfmed	Wd	Wk	Cb	Ver	Cs
	kg/mq	kg/mq	kg/mq	kg	kg	kg	kg/cmq	mm	mm			
33	3203	3508	-753	-1376	100	-68	765	0.109	0.109	27(Qp)	Si	2.8
33	3203	3508	-753	-1376	100	-68	765	0.109	0.109	23(Fr)	Si	3.7

Muro [Platea]:3 - Nodi : [4 - 5 - 9 - 8]

Pann=8 Spess.= 50 cm Terreno:**Terreno1** Criterio CLS_Platee Materiale: C25/30
Fatt.Ampl.Sisma = 1.1

Armatura a maglia doppia, Stampa elementi piu' gravosi

Combinazione Rara: σca[kg/cmq]=149 σfa[kg/cmq]=3600

P.	Nx	Ny	Nxy	Mx	My	Mxy	Afx	Afy	σcmax	σfmax	Cbc	Cbf	Ver	Cs
	kg/mq	kg/mq	kg/mq	kg	kg	kg	cmq/m	cmq/m	kg/cmq	kg/cmq				
1	-3401	10	-1617	-325	-30	-157	10.26	12.32	-1	18	16	21	Si	>100
4	497	-329	-1106	133	29	41	10.26	12.32	-1	83	16	21	Si	43

Combinazione QP: σca[kg/cmq]=112 σfa[kg/cmq]=3600

P.	Nx	Ny	Nxy	Mx	My	Mxy	Afx	Afy	σcmax	σfmax	Cbc	Cbf	Ver	Cs
	kg/mq	kg/mq	kg/mq	kg	kg	kg	cmq/m	cmq/m	kg/cmq	kg/cmq				
1	-3361	4	-1593	-320	-31	-155	10.26	12.32	-1	18	27	27	Si	83
4	486	-330	-1095	131	30	40	10.26	12.32	-1	82	27	27	Si	44

Verifica aperture fessure:Wamm_Freq[mm]=0.400 Wamm_Qp[mm]=0.300

P.	Nx	Ny	Nxy	Mx	My	Mxy	σfmed	Wd	Wk	Cb	Ver	Cs
	kg/mq	kg/mq	kg/mq	kg	kg	kg	kg/cmq	mm	mm			
4	486	-330	-1095	131	30	40	82	0.012	0.012	27(Qp)	Si	26
4	486	-330	-1095	131	30	40	82	0.012	0.012	23(Fr)	Si	34

Muro [Platea]:4 - Nodi : [5 - 6 - 10 - 9]

Pann=12 Spess.= 50 cm Terreno:**Terreno1** Criterio CLS_Platee Materiale: C25/30
Fatt.Ampl.Sisma = 1.1

Armatura a maglia doppia, Stampa elementi piu' gravosi

Combinazione Rara: σca[kg/cmq]=149 σfa[kg/cmq]=3600

P.	Nx	Ny	Nxy	Mx	My	Mxy	Afx	Afy	σcmax	σfmax	Cbc	Cbf	Ver	Cs
	kg/mq	kg/mq	kg/mq	kg	kg	kg	cmq/m	cmq/m	kg/cmq	kg/cmq				
1	537	106	237	-129	25	-126	10.26	12.32	-1	83	16	21	Si	43
10	3200	1315	2385	286	-7	17	10.26	12.32	0	255	14	21	Si	14

Combinazione QP: σca[kg/cmq]=112 σfa[kg/cmq]=3600

P.	Nx	Ny	Nxy	Mx	My	Mxy	Afx	Afy	σcmax	σfmax	Cbc	Cbf	Ver	Cs
	kg/mq	kg/mq	kg/mq	kg	kg	kg	cmq/m	cmq/m	kg/cmq	kg/cmq				
1	516	91	243	-128	23	-124	10.26	12.32	-1	82	27	27	Si	44
10	2776	1040	2136	255	4	18	10.26	12.32	0	251	27	27	Si	14

Verifica aperture fessure:Wamm_Freq[mm]=0.400 Wamm_Qp[mm]=0.300

P.	Nx	Ny	Nxy	Mx	My	Mxy	σfmed	Wd	Wk	Cb	Ver	Cs
	kg/mq	kg/mq	kg/mq	kg	kg	kg	kg/cmq	mm	mm			
8	3016	688	1124	162	-31	60	221	0.039	0.039	27(Qp)	Si	7.8
8	3016	688	1124	162	-31	60	221	0.039	0.039	23(Fr)	Si	10

Muro [Platea]:5 - Nodi : [10 - 15 - 14 - 13 - 12 - 7 - 8 - 9]

Pann=64 Spess.= 50 cm Terreno:**Terreno1** Criterio CLS_Platee Materiale: C25/30
Fatt.Ampl.Sisma = 1.1

Armatura a maglia doppia, Stampa elementi piu' gravosi

Combinazione Rara: $\sigma_{ca}[\text{kg/cmq}] = 149$ $\sigma_{fa}[\text{kg/cmq}] = 3600$

P.	Nx	<th>Nxy</th> <th>Mx</th> <th>My</th> <th>Mxy</th> <th>Afx</th> <th>Afy</th> <th>σ_{cmax}</th> <th>σ_{fmax}</th> <th>Cbc</th> <th>Cbf</th> <th>Ver</th> <th>Cs</th>	Nxy	Mx	My	Mxy	Afx	Afy	σ_{cmax}	σ_{fmax}	Cbc	Cbf	Ver	Cs
	kg/mq	kg/mq	kg/mq	kg	kg	kg	cmq/m	cmq/m	kg/cmq	kg/cmq				
4	314	3270	-145	-1122	11	-49	10.26	12.32	-6	512	16	21	Si	7.0
43	3624	877	1669	823	144	39	10.26	12.32	-4	542	16	21	Si	6.6

Combinazione QP: $\sigma_{ca}[\text{kg/cmq}] = 112$ $\sigma_{fa}[\text{kg/cmq}] = 3600$

P.	Nx	<th>Nxy</th> <th>Mx</th> <th>My</th> <th>Mxy</th> <th>Afx</th> <th>Afy</th> <th>σ_{cmax}</th> <th>σ_{fmax}</th> <th>Cbc</th> <th>Cbf</th> <th>Ver</th> <th>Cs</th>	Nxy	Mx	My	Mxy	Afx	Afy	σ_{cmax}	σ_{fmax}	Cbc	Cbf	Ver	Cs
	kg/mq	kg/mq	kg/mq	kg	kg	kg	cmq/m	cmq/m	kg/cmq	kg/cmq				
4	330	3237	-148	-1097	13	-49	10.26	12.32	-6	502	27	27	Si	7.2
43	3589	865	1659	811	142	39	10.26	12.32	-4	534	27	27	Si	6.7

Verifica aperture fessure: Wamm_Freq[mm] = 0.400 Wamm_Qp[mm] = 0.300

P.	Nx	Ny	Nxy	Mx	My	Mxy	σ_{fmed}	Wd	Wk	Cb	Ver	Cs
	kg/mq	kg/mq	kg/mq	kg	kg	kg	kg/cmq	mm	mm			
43	3589	865	1659	811	142	39	534	0.076	0.076	27(Qp)	Si	3.9
43	3589	865	1659	811	142	39	534	0.076	0.076	23(Fr)	Si	5.3

Muro [Platea]:6 - Nodi : [15 - 17 - 16 - 14]

Pann=40 Spess.= 50 cm Terreno:**Terreno1** Criterio CLS_Platee Materiale: C25/30
Fatt.Ampl.Sisma = 1.1

Armatura a maglia doppia, Stampa elementi piu' gravosi

Combinazione Rara: $\sigma_{ca}[\text{kg/cmq}] = 149$ $\sigma_{fa}[\text{kg/cmq}] = 3600$

P.	Nx	Ny	Nxy	Mx	My	Mxy	Afx	Afy	σ_{cmax}	σ_{fmax}	Cbc	Cbf	Ver	Cs
	kg/mq	kg/mq	kg/mq	kg	kg	kg	cmq/m	cmq/m	kg/cmq	kg/cmq				
14	2528	3239	-206	1270	440	16	10.26	12.32	-7	685	16	21	Si	5.3

Combinazione QP: $\sigma_{ca}[\text{kg/cmq}] = 112$ $\sigma_{fa}[\text{kg/cmq}] = 3600$

P.	Nx	Ny	Nxy	Mx	My	Mxy	Afx	Afy	σ_{cmax}	σ_{fmax}	Cbc	Cbf	Ver	Cs
	kg/mq	kg/mq	kg/mq	kg	kg	kg	cmq/m	cmq/m	kg/cmq	kg/cmq				
14	2493	3195	-201	1249	433	16	10.26	12.32	-7	674	27	27	Si	5.3

Verifica aperture fessure: Wamm_Freq[mm] = 0.400 Wamm_Qp[mm] = 0.300

P.	Nx	Ny	Nxy	Mx	My	Mxy	σ_{fmed}	Wd	Wk	Cb	Ver	Cs
	kg/mq	kg/mq	kg/mq	kg	kg	kg	kg/cmq	mm	mm			
14	2493	3195	-201	1249	433	16	674	0.096	0.096	27(Qp)	Si	3.1
14	2493	3195	-201	1249	433	16	674	0.096	0.096	23(Fr)	Si	4.2

Muro [Platea]:7 - Nodi : [17 - 20 - 19 - 16]

Pann=40 Spess.= 50 cm Terreno:**Terreno1** Criterio CLS_Platee Materiale: C25/30
Fatt.Ampl.Sisma = 1.1

Armatura a maglia doppia, Stampa elementi piu' gravosi

Combinazione Rara: $\sigma_{ca}[\text{kg/cmq}] = 149$ $\sigma_{fa}[\text{kg/cmq}] = 3600$

P.	Nx	Ny	Nxy	Mx	My	Mxy	Afx	Afy	σ_{cmax}	σ_{fmax}	Cbc	Cbf	Ver	Cs
	kg/mq	kg/mq	kg/mq	kg	kg	kg	cmq/m	cmq/m	kg/cmq	kg/cmq				
24	11461	3026	2084	1867	582	59	10.26	12.32	-8	1390	16	21	Si	2.6
25	12137	2636	1026	1893	417	8	10.26	12.32	-8	1435	16	21	Si	2.5

Combinazione QP: $\sigma_{ca}[\text{kg/cmq}] = 112$ $\sigma_{fa}[\text{kg/cmq}] = 3600$

P.	Nx	Ny	Nxy	Mx	My	Mxy	Afx	Afy	σ_{cmax}	σ_{fmax}	Cbc	Cbf	Ver	Cs
	kg/mq	kg/mq	kg/mq	kg	kg	kg	cmq/m	cmq/m	kg/cmq	kg/cmq				
24	11344	2974	2058	1842	575	58	10.26	12.32	-8	1373	27	27	Si	2.6

P.	Nx	<th>Nxy</th> <th>Mx</th> <th>My</th> <th>Mxy</th> <th>Afx</th> <th>Afy</th> <th>σcmax</th> <th>σfmax</th> <th>Cbc</th> <th>Cbf</th> <th>Ver</th> <th>Cs</th>	Nxy	Mx	My	Mxy	Afx	Afy	σcmax	σfmax	Cbc	Cbf	Ver	Cs
25	12017	2593	1013	1868	412	8	10.26	12.32	-8	1418	27	27	Si	2.5
	kg/mq	kg/mq	kg/mq	kg	kg	kg	kg	kg	kg/cmq	kg/cmq	mm	mm		
24	11344	2974	2058	1842	575	58	1373	0.195	0.195	27(Qp)	Si	1.5		
24	11344	2974	2058	1842	575	58	1373	0.195	0.195	23(Fr)	Si	2.0		

Verifica aperture fessure:Wamm_Freq[mm]=0.400 Wamm_Qp[mm]=0.300

P.	Nx	Ny	Nxy	Mx	My	Mxy	σfmed	Wd	Wk	Cb	Ver	Cs
	kg/mq	kg/mq	kg/mq	kg	kg	kg	kg/cmq	mm	mm			
24	11344	2974	2058	1842	575	58	1373	0.195	0.195	27(Qp)	Si	1.5
24	11344	2974	2058	1842	575	58	1373	0.195	0.195	23(Fr)	Si	2.0

Muro [Platea]:8 - Nodi : [19 - 18 - 13 - 14 - 16]

Pann=40 Spess.= 50 cm Terreno:**Terreno1** Criterio CLS_Platee Materiale: C25/30
Fatt.Ampl.Sisma = 1.1

Armatura a maglia doppia, Stampa elementi piu' gravosi

Combinazione Rara: σca[kg/cmq]=149 σfa[kg/cmq]=3600

P.	Nx	Ny	Nxy	Mx	My	Mxy	Afx	Afy	σcmax	σfmax	Cbc	Cbf	Ver	Cs
	kg/mq	kg/mq	kg/mq	kg	kg	kg	cmq/m	cmq/m	kg/cmq	kg/cmq				
38	4956	2165	-432	1111	230	-9	10.26	12.32	-5	734	16	21	Si	4.9

Combinazione QP: σca[kg/cmq]=112 σfa[kg/cmq]=3600

P.	Nx	Ny	Nxy	Mx	My	Mxy	Afx	Afy	σcmax	σfmax	Cbc	Cbf	Ver	Cs
	kg/mq	kg/mq	kg/mq	kg	kg	kg	cmq/m	cmq/m	kg/cmq	kg/cmq				
38	4885	2147	-427	1097	227	-9	10.26	12.32	-5	725	27	27	Si	5.0

Verifica aperture fessure:Wamm_Freq[mm]=0.400 Wamm_Qp[mm]=0.300

P.	Nx	Ny	Nxy	Mx	My	Mxy	σfmed	Wd	Wk	Cb	Ver	Cs
	kg/mq	kg/mq	kg/mq	kg	kg	kg	kg/cmq	mm	mm			
38	4885	2147	-427	1097	227	-9	725	0.103	0.103	27(Qp)	Si	2.9
38	4885	2147	-427	1097	227	-9	725	0.103	0.103	23(Fr)	Si	3.9

Muro :9 - Nodi : [1 - 2 - 21 - 22]

Pann=12 Spess.= 30 cm Criterio CLS_Muri Materiale: C25/30
Fatt.Ampl.Sisma = 1.1

Armatura a maglia doppia, Stampa elementi piu' gravosi

Combinazione Rara: σca[kg/cmq]=149 σfa[kg/cmq]=3600

P.	Nx	Ny	Nxy	Mx	My	Mxy	Afx	Afy	σcmax	σfmax	Cbc	Cbf	Ver	Cs
	kg/mq	kg/mq	kg/mq	kg	kg	kg	cmq/m	cmq/m	kg/cmq	kg/cmq				
5	1460	-15446	2990	21	293	-9	16.08	16.08	-3	39	16	21	Si	47
6	5622	-8759	2109	-82	-75	-12	16.08	16.08	-1	149	16	21	Si	24

Combinazione QP: σca[kg/cmq]=112 σfa[kg/cmq]=3600

P.	Nx	Ny	Nxy	Mx	My	Mxy	Afx	Afy	σcmax	σfmax	Cbc	Cbf	Ver	Cs
	kg/mq	kg/mq	kg/mq	kg	kg	kg	cmq/m	cmq/m	kg/cmq	kg/cmq				
5	1436	-15248	2973	21	291	-9	16.08	16.08	-3	38	27	27	Si	36
6	5551	-8628	2091	-83	-75	-11	16.08	16.08	-1	148	27	27	Si	24

Verifica aperture fessure:Wamm_Freq[mm]=0.400 Wamm_Qp[mm]=0.300

P.	Nx	Ny	Nxy	Mx	My	Mxy	σfmed	Wd	Wk	Cb	Ver	Cs
	kg/mq	kg/mq	kg/mq	kg	kg	kg	kg/cmq	mm	mm			
8	6057	-8631	80	-59	-84	-63	145	0.022	0.022	27(Qp)	Si	14
8	6057	-8631	80	-59	-84	-63	145	0.022	0.022	23(Fr)	Si	18

Muro :10 - Nodi : [2 - 7 - 12 - 23 - 28 - 21]

Pann=20 Spess.= 30 cm Criterio CLS_Muri Materiale: C25/30

Fatt.Ampl.Sisma = 1.1

Armatura a maglia doppia, Stampa elementi piu' gravosi

Combinazione Rara: $\sigma_{ca}[\text{kg/cmq}] = 149$ $\sigma_{fa}[\text{kg/cmq}] = 3600$

P.	Nx	<th>Nxy</th> <th>Mx</th> <th>My</th> <th>Mxy</th> <th>Afx</th> <th>Afy</th> <th>σ_{cmax}</th> <th>σ_{fmax}</th> <th>Cbc</th> <th>Cbf</th> <th>Ver</th> <th>Cs</th>	Nxy	Mx	My	Mxy	Afx	Afy	σ_{cmax}	σ_{fmax}	Cbc	Cbf	Ver	Cs
	kg/mq	kg/mq	kg/mq	kg	kg	kg	cmq/m	cmq/m	kg/cmq	kg/cmq				
13	609	-28679	936	1	23	-0	16.08	16.08	-3	-38	16	16	Si	54
14	7843	-23232	864	-1	9	12	16.08	16.08	-2	147	16	21	Si	25

Combinazione QP: $\sigma_{ca}[\text{kg/cmq}] = 112$ $\sigma_{fa}[\text{kg/cmq}] = 3600$

P.	Nx	<th>Nxy</th> <th>Mx</th> <th>My</th> <th>Mxy</th> <th>Afx</th> <th>Afy</th> <th>σ_{cmax}</th> <th>σ_{fmax}</th> <th>Cbc</th> <th>Cbf</th> <th>Ver</th> <th>Cs</th>	Nxy	Mx	My	Mxy	Afx	Afy	σ_{cmax}	σ_{fmax}	Cbc	Cbf	Ver	Cs
	kg/mq	kg/mq	kg/mq	kg	kg	kg	cmq/m	cmq/m	kg/cmq	kg/cmq				
13	632	-28229	935	1	23	-0	16.08	16.08	-3	-38	27	27	Si	41
14	7829	-22797	861	-1	9	11	16.08	16.08	-2	146	27	27	Si	25

Verifica aperture fessure: Wamm_Freq[mm] = 0.400 Wamm_Qp[mm] = 0.300

P.	Nx	Ny	Nxy	Mx	My	Mxy	σ_{fmed}	Wd	Wk	Cb	Ver	Cs
	kg/mq	kg/mq	kg/mq	kg	kg	kg	kg/cmq	mm	mm			
14	7829	-22797	861	-1	9	11	146	0.029	0.029	27(Qp)	Si	10
14	7829	-22797	861	-1	9	11	146	0.029	0.029	23(Fr)	Si	14

Muro :11 - Nodi : [12 - 11 - 24 - 23]

Pann=12 Spess.= 30 cm Criterio CLS_Muri Materiale: C25/30

Fatt.Ampl.Sisma = 1.1

Armatura a maglia doppia, Stampa elementi piu' gravosi

Combinazione Rara: $\sigma_{ca}[\text{kg/cmq}] = 149$ $\sigma_{fa}[\text{kg/cmq}] = 3600$

P.	Nx	Ny	Nxy	Mx	My	Mxy	Afx	Afy	σ_{cmax}	σ_{fmax}	Cbc	Cbf	Ver	Cs
	kg/mq	kg/mq	kg/mq	kg	kg	kg	cmq/m	cmq/m	kg/cmq	kg/cmq				
7	1127	-15203	-2057	21	315	-8	16.08	16.08	-3	33	16	21	Si	45
8	4692	-8469	-1524	-90	-54	-14	16.08	16.08	-1	136	16	21	Si	26

Combinazione QP: $\sigma_{ca}[\text{kg/cmq}] = 112$ $\sigma_{fa}[\text{kg/cmq}] = 3600$

P.	Nx	Ny	Nxy	Mx	My	Mxy	Afx	Afy	σ_{cmax}	σ_{fmax}	Cbc	Cbf	Ver	Cs
	kg/mq	kg/mq	kg/mq	kg	kg	kg	cmq/m	cmq/m	kg/cmq	kg/cmq				
7	1104	-15008	-2038	21	313	-8	16.08	16.08	-3	32	27	27	Si	34
8	4622	-8339	-1504	-90	-54	-14	16.08	16.08	-1	135	27	27	Si	27

Verifica aperture fessure: Wamm_Freq[mm] = 0.400 Wamm_Qp[mm] = 0.300

P.	Nx	Ny	Nxy	Mx	My	Mxy	σ_{fmed}	Wd	Wk	Cb	Ver	Cs
	kg/mq	kg/mq	kg/mq	kg	kg	kg	kg/cmq	mm	mm			
6	4658	-8211	508	-76	-59	50	128	0.017	0.017	27(Qp)	Si	18
6	4658	-8211	508	-76	-59	50	128	0.017	0.017	23(Fr)	Si	24

Muro :12 - Nodi : [11 - 1 - 22 - 24]

Pann=20 Spess.= 30 cm Criterio CLS_Muri Materiale: C25/30

Fatt.Ampl.Sisma = 1.1

Armatura a maglia doppia, Stampa elementi piu' gravosi

Combinazione Rara: $\sigma_{ca}[\text{kg/cmq}] = 149$ $\sigma_{fa}[\text{kg/cmq}] = 3600$

P.	Nx	Ny	Nxy	Mx	My	Mxy	Afx	Afy	σ_{cmax}	σ_{fmax}	Cbc	Cbf	Ver	Cs
	kg/mq	kg/mq	kg/mq	kg	kg	kg	cmq/m	cmq/m	kg/cmq	kg/cmq				
10	3722	-13364	191	43	-455	-27	16.08	16.08	-5	93	16	21	Si	32

Combinazione QP: $\sigma_{ca}[\text{kg/cmq}] = 112$ $\sigma_{fa}[\text{kg/cmq}] = 3600$

P.	Nx	<th>Nxy</th> <th>Mx</th> <th>My</th> <th>Mxy</th> <th>Afx</th> <th>Afy</th> <th>σcmax</th> <th>σfmax</th> <th>Cbc</th> <th>Cbf</th> <th>Ver</th> <th>Cs</th>	Nxy	Mx	My	Mxy	Afx	Afy	σcmax	σfmax	Cbc	Cbf	Ver	Cs
	kg/mq	kg/mq	kg/mq	kg	kg	kg	cmq/m	cmq/m	kg/cmq	kg/cmq				
10	3702	-13143	189	43	-456	-27	16.08	16.08	-5	92	27	27	Si	24

Verifica aperture fessure: Wamm_Freq[mm]=0.400 Wamm_Qp[mm]=0.300

P.	Nx	Ny	Nxy	Mx	My	Mxy	σfmed	Wd	Wk	Cb	Ver	Cs
	kg/mq	kg/mq	kg/mq	kg	kg	kg	kg/cmq	mm	mm			
12	3709	-13151	-156	41	-450	53	91	0.013	0.013	27(Qp)	Si	23
12	3709	-13151	-156	41	-450	53	91	0.013	0.013	23(Fr)	Si	30

Muro :13 - Nodi : [2 - 3 - 25 - 21]

Pann=12 Spess.= 30 cm Criterio CLS_Muri Materiale: C25/30
Fatt.Ampl.Sisma = 1.1

Armatura a maglia doppia, Stampa elementi piu' gravosi

Combinazione Rara: σca[kg/cmq]=149 σfa[kg/cmq]=3600

P.	Nx	Ny	Nxy	Mx	My	Mxy	Afx	Afy	σcmax	σfmax	Cbc	Cbf	Ver	Cs
	kg/mq	kg/mq	kg/mq	kg	kg	kg	cmq/m	cmq/m	kg/cmq	kg/cmq				
7	1473	-14169	-3428	20	277	-7	16.08	16.08	-3	38	16	21	Si	50
6	6385	-7752	-274	-61	-81	44	16.08	16.08	-1	152	16	21	Si	24

Combinazione QP: σca[kg/cmq]=112 σfa[kg/cmq]=3600

P.	Nx	Ny	Nxy	Mx	My	Mxy	Afx	Afy	σcmax	σfmax	Cbc	Cbf	Ver	Cs
	kg/mq	kg/mq	kg/mq	kg	kg	kg	cmq/m	cmq/m	kg/cmq	kg/cmq				
7	1449	-14002	-3402	19	275	-7	16.08	16.08	-3	37	27	27	Si	38
6	6312	-7652	-289	-61	-82	44	16.08	16.08	-1	151	27	27	Si	24

Verifica aperture fessure: Wamm_Freq[mm]=0.400 Wamm_Qp[mm]=0.300

P.	Nx	Ny	Nxy	Mx	My	Mxy	σfmed	Wd	Wk	Cb	Ver	Cs
	kg/mq	kg/mq	kg/mq	kg	kg	kg	kg/cmq	mm	mm			
6	6312	-7652	-289	-61	-82	44	151	0.023	0.023	27(Qp)	Si	13
6	6312	-7652	-289	-61	-82	44	151	0.023	0.023	23(Fr)	Si	18

Muro :14 - Nodi : [3 - 4 - 26 - 25]

Pann=8 Spess.= 30 cm Criterio CLS_Muri Materiale: C25/30
Fatt.Ampl.Sisma = 1.1

Armatura a maglia doppia, Stampa elementi piu' gravosi

Combinazione Rara: σca[kg/cmq]=149 σfa[kg/cmq]=3600

P.	Nx	Ny	Nxy	Mx	My	Mxy	Afx	Afy	σcmax	σfmax	Cbc	Cbf	Ver	Cs
	kg/mq	kg/mq	kg/mq	kg	kg	kg	cmq/m	cmq/m	kg/cmq	kg/cmq				
6	-141	-15382	11	36	-283	16	16.08	16.08	-3	16	16	21	Si	48
8	1087	-14953	1734	35	-148	111	16.08	16.08	-2	39	16	21	Si	66

Combinazione QP: σca[kg/cmq]=112 σfa[kg/cmq]=3600

P.	Nx	Ny	Nxy	Mx	My	Mxy	Afx	Afy	σcmax	σfmax	Cbc	Cbf	Ver	Cs
	kg/mq	kg/mq	kg/mq	kg	kg	kg	cmq/m	cmq/m	kg/cmq	kg/cmq				
6	-140	-15166	-1	35	-283	16	16.08	16.08	-3	15	27	27	Si	36
8	1087	-14733	1722	36	-148	111	16.08	16.08	-2	39	27	27	Si	50

Verifica aperture fessure: Wamm_Freq[mm]=0.400 Wamm_Qp[mm]=0.300

P.	Nx	Ny	Nxy	Mx	My	Mxy	σfmed	Wd	Wk	Cb	Ver	Cs
	kg/mq	kg/mq	kg/mq	kg	kg	kg	kg/cmq	mm	mm			
6	-140	-15166	-1	35	-283	16	15	0.001	0.001	27(Qp)	Si	>100
6	-140	-15166	-1	35	-283	16	15	0.001	0.001	23(Fr)	Si	>100

Muro :15 - Nodi : [4 - 8 - 27 - 26]

Pann=4 Spess.= 30 cm Criterio CLS_Muri Materiale: C25/30
Fatt.Ampl.Sisma = 1.1

Armatura a maglia doppia, Stampa elementi piu' gravosi
Combinazione Rara: $\sigma_{ca}[\text{kg/cmq}] = 149$ $\sigma_{fa}[\text{kg/cmq}] = 3600$

P.	Nx	<th>Nxy</th> <th>Mx</th> <th>My</th> <th>Mxy</th> <th>Afx</th> <th>Afy</th> <th>σ_{cmax}</th> <th>σ_{fmax}</th> <th>Cbc</th> <th>Cbf</th> <th>Ver</th> <th>Cs</th>	Nxy	Mx	My	Mxy	Afx	Afy	σ_{cmax}	σ_{fmax}	Cbc	Cbf	Ver	Cs
	kg/mq	kg/mq	kg/mq	kg	kg	kg	cmq/m	cmq/m	kg/cmq	kg/cmq				
1	-1809	-15765	1196	-11	48	-2	16.08	16.08	-2	-19	16	16	Si	86

Combinazione QP: $\sigma_{ca}[\text{kg/cmq}] = 112$ $\sigma_{fa}[\text{kg/cmq}] = 3600$

P.	Nx	<th>Nxy</th> <th>Mx</th> <th>My</th> <th>Mxy</th> <th>Afx</th> <th>Afy</th> <th>σ_{cmax}</th> <th>σ_{fmax}</th> <th>Cbc</th> <th>Cbf</th> <th>Ver</th> <th>Cs</th>	Nxy	Mx	My	Mxy	Afx	Afy	σ_{cmax}	σ_{fmax}	Cbc	Cbf	Ver	Cs
	kg/mq	kg/mq	kg/mq	kg	kg	kg	cmq/m	cmq/m	kg/cmq	kg/cmq				
1	-1796	-15523	1212	-11	47	-2	16.08	16.08	-2	-18	27	27	Si	65

Verifica aperture fessure:Wamm_Freq[mm]=0.400 Wamm_Qp[mm]=0.300

P.	Nx	<th>Nxy</th> <th>Mx</th> <th>My</th> <th>Mxy</th> <th>σ_{fmed}</th> <th>Wd</th> <th>Wk</th> <th>Cb</th> <th>Ver</th> <th>Cs</th>	Nxy	Mx	My	Mxy	σ_{fmed}	Wd	Wk	Cb	Ver	Cs
	kg/mq	kg/mq	kg/mq	kg	kg	kg	kg/cmq	mm	mm			
2	-1106	-8996	708	-70	-18	29	17	0.001	0.001	27(Qp)	Si	>100
2	-1106	-8996	708	-70	-18	29	17	0.001	0.001	23(Fr)	Si	>100

Muro :16 - Nodi : [8 - 7 - 28 - 27]

Pann=12 Spess.= 30 cm Criterio CLS_Muri Materiale: C25/30
Fatt.Ampl.Sisma = 1.1

Armatura a maglia doppia, Stampa elementi piu' gravosi

Combinazione Rara: $\sigma_{ca}[\text{kg/cmq}] = 149$ $\sigma_{fa}[\text{kg/cmq}] = 3600$

P.	Nx	<th>Nxy</th> <th>Mx</th> <th>My</th> <th>Mxy</th> <th>Afx</th> <th>Afy</th> <th>σ_{cmax}</th> <th>σ_{fmax}</th> <th>Cbc</th> <th>Cbf</th> <th>Ver</th> <th>Cs</th>	Nxy	Mx	My	Mxy	Afx	Afy	σ_{cmax}	σ_{fmax}	Cbc	Cbf	Ver	Cs
	kg/mq	kg/mq	kg/mq	kg	kg	kg	cmq/m	cmq/m	kg/cmq	kg/cmq				
5	171	-20310	-1405	7	102	-9	16.08	16.08	-2	-21	16	16	Si	60
6	5139	-13746	-1195	-26	95	4	16.08	16.08	-2	110	16	21	Si	33

Combinazione QP: $\sigma_{ca}[\text{kg/cmq}] = 112$ $\sigma_{fa}[\text{kg/cmq}] = 3600$

P.	Nx	<th>Nxy</th> <th>Mx</th> <th>My</th> <th>Mxy</th> <th>Afx</th> <th>Afy</th> <th>σ_{cmax}</th> <th>σ_{fmax}</th> <th>Cbc</th> <th>Cbf</th> <th>Ver</th> <th>Cs</th>	Nxy	Mx	My	Mxy	Afx	Afy	σ_{cmax}	σ_{fmax}	Cbc	Cbf	Ver	Cs
	kg/mq	kg/mq	kg/mq	kg	kg	kg	cmq/m	cmq/m	kg/cmq	kg/cmq				
5	166	-20019	-1383	7	102	-9	16.08	16.08	-2	-21	27	27	Si	46
6	5055	-13515	-1175	-26	95	4	16.08	16.08	-2	108	27	27	Si	33

Verifica aperture fessure:Wamm_Freq[mm]=0.400 Wamm_Qp[mm]=0.300

P.	Nx	<th>Nxy</th> <th>Mx</th> <th>My</th> <th>Mxy</th> <th>σ_{fmed}</th> <th>Wd</th> <th>Wk</th> <th>Cb</th> <th>Ver</th> <th>Cs</th>	Nxy	Mx	My	Mxy	σ_{fmed}	Wd	Wk	Cb	Ver	Cs
	kg/mq	kg/mq	kg/mq	kg	kg	kg	kg/cmq	mm	mm			
6	5055	-13515	-1175	-26	95	4	108	0.018	0.018	27(Qp)	Si	16
6	5055	-13515	-1175	-26	95	4	108	0.018	0.018	23(Fr)	Si	22

Muro :17 - Nodi : [4 - 5 - 29 - 26]

Pann=8 Spess.= 30 cm Criterio CLS_Muri Materiale: C25/30
Fatt.Ampl.Sisma = 1.1

Armatura a maglia doppia, Stampa elementi piu' gravosi

Combinazione Rara: $\sigma_{ca}[\text{kg/cmq}] = 149$ $\sigma_{fa}[\text{kg/cmq}] = 3600$

P.	Nx	<th>Nxy</th> <th>Mx</th> <th>My</th> <th>Mxy</th> <th>Afx</th> <th>Afy</th> <th>σ_{cmax}</th> <th>σ_{fmax}</th> <th>Cbc</th> <th>Cbf</th> <th>Ver</th> <th>Cs</th>	Nxy	Mx	My	Mxy	Afx	Afy	σ_{cmax}	σ_{fmax}	Cbc	Cbf	Ver	Cs
	kg/mq	kg/mq	kg/mq	kg	kg	kg	cmq/m	cmq/m	kg/cmq	kg/cmq				
8	204	-6218	104	120	-4	-13	16.08	16.08	-1	66	16	21	Si	55

Combinazione QP: $\sigma_{ca}[\text{kg/cmq}] = 112$ $\sigma_{fa}[\text{kg/cmq}] = 3600$

P.	Nx	<th>Nxy</th> <th>Mx</th> <th>My</th> <th>Mxy</th> <th>Afx</th> <th>Afy</th> <th>σ_{cmax}</th> <th>σ_{fmax}</th> <th>Cbc</th> <th>Cbf</th> <th>Ver</th> <th>Cs</th>	Nxy	Mx	My	Mxy	Afx	Afy	σ_{cmax}	σ_{fmax}	Cbc	Cbf	Ver	Cs
	kg/mq	kg/mq	kg/mq	kg	kg	kg	cmq/m	cmq/m	kg/cmq	kg/cmq				
8	147	-6127	79	120	-4	-13	16.08	16.08	-1	65	27	27	Si	56

Verifica aperture fessure: Wamm_Freq[mm] = 0.400 Wamm_Qp[mm] = 0.300

P.	Nx	Ny	Nxy	Mx	My	Mxy	σ_{fmed}	Wd	Wk	Cb	Ver	Cs
	kg/mq	kg/mq	kg/mq	kg	kg	kg	kg/cmq	mm	mm			
8	147	-6127	79	120	-4	-13	65	0.006	0.006	27(Qp)	Si	46
8	147	-6127	79	120	-4	-13	65	0.006	0.006	23(Fr)	Si	62

Muro :18 - Nodi : [5 - 6 - 30 - 29]

Pann=12 Spess.= 30 cm Criterio CLS_Muri Materiale: C25/30
Fatt.Ampl.Sisma = 1.1

Armatura a maglia doppia, Stampa elementi piu' gravosi

Combinazione Rara: $\sigma_{ca}[\text{kg/cmq}] = 149$ $\sigma_{fa}[\text{kg/cmq}] = 3600$

P.	Nx	Ny	Nxy	Mx	My	Mxy	Afx	Afy	σ_{cmax}	σ_{fmax}	Cbc	Cbf	Ver	Cs
	kg/mq	kg/mq	kg/mq	kg	kg	kg	cmq/m	cmq/m	kg/cmq	kg/cmq				
7	1186	-11779	-1582	10	251	-8	16.08	16.08	-3	27	16	21	Si	57
8	6898	-5373	-919	-88	-53	-21	16.08	16.08	-1	176	16	21	Si	20

Combinazione QP: $\sigma_{ca}[\text{kg/cmq}] = 112$ $\sigma_{fa}[\text{kg/cmq}] = 3600$

P.	Nx	Ny	Nxy	Mx	My	Mxy	Afx	Afy	σ_{cmax}	σ_{fmax}	Cbc	Cbf	Ver	Cs
	kg/mq	kg/mq	kg/mq	kg	kg	kg	cmq/m	cmq/m	kg/cmq	kg/cmq				
7	1154	-11620	-1552	9	250	-8	16.08	16.08	-3	27	27	27	Si	43
8	6770	-5261	-901	-88	-53	-21	16.08	16.08	-1	174	27	27	Si	21

Verifica aperture fessure: Wamm_Freq[mm] = 0.400 Wamm_Qp[mm] = 0.300

P.	Nx	Ny	Nxy	Mx	My	Mxy	σ_{fmed}	Wd	Wk	Cb	Ver	Cs
	kg/mq	kg/mq	kg/mq	kg	kg	kg	kg/cmq	mm	mm			
8	6770	-5261	-901	-88	-53	-21	174	0.024	0.024	27(Qp)	Si	12
8	6770	-5261	-901	-88	-53	-21	174	0.024	0.024	23(Fr)	Si	16

Muro :19 - Nodi : [6 - 10 - 31 - 30]

Pann=4 Spess.= 30 cm Criterio CLS_Muri Materiale: C25/30
Fatt.Ampl.Sisma = 1.1

Armatura a maglia doppia, Stampa elementi piu' gravosi

Combinazione Rara: $\sigma_{ca}[\text{kg/cmq}] = 149$ $\sigma_{fa}[\text{kg/cmq}] = 3600$

P.	Nx	Ny	Nxy	Mx	My	Mxy	Afx	Afy	σ_{cmax}	σ_{fmax}	Cbc	Cbf	Ver	Cs
	kg/mq	kg/mq	kg/mq	kg	kg	kg	cmq/m	cmq/m	kg/cmq	kg/cmq				
4	-1103	-10012	-92	19	-66	16	16.08	16.08	-1	-9	16	16	Si	>100
3	-1031	-10367	-585	11	41	-39	16.08	16.08	-1	-12	16	16	Si	>100

Combinazione QP: $\sigma_{ca}[\text{kg/cmq}] = 112$ $\sigma_{fa}[\text{kg/cmq}] = 3600$

P.	Nx	Ny	Nxy	Mx	My	Mxy	Afx	Afy	σ_{cmax}	σ_{fmax}	Cbc	Cbf	Ver	Cs
	kg/mq	kg/mq	kg/mq	kg	kg	kg	cmq/m	cmq/m	kg/cmq	kg/cmq				
4	-1073	-9864	-31	19	-66	16	16.08	16.08	-1	-9	27	27	Si	86
3	-1013	-10223	-502	10	40	-39	16.08	16.08	-1	-12	27	27	Si	95

Verifica aperture fessure: Wamm_Freq[mm] = 0.400 Wamm_Qp[mm] = 0.300

P.	Nx	Ny	Nxy	Mx	My	Mxy	σ_{fmed}	Wd	Wk	Cb	Ver	Cs
	kg/mq	kg/mq	kg/mq	kg	kg	kg	kg/cmq	mm	mm			
2	-1377	-8714	-2081	39	-64	-37	2	0.000	0.000	27(Qp)	Si	>100
2	-1377	-8838	-2127	38	-65	-37	2	0.000	0.000	22(Fr)	Si	>100

Muro :20 - Nodi : [10 - 9 - 32 - 31]

Pann=12 Spess.= 30 cm Criterio CLS_Muri Materiale: C25/30
Fatt.Ampl.Sisma = 1.1

Armatura a maglia doppia, Stampa elementi piu' gravosi
Combinazione Rara: $\sigma_{ca}[\text{kg/cmq}] = 149$ $\sigma_{fa}[\text{kg/cmq}] = 3600$

P.	Nx	<th>Nxy</th> <th>Mx</th> <th>My</th> <th>Mxy</th> <th>Afx</th> <th>Afy</th> <th>σ_{cmax}</th> <th>σ_{fmax}</th> <th>Cbc</th> <th>Cbf</th> <th>Ver</th> <th>Cs</th>	Nxy	Mx	My	Mxy	Afx	Afy	σ_{cmax}	σ_{fmax}	Cbc	Cbf	Ver	Cs
	kg/mq	kg/mq	kg/mq	kg	kg	kg	cmq/m	cmq/m	kg/cmq	kg/cmq				
5	837	-26579	2404	-5	57	23	16.08	16.08	-3	-33	16	16	Si	53
8	8202	-19351	-802	-37	72	-17	16.08	16.08	-2	173	16	21	Si	21

Combinazione QP: $\sigma_{ca}[\text{kg/cmq}] = 112$ $\sigma_{fa}[\text{kg/cmq}] = 3600$

P.	Nx	<th>Nxy</th> <th>Mx</th> <th>My</th> <th>Mxy</th> <th>Afx</th> <th>Afy</th> <th>σ_{cmax}</th> <th>σ_{fmax}</th> <th>Cbc</th> <th>Cbf</th> <th>Ver</th> <th>Cs</th>	Nxy	Mx	My	Mxy	Afx	Afy	σ_{cmax}	σ_{fmax}	Cbc	Cbf	Ver	Cs
	kg/mq	kg/mq	kg/mq	kg	kg	kg	cmq/m	cmq/m	kg/cmq	kg/cmq				
5	817	-26150	2377	-4	56	22	16.08	16.08	-3	-33	27	27	Si	41
8	8073	-18975	-803	-36	70	-17	16.08	16.08	-2	170	27	27	Si	21

Verifica aperture fessure:Wamm_Freq[mm]=0.400 Wamm_Qp[mm]=0.300

P.	Nx	<th>Nxy</th> <th>Mx</th> <th>My</th> <th>Mxy</th> <th>σ_{fmed}</th> <th>Wd</th> <th>Wk</th> <th>Cb</th> <th>Ver</th> <th>Cs</th>	Nxy	Mx	My	Mxy	σ_{fmed}	Wd	Wk	Cb	Ver	Cs
	kg/mq	kg/mq	kg/mq	kg	kg	kg	kg/cmq	mm	mm			
8	8073	-18975	-803	-36	70	-17	170	0.029	0.029	27(Qp)	Si	10
8	8073	-18975	-803	-36	70	-17	170	0.029	0.029	23(Fr)	Si	14

Muro :21 - Nodi : [9 - 8 - 27 - 32]

Pann=8 Spess.= 30 cm Criterio CLS_Muri Materiale: C25/30
Fatt.Ampl.Sisma = 1.1

Armatura a maglia doppia, Stampa elementi piu' gravosi
Combinazione Rara: $\sigma_{ca}[\text{kg/cmq}] = 149$ $\sigma_{fa}[\text{kg/cmq}] = 3600$

P.	Nx	<th>Nxy</th> <th>Mx</th> <th>My</th> <th>Mxy</th> <th>Afx</th> <th>Afy</th> <th>σ_{cmax}</th> <th>σ_{fmax}</th> <th>Cbc</th> <th>Cbf</th> <th>Ver</th> <th>Cs</th>	Nxy	Mx	My	Mxy	Afx	Afy	σ_{cmax}	σ_{fmax}	Cbc	Cbf	Ver	Cs
	kg/mq	kg/mq	kg/mq	kg	kg	kg	cmq/m	cmq/m	kg/cmq	kg/cmq				
3	4	-18980	829	-5	-25	3	16.08	16.08	-2	-25	16	16	Si	79
2	3689	-15331	-33	29	-0	-6	16.08	16.08	-1	84	16	21	Si	43

Combinazione QP: $\sigma_{ca}[\text{kg/cmq}] = 112$ $\sigma_{fa}[\text{kg/cmq}] = 3600$

P.	Nx	<th>Nxy</th> <th>Mx</th> <th>My</th> <th>Mxy</th> <th>Afx</th> <th>Afy</th> <th>σ_{cmax}</th> <th>σ_{fmax}</th> <th>Cbc</th> <th>Cbf</th> <th>Ver</th> <th>Cs</th>	Nxy	Mx	My	Mxy	Afx	Afy	σ_{cmax}	σ_{fmax}	Cbc	Cbf	Ver	Cs
	kg/mq	kg/mq	kg/mq	kg	kg	kg	cmq/m	cmq/m	kg/cmq	kg/cmq				
3	0	-18691	825	-5	-24	3	16.08	16.08	-2	-24	27	27	Si	60
2	3616	-15052	-31	28	0	-6	16.08	16.08	-1	83	27	27	Si	44

Verifica aperture fessure:Wamm_Freq[mm]=0.400 Wamm_Qp[mm]=0.300

P.	Nx	<th>Nxy</th> <th>Mx</th> <th>My</th> <th>Mxy</th> <th>σ_{fmed}</th> <th>Wd</th> <th>Wk</th> <th>Cb</th> <th>Ver</th> <th>Cs</th>	Nxy	Mx	My	Mxy	σ_{fmed}	Wd	Wk	Cb	Ver	Cs
	kg/mq	kg/mq	kg/mq	kg	kg	kg	kg/cmq	mm	mm			
4	3927	-15344	440	-0	11	9	73	0.015	0.015	27(Qp)	Si	21
4	3927	-15344	440	-0	11	9	73	0.015	0.015	23(Fr)	Si	28

Muro :22 - Nodi : [5 - 9 - 32 - 29]

Pann=4 Spess.= 30 cm Criterio CLS_Muri Materiale: C25/30
Fatt.Ampl.Sisma = 1.1

Armatura a maglia doppia, Stampa elementi piu' gravosi
Combinazione Rara: $\sigma_{ca}[\text{kg/cmq}] = 149$ $\sigma_{fa}[\text{kg/cmq}] = 3600$

P.	Nx	<th>Nxy</th> <th>Mx</th> <th>My</th> <th>Mxy</th> <th>Afx</th> <th>Afy</th> <th>σ_{cmax}</th> <th>σ_{fmax}</th> <th>Cbc</th> <th>Cbf</th> <th>Ver</th> <th>Cs</th>	Nxy	Mx	My	Mxy	Afx	Afy	σ_{cmax}	σ_{fmax}	Cbc	Cbf	Ver	Cs
	kg/mq	kg/mq	kg/mq	kg	kg	kg	cmq/m	cmq/m	kg/cmq	kg/cmq				
3	-2532	-13585	1086	-4	-3	-11	16.08	16.08	-1	-19	16	16	Si	>100

Combinazione QP: $\sigma_{ca}[\text{kg/cmq}] = 112$ $\sigma_{fa}[\text{kg/cmq}] = 3600$

P.	Nx	<th>Nxy</th> <th>Mx</th> <th>My</th> <th>Mxy</th> <th>Afx</th> <th>Afy</th> <th>σ_{cmax}</th> <th>σ_{fmax}</th> <th>Cbc</th> <th>Cbf</th> <th>Ver</th> <th>Cs</th>	Nxy	Mx	My	Mxy	Afx	Afy	σ_{cmax}	σ_{fmax}	Cbc	Cbf	Ver	Cs
	kg/mq	kg/mq	kg/mq	kg	kg	kg	cmq/m	cmq/m	kg/cmq	kg/cmq				
3	-2497	-13402	1113	-4	-3	-11	16.08	16.08	-1	-18	27	27	Si	89

Verifica aperture fessure: Wamm_Freq[mm] = 0.400 Wamm_Qp[mm] = 0.300

P.	Nx	Ny	Nxy	Mx	My	Mxy	σ_{fmed}	Wd	Wk	Cb	Ver	Cs
	kg/mq	kg/mq	kg/mq	kg	kg	kg	kg/cmq	mm	mm			
1	-1799	-10318	1524	-8	-2	11	0	0.000	0.000	27(Qp)	Si	>100
1	-1795	-10441	1521	-8	-2	11	0	0.000	0.000	22(Fr)	Si	>100

Muro :23 - Nodi : [10 - 15 - 33 - 31]

Pann=8 Spess.= 30 cm Criterio CLS_Muri Materiale: C25/30
Fatt.Ampl.Sisma = 1.1

Armatura a maglia doppia, Stampa elementi piu' gravosi

Combinazione Rara: $\sigma_{ca}[\text{kg/cmq}] = 149$ $\sigma_{fa}[\text{kg/cmq}] = 3600$

P.	Nx	Ny	Nxy	Mx	My	Mxy	Afx	Afy	σ_{cmax}	σ_{fmax}	Cbc	Cbf	Ver	Cs
	kg/mq	kg/mq	kg/mq	kg	kg	kg	cmq/m	cmq/m	kg/cmq	kg/cmq				
3	-554	-14597	-603	-10	104	9	16.08	16.08	-2	-13	16	16	Si	76
8	-562	-12312	1105	80	-68	18	16.08	16.08	-2	31	16	21	Si	97

Combinazione QP: $\sigma_{ca}[\text{kg/cmq}] = 112$ $\sigma_{fa}[\text{kg/cmq}] = 3600$

P.	Nx	Ny	Nxy	Mx	My	Mxy	Afx	Afy	σ_{cmax}	σ_{fmax}	Cbc	Cbf	Ver	Cs
	kg/mq	kg/mq	kg/mq	kg	kg	kg	cmq/m	cmq/m	kg/cmq	kg/cmq				
3	-523	-14371	-499	-10	102	9	16.08	16.08	-2	-13	27	27	Si	58
8	-426	-12044	1185	79	-68	17	16.08	16.08	-2	33	27	27	Si	74

Verifica aperture fessure: Wamm_Freq[mm] = 0.400 Wamm_Qp[mm] = 0.300

P.	Nx	Ny	Nxy	Mx	My	Mxy	σ_{fmed}	Wd	Wk	Cb	Ver	Cs
	kg/mq	kg/mq	kg/mq	kg	kg	kg	kg/cmq	mm	mm			
8	-426	-12044	1185	79	-68	17	33	0.003	0.003	27(Qp)	Si	94
8	-562	-12312	1105	80	-68	18	31	0.003	0.003	22(Fr)	Si	>100

Muro :24 - Nodi : [15 - 17 - 34 - 33]

Pann=8 Spess.= 30 cm Criterio CLS_Muri Materiale: C25/30
Fatt.Ampl.Sisma = 1.1

Armatura a maglia doppia, Stampa elementi piu' gravosi

Combinazione Rara: $\sigma_{ca}[\text{kg/cmq}] = 149$ $\sigma_{fa}[\text{kg/cmq}] = 3600$

P.	Nx	Ny	Nxy	Mx	My	Mxy	Afx	Afy	σ_{cmax}	σ_{fmax}	Cbc	Cbf	Ver	Cs
	kg/mq	kg/mq	kg/mq	kg	kg	kg	cmq/m	cmq/m	kg/cmq	kg/cmq				
3	-99	-15843	2458	2	158	12	16.08	16.08	-2	-11	16	16	Si	62
8	1544	-11392	1127	97	-64	27	16.08	16.08	-1	79	16	21	Si	45

Combinazione QP: $\sigma_{ca}[\text{kg/cmq}] = 112$ $\sigma_{fa}[\text{kg/cmq}] = 3600$

P.	Nx	Ny	Nxy	Mx	My	Mxy	Afx	Afy	σ_{cmax}	σ_{fmax}	Cbc	Cbf	Ver	Cs
	kg/mq	kg/mq	kg/mq	kg	kg	kg	cmq/m	cmq/m	kg/cmq	kg/cmq				
3	-63	-15596	2363	2	156	12	16.08	16.08	-2	-11	27	27	Si	48
8	1599	-11184	1124	99	-63	27	16.08	16.08	-1	81	27	27	Si	44

Verifica aperture fessure: Wamm_Freq[mm] = 0.400 Wamm_Qp[mm] = 0.300

P.	Nx	Ny	Nxy	Mx	My	Mxy	σ_{fmed}	Wd	Wk	Cb	Ver	Cs
	kg/mq	kg/mq	kg/mq	kg	kg	kg	kg/cmq	mm	mm			

P.	Nx	<th>Nxy</th> <th>Mx</th> <th>My</th> <th>Mxy</th> <th>σfmed</th> <th>Wd</th> <th>Wk</th> <th>Cb</th> <th>Ver</th> <th>Cs</th>	Nxy	Mx	My	Mxy	σfmed	Wd	Wk	Cb	Ver	Cs
8	1599	-11184	1124	99	-63	27	81	0.009	0.009	27(Qp)	Si	34
8	1544	-11392	1127	97	-64	27	79	0.009	0.009	22(Fr)	Si	46

Muro :25 - Nodi : [17 - 20 - 35 - 34]

Pann=8 Spess.= 30 cm Criterio CLS_Muri Materiale: C25/30
Fatt.Ampl.Sisma = 1.1

Armatura a maglia doppia, Stampa elementi piu' gravosi
Combinazione Rara: σca[kg/cmq]=149 σfa[kg/cmq]=3600

P.	Nx	Ny	Nxy	Mx	My	Mxy	Afx	Afy	σcmax	σfmax	Cbc	Cbf	Ver	Cs
	kg/mq	kg/mq	kg/mq	kg	kg	kg	cmq/m	cmq/m	kg/cmq	kg/cmq				
5	1890	-17314	-1579	10	284	-1	16.08	16.08	-3	40	16	21	Si	46
6	5897	-9492	-872	-115	-86	1	16.08	16.08	-1	172	16	21	Si	21

Combinazione QP: σca[kg/cmq]=112 σfa[kg/cmq]=3600

P.	Nx	Ny	Nxy	Mx	My	Mxy	Afx	Afy	σcmax	σfmax	Cbc	Cbf	Ver	Cs
	kg/mq	kg/mq	kg/mq	kg	kg	kg	cmq/m	cmq/m	kg/cmq	kg/cmq				
5	1870	-17071	-1601	9	282	-1	16.08	16.08	-3	40	27	27	Si	35
6	5846	-9341	-889	-115	-85	-0	16.08	16.08	-1	171	27	27	Si	21

Verifica aperture fessure:Wamm_Freq[mm]=0.400 Wamm_Qp[mm]=0.300

P.	Nx	Ny	Nxy	Mx	My	Mxy	Afx	Afy	σcmax	σfmax	Cbc	Cbf	Ver	Cs
	kg/mq	kg/mq	kg/mq	kg	kg	kg	kg/cmq	kg/cmq	mm	mm				
6	5846	-9341	-889	-115	-85	-0			171	0.021	0.021	27(Qp)	Si	14
6	5846	-9341	-889	-115	-85	-0			171	0.021	0.021	23(Fr)	Si	19

Muro :26 - Nodi : [20 - 19 - 36 - 35]

Pann=20 Spess.= 30 cm Criterio CLS_Muri Materiale: C25/30
Fatt.Ampl.Sisma = 1.1

Armatura a maglia doppia, Stampa elementi piu' gravosi
Combinazione Rara: σca[kg/cmq]=149 σfa[kg/cmq]=3600

P.	Nx	Ny	Nxy	Mx	My	Mxy	Afx	Afy	σcmax	σfmax	Cbc	Cbf	Ver	Cs
	kg/mq	kg/mq	kg/mq	kg	kg	kg	cmq/m	cmq/m	kg/cmq	kg/cmq				
11	84	-15600	-523	-15	-411	19	16.08	16.08	-4	50	16	15	Si	36
20	3568	-9877	1508	-263	-205	234	16.08	16.08	-2	203	16	21	Si	18

Combinazione QP: σca[kg/cmq]=112 σfa[kg/cmq]=3600

P.	Nx	Ny	Nxy	Mx	My	Mxy	Afx	Afy	σcmax	σfmax	Cbc	Cbf	Ver	Cs
	kg/mq	kg/mq	kg/mq	kg	kg	kg	kg/cmq	kg/cmq	mm	mm				
11	88	-15383	-497	-15	-413	19	16.08	16.08	-4	17	27	27	Si	27
20	3576	-9710	1510	-262	-205	233	16.08	16.08	-2	203	27	27	Si	18

Verifica aperture fessure:Wamm_Freq[mm]=0.400 Wamm_Qp[mm]=0.300

P.	Nx	Ny	Nxy	Mx	My	Mxy	Afx	Afy	σcmax	σfmax	Cbc	Cbf	Ver	Cs
	kg/mq	kg/mq	kg/mq	kg	kg	kg	kg/cmq	kg/cmq	mm	mm				
20	3576	-9710	1510	-262	-205	233			203	0.022	0.022	27(Qp)	Si	14
20	3576	-9710	1510	-262	-205	233			203	0.022	0.022	23(Fr)	Si	18

Muro :27 - Nodi : [19 - 18 - 37 - 36]

Pann=8 Spess.= 30 cm Criterio CLS_Muri Materiale: C25/30
Fatt.Ampl.Sisma = 1.1

Armatura a maglia doppia, Stampa elementi piu' gravosi
Combinazione Rara: σca[kg/cmq]=149 σfa[kg/cmq]=3600

P.	Nx	<th>Nxy</th> <th>Mx</th> <th>My</th> <th>Mxy</th> <th>Afx</th> <th>Afy</th> <th>σcmax</th> <th>σfmax</th> <th>Cbc</th> <th>Cbf</th> <th>Ver</th> <th>Cs</th>	Nxy	Mx	My	Mxy	Afx	Afy	σcmax	σfmax	Cbc	Cbf	Ver	Cs
	kg/mq	kg/mq	kg/mq	kg	kg	kg	cmq/m	cmq/m	kg/cmq	kg/cmq				
2	2946	-8584	-2478	-190	-125	71	16.08	16.08	-2	154	16	21	Si	23

Combinazione QP: $\sigma_{ca}[\text{kg/cmq}] = 112$ $\sigma_{fa}[\text{kg/cmq}] = 3600$

P.	Nx	Ny	Nxy	Mx	My	Mxy	Afx	Afy	σcmax	σfmax	Cbc	Cbf	Ver	Cs
	kg/mq	kg/mq	kg/mq	kg	kg	kg	cmq/m	cmq/m	kg/cmq	kg/cmq				
2	2956	-8461	-2486	-189	-125	70	16.08	16.08	-2	153	27	27	Si	23

Verifica aperture fessure: Wamm_Freq[mm] = 0.400 Wamm_Qp[mm] = 0.300

P.	Nx	Ny	Nxy	Mx	My	Mxy	σfmed	Wd	Wk	Cb	Ver	Cs
	kg/mq	kg/mq	kg/mq	kg	kg	kg	kg/cmq	mm	mm			
2	2956	-8461	-2486	-189	-125	70	153	0.017	0.017	27(Qp)	Si	18
2	2956	-8461	-2486	-189	-125	70	153	0.017	0.017	23(Fr)	Si	24

Muro :28 - Nodi : [18 - 13 - 38 - 37]

Pann=20 Spess.= 30 cm Criterio CLS_Muri Materiale: C25/30
Fatt.Ampl.Sisma = 1.1

Armatura a maglia doppia, Stampa elementi piu' gravosi

Combinazione Rara: $\sigma_{ca}[\text{kg/cmq}] = 149$ $\sigma_{fa}[\text{kg/cmq}] = 3600$

P.	Nx	Ny	Nxy	Mx	My	Mxy	Afx	Afy	σcmax	σfmax	Cbc	Cbf	Ver	Cs
	kg/mq	kg/mq	kg/mq	kg	kg	kg	cmq/m	cmq/m	kg/cmq	kg/cmq				
12	1935	-9601	-1224	-15	-240	5	16.08	16.08	-2	44	16	21	Si	61
6	3058	-9479	638	-37	-198	-27	16.08	16.08	-2	77	16	21	Si	47

Combinazione QP: $\sigma_{ca}[\text{kg/cmq}] = 112$ $\sigma_{fa}[\text{kg/cmq}] = 3600$

P.	Nx	Ny	Nxy	Mx	My	Mxy	Afx	Afy	σcmax	σfmax	Cbc	Cbf	Ver	Cs
	kg/mq	kg/mq	kg/mq	kg	kg	kg	cmq/m	cmq/m	kg/cmq	kg/cmq				
12	1907	-9466	-1217	-15	-240	5	16.08	16.08	-2	44	27	27	Si	46
6	3029	-9345	619	-38	-198	-27	16.08	16.08	-2	77	27	27	Si	47

Verifica aperture fessure: Wamm_Freq[mm] = 0.400 Wamm_Qp[mm] = 0.300

P.	Nx	Ny	Nxy	Mx	My	Mxy	σfmed	Wd	Wk	Cb	Ver	Cs
	kg/mq	kg/mq	kg/mq	kg	kg	kg	kg/cmq	mm	mm			
8	3055	-9672	-289	-20	-225	-24	68	0.011	0.011	27(Qp)	Si	27
8	3055	-9672	-289	-20	-225	-24	68	0.011	0.011	23(Fr)	Si	36

Muro :29 - Nodi : [13 - 12 - 23 - 38]

Pann=4 Spess.= 30 cm Criterio CLS_Muri Materiale: C25/30
Fatt.Ampl.Sisma = 1.1

Armatura a maglia doppia, Stampa elementi piu' gravosi

Combinazione Rara: $\sigma_{ca}[\text{kg/cmq}] = 149$ $\sigma_{fa}[\text{kg/cmq}] = 3600$

P.	Nx	Ny	Nxy	Mx	My	Mxy	Afx	Afy	σcmax	σfmax	Cbc	Cbf	Ver	Cs
	kg/mq	kg/mq	kg/mq	kg	kg	kg	cmq/m	cmq/m	kg/cmq	kg/cmq				
1	157	-10696	-2950	16	33	19	16.08	16.08	-1	-13	16	16	Si	>100
2	3568	-9612	-1139	31	-27	-18	16.08	16.08	-1	84	16	21	Si	43

Combinazione QP: $\sigma_{ca}[\text{kg/cmq}] = 112$ $\sigma_{fa}[\text{kg/cmq}] = 3600$

P.	Nx	Ny	Nxy	Mx	My	Mxy	Afx	Afy	σcmax	σfmax	Cbc	Cbf	Ver	Cs
	kg/mq	kg/mq	kg/mq	kg	kg	kg	cmq/m	cmq/m	kg/cmq	kg/cmq				
1	171	-10532	-2890	15	32	20	16.08	16.08	-1	-12	27	27	Si	96
2	3528	-9465	-1102	31	-27	-18	16.08	16.08	-1	83	27	27	Si	44

Verifica aperture fessure:Wamm_Freq[mm]=0.400 Wamm_Qp[mm]=0.300

P.	Nx	<th>Nxy</th> <th>Mx</th> <th>My</th> <th>Mxy</th> <th>σfmed</th> <th>Wd</th> <th>Wk</th> <th>Cb</th> <th>Ver</th> <th>Cs</th>	Nxy	Mx	My	Mxy	σfmed	Wd	Wk	Cb	Ver	Cs
	kg/mq	kg/mq	kg/mq	kg	kg	kg	kg/cmq	mm	mm			
2	3528	-9465	-1102	31	-27	-18	83	0.013	0.013	27(Qp)	Si	24
2	3528	-9465	-1102	31	-27	-18	83	0.013	0.013	23(Fr)	Si	31

Muro :30 - Nodi : [19 - 16 - 39 - 36]

Pann=8 Spess.= 30 cm Criterio CLS_Muri Materiale: C25/30

Fatt.Ampl.Sisma = 1.1

Armatura a maglia doppia, Stampa elementi piu' gravosi

Combinazione Rara: σca[kg/cmq]=149 σfa[kg/cmq]=3600

P.	Nx	Ny	Nxy	Mx	My	Mxy	Afx	Afy	σcmax	σfmax	Cbc	Cbf	Ver	Cs
	kg/mq	kg/mq	kg/mq	kg	kg	kg	cmq/m	cmq/m	kg/cmq	kg/cmq				
3	3549	-19752	6378	14	93	3	16.08	16.08	-2	74	16	21	Si	49
6	15891	-8829	-1349	-1	14	2	16.08	16.08	-1	297	16	21	Si	12

Combinazione QP: σca[kg/cmq]=112 σfa[kg/cmq]=3600

P.	Nx	Ny	Nxy	Mx	My	Mxy	Afx	Afy	σcmax	σfmax	Cbc	Cbf	Ver	Cs
	kg/mq	kg/mq	kg/mq	kg	kg	kg	cmq/m	cmq/m	kg/cmq	kg/cmq				
3	3531	-19445	6337	14	92	3	16.08	16.08	-2	73	27	27	Si	48
6	15809	-8597	-1330	-1	14	2	16.08	16.08	-1	295	27	27	Si	12

Verifica aperture fessure:Wamm_Freq[mm]=0.400 Wamm_Qp[mm]=0.300

P.	Nx	Ny	Nxy	Mx	My	Mxy	σfmed	Wd	Wk	Cb	Ver	Cs
	kg/mq	kg/mq	kg/mq	kg	kg	kg	kg/cmq	mm	mm			
6	15809	-8597	-1330	-1	14	2	295	0.058	0.058	27(Qp)	Si	5.1
6	15809	-8597	-1330	-1	14	2	295	0.058	0.058	23(Fr)	Si	6.8

Muro :31 - Nodi : [16 - 17 - 34 - 39]

Pann=20 Spess.= 30 cm Criterio CLS_Muri Materiale: C25/30

Fatt.Ampl.Sisma = 1.1

Armatura a maglia doppia, Stampa elementi piu' gravosi

Combinazione Rara: σca[kg/cmq]=149 σfa[kg/cmq]=3600

P.	Nx	Ny	Nxy	Mx	My	Mxy	Afx	Afy	σcmax	σfmax	Cbc	Cbf	Ver	Cs
	kg/mq	kg/mq	kg/mq	kg	kg	kg	cmq/m	cmq/m	kg/cmq	kg/cmq				
11	-403	-31237	2700	-25	-249	10	16.08	16.08	-4	-25	16	14	Si	34
14	7821	-26931	496	-6	-270	58	16.08	16.08	-4	149	16	21	Si	24

Combinazione QP: σca[kg/cmq]=112 σfa[kg/cmq]=3600

P.	Nx	Ny	Nxy	Mx	My	Mxy	Afx	Afy	σcmax	σfmax	Cbc	Cbf	Ver	Cs
	kg/mq	kg/mq	kg/mq	kg	kg	kg	cmq/m	cmq/m	kg/cmq	kg/cmq				
11	-385	-30685	2668	-25	-254	10	16.08	16.08	-4	-26	27	27	Si	26
14	7732	-26365	480	-5	-273	58	16.08	16.08	-4	147	27	27	Si	25

Verifica aperture fessure:Wamm_Freq[mm]=0.400 Wamm_Qp[mm]=0.300

P.	Nx	Ny	Nxy	Mx	My	Mxy	σfmed	Wd	Wk	Cb	Ver	Cs
	kg/mq	kg/mq	kg/mq	kg	kg	kg	kg/cmq	mm	mm			
14	7732	-26365	480	-5	-273	58	147	0.029	0.029	27(Qp)	Si	11
14	7732	-26365	480	-5	-273	58	147	0.029	0.029	23(Fr)	Si	14

Muro :32 - Nodi : [16 - 14 - 40 - 39]

Pann=8 Spess.= 30 cm Criterio CLS_Muri Materiale: C25/30

Fatt.Ampl.Sisma = 1.1

Armatura a maglia doppia, Stampa elementi piu' gravosi
 Combinazione Rara: $\sigma_{ca}[\text{kg/cmq}] = 149$ $\sigma_{fa}[\text{kg/cmq}] = 3600$

P.	Nx	<th>Nxy</th> <th>Mx</th> <th>My</th> <th>Mxy</th> <th>Afx</th> <th>Afy</th> <th>σ_{cmax}</th> <th>σ_{fmax}</th> <th>Cbc</th> <th>Cbf</th> <th>Ver</th> <th>Cs</th>	Nxy	Mx	My	Mxy	Afx	Afy	σ_{cmax}	σ_{fmax}	Cbc	Cbf	Ver	Cs
	kg/mq	kg/mq	kg/mq	kg	kg	kg	cmq/m	cmq/m	kg/cmq	kg/cmq				
3	1269	-15363	-1087	8	6	-1	16.08	16.08	-1	28	16	21	Si	>100
2	8624	-12755	1548	65	24	-44	16.08	16.08	-1	196	16	21	Si	18

Combinazione QP: $\sigma_{ca}[\text{kg/cmq}] = 112$ $\sigma_{fa}[\text{kg/cmq}] = 3600$

P.	Nx	<th>Nxy</th> <th>Mx</th> <th>My</th> <th>Mxy</th> <th>Afx</th> <th>Afy</th> <th>σ_{cmax}</th> <th>σ_{fmax}</th> <th>Cbc</th> <th>Cbf</th> <th>Ver</th> <th>Cs</th>	Nxy	Mx	My	Mxy	Afx	Afy	σ_{cmax}	σ_{fmax}	Cbc	Cbf	Ver	Cs
	kg/mq	kg/mq	kg/mq	kg	kg	kg	cmq/m	cmq/m	kg/cmq	kg/cmq				
3	1276	-15083	-1101	8	5	-1	16.08	16.08	-1	28	27	27	Si	79
2	8597	-12509	1522	65	24	-44	16.08	16.08	-1	196	27	27	Si	18

Verifica aperture fessure: Wamm_Freq[mm] = 0.400 Wamm_Qp[mm] = 0.300

P.	Nx	Ny	Nxy	Mx	My	Mxy	σ_{fmed}	Wd	Wk	Cb	Ver	Cs
	kg/mq	kg/mq	kg/mq	kg	kg	kg	kg/cmq	mm	mm			
2	8597	-12509	1522	65	24	-44	196	0.031	0.031	27(Qp)	Si	9.7
2	8597	-12509	1522	65	24	-44	196	0.031	0.031	23(Fr)	Si	13

Muro :33 - Nodi : [14 - 15 - 33 - 40]

Pann=20 Spess.= 30 cm Criterio CLS_Muri Materiale: C25/30
 Fatt.Ampl.Sisma = 1.1

Armatura a maglia doppia, Stampa elementi piu' gravosi

Combinazione Rara: $\sigma_{ca}[\text{kg/cmq}] = 149$ $\sigma_{fa}[\text{kg/cmq}] = 3600$

P.	Nx	Ny	Nxy	Mx	My	Mxy	Afx	Afy	σ_{cmax}	σ_{fmax}	Cbc	Cbf	Ver	Cs
	kg/mq	kg/mq	kg/mq	kg	kg	kg	cmq/m	cmq/m	kg/cmq	kg/cmq				
13	904	-28865	-619	-6	-141	20	16.08	16.08	-3	-31	16	16	Si	43
14	10009	-23058	-550	32	-117	37	16.08	16.08	-3	204	16	21	Si	18

Combinazione QP: $\sigma_{ca}[\text{kg/cmq}] = 112$ $\sigma_{fa}[\text{kg/cmq}] = 3600$

P.	Nx	Ny	Nxy	Mx	My	Mxy	Afx	Afy	σ_{cmax}	σ_{fmax}	Cbc	Cbf	Ver	Cs
	kg/mq	kg/mq	kg/mq	kg	kg	kg	cmq/m	cmq/m	kg/cmq	kg/cmq				
13	908	-28255	-642	-5	-137	19	16.08	16.08	-3	-30	27	27	Si	33
14	9907	-22432	-559	31	-113	37	16.08	16.08	-3	202	27	27	Si	18

Verifica aperture fessure: Wamm_Freq[mm] = 0.400 Wamm_Qp[mm] = 0.300

P.	Nx	Ny	Nxy	Mx	My	Mxy	σ_{fmed}	Wd	Wk	Cb	Ver	Cs
	kg/mq	kg/mq	kg/mq	kg	kg	kg	kg/cmq	mm	mm			
14	9907	-22432	-559	31	-113	37	202	0.036	0.036	27(Qp)	Si	8.3
14	9907	-22432	-559	31	-113	37	202	0.036	0.036	23(Fr)	Si	11

Muro :34 - Nodi : [13 - 14 - 40 - 38]

Pann=8 Spess.= 30 cm Criterio CLS_Muri Materiale: C25/30
 Fatt.Ampl.Sisma = 1.1

Armatura a maglia doppia, Stampa elementi piu' gravosi

Combinazione Rara: $\sigma_{ca}[\text{kg/cmq}] = 149$ $\sigma_{fa}[\text{kg/cmq}] = 3600$

P.	Nx	Ny	Nxy	Mx	My	Mxy	Afx	Afy	σ_{cmax}	σ_{fmax}	Cbc	Cbf	Ver	Cs
	kg/mq	kg/mq	kg/mq	kg	kg	kg	cmq/m	cmq/m	kg/cmq	kg/cmq				
3	812	-15171	4734	-9	-36	-2	16.08	16.08	-2	20	16	21	Si	92
6	7851	-8611	1276	-13	-10	-12	16.08	16.08	-1	154	16	21	Si	23

Combinazione QP: $\sigma_{ca}[\text{kg/cmq}] = 112$ $\sigma_{fa}[\text{kg/cmq}] = 3600$

P.	Nx	Ny	Nxy	Mx	My	Mxy	Afx	Afy	σ_{cmax}	σ_{fmax}	Cbc	Cbf	Ver	Cs
	kg/mq	kg/mq	kg/mq	kg	kg	kg	cmq/m	cmq/m	kg/cmq	kg/cmq				

P.	Nx	Ny	Nxy	Mx	My	Mxy	Afx	Afy	σ_{cmax}	σ_{fmax}	Cbc	Cbf	Ver	Cs
3	795	-14902	4717	-9	-35	-2	16.08	16.08	-2	20	27	27	Si	71
6	7759	-8380	1277	-13	-9	-12	16.08	16.08	-1	152	27	27	Si	24

Verifica aperture fessure: Wamm_Freq[mm]=0.400 Wamm_Qp[mm]=0.300

P.	Nx	Ny	Nxy	Mx	My	Mxy	σ_{fmed}	Wd	Wk	Cb	Ver	Cs
	kg/mq	kg/mq	kg/mq	kg	kg	kg	kg/cmq	mm	mm			
6	7759	-8380	1277	-13	-9	-12	152	0.028	0.028	27(Qp)	Si	11
6	7759	-8380	1277	-13	-9	-12	152	0.028	0.028	23(Fr)	Si	14